

62
X-98

СОПРОТИВЛЕНІЕ МАТЕРІАЛОВЪ
П. ХУДЯКОВЪ.

22737

1919. марта 26 кд.

П. К. Худяковъ,

профессоръ ИМПЕРАТОРСКАГО Техническаго Училища.

132

620.1

305

СОПРОТИВЛЕНІЕ МАТЕРІАЛОВЪ.

Курсъ, читанный въ Императорскомъ Московскомъ Техническомъ Училищѣ, съ атласомъ, расчетными таблицами и задачами.

ЦЕНТРАЛЬНАЯ
БИБЛИОТЕКА
В. Г. ШУХОВЫХЪ
ИЗД. № 74484

1938
ПРОВЕРЕНО
1936 г. № 13953 В

Сверено
1931 г.

ВЪ ПРИЛОЖЕНІИ КЪ КУРСУ ПОМѢЩЕНЪ

СБОРНИКЪ ЗАДАЧЪ НА ТЕОРІЮ РАСТЯЖЕНІЯ И СЖАТІЯ,

СОСТАВЛЕННЫХЪ ИНЖЕНЕРЪ-МЕХАНИКАМИ

В. Г. Шуховымъ и П. К. Худяковымъ.

62

X-98

ПРОВЕРКА
ХУГНБ 1949



Сверено

Проверено 1937

МОСКВА.

Типо-литогр. Высочайше утвержден. «Русскаго Т-ва печатн. и издательск. дѣла».
Чистые пруды, собственный домъ.

1898.

ОТЪ АВТОРА.

Законы теоретической механики, или механики абстрактныхъ силъ, находятъ для себя обширныя примѣненія въ дѣйствительной природѣ вещей, при обращеніи съ той или другою матеріальной средой, воспринимающей на себя дѣйствіе силъ. - Отсюда сама собою является необходимость знанія соотношеній, которыя существуютъ между дѣйствіемъ силъ на твердое тѣло и способностью его сопротивляться ихъ дѣйствію, не разрушаясь. Изысканіемъ и всестороннимъ изученіемъ этихъ соотношеній занимается специальный отдѣлъ механики, за которымъ установилось названіе *теоріи сопротивленія матеріаловъ*. Статика разсматриваетъ условія равновѣсія внѣшнихъ силъ между собою, динамика даетъ намъ условія равновѣсія внѣшнихъ силъ и силъ инерціи; а въ теоріи сопротивленія матеріаловъ разсматриваются условія равновѣсія между внѣшними силами и силами упругости матеріала, т. е. силами сопротивленія матеріала, возникающими между всѣми его частицами при дѣйствіи на тѣло внѣшнихъ силъ.

Такимъ образомъ теоретическая часть курса сопротивленія матеріаловъ имѣетъ своимъ основаніемъ *теорію упругости тѣлъ*, которая разсматриваетъ измѣненія формы тѣлъ и вызываемыя въ ихъ частицахъ силы упругости подъ вліяніемъ внѣшнихъ силъ.

Теорія упругости тѣлъ является самостоятельнымъ и весьма обширнымъ отдѣломъ физики, охватывающимъ явленія звука дрожащихъ пластинъ, свѣта, тепла и т. п. Ея абстрактные выводы, касающіеся *однородной* матеріи, незыблемы и постоянны. Область же примѣненія этихъ выводовъ, разсматриваемая въ теоріи сопротивленія матеріаловъ и распространяемая на различные строительные матеріалы, сравнительно весьма ограничена, такъ какъ эти матеріалы все время измѣняются и въ своемъ составѣ, и въ свойствахъ крѣпости, при-

мѣненія ихъ все время совершенствуются по мѣрѣ изученія свойствъ матеріаловъ, по мѣрѣ улучшенія ихъ выработки, по мѣрѣ развитія соответственныхъ отраслей промышленности. Теорія сопротивленія матеріаловъ черпаетъ по этому свои главнѣйшія положенія изъ опытовъ, производимыхъ въ такой обстановкѣ, при которой форма и размѣры тѣла, а также и условія воздѣйствія на него внѣшнихъ силъ, по возможности, мало разнятся отъ встрѣчающихся въ дѣйствительности, въ различнаго рода практическихъ приложеніяхъ. Такого рода опыты, съ цѣлю разъясненія свойствъ упругаго сопротивленія тѣлъ и опредѣленія различныхъ коэффициентовъ, непрерывно продолжаются еще и въ наше время. Въ этомъ отношеніи ученіе о сопротивленіи матеріаловъ существенно разнится отъ остальныхъ опытныхъ отдѣловъ физики и механики, такъ какъ и самые матеріалы, и формы изготовляемыхъ изъ нихъ тѣлъ постоянно измѣняются, въ зависимости отъ поступательнаго движенія человѣческихъ знаній и большей или меньшей успѣшности практическаго приложенія ихъ.

Важность и значеніе выводовъ теоріи сопротивленія матеріаловъ объясняются въ достаточной мѣрѣ обширностью примѣненій ихъ въ дѣятельности инженера, какой бы путь онъ не избралъ при вступленіи на практическое поприще.

Теоретическая часть основнаго курса сопротивленія матеріаловъ отличается ясностью, простотой и безъ большихъ затрудненій поддается усвоенію. Самое же усвоеніе этого предмета должно быть полное и твердое, дополненное и провѣренное на возможно большемъ числѣ упражненій и задачъ. Ознакомиться съ примѣненіями усвоенной теоріи къ рѣшенію задачъ и съ упражненіями въ расчетахъ слѣдуетъ еще на школьной скамьѣ, все время имѣя въ виду, какъ постоянную необходимость примѣнять эти знанія въ практической дѣятельности, такъ и нравственную, а равно и экономическую отвѣтственность, которую несетъ на себѣ инженеръ передъ обществомъ, если онъ не умѣетъ разумно и экономично строить предметы отечественнаго производства.

Безсознательное подраженіе существующимъ образцамъ не должно быть удѣломъ серьезнаго, образованнаго инженера; такое подражаніе, если и приводитъ иногда къ осуществленію надежной постройки, всегда бываетъ сопряжено съ непроизводительной затратой матеріала, ничѣмъ не вызываемой и нерѣдко даже вредною для дѣла.

Воздвигались сооруженія, строились двигатели и станки и до появленія теоріи сопротивленія матеріаловъ, продолжается та же созидательная дѣятельность и послѣ появленія этой теоріи. Но какая поразительно громадная разница въ

произведеніяхъ этой дѣятельности двухъ упомянутыхъ періодовъ!...

Всѣ произведенія 1-го періода носятъ на себѣ печать безсознательнаго творчества и подражанія, даютъ картину жизни безъ проявленій ума. За исключеніемъ развѣ только каменныхъ монументальныхъ сооружений, явившихся результатомъ поэтическаго воображенія, роскошью культуры, всѣ остальные произведенія этого періода не носятъ на себѣ даже и слѣдовъ красоты.

Первые шаги теоріи упругости далеко не всѣ были вѣрны, а главное имѣли исключительно теоретическій характеръ; результаты этой теоріи долго не примѣнялись къ сооруженіямъ, и многія примѣненія были сдѣланы не умѣло. Появились упреки въ несоотвѣтствіи теоріи и практики, и въ нѣкоторыхъ случаяхъ не безъ основаній. Разрабатывались теоріи, весьма изящно и остроумно обставленныя съ аналитической стороны, но построенныя на такихъ предположеніяхъ, которыя или вовсе не согласуются съ дѣйствительными свойствами матеріи, или игнорируютъ нѣкоторыя изъ весьма существенныхъ условій ея сопротивляемости. Подобнымъ образомъ поставленныя теоретическія изслѣдованія являются иллюстраціей другой картины — ума безъ всякаго отношенія къ жизни.

Современная намъ теорія сопротивленія матеріаловъ вступила уже въ свой зрѣлый періодъ, разумное и умѣлое примѣненіе положеній ея въ практикѣ составляетъ одну изъ постоянныхъ, наиболѣе интересныхъ и благодарныхъ задачъ въ дѣятельности инженера, должно дать и дѣйствительно даетъ продукты жизни разумной.

Но чтобы не повторять ошибокъ прошлаго, не остановиться на безотчетномъ подражаніи существующему, въ иныхъ случаяхъ неизвѣстно при какихъ требованіяхъ и условіяхъ построенному, и чтобы не ограничиться творчествомъ абстрактнаго ума безъ примѣненій къ жизни, еще на школьной скамьѣ необходимо упражняться расчетами наивыгоднѣйшаго употребленія матеріала и продѣлать возможно большее число примѣровъ на опредѣленіе размѣровъ частей машинъ и сооружений по даннымъ внѣшнимъ силамъ и условіямъ ихъ воздѣйствій.

Вотъ почему красною нитью проходятъ чрезъ весь курсъ сопротивленія матеріаловъ изысканія о наивыгоднѣйшемъ способѣ дѣйствія силъ на тѣло, о наивыгоднѣйшей формѣ и размѣрахъ его, о наименьшихъ измѣненіяхъ формы и размѣровъ подъ дѣйствіемъ заданныхъ силъ, о наименьшемъ вѣсѣ и т. д.; вотъ почему съ другой стороны всѣ наиболѣе существенные результаты теоретическихъ изысканій тутъ же не-

посредственно еще полнѣе и всестороннѣе разъясняются въ курсѣ на приложеніяхъ въ видѣ задачъ, причемъ попутно раскрываются тѣ или другія особенности въ свойствахъ матеріаловъ, тѣ или другія условія работы ихъ въ разнообразныхъ случаяхъ практики.

Особенно важное значеніе въ практической дѣятельности инженера имѣютъ приложенія теоріи растяженія и сжатія тѣлъ, болѣе другихъ согласованной съ результатами опыта и дающей возможность получить наивыгоднѣйшее примѣненіе матеріала въ постройкахъ. Какъ это ни странно, идейная часть этихъ двухъ главъ въ существующихъ курсахъ излагается до изумительности кратко, и въ особенности глава о сжатіи тѣлъ. Вопросы о неравномѣрномъ распредѣленіи сжимающей нагрузки или вовсе не рассматриваются, или удѣляется имъ весьма небольшое вниманіе; а капитальной важности *вопросы объ изнашиваніи тѣлъ*, т. е. о сдавливаніи двухъ нагруженныхъ тѣлъ, перемѣщающихся одно относительно другого, даже и не намѣчаются обыкновенно. Отвѣчая современнымъ требованіямъ, предъявляемымъ къ инженеру въ его практической дѣятельности, пришлось развить названные отдѣлы съ большей полнотою, пришлось ввести и разработать нѣсколько новыхъ главъ.

Для наилучшаго усвоенія изложеннаго, въ концѣ каждаго отдѣла введены *вопросы для повторенія прочитаннаго*, нерѣдко наводящія на новый рядъ мыслей и слѣдствій, которыя вовсе не приходятъ въ голову ни во время плавнаго чтенія курса, ни во время самостоятельнаго продѣлыванія выводовъ, когда главное вниманіе невольнo бываетъ обращено на подражаніе оригиналу.

Для возможно болѣе полнаго закрѣпленія въ памяти всего усвоеннаго, вслѣдъ за вопросами для повторенія помѣщены въ курсѣ каждый разъ *сводъ главнѣйшихъ данныхъ и формулъ* изъ того или другого отдѣла. Составъ такихъ формулъ и единицы мѣры въ нихъ должны быть изучены въ совершенствѣ. Нужно помнить, что ошибки, являющіяся слѣдствіемъ небрежнаго отношенія къ этимъ формуламъ и неправильнаго ихъ пониманія и примѣненія, дѣлаютъ инженера виновнымъ въ нанесеніи своимъ довѣрителямъ нерѣдко весьма большого и непоправимаго матеріальнаго ущерба и налагаютъ на него весьма тяжелую нравственную и матеріальную отвѣтственность.

Съ этою же цѣлію во многихъ главахъ курса обращено особенное вниманіе и на тѣ постоянныя ошибки и неправильности, которыя изъ года въ годъ повторяются въ отвѣтахъ слабыхъ студентовъ, когда изложенная теорія бываетъ ими недостаточно усвоена, или невѣрно понята.

Для болѣе быстрыхъ подсчетовъ и различныхъ соображеній помѣщены въ нашемъ курсѣ въ большомъ изобилии различныя вспомогательныя таблицы, значительно облегчающія многія вычисленія въ одномъ случаѣ, служащія для контроля и провѣрки въ другомъ и разъясняющія своеобразныя свойства сопротивляемости въ третьемъ.

Въ составъ самаго курса умышленно введены только элементарные случаи сопротивленія тѣлъ (теорія растяженія, сжатія, сдвига, крученія и сгибанія) съ тѣмъ, чтобы при краткости учебнаго времени можно было достигнуть полнаго и всесторонняго изученія основъ теоріи; твердое знаніе ихъ даетъ инженеру незыблемый фундаментъ въ его практической дѣятельности, позволяетъ ему тогда сравнительно легко разобратся въ какой угодно болѣе сложной теоріи и критически отнестись къ ней.

Чтобы имѣть возможность быстрѣе ориентироваться среди матеріала, который даютъ таблицы атласа, сопровождающаго курсъ, сдѣлано слѣдующее: въ текстѣ указаны всѣ сноски на таблицы, размѣщеніе фигуръ на таблицахъ сдѣлано въ послѣдовательномъ порядкѣ, нумерація таблицъ помѣщена всюду въ правомъ верхнемъ углѣ каждой таблицы; подъ указаніемъ №-а таблицы отмѣченъ начальный и конечный № фигуръ, помѣщенныхъ на данной таблицѣ; при каждой фигурѣ таблицы сдѣлано указаніе на тотъ § текста, или тотъ № задачи, гдѣ говорится объ этой фигурѣ.

Въ концѣ курса, въ видѣ добавленія къ нему, помѣщенъ *сборникъ задачъ* на практическія приложенія теоріи растяженія и сжатія. Въ постановкѣ идейной стороны этихъ задачъ и въ раскрытіи общихъ законовъ, касающихся наивыгоднѣйшаго устройства фермъ съ растянутыми и сжатыми частями, по моей просьбѣ принялъ весьма дѣятельное и дружеское участіе *Владиміръ Григорьевичъ Шуховъ*, инженеръ-механикъ выпуска 1876 г., одинъ изъ наиболѣе выдающихся русскихъ инженеровъ нашего времени, извѣстный изобрѣтатель и практическій дѣятель въ области инженернаго дѣла и машиностроенія, авторъ многихъ теоретическихъ изслѣдованій, замѣчательныхъ своей оригинальностью, остроуміемъ и практичностью. Съ благодарностію отмѣчая его активное участіе въ этомъ дѣлѣ, не могу умолчать о томъ, что, благодаря этому, удалось представить отдѣлъ дополнительныхъ задачъ съ надлежащей полнотою и раскрыть при этомъ такія идеально простыя соотношенія и комбинаціи при наивыгоднѣйшемъ устройствѣ фермъ, на которыя до сихъ поръ совершенно несправедливо обращено было весьма малое вниманіе.

Начало составленія этихъ дополнительныхъ къ курсу задачъ было положено осенью 1897 г. Предполагалось въ

самомъ началѣ ограничиться только весьма небольшимъ числомъ простыхъ примѣровъ для иллюстраціи идейной стороны вопроса. Но затѣмъ на первыхъ же задачахъ весьма быстро обнаружилось, что наивыгоднѣйшія комбинаціи фермъ, обладающія *min* своего вѣса и поставленныя въ совершенно различныя условія нагруженія, имѣютъ много общихъ свойствъ и совершенно одинаково относятся къ нѣкоторымъ геометрическимъ представленіямъ, весьма простымъ и вмѣстѣ съ тѣмъ изящнымъ, наводящимъ на мысль, что тутъ дѣйствуютъ какіе-то общіе законы. Догадки эти впослѣдствіи съ совершенной очевидностью и подтвердились. Разсматривая различнымъ образомъ нагруженныя треугольныя фермы, состоящія изъ растянутыхъ и сжатыхъ частей, и нѣкоторыя комбинаціи ихъ, были обнаружены слѣдующія общія теоремы:

1. Минимальный возможный вѣсъ треугольной фермы и ея комбинацій приводится или къ вѣсу одного призматическаго стержня съ высотой, равною наивыгоднѣйшей высотѣ фермы, рассчитаннаго по заданной нагрузкѣ на растяженіе, или къ вѣсу нѣсколькихъ такихъ стержней, причемъ коэффициентомъ пропорціональности являются часто такія простыя числа, какъ 2, 4, 6.

2. Вѣсъ растянутыхъ и сжатыхъ частей въ фермѣ, обладающей *min* вѣса, или одинаковъ, или находится въ постоянномъ отношеніи, и это свойство совершенно не зависитъ ни отъ рода матеріала фермъ, ни отъ внѣшняго вида ихъ, ни отъ степени надежности постройки.

3. Въ треугольныхъ фермахъ съ двумя подкосами (или двумя тягами), *min* вѣса получается часто въ томъ случаѣ, когда между длиной обоихъ подкосовъ (или тягъ) установлено нѣкоторое постоянное соотношеніе (иногда равенство ихъ длины); и это свойство не зависитъ тогда ни отъ положенія фермы въ пространствѣ, ни отъ направленія дѣйствія на нее нагрузки, ни отъ степени надежности постройки.

4. Если какимъ-либо образомъ комбинируются двѣ треугольныя фермы для образованія одной, свободно подвѣшенной за 2 узла, то наиболѣе невыгодное расположеніе нагрузки будетъ всегда такое, когда оба плеча ея относительно опоръ *одинаковы*; и это свойство не зависитъ ни отъ выбора размѣровъ частныхъ треугольныхъ фермъ, ни отъ взаимнаго расположенія ихъ опоръ по высотѣ.

5. Если опоры одной треугольной фермы или комбинаціи изъ двухъ такихъ фермъ находятся на одной высотѣ, выраженіе вѣса фермы зависитъ отъ *произведенія плечъ* нагрузки относительно опоръ; если же опоры будутъ поставлены на разной высотѣ, роль этихъ плечъ въ выраженіи

вѣса и во всѣхъ другихъ формулахъ замѣнять тѣ отрѣзки, на которые направленіе дѣйствія нагрузки разбиваетъ линію, соединяющую опорныя точки.

6. Если на комбинацію изъ двухъ треугольныхъ фермъ нагрузка передается чрезъ такой узелъ, гдѣ сходятся 3 элемента фермы, и направленіе дѣйствія нагрузки совпадаетъ съ направлениемъ средняго изъ этихъ трехъ элементовъ, тогда разложеніе нагрузки въ этомъ узлѣ между среднимъ и двумя крайними сходящимися здѣсь элементами происходитъ всегда по одному и тому же закону, а именно: силы, передающіяся на средней элементъ съ одной стороны и на оба крайнихъ съ другой, прямо пропорціональны длинѣ отрѣзковъ, которые на рабочей діагонали фермы засѣкаетъ другая, нерабочая (воображаемая), діагональ фермы.

Существованіе этихъ общихъ теоремъ, подтверждающихся на цѣломъ рядѣ примѣровъ, въ которыхъ измѣнялись и внѣшній видъ фермы, и ея положеніе въ пространствѣ, и способъ нагруженія, дѣлаетъ ихъ весьма цѣнными для инженера и позволяетъ думать, что въ близкомъ будущемъ этотъ геометрической отдѣлъ строительной механики, отвѣчающій на вопросы о выборѣ наивыгоднѣйшихъ размѣровъ фермъ, долженъ получить большое значеніе и сдѣлается достояніемъ каждаго образованнаго инженера. Изложенный здѣсь общій методъ изслѣдованія о наивыгоднѣйшихъ размѣрахъ фермъ даетъ результаты, идеальная стройность и непреложность которыхъ совсѣмъ не зависятъ ни отъ рода употребляемыхъ въ дѣло матеріаловъ, ни отъ дальнѣйшаго развитія теоріи сопротивленія матеріаловъ и совершенствованія человѣческихъ знаній вообще. Къ числу достоинствъ этого метода нужно отнести также его сравнительную простоту, наглядность и доступность пониманія даже и для лицъ, не владѣющихъ обширными познаніями по математикѣ.

Во всѣхъ геометрическихъ представленіяхъ, касающихся фермъ, которыя обладаютъ *min* вѣса, видную роль играютъ двѣ кривыя — окружность и парабола.

Разсматривая вѣсъ различныхъ комбинацій треугольныхъ фермъ, оказывается возможнымъ получить реальное представленіе о такой ихъ комбинаціи, *min* вѣса которой зависитъ отъ выбора *трехъ* независимыхъ переменныхъ.

Продѣлывая задачи, касающіяся вопроса объ опредѣленіи *min* вѣса фермъ, при первыхъ же шагахъ не трудно было обнаружить, что рѣшеніе выходитъ изящнымъ, простымъ и краткимъ, если дѣлать его исключительно одними алгебраическими приемами, и что оно же пріобрѣтаетъ крайне слож-

ную, расплывчатую, совершенно неприступную форму, если въ него будутъ введены тригонометрическія функции.

То же самое замѣчаніе относится и ко многимъ другимъ выводамъ въ курсѣ, для которыхъ почти вездѣ приведены кратчайшія рѣшенія вопроса; измѣняя же независимыя температуры, не дѣлая во время нужныхъ преобразованій и упрощеній, измѣняя положеніе осей координатъ и т. п., можно въ тѣхъ же самыхъ вопросахъ притти къ весьма сложнымъ и запутаннымъ рѣшеніямъ, которыя, если и приводятъ въ концѣ концовъ къ требуемому результату, то во всякомъ случаѣ не по кратчайшему пути, не съ минимальной затратой потребной на это работы, однимъ словомъ, съ такими приемами, которые изобличаютъ работу не инженера, а ремесленника.

Профессоръ П. Худяковъ.

Москва, 25 января 1898 г.

В В Е Д Е Н І Е.

1. **Нагрузка и деформация.** Отъ каждой проектируемой части машины или сооруженія требуется прежде всего, чтобы она удовлетворяла своему прямому назначенію, которое выясняется при всесторонней разработкѣ проекта, принимая во вниманіе, какъ всѣ условія заданія, такъ и всѣ послѣдующія условія работы разсматриваемой части. Назначеніемъ ея опредѣляются или нѣкоторые изъ *главныхъ* размѣровъ части (разстояніе между *характерными* точками ея, наибольшее или наименьшее измѣреніе и т. п.), или иногда ея вѣсъ, та или другая форма поперечнаго сѣченія, тотъ или другой внѣшній видъ, выборъ матеріала и проч.

Всякая, уже удовлетворяющая своему назначенію, часть машины или сооруженія, при современныхъ требованіяхъ практики, должна быть:

- а) прочна,
- б) долговѣчна и
- в) дешева.

Внѣшнія силы, воздѣйствующія на тѣло, могутъ быть двоякаго рода — *химическія* и *механическія*. Вредныя проявленія химическихъ воздѣйствій устраняются или надлежащимъ выборомъ матеріала для выполнения всей разсматриваемой части, или окраской ея поверхности, оксидированіемъ, никелированіемъ, обшивкой различными стойкими матеріалами и т. д.

Механическое воздѣйствіе внѣшнихъ силъ на тѣло наз. его *нагруженіемъ*, а самыя силы — *нагрузкою*.

Всякая нагрузка, какъ-бы мала она ни была, стремится какъ-либо *измѣнить форму*, приданную тѣлу, напр., вытягивая тѣло по одному или нѣсколькимъ направленіямъ, сжимая его, сгибая и т. д.

Форму тѣла до дѣйствія на него внѣшней нагрузки, будемъ наз. *формой покоя*

При нагруженіи тѣла его форма покоя измѣняется. Эти измѣненія формы наз. *деформациями*.

При всѣхъ прочихъ одинаковыхъ условіяхъ, чѣмъ меньше *величина нагрузки* на тѣло, тѣмъ меньше и *величина деформаций*, получаемыхъ тѣломъ.

По удаленіи нагрузки тѣло стремится воспринять форму покоя, т. е. всѣ полученные имъ ранѣе деформации при этомъ исчезаютъ.

Это свойство тѣлъ—измѣнять свою форму при нагруженіи и опять воспринимать форму покоя по удаленіи нагрузки — наз. *упругостью* (*élasticité* — франц., *Elastizität* — нѣм., *elasticity* — англ.). Различные матеріалы обладаютъ этимъ свойствомъ въ разной степени. Въ природѣ нѣтъ ни совершенно упругихъ, ни совершенно неупругихъ матеріаловъ. Въ большей мѣрѣ это свойство присуще металламъ, въ меньшей — тканямъ растительнаго и животнаго происхожденія и еще въ значительно меньшей степени — матеріаламъ изъ минеральнаго царства.

Практическое употребленіе матеріала предполагаетъ, что въ каждомъ отдѣльномъ случаѣ нагрузка будетъ сообразована съ природою матеріала и условіями ея воздѣйствія на него. Во всякомъ случаѣ нагрузка должна быть сравнительно не велика, чтобы по удаленіи ея тѣло могло воспринять форму покоя. Это первое и необходимое условіе при выборѣ нагрузки. Если по удаленіи нагрузки тѣло оказалось бы уже отчасти деформированнымъ навсегда, т. е. не возвратилось бы къ его формѣ покоя, это повело бы тотчасъ же къ измѣненію главныхъ размѣровъ тѣла, къ нарушенію въ окружающей его средѣ геометрическихъ и кинематическихъ свойствъ, къ новому распредѣленію нагрузки между окружающими данное тѣло частями и т. п. Такимъ образомъ вносила бы недопустимая здѣсь неопредѣленность и въ условія расчета тѣла, и въ условія существованія его. Поэтому, когда говорятъ, что тѣло достаточно *прочно*, это происходитъ отъ существованія у него въ поперечныхъ сѣченіяхъ такихъ размѣровъ, при которыхъ нагрузка деформируетъ его весьма слабо, часто совершенно незамѣтно для невооруженнаго глаза, и при томъ непремѣнно такъ, что по удаленіи нагрузки тѣло всегда снова воспринимаетъ форму покоя, сколько-бы разъ ни повторялось воздѣйствіе нагрузки на тѣло.

Отъ многихъ частей машинъ и сооружений, кромѣ достаточной прочности, требуется еще и *долговѣчность*. Это требованіе предъявляется особенно тогда, когда соотвѣтственная часть или сильно *нашивается* во время работы, или *нагрѣвается* отъ неумѣреннаго превращенія работы тренія въ теплоту и отъ недостаточно быстрого отведенія ея, или находится *подъ дѣйствіемъ живыхъ силъ* переменнй величины, сопровождающимся часто ударами, толчками, сотрясеніями и т. п.

Величина нагрузки, вполне отвѣчающая условіямъ крѣпости тѣла и въ достаточной мѣрѣ обезпечивающая также и долговѣчность существованія его, наз. *безопасной нагрузкой* для тѣла при данныхъ условіяхъ его работы. Въ различныхъ случаяхъ практики, даже и безъ переменнй величины нагрузки на тѣло, условія его работы могутъ быть такъ разнообразны (отъ измѣненія, напр., рабочей скорости, состоянія окружающихъ данное тѣло поверхностей, большей или меньшей тщательности ухода и сборки, измѣненія температуры и т. п.), что между размѣрами поперечнаго сѣченія тѣла и его безопасною нагрузкою въ большинствѣ случаевъ не можетъ быть установлено постояннаго соотношенія одинъ разъ на всегда. Это соотношеніе приходится мѣнять въ зависимости не только отъ всѣхъ условій работы тѣла, но также и

отъ рода матеріала, который надо употреблять въ дѣло, отъ его спеціальныхъ свойствъ, чаще же всего — въ зависимости отъ большаго или меньшаго умѣнья обращаться съ машиною въ работѣ, при пускани ея въ ходъ, при остановкѣ и т. д.

Вопросы *объ опредѣленіи безопасной нагрузки* для даннаго тѣла при заданныхъ условіяхъ его работы и *о нахожденіи деформации*, которую получить тѣло послѣ его нагруженія, рѣшаются въ особомъ отдѣлѣ прикладной механики, который носитъ названіе *теоріи сопротивленія матеріаловъ*. Результаты этой теоріи могутъ имѣть практическую цѣну въ такой лишь мѣрѣ, въ какой они согласуются съ данными непосредственнаго опыта.

Поэтому въ основу всѣхъ теоретическихъ изслѣдованій по сопротивленію матеріаловъ кладутся всегда опытные данныя, выясняющія зависимость, которая существуетъ въ дѣйствительности между нагрузкой на тѣло и получаемой имъ деформацией.

Во всѣхъ такого рода теоретическихъ изслѣдованіяхъ рассматриваютъ твердое тѣло, какъ *однородную* систему, состоящую изъ собранія весьма малыхъ частицъ, взаимно связанныхъ между собою въ одно цѣлое при помощи такъ называемыхъ *частичныхъ* (молекулярныхъ) *силъ*, или иначе, *силъ упругости*, которыя препятствуютъ нагрузкѣ деформировать тѣло.

Въ существованіи силъ упругости каждому нетрудно самому убѣдиться непосредственнымъ опытомъ, взявши кусокъ резины, длинный карандашъ и т. п. и деформируя ихъ нажимомъ пальцевъ обѣихъ рукъ, чтобы вызвать сгибаніе. По прекращеніи нагрузки, если деформация зашла не слишкомъ далеко, тѣло воспринимаетъ форму покоя.

Болѣе точнымъ образомъ обставляется подобный опытъ съ металлическими (чугунными или желѣзными) пластинами, которымъ придается форма призмъ; на поверхности ихъ, аккуратно обработанной, расчерчиваются правильныя геометрическія фигуры и точно промѣряются ихъ размѣры; затѣмъ тѣло нагружается, начерченныя фигуры измѣняютъ свой видъ и размѣры, которые также вымѣряются; далѣе нагрузка снимается, и тогда измѣненный передъ этимъ контуръ снова возвращается къ первоначальному своему виду. Въ этомъ случаѣ говорятъ, что деформация тѣла — *упругая*. Такъ будетъ происходить опытъ, если нагрузка сравнительно невелика. Иначе, измѣненный дѣйствіемъ нагрузки контуръ, стремясь по удаленіи нагрузки притти къ первоначальному своему виду, перестаетъ достигать этого и остается *отчасти* деформированнымъ уже навсегда. Съ помощію опыта убѣждаются такъ обр., что нагрузки, болѣе или менѣе значительныя по величинѣ, вызываютъ въ тѣлѣ деформации двоякаго рода — *упругія* (или *исчезающія*) и *постоянныя* (или *остающіяся*); и при болѣе тщательномъ производствѣ опыта, принимая во вниманіе также и продолжительность воздѣйствія нагрузки на тѣло, обнаруживается, что постоянная деформация получается не вся сразу, а постепенно; точно также и ея исчезновеніе по удаленіи нагрузки требуетъ извѣстнаго времени, тогда какъ упругая

деформація всегда сразу получается и сразу исчезает при наложеніи и снятіи нагрузки.

Сближая во время опыта нѣкоторыя точки контура, по снятіи нагрузки видятъ эти точки взаимно удаляющимися, стремящимися къ своему первоначальному положенію.

Наоборотъ, удаляя во время опыта нѣкоторыя точки контура, по снятіи нагрузки видятъ эти точки сближающимися.

Для разъясненія этого явленія допускается существованіе слѣдующей гипотезы:

1) частицы тѣла воздѣйствуютъ одна на другую съ силами взаимнаго притяженія и отталкиванія, величина которыхъ зависитъ отъ величины разстоянія между частицами;

2) когда частицы занимаютъ положеніе, соотвѣтствующее формѣ покоя, величины силъ притяженія и отталкиванія одинаковы;

3) при удаленіи частицъ одна отъ другой величины силъ притяженія увеличиваются, а величины силъ отталкиванія уменьшаются; при сближеніи частицъ тѣла происходитъ обратное явленіе.

Пока на тѣло не дѣйствуетъ внѣшняя нагрузка, внутреннія (молекулярныя) силы каждой частицы тѣла взаимно уравновѣшиваются, — многоугольникъ силъ замкнутъ. Какъ только будетъ приложена къ тѣлу нагрузка, равновѣсіе внутреннихъ силъ нарушится, — силовой многоугольникъ будетъ разомкнутъ, до тѣхъ поръ, пока частицы тѣла, перемеѣщаясь одна относительно другой, не найдутъ такого положенія, при которомъ внутреннія силы будутъ въ состояніи уравновѣсить собою внѣшнюю нагрузку; тогда получимъ новый замкнутый многоугольникъ силъ. Если послѣ этого мы отнимемъ внѣшнюю нагрузку, мы тѣмъ самымъ разомкнемъ этотъ новый многоугольникъ силъ, и равновѣсія между внутренними силами при новомъ положеніи частицъ быть не можетъ; онѣ начнутъ снова перемеѣщаться, но уже подѣ дѣйствіемъ внутреннихъ силъ, и будутъ перемеѣщаться до тѣхъ поръ, пока онѣ не возвратятся къ формѣ покоя, когда онѣ взаимно уравновѣшивались, и многоугольникъ силъ былъ замкнутъ въ первоначальной его формѣ.

Частичныя силы наиболѣе замѣтно проявляютъ свое дѣйствіе, когда измѣненіе разстояній между смежными частицами происходитъ въ небольшихъ сравнительно предѣлахъ. При дѣйствіи же весьма большихъ нагрузокъ частицы тѣла могутъ оказаться настолько удаленными одна отъ другой, что по снятіи нагрузки частицы, повинуваясь дѣйствію внутреннихъ силъ, уже не будутъ въ состояніи вернуться въ первоначальное свое положеніе; форма тѣла по удаленіи такой нагрузки хотя и стремится къ первоначальной, но вполнѣ ея не достигаетъ и остается уже отчасти измѣненной навсегда. При дальнѣйшемъ увеличеніи нагрузки связь между частицами и вовсе можетъ уничтожиться; тогда тѣло разрушается.

2. Напряженіе матеріала. Какой бы способъ воздѣйствія нагрузки на тѣло ни былъ, необходимо знать, какія перемеѣщенія подѣ дѣйствіемъ

этой нагрузки будет испытывать каждая точка тѣла, и какъ распредѣлится между ними самая нагрузка.

Передача нагрузки на тѣло вызываетъ между его частицами дѣйствіе внутреннихъ силъ и проявленіе деформаций.

Если мы представимъ себѣ частицу тѣла лежащую на нѣкоторой поверхности, то перемѣщенія частицы подѣ дѣйствіемъ внутреннихъ силъ могутъ быть только двухъ родовъ — *вдоль* самой поверхности и *нормально* къ ней. Всякое другое перемѣщеніе частицы, очевидно, можетъ быть сведено опять къ этимъ двумъ путемъ разлѣженія его по правилу параллелограмма.

Когда перемѣщеніе частицы происходитъ *нормально* къ поверхности, на которой лежитъ частица, матеріальная линія, совпадающая съ радіусомъ кривизны поверхности въ данной точкѣ, очевидно, или *удлинняется*, или *укорачивается*, не мѣняя своего относительнаго расположенія къ данной поверхности.

Если же перемѣщеніе частицы происходитъ *вдоль* поверхности, то явленіе сопровождается сдвиганіемъ, или короче — *сдвигомъ* точки въ сторону.

Чтобы составить себѣ представленіе о внутреннихъ силахъ, которыя вызываются при перемѣщеніи частицъ, необходимо знать *величину* этихъ силъ, *направленіе дѣйствія* и *точки приложенія* ихъ.

Величину *элементарной внутренней силы*, или силы упругости, передающейся на весьма малую площадь элемента поверхности, представляютъ себѣ состоящую изъ пучка параллельныхъ частичныхъ силъ, не отличающихся между собою по величинѣ. Тогда слагающая всего этого пучка силъ при составленіи условій равновѣсія можетъ быть принимаема приложенною въ центрѣ тяжести элемента поверхности. Направленіе же дѣйствія слагающей, естественно, должно быть изображено въ сторону, противоположную съ направлениемъ перемѣщенія элемента поверхности

Величина элементарной внутренней силы, приходящейся на единицу площади элемента, называется *напряженіемъ матеріала*.

Вышеизложенное разсмотрѣніе характера возможныхъ перемѣщеній частицъ внутри тѣла позволяетъ заключить, что и напряженія матеріала могутъ быть только двухъ родовъ, т. е. дѣйствующія *нормально* къ поверхности элемента, или *нормальныя напряженія*, и дѣйствующія *вдоль* самой поверхности, или *тангенціальныя напряженія*.

Когда нагрузка на тѣло произвела присущую ей деформацию, тогда наступаетъ равновѣсіе нагрузки и внутреннихъ силъ. Это равновѣсіе существуетъ не только во всемъ тѣлѣ, во всей совокупности его частицъ, но оно существуетъ также и между отдѣльными частями деформированнаго тѣла.

Поэтому, когда дѣйствіе нагрузки на тѣло установилось, мысленно можно представлять себѣ тѣло какъ бы разсѣченнымъ на двѣ части произвольной плоскостью и независимо разсматривать равновѣсіе обѣихъ частей тѣла, расположенныхъ по обѣ стороны отъ разсматриваемаго сѣченія. Ко всѣмъ точкамъ этого сѣченія должны быть приложены

тогда по величинѣ и по направленію *всѣ* силы упругости, дѣйствующія на каждый элементъ площади, т. е. и тангенціальныя силы, и нормальныя. Прикладывая къ любой изъ выдѣленныхъ так. обр. частей тѣла *всѣ* 6 условій равновѣсія между нагрузкою и внутренними силами, получаютъ между ними опредѣленную зависимость; съ помощію ея и рѣшается вопросъ о крѣпости тѣла.

Но чтобы имѣть возможность получить такую зависимость, нужно предварительно изучить опытнымъ путемъ законъ распредѣленія напряженій между отдѣльными точками тѣла при всякомъ способѣ приложенія нагрузки; а для этого необходимо самымъ тщательнымъ образомъ изучить *всѣ* проявленія деформаций въ тѣлѣ отъ каждой данной нагрузки.

Эта работа должна предшествовать теоретическому изученію того или другого вопроса о соприкосновенности матеріаловъ.

3. Общій ходъ работы по каждому подобному вопросу представляется так. обр. въ слѣдующемъ видѣ:

1) опытнымъ путемъ надо изучить зависимость между величиною и способомъ приложенія нагрузки на тѣло и величинами получаемыхъ отъ этого каждою точкою тѣла перемѣщений;

2) на основаніи предыдущихъ данныхъ надо составить гипотезу наиболѣе вѣроятнаго распредѣленія напряженій между отдѣльными частями тѣла;

3) составивши гипотезу распредѣленія напряженій въ тѣлѣ, надо аналитически установить: а) зависимость между напряженіемъ въ произвольной точкѣ тѣла и нагрузкою на него, пользуясь ур-ями равновѣсія твердаго тѣла и б) зависимость между нагрузкою на тѣло и деформациею его.

Эта послѣдняя зависимость д. б. совершенно тождественна съ тою, о которой говорится въ пунктѣ і. Если это будетъ имѣть мѣсто, у насъ будетъ подтвержденіе того, что принятая гипотеза о распредѣленіи напряженій не содержитъ въ себѣ ничего невѣроятнаго.

Послѣ этого и аналитическая зависимость между напряженіемъ матеріала въ произвольной точкѣ тѣла и нагрузкою на него приобретаетъ уже практическую цѣнность. Будемъ называть эту зависимость *уравненіемъ напряженій*.

Исслѣдуя ур-іе напряженій, находятъ въ тѣлѣ геометрическое мѣсто такихъ точекъ, гдѣ напряженіе будетъ достигать своего *max*. Поверхность, на которой лежатъ точки съ наибольшимъ напряженіемъ матеріала, наз. *опаснымъ сѣченіемъ* тѣла. Очевидно, что бблшая или меньшая способность тѣла сопротивляться дѣйствию силъ зависитъ отъ крѣпости его опаснаго сѣченія. Если оно будетъ крѣпко, то и все тѣло будетъ достаточно крѣпко, а если опасное сѣченіе тѣла будетъ слабо, то никакія усиленія размѣровъ въ другихъ частяхъ тѣла не поведутъ къ усиленію крѣпости тѣла.

4. Расчетное уравненіе. Примѣняя ур-іе напряженій къ опасному сѣченію тѣла, мы найдемъ изъ этого ур-ія зависимость между

нагрузкою и вызываемымъ ею наивысшимъ напряженіемъ матеріала. Та величина напряженія въ опасномъ сѣченіи тѣла, допуская существованіе которой при данной нагрузкѣ, мы можемъ считать тѣло достаточно крѣпкимъ и долговѣчнымъ, наз. *допускаемымъ напряженіемъ матеріала, возможнымъ, или прочнымъ, безопаснымъ.*

Выясненіе величины допускаемаго напряженія матеріала можетъ быть сдѣлано, только пользуясь указаніями опыта.

Замѣняя вычисленную по σ -ію напряженій величину наивысшаго въ тѣлѣ напряженія допускаемою для него величиною, мы тѣмъ самымъ выразимъ, что опасное сѣченіе тѣла достаточно крѣпко, и получимъ σ -іе, которое называютъ *расчетнымъ σ -іемъ, или σ -іемъ крѣпости.* Опредѣляемые изъ этого σ -ія размѣры опаснаго сѣченія тѣла будутъ таковы, что при существованіи ихъ во всѣхъ точкахъ опаснаго сѣченія будетъ вызвана величина напряженія матеріала, равная допускаемой, безопасной величинѣ, или меньшая ея, чѣмъ и выражается вполнѣ та мысль, что тѣло будетъ при этомъ достаточно крѣпко.

Размѣры опаснаго сѣченія тѣла, удовлетворяющіе расчетное σ -іе его при требуемой нагрузкѣ, наз. *прочными размѣрами тѣла, допускаемыми, безопасными.*

Если тѣло уже существуетъ, то величина нагрузки, удовлетворяющей расчетное σ -іе, т. е. вызывающей въ опасномъ сѣченіи тѣла величину напряженія, не большую допускаемой, наз. *допускаемой нагрузкой, безопасной, возможной.*

5. Степень надежности постройки. Напряжение матеріала въ опасномъ сѣченіи тѣла въ моментъ разрушенія его называютъ *разрушающимъ напряженіемъ или коэф. крѣпости.*

Отношеніе разрушающаго тѣло напряженія къ безопасному наз. *степенью надежности постройки.*

Величина разрушающаго напряженія опредѣляется путемъ непосредственнаго опыта надъ матеріалами.

Величина допустимой степени надежности была выяснена также помощію долговременнаго опыта и наблюденій надъ частями машинъ и сооружений, выносившихъ на себѣ нагрузку при различныхъ условіяхъ.

Различаютъ въ практикѣ 3 разныхъ способа дѣйствія нагрузки:

1. *Величина нагрузки постоянна.* Это — довольно рѣдко встрѣчающійся случай нагруженія.

2. *Нагрузка мѣняетъ свою величину въ предѣлахъ отъ 0 до нѣкоторой величины Q.* Этотъ способъ воздѣйствія уже значительно менѣе выгоденъ для матеріала, чѣмъ предыдущій. При измѣненіяхъ нагрузки для сохраненія крѣпости тѣла необходимо, чтобы даже и наивысшая величина нагрузки не способна была вызвать остающихся деформаций. При такихъ условіяхъ, по опытамъ *Bauschinger*, нагрузка можетъ измѣнять свою величину отъ 5 до 16 милліоновъ разъ и все еще не вызывать разрушенія тѣла. Принимаютъ, по опытамъ *Woehler*, что для

желѣза разрушающее напряженіе во 2-мъ случаѣ составляетъ *два трети* отъ разрушающаго напряженія въ 1-мъ случаѣ.

3. *Нагрузка мѣняетъ и свою величину, и свой знакъ*, т. е. измѣненіе нагрузки можетъ происходить отъ (+ Q) до (— Q), переходя чрезъ 0. Въ видѣ примѣра подобнаго нагруженія можно указать шатунъ насоса, паровой машины и пр., который растягивается при движеніи поршня въ одномъ направленіи и сжимается при обратномъ движеніи.

Этотъ способъ нагруженія считается наиболѣе опаснымъ изъ всѣхъ, особенно если нагрузка передается каждый разъ съ ударами.

По опытамъ *Woehler* оказывается, что въ опасномъ сѣчені тѣла достаточно вызвать напряженіе въ *одну треть* отъ того, при которомъ тѣло разрушалось въ 1-мъ случаѣ, и эта треть въ состояніи будетъ уже разрушить тѣло, дѣйствуя третьимъ способомъ; а при существованіи ударовъ достаточно даже и *одной пятой* отъ напряженія, разрушающаго тѣло въ 1-мъ случаѣ.

Для выясненія способа прѣдлительнаго воздѣйствія переменныхъ нагрузокъ на тѣло опыты были сдѣланы экспериментаторами *Woehler*, *Sprangenberg*, а въ послѣднее время *Bauschinger*, *Tetmajer*, *Martens*.

Составляя сужденіе о пригодности даннаго матеріала для практическихъ цѣлей, опредѣляютъ для него всегда разрушающее напряженіе при постоянной величинѣ нагрузки.

Употребляя же этотъ матеріалъ въ дѣло, величину допускаемаго при тѣхъ или другихъ условіяхъ напряженія ставятъ въ зависимость отъ выбора степени надежности постройки; а эту послѣднюю величину берутъ равною тому или другому числу въ зависимости отъ способа дѣйствія силъ.

Пусть N_0 — разрушающее напряженіе,
 N — допускаемое напряженіе и
 Φ — степень надежности постройки.

Тогда

$$N = N_0 : \Phi 1.$$

Принимая во вниманіе опыты съ дѣйствіемъ переменныхъ нагрузокъ, допускаютъ въ практикѣ для металлическихъ частей при выборѣ степени надежности слѣдующія цифры:

Нагрузка постоянна	Нагрузка мѣняетъ	
	величину	величину и знакъ
$\Phi = 3 - 4.$	$\Phi = 5 - 6.$	$\Phi = 10 - 15.$

При расчетѣ частей машинъ и сооружений допускается увеличеніе Φ противъ данныхъ этой таблицы.

Подобное увеличение Φ особенно умѣстно дѣлать въ тѣхъ случаяхъ, когда величина расчетной нагрузки можетъ быть выяснена только приближенно, когда поломка рассчитываемой части можетъ повлечь за собою несчастія съ людьми, когда рассчитываемая часть подвержена изнашиванію, когда отъ нея требуется особенно малая деформация въ работѣ и т. д.

Удовлетворяя условію дешевизны той или другой рассчитываемой части, стремятся одновременно и къ уменьшенію ея вѣса, и къ уменьшенію стоимости ея обработки, сборки, установки, перевозки и т. п.

Уменьшеніе вѣса рассчитываемой части можетъ послѣдовать только путемъ употребленія въ дѣло матеріала наилучшихъ качествъ и путемъ возможно болѣе точнаго выясненія величины напряженія, появляющагося въ опасномъ сѣченіи отъ данной нагрузки, а также и путемъ выясненія величины деформации, сопровождающей проявленіе допущеннаго при расчетѣ напряженія.

Сопротивленіе тѣлъ растяженію.

А. Растяженіе тѣла съ горизонтальной осью.

6. Деформированіе растянутого призматическаго тѣла. Пусть имѣетъ призматическое тѣло, его ось AB (фиг. 1) — горизонтальна, форма поперечнаго сѣченія произвольна. Предположимъ, что на основанія A и B призмы дѣйствуетъ одинаковая по величинѣ, но различная по направленію, нагрузка P . Такая нагрузка привести тѣло въ движеніе не можетъ, но начнетъ его деформировать, увеличивая его длину l на величину λ , которая называется *удлиненіемъ*.

Исзѣдудя явленіе растяженія опытнымъ путемъ, придаютъ испытуемому тѣлу правильно выполненную цилиндрическую или призматическую форму, намѣчаютъ на поверхности его рядъ продольныхъ линій и поперечныхъ, вычерчиваютъ на поверхности какія-либо геометрическія фигуры, составляютъ точный эскизъ всего начерченнаго на поверхности тѣла со всѣми размѣрами и затѣмъ подвергаютъ такимъ образомъ подготовленное тѣло воздѣйствію растягивающей нагрузки, направляя ее на тѣло *центрально*, т. е. по оси тѣла. Тогда упругая деформация тѣла происходитъ при слѣдующихъ обстоятельствахъ:

1. Продольныя и поперечныя прямыя линіи, начерченныя на поверхности тѣла, не искривляются.

2. Разстояніе между поперечными линіями замѣтно увеличивается, а между продольными едва замѣтно уменьшается.

3. Очертаніе поперечнаго сѣченія нагруженнаго призматическаго тѣла или цилиндрическаго сохраняетъ свой видъ, но измѣняетъ размѣры, хотя и въ очень слабой степени, т. е. цилиндръ, напр., и послѣ вытягиванія его остается также цилиндромъ съ нѣсколько уменьшеннымъ только діаметромъ. Измѣненіе размѣровъ поперечнаго сѣченія при вытягиваніи его происходитъ въ такой слабой степени, что, говоря о величинѣ нагрузки, безопасной для растягиваемаго цилиндра, можно вовсе не обращать вниманія на сокращеніе поперечныхъ размѣровъ тѣла. Тѣмъ не менѣе, если до вытягиванія призмы фигуры $abcd$ и $efgh$ (фиг. 1) были квадраты, то послѣ вытягиванія мы найдемъ, что сторона cd дѣлается болѣе ad и діагональ eg болѣе fh .

4. Если на поверхности тѣла до вытягиванія его начертить рядъ поперечныхъ линій на равныхъ разстояніяхъ другъ отъ друга, то и при

нагруженіи его равенство взаимныхъ разстояній не нарушается, т. е. каждая изъ размѣченныхъ частей тѣла вытягивается одинаково, или иначе, *удлиненіе призмы будетъ пропорціонально ея длине.*

5. Измѣняя величину нагрузки на тѣло, получаютъ и различную величину удлиненія l . Строгая пропорціональность между величинами нагрузки и удлиненія сохраняется только до тѣхъ поръ, пока удлиненіе l будетъ *упругимъ*, или *исчезающимъ* по удаленіи нагрузки. Когда же величина нагрузки будетъ такова, что отъ дѣйствія ея будетъ получаться удлиненіе, состоящее изъ двухъ частей — *упругой* и *остающейся*, тогда полныя величины удлиненій начинаютъ быстро возрастать, и въ случаѣ вытягиванія металлическаго бруска деформациі возрастаютъ быстрѣе нежели нагрузки.

6. Одинаково нагружая призматическіе бруски, имѣющіе различную величину площади поперечнаго сѣченія, получаютъ для нихъ различныя удлиненія; *величины ихъ обратно пропорціональны площадямъ сѣченій*; при большой разницѣ въ формѣ и размѣрахъ площади сѣченія это свойство будетъ выполняться лишь приближенно.

Пусть обозначаютъ:

P — нагрузку въ кг.

F — площадь поперечнаго сѣченія въ кв. мм.,

l — всю длину тѣла въ мм.,

l — удлиненіе тѣла на длинѣ l въ мм.

Тогда соединеніе опытныхъ данныхъ, выражаемыхъ пунктами 4, 5 и 6, приведетъ насъ къ формулѣ:

$$l = k \cdot \frac{l \cdot P}{F} \dots \dots \dots 2,$$

гдѣ k будетъ нѣкоторый коэф. пропорціональности, зависящій отъ рода матеріала, изъ котораго сдѣлано тѣло.

7. **Уравненіе напряженій.** Приведенныя выше данныя позволяютъ сдѣлать предположеніе, что нагрузка P равномерно распредѣляется между всѣми элементами площади основаній A и B , и что явленіе вытягиванія происходитъ так. обр., какъ будто-бы все тѣло состояло изъ тонкихъ однообразныхъ призматическихъ нитей или волоконъ, одинаковымъ образомъ нагруженныхъ, одинаковымъ образомъ деформирующихся и одинаковымъ образомъ сопротивляющихся деформированію.

Если раздѣлимъ нагрузку P на величину площади основанія F , то получимъ напряженіе H , съ которымъ дѣйствуетъ нагрузка на основанія призмы:

$$\frac{P}{F} = H \dots \dots \dots 3.$$

Напряженіе это, очевидно, надо назвать *нормальнымъ*, т. к. перемѣщенія точекъ, лежащихъ въ плоскости основаній, происходятъ по направленію оси тѣла, т. е. по направленію, перпендикулярному къ основаніямъ призмы.

Найдемъ теперь *ур-іе напряженій* для произвольной точки тѣла. Послѣ того какъ деформація тѣла совершилась, и равновѣсіе между нагрузкою и внутренними силами установилось, представимъ себѣ призму какъ бы разсѣченной произвольною поперечною плоскостью C на двѣ части AC^* и BC , не нарушая ихъ равновѣсія. Чтобы достигнуть послѣдняго, разсматривая, напр., равновѣсіе части BC , мы должны будемъ въ плоскости C представить себѣ каждый изъ элементовъ площади нагруженнымъ совершенно такъ же, какъ и въ плоскости B , только въ обратномъ направленіи, т. е. совокупность всѣхъ внутреннихъ элементарныхъ силъ, дѣйствующихъ въ плоскости C , должна быть равна P , распределеніе ея между всѣми элементами площади должно быть равномернымъ, а направленіе дѣйствія внутреннихъ силъ д. б. таково, чтобы онѣ могли противодѣйствовать перемѣщенію части BC . Слѣд., и въ плоскости C распределеніе внутренней силы P между элементами площади будетъ выражаться тѣмъ-же *ур-іемъ 3*. Но т. к. плоскость C была выбрана произвольно, поэтому и во всѣхъ другихъ поперечныхъ сѣченіяхъ тѣла нормальное напряженіе будетъ выражаться также формулою *3*, т. е. оно будетъ во всѣхъ точкахъ тѣла одинаково.

Отсюда вытекають слѣдствія:

1. Горизонтальною нагрузкою растягиваемое призматическое тѣло опаснаго сѣченія не имѣетъ, или иначе, *всѣ сѣченія его равноопасны*.

2. *Ур-іе нормальныхъ напряженій* такого тѣла получается въ видѣ *ф-лы 3*, т. е. дѣля нагрузку на площадь поперечнаго сѣченія и приравнивая частное напряженію матеріала.

Разсѣчемъ теперь наше тѣло наклонной плоскостью D (фиг. 1), дѣляющей съ осью бруса уголъ β , и разсмотримъ равновѣсіе части BD . Вынесемъ плоскость D на отдѣльный чертежъ (фиг. 2). Пучекъ нагрузки p , дѣйствующей въ плоскости B , вызоветъ на плоскости D существованіе такого же пучка внутреннихъ силъ, только въ обратномъ направленіи. Здѣсь онъ м. б. разложенъ на 2 новыхъ пучка q и r , гдѣ

$$q = p \cdot \sin \beta; \quad r = p \cdot \cos \beta.$$

Пучекъ q вызываетъ нормальное напряженіе на поверхности mn , а пучекъ r — тангенціальное напряженіе. Если пучекъ p передается въ плоскости поперечнаго сѣченія на площадь $mk = f$, то слагающіе пучки q и r будутъ передаваться на величину площади mn (фиг. 2), гдѣ

$$mn = f : \sin \beta.$$

Если назовемъ нормальное напряженіе отъ пучка p въ поперечной плоскости чрезъ H , нормальное напряженіе отъ пучка q въ наклонной плоскости — чрезъ h и тангенціальное напряженіе отъ пучка r въ наклонной плоскости — чрезъ t , тогда будемъ имѣть:

$$H = \frac{P}{F} = \frac{p}{f}$$

$$h = q : \frac{f}{\sin \beta} = H \cdot \sin^2 \beta \dots \dots \dots 4.$$

$$t = r : \frac{f}{\sin \beta} = \frac{H}{2} \cdot \sin 2 \beta \dots \dots \dots 5.$$

Ф-ла 4 показываетъ, что нормальное напряженіе для элементовъ плоскости, наклоненной къ поперечному сѣченію, будетъ всегда менѣе, чѣмъ въ самомъ поперечномъ сѣченіи, поэтому наиболѣе напряженными и опасными будутъ поперечныя сѣченія тѣла, а не наклонныя.

Ф-ла 5 показываетъ, что тангенціальныя напряженія въ наклонныхъ плоскостяхъ всегда менѣе нормальнаго напряженія въ поперечномъ сѣченіи, и что въ самомъ невыгодномъ случаѣ, когда

$$\beta = 45^\circ \dots \dots \dots \max t = \frac{H}{2} \dots \dots \dots 6.$$

8. **Разсчетное ур-іе.** Изъ предыдущаго видно, что *max* нормальныхъ напряженій имѣетъ мѣсто въ поперечныхъ сѣченіяхъ тѣла (во всѣхъ въ одно и то же время), а *max* тангенціального напряженія (см. ф-лу 6) получается въ плоскостяхъ, дѣлающихъ съ направлениемъ дѣйствія нагрузки уголъ въ 45°. Чтобы тѣло было достаточно крѣпко, необходимо чтобы оба эти *max*'ныя напряженія не превосходили допускаемой величины. Для металловъ и дерева оказывается достаточно, если такое условіе будетъ удовлетворено только относительно нормальныхъ напряженій, тогда относительно тангенціальныхъ напряженій оно само собою удовлетворится.

Назовемъ допускаемую величину нормальнаго напряженія при вытягиваніи горизонтальнаго бруса чрезъ *Z* и замѣнимъ этой величиной напряженіе *H* въ ур-іи напряженія, тогда мы получимъ *разсчетное ур-іе* въ слѣдующемъ видѣ:

$$Z = \text{или болѣе } \frac{P}{F} \dots \dots \dots 7.$$

Табл. 1. Данныя для сравненія нагрузокъ

Килограммы.	Метрическія	РУССКІЕ.		АНГЛІЙСКІЕ.	
	тонны	Фунты	Пуды.	Фунты.	Тонны.
1	0,001	2,44190	0,06105	2,20461	0,00098
1000	1	2441,90	61,0475	2204,61	0,98420
0,40952	0,00041	1	0,025	0,90283	0,00040
16,3808	0,01638	40	1	36,1130	0,01612
0,45360	0,000454	1,10763	0,02769	1	0,000446
1016,06	1,01606	2481,09	62,0275	2240	1

Табл. 2. Данные для сравнения площадей.

Мг.	К В А Д Р А Т Н Ы Е.				
	Сантим.	Дм	Фут.	Саж.	Арш.
1	10000	1550,06	10,7643	0,21968	1,97712
0,0001	1	0,15501	0,00108	0,000022	0,000198
0,00065	6,45137	1	0,00694	0,00014	0,00128
0,09290	928,994	144	1	0,02041	0,18367
0,55210	45521	7056	49	1	9
0,50579	5057,9	784	5,44444	0,11111	1

Въ такомъ видѣ эта формула 7 опредѣляетъ величину нормальнаго напряженія въ тѣлѣ и показываетъ, что оно м. б. или равно, или меньше допускаемаго напряженія Z .

Величина *безопасной площади* поперечнаго сѣченія тѣла будетъ опредѣляться такъ:

$$F = \text{или болѣе } \frac{P}{Z} : \dots \dots \dots 7,а.$$

По этой ф-лѣ будетъ опредѣляться площадь сѣченія рассчитываемаго, т. е. строящагося тѣла.

Величина *безопасной нагрузки*, которую можно передать на тѣло данныхъ размѣровъ, опредѣлится изъ ф-лы:

$$P = \text{или менѣе } Z \cdot F \dots \dots \dots 7,б.$$

По этимъ ф-ламъ ведется повѣрочный расчетъ тѣла существующаго и расчетъ тѣла строящагося. Чтобы производить такого рода расчеты, необходимо знать, въ какихъ единицахъ мѣры выражается каждая изъ этихъ величинъ.

Табл. 3. Данные для сравненія напряженій матеріала.

Килограммы на кв. мм.	Пуд. на кв. дм.	АНГЛІЙСКІЕ.		Атмосферы =760 мм. ртутн. столба.
		Ф у н т ы.	Т о н н ы.	
		На квадратный дюймъ.		
1	39,384	1422,26	0,635	96,778
0,25391	1	36,1130	0,01612	2,45749
0,000703	0,02769	1	0,00045	0,06805
1,57494	62,0275	2240	1	166,042
103,05	0,40586	14,657	0,00654	1

Наибольше просто и скоро подобнаго рода расчеты производятся въ метрической системѣ, когда нагрузка P выражается въ *кг.*, а площадь F — въ кв. *мм.*, тогда напряженіе Z будетъ выражено *въ кг. на кв. мм.*

Въ Англіи нагрузку принято выражать въ англ. фунтахъ (*lbs*) и тоннахъ (*tn*), а площадь — въ кв. *дм.*, тогда напряженіе выразится или *въ lbs. на кв. дм.*, или *въ tn. на кв. дм.*

Въ Россіи нагрузку выражаютъ въ *пуд.*, площадь — въ кв. *дм.*, тогда напряженіе выразится *въ пуд. на кв. дм.*

Данныя для перевода нагрузокъ, площадей и напряженій изъ однихъ мѣръ въ другія приведены въ таблицахъ 1, 2 и 3-й.

Для быстрого соображенія и грубыхъ подсчетовъ можно довольствоваться такими данными:

1 кг. на кв. мм. соотвѣтствуетъ приблизительно 40 пуд. на кв. дм.

9. Величины допуснаемыхъ напряженій. Чтобы производить расчеты по ϕ -ламъ 7,а,б, надо имѣть подъ руками величины допускаемыхъ напряженій Z для различныхъ матеріаловъ и разныхъ условий передачи нагрузки. Въ нижеслѣдующемъ приведены величины Z въ кг. на кв. мм. для случая, когда измѣняется величина нагрузки и когда мѣняется и величина ея и знакъ.

Т а б л и ц а 4-я.

Названіе матеріаловъ.	Величины Z въ кг. на кв. мм., когда мѣняется у нагрузки	
	величина	величина и знакъ
Чугунъ	2—2,5	1
Желѣзо.	6—7,5	3
Желѣзная проволока. . .	8—10	—
Сталь	9—10	4,5—5
Стальная проволока . . .	30—50	—
Красная мѣдь	7—9	—
Фосфористая бронза. . . .	5—6	2,5—3
Пушечная бронза	2—2,5	1
Кожанный ремень	0,2—0,28	—
Пеньковый канатъ.	1	—
Дубъ, сосна	1—1,25	0,5—0,6
Ель	0,7	—

Практическое рѣшеніе вопроса о крѣпости частей машинъ и оруженій приводитъ большею частію къ разрѣшенію ϕ -ль 7, 7а, 7б по знаку неравенства.

Степень допускаемой точности вычислений может быть охарактеризована следующими данными:

- 1) Напряжение, выражаемое в кг. на кв. мм., вычитывается, кончая 2-м десятичным знаком.
- 2) Нагрузка в кг. вычитывается с 1 десятичным знаком.
- 3) Размеры поперечного сечения даются в целых мм. (или целым числом шестнадцатых долей дюйма).

10. Задачи. № 1. Основной квадратный брус (фиг. 3) заделан в стѣну, на свободном концѣ къ нему приложена нагрузка $P=10.000$ кг. Определить размеры бруса и его вѣсъ, предполагая длину его $l=4$ мт.?

Случалось слышать отвѣтъ, что такой брусъ будетъ менѣе опасенъ, чѣмъ брусъ, работающій въ условіяхъ фиг. 1, п. ч. тамъ нагрузка дѣйствуетъ на оба конца бруса, а здѣсь—на одинъ конецъ. Если бы съ этимъ согласиться, нужно было бы утверждать, что на фиг. 1 часть BC менѣе опасна, чѣмъ весь брусъ AB .

Примемъ $Z=1$ кг. на 1 кв. мм., тогда по ф-лѣ 7а получимъ

$$F=10000 \text{ кв. мм.} = x^2,$$

откуда сторона квадрата

$$x=100 \text{ мм.}$$

Объемъ бруса будетъ

$$0,1 \cdot 0,1 \cdot 4 = 0,04 \text{ куб. мт.}$$

Принимая уд. вѣсъ сосны 0,6, вѣсъ 1 куб. мт. ея, найдемъ равнымъ 600 кг., а вѣсъ нашего бруса—24 кг.

№ 2. Заменить предыдущій брусъ желѣзнымъ, сдѣланнымъ изъ круглаго прокатнаго желѣза, и определить его вѣсъ.

Примемъ $Z=7,5$ кг. на кв. мм., тогда

$$F = \frac{10000}{7,5} = 1333,3 \text{ кв. мм.}$$

$$d = 41,2 \text{ мм.} = 1\frac{5}{8} \text{ дм.}$$

По таблицамъ прокатнаго завода погонный футъ стержня въ $1\frac{5}{8}$ дм. вѣситъ 7,77 фунта, поэтому стержень въ 4 мт. длины будетъ вѣсить

$$\frac{4 \cdot 3,28 \cdot 7,77}{2,44} = \text{ок. } 41 \text{ кг.}$$

№ 3. Цѣпь *Галля*, изображенная на фиг. 4 въ натур. вел., предназначается для груза въ 1000 кг., и погонный мт ея вѣситъ 3,8 кг. Съ какимъ напряженіемъ цѣпь будетъ работать?

Въ сѣченіи kl высота звена $= 17$ мм., а въ сѣченіи mn , за вычетомъ 10 мм. на отверстие, высота живого сѣченія звена будетъ $26 - 10$, или 16 мм. Такимъ образомъ опаснымъ сѣченіемъ цѣпи на растяженіе надо считать сѣченіе mn . Въ этомъ сѣченіи работаютъ 4 звена съ толщиной по 2 мм. каждое. Поэтому площадь расчетнаго сѣченія цѣпи будетъ:

$$F = (26 - 10) \cdot 4 \cdot 2 = 128 \text{ кв. мм.}$$

Рабочее напряженіе будетъ

$$H = \frac{1000}{128} = 7,81 \text{ кг. на кв. мм.,}$$

или ок. 310 пуд. на кв. дм.

№ 4. Желѣзный брусъ ab (фиг. 5) посредствомъ системы веревочныхъ тягъ передаетъ воспринимаемое имъ давленіе на узлы e и f .

Длины

$$ac = ce = cd = db = df = 1 \text{ мт.},$$

$$\text{длины } ab = ef = 2 \text{ мт.}$$

Во всѣхъ узлахъ a, b, c, d, e, f —шарнирные соединенія. Всѣ веревочные элементы ac, bd, cd, df , и ce имѣютъ діам. въ 1 дм. Определить величину безопасной нагрузки, которую можно прикладывать къ брусу ab и передавать на систему веревочныхъ тягъ?

Провода dh перпендикулярно къ ab , найдемъ $bh = 0,5$ мт. Тогда

$$\cos \beta = \frac{bh}{bd} = 0,5,$$

т. е. уголь dbh , а также и углы при точкахъ a, e и f будутъ по 60° , а при точкахъ c и d по 120° .

Называемъ искомую безопасную нагрузку чрезъ $2P$, тогда на узелъ a будетъ передаваться P . Разложимъ ее при узлѣ a на двѣ составляющія Q и R , тогда

$$Q = \frac{P}{\sin 60^\circ} = \frac{P}{0,866} = 1,155 \cdot P$$

Переноса нагрузку Q изъ узла a въ узелъ c и раскладывая ее здѣсь на двѣ составляющія—вдоль cd и ce , найдемъ, что обѣ онѣ будутъ одинаковы и равны Q , т. е. всѣ 3 веревочныхъ элемента при узлѣ c будутъ одинаково натянуты; то же самое происходитъ и при узлѣ d .

Так. обр. расчетная сила для cadaго изъ веревочныхъ элементовъ будетъ $1,155 P$.

Если діам. веревки $d = 1$ дм. $= 25,4$ мм., то площадь круга съ такимъ діам. будетъ 506,7 кв. мм. Истинную величину рабочей площади веревки принимаемъ въ $\frac{3}{4}$ отъ теоретической, т. е. $506,7 \cdot 0,75 = 380$ кв. мм.

Примемъ $Z = 1$ кг. на кв. мм., тогда расчетное ур-е веревочнаго элемента будетъ

$$1,155. P = F. Z = 380,$$

$$P = 0,866 . 380 = 329 \text{ кг.},$$

а потому безопасная нагрузка на брусъ ab можетъ быть принята равной 2.329, или 658 кг.

№ 5. Если въ предыдущемъ примѣрѣ веревка cd будетъ удалена, на сколько измѣнится безопасная нагрузка?

Измѣненіе нагрузки, при тѣхъ же размѣрахъ веревки, послѣдуетъ, очевидно, въ отношеніи Q къ P (фиг. 5), т. е. нагрузка можетъ быть повышена тогда на 15,5%.

№ 6. Выяснить относительное достоинство наиболѣе употребительныхъ строительныхъ матеріаловъ, принимая во вниманіе не только ихъ крѣпость, но также и вѣсъ употребленнаго въ дѣло матеріала?

Для этого возьмемъ отношеніе безопасной нагрузки прочно построеннаго тѣла къ вѣсу на единицѣ его длины и назовемъ это отношеніе *приведенной безопасной нагрузкой*, или *относительной б. н.*

Назовемъ вѣсъ единицы объема матеріала чрезъ γ , тогда приведенная безопасная нагрузка выразится такъ:

$$A = \frac{F. Z}{F. l. \gamma}$$

Внесемъ въ это выраженіе вмѣсто γ — вѣсъ 1 куб. мм. матеріала; тогда, полагая, что Z выражено въ кг. на кв. мм. и удѣльный вѣсъ матеріала есть δ , получимъ:

$$A = \frac{Z. 1000000}{\delta. 1000} = 1000. \frac{Z}{\delta} 8.$$

Сравнительныя данныя можно свести въ слѣдующую таблицу:

Т а б л и ц а 5-я.

Названія матеріаловъ.	Z	δ	A	Относительныя величины Z .
Желѣзо сварочное и литое .	7,55	7,55	1000	15
Сталь и желѣзная проволока.	10	7,8	1282	20
Стальная проволока	50	7,8	6410	100
Чугунъ	2,5	7,2	347	5
Сосна	1,2	0,6	2000	24
Дубъ	1,1	0,8	1375	22
Ель	0,7	0,7	1000	14

Данныя этой таблицы показываютъ, что дерево, какъ строитель-

ный материалъ, по величинѣ своей относительной сопротивляемости не уступаетъ не только желѣзу, но даже и стали.

При сужденіи объ этихъ цифрахъ нужно имѣть еще въ виду, что допускаемыя напряженія для металловъ взяты при степени надежности $\phi =$ отъ 5 до 6, а для древесныхъ породъ при $\phi =$ отъ 10 до 12.

№ 7. Подобнымъ же образомъ, какъ въ предыдущей задачѣ, сравнить между собою крѣпость и вѣсъ желѣзной цѣпи и канатовъ—пеньковаго, желѣзнаго и стального.

По таблицамъ *Trautwine (The civil engineer's pocket-book, 1893, pg. 413—414)* подберемъ размѣры канатовъ и цѣпей для разрушающаго груза въ 66000 lbs.

Канаты и цѣпи.	Диам. каната или звена въ дюйм.	Вѣсъ погонн. фута въ lbs.
Стальной канатъ на 66000 lbs. . .	1	1,58
Желѣзный " " . . .	1 ³ / ₈	3,00
Пеньковый " на 68544 " . . .	3 ¹³ / ₁₆	4,75
Желѣзная цѣпь на 73114 " . . .	1 ¹ / ₄	16,00
" " на 59226 " . . .	1 ¹ / ₈	12,50

Цифры послѣдней колонны показываютъ намъ, насколько нерационально употребляется желѣзо, какъ материалъ, при выдѣлкѣ изъ него издѣлія въ видѣ цѣпи.

11. Коэффициентъ упругости матеріаловъ при растяженіи. Пусть имѣемъ два бруска *A* и *B* (фиг. 6) изъ одного и того же матеріала, но съ различной площадью сѣченія. При измѣреніи удлиненія можно ихъ нагружать одною или различными силами, и самую деформацію можно измѣрять на одной и той же длинѣ или на разной.

a. Нагружая бруски *A* и *B* одинаковой нагрузкой P_1 и мѣряя удлиненіе на одной и той же длинѣ l_1 , положимъ, что брусокъ *A* даетъ удлиненіе λ_1 , а брусокъ *B* — λ_2 ; тогда эти деформаціи будутъ обратно пропорціональны площадямъ сѣченій брусковъ, т. е.

$$\lambda_1 : \lambda_2 = F_2 : F_1.$$

б. Нагружая брусокъ *B* нагрузкой P_1 , мы имѣли у него удлиненіе λ_2 , а нагрузивъ его силою P_2 , вызовемъ у него удлиненіе λ_3 . Обѣ эти величины будутъ прямо пропорціональны нагрузкамъ, т. е.

$$\lambda_2 : \lambda_3 = P_1 : P_2.$$

в. Когда брусокъ *B* былъ нагруженъ нагрузкою P_2 , у него можно было измѣрить удлиненіе на всей его длинѣ l_1 или только на части ея l_2 ; въ 1-мъ случаѣ удлиненіе было λ_3 , а во 2-мъ оно будетъ λ_4 ; оба они будутъ прямо пропорціональны длинамъ бруска, т. е.

$$\lambda_3 : \lambda_4 = l_1 : l_2.$$

Перемножая 3 послѣднія равенства, мы получимъ отношеніе λ_1 къ λ_4 , т. е. отношеніе деформаций двухъ одинаковаго матеріала брусковъ, у которыхъ всѣ остальные величины различны — и длина, и площадь сѣченія, и нагрузка:

$$\frac{\lambda_1}{\lambda_4} = \frac{F_2}{F_1} \cdot \frac{P_1}{P_2} \cdot \frac{l_1}{l_2}, \text{ или}$$

$$\frac{P_1 \cdot l_1}{F_1 \cdot \lambda_1} = \frac{P_2 \cdot l_2}{F_2 \cdot \lambda_4} = \text{const.} = E \quad 9.$$

Формулы 9 и 2, очевидно, тождественны, а величины k и E — обратныя одна другой.

Отношеніе $\lambda : l = i$, т. е. отношеніе удлиненія бруска къ первоначальной его длинѣ называется *вытяжкой* или *относительнымъ удлинениемъ*. Если, напр., $i = 0,135$, это значить, что брусокъ отъ дѣйствія нѣкоторой нагрузки далъ удлиненіе, составляющее 13,5% отъ его первоначальной длины.

Внося въ ф-лы 2 и 9 значенія вытяжки и напряженія (ф-ла 3), получимъ

$$\left. \begin{aligned} E &= \frac{H}{i} = 1 : k \\ k &= \frac{i}{H} = 1 : E \end{aligned} \right\} 10.$$

Величина E наз. *коэффициентомъ упругости* или *модулемъ упругости*. Слѣдовательно, *коэф. упругости матеріала есть отношеніе напряженія матеріала къ (его) вытяжкѣ*.

Величина k наз. *коэф. растяженія* и представляетъ собою отношеніе вытяжки къ напряженію.

Необходимо замѣтить себѣ разъ на всегда, что равенство 10 явилось результатомъ производства испытаній a , b и v въ такой обстановкѣ, когда всѣ деформации λ_1 , λ_2 , λ_3 и λ_4 у брусковъ были упругими и ни одна изъ прикладываемыхъ къ тѣлу нагрузокъ не вызвала у него остающихся удлиненій.

Соотношеніе, выражаемое рав. 10, столь естественно, что необходимость существованія его была предугадана и высказана Гуконъ (*R. Hooke*) еще въ 1678 г., поэтому рав. 10 и называютъ иногда *закономъ Гука*.

Графическое представленіе этого закона можно получить, вычерчивая *) на основаніи результатовъ опыта такъ наз. *диаграмму удлиненій* (фиг. 7). Выбравъ прямоугольныя оси координатъ, откладываютъ по оси абсциссъ величины вытяжки, и по оси ординатъ — соответственныя величины напряженій. Тогда кривая удлиненій принимаетъ видъ

*) Разрывныя машины, посредствомъ которыхъ дѣлаются испытанія для выясненія зависимости между нагрузкой и деформацией, нерѣдко снабжаются самопишущимъ приборомъ, кот. автоматически чертитъ такую диаграмму.

кривой *Отн*. Часть *От* этой кривой прямолинейна; *рт* представляет наивысшее напряжение, еще не вызывающее постоянных удлинений, и точка *t* отмѣчает предѣлъ пропорциональности между напряжениемъ и вытяжкой. Прежде употребляли въ этомъ случаѣ неправильный терминъ, говоря, что въ точкѣ *t* тѣло достигаетъ предѣла упругости.

На диаграммѣ удлиненій (фиг. 7) величина коэф. упругости является тангенсомъ угла *тОі*, который дѣлаетъ прямолинейная часть кривой удлиненій съ осью удлиненій.

Наибольшій практическій интересъ изъ всей кривой удлиненій представляетъ именно прямолинейная ея часть *От* *). Ни одно изъ рабочихъ напряженій матеріала въ частяхъ машинъ и сооружений никогда не должно превосходить наивысшей или предѣльной ординаты *рт* прямолинейной части этой диаграммы.

Если въ ф-лѣ 10 сдѣлаемъ $i=1$, т. е. $l=l$, тогда $E=H$, т. е. если бы удлиненіе бруса возможно было получить равнымъ первоначальной длинѣ бруса, тогда въ поперечномъ сѣченіи его возникло бы напряжение матеріала, равное коэф. упругости; но ни одинъ изъ существующихъ матеріаловъ не позволяетъ вызвать столь большого удлиненія.

Ф-ла 10 показываетъ, что коэф. упругости выражается въ тѣхъ же самыхъ единицахъ мѣры, какъ и напряжение матеріала.

12. Величины коэф. упругости E (въ кг. на кв. мм.) для различныхъ матеріаловъ въ круглыхъ цифрахъ и величины предѣльнаго напряженія H_0 (въ кг. на кв. мм.), еще не вызывающаго остающихся удлиненій, приводятся въ таблицѣ 6-й.

Т а б л и ц а 6-я.

М а т е р і а л ы.	В Е Л И Ч И Н Ы.	
	E	H_0
	ВЪ КГ. НА КВ. ММ.	
Желѣзо	20000	13—17
Литое желѣзо (<i>Flusseisen</i>)	21500	20—24
Литая сталь	22000	25—50
Пружинная сталь незакаленная	22000	40
" " закаленная	22000	75
Стальные отливки	21500	20
Чугунъ отъ 7500 до	10500	нѣтъ
Красная мѣдь въ листахъ	11000	15
" " " проволокъ	12000	15

*) Чугунъ представляетъ исключеніе въ этомъ отношеніи. На его диаграммѣ удлиненій прямолинейная часть ея отсутствуетъ вовсе, и величина E у него уменьшается по мѣрѣ увеличенія напряженія.

М а т е р і а л ы.	В Е Л И Ч И Н ы.	
	<i>E</i>	<i>H₀</i>
	въ кг. на кв. мм.	
Пушечная бронза	11000	3—9
Дельта-металль	10000	18—25
Свинець (въ трубахъ)	700	1
Латунная проволока	9900	13
Фосфористая бронза	9500	15
Кожаный ремень новый	12,5	—
" " работавшій	22,5	1,5
Дерево вдоль волоконъ отъ 980 до .	1200	—
Алюминіева бронза <i>Al</i> —10%, <i>Cu</i> —90%	—	18—27
" " " 7 ¹ / ₂ % " 92 ¹ / ₂ %	—	14,5
Марганцовистая бронза	—	22

Въ таблицѣ приведены среднія округленныя цифры для величины коэф. упругости, которая вообще непостоянна и зависитъ отъ весьма многихъ причинъ:

а. Чѣмъ больше разница въ размѣрахъ сѣченій одного и того же вида и чѣмъ болѣе разница въ очертаніи сѣченій, тѣмъ болѣе можно наблюдать и разницу въ величинахъ *E*. При поставкѣ круглаго желѣза на стропильныя затяжки для вокзала въ Будапештѣ была найдена разница въ величинѣ *E* до 29% въ брускахъ разнаго діаметра. Наибольшая толщина брусковъ была 103 *m/m*; разрѣзая ихъ на отдѣльные элементы и подвергая ихъ испытанію, обнаружили, что удѣл. вѣсъ у этихъ элементовъ измѣнялся въ предѣлахъ отъ 7,75 до 7,806, разрывающее напряженіе — отъ 32,23 до 38,88 и коэф. упругости — отъ 17700 до 20800. Вообще съ повышеніемъ уд. вѣса увеличивается также и величина *E*.

б. При отжиганіи металла величина коэф. упругости уменьшается.

в. При увеличеніи *t*-ры величина коэф. упруг. тоже уменьшается.

При <i>t</i> = 20° <i>C</i> для желѣза	<i>E</i> = 20700.
" 200° " 	= 19500.
" 300° " 	= 18800.
" 400° " 	= 17900.
" 500° " 	= 15100.
" 600° " 	= 13400.

13. Задачи. № 8. Сравнить удлиненіе брусковъ въ 1 *mt* длины, приготовленныхъ изъ различныхъ матеріаловъ съ обычно допускаемыми въ нихъ величинами напряженій.

Общая ф-ла для опредѣленія удлиненія м. б. получена изъ ф-лы 2 или 9:

$$\lambda = \frac{P}{F} \cdot \frac{l}{E} = \frac{Z \cdot l}{E} \dots \dots \dots 11.$$

Для желѣза (см. тб. 5 и 6):

$$\lambda = \frac{7,5 \cdot 1000}{20000} = 0,375 \text{ м/м.}$$

Для стали

$$\lambda = \frac{10}{22} = 0,455 \text{ м/м.}$$

Для стальной проволоки

$$\lambda = \frac{50}{22} = 2,275 \text{ м/м.}$$

Для чугуна

$$\lambda = \frac{2,5 \cdot 1000}{10000} = 0,25 \text{ м/м.}$$

Для дубоваго бруса

$$\lambda = \frac{1 \cdot 1000}{1000} = 1 \text{ м/м.}$$

№ 9. Опреѣлить приращеніе напряженія, вызываемое въ желѣзномъ и чугунномъ брускѣ постоянной длины при пониженіи температуры ихъ на $1^{\circ} C$?

Примемъ коэф. линейнаго расширенія желѣза при измѣненіи t -ры на $1^{\circ} C$ равнымъ

$$\frac{\lambda}{l} = 0,0000123.$$

Тогда приращеніе напряженія при уменьшеніи t -ры на $1^{\circ} C$ по ф-лѣ 11 выразится такъ:

$$Z = E \cdot \frac{\lambda}{l} = 20000 \cdot 0,0000123$$

$$Z = 0,246 \text{ кг. на кв. мм.}$$

При измѣненіи t -ры отъ $(+ 30^{\circ})$ до $(- 20^{\circ})$, т. е. на $50^{\circ} C$, что вполне возможно въ нашемъ климатѣ, приращеніе напряженія получимъ равнымъ

$$0,246 \cdot 50 = 12,3 \text{ кг. на кв. мм.}$$

Для чугуна приращеніе напряженія на $1^{\circ} C$ получимъ равнымъ

$$10000 \cdot 0,0000108, \text{ или}$$

$$0,108 \text{ кг. на кв. мм.}$$

Этотъ примѣръ съ одной стороны показываетъ, насколько опасно и нераціонально дѣлать глухія скрѣпленія концовъ шпренгельныхъ бабокъ, стропиль съ затяжками *) и т. п. со стѣнами зданій.

Съ другой же стороны въ этомъ примѣрѣ мы находимъ указаніе средства для исправленія разбѣжавшихся стѣнъ зданія, для крѣпкаго стягиванія различныхъ частей машинъ посредствомъ надѣванія на нихъ нагрѣтыхъ предварительно анкерныхъ колець и т. п.

12. Повтореніе вытяжки. Удлиненіе отъ небольшой нагрузки получается почти сразу и представляетъ собою обыкновенно упругое, исчезающее удлиненіе; исключеніе въ этомъ случаѣ представляютъ только непросушенное дерево и литые металлы, которые даже и отъ небольшихъ нагрузокъ могутъ уже давать небольшія остающіяся удлиненія. Для кованыхъ и тянутыхъ полосъ, полученныхъ горячею прокаткою или холоднымъ волоченіемъ, почти мгновенное полученіе удлиненія имѣетъ мѣсто и при большихъ сравнительно нагрузкахъ, доходящихъ до $\frac{1}{3}$ отъ разрушающей.

Для практики имѣетъ большое значеніе вопросъ о повтореніи процесса вытяжки и о вліяніи его на свойства матеріала. Систематическое изученіе этого вопроса было начато *Герстнеромъ* и продолжено затѣмъ и многими другими экспериментаторами. Результаты этихъ изслѣдованій можно охарактеризовать такъ:

1. *Всякая нагрузка вызываетъ въ брускъ всегда одно и то же упругое удлиненіе*, будетъ-ли приложена эта нагрузка къ такому бруску, который еще вовсе не подвергался растяженію, или же къ бруску, который уже былъ растягиваемъ и получилъ уже значительныя остающіяся удлиненія. Это свойство можно было наблюдать въ проволокахъ, когда нагрузка доходила даже до 0,8 отъ разрушающей и было уже получено отъ нея остающееся удлиненіе въ 5 разъ болѣе упругаго.

2. Когда брусокъ былъ вытянутъ нагрузкою вполне, т. е. у него получилась уже вся величина и остающагося удлиненія, тогда при дѣйствіи нагрузокъ, меньшихъ наибольшей предыдущей, вызываются ими только одни упругія удлиненія, а на величину имѣющагося остающагося удлиненія такія нагрузки вліянія уже не оказываютъ.

При опытахъ проф. *В. Л. Кирпичева* надъ брусками изъ пушечной стали Пермскаго казен. зав. нагрузка доводилась до $\frac{12}{13}$ отъ разрушающей, но всѣ меньшія чѣмъ эта нагрузки давали всетаки одни только упругія удлиненія соотвѣтственной величины.

Так. обр. нагрузкою, до которой сохраняется еще пропорціональность между нею и упругимъ удлиненіемъ, является та наивысшая нагрузка, дѣйствіе которой уже испытывалъ на себѣ брусокъ. Если бы при 1-мъ нагруженіи бруска нагрузка была доведена только до величины *Oq* (фиг. 7), вызвавшей удлиненіе *qs*, тогда при вторичномъ нагруженіи

*) Инж Шуховъ для стропильныхъ тягъ употребляетъ въ подобныхъ случаяхъ *упругія стяжки*, позволяющія измѣнять длину тягъ и регулирующія величину давленія, передаваемого тягъ.

пропорціональність между нагрузкою и упругимъ удлинениемъ сохранится въ предѣлахъ измѣненія нагрузки не только отъ нуля до On , но и отъ On до qO , т. е. новымъ предѣломъ пропорціональности будетъ уже qO и т. д.

Этимъ свойствомъ матеріаловъ пользуются въ практикѣ весьма часто. Когда не желаютъ при работѣ какой-либо части имѣть остающіяся удлиненія, передаютъ на нее нагрузку больше той, какую она будетъ выносить на себѣ въ работѣ, при этомъ будутъ вызваны и упругія, и остающіяся удлиненія, но затѣмъ въ работѣ будутъ проявляться уже только однѣ упругія деформации. Так. обр. предварительно вытягиваютъ, напр., передъ употреблениемъ въ дѣло широкіе приводные ремни, приводные и шахтные канаты; ту же цѣль имѣетъ такъ наз. *разстрѣливаніе* пушекъ, когда стѣнки ихъ работаютъ при давленіи, большемъ нормальнаго, и остающіяся деформации внутренняго канала будутъ вызваны уже ранѣе.

Существованіемъ предварительной вытяжки въ самомъ процессѣ обработки матеріала, очевидно, объясняется и то, почему у кованыхъ и прокатныхъ полосъ и проволокъ предѣлъ пропорціональности такъ высокъ, а у такихъ матеріаловъ, какъ литье, дерево, пускаемыхъ въ дѣло въ ихъ естественномъ видѣ, т. е. безъ предварительной вытяжки, остающіяся удлиненія получаютъ уже и при дѣйствіи слабыхъ нагрузокъ.

Искусственное повышение предѣла пропорціональности матеріала путемъ значительной предварительной вытяжки его, какъ оказывается изъ опытовъ, не только не уменьшаетъ разрушающаго матеріалъ напряженія, но даже увеличиваетъ его; но эта операція всегда дѣлаетъ матеріалъ въ дальнѣйшемъ менѣе податливымъ, менѣе тягучимъ, менѣе способнымъ выдерживать на себѣ внезапное прикладываніе къ тѣлу нагрузки и ударное ея дѣйствіе. Поэтому предварительное вытягиваніе въ тѣхъ случаяхъ, гдѣ оно нужно, надо производить въ такой только мѣрѣ, въ какой это необходимо, не злоупотребляя податливостью матеріала.

15. Сжатіе поперечнаго сѣченія при растяженіи. Выше было упомянуто о существованіи явленія сжатія поперечнаго сѣченія призмы при ея вытягиваніи. Пока брусокъ получаетъ при вытягиваніи одни только упругія удлиненія, всѣ поперечныя сѣченія его сокращаются въ одинаковой мѣрѣ и въ общемъ весьма незначительно. Подобно тому, какъ мы высчитывали *вытяжку* продольнаго ребра призмы, можно опредѣлить также и *усадку* поперечнаго ея ребра. Пусть будутъ:

l —удлиненіе продольнаго ребра призмы, растянутаго вдоль ея оси,

l —длина ребра, къ которой относится удлиненіе,

$i = l : l$ —*вытяжка* продольнаго ребра,

l_1 —укороченіе поперечнаго ребра призмы,

l_1 —длина поперечнаго ребра,

$i_1 = l_1 : l_1$ —*усадка* поперечнаго ребра.

Зависимость между упругой вытяжкой и усадкой для металлов была найдена опытным путем:

$$i_1 = i : m \left. \vphantom{i_1 = i : m} \right\} \dots \dots \dots 12.$$

гдѣ $m = \text{отъ } \frac{10}{3} \text{ до } 4$

Посмотримъ теперь, какъ велика ошибка, которая вводится въ вычисленіе, взявши при опредѣленіи напряженія по ф-лѣ 3 полную первоначальную площадь сѣченія вмѣсто дѣйствительной. Эту ошибку можно измѣрять отношеніемъ разности площадей первоначальной F и послѣдующей F_1 къ первоначальной площади, т. е. величиной

$$b = \frac{F - F_1}{F} = 1 - \frac{F_1}{F} \dots \dots \dots 13.$$

Очевидно, что

$$F_1 = F (1 - i_1)^2, \text{ или}$$

$$\frac{F_1}{F} = \left(1 - \frac{i}{m}\right)^2 = \left(1 - \frac{Z}{m \cdot E}\right)^2$$

Т. е. отношеніе $Z : E$ представляетъ собою весьма малую правильную дробь, то квадратомъ этой величины въ слагаемомъ при единицѣ можно пренебречь; тогда, принявъ $m = 4$, найдемъ

$$\frac{F_1}{F} = 1 - \frac{2 \cdot Z}{4 E}, \text{ откуда}$$

$$b = \frac{Z}{2 E} \dots \dots \dots 13, a.$$

Для дерева эту величину получимъ равной (см. табл. 5 и 6).

$$b = \frac{1}{2 \cdot 1000} = \frac{1}{2000}$$

Для желѣза (табл. 5 и 6):

$$b = \frac{7,5}{2 \cdot 20000} = \frac{1}{5333}$$

и для чугуна (табл. 5 и 6):

$$b = \frac{2,5}{2 \cdot 10000} = \frac{1}{8000}$$

Эти величины указываютъ, что погрѣшность при вычисленіи напряженія будетъ совершенно ничтожна, и никакого практическаго значенія имѣть она не можетъ.

16. Механическая работа, необходимая для воспроизведения деформации тѣла. а) *Случай спокойной передачи нагрузки на тѣло.* Когда нагрузка P уже передана на призматическое тѣло, во всѣх сѣченіяхъ его существуетъ одинаковое напряженіе H , опредѣляемое ф-лой 3:

$$H = \frac{P}{F} \dots \dots \dots 3.$$

На длинѣ l брусъ при этомъ получаетъ удлиненіе λ , которое выражается ф-лой 11.

$$\lambda = \frac{P}{F} \cdot \frac{l}{E} \dots \dots \dots 11.$$

Но когда нагрузка только еще начинается передаваться на брусъ, въ его сѣченіяхъ напряженіе начинаетъ возрастать отъ нуля и доходить до H по мѣрѣ того, какъ совершается деформация. За весь періодъ получения тѣломъ удлиненія λ внѣшняя нагрузка совершитъ работу $P \cdot \lambda$, а силы упругости за тотъ же періодъ совершаютъ работу $\frac{F \cdot H}{2} \cdot \lambda$, п. ч. напряженіе въ это время возрастаетъ отъ нуля до H ,

и средняя его величина будетъ $\frac{H}{2}$. Найдемъ разность этихъ работъ внѣшнихъ и внутреннихъ силъ:

$$C = P \cdot \lambda - \frac{H \cdot F}{2} \cdot \lambda = \frac{P \cdot \lambda}{2} \dots \dots \dots 14.$$

Это выраженіе показываетъ, что будетъ еще существовать нѣкоторый избытокъ внѣшней работы въ то время, когда брусокъ уже получитъ удлиненіе λ . Свободный конецъ его будетъ перемѣщаться тогда съ нѣкоторою скоростью v , которая получится изъ ур-ія живыхъ силъ:

$$\frac{P}{g} \cdot \frac{v^2}{2} = \frac{P \cdot \lambda}{2}, \text{ откуда}$$

$$v = \sqrt{g \cdot \lambda}, \text{ или}$$

$$v = \sqrt{g \cdot \frac{P \cdot l}{F \cdot E}} \dots \dots \dots 15.$$

Брусъ, который въ концѣ вытяжки приобрѣлъ скорость v , находится подъ дѣйствіемъ избытка живой силы C , которая будетъ стремиться вызвать дальнѣйшее его удлиненіе на величину λ_1 , пока скорость перемѣщенія всѣхъ точекъ тѣла не сдѣлается равною нулю. Это добавочное удлиненіе бруса будетъ сопровождаться повышеніемъ въ немъ напряженія матеріала до величины H_1 . Мы допускаемъ при этомъ, что напряженіе H_1 все еще не вызываетъ остающихся удлинений, и что

при возрастании напряженія отъ H до H_1 все еще сохраняется пропорціональность между напряженіемъ и деформациею.

Так. обр. удлиненіе бруса будетъ теперь $l + l_1$, причемъ длина l_1 будетъ пройдена точкою приложенія нагрузки подѣйствіемъ избытка живой силы C при постепенномъ сокращеніи скорости отъ v до нуля. За все время измѣненія скорости сначала отъ 0 до v , а затѣмъ отъ v до 0, сила P совершаетъ работу $P \cdot (l + l_1)$, а напряженіе, возростаая отъ 0 до H_1 , совершитъ соотвѣтственную же работу, т. е.

$$P \cdot (l + l_1) = \frac{F \cdot H_1}{2} \cdot (l + l_1), \text{ откуда}$$

$$H_1 = 2 \cdot \frac{P}{F} = 2H \dots \dots \dots 16,$$

т. е. величина максимальнаго напряженія, вызываемаго въ поперечномъ сѣченіи тѣла во время спокойной передачи внешней нагрузки, **вдвое болѣе** того напряженія, съ которымъ тѣло будетъ работать, когда передача нагрузки уже совершится.

Очевидно, что къ тому же самому результату мы придемъ и графически (фиг. 8), строя діаграмму работъ постояннаго давленія $F \cdot H$, равнаго внешней нагрузкѣ, и діаграмму работъ перемѣнной силы упругости, измѣняющей свою величину пропорціонально удлинению и достигающей наибольшей своей величины H_1 . Чтобы площади обѣихъ діаграммъ были равновелики, для этого необходимо имѣть

$$l = l_1 \text{ и } H_1 = 2H \dots \dots \dots 16a.$$

Величина работы силы упругости при вытягиваніи бруса на длину l опредѣлялась ф-лой 14. Внесемъ въ нее значенія P и l изъ ф-лъ 3 и 11:

$$C = \frac{P \cdot l}{2} = \frac{P}{2} \cdot \frac{P \cdot l}{E \cdot F}, \text{ или}$$

$$C = (F \cdot H)^2 \cdot \frac{l}{2EF} = \frac{1}{2} \cdot \frac{H^2}{E} \cdot F \cdot l \dots \dots \dots 17.$$

Эта ф-ла показываетъ, что работа упругаго сопротивленія тѣла зависитъ отъ его объема и отношенія квадрата напряженія въ поперечномъ сѣченіи тѣла къ его коэф. упругости.

Поэтому, если въ двухъ различныхъ брускахъ одного и того же матеріала мы будемъ доводить напряженіе до одной и той же величины H , работа упругаго сопротивленія тѣла будетъ зависѣть только отъ его объема и будетъ ему прямо пропорціональна.

Величины $H^2 : E$ будутъ таковы (см. табл. 5 и 6):

$$\text{для ремня} \dots \dots \dots \frac{(0,28)^2}{22.5} = \frac{1}{287}$$

для желѣза	$\frac{(7,5)^2}{20000} = \frac{1}{355,5}$
для дерева	$\frac{(1,2)^2}{10000} = \frac{1}{700}$
для чугуна	$\frac{(2,5)^2}{10000} = \frac{1}{1600}$

Эти цифры объясняют между прочимъ, почему столь сильное разрушительное дѣйствіе наблюдается каждый разъ при обрывѣ ремня.

б) *Случай внезапной передачи нагрузки на тѣло.* Если нагрузка до передачи ея на тѣло имѣла уже нѣкоторую живую силу $\frac{P}{g} \cdot \frac{v_0^2}{2}$, соответствующую работѣ $P \cdot h$, тогда, работая въ новыхъ условіяхъ, нагрузка вызоветъ нѣкоторое новое удлиненіе λ_2 (фиг. 9), которое будетъ больше 2λ , и когда скорость перемѣщенія сдѣлается $= 0$, напряженіе матеріала достигнетъ величины H_2 , большей нежели H_1 . Мы и здѣсь предполагаемъ, что въ это время пропорціональность между напряженіемъ и деформацией все еще будетъ существовать, т. е. деформация тѣла будетъ упругою, исчезающею. Диаграмма работъ представится въ этомъ случаѣ фиг. 9-й, гдѣ площадь прямоугольника $abcd$ есть работа нагрузки, а площадь треугольника efc — работа силъ упругости. Обѣ эти площади д. б. равновелики, а равно — и площади, покрытыя штрихами:

$$P \cdot (h + \lambda_2) = \frac{F \cdot H_2}{2} \cdot \lambda_2 \dots \dots \dots 18.$$

По закону Гука:

$$\lambda_2 = \frac{H_2 \cdot l}{E}, \text{ поэтому}$$

$$P \cdot h + \frac{P \cdot l}{E} \cdot H_2 = \frac{F \cdot H_2}{2} \cdot \frac{H_2 \cdot l}{E}, \text{ или}$$

$$H_2^2 - 2 \frac{P}{F} \cdot H_2 - 2 \frac{P}{F} \cdot \frac{E \cdot h}{l} = 0$$

$$H_2 = \frac{P}{F} + \sqrt{\frac{P^2}{F^2} + 2 \frac{P \cdot E \cdot h}{F \cdot l}}$$

$$H_2 = \frac{P}{F} \left[1 + \sqrt{1 + 2 \frac{E \cdot F \cdot h}{P \cdot l}} \right] \dots \dots \dots 19.$$

Эта ф-ла показываетъ, что наибольшее напряженіе, вызываемое при ударномъ дѣйствіи нагрузки, будетъ тѣмъ больше, чѣмъ больше живая сила до удара, и чѣмъ короче деформируемое тѣло.

Принимая во вниманіе ф-лы **3** и **11**, можемъ написать:

$$\begin{aligned} \frac{H_2}{H} = \frac{a_2}{a} &= 1 + \sqrt{1 + 2 \cdot \frac{h}{a}} = \\ &= 1 + \sqrt{1 + \frac{1}{a} \cdot \frac{v_0^2}{g}} \dots \dots \dots \text{20.} \end{aligned}$$

Если сдѣлаемъ $h=0$, тогда мы возвращаемся къ случаю *a*) и получаемъ

$$\begin{aligned} \frac{a_2}{a} = \frac{H_2}{H} &= 2, \text{ т. е.} \\ a_2 &= 2a \text{ и } H_2 = H_1. \end{aligned}$$

Сравненіе разсмотрѣнныхъ двухъ случаевъ нагруженія *a* и *b* показываетъ, насколько болѣе невыгоднымъ для тѣла можетъ оказаться 2-й случай по сравненію его съ 1-мъ, и насколько осторожно всегда слѣдуетъ передавать нагрузку на тѣло, будетъ-ли это подъемъ груза, пусканіе машины въ ходъ, остановка ея и т. д. Въ особенности сильныя напряженія могутъ быть вызываемы при неосторожномъ, чрезмѣрно быстромъ пусканіи машины въ ходъ и внезапной остановкѣ ея.

Какой эффектъ въ подобныхъ случаяхъ дѣлаетъ на пути передачи усилія присутствіе тѣла съ весьма большимъ объемомъ, можно видѣть изъ слѣдующаго опыта инж. *Норре*: нужно взять толстую суровую нитку или тонкую веревку и разрѣзать ее на 2 части; одну изъ нихъ слѣдуетъ привязать къ бородкѣ большого ключа отъ двери (фиг. 10), а другой къ ручкѣ его; чтобы острые, незаправленные ребра бородки ключа не могли перерѣзать нитки или веревки, передъ привязываніемъ ихъ къ бородкѣ послѣднюю надо обернуть тряпкой или бумагой. Приборъ располагается въ такомъ положеніи, какъ показано на фиг. 10; конецъ *a* обертываются вокругъ лѣвой руки, а конецъ *b* — вокругъ правой; лѣвую руку держать въ приподнятомъ положеніи, выжидаютъ пока прекратится раскачиваніе ключа, и тогда правой рукой сильно дергаютъ за конецъ *b* по отвѣсному направленію, настолько сильно, чтобы гибкое тѣло оборвалось: обрывъ его всегда происходитъ въ части *b*, а не въ части *a*, на которую ударное дѣйствіе передается чрезъ массу ключа, имѣющаго весьма большой объемъ.

Этотъ опытъ указываетъ, насколько полезно въ паровыхъ приводныхъ и электрическихъ подъемныхъ кранахъ, работающихъ съ большой скоростью подъема груза, имѣть на рабочемъ концѣ цѣпи *массивный крюкъ*, рассчитанный съ большей надежностью, чѣмъ сама подъемная цѣпь. Столь же полезно ту часть цѣпи, которая никогда не навивается на воротъ и прилегаетъ непосредственно къ крюку, дѣлать болѣе толстой, чѣмъ остальная ея рабочая часть, навиваемая на барабанъ. Это будетъ способствовать сохраненію крѣпости цѣпи въ рабочей ея части и позволить не употреблять противовѣса возлѣ крюка, которымъ натягивается ненагруженная цѣпь.

17. **Опредѣленіе разрушающаго напряженія матеріала при растяженіи.** Напряженіе матеріала, при которомъ происходитъ разрывъ бруска, наз. *разрушающимъ напряженіемъ матеріала при растяженіи*, или *коэф. крѣпости*, или *временнымъ сопротивленіемъ матеріала*.

Совокупность всѣхъ предыдущихъ данныхъ относительно развитія работы упругаго сопротивленія показываетъ, что сравнимые между собою результаты при всѣхъ прочихъ одинаковыхъ условіяхъ можно получить, только производя опыты въ совершенно одинаковыхъ условіяхъ относительно нагруженія, и что вообще самое нагруженіе д. б. производимо во-1-хъ, *центрально*, во-2-хъ *безъ ударовъ*, плавно и осторожно, чтобы не повліять неблагоприятно на крѣпость тѣла.

При опытахъ обращаютъ вниманіе не только на опредѣленіе коэф. крѣпости бруска, но также и на его тягучесть, упругую податливость. Съ этою послѣднею цѣлю опредѣляется вытяжка тѣла въ длину и сокращеніе его поперечнаго сѣченія. Имѣющіе въ практическихъ приложеніяхъ особенную цѣнность, мягкіе податливые матеріалы передъ самымъ разрывомъ начинаютъ давать въ наиболѣе слабомъ мѣстѣ большую вытяжку и весьма замѣтное суженіе сѣченія, *перезжимъ*. На фиг. 11 *вверху* дана форма образца до его испытанія, а *внизу*—форма того же образца въ моментъ разрыва по сѣченію *mn*, когда уже образовался *перезжимъ ef*.

Международнымъ соглашеніемъ инженеровъ выработана форма и размѣры *нормальнаго образца* для испытанія на разрывъ, представленныя на фиг. 11 *вверху*: діаметръ образца— 20 м/м , длина между утолщеніями на его концахъ 220 м/м , длина между отмѣтками *a* и *b* на образующей образца— $l = 200 \text{ м/м}$. За измѣненіями этой длины во время опыта и слѣдятъ непрерывно. Пусть, напр., при обрывѣ образца состояніе между отмѣтками *a* и *b* достигло $l_1 = 250 \text{ м/м}$ (фиг. 11 *внизу*), тогда полученная образцомъ вытяжка до разрыва въ процентахъ будетъ

$$i_1 = 100 \cdot \frac{l_1 - l}{l} = \frac{50}{200} \cdot 100 = 25\%$$

При особенно мягкихъ сортахъ желѣза и стали можно наблюдать вытяжку въ 30 и болѣе %.

Если первоначальная площадь образца была *F*, а при разрывѣ по сѣченію *mn* (фиг. 11) она будетъ *F*₁, тогда сокращеніе площади сѣченія въ % - хъ будетъ

$$u = 100 \cdot \frac{F_1 - F}{F}$$

Въ мягкихъ сортахъ желѣза и стали эта величина бываетъ $\approx 40\%$ и болѣе, а въ чугунѣ и жесткой стали она составляетъ небольшія только доли процента.

Если діаметръ образца приходится дѣлать менѣе 10 м/м , то и длина его соотвѣтственно д. б. менѣе.

Мартенсъ обращаетъ вниманіе на то, что *геометрически подобныя тѣла, сдѣланныя изъ одного и того же матеріала, при одинаковой обстановкѣ опыта и одинаковыхъ напряженіяхъ дадутъ и геометрически подобныя деформации*. Поэтому для полученія одинаковой вытяжки у двухъ образцовъ изъ одного и того же матеріала требуется не только одинаковость размѣровъ d и l между отмѣтками a и b (фиг. 11), но и одинаковость длины l_0 между утолщеніями на концахъ образца. Въ случаѣ, когда нельзя имѣть $d = 20^m/m$, и приходится испытывать образецъ съ площадью сѣченія F , тогда длины l и l_0 , по даннымъ Мартенса, надо опредѣлять по формуламъ

$$l = 11,3\sqrt{F}$$

$$l_0 = 12,5\sqrt{F},$$

гдѣ длины—въ $^m/m$, а площадь—въ кв. $^m/m$.

Если образецъ приходится брать прямоугольнаго или квадратнаго сѣченія, то при длинѣ его $l = 200^m/m$, выбирается F —отъ 300 до 500 кв. $^m/m$.

Форма и сѣченіе образца на всемъ протяженіи его д. б. строго однообразны.

При прямоугольной формѣ сѣченія образцовъ обработка ихъ дѣлается лучше всего фрезованіемъ сразу нѣсколькихъ образцовъ, положенныхъ одинъ на другой; если же приходится такіе образцы строгать на узкой ихъ сторонѣ поперекъ, тогда 2 крайніе образца, наиболѣе поврежденные рѣзцомъ, или отбрасываются, или окончательно подправляются пилою.

При обработкѣ образца во время подготовки его къ испытанію весьма важно избѣжать нагрѣва металла и по возможности сохранить у него „корку“, которая получается при прокаткѣ, отливкѣ и проковкѣ.

Кромѣ формы и размѣровъ образца, на результатъ опыта вліяетъ также и быстрота производства испытанія. При матеріалахъ, особенно тягучихъ (красной мѣди, мягкомъ желѣзѣ и стали), скорость вытяжки образца въ концѣ опыта непремѣнно д. б. понижена. При красной мѣди полная величина вытяжки достигаетъ часто 50% и болѣе отъ первоначальной длины, и значительная часть этой вытяжки получается именно въ концѣ опыта, если вести его правильно и достаточно медленно, чтобы въ минуту, по *Баушметру*, получалось удлиненіе не болѣе 2% отъ первоначальной длины.

18. Величины разрушающаго напряженія приведены въ нижеслѣдующей таблицѣ 7-й; тамъ же дана вытяжка до разрыва въ % и величина напряженія, при которомъ начинается особенно быстрая вытяжка, или „теченіе“ матеріала.

Таблица 7-я.

НАЗВАНІЯ МАТЕРІАЛІВЪ.	Разрывающее напряженіе въ кг. на кв. мм.	Вытяжка до разрыва въ %.	Текучесть начинается при напряженіи.
Жельзо направленію прокатки.	33—40	10—12	22—28
" " "	28—35	3—5	—
Литое жельзо (<i>Flusseisen</i>) прокатн.	34—44	20—25	25—30
Литая сталь прокатная	45—100 и болѣе.	15—25	28 и болѣе; при жесткомъ материалѣ отсутствуетъ.
Пружинная сталь незакаленная .	75—90	12	—
" " закаленная.	80 и болѣе	4	—
Чугунъ	12—18	—	—
Ковкій чугунъ	42—49	1—3	—
Стальное литье	35—70	—	Какъ при ли- той стали.
Проволока изъ литого жельза .	40—55	5	—
" стальная	110—250	—	—
Красная мѣдь ковкая	20—26	35—38	—
" " въ проволоку	40—70	—	—
Латунь	15	—	—
" въ проволоку	40	—	—
Пушечная бронза	30—32	—	—
Фосфористая бронза	40—28	—	—
" " въ проволоку	32—72	—	—
Дельта-металлъ литой	34—37	—	—
" " прокатанный	50—62	12,5	33—38
Алюминіева бронза <i>Al</i> —5,5% .	44	64	—
" " 8,5	50	52	—
" " 9,0	57,5	32	—
" " 9,5	62	19	—
" " 10,0	64	11	—
" " 11,0	68	1,0	—
" " 11,5	80	0,5	—
Марганцовистая бронза	37—48	—	—
Алюминій литой	11	—	—
" кованный	18—20	—	—
" " при 190° С	8,7	—	—
Свинець	1,3	—	—
" въ проволоку	2,2	—	—
Олово	3,5	—	—
Кожаный ремень	2,8—5,2	—	—
Цельковый канатъ	3,5—6	—	—

НАЗВАНІЯ МАТЕРІАЛІВЪ.		Разрывающее напряжение въ кг. на кв. мм.	Вытяжка до разрыва въ %.	Текучесть начинается при напряженіи.
Дубъ	волоконъ.	10—11,5	—	—
”	”	0,5	—	—
Ель	”	8—9	—	—
”	”	0,48	—	—
Сосна	”	9—11	—	—
”	”	0,48	—	—
Букъ	”	13,4	—	—
Береза	”	11	—	—
Кедръ	”	5,5	—	—

19. Вліяніе различныхъ факторовъ на величину крѣпости и вытяжки матеріала. Опыты надъ опредѣленіемъ разрывающаго напряженія при различныхъ температурахъ особенно подробно и обстоятельно были произведены въ послѣднее время въ Берлинской механич. лабораторіи (*Mittheilungen aus den königl.-techn. Versuchsanstalten zu Berlin*, 1890, H. IV). Въ одномъ изъ характерныхъ примѣровъ явленіе происходило слѣд. образомъ: разрывающее напряженіе для бруска изъ литого желѣза при (-20°) С было 41,2; при ($+20^{\circ}$) — 38,4, при $+50^{\circ}$ оказался *min*, равный 38,0; при 240° — 51,5, при 300° — 47,4, т. е. все еще на 23% болѣе чѣмъ при обыкновенной температурѣ, затѣмъ разрывающее напряженіе начинаетъ падать и достигаетъ 10,7 при 600° С. Величина вытяжки отъ (-20°) до $+300^{\circ}$ уменьшалась отъ 33,8% до 13%, а затѣмъ быстро увеличивалась, достигая 80% при 600° С.

Въ стали величина разрывающаго напряженія при всѣхъ прочихъ одинаковыхъ условіяхъ зависитъ отъ процентнаго содержанія въ ней углерода. Если послѣдняя величина будетъ *C*, то, по даннымъ *Баушингера*, величина разрывающаго напряженія въ кг. на кв. $\frac{m}{m}$ будетъ

$$42 (1 + C),$$

а въ *tn* на кв. дм. —

$$27,6 (1 + C).$$

Холодное наклепываніе полосъ изъ красной мѣди и литого желѣза увеличиваетъ ихъ крѣпость, но уменьшаетъ ихъ упругую податливость. Отжиганіе матеріала возстановляетъ первоначальныя его свойства.

Просверливаніе на образцѣ отверстій, не нарушающихъ центральности передачи нагрузки, на крѣпость матеріала вліянія не оказываетъ въ смыслѣ ея уменьшенія.

Пробиваніе отверстій, хотя бы и не нарушающихъ центральности передачи нагрузки, ослабляетъ крѣпость матеріала и тѣмъ въ большей степени, чѣмъ матеріалъ обладаетъ меньшей мягкостью и чѣмъ дальше

отверстія расположены одно отъ другого. Въ желѣзныхъ листахъ и полосахъ ослабленіе крѣпости бываетъ на 15—20%, а въ стали—на 20—35%. Развертываніе отверстій послѣ ихъ пробиванія мало вліяетъ на измѣненіе крѣпости матеріала въ смыслѣ ея возстановленія; послѣднее достигается только отжигомъ матеріала послѣ пробивки въ немъ отверстій.

Выполненіе испытуемаго образца, съ перехватомъ (фиг. 12) измѣняетъ величину коэф. крѣпости слѣд. обр.: по опытамъ *Киркалди*, крѣпость желѣзной полосы увеличивается отъ этого отъ 20 до 32% и тѣмъ болѣе, чѣмъ мягче желѣзо; въ мягкой стали увеличеніе крѣпости наблюдалось до 40%, а въ чугунѣ, наоборотъ, было обнаружено уменьшеніе крѣпости до 11,5%. Увеличеніе крѣпости у мягкихъ матеріаловъ объясняется въ такомъ случаѣ уменьшеніемъ вытяжки образца и отсутствіемъ работы нагрузки съ ускореніемъ; а уменьшеніе крѣпости чугунаго образца съ проточкой на поверхности его м. б. объяснено нарушеніемъ внутренняго равновѣсія между частицами чугуна при образованіи у него проточки въ одномъ мѣстѣ. Сокращеніе площади поперечнаго сѣченія при разрывѣ образца съ проточкой получается, примѣрно, на 15—18% менѣе, чѣмъ у образца безъ проточки, т. е. у цѣлаго образца стали оно было, напр., 37,8%, а у образца съ проточкой оно будетъ 20%.

Характеристику литого желѣза (*Flusseisen*), какъ матеріала, со всѣми практическими подробностями относительно его испытанія и обращенія съ нимъ можно найти въ статьѣ инж. - техн. *И. Г. Гершуна* (*Бюлл. Политехн. О-ва*, № 1 за 1894—95 г.).

Въ табл. 7 не приведено данныхъ Z_0 для такихъ матеріаловъ, какъ известь, цементъ, камни и т. п., п. ч. эти матеріалы оказываютъ весьма слабое сопротивленіе растаженію, и въ этихъ условіяхъ ихъ обыкновенно не заставляють работать. Но лабораторные опыты и съ этими матеріалами дѣлаются болѣею частію на разрывѣ, т. к. этотъ способъ испытанія является наиболѣе простымъ. Затвердѣвшіе образцы послѣ 28 дней пребыванія ихъ подъ водою даютъ слѣдующія величины Z_0 (въ *кв.* на кв. сантиметръ).

Чистый портландскій цементъ	65	} <i>кв.</i> <i>на</i> <i>кв</i> <i>смт.</i>
Смѣсь 1 ч. его и 3 ч. песку	16	
Чистый романскій цементъ	20	
Смѣсь 1 ч. его и 3 ч. песку	10	
Смѣсь 1 ч. гидравл. извести и 3 ч. песку	6	

Б. Растаженіе тѣла съ вертикальной осью.

20. Уравненіе напряженій. Пусть имѣемъ призматическое тѣло съ вертикальной осью hp (фиг. 13) и пусть на нижнее сѣченіе его ab передается равномѣрно распредѣленная нагрузка P . Возьмемъ произвольное поперечное сѣченіе cd , отстоящее на разстояніи x отъ нижняго и рассмотримъ равновѣсіе части бруса abd : послѣ того, какъ нагрузка

уже деформировала тѣло, и оно пришло въ равновѣсіе. На сѣченіе cd по направленію внизъ дѣйствуютъ, очевидно, двѣ нагрузки — внѣшняя нагрузка P и собственный вѣсъ тѣла на длинѣ x . Его можно выразить такъ:

$$Q_x = F \cdot x \cdot \gamma,$$

если γ будетъ вѣсъ единицы объема матеріала. Потому для равновѣсія нижней части бруса въ сѣченіи cd по направленію вверхъ д. б. приложена сила

$$P + Q_x,$$

равномѣрно распредѣленная между всѣми элементами сѣченія. Напряженіе матеріала, вызываемое въ сѣченіи cd , будетъ

$$H = \frac{P + F \cdot x \cdot \gamma}{F} \dots \dots \dots 21.$$

Это и будетъ ур-іе напряженій, т. к. оно выражаетъ зависимость между H и x въ произвольномъ сѣченіи бруса.

Ур-іе 21 представляетъ собою прямую линію knq (фиг. 13), отнесенную къ осямъ координатъ Hnx : по оси ординатъ откладываются разстоянія поперечныхъ сѣченій отъ нижняго, а по оси абсциссъ — величины напряженій. При $x=0$ получимъ

$$hk = P : F,$$

величину напряженія матеріала, одинаковую съ той, которая ф-лой 3 опредѣлялась для бруса съ горизонтальной осью.

Въ произвольномъ сѣченіи cd имѣемъ $H=mn$ и наконецъ въ сѣченіи ef при $x=l$ получимъ

$$\max H = \frac{P + F \cdot l \cdot \gamma}{F} \dots \dots \dots 21, a.$$

Так. обр. видимъ, что у бруса съ вертикальной осью напряженія во всѣхъ его сѣченіяхъ различны, и что \max напряженія получается въ самомъ верхнемъ сѣченіи, которое поэтому и будетъ *опаснымъ*.

21. Расчетное ур-іе. Чтобы получить расчетное ур-іе, надо написать ур-іе напряженій для опаснаго сѣченія, т. е. ур-іе 21, a, и величину максимальнаго напряженія приравнять *допускаемому* напряженію Z при растяженіи. Тогда получимъ:

$$Z = \text{или болѣе} \frac{P + F \cdot l \cdot \gamma}{F} \dots \dots \dots 22.$$

При $\gamma=0$, т. е. если не обращать вниманія на собственный вѣсъ тѣла, это ур-іе будетъ тождественно съ 7.

Величина *безопасной площади* сѣченія будетъ:

$$F = \text{или болѣе} \frac{P}{Z - l \cdot \gamma} \dots \dots \dots 22, a.$$

По этой ф-лѣ будетъ опредѣляться площадь сѣченія строящагося тѣла.

Величина *безопасной нагрузки*, которую может воспринять на себя тѣло данныхъ размѣровъ, будетъ

$$P = \text{или менѣе } F \cdot (Z - l \cdot \gamma) \dots \dots \dots 22,6.$$

По этимъ формуламъ ведется расчетъ существующаго и строящагося тѣла съ вертикальной осью, испытывающаго растягивающую нагрузку.

Ф-лы 7, 7а и 7б очень часто примѣняются къ расчету и вертикальныхъ брусевъ вмѣсто ф-лъ 22, 22а и 22б, т. к. онѣ проще послѣднихъ и легче держатся въ памяти. При этомъ, слѣд., пренебрегаютъ вліяніемъ собственнаго вѣса и вносятъ въ вычисленіе небольшую ошибку. Посмотримъ, когда это можно дѣлать.

Пусть, напр., безопасная площадь сѣченія вертикальнаго бруса вмѣсто ф-лы 22а была рассчитана по ф-лѣ 7а. Рассчитывая по ф-лѣ 22а, можно взять для желѣзнаго бруса допускаемое напряженіе въ 7,5 к. на кв. мм., а производя расчетъ по приближенной для вертика. бруса ф-лѣ 7а можно взять допускаемое напряженіе въ 7 к. Слѣд., разницы въ вычисленіи по той и на другой ф-лѣ не получится вовсе, если взять

$$7 = 7,5 - l \cdot \gamma$$

Отсюда опредѣлится длина бруса, до которой все еще можно пренебрегать вліяніемъ собственнаго вѣса. Принимая уд. вѣсъ желѣза 7,55, получимъ

$$\frac{l \cdot \gamma \cdot 7,55}{1000000} = 0,5, \text{ откуда}$$

$$l = \text{ок. } 66 \text{ mt.}$$

Точно также, рассчитывая вертикальный сосновый брусъ по ф-лѣ 22а, можно взять допускаемое напряженіе въ 1,2 к., а ведя расчетъ по ф-лѣ 7а можно взять $Z = 1,1$ к., и тогда никакой разницы въ расчетѣ по обѣимъ ф-ламъ не получится еще при длинѣ бруса.

$$l = \frac{0,1 \cdot 1000}{0,6}, \text{ или болѣе } 166 \text{ mt.}$$

Так. обр. видимъ, что *расчетъ короткихъ вертикальныхъ брусевъ безъ существенной погрѣшности всегда можно производить по ф-ламъ 7, 7а, 7б*, т. е. не обращая вниманія на собственный вѣсъ тѣла.

22. Задачи. № 10. Вертикальный желѣзный брусъ съ данной площадью F и длиною $l = 300$ mt, работать съ нагрузкою P при напряженіи 6 к. Не мѣняя ни размѣровъ сѣченія бруса, ни вѣшной нагрузки на него, требуется наростить брусъ въ длину, считая возможнымъ повышеніе напряженія матеріала до 6,5 к. Спрашивается, на сколько длиннѣе можно сдѣлать брусъ?

Пусть новая длина бруса будет l_1 . Тогда изъ ур-ія **22 а**:

$$F = \frac{P}{6 - l \cdot \gamma} = \frac{P}{6,5 - l_1 \cdot \gamma}, \text{ откуда}$$

$$(l_1 - l) \cdot \gamma = 0,5; \quad l_1 - l = 66 \text{ mt.}$$

№ 11. Вертикально подвѣшенная квадратная желѣзная штанга 60×60 мм длиной 300 mt рассчитывается съ напряженіемъ въ 7 к. на кв. мм. Какова будетъ разница въ величинѣ безопасной нагрузки, если принимать во вниманіе собственный вѣсъ штанги и не принимать его?

Пренебрегая вѣсомъ штанги, получимъ нагрузку по ф-лѣ **76**.

$$P = 7 \cdot 60 \cdot 60 = 25200 \text{ к.}$$

Точная же величина безопасной нагрузки найдется по ф-лѣ **22 б**, гдѣ

$$l \cdot \gamma = \frac{300000 \cdot 7,55}{1000000} = 2,265$$

$$P_1 = 60 \cdot 60 (7 - 2,265) = 17046 \text{ к.}$$

№ 12. Формула **22 а** показываетъ, что для каждаго матеріала существуетъ такая длина l бруса, при которой $F = \infty$. Определить для главнѣйшихъ матеріаловъ такую длину, называемую предѣльной?

По ф-лѣ **22 а** предѣльная длина бруса опредѣлится такъ

$$l = Z : \gamma \dots \dots \dots \text{23.}$$

Случалось слышать отвѣтъ, что предѣльная длина бруса — такая, при которой брусъ отъ данной нагрузки обрывается, какая бы площадь у него ни была. Это не вѣрно. На самомъ же дѣлѣ, предѣльная длина бруса, удовлетворяющая ф-лѣ **23**, это — такая длина, при которой допускаемое въ матеріалъ напряженіе получается уже отъ собственнаго вѣса, безъ посторонней нагрузки. Выражая эту мысль, мы должны будемъ написать ур-іе крѣпости **22** при $P = 0$ въ слѣдующемъ видѣ:

$$F \cdot l \cdot \gamma = F \cdot Z,$$

что тождественно съ ф-лой **23**.

Примемъ для соснового бруса $Z = 0,9$ к. на кв. мм. и уд. вѣсъ $\delta = 0,6$, тогда

$$l = 0,9 : \frac{0,6}{1000} = 1500 \text{ mt.}$$

Для желѣзной проволоки при $Z = 10$ и $\delta = 7,8$

$$l = 10 : \frac{7,8}{1000} = \text{около } 1280 \text{ mt.}$$

Для стальной проволоки при $Z = 50$ и $\delta = 7,8$

$$l = \text{около } 6400 \text{ mt.}$$

Если при сосновомъ брусѣ рабочую длину бруса возьмемъ равной

$\frac{1}{3}$ предѣльной, т. е. 500 *mt*, тогда на каждомъ 1 кв. мм. площади сѣченія освободится напряженіе

$$0,9 - \frac{500000 \cdot 0,6}{1000000} = 0,9 - 0,3 = 0,6 \text{ кг.},$$

и соотвѣтственно этому можетъ быть навѣшена добавочная внѣшняя нагрузка сверхъ собственнаго вѣса при сохраненіи той же величины допускаемаго напряженія, что и ранѣе. Величина площади сѣченія *F* для данной нагрузки *P* будетъ опредѣляться тогда слѣд. обр.:

$$F = \text{или болѣе } P : 0,6.$$

№ 13. Опредѣлить длину бруса изъ даннаго матеріала, при которой онъ обрывается отъ собственнаго вѣса? Будемъ называть такую длину *критической* и обозначать чрезъ *L*. Если *Z₀* будетъ разрывающее напряженіе, тогда при обрывѣ бруса будетъ существовать ур-іе:

$$\left. \begin{aligned} F \cdot L \cdot \gamma &= F \cdot Z_0, \text{ откуда} \\ L \cdot \gamma &= Z_0 \\ L &= Z_0 : \gamma \end{aligned} \right\} \dots \dots \dots \text{24.}$$

Ф-ла 24 показываетъ слѣдующее:

а. Критическая длина бруса, какъ и предѣльная его длина, не зависитъ отъ площади сѣченія бруса по столѣку, поскольку *Z₀* и γ не зависятъ отъ нея; но обѣ эти величины, какъ извѣстно, зависятъ и отъ способа выработки матеріала, а сообразно съ этимъ, и отъ формы и отъ размѣровъ поперечнаго сѣченія.

б. Критическая длина бруса равна предѣльной его длине, умноженной на число, выражающее степень надежности постройки.

Для желѣза въ видѣ тонкихъ сортовыхъ полосъ примемъ (см. тб. 5 и 7):

$$\delta = 7,55; Z_0 = 40 \text{ кг. на кв. } \frac{m}{m}$$

$$L = 40 : \frac{7,55}{1000000} \frac{m}{m} = \text{около } 5300 \text{ } mt.$$

Для желѣзной цѣпи *Галля* (фиг. 4), рассчитанной въ задачѣ № 3, вѣсъ погоннаго *mt*. былъ указанъ въ 3,8 кг. Примемъ для нея *Z₀* = 38 кг. на кв. $\frac{m}{m}$; на живое сѣченіе цѣпи, указанное въ зад. № 3 равнымъ 128 кв. $\frac{m}{m}$, придется разрывающая нагрузка въ 128×38 кг., поэтому

$$L = 128 \cdot 38 : 3,8 = 1280 \text{ } mt.$$

Сравненіе этой цифры съ предыдущей показываетъ, насколько вообще нераціонально употребляется матеріалъ въ издѣліи цѣпи *Галля*.

Чтобы получить критическую длину для обыкновенной цѣпи и для канатовъ изъ разнаго матеріала, воспользуемся данными, приведенными въ задачѣ № 7. Тамъ приведены для каждаго случая величина груза, разрывающаго канатъ или цѣпь, и вѣсъ погоннаго фута ихъ; обѣ ве-

личины выражены въ *lbs*; дѣля одну величину на другую, мы получимъ, очевидно, критическую длину, выраженную въ футахъ. *)

Для желѣзной цѣпи съ діам. звена въ $1\frac{1}{8}$ д. имѣемъ (см. зад. № 7):

$$L = \frac{59226}{12,5} = 4738 \text{ фут.} = 1445 \text{ mt.},$$

Для пенькового каната діам. $3\frac{13}{16}$ разрывающій грузъ данъ въ 68544 *lbs*, а вѣсъ погон. фута 4,75 *lbs* (см. зад. № 7), поэтому

$$L = \frac{68544}{4,75} = 14430 \text{ фут.} = \text{ок. } 4400 \text{ mt.}$$

Для желѣзнаго каната діам. $1\frac{3}{8}$ д. разрывающій грузъ мы имѣли въ 66000 *lbs* (см. зад. № 7), а вѣсъ пог. фута каната = 3 *lbs*, поэтому

$$L = \frac{66000}{3} = 22000 \text{ фут.} = 6710 \text{ mt.}$$

Для стального каната діам. 1 д. разрывающій грузъ былъ данъ также 66000 *lbs* (см. зад. № 7), а вѣсъ погон. фута каната = 1,58 *lbs*, а потому

$$L = \frac{66000}{1,58} = 41772 \text{ фут.} = 12740 \text{ mt.}$$

Стальной канатъ завода *Felten & Guillaume* толщ. $35 \frac{m}{m}$, изготовленный для шахты въ *Vieneburg*, состоялъ изъ 114 стальн. проволокъ діам. $2\frac{1}{2} \frac{m}{m}$, имѣвшихъ разрывающее напряженіе въ 150 *кг.* на кв. мм. Вѣсъ погон. мт. каната = 4,1 *кг.* Разрывающій грузъ для этого каната

$$P_0 = 150 \cdot 114 \cdot 0,785 \cdot (2,2)^2 = 65000 \text{ кг.}$$

$$L = 65000 : 4,1 = 16000 \text{ mt.}$$

Та же фирма готовитъ спеціальныя канаты для тяги паровыхъ плуговъ съ разрывающимъ напряженіемъ у проволокъ въ 250 *кг.* на кв. мм.

Принимая для кованаго алюминія $\delta = 2,7$ и $Z_0 = 20$, получимъ:

$$L = 20 : \frac{2,7}{1000000} \frac{m}{m} = \text{около } 7400 \text{ mt.},$$

т. е. менѣе, чѣмъ для дерева и стали.

Наивысшія цифры критической длины, оказывается, нужно искать среди волокнистыхъ матеріаловъ (см. статью *Ernst Mueller—Festigkeits-Eigenschaften von Gespinsten* — въ журн. *Zeitschr. d. Ver. deutsch. Ing.*, 1884, № 8, S. 162—164).

*) Пусть вѣсъ погонной единицы длины бруса даннаго сѣченія F будетъ q , когда при обрывѣ бруса будетъ существовать ур-іе

$$q \cdot L = F \cdot Z_0, \text{ откуда}$$

$$L = F \cdot Z_0 : q,$$

т. е. для полученія критической длины бруса надо раздѣлить разрывающее данный брусъ усиліе на вѣсъ погонной единицы длины его.

Группируя теперь всё полученные здѣсь данныя и присоединяя къ нимъ указанія *Mueller*'а относительно волокнистыхъ матеріаловъ, можно расположить всё матеріалы въ порядкѣ возрастанія ихъ критической длины (въ километр.) въ слѣдующемъ видѣ:

	<i>L</i> километр.
1. Свинцовая проволока, $Z_0 = 2,2$; $\delta = 11,3$	0,197
2. Желѣзная цѣпь <i>Галля</i>	1,28
3. Обыкновенная желѣзная цѣпь, діам. звена $1\frac{1}{8}$ д.	1,45
4. Чугунъ, $Z_0 = 13$; $\delta = 7,2$	1,80
5. Слабый ремень, $Z_0 = 3,5$; $\delta = 1,1$	3,18
6. Пеньковый канатъ, діам. $3\frac{3}{4}$ д.	4,4
7. Ремень лучшихъ качествъ, $Z_0 = 5,2$	4,73
8. Желѣзо, $Z_0 = 40$; $\delta = 7,55$	5,3
9. Желѣзный канатъ, діам. $1\frac{3}{8}$ д.	6,71
10. Алюминій, $Z_0 = 20$; $\delta = 2,7$	7,4
11. Волокна шерсти (по <i>Мюллеру</i> $Z_0 = 10,9$; $\delta = 1,314$)	8,3
12. Полотно, употребляемое для парусовъ (по даннымъ <i>Rankine</i>)	8,5
13. Ель, $Z_0 = 8$; $\delta = 0,7$	11,43
14. Стальной канатъ, діам. $1 - 1\frac{1}{2}$ д.	13—16.
15. Сосна, $Z_0 = 11$; $\delta = 0,6$	18,33
16. Волокна хлопка (по <i>Мюллеру</i> $Z_0 = 34,2$; $\delta = 1,503$)	22,75
17. Волокна пеньки (по <i>Мюллеру</i> $Z_0 = 35,2$; $\delta = 1,465$)	24
18. Волокна шелка-сырца (по <i>Мюллеру</i> $Z_0 = 44,8$; $\delta = 1,359$).	33

Можно быть увѣреннымъ, что въ высшей степени поучительныя данныя этой таблицы, для большинства читателей являются совершенно неожиданными.

23. Опредѣленіе удлиненія растянутого бруса съ вертикальной осью. Величина напряженія H у такого бруса, какъ показываетъ ф-ла **21**, есть переменная величина, поэтому и выжатка двухъ элементовъ одинаковой высоты, но лежащихъ въ разныхъ мѣстахъ по длинѣ бруса здѣсь не будетъ одной и той же величиной. Найдемъ ур-іе удлиненій для вертикальнаго бруса.

Двумя бесконечно близкими другъ къ другу поперечными сѣченіями m и t (фиг. 14) выдѣлимъ элементъ объема въ видѣ призмы съ бесконечно малой высотой dx . Нижнее основаніе этой призмы пусть отстоитъ на разстояніе x отъ нижняго основанія h нашей призмы. Сѣченіе cd будетъ испытывать напряженіе H , опредѣляемое ф-лой **21**, и будетъ выносить на себѣ нагрузку $P + F \cdot x \cdot \gamma$. Пренебрегая собственнымъ вѣсомъ элементарнаго бруска tm , удлиненіе его Δl по закону *Гука* вычислимъ изъ ф-лы

$$H : \frac{\Delta l}{dx} = E, \text{ откуда}$$

$$\Delta l = \frac{H \cdot dx}{E} = \frac{P + F \cdot x \cdot \gamma}{E \cdot F} \cdot dx.$$

Удлиненіе l на всей длинѣ x получится суммированіемъ предыдущаго выраженія, измѣняя въ немъ x въ предѣлахъ отъ O до x :

$$l = \sum \Delta l = \frac{1}{E \cdot F} \int_0^x (P + F \cdot x \cdot \gamma) \cdot dx$$

$$l = \frac{x}{E \cdot F} \left(P + \frac{F \cdot x \cdot \gamma}{2} \right) \dots \dots \dots 25.$$

Это и есть *ур-іе удлинений*. Оно представляетъ собою параболу hvs (фиг. 14), отнесенную къ осямъ lhx : по оси ординатъ откладываются разстоянія взятаго поперечнаго сѣченія отъ нижняго основанія бруса, а по оси абсциссъ—удлиненія бруса. Когда $x = 0$ и $l = 0$, т. е. парабола проходитъ чрезъ точку h , центръ тяжести нижняго основанія бруса. При $x = hm \dots l = mv$.

При $x = l = hp \dots$

$$l_1 = ps = \frac{l}{E \cdot F} \left(P + \frac{F \cdot l \cdot \gamma}{2} \right) \dots \dots \dots 25, a.$$

Вершина параболы удлинений находится въ точкѣ O (фиг. 14) и опредѣляется координатами a и b . Находя ихъ обычнымъ путемъ, перенесеніемъ осей параллельно самимъ себѣ и расположеніемъ начала координатъ въ точкѣ O , получимъ

$$b = \frac{P}{F \cdot \gamma}; a = \frac{1}{2 E \cdot \gamma} \cdot \left(\frac{P}{F} \right)^2$$

Взявъ для желѣзнаго бруса

$$E = 20000 \text{ кг. на кв. мм.},$$

$$\frac{P}{F} = 7,55 \quad \text{”} \quad \text{”}$$

$$\gamma = \frac{7,55}{1000000} \text{ кг. для 1 куб. } \frac{m}{m}, \text{ получимъ}$$

$$b = 1000 \text{ mt}; a = 38,75 \text{ mt.}$$

Вычисленные для a и b величины показываютъ, что въ части hvs (фиг. 14) парабола будетъ весьма близко подходить къ прямой, соединяющей точкѣ h и s .

Въ случаѣ горизонтальнаго бруса *ур-іе удлинений* получится изъ **25**, дѣлая въ немъ $\gamma = 0$, и кривая удлинений обратится въ прямую BA_1 (фиг. 3), гдѣ при $x = l$ наибольшее удлиненіе бруса опредѣлится ϕ -лой

$$AA_1 = \frac{P \cdot l}{E \cdot F},$$

которая вполне согласна съ ϕ -лой **11**.

Если же въ ϕ -лѣ **25a** сдѣлаемъ $P = 0$, тогда найдемъ удлиненіе, получаемое брусомъ отъ собственнаго вѣса:

$$l_1 = \frac{l}{E \cdot F} \cdot \left(\frac{F \cdot l \cdot \gamma}{2} \right) \dots \dots \dots 26.$$

Выраженіе, заключенное здѣсь въ скобки, представляетъ собою $\frac{1}{2}$ собственного вѣса тѣла, и ф-ла **26** показываетъ, что *собственный вѣсъ тѣла вызываетъ удлиненіе, равное ПОЛОВИНѢ того удлиненія, которое вызвала бы равная ему по величинѣ нагрузка у этого же бруса, но съ горизонтальной осью.*

24. Задачи. № 14. Сосновый квадратный брусъ 100×100 $\text{м}/\text{м}$ длиною 100 м работаетъ съ наибольшимъ напряженіемъ въ 0,5 к . на кв. мм. Опредѣлить его удлиненіе, если ось бруса вертикальна.

Принимая уд. вѣсъ сосны $\delta = 0,6$ (см. зад. № 1), собственный вѣсъ бруса получимъ равнымъ

$$Q = F \cdot l \cdot \gamma = \frac{100 \cdot 100 \cdot 100000 \cdot 0,6}{1000000}$$

$$Q = 600 \text{ к}.$$

Нагрузка, допущенная для бруса, найдется изъ ф-лы **22**:

$$0,5 = \frac{P + 600}{100 \cdot 100}, \text{ откуда}$$

$$P = 5000 - 600 = 4400 \text{ к}.$$

По ф-лѣ **25 а**

$$l_1 = \frac{100000}{1000 \cdot 100 \cdot 100} (4400 + 300) = 47 \text{ м}/\text{м}.$$

Изъ этихъ 47 $\text{м}/\text{м}$ на собственный вѣсъ тѣла приходится удлиненіе только въ 3 $\text{м}/\text{м}$, а все остальное вызывается дѣйствиемъ нагрузки.

№ 15. Желѣзный стержень діам. $1\frac{5}{8}$ дм . (см. зад. № 2) имѣетъ длину 50 м и подвѣшенъ вертикально. Какая нагрузка можетъ быть передана этому стержню, вызывая у него удлиненіе не болѣе 10 $\text{м}/\text{м}$, и съ какимъ напряженіемъ онъ будетъ работать?

Площадь сѣченія такого стержня дана въ зад. № 2

$$F = 1333,3 \text{ кв. мм.}$$

Вѣсъ погоннаго фута его указанъ тамъ 7,77 фн. , или

$$7,77 \cdot 0,40952 = 3,18 \text{ к}.$$

Вѣсъ погоннаго м будетъ

$$3,18 \cdot 3,28 = 10,43 \text{ к}.$$

Вѣсъ всего рассчитываемаго стержня будетъ

$$10,43 \cdot 50 = 522 \text{ к}.$$

По ф-лѣ **25 а** имѣемъ

$$10 = \frac{50000}{20000 \cdot 1333,3} (P + 261)$$

$$P = \text{около } 5072 \text{ к}.$$

По ф-лѣ **21 а** найдемъ

$$\text{max } H = \frac{5072 + 522}{1333,3} = 4,2 \text{ к. на кв. м}/\text{м}.$$

№ 16. Цилиндрическіе концы тѣла AB (фиг. 15) имѣютъ радіусы r и R ; средняя часть тѣла длиною l выполнена въ видѣ усѣченного конуса. Ось тѣла горизонтальна. Нагрузка P распределѣна равномерно въ каждомъ изъ поперечныхъ сѣченій тѣла. Определить удлиненіе конической части тѣла.

Опасными сѣченіями этого тѣла будутъ всѣ поперечныя сѣченія его, начиная съ сѣченія A , слѣва отъ него. Ур-іе крѣпости тѣла будетъ

$$Z = P : \pi \cdot r^2.$$

Пусть $R = m \cdot r$ и вершина O конуса отстоитъ на разстояніе a отъ сѣченія A . Тогда

$$\frac{R}{r} = \frac{a + l}{a} = m.$$

На разстояніи x отъ основанія A возьмемъ сѣченіе C съ радіусомъ y , определяемымъ изъ ф-лы

$$y = r \cdot \frac{a + x}{a}.$$

Напряженіе матеріала въ сѣченіи C будетъ

$$H = \frac{P}{\pi \cdot y^2} = \frac{Z \cdot a^2}{(a + x)^2}.$$

На разстояніи dx отъ сѣченія C проведемъ другое, и заключенный между ними бесконечно тонкій элементъ объема будемъ считать цилиндрическимъ и дающимъ удлиненіе Δl . Тогда по закону Гука можно написать

$$H = E \cdot i = E \cdot \frac{\Delta l}{dx}, \text{ откуда}$$

$$\Delta l = \frac{H \cdot dx}{E}.$$

Взявши сумму такихъ удлиненій при измѣненіи x въ предѣлахъ отъ O до x , мы получимъ удлиненіе l конуса на длинѣ x :

$$l = \sum \Delta l = \int_0^x \frac{H}{E} \cdot dx, \text{ или}$$

$$l = \frac{Z \cdot a^2}{E} \cdot \int_0^x \frac{dx}{(a + x)^2} = -\frac{Z \cdot a^2}{E} \cdot \left[\frac{1}{a + x} \right]_0^x$$

$$l = \frac{Z \cdot a^2}{E} \left(\frac{1}{a} - \frac{1}{a + x} \right) = \frac{Z}{E} \cdot \frac{a \cdot x}{a + x}.$$

Это есть общій видъ ур-ія удлиненій для конуса. Удлиненіе l_2 на всей длинѣ конуса получится, если сдѣлаемъ $x = l$:

$$l_2 = \frac{Z}{E} \cdot \frac{a \cdot l}{a + l} = \frac{1}{m} \cdot \frac{l}{E} \cdot \frac{P}{\pi \cdot r^2} \dots \dots \dots 27,$$

т. е. удлиненія усѣченного конуса и цилиндра, прилегающаго къ малому изъ его оснований, при одинаковой ихъ длинѣ относятся между

собой, какъ радиусъ малаго основанія усъченнаго конуса относится къ радиусу большаго.

25. Работа силъ упругости въ случаѣ бруса съ вертикальной осью. а. *Случай спокойнаго воздѣйствія собственнаго вѣса бруса.* Назовемъ чрезъ

l — длину бруса, когда ось его горизонтальна,
 $q = F \cdot \gamma$ — вѣсъ погонной единицы длины бруса.

Въ § 16 былъ разсмотрѣнъ вопросъ о работѣ силъ упругости въ случаѣ бруса съ горизонтальной осью и получены были слѣдующіе результаты.

Напряженіе отъ дѣйствія спокойной нагрузки

$$H = P : F \dots \dots \dots 3.$$

Удлиненіе бруса отъ дѣйствія спокойной нагрузки

$$\lambda = \frac{P}{F} \cdot \frac{l}{E} \dots \dots \dots 11.$$

Напряженіе въ брусѣ въ моментъ передачи нагрузки

$$H_1 = 2H \dots \dots \dots 16.$$

Удлиненіе бруса въ моментъ передачи нагрузки

$$\lambda + \lambda_1 = 2\lambda \dots \dots \dots 16,а.$$

Если нагрузка передается съ нѣкоторой живой силою, соответствующей работѣ $P \cdot h$, то напряженіе въ брусѣ H_2 и удлиненіе его λ_2 опредѣлялись ф-лой

$$\frac{H_2}{H} = \frac{\lambda_2}{\lambda} = 1 + \sqrt{1 + 2 \cdot \frac{h}{\lambda}} \dots \dots \dots 20.$$

Удлиненіе вертикально подвѣшеннаго бруса при спокойномъ воздѣйствіи его собственнаго вѣса опредѣлялось ф-лой 26. Назовемъ здѣсь это удлиненіе чрезъ κ ; тогда

$$\kappa = \frac{l}{E \cdot F} \cdot \frac{F \cdot \gamma \cdot l}{2} = \frac{q \cdot l^2}{2 E \cdot F} \dots \dots \dots 26.$$

Для опредѣленія удлиненія не на всей длинѣ бруса l , а на произвольной длинѣ его x , имѣли бы ф-ту

$$u = \kappa_x = \frac{q \cdot x^2}{2 E \cdot F} \dots \dots \dots 26,а.$$

Эта ф-ла показываетъ, что въ случаѣ дѣйствія одного собственнаго вѣса кривая удлиненій есть парабола AC (фиг. 16), имѣющая вершину A въ центрѣ тяжести нижняго основанія бруса, а своей осью — линію AD , перпендикулярную къ оси бруса. На фиг. 16 обозначаютъ: $EF = x$; $AE = u$; $CD = l$; $AD = k$.

Опредѣлимъ теперь работу силъ упругости подъ дѣйствіемъ собственнаго вѣса. Элементъ объема съ высотой dx , взятый на разстояніи x (фиг. 16) отъ нижняго основанія бруса, дастъ удлиненіе

$$du = \frac{q \cdot x \cdot dx}{E \cdot F}.$$

На этот элемент будет действовать нагрузка $q \cdot x$. Рассматривая сам элемент объема несомным, элементарную работу сил упругости для него, согласно с ф-лой 14, напишем такъ

$$dC = q \cdot x \cdot \frac{du}{2} = \frac{q^2}{2EF} \cdot x^2 \cdot dx \dots \dots \dots 28.$$

Интегрируя это ур-е при измененіи x въ предѣлахъ отъ 0 до x , получимъ работу силъ упругости на длинѣ x :

$$C_x = \frac{q^2}{2E \cdot F} \cdot \frac{x^3}{3} = \frac{q \cdot x}{3} \cdot \frac{q \cdot x^2}{2E \cdot F} = \frac{q \cdot x}{3} \cdot u \dots \dots \dots 28,а.$$

Совокупность ф-лъ 28 и 28,а показываетъ намъ, что работа силъ упругости, вызываемыхъ отъ дѣйствія собственнаго вѣса тѣла, можетъ быть изображена графически площадью нѣкоторой параболы, такъ какъ dC можетъ быть представленъ площадью элементарнаго прямоугольника, у котораго одно измѣреніе равно dx , а другое пропорціонально x^2 ; а изъ разсмотрѣнія ф-лы 28,а видно, что такую параболу въ извѣстномъ масштабѣ можетъ служить прямо кривая удлиненій, если у нея абсциссы считать по прежнему за величины удлиненій u , а за ординаты брать не x , а величины $q \cdot x$, т. е. величины нагрузокъ въ каждомъ изъ поперечныхъ сѣченій тѣла, или же величины, пропорціональныя напряженію въ сѣченіи. Такая диаграмма работъ представлена на фиг. 17, гдѣ

$AI = bd = u$ — удлиненіе бруса на длинѣ x ,

$Ab = di = q \cdot x = F \cdot h$ — нагрузка на длинѣ x , вызывающая въ сѣченіи b напряженіе h ,

площадь $Abd = C_x$ — работа силъ упругости на длинѣ x ,

$AI = BD = k$ — удлиненіе бруса на всей длинѣ его l ,

$AB = DI = q \cdot l = F \cdot h_0$ — собственный вѣсъ всего тѣла, вызывающій въ верхнемъ сѣченіи B бруса напряженіе h_0 ,

площадь $ABDdA = C$ — работа силъ упругости, вызываемыхъ дѣйствіемъ собственнаго вѣса тѣла, по всей его длинѣ. Очевидно,

$$C = \frac{q \cdot l}{3} \cdot k \dots \dots \dots 28,б.$$

Диаграмма работъ AdB (фиг. 17) показываетъ въ то же время и законъ измененія напряженій въ поперечномъ сѣченіи соотвѣтственно полученному тѣломъ удлиненію.

Когда брусъ подѣ дѣйствіемъ собственнаго вѣса получилъ удлиненіе k , нагрузка, равная вѣсу тѣла, совершила работу, выражаемую площадью $ABDI$ (фиг. 17) и равную $q \cdot l \cdot k$, а силы упругости оказали при этомъ упругое сопротивленіе, работа котораго C выражается площадью $ABDdA$.

Мы видимъ, что при этомъ оказывается существующимъ значительный избытокъ внѣшней работы, выражаемый площадью $AdDI$. Слѣдовательно, перемѣстившись на величину k , нижнее сѣченіе тѣла будетъ

оживлено еще въ некоторую скоростію v и будетъ продолжать удлиняться далѣе. Положимъ, что нижнее сѣченіе тѣла получить скорость $= 0$, только перемѣстившись на длину h_0 , т. е. давши удлиненіе $k_1 = k + h_0$; это удлиненіе предполагаемъ упругимъ, а тогда зависимость между удлиненіями и напряжениями будетъ выражаться при измѣненіи скорости отъ v до 0 такъ же, какъ и ранѣе—при измѣненіи ея отъ 0 до v , т. е. по закону, выражаемому одною и тою же параболою ADH (фиг. 17); ея крайняя ордината $CH = F \cdot h_1$ будетъ выражать при этомъ величину наибольшаго сопротивленія въ поперечномъ сѣченіи.

За весь періодъ измѣненія скорости нижняго сѣченія тѣла отъ 0 до v и затѣмъ отъ v до 0 , работа нагрузки д. б. = работѣ упругаго сопротивленія, т. е. площадь $ABEC$ д. б. = площади $ADHC$, или

$$F \cdot h_0 \cdot k_1 = \frac{2}{3} \cdot F \cdot h_1 \cdot k_1, \text{ откуда}$$

$$h_1 = 1,5 \cdot h_0 \dots \dots \dots \mathbf{29},$$

т. е. величина максимальнаго напряженія, вызываемая въ поперечномъ сѣченіи тѣла во время передачи нагрузки отъ дѣйствія собственнаго вѣса его, въ полтора раза болѣе того напряженія, съ которымъ тѣло будетъ работать, когда передача нагрузки уже совершится. Послѣ этого изъ чертежа (фиг. 17) можно опредѣлить и величину деформациі k_1 .

$$k_1 : k = (F \cdot h_1)^2 : (F \cdot h_0)^2, \text{ откуда}$$

$$\left. \begin{aligned} k_1 &= \frac{9}{4} k = 2,25 k \\ k_0 &= \frac{5}{4} k = 1,25 k \end{aligned} \right\} \dots \dots \dots \mathbf{30}.$$

б. Случай, когда передъ началомъ деформациі тѣла собственный вѣсъ его совершаетъ некоторую работу. Мы предполагаемъ, что передъ началомъ деформациі нижнее сѣченіе тѣла, подвѣшеннаго вертикально, перемѣстилось на величину f , совершивъ при этомъ работу (см. формулу 28,б), равную $\frac{1}{3} q \cdot l \cdot f$. Послѣ того начинается удлиненіе тѣла и возникновеніе въ его поперечныхъ сѣченіяхъ напряженій по закону, выражаемому параболою, подобно ADH на фиг. 17.

Пусть обозначаютъ (фиг. 18):

$z = AC_1$ — удлиненіе, получаемое тѣломъ въ этомъ случаѣ,

$y = F \cdot h_2 = C_1 H_1$ — наибольшее значеніе силы упругости въ верхнемъ сѣченіи бруса, соответствующее напряженію h_2 ,

$q \cdot l = F \cdot h_0 = r$ — собственный вѣсъ тѣла.

Выразимъ, что работа вѣшной силы = работѣ силы упругости, или площ. $A_1 B_1 E_1 C_1$ = площ. $ADH H_1 C_1$, или

$$\frac{2}{3} \cdot y \cdot z = \left(z + \frac{1}{3} \cdot f \right) \cdot r \dots \dots \dots \mathbf{31}.$$

Изъ чертежа (фиг. 18) имѣемъ:

$$\frac{z}{k} = \left(\frac{y}{r}\right)^2, \text{ или } \frac{y}{r} = \sqrt{\frac{z}{k}} \dots \dots \dots 32.$$

Соединяя 31 и 32, находимъ:

$$\frac{2}{3} \cdot z \cdot \sqrt{\frac{z}{k}} = z + \frac{1}{3} f, \text{ или}$$

$$\frac{4}{9} \frac{z^3}{k} = z^2 + \frac{2}{3} f \cdot z + \frac{1}{9} \cdot f^2, \text{ или}$$

$$z^3 - \frac{9}{4} k \cdot z^2 - \frac{3}{2} f \cdot k \cdot z - \frac{k \cdot f^2}{4} = 0 \dots \dots \dots \text{а.}$$

Въ общемъ видѣ это ур-іе 3-й степени можно написать такъ:

$$z^3 + a \cdot z^2 + b \cdot z + c = 0 \dots \dots \dots \text{б.}$$

$$\left. \begin{aligned} a &= -\frac{9}{4} \cdot k \\ b &= -\frac{3}{2} \cdot f \cdot k \\ c &= -\frac{1}{4} \cdot k \cdot f^2 \end{aligned} \right\} \dots \dots \dots \text{в.}$$

Чтобы упростить ур-іе б и привести его къ ф-лѣ Кардана, введемъ новое переменное X, опредѣляемое равенствомъ,

$$X = z - e \dots \dots \dots \text{г.}$$

Тогда ф-ла б даетъ:

$$X^3 + 3X^2 \cdot e + 3X \cdot e^2 + e^3 + a(X^2 + 2Xe + e^2) + b(X + e) + c = 0.$$

Выберемъ величину e так. обр., чтобы можно было это ур-іе привести къ виду

$$X^3 + m \cdot X + n = 0 \dots \dots \dots \text{д.}$$

Для этого нужно прежде всего имѣть:

$$a + 3e = 0, \text{ т. е.}$$

$$e = -\frac{a}{3} = \frac{3}{4} k \dots \dots \dots \text{ж.}$$

Затѣмъ надо имѣть:

$$m = 3e^2 + 2a \cdot e + b = b - \frac{a^2}{3}, \text{ или}$$

$$m = -\frac{3}{2} \cdot k \left(f + \frac{9}{8} \cdot k \right) \dots \dots \dots \text{з.}$$

И наконецъ необходимо имѣть еще слѣд. равенство:

$$n = e^3 + a \cdot e^2 + b \cdot e + c = c - \frac{a \cdot b}{3} + \frac{2}{27} \cdot a^3,$$

$$n = -\frac{k \cdot f^2}{4} - \frac{1}{3} \cdot \frac{9}{4} k \cdot \frac{3}{2} f \cdot k - \frac{2}{27} \cdot \left(\frac{9}{4} k \right)^3, \text{ откуда}$$

$$n = -\frac{k}{4} \left[f^2 + \frac{9}{2} \cdot f \cdot k + \frac{27}{8} k^2 \right] \dots \dots \dots \text{и.}$$

Подсчитавши величины коэф. m и n , найдемъ выраженіе

$$\Phi^2 = \left(\frac{n}{2}\right)^2 + \left(\frac{m}{3}\right)^3$$

Послѣ этого рѣшеніе ур-ія д по общей ф-лѣ представится въ слѣд. видѣ:

$$X = \sqrt[3]{-\frac{n}{2} + \Phi} + \sqrt[3]{-\frac{n}{2} - \Phi} \dots \dots \dots 33.$$

По ур-ію г имѣемъ:

$$z = e + X = X + \frac{3}{4} k \dots \dots \dots 34.$$

Послѣ этого по ур-ію 32 находимъ y , а по нему и напряженіе h_2 въ верхнемъ сѣченіи бруса.

$$\frac{y}{r} = \frac{h_2}{h_0} = \sqrt{\frac{z}{k}} = \sqrt{\frac{X}{k} + \frac{3}{4}} \dots \dots \dots 35.$$

Если сдѣлаемъ $f = 0$, тогда

$$\text{по ф-лѣ і} \dots \dots \left(\frac{n}{2}\right)^2 = \left(\frac{27}{64} k^3\right)^2 = \left(\frac{3}{4} k\right)^6,$$

$$\text{„ з} \dots \dots \left(\frac{m}{3}\right)^3 = -\left(\frac{9}{16} k^2\right)^3 = -\left(\frac{3}{4} k\right)^6,$$

поэтому $\Phi = 0$, а ст. б. изъ 33 получимъ:

$$X = 2 \sqrt[3]{-\frac{n}{2}} = 2 \sqrt[3]{\frac{27}{64} k^3} = \frac{3}{2} k$$

Затѣмъ изъ 34

$$z = \frac{3}{4} k + \frac{3}{2} k = \frac{9}{4} k,$$

что вполне согласно съ ф-лой 30. И наконецъ изъ 35 найдемъ:

$$\frac{h_2}{h_0} = \sqrt{\frac{3}{2} + \frac{3}{4}} = \frac{3}{2},$$

т. е. h_2 будетъ въ этомъ случаѣ, какъ и слѣдовало ожидать, одинаково съ h_1 .

в. Общій случай воздѣйствія нагрузки и собственного тѣса. Когда равновѣсіе между внѣшними силами и внутренними уже установилось, то удлиненіе тѣла вычисляется по совокупности ф-лъ 11 и 26:

$$\Theta_0 = l + k = \frac{l}{F \cdot E} \left(P + \frac{q \cdot l}{2} \right) \dots \dots \dots 36,$$

и соответственное напряженіе матеріала будетъ

$$H + h_0 = \frac{P + q \cdot l}{F} \dots \dots \dots 37.$$

При спокойной передачѣ на тѣло нагрузки и собственного вѣса получается удлинение, которое вычислится, соединяя ф-лы 16 а и 30:

$$l + h_1 + k_1 = 2.l + 2,25 k = \Theta_1$$

$$\Theta_1 = \frac{l}{E.F} \left(2P + \frac{9}{8} \cdot q \cdot l \right) \dots \dots \dots 38.$$

Соотвѣтственное этому напряженіе будетъ (ф-лы 16 и 29).

$$H_1 + h_1 = 2H + \frac{3}{2} h_0 = \frac{2P + 1,5 \cdot q \cdot l}{F} \dots \dots \dots 39.$$

Когда нижнее сѣченіе вертикальнаго бруса, гдѣ приложена нагрузка, до ея передачи на тѣло перемѣстится на высоту f , тогда тѣло получить удлиненіе Θ_2 (форм. 20 и 34):

$$\Theta_2 = X + \frac{3}{4} k + l \left(1 + \sqrt{1 + \frac{2f}{l}} \right) \dots \dots \dots 40.$$

Соотвѣтственная этому величина напряженія будетъ (ф-лы 20 и 35):

$$H_2 + h_2 = \frac{P}{F} \left(1 + \sqrt{1 + \frac{2f}{l}} \right) + \frac{q \cdot l}{F} \sqrt{\frac{X}{k} + \frac{3}{4}} \dots \dots \dots 41.$$

26. Задачи. № 17. Стальной шахтный канатъ съ прямоугольнѣмъ сѣченіемъ $22 \times 90^m/m$ состоитъ изъ 168 стальныхъ проволокъ и употребляется при глубинѣ шахты въ 700 *mt*. При спокойно висящей нагрузкѣ $P = 3000$ *к.* канатъ работаетъ по даннымъ завода, изготовлявшаго канатъ, съ 10-кратной надежностью. Выяснить удлиненія и напряженія въ этомъ канатѣ при различныхъ условіяхъ его работы.

Рабочая площадь сѣченія каната $F = 528$ кв. мм.

Вѣсъ погоннаго *mt* длины каната $q = 5,5$ *к.*

Разрывающая погрузка для этого каната дана заводомъ въ 63300 *к.*, поэтому разрывающее напряженіе будетъ

$$Z_0 = \frac{63300}{528} = 120 \text{ к. на кв. } m/m.$$

По 37:

$$H + h_0 = \frac{3000 + 5,5 \cdot 700}{528} = 12,973 \text{ к. на кв. } m/m.$$

$$H = \frac{3000}{528} = 5,681 \dots \dots \dots \text{ а}$$

$$h_0 = \frac{5,5 \cdot 700}{528} = 7,292 \dots \dots \dots \text{ б.}$$

Когда грузъ виситъ спокойно, степень надежности каната будетъ

$$\frac{Z_0}{H + h_0} = \frac{63300}{6850} = 9,24 = \frac{120}{12,973}$$

При спокойной передачѣ нагрузки возбудится напряженіе (см. ф-лу 39):

$$H_1 + h_1 = \frac{2 \cdot 3000 + 1,5 \cdot 5,5 \cdot 700}{528} = 22,3 \text{ к. на кв. } m/m$$

Въ этомъ случаѣ степень надежности будетъ уже всего только

$$\frac{120}{22,3} = 5,4$$

Дальнѣйшее уменьшеніе степени надежности идетъ весьма быстро съ увеличеніемъ высоты f , т. е. предварительной работы, съ которою воздѣйствуетъ грузъ и собственный вѣсъ въ началѣ вытяжки. Пусть $f = 20^m/m$ и остается одинаковымъ по мѣрѣ навиванія каната на барабанъ. Въ таблицѣ 8-й приведены величины удлиненій и напряженій въ верхнемъ сѣченіи каната при переменнѣйшей величинѣ l , которая пусть измѣняется въ предѣлахъ отъ 10 до 700 mt .

Таблица 8-я.

l mt	Удлиненія въ мм.			Напряженія въ кг. на кв. мм.		По формулѣ 20.	
	X ф-ла 33.	k ф-ла 26	z ф-ла 34.	$q \cdot l : F$	h_2 ф-ла 35.	удл. l_2 въ мм.	напряж. H_2 въ кг. на кв. мм.
ОТЪ СОБСТВЕННОГО ВѢСА.						ОТЪ НАГРУЗКИ.	
10	1,57	0,03	1,59	0,10	0,81	13,96	27,92
50	5,76	0,65	6,25	0,52	1,61	41,95	16,78
100	11,29	2,60	13,25	1,04	2,35	72,50	14,50
200	25,82	10,42	33,63	2,08	3,74	131,00	13,10
500	100,20	65,11	149,33	5,21	7,88	302,75	12,11
700	204,30	127,60	300,00	7,29	11,17	416,50	11,91

Когда грузъ виситъ спокойно, напряженіе h_0 отъ собственного вѣса превышаетъ напряженіе H отъ нагрузки, а при ударномъ дѣйствіи, наоборотъ, вліяніе нагрузки сказывается сильнѣе, какъ показываютъ данныя табл. 8-й. Когда канатъ свился съ барабана вполнѣ, т. е. $l = 700 mt$, то

$$H_2 + h_2 = 11,91 + 11,17 = 23,08,$$

а когда свободный конецъ каната подѣ шахтою = 10 mt , то

$$H_2 + h_2 = 27,92 + 0,81 = 28,73$$

Если бы свободную длину каната надѣ шахтою оставить всего только 1 mt и передать на канатъ ту же величину живой силы, что и ранѣе, то по ф-лѣ 20 нашли бы

$$H_2 = 73,3 \text{ кг. на кв. } ^m/m.$$

Эти данныя указываютъ, насколько чувствительно отзывается на повышеніи напряженія ударное дѣйствіе нагрузки при уменьшеніи свободной длины каната, не навитой еще на барабанъ, и насколько существенно важно имѣть эту минимальную свободную длину все еще довольно большою.

27. Тѣло равнаго сопротивленія при растяженіи. Ф-ла 21 показываетъ, что въ различныхъ сѣченіяхъ призматическаго вертикально-подвѣшеннаго тѣла напряженія матеріала имѣютъ различную величину; а изъ ф-лы 22 а видно, что тѣло получаетъ свои размѣры большими, чѣмъ даетъ ф-ла 7 а изъ за одного только сѣченія, опаснаго, а въ остальныхъ сѣченіяхъ размѣры ихъ можно было бы имѣть и менѣе, сообразно съ величиною существующаго въ нихъ напряженія.

Отсюда возникаетъ мысль о построеніи тѣла такой формы, при существованіи которой у него во всѣхъ поперечныхъ сѣченіяхъ напряженія были бы одинаковы. Такое тѣло наз. *тѣломъ равнаго сопротивленія*. Очевидно, что, при одинаковой крѣпости съ тѣломъ призматическимъ, тѣло равнаго сопротивленія будетъ отвѣчать условію наименьшаго вѣса.

Пусть AB (фиг. 19) будетъ ось такого тѣла. Возьмемъ у него произвольное сѣченіе C на разстояніи x отъ нижняго основанія и напишемъ условіе равновѣсія нагрузки съ внутренними силами въ этомъ сѣченіи. Нагрузка состоитъ изъ двухъ частей—внѣшней нагрузки P , приложенной къ нижнему основанію тѣла и собственнаго вѣса части AC тѣла. Эта послѣдняя величина будетъ:

$$Q_x = \int_0^x F \cdot \gamma \cdot dx \dots \dots \dots \text{в.}$$

Условіе равновѣсія силъ въ сѣченіи C напишется такъ:

$$P + Q_x = F \cdot H \dots \dots \dots \text{а.}$$

Въ этой ф-лѣ постоянныя величины суть P и H , а остальныя величины—функции x . Дифференцируя ур-іе а по переменному x , получимъ:

$$F \cdot \gamma \cdot dx = H \cdot dF, \text{ или}$$

$$\frac{\gamma}{H} \cdot dx = \frac{dF}{F} \dots \dots \dots \text{б.}$$

Введемъ обозначеніе

$$\frac{\gamma}{H} = u \dots \dots \dots \text{42.}$$

Пусть F_1 будетъ площадь верхняго основанія тѣла,

$F_0 = P : H$ — площ. нижняго основанія его.

Интегрируемъ ур-іе б въ предѣлахъ измѣненія переменнаго x отъ 0 до x , а переменнаго F —отъ 0 до F , тогда:

$$u \cdot x = \ln \frac{F}{F_0}, \text{ или}$$

$$\frac{F}{F_0} = e^{u \cdot x} \dots \dots \dots \text{43.}$$

гдѣ e —основаніе логарифмовъ *Непера*. Ф-ла 43 и есть ур-іе поверхности, ограничивающей тѣло равнаго сопротивленія. Для опредѣленія величины площади верхняго сѣченія получимъ ф-лу:

$$F_1 = \frac{P}{H} \cdot e^{u \cdot l} \dots \dots \dots \text{44, или.}$$

$$\log F_1 = \log \frac{P}{H} + \frac{\gamma}{H} \cdot l \cdot 0,434 \dots \dots \dots 45.$$

Собственный вѣсъ Q всего тѣла равнаго сопротивленія найдется по ф-лѣ **В** путемъ интегрированія при верхнемъ предѣлѣ $x = l$:

$$Q = \int_0^l \gamma \cdot F_0 \cdot e^{u \cdot x} dx = P \cdot (e^{u \cdot l} - 1) \dots \dots \dots 46.$$

Тотъ же самый результатъ можно получить и безъ интеграціи, написавши равновѣсіе силъ въ сѣченіи B (фиг. 19):

$$P + Q = H \cdot F_1 \dots \dots \dots 46,а.$$

$$Q = H \cdot F_1 - P = P (e^{u \cdot l} - 1).$$

Кривою напряженій для этого тѣла будетъ прямая EF , параллельная оси бруса.

Для выясненія вида кривой удлиненій напомнимъ законъ *Гука* въ примѣненіи къ элементу объема тѣла съ бесконечно малой высотой dx , взявши этотъ элементъ на произвольномъ разстояніи x отъ нижняго сѣченія:

$$H : i = E \dots \dots \dots \Gamma.$$

Эта ф-ла показываетъ, что вытяжка произвольно взятаго элемента постоянна и не зависитъ отъ его положенія по высотѣ тѣла; слѣд., здѣсь всѣ элементы съ одинаковой высотой будутъ давать одну и ту же вытяжку. Если удлиненіе на длинѣ x будетъ λ , то

$$\lambda = \frac{H}{E} \cdot x \dots \dots \dots \Delta.$$

Мы видимъ изъ этого ур-ія, что кривая удлиненій будетъ въ этомъ случаѣ прямою линіею AM . Опредѣлимъ длину BM , т. е. удлиненіе всей длины бруса:

$$BM = \lambda_1 = \frac{P \cdot l}{E \cdot F_0} \dots \dots \dots \epsilon,$$

т. е. *тѣло равнаго сопротивленія даетъ такое же удлиненіе, какое получилось бы у тѣла съ горизонтальной осью, рассчитаннаго по той же нагрузкѣ и съ одинаковою надежностью въ обоихъ случаяхъ.*

Ф-ла **44** показываетъ, что, какова бы ни была длина тѣла, рѣшеніе вопроса объ опредѣленіи размѣровъ тѣла равной крѣпости будетъ вполне опредѣленнымъ. Нельзя того же сказать относительно призматическаго тѣла (см. ф-лу **22 а**). Когда длина тѣла достигаетъ *предѣльной* для даннаго матеріала (см. зад. № 12), рѣшеніе вопроса при этомъ матеріалѣ дѣлается невозможнымъ; тогда приходится обращаться къ матеріалу болѣе крѣпкому, обладающему болѣею величиной Z , — отъ желѣзныхъ канатовъ и штангъ приходится переходить въ шахтномъ дѣлѣ къ стальнымъ канатамъ и штангамъ. Но при весьма глубокихъ шахтахъ (болѣе 1000 *mt*) и при употребленіи стали встрѣчаются уже затрудненія при выполненіи призматической формы. Въ

такомъ случаѣ неопѣнимую услугу оказываетъ примѣненіе формы тѣла равнаго сопротивленія. Но точное практическое выполненіе ея оказывается въ высшей степени затруднительнымъ. Довольствуются поэтому болѣе или менѣе близкимъ приближеніемъ къ этой идеальной формѣ, осуществляя тѣло *ступеньчатымъ*, состоящимъ изъ цѣлаго ряда отдѣльныхъ призматическихъ тѣлъ.

28. Ступеньчатое тѣло съ нѣсколькими сѣченіями равной крѣпости.

Пусть имѣемъ ступеньчатое тѣло, состоящее изъ n призматическихъ элементовъ, верхнія основанія которыхъ мы желаемъ осуществить всѣ съ одинаковой крѣпостью. Введемъ обозначенія:

$F_1 F_2 F_3 \dots F_n$ — площади сѣченія призматическихъ элементовъ ступеньчататаго тѣла,

$l_1 l_2 l_3 \dots l_n$ — длина отдѣльныхъ элементовъ,

L — вся длина тѣла,

$Q_1 Q_2 Q_3 \dots Q_n$ — вѣсъ отдѣльныхъ элементовъ,

Q — вѣсъ всего тѣла,

P — внѣшняя нагрузка, приложенная къ нижнему основанію тѣла,

Z — допускаемое напряженіе матеріала, одинаковое во всѣхъ опасныхъ сѣченіяхъ тѣла ($B, C, D \dots$ на фиг. 20),

γ — вѣсъ кубич. единицы матеріала,

Условіе равновѣсія внѣшнихъ и внутреннихъ силъ въ сѣченіи B для 1-го снизу элемента напишется такъ:

$$P + Q_1 = P + F_1 \cdot l_1 \cdot \gamma = F_1 \cdot Z \dots \dots \dots \text{а}$$

$$F_1 = \frac{P}{Z - l_1 \cdot \gamma} \dots \dots \dots \text{б.}$$

Для 2-го элемента въ сѣченіи C получимъ:

$$P + Q_1 + Q_2 = P + F_1 \cdot l_1 \cdot \gamma + F_2 \cdot l_2 \cdot \gamma = F_2 \cdot Z \dots \dots \text{в.}$$

Пользуясь ф-лой **а**, напишемъ:

$$F_1 \cdot Z = F_2 \cdot (Z - l_2 \cdot \gamma), \text{ откуда}$$

$$F_2 = \frac{P \cdot Z}{(Z - l_1 \cdot \gamma)(Z - l_2 \cdot \gamma)} \dots \dots \dots \text{г}$$

Такимъ же образомъ для 3-го элемента въ сѣченіи D должны имѣть:

$$P + Q_1 + Q_2 + Q_3 = F_3 \cdot Z, \text{ или}$$

$$P + F_1 \cdot l_1 \cdot \gamma + F_2 \cdot l_2 \cdot \gamma + F_3 \cdot l_3 \cdot \gamma = F_3 \cdot Z.$$

Пользуясь ф-лой **в**, напишемъ:

$$F_2 \cdot Z = F_3 \cdot (Z - l_3 \cdot \gamma),$$

откуда при помощи ф-лы **г** получимъ:

$$F_3 = \frac{P \cdot Z^2}{(Z - l_1 \cdot \gamma)(Z - l_2 \cdot \gamma)(Z - l_3 \cdot \gamma)} \dots \dots \dots \text{д.}$$

Совершенно аналогично съ предыдущимъ для n -го элемента тѣла, т. е. для самаго верхняго сѣченія его можно написать:

$$F_n = \frac{P \cdot Z^{n-1}}{(Z-l_1 \cdot \gamma)(Z-l_2 \cdot \gamma) \dots (Z-l_n \cdot \gamma)} \dots \dots \dots 47.$$

Если дано, что

$$l_1 = l_2 = \dots = l_n = l = \frac{L}{n}, \text{ тогда}$$

$$F_n = \frac{P \cdot Z^{n-1}}{(Z-l \cdot \gamma)^n} = \frac{P}{Z} \cdot \left(\frac{Z}{Z-l \cdot \gamma} \right)^n \dots \dots \dots 48.$$

Это есть выраженіе площади самаго верхняго сѣченія ступеньчатого тѣла, но тою же ф-лой 48 можно пользоваться для опредѣленія размѣровъ и всѣхъ остальныхъ сѣченій. Для этого стоитъ только вмѣсто n вносить въ нее 1, 2, 3.....

Собственный вѣсъ тѣла найдется по ф-лѣ

$$Q = \gamma \cdot (F_1 \cdot l_1 + F_2 \cdot l_2 + \dots + F_n \cdot l_n)$$

Еще проще находится собственный вѣсъ тѣла, написавши условіе равновѣсія нагрузки и внутреннихъ силъ въ самомъ верхнемъ сѣченіи тѣла:

$$P + Q = F_n \cdot Z = P \cdot \left(\frac{Z}{Z-l \cdot \gamma} \right)^n \dots \dots \dots 49.$$

Удлиненіе тѣла найдется, опредѣляя на общихъ основаніяхъ удлиненія его элементовъ и складывая ихъ.

Обозначимъ въ ф-лѣ 48 коэфф. при $P : Z$ чрезъ A и внесемъ въ него

$$l = L : n.$$

Тогда

$$A = \left(\frac{Z}{Z - \frac{L \cdot \gamma}{n}} \right)^n \dots \dots \dots 50.$$

Сдѣлавши $n = \infty$, получимъ

$$A = 1^\infty.$$

Обозначимъ

$$L \cdot \gamma : Z = b \dots \dots \dots \text{е.}$$

Тогда

$$A = \left(\frac{1}{1 - \frac{b}{n}} \right)^n \dots \dots \dots \text{ж.}$$

Вводя обозначеніе

$$\frac{1}{1 - \frac{b}{n}} = y \dots \dots \dots 3.$$

напишемъ, что

$$A = y^n.$$

Возьмемъ *Неперовъ* логариомъ этого выраженія.

$$\ln A = n \cdot \ln y = z \dots \dots \dots \text{и.}$$

Откуда

$$A = e^z \dots \dots \dots \text{i.}$$

Опредѣлимъ величину z :

$$z = n \cdot \ln y = n \cdot \ln \frac{1}{1 - \frac{b}{n}} \dots \dots \dots \text{к.}$$

Если сдѣлать въ этомъ выраженіи $n = \infty$, то получимъ

$$z = \infty \cdot 0.$$

Выраженіе k можно написать иначе:

$$z = \frac{\ln \frac{1}{1 - \frac{b}{n}}}{\frac{1}{n}}$$

Чтобы избавиться неопредѣленности въ этомъ выраженіи, беремъ производную отъ числителя его и дѣлимъ ее на производную отъ знаменателя:

$$z = \frac{\left(1 - \frac{b}{n}\right) \cdot \left(-\frac{b}{n^2}\right)}{\left(1 - \frac{b}{n}\right)^2} : \left(-\frac{1}{n^2}\right), \text{ или}$$
$$z = \frac{b}{1 - \frac{b}{n}} \dots \dots \dots \text{м.}$$

Сдѣлавши въ этой ф-лѣ $n = \infty$, получимъ

$$z = b = \frac{L \cdot \gamma}{Z} = u \cdot L \dots \dots \dots \text{п.}$$

Внося это выраженіе въ ф-лу *i*, а затѣмъ и въ ф-лу **48**, получимъ:

$$F_n = \frac{P}{Z} \cdot e^{u \cdot L} \dots \dots \dots \text{51.}$$

Откуда видимъ, что эта ф-ла вполне согласна съ ф-лой **44**, т. е. въ предѣлѣ, при безконечномъ числѣ элементовъ ступеньчатаго тѣла, его форма обращается въ форму тѣла равнаго сопротивленія.

Случалось слышать отвѣтъ, что ступеньчатое тѣло, о которомъ говорилось въ этомъ §, верхними основаніями своихъ элементовъ будетъ касаться поверхности тѣла равнаго сопротивленія. Это невѣрно. Тогда получимъ ступеньчатое тѣло, у котораго во всѣхъ верхнихъ основаніяхъ элементовъ будетъ существовать *различное* напряженіе, а не одинаковое.

29. **Задачи. № 18.** Длина шахтного каната $L = 1200 \text{ mt}^*$). Нагрузка на нижнем концѣ его $P = 1750 \text{ кг}$. На изготовленіе каната употреблена проволока изъ тигельной стали съ разрушающимъ напряженіемъ 120 кг . на кв. мм.; допускаемое напряженіе считается возможнымъ взять $Z = 16,5 \text{ кг}$. на кв. мм. Найти размѣры и вѣсъ каната, когда онъ будетъ выполненъ:

- а) цилиндрическимъ,
- б) ступеньчатымъ съ 6-ю сѣченіями равной крѣпости,
- в) въ видѣ тѣла равнаго сопротивленія.

Приведенный уд. вѣсъ каната, принимая во вниманіе существованіе пенъковой прокладки между проволоками, осмолку и проч., возьмемъ $\phi = 9$.

Степень надежности каната будетъ:

$$\phi = \frac{120}{16,5} = 7,3.$$

Случай а — канатъ цилиндрической. По ф-лѣ 22 а:

$$F = \frac{P}{Z - L \cdot \gamma}$$

$$\text{Величина } L \cdot \gamma = 1200000 \cdot \frac{9}{1000000} = 10,8$$

$$F = \frac{1750}{16,5 - 10,8} = 307 \text{ кв. мм.}$$

Собственный вѣсъ каната

$$Q = F \cdot L \cdot \gamma = 307 \cdot 10,8 = 3316 \text{ кг.}$$

Случай б — канатъ изъ 6 элементовъ равной крѣпости; длина каждаго элемента $l = 200 \text{ mt}$. Величина

$$l \cdot \gamma = \frac{L \cdot \gamma}{6} = \frac{10,8}{6} = 1,8$$

По ф-лѣ 48 — для перваго элемента снизу:

$$F_1 = \frac{1750}{16,5} \left(\frac{16,5}{16,5 - 1,8} \right)^1 = 120 \text{ кв. мм.}$$

$$\frac{Z}{Z - l \cdot \gamma} = \frac{16,5}{14,7} = 1,122; \quad \frac{1750}{16,5} = 106.$$

Для 2-го элемента снизу (ф-ла 48):

$$F_2 = 106 \cdot (1,122)^2 = 134 \text{ кв. мм.}$$

Для 3-го элемента снизу (ф-ла 48):

$$F_3 = 106 \cdot (1,122)^3 = 151 \text{ кв. мм.}$$

*) Глубина одной изъ богемскихъ шахтъ (шахта *Adalbert* въ Пшибравѣ).

Для 4-го элемента снизу (ф-ла 48):

$$F_4 = 106 \cdot (1,122)^4 = 169 \text{ кв. мм.}$$

Для 5-го элемента снизу (ф-ла 48):

$$F_5 = 106 \cdot (1,122)^5 = 189 \text{ кв. мм.}$$

Для верхняго сѣченія каната (ф-ла 48):

$$F_6 = 106 \cdot (1,122)^6 = 212 \text{ кв. мм.}$$

Собственный вѣсъ каната (на ф-лѣ 49):

$$P + Q = 212 \cdot 16,5 = 3498$$

$$Q = 3498 - 1750 = 1748 \text{ кг.}$$

Случай в — тѣло равнаго сопротивленія. Нижнее основаніе этого тѣла будетъ имѣть площадь

$$F_0 = 106 \text{ кв. мм.} = \frac{1750}{16,5}$$

Площадь верхняго основанія получимъ на ф-лѣ 44, въ которой показатель $u \cdot l$ надо будетъ замѣнить величиною

$$\frac{\gamma}{H} \cdot L = \frac{10,8}{16,5} = 0,654.$$

Тогда

$$F_1 = \frac{1750}{16,5} (2,71828)^{0,654} = 200 \text{ кв. мм.}$$

Собственный вѣсъ тѣла найдемъ по ф-лѣ 46,а:

$$Q = 200 \cdot 16,5 - 1750 = 1550 \text{ кг.}$$

Отношеніе вѣсовъ во всѣхъ трехъ случаяхъ а, б, в представится въ слѣдующемъ видѣ

$$3316 : 1748 : 1550, \text{ или иначе}$$

$$2,133 : 1,128 : 1.$$

Эти цифры показываютъ, что выполняя ступеньчатое тѣло изъ *призматическихъ* элементовъ, мы весьма близко подходимъ къ идеальному рѣшенію вопроса, доводя вѣсъ тѣла почти до минимальнаго возможнаго и сводя стоимость издержекъ по изготовленію тѣла къ *min*.

На этомъ основаніи длинные шахтные стержни и канаты и выполняются всегда, какъ ступеньчатыя тѣла.

30. Разсчетъ длинныхъ шахтныхъ штангъ. Длинные шахтные стержни, испытывающіе одно растягивающее дѣйствіе нагрузки, можно рассчитывать по общей ф-лѣ 48; но можно для этого вывести и другую ф-лу, связывающую между собою размѣры двухъ смежныхъ ступеней.

Пусть обозначаютъ :

n — число ступеней или элементовъ тѣла,

m — произвольное число между 1 и n ,

$F_1 F_2 \dots F_m F_{m+1} \dots F_n$ — площади поперечных сечений различных ступеней,

$l_1 l_2 \dots l_m l_{m+1} \dots l_n$ — длины ступеней,

$Q_1 Q_2 \dots Q_n$ — вѣсъ элементовъ ступеньчатаго тѣла,

γ — приведенный вѣсъ единицы объема штангъ, увеличенный противъ дѣйствительнаго вѣса ед. об. на 25—30%, вслѣдствіе существованія соединительныхъ муфтъ съ ихъ принадлежностями,

l_0 — предельная длина для даннаго матеріала, приведенная къ данной здѣсь величинѣ γ ,

$Z = l_0 \cdot \gamma$ — допускаемое напряженіе матеріала.

Разсчитывая $(m + 1)$ -ю ступень штанги, мы даемъ ей площадь сѣченія F_{m+1} вмѣсто F_m , которая была у предыдущей ступени, потому только, что на протяженіи между разсчетными сѣченіями m -й и $(m+1)$ -й ступени является новая нагрузка Q_{m+1} , т. е. собственный вѣсъ разсчитываемой ступени. Разность площадей двухъ смежныхъ разсчетныхъ сѣченій и д. б. достаточна, чтобы выносить на себѣ дѣйствіе нагрузки отъ собственнаго вѣса $(m + 1)$ -й ступени. Выражая эту мысль, получимъ слѣдующее ур-іе:

$$(F_{m+1} - F_m) \cdot Z = Q_{m+1} = F_{m+1} \cdot l_{m+1} \cdot \gamma \dots \dots \dots 52.$$

При разсчетѣ этой ϕ -лой можно распорядиться двояко: а) задаваясь длинами ступеней, можно опредѣлять величины площадей, или б) выбирая площади ступеней, удобныя для исполненія, можно опредѣлять длины ступеней.

Случай а. Выбираются длины ступеней. Обыкновенно берутъ

$$l_1 = l_2 = \dots \dots \dots = l_n = l = \frac{L}{n},$$

тогда

$$F_{m+1} = F_m \cdot \frac{Z}{Z - l \cdot \gamma} \dots \dots \dots 53.$$

Это и есть общее ур-іе для рѣшенія вопроса въ этомъ случаѣ. Величина

$$\frac{Z}{Z - l \cdot \gamma} = k \dots \dots \dots а.$$

представляетъ собою постоянный коэф., на который помножается площадь предыдущей ступени, чтобы получить площадь послѣдующей, при этомъ вмѣсто m вносятъ всѣ значенія, начиная съ $m = 0$ и кончая $m = n - 1$. Когда сдѣлаемъ $m = 0$ мы получимъ площадь F_0 , которая будетъ достаточна, чтобы вынести на себѣ дѣйствіе нагрузки безъ собственнаго вѣса, т. е.

числа оснований $F_0 = P : Z \dots \dots \dots б.$

Тогда при $m=0$, получимъ

$$F_1 = \frac{P}{Z} \cdot k. \dots \dots \dots \text{в},$$

что вполне согласно съ ф-лой 22а.

Внѣ всякаго сомнѣнія, что, разсчитывая ступеньчатое тѣло этимъ приѣмомъ, мы получимъ для него тѣ же самые размѣры, что и ранѣе — съ помощію ф-лы 48. Но этотъ приѣмъ является нѣсколько болѣе общимъ, такъ какъ онъ позволяетъ въ столь же простой формѣ вести рассчетъ и при различной длинѣ ступеней.

Случай б. Выбираются площади сѣченій ступеней штанги, не назначая заранѣе числа ступеней. Выборъ площадей дѣлается, соображаясь съ мѣстными условіями, съ сортами матеріала, который можно пустить въ дѣло. Для этого прежде всего опредѣляютъ по ф-лѣ 6 этого § величину F_0 . Съ такою площадью не будетъ выполнена ни одна изъ ступеней, но эта величина позволяетъ ориентироваться при выборѣ величины площадей $F_1 F_2 F_3 \dots$. Пусть, напр., площади F_0 соотвѣтствуетъ діам. въ 75,3 мм. Тогда можно назначить, что будутъ сдѣланы ступени съ діам. въ 80, 85, 90 мм. и т. д., а опредѣлять нужно будетъ длину ступеней по общей ф-лѣ, которую получимъ изъ 52:

$$l_{m+1} = \frac{F_{m+1} - F_m}{F_{m+1}} \cdot l_0 \dots \dots \dots 54.$$

Давая m въ этой ф-лѣ всѣ значенія отъ 0 до $(n-1)$, мы получимъ длину всѣхъ ступеней. Длину каждой изъ ступеней въ окончательномъ исполненіи можно сдѣлать или равною вычисленной или менѣе ея, соображаясь съ выбранною нормальною длиною отдѣльныхъ частей, изъ которыхъ будетъ сдѣлана каждая ступень.

При расчетѣ шахтныхъ стержней этотъ 2-й способъ рѣшенія вопроса часто предпочитаютъ, такъ какъ онъ приводитъ къ такимъ результатамъ, отъ которыхъ менѣе всего приходится отступать при практическомъ выполненіи отдѣльныхъ ступеней штанги.

Если никакихъ отступленій отъ вычисленныхъ величинъ для площади сѣченій и длины ступеней не сдѣлано при исполненіи штанги, то собственный вѣсъ ея, пользуясь ф-лой 52, напишется такъ:

$$Q = Q_1 + Q_2 \dots Q_n = (F_n - F_0) \cdot Z \dots \dots \dots 55.$$

Если же исполняемые размѣры взяты нѣсколько иными, чѣмъ вычисленные (разумѣется, не въ ущербъ прочности), тогда ф-ла 55 можетъ служить только для приблизительнаго подсчета вѣса, а точное его выраженіе должно быть получено, точнымъ образомъ высчитывая вѣсъ каждаго изъ исполняемыхъ элементовъ. Сравненіе истиннаго вѣса съ теоретическимъ покажетъ, насколько неблагоприятно повліяли на результатъ сдѣланныя измѣненія.

31. **Расчет шахтных канатов.** Такие канаты выполняются из проволоки с толщиной в $\frac{m}{m}$

2,8; 2,65; 2,50; 2,35; 2,20; 2,05 и т. д. до 1 мм.

Материалом для изготовления проволоки в таких канатах служат — железо ($Z_0 = 40 - 55$ кг. на кв. мм), фосфористая бронза ($Z_0 = 55$), мартеновская сталь ($Z_0 = 65 - 75$) и тигельная сталь ($Z_0 = 110 - 180$).

Отдельные проволоки свиваются в *стренги*; из стренг состав-
ляется *канат*. Сечения отдельных стренг могут быть сгруппиро-
ваны или около одного центра, — тогда получается *круглый* канат, или
вдоль прямой линии, перпендикулярной к оси каната, — тогда обра-
зуется *ленточный* канат.

Число проволок в стренге A бывает весьма различно. Если $A = 3$ или 4, то между отдельными проволоками никакой прокладки не дѣлается. При $A = 5, 6, 7$ и 8 между проволоками располагается *сердцевина*, или прокладка из просмоленного пенькового жгута; $A = 12$ составляется из $3 + 9$, причем 3 проволоки располагаются центрально, а 9 — по периферии; такимъ же образомъ составляются стренги при

$$\begin{array}{ll} A = 14 = 4 + 10 & A = 27 = 3 + 9 + 15 \\ A = 16 = 5 + 11 & A = 30 = 4 + 10 + 16 \\ A = 18 = 6 + 12 & A = 33 = 5 + 11 + 17 \\ A = 20 = 7 + 13 & A = 36 = 6 + 12 + 18 \\ A = 22 = 8 + 14 & \text{и т. д.} \end{array}$$

Число стренг B в круглом канатѣ бываетъ обыкновенно $= 6$, такъ что число проволокъ в канатѣ, равно произведенію $A \cdot B$, можетъ быть

30, 36, 42, 48, 72, 84, 96, 108, 120, 132, 162, 180, 198, 216 и т. д.

Выполненіе ступеньчатыхъ канатовъ дѣлается так. обр., что измѣ-
неніе діам. его происходитъ постепенно и незамѣтно для глаза, безъ
всякихъ видимыхъ уступовъ, которые не позволяли бы производить *не-*
прерывное сохраненіе или непрерывное измѣненіе скорости при нави-
ваніи каната на барабанъ и свиваніи его съ барабана. Поэтому число
стренгъ B у каната остается на всемъ протѣяженіи одинаковымъ, а
мѣняется или число и длина проволокъ в каждой ступени, или
діам. ихъ.

Пусть обозначаютъ:

$A_1 A_2 \dots A_m A_{m+1} \dots A_n$ — число проволокъ в стренгѣ каж-
дой ступени,

$f_1 f_2 \dots f_n$ — площадь сѣченія одной проволоки в каждой
ступени,

γ — *приведенный* вѣсъ ед. объема каната, увеличенный противъ
дѣйствительнаго вѣса ед. объема металла по крайней мѣрѣ на 25%,
вслѣдствіе существованія пеньковой сердцевины в стренгахъ и между

стренгами, вслѣдствіе осмолки каната. неизбежныхъ отступленій отъ теоретическихъ данныхъ въ пользу крѣпости и т. д.;

$$l_0 \text{ — приведенная предѣльная длина для каната,}$$

$$Z = l_0 \cdot \gamma \text{ — допускаемое напряжение матеріала.}$$

Всѣ остальные обозначенія относительно длины ступеней и ихъ вѣса оставляемъ тѣ же, что и въ предыдущемъ §.

Основное ур-іе крѣпости $(m + 1)$ -й ступени, данное въ предыдущемъ § въ видѣ ф-лы **52**, должно будетъ претерпѣть въ примѣненіи къ расчету каната слѣдующія измѣненія:

$$F_m = B \cdot A_m \cdot f_m$$

$$F_{m+1} = B \cdot A_{m+1} \cdot f_{m+1}$$

$$(A_{m+1} \cdot f_{m+1} - A_m \cdot f_m) \cdot B \cdot Z = B \cdot \gamma \cdot A_{m+1} \cdot f_{m+1} \cdot l_{m+1} \cdot \dots \cdot \mathbf{56.}$$

Какъ видно изъ этого ур-ія, зависимость между площадями предыдущей и послѣдующей ступени можетъ вовсе не зависѣть отъ числа стренгъ B въ канатѣ.

Рѣшеніе вопроса о крѣпости ступеньчатаго каната при помощи ф-лы **56** теоретически могло бы быть сдѣлано 6-ю различными способами, т. к. здѣсь имѣемъ 3 величины A, f, l , изъ которыхъ одну можно оставлять постоянною, а двѣ другія — дѣлать переменными. Но изъ всѣхъ этихъ 6 способовъ даютъ наиболѣе простое и практически удобоосуществимое рѣшеніе только 2 способа — или *a) съ постоянной толщиной проволоки* на всемъ протяженіи каната и съ переменнымъ числомъ проволокъ въ стренгѣ, или, наоборотъ, *б) съ постояннымъ числомъ проволокъ въ стренгахъ* на всемъ протяженіи каната и переменнымъ діам. проволокъ при переходѣ изъ одной ступени въ другую; въ обоихъ случаяхъ длина ступеней выходитъ переменной, но ради упрощенія фабрикаціи ничто не мѣшаетъ установить мѣстами длину ступеней и постоянною, не нарушая условій крѣпости.

Способъ a. Толщина проволоки для изготовленія всего каната — одна и та же, съ однимъ и тѣмъ же разрывающимъ напряженіемъ, а измѣняется число проволокъ въ стренгахъ то въ одной, то въ другой, то въ третьей. Здѣсь

$$f_0 = f_1 = f_2 = \dots = f_m = f_{m+1} = \dots = f_n$$

поэтому ур-іе **56** принимаетъ видъ:

$$(A_{m+1} - A_m) \cdot Z = \gamma \cdot A_{m+1} \cdot l_{m+1}$$

$$l_{m+1} = \frac{A_{m+1} - A_m}{A_{m+1}} \cdot l_0 \cdot \dots \cdot \mathbf{57.}$$

По этой ф-лѣ опредѣляютъ длину всѣхъ ступеней каната, внося въ нее вмѣсто m всѣ значенія отъ 0 до $n - 1$, пока не будетъ получена полная длина каната

$$L = l_1 + l_2 + \dots + l_n$$

При этомъ выбирается разъ навсегда діам. проволоки и каждый разъ мѣняется число проволокъ въ стренгѣ. Расчетъ начинается съ самаго нижняго *теоретическаго* сѣченія каната, выдерживающаго на себѣ дѣйствіе одной только нагрузки P . Пусть въ этомъ сѣченіи число стренгъ будетъ A_0 , тогда

$$B \cdot A_0 \cdot f_0 \cdot Z = P \dots \dots \dots 58.$$

Съ числомъ ^{стренгъ} A_0 не будетъ выполнена ни одна изъ ступеней каната, но эта ϕ -ла позволитъ остановиться на той или другой величинѣ f_0 , предвидя дальнѣйшій ходъ измѣненій величинъ A .

Пусть нагрузка на канатъ $P = 1800$ кг.; рѣшено исполнять канатъ круглымъ изъ проволоки въ 1,6 мм. діам., въ 6 стренгъ, заставляя его работать съ напряженіемъ матеріала въ 15 кг. Тогда 58 даетъ

$$6 \cdot A_0 \cdot 2 \cdot 15 = 1800, \text{ гдѣ}$$

2 есть площадь сѣченія проволоки въ кв. мм. Отсюда $A_0 = 10$.

Пусть самое тонкое мѣсто каната будетъ имѣть въ каждой стренгѣ по 12 проволокъ, т. е. $A_1 = 12$. При опредѣленіи *предельной* длины каната примемъ *приведенный* уд. вѣсъ его $\delta = 10$, тогда

$$l_0 = \frac{Z}{\gamma} = 15 : \frac{10}{1000000} \text{ мм., или}$$

$$l_0 = 1500 \text{ мт.}$$

Длину 1-й ступени, на протяженіи которой будутъ итти 6 стренгъ по 12 проволокъ, опредѣлимъ по ϕ -лѣ 57:

$$l_1 = \frac{6 \cdot 12 - 6 \cdot 10}{6 \cdot 12} \cdot 1500 = 250 \text{ мт.}$$

Во 2-й ступени 5 стренгъ будутъ сдѣланы по 12 проволокъ, а 6-я изъ 14 проволокъ, и длина 2-й ступени будетъ

$$l_2 = \frac{(5 \cdot 12 + 14) - 72}{5 \cdot 12 + 14} \cdot 1500 = 40,5 \text{ мт.}$$

Въ 3-й ступени останутся 4 стренги по 12 проволокъ, а по 14 проволокъ будутъ двѣ; новое число проволокъ—76, предыдущее—74, поэтому

$$l_3 = \frac{76 - 74}{76} \cdot 1500 = 39,4 \text{ мт.}$$

Прибавляя так. обр. по 2 проволоки къ каждой стренгѣ, дойдемъ до такой ступени, гдѣ всѣ стренги будутъ состоять изъ 14 проволокъ; затѣмъ начнется постепенно переходъ къ 16 проволокамъ въ стренгѣ, къ 18 и т. д., пока вся требуемая длина каната не будетъ исполнена.

Отсюда понятно, что ступеньчатый, правильно рассчитанный канатъ можетъ быть исполняемъ каждый разъ только на заказъ, сообразно съ условіями работы каната (его нагрузкою, глубиною шахты, качествами матеріала, степенью надежности постройки и т. д.).

Остается добавить, что вычисленную теоретическую длину ступеней приходится при исполненіи дѣлать нѣсколько короче, т. е. начинать новую проволоку нужно ниже того сѣченія, которое указано въ расчетѣ, чтобы въ этомъ расчетномъ сѣченіи она могла уже работать, т. е. оказывать требующееся отъ нея сопротивленіе.

Способъ б. Число проволокъ въ стренгахъ остается постояннымъ на всемъ протяженіи каната, а мѣняется діаметръ отдѣльныхъ проволокъ въ стренгахъ. Здѣсь

$$A_0 = A_1 = A_2 = \dots = A_m = \dots = A_n.$$

Поэтому уравненіе 56 принимаетъ здѣсь видъ:

$$(f_{m+1} - f_m) \cdot Z = \gamma \cdot f_{m+1} \cdot l_{m+1}, \text{ откуда}$$

$$l_{m+1} = \frac{f_{m+1} - f_m}{f_{m+1}} \cdot l_0 \dots \dots \dots 59.$$

Этимъ уравненіемъ опредѣляется послѣдовательно длина всѣхъ ступеней при измѣненіи діаметра проволоки. Работая этимъ способомъ, представляется возможнымъ подойти къ формѣ тѣла равнаго сопротивленія еще ближе, чѣмъ при работѣ предыдущимъ способомъ, потому что здѣсь ступень можно получить при измѣненіи площади сѣченія каждой проволоки, а не двухъ или трехъ, какъ въ предыдущемъ способѣ; а затѣмъ ступень здѣсь получается при измѣненіи рабочей площади сѣченія каната не на величину цѣлой площади сѣченія проволоки, а на величину разности площадей у проволоки послѣдующей и предыдущей.

Поэтому въ способѣ *a* длина ступеней измѣняется десятками *mt*, а въ способѣ *b*—единицами *mt*.

И здѣсь точно также расчетъ начинается съ самаго нижняго теоретическаго сѣченія каната, выдерживающаго на себѣ дѣйствіе одной только нагрузки:

$$B \cdot A \cdot f_0 \cdot Z = P.$$

Выбравши для *B* и *A* числа, удобныя для фабрикаціи, находятъ *f*₀. Пусть *f*₁ будетъ наименьшая площадь сѣченія проволоки, изъ которой будетъ начата выработка нижней части каната, тогда длина 1-й ступени будетъ:

$$l_1 = \frac{f_1 - f_0}{f_1} \cdot l_0.$$

Затѣмъ начнется измѣненіе діаметра каждой изъ проволокъ и опредѣленіе длины ступеней, пока общая ихъ длина не получится равною или большею глубины шахты.

Разсмотримъ примѣръ предыдущаго способа расчета. Возьмемъ.

$$\begin{array}{l|l} P = 1800 \text{ кг.} & A = 12 \\ l_0 = 1500 \text{ мт.} & B = 6. \end{array}$$

Находимъ f_0 изъ ф-лы:

$$6.12.f_0.15 = 1800, \text{ откуда}$$

$$f_0 = 1,515 \text{ кв. мм.}$$

Если въ 1-й ступени будутъ употреблены проволоки діам. $1,5 \text{ }^m/m$, у которыхъ площадь = $1,767 \text{ кв. мм.}$, то

$$l_1 = \frac{1,767 - 1,515}{1,767} \cdot 1500 = 196,2 \text{ } mt.$$

Предположимъ, что въ слѣдующихъ ступеняхъ каждая изъ 72 проволокъ діам. $1,5 \text{ }^m/m$ будетъ замѣняться проволокой въ $1,6 \text{ }^m/m$, у которой площадь = 2 кв. мм. Тогда въ ф-лу 59 нужно вносить послѣдовательно

$f_1 = 72 \cdot 1,767$	$f_{36} = 37 \cdot 1,767 + 35 \cdot 2$
$f_2 = 71 \cdot 1,767 + 1 \cdot 2$	$f_{37} = 36 \cdot 1,767 + 36 \cdot 2$
$f_3 = 70 \cdot 1,767 + 2 \cdot 2$
$f_4 = 69 \cdot 1,767 + 3 \cdot 2$
.
.	$f_{72} = 1,767 + 71 \cdot 2$

$$l_2 = \frac{f_2 - f_1}{f_2} \cdot l_0 = \frac{2 - 1,767}{f_2} \cdot 1500$$

$$l_3 = \frac{2 - 1,767}{f_3} \cdot 1500$$

.

$$l_{37} = \frac{2 - 1,767}{36 (1,767 + 2)} \cdot 1500 = 2,6 \text{ } mt.$$

Всѣ эти величины $l_2, l_3, \dots, l_{36}, l_{37}$ весьма близки одна къ другой и могутъ быть, для упрощенія процесса выработки каната, замѣнены одною, а именно $l_{37} = 2,6 \text{ } mt.$ Такимъ же образомъ можетъ быть образована 2-я серія ступеней съ одинаковою выполняемою длиною и т. д. Когда во всѣхъ 72 проволокахъ діам. будетъ $1,6 \text{ }^m/m$, тогда начнется послѣдовательная замѣна ихъ проволоками, напр., въ $1,75 \text{ }^m/m$ діам. и т. д.

32. Вопросы для повторенія главы о растяженіи.

1. На основаніи какихъ опытныхъ данныхъ построена теорія растяженія призматическаго тѣла? Въ какихъ единицахъ мѣры выражается вытяжка, коэф. упругости, напряженіе, временное сопротивленіе?
2. Въ пяти основныхъ случаяхъ (для бруса съ горизонтальной осью, для бруса съ вертикальной осью при дѣйствіи только собственнаго вѣса, а также нагрузки и собственнаго вѣса, для ступеньчатаго бруса и тѣла равнаго сопротивленія) дать отвѣтъ на слѣдующіе вопросы: а) гдѣ находится опасное сѣченіе бруса, б) какъ пишется расчетное ур-іе, в) какой видъ имѣютъ кривая напряженій и кривая удлиненій, г) какъ опредѣлить собственный вѣсъ тѣла по данной величинѣ нагрузки, разбѣрамъ наибольшаго сѣченія и допускаемому напряженію?
3. Какой изъ двухъ брусевъ даетъ большее удлиненіе — призматическій или брусъ равнаго сопротивленія, если они оба построены для однихъ условій работы и изъ одинаковаго матеріала?

4. Построить брусъ равнаго сопротивленія для нагрузки P ; затѣмъ внѣшняя нагрузка на тѣло уменьшилась вдвое, а напряженіе въ верхнемъ сѣченіи повзросло только на 25%. При какихъ условіяхъ это можетъ быть?

5. Въ какомъ тѣлѣ равнаго сопротивленія при уменьшеніи внѣшней нагрузки вдвое и напряженіе матеріала во всѣхъ сѣченіяхъ уменьшается также ровно вдвое?

6. Определить длину тѣла равнаго сопротивленія изъ даннаго матеріала, при которой собственный вѣсъ его будетъ равенъ внѣшней нагрузкѣ.

7. Во сколько разъ надо уменьшить напряженіе матеріала во всѣхъ пяти основныхъ случаяхъ (см. вопросъ 2-й), чтобы вѣсъ тѣла увеличился вдвое?

8. Тѣло равн. сопротивл. по удаленіи внѣшней нагрузки повѣшено широкимъ концомъ внизъ; въ какомъ случаѣ при этихъ условіяхъ въ наименьшемъ сѣченіи этого тѣла возбуждятся напряженіе матеріала, равное расчетному? Какая длина тѣла необходима для этого?

9. Во сколько разъ больший вѣсъ матеріала идетъ на постройку ступеньчатаго вертикальнаго тѣла сравнительно съ призматическимъ горизонтальнымъ при одной и той же нагрузкѣ?

10. Тѣло равнаго сопротивленія, рассчитанное по нагрузкѣ P , разрѣзано на 2 части равной длины и каждая изъ нихъ употреблена для подвѣшиванія нагрузки. На сколько новая нагрузка м. б. увеличена противъ первоначальной?

11. Въ какомъ случаѣ желѣзная и стальная часть, рассчитанныя по нѣкоторой заданной нагрузкѣ, д. б. исполнены съ однимъ и тѣмъ же поперечнымъ сѣченіемъ?

12. Чугунная растягиваемая часть замѣнена желѣзной съ тѣми же самыми размѣрами; во сколько разъ увеличилась крѣпость этой части?

13. Что такое „приведенная безопасная нагрузка“, „предельная длина тѣла“, „критическая длина его“?

14. Чему равно отношеніе критической длины тѣла къ предельной?

15. Приготовлены 2 бруска совершенно одинаковыхъ размѣровъ, одинъ чугуный, другой желѣзный; что нужно сдѣлать, чтобы оба бруска дали одинаковое удлиненіе?

16. Брусокъ рассчитанъ съ 8-кратной надежностью для нагрузки P ; что нужно сдѣлать, чтобы та же нагрузка его оборвала?

17. Вычисленная площадь бруска съ горизонтальной осью увеличена при исполненіи на 20%; во сколько разъ уменьшится удлиненіе такого бруска?

18. Горизонтальный брусъ былъ рассчитанъ для нагрузки P съ 8-кратной надежностью; для какой нагрузки годится такой брусъ при вертикальномъ расположеніи и работѣ съ 6-кратной надежностью?

19. Горизонтальный брусъ былъ рассчитанъ для нагрузки P ; прежде чѣмъ подвергать его дѣйствию нагрузки въ вертикальномъ положеніи площадь верхней половины его длины усилили на 25%; какую новую нагрузку онъ можетъ вынести на себѣ, работая съ прежней степенью надежности? При какихъ условіяхъ эта нагрузка будетъ больше прежней, и когда меньше?

20. На сколько уменьшилась бы величина безопасной нагрузки, если бы въ послѣднемъ случаѣ ошибочно усилили размѣры нижней половины бруса, а не верхней?

С В О Д Ъ

главныхъ формулъ и данныхъ изъ главы о растяженіи.

При равномерномъ распредѣленіи напряженія матеріала между всѣми элементами площади :

$$\left. \begin{array}{l} \text{Напряженіе} \\ \text{матеріала} \\ \text{въ кг. на кв.} \\ \text{мм.} \end{array} \right\} = \frac{\text{Нагрузка въ кг.}}{\text{Площадь въ кв. мм.}} \left. \right\} \dots \dots \dots \text{ 3.} \\ \text{H} = \text{P} : \text{F} \dots \dots \dots \text{ 7.}$$

Формула 3 читается такъ: *напряженіе матеріала въ кг. на кв. мм. = дроби, у которой числитель есть нагрузка въ кг., а знаменатель — соответственная площадь въ кв. мм.*

Способъ чтенія такихъ ф-лъ понятенъ самъ собою и при дальнѣйшихъ ф-лахъ мы его уже не приводимъ, тѣмъ болѣе, что послѣ каждой ф-лы, пересказанной словами, сейчасъ же слѣдуетъ ф-ла въ обычномъ ея алгебраическомъ видѣ и, кромѣ того, дается текущій № ф-лы, приданный ей въ текстѣ.

- 1 кг. на кв. мм. = 39,384 пуд. на кв. дм.
- 1 " " " " около 40 " " " "
- 1 пуд. на кв. дм. = 36,113 lbs на кв. дм.
- 1 " " " " около 36 " " " "

Разсчетное уравненіе на растяженіе призмы, не принимая во вниманіе ея собственнаго вѣса:

$$\left. \begin{array}{l} \text{Допускаемое напря-} \\ \text{женіе въ кг. на кв.} \\ \text{мм.} \end{array} \right\} \left(\begin{array}{l} \text{Безопасная на-} \\ \text{грузка въ кг.} \\ \text{Безопасная пло-} \\ \text{щадь въ кв. мм.} \end{array} \right) \left. \right\} \dots \dots \dots \text{ 7.} \\ \text{Z} = \text{или болѣе} \frac{\text{P}}{\text{F}} \dots \dots \dots \text{ 8.}$$

Допускаемыя величины Z... въ § 9.

Высшія цифры Z , возможны при спокойной передачѣ нагрузки:

Дерево.	Чугунъ.	Желѣзо.	Сталь.
1,25	2,5	7,5	10
1	2	6	8

$$\left. \begin{array}{l} \text{Вытяжка (отвлечен.} \\ \text{число).} \end{array} \right\} = \left. \begin{array}{l} \text{Удлиненіе въ мм.} \\ \text{Соотвѣт. длина въ мм.} \\ i = \frac{\lambda}{l} \end{array} \right\} \dots \dots \dots \S 11.$$

$$\left. \begin{array}{l} \text{Коэф. упругости} \\ \text{въ мм. на кв. мм.} \end{array} \right\} = \left. \begin{array}{l} \text{Напряженіе въ мм. на кв. мм.,} \\ \text{вызывающее упругую деформа-} \\ \text{цію} \\ \text{Вытяжка (отвлеч. число)} \\ E = \frac{H}{i} \end{array} \right\} \dots \dots \dots \begin{array}{l} 10. \\ \S 11. \end{array}$$

Величины E ... въ § 12.

Среднія характерныя цифры для E :

Дерево.	Чугунъ.	Желѣзо.	Сталь.
1000	10000	20000	22000.

$$\left. \begin{array}{l} \text{Усадка (отвлечен.} \\ \text{число).} \end{array} \right\} = \left. \begin{array}{l} \text{Укороченіе поперечнаго реб-} \\ \text{ра въ мм.} \\ \text{Длина поперечнаго ребра} \\ \text{въ мм.} \\ i_1 = \frac{\lambda_1}{l_1} \end{array} \right\} \dots \dots \dots \S 15.$$

$$\left. \begin{array}{l} \text{Усадка} \\ i_1 = \frac{\text{Вытяжка}}{\text{Отъ } \frac{10}{3} \text{ до } 4} \\ i_1 = \frac{i}{m} \end{array} \right\} \dots \dots \dots \begin{array}{l} 12. \\ \S 15. \end{array}$$

$$\left. \begin{array}{l} \text{Max. напряженія, возбуждае-} \\ \text{маго при спокойной передачѣ} \\ \text{нагрузки на тѣло съ horiz.} \\ \text{осью.} \end{array} \right\} = 2 \times \left. \begin{array}{l} \text{Напряженіе, съ которымъ} \\ \text{тѣло работаетъ послѣ пе-} \\ \text{редачи.} \end{array} \right\} \dots \dots \dots \begin{array}{l} 16 \\ \S 16 \end{array}$$

$$H_1 = 2 \cdot H \dots \dots \dots$$

$$\left. \begin{array}{l} \text{Разрушающее напря-} \\ \text{жение, или коэффиц.} \\ \text{крѣпости, въ кв. на} \\ \text{кв. мм.} \end{array} \right\} = \frac{\text{Разрушающая нагрузка} \\ \text{въ кв.}}{\text{Площадь первоначальнаго} \\ \text{сѣченія въ кв. мм.}} \left. \vphantom{\frac{\text{Разрушающая нагрузка}}{\text{Площадь первоначальнаго}}} \right\} \dots \dots \dots \S 17.$$

$$Z_0 = \frac{P_0}{F} \dots \dots \dots$$

Величины Z_0 ... въ § 18.

Характерныя среднія цифры для Z_0 :

Дерево.	Чугунъ.	Желѣзо.	Литое желѣзо.
10	15	35	40

Расчетное ур-ніе тѣла, принимая во вниманіе собственный вѣсъ:

$$\left. \begin{array}{l} \text{Допускаемое напря-} \\ \text{жение въ кв. на кв.} \\ \text{мм.} \end{array} \right\} = \frac{\text{Возможная на-} + \text{Собственный} \\ \text{грузка въ кв.} + \text{вѣсъ тѣла въ кв.}}{\text{Площадь въ кв. мм.}} \left. \vphantom{\frac{\text{Возможная на-}}{\text{Площадь въ кв. мм.}}} \right\} \dots \dots \dots \S 22.$$

$$Z = \text{или болѣе } \frac{P + Q}{F} \dots \dots \dots \S 21.$$

Опасное сѣченіе—самое верхнее.

$$\left. \begin{array}{l} \text{Степень надежности} \\ \text{постройки (отвлечен.} \\ \text{число).} \end{array} \right\} = \frac{\text{Разрушающее.}}{\text{Допускаемое.}} \left. \vphantom{\frac{\text{Разрушающее.}}{\text{Допускаемое.}}} \right\} \begin{array}{l} \text{напряженіе въ} \\ \text{кв. на кв. мм.} \end{array} \left. \vphantom{\frac{\text{Разрушающее.}}{\text{Допускаемое.}}} \right\} \dots \dots \dots \text{Введеніе.}$$

$$\phi = \frac{Z_0}{Z} \dots \dots \dots$$

$$\left. \begin{array}{l} \text{Вытяжка (отвлечен.} \\ \text{число).} \end{array} \right\} = \frac{\text{Нагрузка въ} + \frac{1}{2} \text{ собствен.}}{\text{кв.} + \text{вѣса въ кв.}} \left. \vphantom{\frac{\text{Нагрузка въ} + \frac{1}{2} \text{ собствен.}}{\text{кв.} + \text{вѣса въ кв.}}} \right\} \dots \dots \dots \S 25 \text{ а.}$$

$$\left. \vphantom{\frac{\text{Нагрузка въ} + \frac{1}{2} \text{ собствен.}}{\text{кв.} + \text{вѣса въ кв.}}} \right\} = \frac{\text{Коэф. упруг.} \times \text{Площадь въ}}{\text{въ кв. на кв. мм.} \times \text{кв. мм.}} \left. \vphantom{\frac{\text{Коэф. упруг.} \times \text{Площадь въ}}{\text{въ кв. на кв. мм.} \times \text{кв. мм.}}} \right\} \dots \dots \dots \S 23.$$

$$i = \frac{\lambda_1}{l} = \frac{P + Q}{E \cdot F} \dots \dots \dots$$

Сопротивленіе тѣлъ сжатію.

А. Общія данныя.

33. Деформированіе сжатого короткаго призматическаго тѣла. Если короткое призматическое тѣло нижнимъ своимъ основаніемъ A (фиг. 21) опирается на неподвижную плоскость, а на верхнее его основаніе B дѣйствуетъ внизъ нагрузка P , равномерно распределенная по всей площади B , въ такомъ случаѣ наблюдается явленіе сжатія тѣла, совершенно обратное явленію растяженія, т.-е. всѣ плоскости поперечныхъ сѣченій тѣла перемѣщаются параллельно самимъ себѣ по направленію сверху внизъ, продольныя ребра тѣла испытываютъ укороченіе, а въ поперечномъ направленіи тѣло слегка раздается.

Сущность явленія сжатія нисколько не измѣняется, если ось AB короткаго призматическаго бруска будетъ горизонтальна (фиг. 22) и на его основанія будетъ дѣйствовать встрѣчная *центральная* нагрузка.

Законъ Гюка, выражаемый ф-лами 2 и 10, и здѣсь также вполне подтверждается опытомъ, пока тѣло получаетъ упругія укороченія, исчезающія по удаленіи нагрузки:

$$\lambda = \frac{P}{F} \cdot \frac{l}{E_1} \cdot \dots \dots \dots 60.$$

Только здѣсь λ будетъ не удлиненіе продольнаго ребра, а его *укороченіе*. Величина E_1 наз. *коэф. упругости при сжатіи*. Опытномъ обнаружено, что для металловъ и дерева величины E и E_1 коэффиціентовъ упругости при растяженіи и сжатіи такъ мало разнятся одна отъ другой, что для цѣлей практики эта разница не имѣетъ никакого значенія, и принято считать ихъ одинаковыми, т.-е. $E = E_1$.

Если это такъ, то это значить, что нагрузка, которая сначала сжимаетъ короткое призматическое тѣло, а затѣмъ растягиваетъ его, производитъ въ обоихъ случаяхъ одинаковыя по величинѣ деформаціи. Отношеніе $\lambda : l$ здѣсь наз. *усадкою*.

34. Ур-іе напряженій и расчетное ур-іе. Такъ какъ рѣчь идетъ о сжатіи короткаго призматическаго тѣла, поэтому безразлично будетъ ли ось этого тѣла горизонтальна или вертикальна, ур-іе напряженій можно представить въ видѣ ф-лы 3 (см. § 7), т.-е., не обращая вни-

манія на собственный вѣсъ тѣла (фиг. 21), можно считать, что всѣ его сѣченія одинаково напряжены и *одинаково опасны*. Поэтому и расчетное ур-іе получится изъ предыдущаго, замѣняя въ нихъ величину H допускаемымъ напряженіемъ при сжатіи.

Пусть \bar{H} обозначаютъ $H_{\text{доп}}$

D —допускаемое напряженіе при сжатіи въ кг. на кв. мм.,

D_0 —разрушающее напряженіе при сжатіи въ кг. на кв. мм.

Тогда расчетное ур-іе при сжатіи будетъ

$$D = \text{или болѣе } \frac{P}{F} \dots \dots \dots 61.$$

Степень надежности постройки

$$\phi = D_0 : D$$

Величина *безопасной площади* поперечнаго сѣченія будетъ:

$$F = \text{или болѣе } \frac{P}{D} \dots \dots \dots 61,а.$$

Величина *безопасной нагрузки*

$$P = \text{или менѣе } D \cdot F \dots \dots \dots 61,б.$$

35. Величины напряженій, допускаемыхъ при сжатіи и разрушающихъ тѣло при сжатіи. Величина напряженія, при которомъ короткое тѣло разрушается путемъ сжатія, сдавливанія или раздробленія при давленіи на тѣло, наз. *разрушающимъ напряженіемъ матеріала при сжатіи*, или *коэф. крѣпости*, или *временнымъ сопротивленіемъ матеріала*. Называютъ также иногда величину разрушающаго напряженія при растаженіи Z_0 *коэффициентомъ абсолютной крѣпости*, а величину D_0 —*коэф. обратной крѣпости*.

Разрушеніе кубовъ изъ металла и камня сопровождается обыкновенно появленіемъ въ тѣлѣ нѣсколькихъ наклонныхъ къ оси поверхностей, вдоль которыхъ образуются трещины въ матеріалѣ и начинается взаимное скольженіе прилегающихъ одинъ къ другому элементовъ. Выкрошившійся на бокахъ тѣла матеріалъ прикрываетъ внутри нѣкоторую массу его, которая держится сравнительно плотно и всегда имѣетъ видъ или одной пирамиды, или двухъ усѣченныхъ, соотвѣствующихъ своими малыми основаніями, съ осью, направленною приблизительно по направленію дѣйствія нагрузки. Короткіе цилиндры и призмы изъ дерева разрушаются путемъ раслоенія ихъ на продольные тонкіе элементы, которые выгибаются въ сторону и переламываются.

Величины напряженій допускаемыхъ и разрушающихъ приведены въ табл. 9-й.

Т а б л и ц а 9-я.

НАЗВАНІЕ МАТЕРІАЛОВЪ.	Въ кг. на квадрат. мм.	
	Допускаемое напряженіе.	Рузрушающее напряженіе.
Желѣзо сварочное	9—6	35—55
„ литое (Flusseisen)	12—6	35—55
Сталь литая.	15—8	70—150
Стальное литье.	12—6	28—50
Чугунъ.	9—6	60—80
Свинець	—	0,5—1,25*)
Латунь.	0,75	7,5
Бронза пушечная.	—	100
Красная мѣдь кован.	9—6	40—70
Дубъ волок.	0,65—0,7	6,6
„ „	0,35—0,4	3,5
Сосна „	0,45—0,5	5
„ „	0,22—0,25	2,2
Базальтъ	0,75—1,0	10—32
Гранитъ	0,45	8—20**)
Известнякъ	0,25	4—20
Песчаникъ	0,15—0,30	2,5—18
Мраморъ	0,25	—
Кирпичная кладка на извести	0,07	0,3 0,4
„ „ „ портланд. цементъ.	0,12—0,14	1,6—3,2
„ „ „ романск. „	0,08—0,12	0,8—2,0
Твердый грунтъ	0,025—0,05	—

Сравнивая цифры табл. 7 и 9, видимъ, что желѣзо и сталь сопротивляются сжатію почти такъ же, какъ и растяженію, или иногда только немного лучше, а дерево — много хуже. Совершенно иначе обстоитъ дѣло съ красной мѣдью, бронзой и чугуномъ. Эти матеріалы сопротивляются сжатію гораздо лучше, чѣмъ растяженію. Въ особенности рѣзкая разница выходитъ для чугуна, который сжатію сопротивляется въ 4—5 разъ болѣе, чѣмъ растяженію. Подобное же явленіе замѣчается и по отношенію къ различнаго рода камнямъ, естественнымъ и искусственнымъ.

*) Эта цифра и б повышена вдвое, если будетъ существовать препятствіе распознанію свинца въ стороны.

**) Финляндскій гранитъ, доставленный въ Парижъ на постройку моста Императора Александра III-го, оказалъ слѣдующія величины D_0 :

красный гранитъ	28,77
сѣрый „	26,72

Изъ такого же красного гранита выполнены всѣ гранитныя части памятника Императору Александру II-му въ Москвѣ.

Другая особенность явления заключается въ томъ, что почти у всѣхъ матеріаловъ съ уменьшеніемъ заданной высоты тѣла повышается его крѣпость. Испытывая круглые чугунные бруски діам. 20 ^m/_m съ различной высотой, проф. *Бахъ* нашелъ слѣдующія величины разрушающихъ напряженій для нихъ: при $Z_0 = 18,6$ *м.* и

при высотѣ бруска въ 40 ^m/_m. . . . $D_0 = 72,3$
 " " " " 10 ^m/_m. . . . $D_0 = 85,8$

Еще болѣе рѣзкая разница между величинами D_0 для одного и того же матеріала, но при разной высотѣ бруска, была найдена для свинца. Кромѣ того, при работахъ съ нимъ легче, чѣмъ съ другими матеріалами, подмѣчается третья особенность явления сжатія, которая состоитъ въ томъ, что подъ большимъ давленіемъ всѣ матеріалы приходятъ въ особое состояніе *размяченія* и начинаютъ усиленно деформироваться, выказывая сильную склонность къ распространенію въ поперечномъ направленіи относительно дѣйствующей силы, или, какъ говорятъ, къ *текучести*. Усиленію этого свойства способствуетъ нагрѣваніе матеріала передъ его сдавливаніемъ.

Въ практикѣ пользуются этимъ свойствомъ матеріаловъ въ весьма широкихъ размѣрахъ — при заготовкѣ пуль и дроби, при чеканкѣ монетъ и медалей, для прессованія различныхъ деталей изъ раскаленного желѣза (способъ *Haswell*), для прессованія только что отлитой стали (способъ *Whitworth*) при выдѣлкѣ изъ нея пушекъ, валовъ и т. п.

Для получения отчетливаго изображенія на медали различные матеріалы требуютъ неодинаковаго давленія. Если желаютъ выбить изображение съ одного удара, для этого требуется измѣненіе напряженія на поверхности матеріала въ такой послѣдовательности *):

свинець	1600 atm.		алюминій	11000 atm.
олово	1900 "		красн. мѣдь, латунь	12000 "
мраморъ	4100 "		бронза, желѣзо, сло-	
цинкъ	7000 "		новая кость . . .	13000 "

Если изображение на слоновой кости нужно получить не съ одного, а съ трехъ разъ, и послѣ cadaго удара обрабатывать слоновую кость горячей водой въ теченіе получаса, тогда давленіе можетъ быть понижено при прессованіи до 4100 atm.; при прессованіи бронзы подобную же роль играетъ отжигъ ея.

Явленіе текучести подъ высокимъ давленіемъ весьма рельефно было обнаружено опытомъ и надъ такими матеріалами, какъ мраморъ, каменная соль и т. п. Все это заставляетъ думать, что и при напластованіи различныхъ породъ, входящихъ въ составъ земной коры, явленіе текучести должно было играть весьма видную роль.

Хотя многіе матеріалы и оказываются весьма стойкими по отношенію къ сжатію, тѣмъ не менѣе возбуждать и передавать сжимающую

*) *Zeitschr. d. Ver. deutsch. Ing.*, 1892, № 32.

нагрузку на части машинъ и сооружений, гдѣ только возможно, избѣгаютъ, въ особенности при болѣе или менѣе значительной длинѣ сжимаемой части, такъ какъ явленіе сжатія при этомъ весьма легко переходитъ въ явленіе поперечнаго *выгибанія*, сопровождающагося переломомъ излишне нагруженной части. Длинное растянутое, прочно рассчитанное тѣло всегда находится *въ устойчивомъ положеніи равновѣсія*, тогда какъ по отношенію къ болѣе или менѣе длинному сжатому тѣлу никогда этого сказать нельзя: его легко можетъ вывести изъ равновѣсія и выгнуть въ сторону даже и небольшая случайная поперечная нагрузка.

Б. Равномѣрное распредѣленіе напряженій сжатія на поверхности соприкосновенія двухъ тѣлъ.

36. **Поверхность стыка плоская.** Поверхность соприкосновенія двухъ тѣлъ называютъ ихъ *стыкомъ*. Если стыкъ плоскій, то равномѣрное распредѣленіе на немъ напряженій сжатія возможно только въ такомъ случаѣ, когда тѣло, передающее нагрузку на стыкъ, имѣетъ форму призмы, всѣ поперечныя сѣченія которой нагружены равномѣрно, и когда въ то же время тѣло, воспринимающее нагрузку, способно оказать воспроизводимому на него давленію во всѣхъ точкахъ поверхности одинаковое сопротивленіе. Для этого недостаточно выполненія одного только условія, чтобы составная изъ всей нагрузки проходила чрезъ центръ тяжести стыка. Это послѣднее условіе всегда должно быть выполнено, но не одно оно, а въ соединеніи съ двумя первыми условіями — равномѣрности непосредственной отдачи давленія на стыкъ и равномѣрности воспріятія его стыковъ.

Для примѣра пусть имѣемъ подвѣску для приводнаго вала, представленную въ эскизѣ на фиг. 23. Натяженіе отъ ремней идетъ въ верхній этажъ, и поэтому нагрузка P направлена кверху. Предположимъ, что направленіе ея проходитъ чрезъ центръ тяжести плоской сверху опорной плиты B . Если тѣло C подвѣски расположено не центрально относительно нагрузки, то и равномѣрности распредѣленія давленій на стыкѣ ожидать нельзя. Къ этому возможно болѣе или менѣе приблизиться только слѣдующимъ образомъ: 1) располагая тѣло C (фиг. 24 и 25), передающее нагрузку отъ владышей къ плитѣ, центрально относительно нагрузки, 2) передавая давленіе отъ плиты на опору не всей поверхностью, а двумя или четырьмя элементами ея, *рабочими поверхностями* E, E , расположенными симметрично относительно главныхъ геометрическихъ осей плиты и центрально относительно дѣйствія нагрузки; 3) вызывая на стыкѣ посредствомъ затяжки болтовъ, прикрѣпляющихъ подвѣску, *предварительное давленіе*, значительно превышающее величину нагрузки.

Въ этихъ трехъ условіяхъ и заключаются общія руководящія начала для передачи давленій на стыкъ вообще всякихъ двухъ тѣлъ при

обстоятельствахъ, наиболѣе близко подходящихъ къ равномерному распредѣленію давленій на поверхности стыка.

37. Поверхность стыка цилиндрическая. Пусть имѣемъ цилиндрическое тѣло A (фиг. 26), обвитое на внѣшней его поверхности тонкою лентой B , одинаковой ширины l ; лента охватываетъ полную окружность и разрѣзана въ мѣстѣ C на горизонтальномъ діаметрѣ. Если концы ленты будемъ стягивать двумя встрѣчными, одинаковыми по величинѣ силами, тогда на поверхности стыка ленты съ цилиндромъ розовьются нормальныя давленія и силы сопротивленія, равныя имъ и прямо противоположныя. Внѣшнія силы P, P взаимно уравновѣшиваются между собою и даютъ алгебраическую сумму проекцій на оси координатъ и алгебраическую сумму моментовъ равными нулю при всякомъ расположеніи осей координатъ; тѣ же условія д. б. соблюдены и относительно силъ упругости, возбужденныхъ на цилиндрическомъ стыкѣ, и д. б. соблюдены тоже при всякомъ расположеніи осей координатъ, а это возможно только при одномъ условіи, когда силы упругости равномерно распределены по поверхности стыка.

Допустимъ на время, что силы упругости на стыкѣ не даютъ одинаковаго распредѣленія напряженія, а измѣняются по какому-либо закону. Возьмемъ произвольный діам. ab (фиг. 27) и подъ угломъ β къ нему два радіальныхъ направленія oc и od ; къ точкамъ c и d пусть прилегаютъ два симметрично расположенныхъ элемента площади $l \cdot r \cdot d\beta$ въ видѣ двухъ элементарныхъ прямоугольниковъ, у которыхъ длина = ширинѣ ленты l , а ширина, считаемая по окружности стыка, соотвѣтствуетъ безконечно малому центральному углу $d\beta$. На протяженіи $r \cdot d\beta$ по окружности стыка величину напряженія можно считать постоянною; пусть въ точкѣ d она будетъ H_1 , а въ точкѣ c — H_2 . Тогда величины элементарныхъ силъ при этихъ точкахъ R_1 и R_2 могутъ быть написаны такъ:

$$R_1 = l \cdot r \cdot d\beta \cdot H_1$$

$$R_2 = l \cdot r \cdot d\beta \cdot H_2$$

Лента подъ дѣйствіемъ силъ упругости находится въ равновѣсіи, слѣд., проекціи силъ R_1 и R_2 на діаметръ ab д. б. равны между собою; но т. к. точки c и d взяты подъ одинаковымъ угломъ къ произвольному діам. ab , поѣтому необходимо, чтобы R_1 было = R_2 , а для этого нужно, чтобы въ двухъ произвольно взятыхъ точкахъ стыка существовало равенство $H_1 = H_2$, т. е. чтобы всѣ напряжения отъ силъ упругости были = между собою и = H .

Найдемъ теперь ур-іе крѣпости для стыка и для ленты. Выдѣлимъ кусокъ ленты CD , опредѣляемый центральнымъ угломъ δ , и рассмотримъ равновѣсіе этой части ленты послѣ того, какъ упругое противодѣйствіе нагрузкѣ P, P уже возбуждено. Для этого въ сѣченіи D приложимъ силу Q , замѣняющую собою дѣйствіе части DE на CD . Тогда на часть CD ленты, находящейся въ равновѣсіи, будутъ дѣйство-

вать: вертикальная сила P сверху вниз, наклонная сила Q снизу вверх и силы упругости на части CD по направленію отъ центра къ окружности. Проектируя всё эти силы на горизонтальный діаметръ и на вертикальный, получимъ 2 условія равновѣсія. Если R будетъ сила упругости, дѣйствующая подъ угломъ β къ горизонтали, то мы будемъ имѣть:

сумму проекцій всёхъ силъ на горизонталь:

$$Q \cdot \sin \delta = \sum_0^\delta R \cdot \cos \beta \dots \dots \dots \text{а.}$$

а на вертикаль:

$$Q \cdot \cos \delta + \sum_0^\delta R \cdot \sin \beta = P \dots \dots \dots \text{в.}$$

Выраженіе элементарной силы мы имѣли въ такомъ видѣ:

$$R = l \cdot r \cdot d\beta \cdot H,$$

поэтому ур-іе а приметъ видъ:

$$Q \cdot \sin \delta = l \cdot r \cdot H \cdot \int_0^\delta \cos \beta \cdot d\beta = l \cdot r \cdot H \cdot \sin \delta,$$

или

$$Q = l \cdot r \cdot H \dots \dots \dots \text{с.}$$

Точно также вмѣсто ур-ія в получимъ:

$$Q \cdot \cos \delta + r \cdot l \cdot H \cdot \int_0^\delta \sin \beta \cdot d\beta = P, \text{ или}$$

$$Q \cdot \cos \delta - r \cdot l \cdot H (\cos \delta - 1) = P \dots \dots \dots \text{д.}$$

Соединяя ф-лы с и д въ одну, находимъ:

$$P = Q = r \cdot l \cdot H \dots \dots \dots \text{е.}$$

Формула е показываетъ намъ слѣдующее:

1) *Всѣ сьченія ленты равноопасны.*

2) *Каждое изъ сьченій ленты натянуто съ тою же силою, какъ и свободный конееъ ея.*

3) *Напряженіе на стыкъ ленты съ цилиндромъ одинаково съ тѣмъ, которое получилось бы, если бы заданную нагрузку распредѣлитъ равномерно на вытянутой полоскѣ той же ленты съ длиною, равной радіусу цилиндра.*

Если толщина ленты будетъ k , допускаемое напряженіе для матеріала ленты— Z , а допускаемое напряженіе на стыкъ— D , тогда ур-іе крѣпости ленты будетъ:

$$Z = \text{или болѣе } \frac{P}{k \cdot l},$$

а ур-іе крѣпости стыка—

$$P = \text{или менѣе } r \cdot l \cdot D.$$

Сущность явленія не измѣнится, если мы представимъ себѣ цилиндръ вогнутымъ, а ленту—соприкасающеюся къ нему своей выпуклой стороной (фиг. 28).

Сущность явленія не измѣнится также и тогда, когда лента будетъ имѣть такія перемѣщенія относительно цилиндра, которыя не будутъ вліять на величину нагрузки, приложенной къ свободному концу ленты; а это возможно при перемѣщеніи ленты только *вдоль оси* цилиндра параллельно самой себѣ. Примѣръ ленты, заправленной внутрь цилиндра (фиг. 28), распираемой тангенціальными силами P , P и перемѣщаемой въ то же время вдоль оси цилиндра, находимъ въ чугунныхъ поршневыхъ пружинахъ.

Вопросы для лучшаго усвоенія этого §:

1. Къ двумъ ур-іямъ a и b добавить еще ур-іе моментовъ относительно точки O (фиг. 26).

2. Взять уголъ δ болѣе 90° и снова написать \mathcal{E} ур-ія равновѣсія.

3. Выдѣлить произвольный кусокъ ленты MN и написать условія равновѣсія его.

4. Выдѣлить половину ленты CDE и написать ур-іе моментовъ дѣйствующихъ на нее силъ относительно точки E .

В. Неравномѣрное распредѣленіе напряженій сжатія на поверхности соприкосновенія тѣлъ.

38. **Общій случай неравномѣрнаго распредѣленія напряженій сжатія на плоскомъ стыкѣ двухъ соприкасающихся тѣлъ.** Пусть имѣемъ два тѣла X и Y (фиг. 29), соприкасающихся между собою по плоскому стыку AB ; изъ нихъ тѣло Y пусть будетъ неподвижнымъ, а тѣлу X сообщаются перемѣщенія вокругъ оси O , параллельной плоскости стыка и нормальной къ плоскости чертежа. Предположимъ, что тѣло X оказываетъ значительно большее сопротивление сжатію, чѣмъ тѣло Y , что деформации, испытываемыя тѣломъ X подъ дѣйствіемъ вращательнаго момента весьма малы и можно ими пренебречь сравнительно съ деформациями тѣла Y . Другими словами, мы предполагаемъ, что плоскость AB , принадлежащая тѣлу X , не измѣняя своей формы, перемѣщается въ пространство и врѣзается въ тѣло Y ; при этомъ каждая изъ точекъ плоскости AB описываетъ одинъ и тотъ же центральный уголъ e , а сама линія AB перемѣщается въ положеніе A_1B_1 . Всѣ деформации, испытываемыя тѣломъ Y , упругія, такъ что по прекращеніи дѣйствія вращательнаго момента оба тѣла X и Y снова будутъ соприкасаться одно къ другому по плоскости стыка AB .

Разсмотримъ перемѣщеніе произвольной точки a , радіусъ векторъ которой $Oa = r$ и дѣлаетъ уголъ β съ вертикалью. При дѣйствіи вращательнаго момента M точка a перемѣщается въ b , причемъ

$$\text{дуга } ab = r \cdot e.$$

Вслѣдствіе допущенія, что всѣ деформации тѣла Y упругія, незначительныя, мы можемъ принять длину дуги ab равной длинѣ стяги-

вающей ее хорды. Проектируя ab на поверхность стыка, проведемъ $bc \perp$ къ AB ; тогда bc представитъ собою величину вдавливанія или смятїя матеріала при точкѣ a . Опредѣлимъ эту величину

$$bc = ab \cdot \sin bac = r \cdot e \cdot \sin \beta.$$

Но

$$r \cdot \sin \beta = af, \text{ поэтому}$$

$$bc = e \cdot af \dots \dots \dots a.$$

Такимъ образомъ видно, что величина смятїя въ произвольной точкѣ a пропорціональна угловому перемѣщенію e и длинѣ af , т. е. проекціи радіуса вектора точки на направленіе стыка. А такъ какъ при существованіи упругихъ перемѣщеній на поверхности стыка величины самыхъ перемѣщеній будутъ пропорціональны напряженіямъ матеріала, слѣдовательно, при всѣхъ прочихъ одинаковыхъ условіяхъ *нормальныя къ поверхности стыка напряженія матеріала будутъ пропорціональны проекціямъ радіусовъ векторовъ соответственныхъ точекъ на плоскость стыка.*

На этомъ основаніи *кривая напряженій* на поверхности AB (фиг. 29) будетъ прямою mn , проходящею чрезъ точку f . Ур-іе крѣпости стыка AB получится, написавши условіе равновѣсія силъ упругости, возбужденныхъ на стыкѣ, съ моментомъ M , вращающимъ тѣло X .

Пусть обозначаютъ:

D, H и d (фиг. 29) — напряженія сжатїя на поверхности стыка въ точкахъ B, a и A ;

$t = fB$
 $x = fa$
 $s = fA$ } — разстоянія соответственныхъ точекъ отъ ребра f , или иначе, плечи напряженій D, H и d относительно оси вращенія O ;

l — длина плоскости стыка, т. е. размѣръ ея, параллельный оси вращенія O .

Изъ чертежа имѣемъ:

$$\frac{D}{t} = \frac{H}{x} = \frac{d}{s}, \text{ откуда}$$

$$\left. \begin{aligned} H &= D \cdot \frac{x}{t} \\ d &= D \cdot \frac{s}{t} \end{aligned} \right\} \dots \dots \dots б.$$

Если чрезъ точку a въ плоскости стыка проведемъ прямую, параллельную оси O , тогда можно вообразить себѣ прилегающимъ къ этой прямой элементъ поверхности $l \cdot dx$ и допустить, что во всѣхъ точкахъ этого элемента будетъ существовать одна и та же величина напряженія, равная H . Тогда сила упругаго сопротивленія этого элемента площади можетъ быть выражена такъ:

$$p = l \cdot dx \cdot H.$$

Моментъ этого сопротивленія относительно оси O будетъ $= p \cdot x$, а при равновѣсїи силъ упругости, возбужденныхъ на стыкѣ AB , съ моментомъ M мы должны имѣть:

$$M = \sum p \cdot x = \int_s^t D \cdot \frac{l}{t} \cdot x^2 \cdot dx$$

$$M = D \cdot \frac{l}{3t} \cdot (t^3 - s^3) \dots \dots \dots 62.$$

Это и будетъ ур-іе крѣпости стыка AB , если сдѣлать въ немъ D равнымъ допускаемому напряженію смятія.

Ф-ла 62 показываетъ, что крѣпость стыка зависитъ не столько отъ длины его l , сколько отъ размѣровъ его въ ширину, т. е. по направленію \perp къ оси вращенія O , и главнымъ образомъ отъ положенія точки B , наиболѣе удаленной отъ оси вращенія: чѣмъ она будетъ далѣе, тѣмъ стыкъ будетъ прочнѣе, тѣмъ меньшее напряженіе онъ будетъ испытывать. Если $s = 0$, то

$$M_1 = D \cdot \frac{l \cdot t^2}{3} = \frac{D \cdot l \cdot t}{2} \cdot \frac{2}{3} t \dots \dots \dots 62, a.$$

Эта ф-ла говоритъ намъ, что моментъ сопротивленія при напряженіяхъ, неодинаковыхъ между собою, но равномерно возрастающихъ отъ O до нѣкотораго напряженія D , берется такъ, какъ будто бы вся сила упругости на поверхности стыка была сосредоточена въ центрѣ давленія, п. ч. $l \cdot t$ есть величина поверхности стыка, $0,5 \cdot D \cdot l \cdot t$ представляетъ собою всю величину силы упругости, пропорціональной площади треугольника fnB , а множитель $2t : 3$ есть разстояніе центра давленія отъ оси O , т. е. разстояніе центра тяжести треугольника fnB отъ точки f .

Пользуясь этимъ правиломъ можно и ф-лу 62 воспроизвести, какъ разность моментовъ силъ упругости на поверхности fB и fA . Моментъ, выдерживаемый поверхностью стыка fB , представляетъ ф-ла 62 а; а для поверхности стыка fA этотъ моментъ былъ бы:

$$M_2 = \frac{d \cdot l \cdot s}{2} \cdot \frac{2}{3} s = D \cdot \frac{s}{t} \cdot \frac{ls^2}{3}.$$

Взявши разность M_1 и M_2 , мы и получимъ ф-лу 62. Изъ нея видно также, что продолжать стыкъ двухъ тѣлъ лѣвѣе Of , т. е. лѣвѣе перпендикуляра къ поверхности стыка, бесполезно, ибо та часть тѣла не будетъ помогать сопротивленію.

Изложенная здѣсь теорія неравномѣрнаго распредѣленія напряженій сжатія на плоскомъ стыкѣ находитъ себѣ примѣненіе въ машиностроеніи при расчетѣ шпонокъ, посредствомъ которыхъ заклиниваются на валу вращающіяся части (шкивы, колеса, блоки, маховики, кривошипы и пр.), при расчетѣ смятія на стыкѣ подвѣсокъ, кронштейновъ и проч.

39. Сжатіе плоскаго стыка двухъ тѣлъ при эксцентричномъ ихъ нагруженіи. а) *Прямоугольная форма стѣненія тѣла.* Пусть имѣемъ 2 тѣла *A* и *B* (фиг. 30) съ площадью основанія $2a \times c$ и высотой l_1 и l_2 . Нижнее изъ нихъ покоится на основаніи, а верхнее воспринимаетъ нагрузку *P*, равномерно распределенную въ планѣ тѣла вдоль линіи *mn*, отстоящей отъ оси тѣла на разстояніе *f*.

При такомъ эксцентричномъ нагруженіи тѣла *A* законъ распределенія напряженій сжатія на стыкѣ между *A* и *B* выразится какою либо прямою *OS*. Крайняя правая ордината ея будетъ выражать собою наибольшее напряженіе на стыкѣ *D*, которое можетъ быть = допускаемому. Если на произвольномъ разстояніи *x* отъ точки *O* напряженіе будетъ *H*, то

$$\frac{H}{D} = \frac{x}{2a - c}, \text{ откуда}$$

$$H = D \cdot \frac{x}{2a - c} \dots \dots \dots \text{В.}$$

Такое напряженіе будетъ у всѣхъ точекъ элементарной площади *b.dx*, взятой на разстояніи *x* отъ ребра вращенія *O*. Величина элементарной силы будетъ

$$q = b \cdot dx \cdot H.$$

Первое условіе равновѣсія нагрузки *P* съ силами упругости, возбужденными на стыкѣ, будетъ заключаться въ томъ, что нагрузка *P* должна равняться алгебраической суммѣ всѣхъ силъ *q*, а 2-е —, что моменты ихъ д. б. = между собою. По 1-му условію:

$$P = \sum q = \int_0^{2a-c} b \cdot dx \cdot D \cdot \frac{x}{2a - c}, \text{ или}$$

$$P = b \cdot D \cdot \frac{2a - c}{2} \dots \dots \dots \text{63.}$$

По 2-му условію:

$$P (f + a - c) = \sum q \cdot x = \int_0^{a-c} b \cdot dx \cdot x \cdot D \cdot \frac{x}{2a - c}$$

$$P (f + a - c) = \frac{b \cdot D}{3} (2a - c)^2 \dots \dots \dots \text{64.}$$

Получили 2 ур-ія, въ которыхъ содержатся двѣ неизвѣстныя величины — напряженіе *D* и разстояніе *c* точки *O* отъ крайняго лѣваго очертанія тѣла. Для нахождения *c* раздѣлимъ ур-іе 64 на 63:

$$f + a - c = 2 \cdot \frac{2a - c}{3} = \frac{4}{3} a - \frac{2}{3} c, \text{ или}$$

$$c = 3 f - a \dots \dots \dots \text{е.}$$

Послѣ этого изъ ур-ія 63 или 64, можетъ быть найдена величина *D*, или же размѣры *a* и *b* подъ условіемъ, чтобы *D* была допускаемая величина.

Формула e показываетъ, что *весь стыкъ между тѣлами А и В приметъ участіе въ сопротивленіи сжатію только тогда, когда эксцентриситетъ f нагрузки будетъ = или меньше $\frac{1}{6}$ ширины тѣла $2a$, и что это соотношеніе вовсе не зависитъ отъ толщины тѣла b .*

b) Эллиптическая форма сѣченія тѣла. Пусть имѣемъ 2 тѣла А и В (фиг. 31) съ эллиптическимъ основаніемъ, полуоси котораго a и b . Допустимъ, что весь стыкъ участвуетъ въ сопротивленіи такимъ образомъ, что напряженіе въ точкѣ O есть нуль, а въ точкѣ $t = max$. Напряженіе H на разстояніи x отъ центра вычислится такъ:

$$\frac{H}{D} = \frac{a+x}{2a}, \text{ или}$$

$$H = D \cdot \frac{a+x}{2a} \dots \dots \dots f.$$

Для полученія элементарной силы q —здѣсь также выдѣлимъ элементарную площадь $2y \cdot dx$, тогда

$$q = 2y \cdot dx \cdot H.$$

Затѣмъ выразимъ опять тѣ же два условія равновѣсія, что и въ предыдущемъ случаѣ. По 1-му изъ нихъ:

$$P = \Sigma q = \int_0^{2a} 2y \cdot dx \cdot D \cdot \frac{a+x}{2a}, \text{ или}$$

$$P = \frac{D}{2a} \int_0^{2a} 2y \cdot dx \cdot (a+x) = \frac{D}{2a} \cdot U.$$

Интеграль, обозначенный буквою U , представляетъ собою алгебраическую сумму произведеній изъ элементарныхъ площадей $2y \cdot dx$ на разстоянія ихъ $a+x$ отъ оси OO_1 . По теоремѣ о центрѣ тяжести эта алгебраическая сумма, распространенная на всю площадь сѣченія и называемая *статическимъ моментомъ площади*, будетъ равна всей площади, умноженной на разстояніе ея центра тяжести отъ той же оси OO_1 , т. е.

$$U = \pi \cdot a \cdot b \cdot a.$$

Поэтому

$$P = \frac{D}{2} \cdot \pi \cdot a \cdot b \dots \dots \dots 65.$$

По 2-му условію получимъ:

$$P(a+f) = \Sigma \cdot q \cdot (a+x) = \int_0^{2a} 2y \cdot dx \cdot D \cdot \frac{(a+x)^2}{2a}.$$

$$P(a+f) = \frac{D}{2a} \int_0^{2a} (a^2 + 2ax + x^2) \cdot 2y \cdot dx \dots \dots \dots h.$$

Интеграл равенства h распадается на три отдѣльныхъ. Изъ нихъ 1-й будетъ:

$$\frac{D}{2a} a^2 \cdot F = \frac{D}{2} \cdot a \cdot \int_0^{2a} 2y \cdot dx = \frac{D \cdot a'}{2} \cdot \pi \cdot a \cdot b \dots i.$$

Величина F представляетъ собою площадь сѣченія данныхъ тѣлъ A и B .

Второй интегралъ будетъ:

$$D \cdot U_0 = D \cdot \int_0^{2a} x \cdot 2y \cdot dx = 0 \dots j,$$

т. к. $U_0 = 0$, ибо это есть статическій моментъ всей площади сѣченія, взятый относительно линіи yy , проходящей чрезъ центръ тяжести сѣченія; по теоремѣ о центрѣ тяжести эта величина U_0 равна всей площади F , умноженной на координату x_0 ея ц. т. относительно оси yy , но здѣсь $x_0 = 0$.

Третій интегралъ равенства h будетъ:

$$\frac{D}{2a} \cdot I = \frac{D}{2a} \cdot \int_0^{2a} x^2 \cdot 2y \cdot dx = \frac{D}{2a} \cdot \frac{\pi \cdot b \cdot a^3}{4} \dots k.$$

Величина I , входящая въ это рав., есть выраженіе *момента инерціи эллиптическаго сѣченія* относительно его малой оси. Выводъ этого выраженія данъ въ теоріи сгибанія, а здѣсь приведенъ прямо окончательный результатъ. Теперь мы можемъ составить ф-лу h , внося въ нее всѣ ея составныя части:

$$P(a+f) = \frac{D}{2} \cdot \pi \cdot a^2 \cdot b + \frac{D}{8} \cdot \pi \cdot a^2 \cdot b = \frac{5}{8} \cdot D \cdot \pi \cdot a^2 \cdot b \dots 66.$$

Получили 2 ур-ія крѣпости — **65** и **66**. Изъ нихъ можно найти или a и b по даннымъ P , f и D — въ случаѣ расчета тѣла строющагося, или же изъ нихъ находятъ f и D по даннымъ P , a и b — въ случаѣ тѣла, уже существующаго. Дѣля **66** на **65**, получаемъ:

$$f + a = \frac{5}{4} a, \text{ откуда} \\ f = \frac{a}{4} \dots m.$$

Эта ф-ла показываетъ, что **всѣ** стыкъ между тѣлами A и B эллиптическаго сѣченія приметъ участіе въ сопротивленіи сжатію тогда только, когда эксцентриситетъ f нагрузки будетъ = или меньше четверти большой полуоси эллипса, и что это соотношеніе вовсе не зависитъ отъ размѣра другой полуоси эллипса.

40. Напряженія сжатія на поверхности двухъ соприкасающихся цилиндровъ—выпуклаго и вогнутого—при одинаковой величинѣ ихъ радіусовъ. Пусть имѣемъ 2 цилиндра—выпуклый и вогнутый, которые

имѣютъ общую ось O (фиг. 32) и одинаковый радиусъ r ; соприкоснове-
 вене ихъ происходитъ по дугѣ tan , стягиваемой центральнымъ угломъ
 2δ . Предположимъ, что нагрузка, передаваемая на верхній цилиндръ,
 по направленію центральной линіи Oa , равномерно распредѣлена по
 всей продольной площади, которая является проекціею цилиндра tan ,
 и нагрузка на единицу площади есть q . Если вся нагрузка будетъ P ,
 длина соприкасающейся части цилиндровъ — l , тогда:

$$q = \frac{P}{l \cdot 2r \cdot \sin \delta} \dots \dots \dots \text{а.}$$

Предположимъ, что выпуклый цилиндръ выполненъ изъ матеріала,
 весьма хорошо сопротивляющагося сжатію, а вогнутый—изъ матеріала
 сравнительно слабого, и что выпуклый цилиндръ, не измѣняя своихъ
 размѣровъ, вдавливается въ вогнутый.

Если перемѣщеніе оси выпуклаго цилиндра будетъ:

$$a = ab = cd,$$

тогда мы видимъ, что при какой-нибудь точкѣ c , положеніе которой
 относительно центральной линіи будетъ опредѣляться угломъ β , величина
 смятія, нормальная къ поверхности цилиндра, будетъ

$$ce = a \cdot \cos \beta.$$

Предполагая, что всѣ деформаціи — незначительны по величинѣ и
 упругія, мы можемъ сказать, что, если нормальное напряженіе въ точкѣ
 a будетъ H , въ точкѣ c оно должно быть $H \cdot \cos \beta$. Выдѣлимъ при
 точкѣ c вдоль всей поверхности цилиндра элементарную площадь въ видѣ
 прямоугольника, у котораго длина $= l$, а другое измѣреніе $= r \cdot d\beta$;
 тогда элементарная сила будетъ

$$p = l \cdot r \cdot d\beta \cdot H \cdot \cos \beta \dots \dots \dots \text{б.}$$

Напишемъ условія равновѣсія нагрузки съ возбужденными силами
 упругости. Эти условія будутъ:

$$P = \Sigma p \cdot \cos \beta \dots \dots \dots \text{в.}$$

$$o = \Sigma p \cdot \sin \beta \dots \dots \dots \text{г.}$$

Послѣднее условіе выражаетъ, что горизонтальныя слагающія эле-
 ментарныхъ силъ упругости взаимно уравниваются. Преобразуя
 ур-іе в, получимъ:

$$P = l \cdot r \cdot H \cdot \int_{-\delta}^{+\delta} \cos^2 \beta \cdot d\beta \dots \dots \dots \text{д.}$$

Замѣняя интеграль съ предѣлами отъ $(-\delta)$ до $(+\delta)$ удвоеннымъ
 съ предѣлами отъ O до δ и внося

$$\cos^2 \beta = \frac{1 + \cos 2\beta}{2}, \text{ получимъ}$$

$$P = l \cdot 2r \cdot H \cdot \int_0^\delta \frac{1 + \cos 2\beta}{2} \cdot d\beta \dots \dots \dots e$$

$$P = l \cdot 2r \cdot H \left(\frac{\delta}{2} + \frac{1}{4} \sin 2\delta \right) \dots \dots \dots 67.$$

Это и есть ур-ие крѣпости цилиндрической поверхности въ общемъ видѣ. Переходя къ частному случаю, когда имѣемъ полуцилиндръ, надо сдѣлать $\delta = \frac{\pi}{2}$, тогда получимъ:

по а: $q = \frac{P}{l \cdot 2r}$

по 67: $P = l \cdot 2r \cdot H \cdot \frac{\pi}{4}$, откуда

$$H = \frac{4}{\pi} \cdot q = 1,274 \cdot q \dots \dots \dots 68,$$

т. е. при сдавливаніи вогнутого полуцилиндра твердымъ выпуклымъ максимальное напряженіе относится къ среднему, равномерно распределенному по проекціи опорной поверхности, какъ 4 относится къ π , или иначе максимальное больше средняго на 27%.

Въ разсмотрѣнномъ случаѣ напряженія на поверхности распределяются по закону косинуса, поэтому являются на стыкѣ элементы поверхности, весьма сильно напряженные и вовсе ненапряженные; такое неравномерное распределеніе напряженія особенно вредно бываетъ въ томъ случаѣ, когда выпуклый цилиндръ вращается въ вогнутомъ, и послѣдній начинаетъ неодинаково изнашиваться въ различныхъ своихъ частяхъ.

Чтобы устранить это неудобство группируютъ на стыкѣ элементы, у которыхъ напряженія мало разнятся одно отъ другого. Для этого на опорной поверхности удаляютъ наиболѣе напряженные элементы ея; это достигается, дѣлая на вогнутой опорѣ вырѣзку на дугѣ *ef* (фиг. 33), стягиваемой угломъ 2γ . Когда будемъ писать условія равновѣсія нагрузки и силы упругости, въ равенствѣ е здѣсь нужно измѣнить только предѣлы интегрированія, поставивъ нижнимъ предѣломъ не 0, а γ . Тогда вмѣсто рав. 67 получимъ слѣдующее:

$$P = l \cdot 2r \cdot H \cdot \left(\frac{\delta - \gamma}{2} + \frac{\sin 2\delta - \sin 2\gamma}{4} \right) \dots \dots \dots 69.$$

Наибольшее напряженіе будетъ въ этомъ случаѣ въ точкахъ *e* и *f* (фиг. 33). Величина его, равная $H \cdot \cos \gamma$, не должна превосходить допускаемой величины *D*, т. ч. расчетное ур-ие получится въ такомъ видѣ:

$$P = \frac{l \cdot 2r \cdot D}{\cos \gamma} \left(\frac{\delta - \gamma}{2} + \frac{\sin 2\delta - \sin 2\gamma}{4} \right) \dots \dots \dots 69 а.$$

Примѣненіе данныхъ этой теоріи находимъ при устройствѣ паровозныхъ и вагонныхъ буксовыхъ подшипниковъ.

41. **Напряженія сжатія на поверхности цилиндрическаго катка.**
 Предположимъ, что катокъ A (фиг. 34) выполненъ изъ матеріала, значительно менѣе податливаго, чѣмъ соприкасающаяся съ нимъ часть B машины или сооруженія, что деформациі на поверхности прикосновенія вообще весьма невелики и вызываются только у части B . Другими словами, мы предполагаемъ, что катокъ, не измѣняя своей формы, вдавливается въ тѣло B на длинѣ дуги dbc .

Пусть обозначаютъ:

r — радиусъ катка,

l — его рабочая длина, по которой онъ соприкасается съ тѣломъ B ,

$2a = de$ — хорда, стягивающая дугу, на протяженіи которой происходитъ вдавливаніе катка, или *хорда сжатія*,

$t = bc$ — наибольшая глубина вдавливанія.

Если отступимъ отъ средней вертикали вправо на разстояніе x , получимъ величину вдавливанія $mn = \lambda$. Если проведемъ изъ точки b касательную, параллельную хордѣ de , nk — параллельно bc и обозначимъ отрѣзокъ $mk = y$, то можно написать, что

$$\lambda = t - y \dots \dots \dots \text{а.}$$

По свойству окружности:

$$x^2 = y \cdot (2r - y).$$

Но т. к. деформациі тѣла B предположены весьма незначительными, поэтому безъ большой погрѣшности величиною y въ вычитаемомъ можно пренебречь и написать, что

$$x^2 = y \cdot 2r, \text{ откуда } y = \frac{x^2}{2r} \dots \dots \dots \text{б.}$$

При $x = a$, получимъ $t = \frac{a^2}{2r} \dots \dots \dots \text{в.}$

Послѣ этого $\lambda = \frac{a^2 - x^2}{2r} \dots \dots \dots \text{г.}$

Обозначая напряженіе матеріала въ вертикальномъ направленіи при точкѣ b чрезъ D , а при точкѣ m — чрезъ H , въ силу пропорциональности напряженій съ деформациями мы можемъ написать:

$$\frac{\lambda}{t} = \frac{H}{D} = \frac{a^2 - x^2}{a^2} \dots \dots \dots \text{д.}$$

Это есть ур-іе кривой напряженій, которая въ данномъ случаѣ будетъ параболой dqe .

Послѣ этого напишемъ равновѣсіе нагрузки и силъ упругости. При вычисленіи элементарной силы p элементъ площади беремъ въ видѣ $l \cdot dx$, тогда

$$P = \sum p = 2 \int_0^a l \cdot dx \cdot D \cdot \frac{a^2 - x^2}{a^2}, \text{ или}$$

$$P = \frac{4}{3} \cdot D \cdot l \cdot a \dots \dots \dots \text{е}$$

Величину хорды смятия $2a$ выбираемъ пропорціонально диаметру катка $2r$. Пусть

$$a = ж \cdot r \dots \dots \dots 3.$$

Тогда
$$P = \frac{2}{3} \cdot ж \cdot D \cdot l \cdot 2r \dots \dots \dots 70.$$

Эта формула показываетъ, что воспринимаемая цилиндрическимъ каткомъ нагрузка прямо пропорціональна длинѣ катка, его диаметру, допускаемому на сминаемой поверхности напряженію, а также и допускаемой длинѣ хорды смятія.

Если ввести обозначеніе $к = \frac{2}{3} \cdot ж \cdot D \dots \dots \dots 70$ а,

тогда величина $к$ будутъ представлять собою величину нагрузки, отнесенной къ площади діаметрального сѣченія катка, или приведенную нагрузку.

Проф. Вахъ даетъ слѣдующія величины $к$ въ $к$ на кв. $\frac{м}{м}$:

для чугунныхъ катковъ, работающих на чугунной плоскости или выпуклой поверхности большого радіуса $к = 0,25$.

для стальныхъ катковъ, при тѣхъ же условіяхъ работающих на стальной поверхности $к = 0,60$.

Эти цифры можно считать пригодными и въ случаѣ работы катковъ съ довольно большой скоростью. Допуская для чугуна $D = 20$ $к$, получимъ:

$$ж = \frac{a}{r} = \frac{3}{2} \cdot \frac{к}{D} = \text{около } \frac{1}{53} \dots \text{ для чугуна.}$$

Для стали можно принять $D = 30$ $к$, и тогда

$$ж = \frac{3}{2} \cdot \frac{0,6}{30} = \text{около } \frac{1}{33} \text{ для стали.}$$

Въ каткахъ, которые поворачиваются съ очень малой скоростью, напр., въ подъемныхъ кранахъ, встрѣчаются въ существующихъ устройствахъ для чугунныхъ катковъ величины

$$к = \text{отъ } 0,4 \text{ до } 0,6.$$

Нѣкоторые авторы даютъ для катковъ величину нагрузки, отнесенной къ единицѣ длины по образующей катка, т. е. (см. ф-лу е).

$$\frac{P}{l} = \frac{4}{3} \cdot D \cdot a = q.$$

Если выражать q въ $к$ на линейномъ $\frac{м}{м}$, а діам. катка $2r$ — въ $\frac{м}{м}$, тогда у Trautwine находимъ слѣдующія цифры:

а) для стальныхъ опорныхъ катковъ, употребляемыхъ въ мостовыхъ сооруженіяхъ и работающих на стальныхъ опорныхъ поверхностяхъ:

$$q = 6,35 \cdot \sqrt{2r};$$

б) для *стальныхъ колесъ*, работающихъ на стальныхъ рельсахъ:

$$q = 4,1 \cdot \sqrt{2r};$$

при желѣзномъ рельсѣ величина коэффициента будетъ 3,65, а при работѣ на чугунной полосѣ — 3,3;

в) для *чугунныхъ колесъ*, работающихъ на желѣзныхъ рельсахъ, величина коэффициента будетъ 2,12, а при чугунной полосѣ — 1,7.

Боковыя рабочія поверхности зубцовъ у зубчатыхъ колесъ представляютъ собою также родъ катковъ, подверженныхъ сдавливанию и вмѣстѣ съ тѣмъ изнашиванию, вслѣдствіе существованія относительнаго скольженія между ними. Величину q ставятъ въ такомъ случаѣ въ зависимость отъ величины скорости v на начальной окружности колесъ и берутъ въ случаѣ совместной работы чугунныхъ зубьевъ и деревянныхъ:

$$q = \text{или менѣе } \frac{60}{2 + v},$$

гдѣ q — давленіе въ кг., отнесенное къ 1 $\frac{m}{m}$ длины, а v — въ mt въ сек.; если оба колеса имѣютъ чугунные зубья, необработанные на зуборѣзной машинѣ, можно брать:

$$q = \text{или менѣе } \frac{120}{2 + v},$$

а если зубья у колесъ нарѣзаны на машинѣ, то берутъ

$$q = \text{или менѣе } \frac{180}{2 + v}.$$

Въ точныхъ измѣрительныхъ приборахъ (вѣсахъ, разрывныхъ машинахъ и т. п.) пара вращенія замѣняется острымъ ребромъ стальной закаленной призмы A (фиг. 59), опирающейся на стальную закаленную пластину B , имѣющую свою рабочую поверхность въ видѣ плоскости. При работѣ такихъ приборовъ на максимальную нагрузку допускаются величины q отъ 125 до 250 кг. на линейный $\frac{m}{m}$.

42. **Напряженія смятія на поверхности шарового катка.** Дѣлаемъ тѣ же предположенія относительно матеріала катка и опоры, что и въ предыдущемъ §, т. е. что катокъ, не измѣняя своей формы, вдавливается въ опору. Проекція смятаго стыка здѣсь будетъ площадью круга съ діаметромъ $2a \cdot \text{Ур-іе}$ кривой напряженій останется то же, что и въ предыдущемъ §:

$$\frac{H}{D} = \frac{a^2 - x^2}{a^2}.$$

По такому закону будутъ измѣняться напряженія во всѣхъ плоскостяхъ, проходящихъ черезъ центръ шара и направленіе слагающей внѣшней нагрузки. Элементъ площади здѣсь можно взять кольцевымъ съ окружностію $2\pi \cdot x$ и шириною кольца dx . Тогда ур-іе равновѣсія нагрузки и силъ упругости будутъ имѣть видъ:

$$P = \int_0^a 2\pi \cdot x \cdot dx \cdot D \cdot \frac{a^2 - x^2}{a^2} = \frac{\pi \cdot a^2}{2} \cdot D \dots \dots \dots \text{и.}$$

И здѣсь также величину хорды смятія $2a$ выбираемъ пропорціо-
нально діаметру катка $2r$. Пусть

$$a = ж \cdot r \dots \dots \dots i.$$

Тогда
$$P = \frac{ж^2}{2} \cdot \pi \cdot r^2 \cdot D \dots \dots \dots 71,$$

т. е. *воспринимаемая сферическимъ каткомъ нагрузка прямо пропор-
циональна площади большого круга сферы, допускаемому на сжимаемой
поверхности напряженію и квадрату хорды смятія.*

Если ввести обозначеніе

$$k_1 = \frac{ж^2}{2} \cdot D \dots \dots \dots 71, a,$$

тогда k_1 будетъ представлять собою *приведенную нагрузку*, отнесенную
къ площади діаметрального сѣченія катка. Проф. Бахъ даетъ для k_1
слѣдующія величины (въ kg на кв. мм):

$k_1 = 0.025 = \frac{1}{40}$ — для чугуновыхъ шаровъ, работающихъ между чу-
гунными плоскостями;

$k_1 = 0,06$ — для стальныхъ шаровъ, работающихъ между стальными
плоскостями.

Вычисляя въ обоихъ случаяхъ величину $ж$, получимъ:

$$\text{для чугуна } ж = \sqrt{\frac{2}{40 \cdot 20}} = \frac{1}{20},$$

$$\text{для стали } ж = \sqrt{\frac{2 \cdot 0,06}{30}} = \text{ок. } \frac{1}{16}.$$

По сравненію этихъ величинъ съ таковыми же предыдущаго §
можно думать, что приведенныя величины k_1 даны Бахомъ нѣсколько
высокими, и при пользованіи этими данными неизбежно придется встрѣ-
титься съ быстрымъ изнашиваніемъ плоскостей, съ которыми шаровые
катки соприкасаются.

Когда шаровой катокъ работаетъ не на плоскости, а въ желобкѣ
съ круглымъ профилемъ, радіусъ образующей котораго на $\frac{1}{8}$ болѣе ра-
діуса катка, проф. Бахъ для величинъ k_1 даетъ слѣдующія цифры:

$k_1 = 1,25$ — для чугуннаго катка, работающаго въ чугуновыхъ лункахъ,
 $k_1 = 3,0$ — для стального катка, работающаго въ стальныхъ лункахъ.

Подсчитывая и въ этомъ случаѣ величину $ж$, нетрудно видѣть,
что цифры эти чрезмѣрно велики и должны быть понижены по крайней
мѣрѣ вдвое, если катки должны работать съ небольшой скоростью, или
втрое—при непрерывной работѣ и большой скорости.

Діаметры катковъ, воспринимающихъ на себя общее давленіе, должны
быть строго одинаковыми, но и въ этомъ случаѣ не слѣдуетъ вводить
въ расчетъ всего числа катковъ, имѣя въ виду разныя случайности,
какъ-то: неодинаковое выбиваніе разныхъ мѣстъ опорныхъ поверхно-
стей, попаданіе на нихъ постороннихъ тѣлъ и проч.

Г. Напряженія сжатія на стыкѣ тѣлъ, перемѣщающихся одно относительно другого.

43. **Общая соображенія относительно изнашивания трущихся стыковъ.** Если взаимное расположеніе двухъ тѣлъ, соприкасающихся между собою, никогда не измѣняется, то расчетъ нагруженнаго стыка ихъ дѣлается по величинамъ напряженій сжатія D , даннымъ въ § 35. Если же два тѣла перемѣщаются одно относительно другого, то на поверхности нагруженнаго стыка ихъ развиваются силы тренія, происходитъ превращеніе работы тренія въ теплоту, и является *изнашивание, истираніе стыка*, нарушающее правильность осуществленныхъ въ машинѣ геометрическихъ и кинематическихъ соотношеній и способъ раздачи нагрузокъ отдѣльнымъ частямъ ея. Пока это явленіе не было съ достаточными подробностями изучено, пока не накопился запасъ опытныхъ данныхъ по вопросу объ изнашиваніи частей машинъ при различныхъ условіяхъ ихъ работы, машиностроеніе не могло подняться на подобающую ему высоту: строились машины и аппараты, удовлетворительно функционирующіе въ 1-е дни и 1-я недѣли работы, но вовсе не приспособленные къ *долговѣчной* правильной работѣ, къ сохраненію ими формы и размѣровъ своихъ частей даже и послѣ продолжительнаго періода работы.

Напряженіе матеріала D на покоящемся стыкѣ мы называли *напряженіемъ матеріала при сжатіи*, или *при давленіи*, или *при смятій*; въ отличіе отъ этого напряженіе матеріала на трущемся стыкѣ мы будемъ называть *напряженіемъ изнашивания* и обозначать буквой K .

Разъ навсегда нужно запомнить слѣдующее:

1. *Напряженіе изнашивания д. б. во много разъ меньше напряженія смятія на покоящемся стыкѣ.* Отношеніе между ними бываетъ = 10, и 15 и болѣе.

2. *Чѣмъ меньше будетъ назначено напряженіе изнашивания у какой-либо части машины, тѣмъ, при всѣхъ прочихъ одинаковыхъ условіяхъ, она будетъ поставлена въ лучшія условія сопротивленія и сохраненія своихъ формъ и размѣровъ на долгое время.*

3. *Равномѣрное распределеніе напряженія изнашивания по поверхности стыка всегда желательно, т. к. при этомъ можно достигнуть равномернаго снашивания стыка и получить возможность поддержанія въ машинѣ правильныхъ геометрическихъ и кинематическихъ соотношеній.*

Съ возможностью снашивания каждаго трущагося стыка надо прираться заранѣе, но нужно умѣть продлить самый періодъ снашивания стыка насколько возможно болѣе, нужно въ то же время предотвратить и необходимость замѣны крупныхъ и дорого стоящихъ изношенныхъ частей новыми. Съ этою послѣднею цѣлію на трущихся стыкахъ вводится *смынная обшивка, облицовки въ видѣ вставныхъ вкладышей, стакановъ, башмаковъ и проч.*

Смѣнные части готовятся изъ стали, мѣдныхъ сплавовъ и чугуна.

Если смѣнная часть входитъ въ составъ точнаго механизма (напр., распредѣляющаго паръ и т. п.), гдѣ преслѣдуемая цѣль заключается не только въ передачѣ весьма большихъ давленій, но также еще и въ точномъ воспроизведеніи извѣстныхъ геометрическихъ свойствъ механизма, смѣнные части обязательно выполняются *изъ закаленной стали* и окончательно отдѣлываются послѣ ихъ закалки, а иногда еще даже и послѣ законченной постановки ихъ на мѣсто.

Если же смѣнная часть при своемъ изнашиваніи кореннымъ образомъ не нарушаетъ свойствъ механизма, тогда, вводя ее, заботятся главнымъ образомъ *о сохраненіи формы и размеровъ стыка* той части, которая соприкасается со смѣнною, а также и *объ отведеніи теплоты* съ поверхности трущихся стыковъ. Въ такомъ случаѣ смѣнные части выполняются изъ мѣдныхъ сплавовъ *) или чугуна, и снашиванію подвергаются главнымъ образомъ онѣ, эти смѣнные части, а не стыкъ работающаго на нихъ тѣла; но снашиваніе послѣдняго во всякомъ случаѣ при этомъ не исключается, и тамъ, гдѣ это недопустимо или нежелательно, смѣнными частями снабжаются оба тѣла на стыкѣ ихъ.

Чтобы имѣть возможность пользоваться смѣнными частями возможно болѣе продолжительное время и при томъ такъ, чтобы по мѣрѣ снашиванія, *срабатыванья* смѣнныхъ частей можно было снова возвращаться къ первоначальнымъ геометрическимъ и кинематическимъ свойствамъ механизма, *смѣнные части ставятся на мѣсто не наглухо и снабжаются приспособленіями для установки и перемѣщенія ихъ* относительно работающаго съ ними тѣла. Иногда эти приспособленія для установки и перемѣщенія смѣнныхъ частей заключаются въ употребленіи *установительныхъ винтовъ, установительныхъ клиньевъ, чеки* и т. п., въ другихъ же случаяхъ роль такого приспособленія исполняетъ *прокладка* между тѣломъ и смѣнною частью, и толщина этой прокладки при установкѣ и вывѣркѣ относительнаго положенія трущихся частей играетъ въ такомъ случаѣ большую роль.

Болѣе или менѣе быстрое изнашиваніе стыка зависитъ отъ слѣдующихъ главныхъ факторовъ:

1) отъ величины напряженія изнашиванія, допущенной на стыкѣ во время его работы,

2) отъ болѣе или менѣе регулярнаго и обильнаго поступленія смазки на трущіеся стыкъ и возможности удержанія ея на стыкѣ,

3) отъ болѣе или менѣе приспособленности всего устройства къ удаленію со стыковъ развивающейся на нихъ теплоты,

4) отъ первоначальной установки стыковъ, которая нерѣдко бываетъ недостаточно тщательно сдѣланной и съ допущеніемъ принципиальныхъ ошибокъ,

5) отъ послѣдующей развѣрки частей и невнимательнаго ухода.

*) См. изданія Политехническаго О-ва: 1) *Составленіе мѣдныхъ сплавовъ*, инж.-мех. А. С. Семенова, въ *Бюллетенѣ* № 7 за 1894—95 г., 2) *Антифрикціонные сплавы, ихъ плавка и примѣненія*, инж.-мех. П. С. Страхова, въ *Бюл.* № 10 за 1893—94 г.

Величина напряженія изнашивания, т. е. давленія на 1 поверхности трущагося стыка, во всякомъ случаѣ должна быть такова, чтобы смазка не выдавливалась со стыковъ вполнѣ и могла держаться на нихъ. Этому помогаютъ также *смазывающія канавки*. Лучше всего ихъ про рубать на томъ изъ стыковъ, который подверженъ меньшему изнашиванію, иначе по мѣрѣ срабатыванія стыка глубина канавокъ уменьшается, и онѣ уничтожаются, вызывая нагрѣваніе стыка.

Надежнѣ всего работаютъ такіе стыки частей, которые смазываются непрерывно и сообразно со скоростью движенія. Подведеніе смазки на стыкъ должно быть сдѣлано въ томъ мѣстѣ, гдѣ давленіе на стыкѣ по возможности *меньшее*; а если оно постоянно во всѣхъ точкахъ стыка, смазка должна быть введена на стыкъ чрезъ смазывающія канавки, имѣющія достаточную длину и достаточный объемъ. Если различныя точки стыка лежатъ въ разныхъ уровняхъ, смазка должна быть подводится въ самой верхней части стыка, и при большой скорости работы подвода смазки сверху долженъ быть непрерывнымъ.

Удаленіе со стыковъ развивающейся на нихъ теплоты дѣлается чаще всего, благодаря теплопроводности вкладышей, стакановъ и пр., и только иногда принимаются особыя искусственныя мѣры для охлажденія стыковъ—въ видѣ циркуляціи вокругъ нихъ холодной воды, воздуха и пр.

Недолговѣчность трущихся стыковъ въ работѣ чаще всего является слѣдствіемъ невнимательнаго ухода за трущимися частями и слѣдствіемъ развѣрки ихъ положенія, когда онѣ начинаютъ *работать не всей поверхностью*, на которую сдѣланъ расчетъ, а только частію ея, когда, слѣдовательно, происходитъ само собою непредвидѣнное сосредоточеніе давленія въ нѣкоторыхъ пунктахъ стыка, выдавливаніе съ нихъ смазки, работа сухихъ поверхностей одной по другой, усиленное развитіе при этомъ теплоты, нагрѣваніе стыковъ и царапанье ихъ одного другимъ, или *затданіе* — съ отдѣленіемъ иногда на поверхности стыковъ стружекъ и съ поломками.

44. Принципъ Сэллера передачи давленія съ покоющагося стыка на трущійся. Чтобы парализовать вліяніе развѣрки или перемѣны относительнаго положенія частей на изнашиваніе ихъ стыковъ, пользуются принципомъ передачи давленій на стыки, получившимъ теперь широкое распространеніе въ практикѣ машиностроенія, благодаря трудамъ извѣстнаго американскаго строителя машинъ *William Sellers*. Въ основѣ этого принципа лежитъ первое изъ положеній предыдущаго §, по которому напряженіе изнашивания должно быть во много разъ менѣе напряженія смятія на покоющемся стыкѣ. Слѣдовательно, можно сказать и наоборотъ, что на двухъ стыкахъ, воспринимающихъ на себя одно и то же давленіе, напряженіе на покоющемся стыкѣ можетъ быть допущено значительно болѣе, чѣмъ на стыкѣ трущемся. А отсюда, какъ необходимое слѣдствіе, является и самъ принципъ *Сэллера*, по которому *покоющійся стыкъ можетъ имѣть гораздо меньшіе размѣры чѣмъ*

трущийся стыкъ при одинаковой величинѣ воспринимаемыхъ ими давлений. Примѣненіе этого принципа всегда ставитъ трущиеся стыки въ болѣе надежныя условія для сопротивленія, способствуетъ болѣе равномерному распредѣленію напряженій на стыкахъ, исключаетъ возможность взаимнаго перекашивания трущихся стыковъ и дѣлаетъ работу ихъ долговѣчною.

На фиг. 35 въ эскизѣ показанъ нераціональный способъ передачи давленія съ покоящагося стыка *mn* части *B* на трущийся стыкъ *pq*, образованный между вкладышемъ и тѣломъ *A*, а на фиг. 36 въ эскизѣ иллюстрированъ принципъ *Сэллера*. Въ обоихъ случаяхъ длина *pq* трущагося стыка одна и та же, требуемая условіями изнашивания, а длина покоящагося стыка—различная; длина *kl* (фиг. 36) сдѣлана достаточною, требуемою по расчету покоящагося стыка, а длина *mn* (фиг. 35), сдѣлана гораздо болѣе расчетной; и при данныхъ обстоятельствахъ это послѣднее допущеніе не только не приноситъ никакой пользы дѣлу, но является даже вреднымъ, если начнется измѣненіе взаимнаго положенія частей *A—B*, т. е. перекашивание ихъ. Предполагая, что часть *B* въ обоихъ случаяхъ имѣетъ стремленіе повернуться по направленію движенія часовой стрѣлки относительно *A*, мы получимъ на фиг. 35 переносъ давленія въ точку *n*, съ наибольшимъ плечомъ $x = 0,5 \cdot mn$, а на фиг. 36 давленіе въ крайнемъ случаѣ будетъ передано въ точку *l*, съ плечомъ $y = 0,5 \cdot kl$. Такимъ образомъ при одной и той же величинѣ нагрузки *P* моментъ перекашивания въ 1-мъ случаѣ будетъ *P. x*, а во 2-мъ случаѣ *P. y*. Отношеніе ихъ $= x : y$. Въ такомъ же отношеніи между собою будутъ находиться и наибольшія напряженія, которыя при перекашиваніи возбуждятся въ точкѣ *q*, какъ это видно по ф-лѣ 62. Отсюда ясно, насколько нераціонально исполненіе покоящагося стыка съ длиною *mn* (фиг. 35), мало отличающейся отъ длины трущагося торца.

Развивая свой принципъ, *Сэллерс* идетъ еще далѣе и часто выполняетъ покоящийся торецъ *kl* въ видѣ сферы (фиг. 37), позволяющей части *B* свободно перемѣщаться относительно вкладыша *C*, трущийся стыкъ котораго съ тѣломъ *A* работаетъ тогда всей своей поверхностью и не испытываетъ почти ни малѣйшаго перекашивания. Плечо *y* для момента перекашивания доводится при этомъ почти до нуля.

Въ машиностроеніи впервые этотъ принципъ былъ примѣненъ въ широкихъ размѣрахъ при устройствѣ опоръ для приводныхъ валовъ въ видѣ подшипниковъ съ удобоподвижными вкладышами, подвѣсокъ, кронштейновъ и пр. и далъ на практикѣ превосходные результаты.

Примѣненіе этого принципа позволило вмѣстѣ съ тѣмъ не стѣсняться развитіемъ опорныхъ стыковъ въ длину, безъ боязни дурныхъ послѣдствій перекашивания движущихся частей; а съ развитіемъ величины опорной поверхности и уменьшеніемъ на ней напряженія изнашивания явилась возможность перейти къ исполненію трущихся стыковъ изъ такого матеріала, какъ чугуны, который до этого въ работѣ съ большимъ напряженіемъ изнашивания долгое время пользовался репутаціею матеріала, мало стойкаго и непригоднаго для исполненія изъ

него трущихся стыковъ, подверженныхъ развѣркѣ и перекашиванію въ работѣ.

Принципъ *Сэллера* высказанъ здѣсь въ самой общей формѣ, и примѣненіе его даетъ одинаково благоприятные результаты во всѣхъ случаяхъ, гдѣ существуютъ подобныя условія передачи давленій, т. е. возможность взаимнаго перекося движущихся частей, — будетъ-ли часть *A* валомъ, а *B* — тѣломъ опоры для вала, будетъ-ли часть *A* пальцемъ кривошипа или шейкой колѣнчатого вала, а *B* — тѣломъ головки шатуна, будетъ-ли часть *B* тѣломъ ползуна, а часть *A* — направляющею для него и т. д.

45. Изнашивание частей поступательной пары. *а. Размеры трущагося стыка.* Пусть имѣемъ открытую поступательную пару, состоящую изъ плоскости *B* (фиг. 38) и тѣла *A*, имѣющаго плоскій трущейся стыкъ. Замыканіе пары дѣлается нагрузкою *P*. Предполагаемъ ее равномерно распределенной по поверхности стыка. Очертаніе тѣла *A* въ планѣ предполагаемъ въ видѣ прямоугольника съ размѣрами $a \times b$.

Чтобы изнашивание стыковъ обоихъ тѣлъ поступательной пары было равномерное, необходимо выполненіе слѣдующихъ условій:

1) Давленіе *P* при всякомъ взаимномъ положеніи тѣлъ *A* и *B* д. б. постоянно и должно равномерно распредѣляться по плоскости стыка части *A*.

2) Ширина тѣла *A* и *B* (т. е. размѣръ *b*, перпендикулярный къ плоскости чертежа) д. б. одинакова.

3) Въ крайнемъ правомъ и крайнемъ лѣвомъ своемъ положеніи стыкъ тѣла *A* д. сходить со стыка у тѣла *B* на небольшую величину *e*, другими словами, необходимо, чтобы тѣло *B* имѣло рабочую поверхность *mn*, выступающую надъ общимъ уровнемъ тѣла *B*, и чтобы длина этой рабочей поверхности *l* имѣла строго опредѣленные размѣры.

Если размахъ тѣла *A* будетъ *s* (фиг. 38), то

$$s + a = l + 2e. \dots\dots\dots 72.$$

Этимъ основнымъ ур-іемъ устанавливается соотношеніе между всѣми продольными размѣрами стыка. Величина *e* бываетъ отъ 3 до 8 мм. и дѣлается тѣмъ менѣе, чѣмъ меньше размѣръ *a* и чѣмъ точнѣе механизмъ, въ составъ котораго входятъ части *A* и *B*.

Если бы у тѣла *B* не было устроено рабочей поверхности, или же длина ея *l* была бы много болѣе того, что даетъ ур-іе 72, тогда стыкъ тѣла *B* изнашивался бы не весь; на концахъ его справа и слѣва оставались бы несношенныя части, которыя могли бы препятствовать правильному движению тѣла *A*.

Въ случаѣ, когда тѣло *B* является тѣломъ парового или насоснаго цилиндра, а тѣло *A* — поршневой пружиной (фиг. 39), подѣ размѣромъ *a* надо разумѣть разстояніе между внѣшними кромками крайнихъ пружинъ. Тогда переходъ отъ *лица* или *зеркала mn* цилиндра ко внѣшней

его части pq (фиг. 39) допускается дѣлать по конусу pt для удобства постановки поршня на мѣсто.

Выступъ f (фиг. 38 и 39) рабочей поверхности дѣлается отъ 3 до 6 мм. При коническомъ переходѣ pt (фиг. 39) отъ лица къ нерабочей части тѣло B при выборѣ величины e соотнобразуются съ уклономъ образующей конуса и величиной допускаемаго износа на поверхности лица mn .

На фиг. 40 указаны соотношенія въ размѣрахъ *замкнутой* поступательной пары съ круглой и квадратной формой поперечнаго сѣченія поверхности стыка. Тѣло B обращено въ направляемый стержень, снабженный рабочей поверхностью на длинѣ l , а тѣлу A приданы формы направляющей втулки. Р-во 72 должно имѣть мѣсто также и здѣсь.

Дальнѣйшая разработка подробностей устройства трущагося стыка будетъ заключаться въ выборѣ допускаемыхъ напряженій на стыкѣ и въ назначеніи смѣнныхъ частей у того или другого изъ двухъ тѣлъ.

Въ нижеслѣдующей таблицѣ приведены величины допускаемаго напряженія изнашиванія K въ $кг.$ на кв. $мм.$ при различной рабочей скорости движенія стыковъ v въ $мт.$, предполагая возможность измѣненія силы нажатія одного стыка на другой въ разныхъ точкахъ пути.

Величины K въ поступательной парѣ.

Названіе матеріаловъ на трущихся стыкахъ.	При скорости движенія v mt					
	до 1 mt .		отъ 1 до 2		болѣе 2.	
Бронза по стали	$\frac{1}{10}$	$\frac{1}{20}$	$\frac{1}{20}$	$\frac{1}{30}$	$\frac{1}{30}$	$\frac{1}{40}$
Мягкій чугунъ по стали	$\frac{1}{20}$	$\frac{1}{30}$	$\frac{1}{30}$	$\frac{1}{40}$	$\frac{1}{40}$	$\frac{1}{60}$
Бронза по чугуну (чугунная часть не смѣнная)	$\frac{1}{25}$	$\frac{1}{40}$	$\frac{1}{50}$	$\frac{1}{60}$	$\frac{1}{60}$	$\frac{1}{75}$

Когда величина нагрузки *постоянна*, за допускаемыя величины K можно брать въ $1\frac{1}{2}$ и даже въ 2 раза большія противъ указанныхъ въ этой таблицѣ.

Ур-іе крѣпости трущагося стыка будетъ писаться такъ:

$$P = \text{или менѣе } K \cdot [(a - e) \cdot b - F_0] \dots \dots \dots 73,$$

гдѣ F_0 — площадь смазывающихъ канавокъ, перекрываемая стыкомъ части A (фиг. 38).

б. *Вліяніе способа приведенія въ движеніе элементовъ поступательной пары на изнашиваніе ихъ стыковъ.* Пусть имѣемъ элементъ

A (фиг. 41) поступательной пары въ видѣ золотника, а элементъ *B*— въ видѣ золотниковаго зеркала; *EF*—золотниковый стержень, *C* и *D*— направляющіе стержень сальники. Общій случай расположенія передачи будетъ такой, какъ дано на эскизѣ фиг. 41, когда давленіе отъ стержня на золотникъ передается съ эксцентриситетомъ *t*, и давленіе $+Q$, движущее золотникъ вправо, имѣетъ относительно зеркала эксцентриситетъ *s*.

Для правильности срабатыванія всѣхъ стыковъ этого механизма необходимо слѣдующее:

1) *Ось стержня E должна быть параллельна плоскости зеркала B.*

2) *Эксцентриситеты s и t должны быть возможно меньше; идеальный случай былъ бы такой, когда $s = t = 0$; при одномъ сальникѣ (со стороны движущей части стержня) это условіе весьма часто безъ труда осуществимо, и 2-й сальникъ утрачиваетъ въ этомъ случаѣ свое значеніе.*

Большинство конструкцій этого простого и миллионы разъ повторяющагося механизма осуществляются неправильно: стараются исполнить чаще всего эксцентриситетъ $t = 0$, а *s* выполняютъ какъ выйдетъ, и доходятъ чрезъ это иногда до весьма значительной величины момента $Q \cdot s$, опрокидывающаго золотникъ и вызывающаго на его стыкѣ неравномѣрное распредѣленіе напряженій изнашиванія.

Вредныя послѣдствія существованія эксцентриситета *t* легко парализуются выборомъ большого разстоянія *и* между сальниками *C* и *D* и достаточной длиною послѣднихъ, тогда какъ существованіе эксцентриситета *s* наноситъ золотнику *A* и его зеркалу *B* непоправимый вредъ, распредѣляя давленія на поверхности стыка *A* неравномѣрно и вынашивая оба стыка совершенно неправильно.

Если почему-либо нельзя установить ось золотниковаго стержня въ плоскости зеркала золотника, то нужно постараться *сократить между ними разстояніе до min и во всякомъ случаѣ сдѣлать $s = 0$.*

Далѣе представляется вопросъ — осуществить ли передачу отъ стержня къ золотнику по схемѣ фиг. 41, или—фиг. 42. Въ послѣднемъ случаѣ отростокъ F_2 служитъ для упора въ выступъ A_2 золотника, а F_1 въ A_1 ; другими словами, золотникъ при этомъ *подтакивается* сзади; это—наименѣе удачный способъ веденія золотника, т. к. при этомъ золотникъ легко „деретъ носомъ“ зеркало, въ особенности когда тѣло золотника *A* и хомутъ F_2 имѣютъ въ сношенномъ золотникѣ такое относительное расположеніе частей, какъ показано на фиг. 43, гдѣ давленіе отъ хомута на еще не сношенный выступъ *T* золотника можетъ вызвать существованіе наклонной нагрузки Q_1 , опрокидывающей золотникъ относительно передняго ребра *p* (фиг. 42) съ весьма большимъ плечомъ s_1 . Въ этомъ отношеніи лучше передача по схемѣ фиг. 41, гдѣ стержень передаетъ давленіе на золотникъ почти въ срединѣ его длины. Еще лучше было бы вести золотникъ всегда за переднюю его часть, „за носъ“, какъ показано въ схемѣ на фиг.

44, гдѣ F_1 передаетъ давленіе на A_1 , когда нужно вести золотникъ влѣво, а F_2 — на A_2 , когда всѣ части механизма перемищаются вправо.

Давно уже осуществляютъ $s + t = 0$ при построении уравновѣшеннаго цилиндрическаго золотника, но отъ осуществленія того же принципа при золотникахъ другой формы конструкторы обыкновенно отвлекаются невольнымъ подражаніемъ существующимъ образцамъ устройствъ, которыя выпускаются извѣстными заграничными машиностроительными фирмами и на вѣру принимаются за выработанные практикою типы; но это далеко не всегда бываетъ такъ даже и за границей, какъ въ этомъ не трудно убѣдиться, изучая детали современныхъ машинъ; и поэтому подражаніе существующимъ конструктивнымъ образцамъ тогда только можетъ быть оправдано, когда въ этихъ образцахъ удовлетворены всѣ геометрическія и кинематическія требованія, обдуманъ всѣ условія сопротивляемости и изнашиваемости частей и приняты во вниманіе условія и средства обработки на машинахъ и въ ручную, а также и качества имѣющихся въ наличности матеріаловъ и проч.

Устройство поступательной пары, выполняемой по типу фиг. 40, не слѣдуетъ безъ крайней надобности употреблять при условіяхъ, изображенныхъ въ эскизѣ на фиг. 45 и 46; во всякомъ случаѣ тогда необходимо будетъ принять во вниманіе слѣдующія обстоятельства: 1) размѣръ n при крайнемъ лѣвомъ положеніи шарнира C д. б. возможно менѣе; 2) стержень B , рассчитанный прочно на сгибаніе, д. б. значительно увеличенъ въ толщину, чтобы уменьшить его выгибаніе; 3) отношеніе длины a втулки A къ діам. стержня B д. б. исполнено не менѣе трехъ; 4) передача давленія отъ втулки A на опору д. б. сдѣлана по принципу *Сэллерса*.

в. Работа поступательной пары при переменнѣй величинѣ нагрузки. Такимъ примѣромъ можетъ служить работа ползуна B (фиг. 47) или крестовины (крейцкопфа), посредствомъ котораго направляется въ своемъ движеніи стержень поршня. Давленіе P на поршень, перенесенное на болтъ ползуна, м. б. разложено по направленію, нормальному къ поверхности параллелей, и по направленію шатуна.

$$Q = P : \cos \beta; N = P \cdot \operatorname{tg} \beta. \dots \dots \dots \text{а.}$$

Если длина шатуна l и радіусъ кривошипа r , то

$$DE = l \cdot \sin \beta = r \cdot \sin \delta, \text{ откуда}$$

$$\sin \beta = \frac{r}{l} \cdot \sin \delta = \frac{\sin \delta}{m} \dots \dots \dots \text{в.}$$

Изъ этой ф-лы видно, что $\sin \delta$ будетъ имѣть значеніе \max , тогда же, когда и $\sin \beta$, т. е. при $\delta = 90^\circ$. Случалось слышать отвѣтъ, что наибольшее отклоненіе оси шатуна отъ оси цилиндра получится въ томъ случаѣ, когда ось шатуна \perp къ направленію кривошипа; это невѣрное положеніе сообщено также и въ нѣкоторыхъ справочныхъ книжкахъ.

Соединяя ф-лы а и в, получимъ:

$$Q = \frac{P \cdot m}{\sqrt{m^2 - \text{Sin}^2 \delta}} \dots \dots \dots \text{г.}$$

$$N = \frac{P \cdot \text{Sin} \delta}{\sqrt{m^2 - \text{Sin}^2 \delta}} \dots \dots \dots \text{д.}$$

Изъ этихъ ф-лъ видно, что и Q , и N все время измѣняются съ измѣненіемъ угла δ . Изъ нихъ Q измѣняется сравнительно въ очень тѣсныхъ предѣлахъ.

При $\delta = 0$ и $\delta = 180^\circ \dots \dots \dots \text{min } Q = P \dots \dots \dots \text{е.}$

При $\delta = 90^\circ$ и $\delta = 270^\circ \dots \text{max } Q = \frac{P \cdot m}{\sqrt{m^2 - 1}} \dots \dots \dots \text{ж.}$

При $m = 4 \dots \dots \dots \text{max } Q = 1,032 \cdot P$

" $m = 5 \dots \dots \dots \text{ " } = 1,020 \cdot P$

" $m = 6 \dots \dots \dots \text{ " } = 1,014 \cdot P$

Величина N измѣняется въ гораздо болѣе широкихъ предѣлахъ. Такъ,

при $\delta = 0$ и $\delta = 180^\circ \dots \dots \dots \text{min } N = 0,$

а при $\delta = 90^\circ$ и $\delta = 270^\circ \dots \dots \text{max } N = \frac{P}{\sqrt{m^2 - 1}} \dots \dots \dots \text{з.}$

При $m = 4 \dots \dots \dots \text{max. } N = 0,258 \cdot P.$

" $m = 5 \dots \dots \dots \text{ " } = 0,204 \cdot P.$

" $m = 6 \dots \dots \dots \text{ " } = 0,169 \cdot P.$

Эти данныя показываютъ, насколько невыгодно брать отношеніе длины шатуна къ рад. кривошипа слишкомъ малымъ. Разсмотрѣніе фиг. 47 показываетъ, что при постоянномъ направленіи вращенія вала давленіе N будетъ передаваться всегда только на одну изъ параллелей, если ведущую механизмъ частью будетъ все время поршень. Въ паровыхъ машинахъ, работающих съ расширеніемъ пара и съ маховикомъ, избытокъ работы передается поочередно то отъ поршня къ валу и къ маховику, то отъ маховика къ валу, а отъ него — къ поршню: тамъ будутъ работать поочередно обѣ параллели A_1 и A_2 . Въ приводныхъ насосахъ и въ машинахъ-орудіяхъ у шатуннаго механизма всегда работаетъ только одна изъ параллелей. Давленіе на ползунъ за время каждаго оборота вала измѣняется по закону, выражаемому ф-лой д.

Расчетъ трущагося стыка ползуна дѣлается по $\text{max } N$. Вслѣдствіе измѣненія величины N при измѣненіи угла δ снашивание параллелей будетъ итти неравно, онѣ будутъ *выбиваться* въ срединѣ, и устраненіе стука въ ползунѣ возможно только путемъ ремонта параллелей: никакія установочныя приспособленія въ ползунѣ устранить этотъ стукъ не могутъ, т. к. ими можно пользоваться только при первоначальной установкѣ ползуна на новыхъ, невыбитыхъ параллеляхъ, когда разстояніе n во всѣхъ положеніяхъ ползуна одинаково.

Трущийся стыкъ ползуна и параллелей образуютъ при помощи двухъ башмаковъ H, H (фиг. 48), являющихся смѣнными частями крестовины B и выполняемыхъ большею частию изъ чугуна съ облицовкою изъ бронзы или бабита. Башмаки воспринимаютъ отъ крестовины вертикальное давленіе N чрезъ покоящийся стыкъ b и при движеніи башмаковъ по параллелямъ возбуждается сила тренія — $N \cdot f$.

Чѣмъ менѣе будетъ эксцентриситетъ t при передачѣ силы $N \cdot f$ на крестовину, тѣмъ лучше.

Чѣмъ ближе устройство стыка b крестовины и башмака будетъ осуществлено къ принципу *Сэллера*, тѣмъ лучше, въ особенности если передача давленія N отъ шатуна на крестовину дѣлается съ эксцентриситетомъ s . Существованіе послѣдняго во всякомъ случаѣ нельзя отнести къ числу достоинствъ конструкціи ползуна.

Вредныя послѣдствія воздѣйствія момента $N \cdot f \cdot t$, вращающаго башмакъ парализуются надлежащимъ развитіемъ размѣра на трущемся стыкѣ башмака; отношеніе этого размѣра a къ другому размѣру стыка c выбирается отъ 2 до 3. Вредныя же послѣдствія дѣйствія момента $N \cdot s$ на башмакъ устраняются надлежащимъ устройствомъ стыка b (фиг. 48) между крестовиной и башмакомъ; во многихъ конструкціяхъ паровозныхъ ползуновъ эта деталь стыка выполняется нераціонально, не по принципу *Сэллера* и, благодаря этому, стыкъ башмака и параллелей всегда нагружается еще добавочнымъ моментомъ, происходящимъ отъ эксцентричной передачи давленія N на крестовину; если бы соединеніе крестовины со стержнемъ поршня ослабло, моментъ $N \cdot s$ цѣликомъ сталъ бы передаваться на башмаки ползуна.

46. изнашивание частей вращательной пары. Различаютъ вращательныя пары двухъ родовъ: 1) въ одномъ случаѣ элементы вращательной пары не дѣлаютъ полного оборота одинъ относительно другого, а совершаютъ только *качаніе* на нѣкоторый уголъ, это — *шарнирное соединеніе*, 2) въ другомъ случаѣ элементы вращательной пары непрерывно вращаются одинъ относительно другого, часто съ большой относительной скоростью, всегда въ одну сторону, или поочередно то въ одну — то въ другую, это — *пара съ непрерывнымъ вращеніемъ*. И та, и другая вращательная пара можетъ претерпѣвать изнашиваніе или на *цилиндрической поверхности*, или на *торцѣ*.

а. Изнашиваніе частей закрытаго шарнирнаго соединенія. Пусть имѣемъ неподвижный шарнирный болтъ A (фиг. 49), вокругъ котораго на нѣкоторый уголъ 2δ повертывается замкнутое ушко B , все время воспринимающее отъ тяги C давленіе P сверху внизъ. Наибольшее напряженіе изнашиванія (см. ф-лу 68) будетъ возбуждаться у стыковъ поочередно на всѣхъ образующихъ, лежащихъ въ углахъ aob . Такимъ образомъ ясно, что и болтъ, и ушко будутъ здѣсь испытывать *одностороннее изнашиваніе*. Если направленіе дѣйствія силы P является во время работы механизма, тогда при поворотѣ тяги C на тотъ же уголъ 2δ наибольшее давленіе изнашиванія могутъ воспринимать на себя и

образующія, лежащія внутри угла *cod*, и получится *двустороннее изнашивание*; по истеченіи нѣкотораго времени и болтъ, и отверстие въ ушкѣ сдѣлаются овальными, причемъ большія оси этихъ оваловъ будутъ взаимно \perp . Если такое соединеніе принадлежитъ точному механизму, болтъ *A* выполняется закаленнымъ стальнымъ, и его заставляютъ работать на стальной закаленной втулкѣ *D* (фиг. 49, внизу), наглухо поставленной внутри ушка *B* и окончателно расшлифованной послѣ постановки на мѣсто.

Двустороннее изнашивание частей шарнирнаго соединенія можно наблюдать въ шарнирномъ болтѣ каждаго ползуна, въ шарнирныхъ болтахъ кулисныхъ механизмовъ и т. п.

Если болтъ *A* неподвиженъ, то лучше всего давать ему опору не по одну сторону ушка *B*, а *по обѣ*; приладка обоихъ опорныхъ концовъ болта къ гнѣздамъ д. б. самая тщательная; ради этого опорные концы болта A_1 — A_2 (фиг. 50) исполняются часто *коническими* съ уклономъ въ одну сторону, чтобы по мѣрѣ смятія этихъ концовъ можно было долевымъ перемѣщеніемъ болта снова достигнуть плотнаго прилеганія неподвижныхъ стыковъ одного къ другому. При односторонней опорѣ у болта *A* (фиг. 49), послѣдній можетъ прогибаться подѣ дѣйствіемъ силы *P*; а тогда каждая изъ образующихъ рабочей части стыка будетъ нагружаться *неравномерно*, вслѣдствіе этого у болта начнетъ сильнѣе снашиваться *корень*, т. е. мѣсто, прилегающее къ опорѣ, и соотвѣтственное мѣсто ушка, соприкасающееся съ корнемъ болта. Если ось тяги *C* вертикальна, смазка д. б. подана въ самыхъ высшихъ точкахъ стыка и д. б. распространена по стыку въ стороны посредствомъ смазывающихъ канавокъ, кончающихся внѣ предѣловъ дуги *ab*.

Иногда конструктору предоставляется на выборъ—заставить ушко *B* (фиг. 49) работать на неподвижномъ болтѣ *A*, или же связать части *A* и *B* въ одно цѣлое и заставить болтъ *A* своими концами, *шипами*, работать въ двухъ неподвижныхъ опорахъ; въ этомъ послѣднемъ случаѣ болтъ *A* обращается въ ось для ушка *B*.

Если длина оси *A* *должна быть* значительной, то всегда выгоднѣе заставить ее работать на своихъ шипахъ, которые могутъ быть выполнены тоньше остальной части оси, и она будетъ работать на своихъ шипахъ съ меньшей затратой работы тренія, чѣмъ во всякомъ другомъ случаѣ.

Въ случаѣ же короткой оси *A* заставляютъ ее работать на своихъ шипахъ только въ такомъ случаѣ, когда по свойствамъ механизма, цѣнится *устойчивость, неизмѣнность движенія* тяги *C* въ одной опредѣленной плоскости; если же, наоборотъ, цѣнится *упругая податливость* движеній тяги *C* внѣ плоскости ея вращенія, тогда заставляютъ ушко *B* работать на неподвижномъ болтѣ *A*. Так. обр., напр. шарнирный болтъ ползуна всегда дѣлается неподвижнымъ, чтобы позволить патуну имѣть небольшія перемѣщенія и внѣ плоскости главнаго его движенія; это бываетъ необходимо, вслѣдствіе существованія небольшихъ долевыхъ перемѣщеній коренного вала, а вмѣстѣ съ нимъ и пальца кривошипа;

особенное значеніе это имѣть въ паровозныхъ машинахъ и въ пароходныхъ; при конструированіи головокъ шатуна необходимо поѣтому всегда помнить о существованіи принципа *Сэллера* относительно трущихся и покоящихся стыковъ. То же самое имѣть мѣсто по отношенію къ болтамъ кулиснаго механизма.

Особенно тяжелыя условія для работы шарнирнаго соединенія бываютъ въ томъ случаѣ, когда втулка шарнира является сразу втулкою соединенныхъ въ одно цѣлое двухъ рычаговъ m и n (фиг. 51), передающихъ работу каждый въ своей плоскости и работающихъ, какъ говорятъ „на перекосъ“, въ особенности если направленіе дѣйствія нагрузки при этомъ все время мѣняется и шарнирный болтъ имѣетъ опору только съ одной стороны. Если плечо r , т. е. разстояніе между рабочими плоскостями рычаговъ m и n , можно выбирать, то слѣдуетъ дѣлать его *наименьшимъ* изъ всѣхъ возможныхъ; то же самое относится и къ плечу p ; наоборотъ длина l трущагося стыка д. б. развита насколько возможно болѣе. Гдѣ только возможно, схема передачи фиг. 51 д. б. замѣняема схемой, представленной на фиг. 52, когда оба рычага неизмѣнно связаны съ осью, работающей своими шипами на двухъ опорахъ.

Также не хорошо и устройство шарнирнаго соединенія по схемѣ фиг. 53, п. ч. здѣсь плечо r выходитъ значительнымъ; если размѣръ l будетъ при этомъ достаточнымъ, трущійся стыкъ слѣдуетъ выполнить по схемѣ фиг. 54 съ двумя смѣнными достаточно длинными втулками a и b .

Нечего и говорить, что пригонка частей во всѣхъ этихъ шарнирныхъ соединеніяхъ д. б. самая аккуратная и развитіе поверхностей трущихся стыковъ весьма значительное.

б. Расчетъ центральнаго нагруженнаго шарнирнаго соединенія (фиг. 49) дѣлается по формулѣ:

$$K = \text{или болѣе } \frac{4}{\pi} \cdot \frac{P}{l \cdot d} \dots \dots \dots 74.$$

Величина K въ кг. на кв. мм. берется такъ:

- | | |
|-----------------------------------|------------------|
| Сталь по стали (закал.) | $K = 1,2 - 1,5$ |
| „ „ бронзѣ. | $K = 0,8 - 1,1.$ |

Если давленіе передается на торецъ шарнира (напр., въ пятѣ крана), допускаемая величина K берется на 10—20% менѣ противъ вышеуказанныхъ.

Нужно замѣтить себѣ разъ на всегда, что расчетъ на изнашивание всегда является *проверочнымъ*, т. е. величины d и l вычисляются заранее, удовлетворяя условія крѣпости, а затѣмъ вычисленные величины вносятся въ ур-іе 74, и оно д. б. удовлетворено по знаку неравенства. Если оно при этомъ не удовлетворяется, то, измѣняя d или l , надо снова удовлетворить и ур-іе крѣпости.

в. Расчетъ шарнирнаго соединенія, нагруженнаго эксцентрично (фиг. 55), или работающаго на перекосъ (фиг. 51 и 53) съ моментомъ

$M = P \cdot r$, дѣлается, присоединяя къ напряженію $H_1 = P : l \cdot d$, равно-
мѣрному по всему стыку, еще напряженіе H_2 , являющееся отъ суще-
ствования момента перекашивания. Примѣняя здѣсь тотъ же принципъ
расчета, что и при выводѣ ф-лы 62, найдемъ:

$$M = H_2 \cdot \frac{d \cdot l^2}{3}$$

NB. Въ видѣ упражненія слѣдуетъ вывести эту ф-лу.

Затѣмъ допускаемое напряженіе изнашивания въ этомъ случаѣ
будетъ:

$$K_1 = \frac{4}{\pi} (H_1 + H_2) = \frac{4}{\pi} \cdot \frac{P}{l \cdot d} \left[1 + \frac{3 \cdot r}{l} \right]. \dots 75.$$

Сравненіе этой ф-лы съ 74 показываетъ, какое вліяніе на вели-
чину K_1 имѣютъ величина эксцентриситета r и длина втулки l .

Величина K_1 берется отъ $\frac{1}{3}$ до $\frac{1}{10}$ отъ K , смотря по числу разма-
ховъ тяги въ минуту.

г. Изнашивание частей открытаго шарнирнаго соединенія. Такой
случай встрѣчаемъ при употребленіи *цилиндрическихъ золотниковъ,*
крановъ, заслонокъ и пр., перемѣщающихся около нѣкоторой оси и на-
гружаемыхъ давленіемъ пара, воды и др. Пусть имѣемъ такой золот-
никъ въ видѣ тѣла A , работающаго по цилиндрическому зеркалу B
(фиг. 56). Если дуга $mn = pq$ будетъ соответствовать размаху золот-
ника, то внѣшнія его ребра въ крайнихъ положеніяхъ m и q должны
непремѣнно сходить съ рабочей поверхности зеркала на величину, ука-
занную при подобныхъ же обстоятельствахъ для поступательной пары.
Въ золотникахъ, у которыхъ величина размаха непостоянна, одинаковаго
срабатыванья всей рабочей поверхности ожидать нельзя, и правильная
круглота ея быстро утрачивается. Этотъ процессъ неправильнаго сраба-
тыванія стыка м. б. ускоренъ еще нераціональнымъ способомъ приве-
денія въ движеніе золотника. Ведущее его давленіе P д. б. приложено
на радіусъ f , возможно менѣе отличающемся отъ r , внѣшняго радіуса
золотника. Въ большинствѣ существующихъ конструкцій паро-распре-
дѣлительныхъ крановъ это важное условіе рѣдко бываетъ выполнено
удовлетворительно, и такіе краны вскорѣ же послѣ ихъ установки на-
чинаютъ работать неправильно и неплотно.

д. Изнашивание частей пары съ непрерывнымъ вращеніемъ. Бу-
демъ-ли слѣдить за изнашиваніемъ цилиндрической или торцевой части
этой пары, требуется выполненіе всегда одного и того же условія,
трущійся стыкъ д. работать ровно всей своей поверхностью; но т. е.
всегда возможна развѣрка въ относительномъ положеніи частей, поэтому
для достиженія этого д. б. дано широкое развитіе примѣненію прин-
ципа *Сэллеса* при устройствѣ опоръ для всѣхъ вращательныхъ паръ,
какъ по отношенію къ цилиндрическому стыку, такъ и торцевому.
Принципъ *Сэллеса* сдѣлался извѣстнымъ въ Европѣ болѣе 20 лѣтъ

тому назадъ, но и до сихъ поръ какъ строители опоръ для приводныхъ валовъ, такъ и потребители приводовъ еще слишкомъ мало съ нимъ освоились и недостаточно ихъ оцѣнили; благодаря этому многія большія фабрики, потребительницы нераціонально построенныхъ опоръ для приводныхъ валовъ, изо дня въ день понапрасну тратятъ на ихъ вращеніе десятки лошадиныхъ силъ въ каждомъ отдѣльномъ случаѣ.

Смѣнною частію во вращательной парѣ *одѣвается* обыкновенно опора для вала, получающая смѣнный *бронзовый* или *чугунный* вкладышъ. Но если на валу устраивается вращательная пара гдѣ-либо между его опорами,— такъ сказать, *на гладкомъ мѣстѣ*, не на утолщеніи (это бываетъ, напр., при постановкѣ холостого шкива), — тогда смѣнною частію (*стаканомъ*) одѣвается и валъ, и вращающаяся на немъ втулка.

Распределеніе давленій на трущемся цилиндрическомъ стыкѣ получается всегда неравномѣрное (см. выводъ ф-лы 68), а поэтому и вкладышъ изнашивается также неравномѣрно, выбивается по направленію дѣйствія составного давленія на опору, хотя шейка вала при ея срабатываніи остается круглою. Но если какая-либо часть вала является осью для вращенія на ней другихъ частей (холостого шкива и пр.), то эта часть вала можетъ изнашиваться неправильно и односторонне, а потому ее полезно одѣвать всегда смѣннымъ стаканомъ.

Какъ на примѣръ всегда *односторонняго* и *неправильнаго* снашивания выпуклаго цилиндрическаго элемента вращательной пары, можно указать на снашивание пальца кривошипа. На фиг. 47 часть поверхности пальца, воспринимающая на себя *max* напряженія изнашивания выполнена толстой линіей.

Если вращательная пара испытываетъ на себѣ воздѣйствіе нѣсколькихъ главныхъ нагрузокъ, дѣйствующихъ періодически, какъ это бываетъ, напр., въ случаѣ шейки коренного вала, то одѣвающие ее вкладыши полезно сдѣлать изъ нѣсколькихъ частей: нижній вкладышъ воспринимаетъ на себя дѣйствіе вѣса маховика, одинъ изъ боковыхъ— давленіе отъ передаточныхъ частей (приводныхъ ремней, канатовъ и пр.), + давленіе пара въ цилиндрѣ, а другой боковой—одно лишь давленіе пара въ цилиндрѣ; снашивание 1-го бокового вкладыша будетъ сильнѣе, чѣмъ 2-го, и по истеченіи нѣкотораго времени работы ихъ возможно и полезно переимѣнить мѣстами.

Когда длина какой нибудь части машины д. б. строго опредѣленной и на концахъ этой части при вкладышахъ вращательной пары имѣются установочныя приспособленія для вкладышей (напр., клинья), то расположеніе ихъ д. б. такое, какъ показано на фиг. 57, т. е. они д. б. или *оба справа*, или *оба слѣва* отъ охватываемыхъ вкладышами шеекъ.

Подведеніе смазки во вращательной парѣ д. б. всегда на самомъ верхнемъ пунктѣ трущагося стыка, если только въ этомъ мѣстѣ не возбуждается *max* напряженія изнашивания. При непрерывной работѣ съ большой скоростью предпочитается всегда непрерывная же *автоматическая*

тически-дѣйствующая во время работы смазка. Въ очень тяжело нагруженныхъ вращательныхъ парахъ приносятъ большую пользу *смазывающія дорожки*, продѣланныя по образующей цилиндра на выпукломъ элементѣ пары (фиг. 58); посредствомъ такихъ дорожекъ легко промазываются и такіе элементы стыка, которые работаютъ съ максимальнымъ напряженіемъ, выжимающимъ смазку со стыка.

Допускаемыя величины напряженія изнашивания на цилиндрической поверхности вращательной пары съ непрерывнымъ вращеніемъ берутся слѣдующими:

$$K = \frac{4}{\pi} \cdot P : d \cdot l \dots \dots \dots 76.$$

Величины *K*

Закал. сталь на закал. стали (хор. уходъ и смазка)	1,5—1,7	} на кв. дм.
" " " бронзѣ	1,0—0,8	
Незакал. " " "	0,8—0,6	
Желѣзо на бронзѣ	0,5—0,35	
" и чугуно на бронзѣ (обыкн. уходъ)	0,35—0,30	
" на чугуно и на деревѣ (хор. уходъ и непрерывная смазка)	0,30—0,25	
" на чугуно при обыкн. услов. работы	0,12—0,06	

Допускаемыя напряженія на *торизъ* вращательной пары съ непрерывнымъ вращеніемъ берутся на 20 — 30% ниже предыдущихъ величинъ.

При вычисленіи рабочей поверхности вращательной пары площадь, занимаемая смазывающими канавками, должна быть вычтена изъ общей площади опоры.

Величины срабатыванія элементовъ вращательной пары по радіальному направленію, при всѣхъ прочихъ одинаковыхъ условіяхъ, прямо пропорціональна работѣ тренія, т. е.

$$K \cdot d \cdot l \cdot f \cdot \frac{\pi \cdot d \cdot n}{60}.$$

Отсюда видно, что, если у вала нѣсколько опоръ, всѣ онѣ разнаго діаметра и разной длины, пониженіе вала параллельно самому себѣ, т. е. съ сокращеніемъ горизонтальности оси вала, будетъ имѣть мѣсто тогда только, когда

$$K \cdot d^2 \cdot l = const \dots \dots \dots 76.$$

Это ур-іе налагаетъ на распредѣленіе нагрузки по опорамъ извѣстныя условія, и только при соблюденіи ихъ изнашивание опоръ будетъ итти одинаково.

47. **Задачи къ главѣ о сжатіи тѣлъ. № 19.** Напряженіе на опорной поверхности бронзоваго клапана допускается въ 1000 lbs на кв. дм.; опредѣлить величину давленія въ атм., подъ которымъ можетъ работать клапанъ *A*, изображенный на фиг. 60 въ разрѣзѣ (по одну сторону центральной линіи).

Давленіе въ 1000 *lbs* на кв. дм. соотвѣтствуетъ 0,7031 *к.* на кв. *мм.* Площадь кольцевой опорной поверхности у сѣдла *B* вычислится такъ:

$$\pi \cdot (d + b) \cdot b = \pi \cdot 128 \cdot 8 = 3216 \text{ кв. мм.}$$

Вся величина нагрузки, которую можетъ воспринять клапанъ, будетъ:

$$3216 \cdot 0,7031 = 2135 \text{ к.}$$

Съ другой стороны, обозначая искомое давленіе въ атм. чрезъ *x* и выражая площадь верхней тарелки клапана въ кв. смт., мы должны будемъ написать ур-іе:

$$2135 = \frac{\pi}{4} \cdot (d + 2b)^2 \cdot x = \frac{\pi}{4} \cdot (13,6)^2 \cdot x,$$

откуда $x =$ или менѣе 14,7 *atm.*

№ 20. Желѣзный стержень *B* (фиг. 61) діам. 50 *мм.* фиксируется въ желѣзной втулкѣ *C* посредствомъ стальной закладки *ab* и желѣзнаго нажимнаго винта *A* въ $\frac{3}{4}$ дм. діам. Вдоль оси винта *A* передается сжимающая его нагрузка въ 500 *к.* Определить напряженія смятія въ этомъ соединеніи и выяснить, какую нагрузку *P* можетъ выдержать стержень *B*.

У болта діам. въ $\frac{3}{4}$ дм. внутренней діаметръ рѣзбы равенъ 15,74 *мм.* Соотвѣтственная этому площадь, воспринимающая нагрузку въ 500 *к.*, у болта будетъ:

$$\frac{\pi}{4} (15,74)^2 = \text{ок. } 195 \text{ кв. мм.}$$

Поэтому напряженіе на лѣвомъ крайнемъ торцѣ болта, или на стыкѣ болта съ закладкой *ab*, будетъ:

$$500 : 195 = 2,56 \text{ к. на кв. мм.}$$

Предполагая, что закладка *ab* имѣетъ 20 $\frac{m}{m}$ ширину и 40 $\frac{m}{m}$ длину, напряженіе на стыкѣ ея со стержнемъ *B* будетъ

$$500 : 20 \cdot 40 = 0,625 \text{ к. на кв. мм.}$$

Если вся длина втулки *C* будетъ 120 $\frac{m}{m}$ и діаметръ стержня *B*—50 $\frac{m}{m}$, тогда наибольшее напряженіе на стыкѣ *ef* между стержнемъ *B* и втулкой *C* будетъ

$$\frac{4}{\pi} \cdot 500 : 50 \cdot 120 = 0,106 \text{ к. на кв. мм.}$$

При зажимѣ винта *A* треніе возбудится на двухъ поверхностяхъ—*ab* и *ef*; принимая коэф. тренія на нихъ = 0,44, получимъ ур-іе:

$$P = 2 \cdot 500 \cdot 0,44 = 440 \text{ к.}$$

№ 21. Цѣпь *Галля*, изображенная на фиг. 4, предназначена для нагрузки въ 1000 *к.* Определить наибольшее напряженіе смятія на стыкѣ между ея звеньями и валиками.

Звеньевъ 4, ширина ихъ $2 \frac{m}{m}$, діам. валика $10 \frac{m}{m}$, поэтому

$$\frac{4}{\pi} \cdot 1000 : 4 \cdot 2 \cdot 10 = D, \text{ откуда}$$

$$D = 16 \text{ к. на кв. мм.}$$

Эта величина чрезмѣрно велика, и потому при работѣ цѣпи на полную нагрузку неизбѣжно будетъ быстрое смятіе ея ушковъ и валиковъ.

№ 22. Чугунная подколонная плита $400 \times 400 \frac{m}{m}$ будетъ положена на кладку изъ романскаго цемента. Какую максимальную нагрузку можно допустить для колонны, опирающейся на эту плиту?

Принимая $D = 0,1 \text{ к. на кв. мм.}$, безопасную нагрузку получимъ равной:

$$P = 400 \times 400 \times 0,1 = 16000 \text{ к.} = 16 \text{ tn.}$$

Въ случаѣ передачи давленія на стулья, сложенные изъ песчаника или известняка, а также при передачѣ давленія на деревянные балки поперекъ волоконъ, допускаемое напряженіе можно было бы повысить въ 2,5 раза и довести нагрузку до 40 tn.

№ 23. Желѣзная потолочная балка двугавроваго сѣченія (фиг. 62) должна передать на стѣну давленіе въ 3600 к. Подъ нее будетъ подложена чугунная подбалочная плита C съ прямоугольнымъ очертаніемъ въ планѣ. Определить необходимые размѣры этой плиты, зная, что одинъ изъ этихъ размѣровъ b не можетъ быть менѣе $180 \frac{m}{m}$ и что плита будетъ положена на кирпичную кладку, сложенную на извести.

Примемъ $b = 200 \frac{m}{m}$ и $D = 0,06$, тогда

$$a = \frac{P}{b \cdot D} = \frac{3600}{200 \cdot 0,06} = 300 \frac{m}{m}.$$

№ 24. Діам. штока пароваго молота $100 \frac{m}{m}$, длина штока 2 mt , вѣсъ его 125 к. , вѣсъ поршня 250 к. Высота паденія поршня вмѣстѣ съ бабой — $1,5 \text{ mt}$. Определить наибольшее напряженіе въ нижнемъ сѣченіи штока въ концѣ удара.

Напряженіе въ сѣченіи штока отъ собственнаго вѣса при спокойной передачѣ нагрузки будетъ (см. ф-лу 37):

$$h_0 = \frac{q \cdot l}{F} = \frac{125}{8000} = \frac{1}{64} \text{ к. на кв. мм.}$$

Отъ вѣса поршня въ томъ же сѣченіи получилось бы напряженіе

$$H = \frac{P}{F} = \frac{250}{8000} = \frac{1}{32} \text{ к. на кв. мм.}$$

Укороченія штока отъ той и другой нагрузки соответственно получились бы равными (см. ф-лу 36):

$$\kappa = \frac{l}{2E} \cdot h_0 = \frac{2000}{2 \cdot 20000} \cdot \frac{1}{64} = \frac{1}{1280} \frac{m}{m}$$

$$l = \frac{l}{E} \cdot H = \frac{2000}{20000} \cdot \frac{1}{32} = \frac{1}{320} \frac{m}{m}.$$

При паденіи поршня и штока съ высоты $f = 1500$ $^m/m$ укороченіе штока будетъ опредѣляться ф-лами **40** и **41**. Предварительно найдемъ величины m , n и X . По ф-лѣ 3 (§ 25, а):

$$m = -\frac{3}{2} \cdot k \left(f + \frac{9}{8} \cdot k \right) = -1,7.$$

По ф-лѣ i (§ 25, б):

$$n = -\frac{k}{4} \left[f^2 + \frac{9}{2} \cdot f \cdot k + \frac{27}{8} \cdot k^2 \right] = -440.$$

По ф-лѣ **33**... $X = 7,6$ $^m/m$.

Въ ф-лы **40** и **41** входитъ выраженіе:

$$\sqrt{1 + \frac{2f}{n}} = \sqrt{1 + 2 \cdot 1500 \cdot 320} = \text{около } 981.$$

Послѣ этого полное укороченіе штока (ф-ла **40**):

$$\Theta_2 = 7,6 + \frac{3}{4} \cdot \frac{1}{1280} + \frac{1}{320} \cdot 981 = 10,67$$
 $^m/m$.

Соотвѣтствующая этому полная величина напряженія въ сѣченіи штока будетъ (ф-ла **41**):

$$H_2 + h_2 = \frac{1}{32} \cdot 981 + \frac{1}{64} \sqrt{7,6 \cdot 1280 + 0,75} =$$

$$= 30,65 + 1,55 = 32,2$$
 кг. на кв. $^m/m$.

Эти данныя указываютъ, что послѣ паденія съ такой большой высоты въ концѣ удара штокъ поршня находился бы въ весьма напряженномъ и опасномъ положеніи, 'если бы не принималось никакихъ мѣръ для смягченія этого ударнаго дѣйствія.

Этотъ расчетъ указываетъ въ то же время, насколько необходимо принятіе такихъ мѣръ, и насколько большую роль играетъ собственный вѣсъ поршня у молота въ полученіи этихъ неблагоприятныхъ для крѣпости штока результатовъ.

№ 25. Провѣрить крѣпость главныхъ трущихся стыковъ шатуннаго механизма въ паровыхъ машинахъ, размѣры частей которыхъ даны у Хедэра (*Haeder, Dampfmaschinen*).

Возьмемъ для примѣра 6 номеровъ машинъ съ діам. отъ 250 до 500 $^m/m$ и занумеруемъ ихъ такъ:

№ маш.	. . .	1	2	3	4	5	6
Діам. цил.	. .	250	300	350	400	450	500 $^m/m$.

Въ сочиненіи Хедэра указано, что данныя машины могутъ работать при упругости пара *max 7 atm* по манометру; сообразно съ этимъ даны и размѣры частей машинъ.

Принимая въ машинѣ, работающей съ охлажденіемъ пара, возможную разность давленій на обѣ стороны поршня $= 8 - 0,25 at.$, получимъ наибольшее давленіе на поршень равнымъ:

№ машины..... 1 2 3 4 5 6

Давл. на порш.... 3805; 5478; 7456; 9739; 12325; 15221 *кг.*

Предполагая, что отношеніе длины шатуна къ радіусу кривошипа $m = 5$ по ф-ламъ § 45, *b* найдемъ наибольшее давленіе на ползунъ *N* и на шатунъ *Q* (ф-лы ж и з). При этомъ допустимъ, что въ передачѣ работы отъ поршня къ ползуну до 10% ея будетъ затрачено на преодоленіе тренія въ поршнѣ и сальникѣ. Тогда для № 1, напр., получимъ:

$$\max N = 0,204 \cdot 0,9 \cdot 3805 = 698 \text{ кг.}$$

По *Хедэру* размѣры башмаковъ ползуна для этой машины таковы: $a = 220$; $b = 110$, поэтому напряженіе на трущемся стыкѣ ползуна и параллели будетъ:

$$K = 698 : (220 \cdot 110) = \frac{1}{34,7} \text{ кг. на кв. мм.}$$

Подобнымъ же образомъ сдѣлаемъ провѣрку и для всѣхъ другихъ №-овъ машины. Сводя данныя и вычисленныя величины въ табличную форму, получимъ для башмаковъ ползуна слѣдующее:

№ маш.	1	2	3	4	5	6
<i>max N</i>	698	1005	1369	1788	2262	2794
<i>a</i> въ мм.	220	260	300	340	380	410
<i>b</i> "	110	125	155	180	200	220
1 : <i>K</i>	34,7	32,3	34	34,2	33,6	32,6

Сравнивая полученныя величины съ тѣми, которыя даны въ § 45, *a*, получимъ указаніе, при какихъ скоростяхъ эти стыки могутъ быть долговѣчны въ работѣ, и какой матеріалъ пригоднѣе будетъ для облицовки ползуна и параллелей.

Подобнымъ же образомъ дѣлаемъ провѣрку на изнашивание ползуннаго болта. *Max* давленія на шатунъ для маш. № 1, напр., вычислится такъ (ф-ла ж въ § 45, *b*):

$$\max Q = 1,02 \cdot 0,9 \cdot 3805 = 3492 \text{ кг.}$$

Размѣры болта $d = 50$, $l = 70$, поэтому

$$K = \frac{4}{\pi} \cdot 3492 : (50 \cdot 70) = 1,26 \text{ кг. на кв. мм.}$$

Составляя табличку для ползунныхъ болтовъ всѣхъ №-овъ маш. получимъ слѣдующее:

№ маш.	1	2	3	4	5	6
<i>max Q</i>	3492	5027	6844	8940	11315	13972
<i>d</i> въ мм.	50	55	65	75	85	90
<i>l</i> "	70	80	90	100	110	120
<i>K</i>	1,26	1,43	1,45	1,52	1,44	1,64

Сравненіе полученныхъ величинъ K съ данными § 46,б показы-
ваетъ, что данные у Хедэра размѣры ползунныхъ болтовъ годились
бы только въ случаѣ работы стального закаленного болта на стальномъ
же вкладышѣ, но такъ какъ въ постоянныхъ паровыхъ машинахъ вкла-
дышъ въ ползунной головкѣ шатуна дѣлается обыкновенно изъ бронзы,
поэтому размѣры болта, приведенные въ справочной книжкѣ, оказы-
ваются не всегда достаточными при работѣ машины съ наибольшимъ
назначеннымъ для нея давленіемъ пара, и размѣры трущагося стыка
здѣсь слѣдовало бы увеличить. Видно далѣе, что въ маш. №№ 4 и 6
болты ползуна находятся въ особенно неблагоприятныхъ условіяхъ.

Подобнымъ же образомъ найдемъ напряженіе изнашиванія и *въ
пальцахъ кривошипа* для всѣхъ шести №-овъ машинъ:

№ маш.	1	2	3	4	5	6
$max Q$	3492	5027	6844	8940	11315	13972
d_1	65	70	80	95	105	120
l_1	80	90	105	115	130	145
K	0,85	1,02	1,03	1,07	1,07	1,02

Сравнивая полученные величины K съ данными въ § 46,д, ви-
димъ, что въ общемъ они немного выше тѣхъ, которыя даются для ра-
боты закаленной стали по бронзѣ, но такъ какъ на сохраненіе закала
у пальца кривошипа, подверженнаго частому нагрѣванію въ работѣ,
разсчитывать нельзя, поэтому нужно признать, что и размѣры пальцевъ
кривошипа, при работѣ машинъ съ наибольшимъ указаннымъ для нихъ
давленіемъ пара, то же недостаточны, и размѣры поверхности труща-
гося стыка слѣдовало бы увеличить на величину отъ 25 до 30⁰/о.

Этотъ примѣръ убѣждаетъ насъ, какъ осторожно нужно относиться
вообще къ даннымъ, касающимся различныхъ относительныхъ размѣровъ
частей, приводимыхъ въ какихъ-либо справочныхъ книжкахъ, календа-
ряхъ, атласахъ и проч., въ особенности когда не указаны условія ра-
боты той детали, которая изображена на чертежѣ.

Для руководства въ этомъ отношеніи разъ навсегда нужно запо-
нить слѣдующее:

1. Ни одинъ изъ прочныхъ размѣровъ частей машинъ не долженъ
быть переносимъ съ устройства существующаго на устройство вновь
проектируемое къ исполненію, не оправдавши такого переноса размѣ-
ровъ повѣркой изъ крѣпости по заданной нагрузкѣ и даннымъ усло-
віямъ работы, т. е. вычисленіемъ max напряженія въ опасномъ сѣче-
ніи и сравненіемъ вычисленной величины съ допускаемой.

2. Переносъ размѣровъ съ устройства существующаго на проек-
тируемое безъ повѣрки размѣровъ разсчетомъ не д. б. допускаемъ
даже и въ случаѣ одинаковой нагрузки въ обоихъ случаяхъ, п. ч. даже
и при одинаковомъ нагруженіи самыхъ условія работы деталей м. б.
различны, м. б. другая скорость, другое число оборотовъ, другія ве-
личины и другой характеръ ударныхъ воздѣйствій, другія условія сборки,
ухода, смазки, другія условія связи съ остальными частями и проч.

Вопросы для повторения главы о сжатии тѣлъ.

Что такое усадка? Что называется коэф. упругости при сжатии? Гдѣ находится опасное сѣченіе сжатого тѣла? Какъ пишется уравненіе крѣпости центрально нагруженнаго тѣла? У какихъ матеріаловъ наблюдается особенно рѣзкая разница въ величинѣ разрушающаго напряжения при растяженіи и сжатии? Что вліяетъ на полученіе той или другой величины D_0 при опытѣ? Въ чемъ заключается явленіе текучести, и какъ имъ пользуются въ практикѣ? Отъ чего зависитъ существованіе равномернаго или неравномернаго распредѣленія напряженій смятія на стыкѣ двухъ тѣлъ? Какое распредѣленіе желательнѣе и почему? Можетъ-ли быть равномерное распредѣленіе давленіе при криволинейномъ стыкѣ? Какимъ правиломъ пользуются, чтобы написать *тот* сопротивленія при неравномерномъ распредѣленіи напряженій, не пользуясь интегрированіемъ? Если нагрузка передается не центрально, то, при прямоугольномъ и эллиптическомъ сѣченіи, параллельно которой изъ осей сѣченія выгоднѣе распредѣлить нагрузку? Подъ какимъ условіемъ въ этомъ случаѣ опредѣляется *max* эксцентриситета? Что произойдетъ, если эксцентриситетъ будетъ равенъ, больше или меньше допускаемаго *max* его? Какъ происходитъ сжатіе катковъ, какъ обр. распредѣляется напряженіе на стыкѣ ихъ?

Что наз. напряженіемъ изнашивания? Можетъ-ли оно быть равно напряженію сжатія? Отчего всегда желательнѣе равномерное распредѣленіе напряженій на трущемся стыкѣ? Какую роль играютъ *смятныя части*? Изъ какого матеріала онѣ дѣлаются? Когда желательнѣе на трущемся стыкѣ имѣть двѣ смятныя части? Отъ какихъ причинъ зависитъ изнашиваніе трущагося стыка?

Въ чемъ заключается принципъ *Соллерса* передачи давленія съ покоящагося стыка на трущійся? Указать въ обыденной жизни примѣры обширнаго примѣненія этого принципа.

Условія правильнаго изнашивания стыковъ поступательной пары; зависимость изнашивания отъ способа приведенія въ движеніе элементовъ пары; примѣры рациональнаго и нераціональнаго устройства. Золотниковый стержень направляется однимъ только сальникомъ; отчего край зеркала, который — дальше отъ эксцентрика, выбивается болѣе другого, ближняго?

Начертить кривую, показывающую законъ измѣненія давленій на шатунъ и на параллель при движеніи поршня, работающаго подъ постояннымъ давленіемъ и подъ переменнымъ давленіемъ, законъ измѣненія котораго данъ.

Какъ примѣнить принципъ *Соллерса* къ устройству ползуна, и какъ можно испортить конструкцію его въ этомъ смыслѣ?

Какъ изнашивается болтъ ползуна и палецъ кривошипа; можно ли устранить стукъ сработаннаго-пальца подтягиваніемъ его вкладышей? Какъ не слѣдуетъ передавать давленіе на шарниръ; описать характеръ изнашивания частей при неправильной работѣ шарнира. На какое мѣсто трущагося стыка нельзя давать смазки; какъ сдѣлать, чтобы смазка попадала также и на элементы поверхности, наиболѣе напряженныя?

Чѣмъ опредѣляется *max* возможнаго, допускаемаго давленія на трущемся стыкѣ; какъ составляется расчетное ур-іе въ различныхъ случаяхъ.

С В О Д Ъ

главныхъ формулъ и данныхъ изъ главы о сжатіи.

а) Напряженія въ поперечномъ стѣнѣ одинаковы.

$$\left. \begin{array}{l} \text{Допускаемое напря-} \\ \text{женіе въ кв. на кв.} \\ \text{мм.} \end{array} \right\} = \frac{\text{Безопасная нагрузка въ кв.}}{\text{Площадь въ кв. мм.}} \left. \begin{array}{l} \\ \\ D = \text{или болѣе } \frac{P}{F} \end{array} \right\} \dots \dots \dots \text{ § 34. } \text{61}$$

$$\left. \begin{array}{l} \text{Степень надежности} \\ \text{постройки} \end{array} \right\} = \frac{\text{Разрушающее}}{\text{Допускаемое}} \left. \begin{array}{l} \text{напряженіе въ} \\ \text{кв. на кв. мм.} \end{array} \right\} \dots \dots \text{ введеііе. } \text{61}$$

$$\phi = \frac{D_0}{D} \dots \dots \dots$$

Величины D и D_0 — въ § 35.

Характерныя среднія цифры D_0 :

Дерево	Жельзо	Чугунъ
6.	40.	70.

б) Напряженія на стыкъ двухъ тѣлъ равномерно возрастаютъ.

$$\left. \begin{array}{l} \text{Max напряженія} \\ \text{на стыкъ} \\ \text{Напряженіе даннаго} \\ \text{элемента стыка} \end{array} \right\} = \frac{\text{Разстояніе крайняго}}{\text{Разстояніе даннаго}} \left. \begin{array}{l} \text{элемента} \\ \text{отъ оси} \\ \text{вращенія} \end{array} \right\} \dots \dots \text{ § 38. } \text{38}$$

$$\frac{D}{H} = \frac{t}{x} \dots \dots \dots$$

$$\left. \begin{array}{l} \text{Моментъ} \\ \text{сопротивленія} \\ \text{стыка.} \end{array} \right\} = \text{Сила сопротив-} \times \left. \begin{array}{l} \text{Разстояніе центра} \\ \text{давленія отъ оси} \\ \text{вращенія.} \end{array} \right\} \dots \dots \text{ § 38. } \text{62 a}$$

$$M_1 = \frac{D \cdot l \cdot t}{2} \cdot \frac{2}{3} t \dots \dots \dots \text{ § 38.}$$

в) Напряженія на стыкъ между цилиндромъ внутреннимъ и вынуклымъ.

$$\left. \begin{array}{l} \text{Среднее напряженіе} \\ \text{на проекці опорной} \\ \text{поверхности.} \end{array} \right\} = \frac{\text{Нагрузка}}{\text{Длина цил.} \times \text{Діам. цил.}} \quad \left. \begin{array}{l} \\ \\ \\ \end{array} \right\} \dots \S 40.$$

$$q = \frac{P}{l \cdot 2r} \dots \dots \dots$$

$$\left. \begin{array}{l} \text{Max. напряженія} \\ \text{на стыкѣ} \end{array} \right\} = \frac{4}{\pi} \times \left\{ \begin{array}{l} \text{Среднее напряженіе} \\ \text{на проекці опорной} \\ \text{поверхности.} \end{array} \right\} \quad \left. \begin{array}{l} \\ \\ \\ \end{array} \right\} \dots \S 40.$$

$$H = \frac{4}{\pi} \cdot q = 1,274 \cdot q \dots \dots \dots$$

и) Напряженія на стыкъ перемѣщающихся тѣлъ.

$$\left. \begin{array}{l} \text{Напряженіе} \\ \text{изнашиванія} \\ \text{въ } m. \text{ на кв.} \\ \text{мм.} \end{array} \right\} = \frac{\text{Нагрузка въ } m.}{\text{Проекція опорной поверхности, вос-} \\ \text{принимающей давленіе, въ кв. мм.}} \quad \left. \begin{array}{l} \\ \\ \\ \end{array} \right\} \dots \S 43.$$

$$K = \frac{P}{F} \dots \dots \dots$$

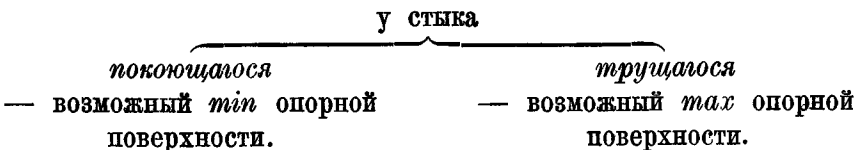
K много меньше *D*.

Чѣмъ меньше *K*,
 Чѣмъ обильнѣе и регулярнѣе смазка,
 Чѣмъ скорѣе происходитъ удаленіе теплоты со стыка,
 Чѣмъ тщательнѣе установка и приладка стыковъ,
 Чѣмъ внимательнѣе уходъ } тѣмъ лучше, тѣмъ меньше срабатывается стыкъ.

Стыкъ долженъ работать всей расчетной поверхностью.

Равномѣрность распредѣленія напряженій на стыкѣ—лучшее условіе для правильности его снашиванія.

При передачѣ давленія съ покоящагося стыка на трущійся, или наоборотъ



Смазка не должна вступать на стыкъ тамъ, гдѣ напряженіе *max*.

Сопротивленіе тѣлу сдвигу или срѣзыванію.

48. Величины напряженій на граняхъ равнобѣрно перекошеннаго параллелепипеда. Пусть имѣеть параллелепипедъ (сокращенно *n—дъ*) *AF* (фиг. 63), всѣ отвѣсныя матеріальныя линіи котораго, ||-я направленію *СК* пусть находятся въ состояніи одинаковаго растяженія. Для этого нужно вообразить себѣ, что данный п—дъ вырѣзанъ изъ прямоугольной призмы, растягиваемой также по извѣстному направленію. Если *H* — будетъ напряженіе во всѣхъ поперечныхъ сѣченіяхъ этой призмы, тогда, очевидно, то же самое нормальное напряженіе *H* будетъ существовать и во всѣхъ горизонтальныхъ сѣченіяхъ разсматриваемаго п—да.

Не трудно видѣть, что такой п—дъ находится въ равновѣсіи подъ дѣйствіемъ передающейся на него внѣшней нагрузки; она можетъ его лишь деформировать, не приводя въ движеніе.

Назовемъ слагающую внѣшней нагрузки, которая передается на грани *AE* и *BF* чрезъ *P*. Тогда, обозначивши ребра п—да чрезъ *a*, *b* и *c*, получимъ:

$$P = c \cdot a \cdot \sin \beta \cdot H \dots \dots \dots \text{а.}$$

Сосредоточивши обѣ эти слагающія въ точкахъ *O* и *O₂*, центрахъ тяжести граней *AE* и *BF*, получимъ пару силъ съ плечомъ, величина котораго буд. = проекціи *OO₂* или ребра *CD* на горизонталь, т. е. *b \cdot \cos \beta*, и моментъ этой пары будетъ:

$$\text{мом } P = a \cdot b \cdot c \cdot \sin \beta \cdot \cos \beta \cdot H \dots \dots \dots \text{б.}$$

Такимъ же образомъ, называя слагающую внѣшней нагрузки, которая передается на грани *DF* и *AI* чрезъ *P₁*, получимъ:

$$P_1 = c \cdot b \cdot \cos \beta \cdot H \dots \dots \dots \text{в.}$$

Сосредоточивши обѣ эти слагающія въ точкахъ *O₁* и *O₃*, получимъ пару силъ съ плечомъ, величина котораго будетъ = проекціи *O₁ O₃* или ребра *AD* на горизонталь, т. е. *a \cdot \sin \beta*, и моментъ этой пары будетъ:

$$\text{мом } P_1 = a \cdot b \cdot c \cdot \sin \beta \cdot \cos \beta \cdot H \dots \dots \dots \text{г.}$$

Сравнивая выраженія б и г, видимъ, что моменты внѣшней отвѣсной нагрузки, распределенной по гранямъ п—да равнобѣрно, совершенно одинаковы, поэтому такая нагрузка привести тѣло въ движеніе будетъ не въ состояніи, она будетъ деформировать п—дъ.

Замѣтимъ при этомъ, что длина реберъ a, b, c выбрана произвольно, и что равновѣсіе подобнаго п-да существуетъ при всякой длинѣ его реберъ.

Разложимъ погрузку P на двѣ — N , *нормальную* къ грани AE , и Q — *тангенціальную*. Дѣйствіе нормальныхъ нагрузокъ на грани AE и BF взаимно уравновѣшивается, а дѣйствіе тангенціальныхъ нагрузокъ Q приводится къ парѣ силъ съ плечомъ b . Каждая изъ этихъ нагрузокъ Q равномерно распределѣна по поверхности граней AE и BF съ тангенціальнымъ напряженіемъ t , поэтому:

$$Q = a. c. t д.$$

Съ другой стороны

$$Q = P. \cos \beta = c. a. \sin \beta. \cos \beta. H е.$$

Отсюда

$$t = H. \sin \beta. \cos \beta ж.$$

Такъ же обр. и нагрузку P_1 разложимъ на нормальную N_1 и тангенціальную Q_1 . Нормальные нагрузки N_1 , дѣйствующія на грани CE и AI , взаимно уравновѣшиваются, а тангенціальныя Q_1 приводятся къ парѣ съ плечомъ a . Каждая изъ этихъ нагрузокъ Q_1 равномерно распределѣна по поверхности граней CE и AI ; если t_1 будетъ тангенціальное напряженіе на нихъ то,

$$Q_1 = b. c. t_1 з.$$

Съ другой стороны

$$Q_1 = P_1. \sin \beta = b. c. \sin \beta. \cos \beta. H и.$$

Отсюда

$$t_1 = H. \sin \beta. \cos \beta і.$$

Сравнивая ф-лы ж, і съ ф-лой 5 (см. § 7) находимъ, между ними полнѣйшее тождество и въ то же время обнаруживаемъ, что

$$t = t_1 77.$$

т. е. *тангенціальныя* напряженія на сжимаемыхъ граняхъ равномерно перекашиваемаго параллелепипеда всегда равны между собою.

Но т. к. результатъ сдѣланнаго вывода вовсе не зависитъ отъ длины реберъ п-да и величины нормальныхъ силъ N и N_1 , слѣд., можно сказать также, что *тангенціальныя* напряженія во всякомъ равномерно перекашиваемомъ п-дѣ одинаковы во всѣхъ плоскостяхъ, параллельныхъ сжимаемымъ гранямъ.

Съ измѣненіемъ величины угла β измѣняется также и величина тангенціальныхъ напряженій на граняхъ п-да, вырѣзаннаго изъ растянутаго или сжатаго бруса.

Когда β равно 0 или 90° $t = 0$,

т. е. въ *продольныхъ* и *поперечныхъ* плоскостяхъ растянутаго или сжатаго бруса тангенціальныхъ напряженій нѣтъ, а потому и п-ды, вырѣзаемые изъ такихъ брусевъ съ ребрами, ||-ми оси бруса, при дѣйствіи на нихъ растягивающей нагрузки не перекашиваются.

Когда $\beta=45^\circ$ $\max t = \frac{H}{2}$,

т. е. наибольшее тангенциальное напряжение при растяжении или сжатии бруса возбуждается на гранях квадратных призм, оси которых \perp к оси бруса, а диагональные плоскости \parallel -ы направлению дѣйствія растягивающей нагрузки, и величина его равна половинѣ нормальнаго напряжения.

49. Равномѣрное перекашивание параллелепипеда безъ вытяжки его реберъ. а. Перекосъ. Въ § 48 было разсмотрѣно равномѣрное перекашивание п-да, которое происходило подѣ дѣйствиємъ тангенциальныхъ силъ Q и Q_1 и нормальныхъ N и N_1 . Разсмотримъ теперь такой случай равномѣрнаго перекашивания п-да, при которомъ нормальные силы на граняхъ п-да вовсе отсутствовали бы, а перекашивание его происходило бы подѣ дѣйствиємъ только двухъ паръ силъ Q и Q_1 (фиг. 64). Выводъ ф-лы 77 предыдущаго § вовсе не зависитъ отъ величины нормальныхъ силъ N и N_1 , а потому и здѣсь также тангенциальные напряжения будутъ одинаковы во всѣхъ плоскостяхъ, \parallel -хъ гранямъ п-да, нагруженнымъ силами Q и Q_1 .

Мы предполагаемъ, что подѣ дѣйствиємъ двухъ паръ силъ Q и Q_1 п-дъ обращается въ призму съ основаніемъ въ видѣ параллелограмма AB_1C_1D . Переходъ ребра B въ положеніе B_1 долженъ въ сущности совершаться перемѣщеніемъ точки B по дугѣ круга BB_1 , описанной изъ центра A . Мы предполагаемъ однако, что самыя перемѣщенія реберъ п-да при его перекашиваніи весьма незначительны, и что BB_1 можно считать нормальною къ AB .

Явленіе можно представлять себѣ происходящимъ такимъ образомъ, что каждая вышележащая матеріальная плоскость перемѣщается относительно смежной съ ней нижележащей, сдвигаясь вправо, по направлению болѣеи изъ двухъ тангенциальныхъ силъ. Поэтому и самое явленіе, происходящее въ такомъ видѣ, часто называютъ явленіемъ сдвига.

Уголъ $BAB_1 = \varphi$ наз. *угломъ перекашивания*. Перемѣщенія BB_1 и LL_1 , получаемыя при этомъ точками B и L , наз. *сдвигами*, а силы Q и Q_1 —*силами сдвига*.

Отношеніе величины сдвига къ разстоянію сдвигаемой точки ребра отъ неподвижной наз. *относительнымъ сдвигомъ* или *перекосомъ*. Очевидно изъ чертежа, что у равномѣрно перекашиваемаго п-да величина перекоса въ каждой точкѣ одинакова и можетъ быть измѣрена величиной угла перекашивания, т. е.

$$\varphi = \frac{BB_1}{AB} = \frac{LL_1}{AL} = \dots = const.$$

б. Вытяжка наклонныхъ линій, \parallel -хъ основаніямъ перекошенной призмы. Возьмемъ произвольную наклонную линію AK подѣ угломъ δ къ направлению силы сдвига Q . Послѣ перекашивания п-да точка K

перейдетъ въ K_1 , а линия AK займетъ положеніе AK_1 , удлиняясь при этомъ. Вытяжка этой линіи будетъ

$$i = \frac{AK_1 - AK}{AK}.$$

Для вычисленія ея проектируемъ многоугольный контуръ AKK_1A на направленіе AK . Вслѣдствіе незначительности допускаемыхъ при этомъ перемѣщеній, принимаемъ, что Cos угла $KA K_1$ не отличается отъ единицы; тогда:

$$AK_1 = AK + KK_1 \cdot \text{Cos } \delta, \text{ откуда}$$

$$i = \frac{KK_1}{AK} \cdot \text{Cos } \delta = \frac{KD}{AK} \cdot \varphi \cdot \text{Cos } \delta, \text{ или}$$

$$i = \varphi \cdot \text{Sin } \delta \cdot \text{Cos } \delta = \frac{\varphi}{2} \cdot \text{Sin } 2\delta \dots \dots \dots 78.$$

Совершенно то же самое выраженіе мы получили бы и для усадки наклонной линіи DL , наклоненной къ направленію силы сдвига Q подъ тѣмъ же угломъ δ , т. е.

$$i_1 = \frac{DL - DL_1}{DL} = \frac{\varphi}{2} \cdot \text{Sin } 2\delta \dots \dots \dots 78, a.$$

Если растянута линія AK работает съ напряженіемъ H , а сжатая DL съ напряженіемъ H_1 , то по закону Гюка можно написать, что

$$\begin{aligned} H &= E \cdot i \\ H_1 &= E \cdot i_1 \dots \dots \dots \text{н.} \end{aligned}$$

Если $\delta = 0 \dots \dots \dots i = i_1 = 0 \dots \dots \dots H = H_1 = 0.$

При $\delta = 90^\circ \dots \dots \dots i = i_1 = 0 \dots \dots \dots H = H_1 = 0.$

При $\delta = 45^\circ \dots \dots \dots \max i = \max i_1 = \frac{\varphi}{2} \dots \dots \dots 78 \text{ в.}$

При перемѣнѣ δ на $(90 - \delta)$ въ ф-лахъ 78 и 78 а величины i и i_1 , а слѣд. также H и H_1 , не измѣняются.

Полученные результаты позволяютъ сдѣлать заключеніе о сущности явленія сдвига подъ дѣйствіемъ однихъ тангенціальныхъ силъ:

1. Ребра перекошенной n -да не измѣняютъ своей длины, п. ч. $i = \lambda : l = 0$, а при конечной длинѣ l это выраженіе требуетъ, чтобы удлиненіе или укороченіе λ было $= 0$.

2. Растянутыя линіи, лежащія въ плоскости, ||-и основанію перекошенной призмы, и наклоненныя подъ однимъ и тѣмъ же угломъ къ ея гранямъ (горизонтальной или вертикальной—безразлично); испытываютъ одинаковое напряженіе. То же самое можно сказать и по отношенію къ сжатымъ линіямъ, если ихъ сравнивать между собою.

3. Одинаково напряженныя растянутыя и сжатыя линіи, лежащія въ плоскостяхъ, ||-хъ основанію перекошенной призмы, дѣлаютъ одинаковый уголъ съ ея гранями.

4. Наибольшее напряжение растяжения и сжатия проявляется въ плоскостяхъ перекошенной призмы, дѣлящихъ пополамъ уголъ между ея гранями.

в. Зависимость между тангенціальнымъ напряженіемъ и переко-
сомъ. Возьмемъ произвольную плоскость A_1B_1 (фиг. 65) перекашивае-
маго п-да и представимъ себѣ, что этою плоскостью п-дъ какъ бы раз-
дѣленъ на 2 части—I и II. Послѣ того какъ равновѣсіе внѣшнихъ и
внутреннихъ силъ установилось, вообразимъ себѣ I-ю часть отнятою
отъ II-й и замѣнимъ дѣйствіе I-й части на II-ю внутренними силами.
Если возьмемъ 2 направленія xu и xz (фиг. 65) подъ угломъ δ къ сѣ-
ченію A_1B_1 , тогда мы знаемъ, что на этихъ линіяхъ лежатъ матери-
альныя точки, проявляющія на точку x воздѣйствіе, одинаковое по ве-
личинѣ, но различное по характеру: на линіи xu лежатъ точки, при-
тягивающія x , а на линіи xz — отталкивающія ее. Складывая каждый
разъ эти взаимодѣйствія на точку x , мы будемъ получать слагаю-
щую, направленную не иначе, какъ въ плоскости A_1B_1 . Алгебраиче-
ская сумма такихъ взаимодѣйствій части I-й на II-ю и представитъ
намъ полную тангенціальную силу, дѣйствующую въ плоскости A_1B_1 и
равную по величинѣ внѣшней силѣ сдвига Q_1 .

Возьмемъ въ плоскости A_1B_1 площадь элемента съ высотой $xf=m$
и шириною s , равною ширинѣ п-да. На элементъ площади съ высотой
 xf передаются 2 пучка силъ—слѣва растягивающій, справа—сжимаю-
щій площадь элемента. Напряжение, одинаковое въ каждомъ изъ этихъ
пучковъ, обозначимъ чрезъ H . Нормальное сѣченіе каждаго пучка бу-
детъ $s \cdot m \cdot \text{Sin } \delta$, а величина силы, передающейся на площадь элемента
по направленію xu , будетъ $s \cdot m \cdot \text{Sin } \delta \cdot H$. Такая же величина будетъ
получена и для сжимающей силы, дѣйствующей на рассматриваемый
элементъ по направленію xz . Проектируя ихъ на направленіе A_1B_1 , по-
лучимъ величину тангенціальной силы, приходящейся на элементъ пло-
щади $s \cdot m$; эта сила будетъ:

$$2 \cdot s \cdot m \cdot H \cdot \text{Sin } \delta \cdot \text{Cos } \delta,$$

а ея тангенціальное напряжение

$$\Delta t = 2H \cdot \text{Sin } \delta \cdot \text{Cos } \delta = H \cdot \text{Sin } 2\delta.$$

Пользуясь ф-лами κ и 78 этого §, получимъ вмѣсто послѣдняго
равенства слѣдующее:

$$\Delta t = \frac{\varphi}{2} \cdot E \cdot \text{Sin}^2 2\delta \cdot \dots \dots \dots \text{л.}$$

Это есть величина напряженія, которая получается на площади
элемента отъ воздѣйствія силъ надъ угломъ δ къ вертикали. Если измѣ-
нять величину угла δ въ предѣлахъ отъ 0 до $0,5 \cdot \pi$, каждый разъ
опредѣлятъ величину Δt и взять ихъ сумму, тогда получимъ полное
тангенціальное напряжение на площади элемента $s \cdot m$, являющееся ре-
зультатомъ воздѣйствія на нее всѣхъ точекъ тѣла.

Оно будетъ:

$$t = \sum \Delta t = \frac{\varphi}{2} \cdot E \cdot \sum_{\delta=0}^{\delta=\frac{\pi}{2}} (\text{Sin } 2 \delta)^2, \text{ или}$$

$$t = \frac{\pi}{8} \cdot E \cdot \varphi = G \cdot \varphi \dots \dots \dots 79.$$

Сравнивая ф-лы 79 и 10, видимъ, что онѣ по существу тождественны и что ф-ла 79 представляет собою законъ Гука, написанный для явленія сдвига, гдѣ величина перекося φ замѣняет собою величину вытяжки i въ ф-лѣ 10. Поэтому и величину коэф. G называю *коэф. упругости при сдвигѣ*, или *коэф. упругости 2-го рода* въ отличие отъ величины E , которую называютъ въ такомъ случаѣ *коэф. упругости 1-го рода*.

Подтвержденіе ф-лы 79 путемъ непосредственнаго опыта на явленіи чистаго сдвига невозможно, т. к. осуществить самое явленіе въ условіяхъ § 49 совсѣмъ нельзя: изъ тангенціальнаго силъ извѣстна только сила тренія, а чтобы возбудить ее на грани п-да, надо непременно передать извѣстное давленіе на грань его, т. е. ввести опять нормальныя напряженія на граняхъ п-да, которыя мы имѣли въ § 48, только въ обратномъ направленіи.

Въ приближенной формѣ явленіе сдвига м. б. осуществлено по схемѣ, показанной на фиг. 66, гдѣ оба конца тѣла плотно задѣланы во втулки A и B , а средняя часть охвачена втулкой C ; оставляя втулки A и B неподвижными и перемѣщая втулку C , получаютъ перекашивание въ частяхъ mn и pq тѣла, но равномерность распределенія напряженія въ поперечныхъ сѣченіяхъ тѣла ничѣмъ при этомъ не гарантирована. Размѣры mn и pq д. б. не велики сравнительно съ размѣромъ qr , взятымъ по направленію дѣйствія нагрузки P , иначе получается сгибаніе тѣла.

50. Расчетное ур-іе при сдвигѣ и величины допускаемыхъ напряженій. Если Q будетъ тангенціальная сила, стремящаяся произвести сдвигъ тѣла по площади сѣченія F , на которой напряженія распределены равномерно, тогда вызываемая величина тангенціальнаго напряженія будетъ:

$$t = \frac{Q}{F}$$

Пусть S будетъ *допускаемое* напряженіе на сдвигъ, тогда расчетное ур-іе на сдвигъ тѣла будетъ:

$$S = \text{или болѣе } \frac{Q}{F} \dots \dots \dots 80.$$

Безопасная площадь будетъ:

$$F = \text{или болѣе } \frac{Q}{S} \dots \dots \dots 80,а.$$

Безопасная нагрузка, допускаемая при сдвигѣ, получится равною:

$$Q = \text{или менѣе } F.S \quad \quad 81,6.$$

Разрушающее напряженіе при сдвигѣ S_0 при условіяхъ опыта, выполняемаго по схемѣ фиг. 66, получается весьма близко къ $\frac{4}{5}Z_0$, по-этому и допускаемое напряженіе на сдвигъ берутъ часто на 20% менѣе, чѣмъ Z —при растяженіи

$$S = \frac{4}{5} Z. \quad \quad 82.$$

Но въ виду того, что равномерности распредѣленія тангенціальнаго напряженія по разсматриваемой площади на самомъ дѣлѣ нѣтъ, полезно брать допускаемое напряженіе менѣе того, что выражено ф-лой 82.

Величины допускаемыхъ напряженій на сдвигъ S и величины коэф. упругости 2-го рода G (объ въ кг. на кв. мм. даны въ табл. 10-й.

Т а б л и ц а 10-я.

НАЗВАНІЕ МАТЕРІАЛОВЪ.	S	G
Желѣзо сварочное	4,8—2,4	7700
„ литое (Flusseisen)	6,4—2,4	8300
Сталь литая прокатная или ковкая	8—4	8500
Стальное литѣе.	5,6—2,8	8300
Чугунъ.	2,0—1,6	2900—4000
Бронза.	2,0—1,6	—
Дубъ волок.	1,00—0,08	—
„ „	0,125	—
Сосна „	0,08—0,04	—
„ „	0,1	—

51. Пробиваніе металловъ. Если въ полость, имѣющей толщину e , пробивается отверстие діам. d , тогда происходитъ сдвигъ и срѣзываніе металла по поверхности $\pi . d . e$. Долгое время предполагали, что сопротивленіе срѣзыванію остается при этомъ постояннымъ и что его можно вычислять, умножая поверхность срѣзыванія на разрушающее напряженіе при срѣзываніи S_0 . Работа, необходимая для пробиванія отверстия, выраженная въ $kg\text{---}mt$, опредѣлялась тогда слѣд. ф-лой:

$$A = \pi . d . e . S_0 \cdot \frac{e}{1000} = \frac{S_0 . \pi . d^3}{1000} \cdot \left(\frac{e}{d} \right)^2$$

гдѣ S_0 выражено въ кг. на кв. $\frac{m}{m}$, а поверхность срѣзыванія — въ кв $\frac{m}{m}$.

Исслѣдованіе этого вопроса было сдѣлано проф. *Keller*, въ Карльсруэ въ 1887 г. *). Диаграмма измѣненія сопротивленія срѣзыванія имѣетъ, примѣрно, такой видъ, какъ показываетъ фиг. 67, гдѣ кривая AB_1 отмѣчаетъ періодъ возрастанія сопротивленія до нѣкотораго $\max BB_1$. Пока пробойникъ проходитъ путь AB , происходитъ только вдавливаніе бойка въ металл (фиг. 68, I); затѣмъ начинается выпучиваніе металла съ нижней стороны (фиг. 68, II) безъ образованія разрыва матеріала, въ это время сопротивленіе падаетъ, какъ показываетъ кривая B_1C_1 ; наконецъ матеріаль разрывается и вверху и внизу, и начинается перерѣзаніе его, сопровождающееся паденіемъ сопротивленія по кривой C_1D ; абсцисса AB на диаграммѣ составляетъ приблизительно $\frac{e}{5}$ и $AC =$ около $\frac{e}{3}$, такъ что срѣзываніе металла происходитъ только на высотѣ около $\frac{2}{3}e$.

Для вычисленія работы пробиванія въ *kg-mt* проф. *Keller*, на основаніи цѣлаго ряда точныхъ опытовъ, далъ слѣдующую ф-лу:

$$A = 0,0203. \pi. d^3 \left[\left(\frac{e}{d} \right)^2 - 0,14 \frac{e}{d} + 0,01 \right] \dots \dots \dots 83,$$

гдѣ d — въ *мм.* Съ помощію этихъ опытовъ было обнаружено также, что и величина наибольшаго сопротивленія, и величина работы срѣзыванія повышаются съ возрастаніемъ скорости прохода пробойника, но зато при этомъ менѣе страдаетъ матеріаль. Увеличивая скорость прохода бойка, путемъ примѣненія ударнаго воздѣйствія падающей бабы вмѣсто спокойнаго давящаго дѣйствія дыропробивной машины, инж. Шуховъ достигалъ въ своихъ опытахъ отличныхъ результатовъ, какъ въ смыслѣ полученія чистаго отверстія, такъ и въ смыслѣ сохраненія матеріала; так. обр. оказывается, напр., возможнымъ пробивать дыры даже въ плитахъ изъ колосниковаго чугуна $\frac{1}{4}$ д. толщиною безъ образованія трещинъ на нихъ.

52. Задачи. № 26. У цѣпи *Галля*, изображенной на фиг. 4, повѣрить крѣпость валиковъ на срѣзываніе, принимая во вниманіе и собственный вѣсъ ея въ предположеніи, что свободно висящій съ колеса конецъ ея имѣетъ длину 6 *mt*.

Цѣпь эта предназначена для подъема груза въ 1000 *к.* (см. зад. № 3). Погонный *mt* такой цѣпи вѣситъ 3,8 *к.* (см. тамъ же), поэтому собственный вѣсъ цѣпи въ нашемъ случаѣ будетъ 3,8 · 6 или около 23 *к.* Расчетная нагрузка получается = 1023 *к.*

Въ наиболѣе опасномъ положеніи будетъ самый верхній валикъ, только что спустившійся съ колеса: при *четырехъ* рабочихъ звеньяхъ у него будетъ *шесть* поверхностей сдвига, по которымъ можетъ про-

*) *Zeitschr. d. Ver. deutsch. Ing.*, 1888, №№ 4—5.

изойти разрушеніе; если звенья *B* и *C* (фиг. 4) срѣжутъ валикъ *A*, поверхностей сдвига будетъ *три*, обозначенныя цифрами 1, 2, 3 на фиг. 4 у валика *A*; у звеньевъ *D* и *E* имѣются еще 3 такихъ же поверхности.

Діам. валика *A* — 10 $\frac{м}{м}$, площадь сѣченія его 78,5 кв. $\frac{м}{м}$. Напряженіе сдвига получится равнымъ

$$H = \frac{1023}{6 \cdot 78,5} = 2,2 \text{ кн. на кв. } \frac{м}{м},$$

что вполне допустимо для желѣзнаго валика.

По отношенію къ внутреннимъ звеньямъ $B_1C_1D_1E_1$ (фиг. 4) валики бывають въ одномъ положеніи на 33% прочнѣе, чѣмъ въ остальныхъ, когда тамъ у 4-хъ валиковъ является *восемь*, а не *шесть* поверхностей сдвига. Такое положеніе для каждаго валика существуетъ только *одно*, это — когда валикъ *M* зацѣпилъ за 1-й зубъ колеса, а внутреннія звенья цѣпи $A_1B_1C_1D_1$ еще свѣшиваются съ колеса и передаютъ на него всю нагрузку.

№ 27. Врубка сосновой стропильной ноги *A* (фиг. 69) въ сосновый лежень *B* сдѣлана такъ, какъ показано на эскизѣ. Нога перемѣщается по лежню горизонтальной нагрузкой $P = 2100$ кн. Повѣрить смятіе на торцѣ *mn* и найти разстояніе *x*, на которомъ надо начать рубку отъ свободного конца лежня.

Поверхность смятія въ плоскости *mn* будетъ (см. фиг. 69):

$$F = 120 \cdot 30 + 40 \cdot 30 = 4800 \text{ кв. мм.}$$

Напряженіе смятія будетъ

$$H = 2100 : 4800 = 0,44 \text{ кн. на кв. мм.}$$

По даннымъ таб. 9-й можно считать это напряженіе допустимымъ.

Поверхность сдвига будетъ имѣть видъ желоба съ длиною *x* и периметромъ обрѣза.

$$abcdef = 180 \text{ мм.}$$

Расчетное ур-іе на сдвигъ приметъ видъ

$$P = \text{или менѣе } 180 \cdot x \cdot S$$

Принявши $S = 0,06$, получимъ

$$x = \frac{2100}{180 \cdot 0,06} = 194.$$

Принимаемъ $x = 200$ мм.

№ 28. Валь діам. 80 мм. лѣвымъ стыкомъ обварка *B* (фиг. 70) воспринимаетъ давленіе *P*, которое вызываетъ на трущемся стыкѣ напряженіе изнашиванія не болѣе 0,6 кн. на кв. мм. Опредѣлить минимальную возможную толщину обварка, когда онъ износится.

Діам. обварка данъ на эскизѣ въ 96 мм., слѣд., ширина стыка—8 мм., поверхность трущагося стыка будетъ:

$$\pi \cdot (80 + 8) \cdot 8 = 276,5 \cdot 8 = 2212 \text{ кв. мм.}$$

Возможная въ работѣ величина давленія P получится такъ:

$$P = 2212 \cdot 0,6 = 1327,2 \text{ кг.}$$

Примемъ ее $= 1350$ кг. Расчетное ур-іе на сдвигъ заплечика будетъ:

$$1350 = S \cdot \pi \cdot 80 \cdot y$$

Имѣя въ виду возможность несовершенства приварки заплечика беремъ $S = 2$ кг. на кв. мм. Тогда

$$y = \frac{1350}{2 \cdot 251} = \frac{1350}{502}$$

Прочная величина y выходила бы так. обр. менѣе 3 мм.; прибавляя къ вычисленной величинѣ около 5 мм. на изнашивание, получимъ исполняемую величину

$$y = \text{или болѣе } 8 \text{ мм.}$$

№ 29. Деталь A (фиг. 71), повернутая къ B болтомъ діам. $1\frac{1}{8}$ дм., воспринимаетъ на себя нагрузку, дѣйствующую въ плоскости стыка; на данный болтъ приходится нагрузка $P = 3000$ кг. Требуется воспринять ее на закладное кольцо L , вточенное въ A и B на половину своей высоты. Детали A и B —чугунныя, кольцо L —желѣзное, плотно вточенное въ A и B и свободно пропускающее себѣ болтъ C . Опредѣлить размѣры кольца.

Примемъ внутренній діаметръ кольца $d_0 = 30$ мм. и доп. напряж. на сдвигъ его $S = 4$ кг. Тогда расчетное ур-іе на сдвигъ будетъ:

$$3000 = \frac{\pi}{4} (d_1^2 - 30^2) \cdot 4, \text{ откуда}$$

$$d_1 = \text{или болѣе } 44 \text{ мм.}$$

Поверхность смятія между кольцомъ L и каждой изъ деталей A и B въ проекціи на поперечное направленіе относительно нагрузки, будетъ $d_1 \cdot e$. Допуская напряженіе смятія для чугуна и желѣза $D = 8$ кг., расчетное ур-іе получимъ въ такомъ видѣ:

$$3000 = 8 \cdot 44 \cdot e, \text{ откуда } e = 8,5 \text{ мм.}$$

Если бы дано было при этомъ еще условіе—не занимать кольцомъ въ высоту, напр., болѣе 15 мм. $= k$, тогда

$$e = \frac{k}{2} = 7,5,$$

а изъ ур-ія крѣпости на смятіе

$$d_1 = \frac{3000}{8 \cdot 7,5} = 50 \text{ мм.}$$

№ 30. Найти зависимость между коэффициентами упругости 1-го и 2-го рода— E и G , рассматривая вытягивание куба под действием слабой нагрузки.

Пусть на верхней и нижней грани куба B_0D_0 (фиг. 72) равномерно распределена одинаковая нагрузка P , дающая небольшое нормальное напряжение H во всех горизонтальных плоскостях. Если сторона куба будеть

$$a = A_0B_0 = B_0C_0 = \dots, \text{ тогда}$$

$$A_0C_0 = a \cdot \sqrt{2}; \quad H = P : a^2$$

Определим нормальную и тангенциальную силу для диагональной плоскости

$$P^2 = N^2 + Q^2$$

$$N = Q = \frac{P}{\sqrt{2}} = \frac{H \cdot a^2}{\sqrt{2}}$$

Если нормальное и тангенциальное напряжение будуть h и t , тогда

$$h = t = \frac{H \cdot a^2}{\sqrt{2}} : a^2 = \frac{H}{\sqrt{2}}$$

что вполне согласно с ф-мой 6, выведенной в § 7.

При деформировании куба вертикальные его ребра удлинятся, а горизонтальные укоротятся (см. § 15). Если $ABCD$ (фиг. 73) будеть изображение деформированной стороны куба, $||$ -й направлению действия нагрузки, то

$$BC = a (1 + i)$$

$$AB = a (1 - i) = a \left(1 - \frac{i}{m} \right)$$

Если весьма малый угол перекашивания диагональных плоскостей назовемь чрезь φ , то

$$BC = AC \cdot \operatorname{tg} \left(\frac{\pi}{4} + \frac{\varphi}{2} \right), \text{ или}$$

$$1 + i = \left(1 - \frac{i}{m} \right) \cdot \frac{1 + \operatorname{tg} \frac{\varphi}{2}}{1 - \operatorname{tg} \frac{\varphi}{2}}$$

Въ виду малости угла φ вмѣсто tg половинной его дуги можно вносить саму эту дугу, и тогда получимь:

$$(1 + i) (2 - \varphi) = \left(1 - \frac{i}{m} \right) (2 + \varphi), \text{ или}$$

$$2 + 2 \cdot i - \varphi - i \cdot \varphi = 2 - \frac{2i}{m} + \varphi - \frac{i\varphi}{m} \dots \dots \dots \text{ а}$$

Величины вытяжки i и перекося φ , входящая въ это р-во, суть весьма малыя правильныя дроби:

$$i = \frac{H}{E}; \quad \varphi = \frac{t}{G} = \frac{H}{2 \cdot G} \dots \dots \dots \text{ б.}$$

Пусть, напр., для желѣза $H = 2$ кг. на кв. мм.,
 $E = 20000$ " " "
 $G = 8000$ " " "

тогда

$$i = \frac{1}{10000}; \varphi = \frac{1}{8000}$$

Поэтому безъ большой погрѣбности произведемъ $i \cdot \varphi$ въ ф-лѣ а можно пренебречь, и дать ей слѣдующій видъ:

$$2i - \varphi = -\frac{2i}{m} + \varphi, \text{ или}$$

$$i \cdot \frac{m+1}{m} = \varphi, \text{ или}$$

$$E : G = 2 \cdot \frac{m+1}{m} \dots \dots \dots 84.$$

Если сдѣлаемъ $m = 4 \dots \dots G = 0,4 \cdot E \dots \dots \dots 84,а.$

53. Распредѣленіе напряженій сдвига на сrostкѣ двухъ тѣлъ, | -номъ къ общей оси вращенія ихъ. а) *Ур-іе напряженій на сrostкѣ.* Пусть два тѣла соприкасаются между собою по плоскости сrostка BC (фиг. 74), которая совпадаетъ съ плоскостью чертежа и въ то же время нормальна къ общей оси вращенія тѣлъ A . Центръ тяжести этого сrostка лежитъ въ O на разстояніи a отъ оси вращенія. Если одно тѣло получить перемѣщеніе относительно другого на весьма малый уголъ θ , тогда перемѣщеніе какой-нибудь матеріальной точки D , лежащей на плоскости сrostка въ разстояніи r отъ оси A , будетъ $= r \cdot \theta$, т. е., при всѣхъ прочихъ одинаковыхъ условіяхъ, оно будетъ пропорціонально разстояніямъ матеріальныхъ точекъ сrostка отъ оси вращенія тѣла.

Допуская, что на сrostкѣ BC , при передачѣ черезъ него вращательнаго момента M отъ одного тѣла къ другому, возбуждаются только однѣ упругія деформаціи, и что онѣ будутъ пропорціональны соотвѣтственнымъ напряженіямъ, ур-іе напряженій сдвига на сrostкѣ BC мы оможемъ написать въ такомъ видѣ (см. фиг. 74):

$$\frac{h}{H} = \frac{r}{R}, \text{ или } h = \frac{r}{R} \cdot H \dots \dots \dots 85,$$

если h будетъ напряженіе сдвига въ произвольно взятой матеріальной точкѣ D , H — напряженіе въ точкѣ E , наиболее удаленной отъ оси вращенія, а r и R — соотвѣтственные радіусы векторы точекъ.

Ф-ла 85 и представляетъ собою ур-іе напряженій на сrostкѣ.

б) *Расчетное ур-іе сrostка.* Элементъ площади dF , центромъ тяжести котораго является точка D , окажетъ сопротивленіе сдвигу, равное $h \cdot dF$. Моментъ этого элементарнаго сопротивленія относительно оси вращенія тѣлъ будетъ $r \cdot h \cdot dF$. Взявши сумму такихъ моментовъ для всѣхъ элементовъ площади BC , мы должны имѣть ее равной данному

Эта сумма не равна нулю ни въ какомъ случаѣ, и ф-ла б показываетъ, что равновѣсіе устанавливается здѣсь потому только, что при передачѣ *тот* M чрезъ сrostокъ BC возбуждается на оси A давленіе по оси y -овъ, равное слагающей изъ внутреннихъ силъ.

Слѣд., если передача **тот** отъ одного тѣла къ другому, имѣющему съ 1-мъ общую ось вращения, происходитъ посредствомъ сrostка, расположеннаго по одну сторону отъ оси вращения, неизбежно возбуждается **давленіе на оси**; направление давленія нормально къ лини, соединяющей центръ вращения съ центромъ тяжести сrostка; а величина давленія равна суммѣ проекцій всѣхъ силъ сдвига на сrostкъ, взятыхъ на вышеуказанное направление давленія.

Чтобы уничтожить добавочныя давленія на оси тѣлъ, нужно имѣть два или нѣсколько диаметрально противоположныя и одинаковыя сrostковъ.

Изъ трехъ написанныхъ нами уравненій равновѣсія два послѣднія разъясняютъ только сущность явленія передачи *тот* отъ одного тѣла къ другому, расчетнымъ же уравненіемъ является формула 86.

Сдѣлаемъ преобразованіе ф-лы 88, чтобы выяснитъ величину давленія K на оси. Пользуясь ф-лой 85, можемъ написать:

$$K = \sum H \cdot \frac{r}{R} \cdot \cos \beta \cdot dF. \text{в.}$$

Изъ чертежа (фиг. 74) имѣемъ:

$$r \cdot \cos \beta = a + \rho \cdot \cos \varphi = a + x.$$

Поэтому

$$K = \frac{H}{R} \cdot a \cdot F + \frac{H}{R} \int x \cdot dF. \text{г.}$$

$$\int x \cdot dF = x_0 \cdot F = 0 \text{д.}$$

Этотъ интегралъ обращается въ 0 потому, что онъ представляетъ собою *статическій тот* всей площади, взятый относительно оси, лежащей въ плоскости сѣченія и проходящей чрезъ ц. т. его; по теоремѣ о центрѣ тяжести это выраженіе д. б. = всей площади, умноженной на координату x_0 ея ц. т. относительно той же осц, но $x_0 = 0$. Такимъ образомъ

$$K = \frac{H \cdot a}{R} \cdot F = h_0 \cdot F \text{88, а.}$$

Здѣсь h_0 представляетъ собою напряженіе сдвига при ц. т. сrostка.

Слѣд., когда сrostокъ двухъ тѣлъ, совместно вращающихся около общей оси, участвуетъ въ передачѣ вращательнаго момента, возбуждаемое на оси тѣлъ давленіе равно площади сrostка, умноженной на напряженіе сдвига, вызываемое при центрѣ тяжести его.

в) *Полярный моментъ инерціи.* Найдемъ сначала *полярный моментъ инерціи* I_0 для круга относительно оси, проходящей чрезъ его центръ и \perp -ной къ его плоскости. Очевидно,

$$I_0 = \int \rho^2 \cdot dF,$$

гдѣ ρ — разстояніе ц. т. элемента отъ оси O . Суммирование д. б. распространено на всю площадь. Выдѣлимъ площадь элемента, проведя двѣ бесконечно близкихъ окружности (фиг. 76) на разстояніи $d\rho$ одна отъ другой и засѣкая ихъ двумя радиусами, дѣлающими между собою бесконечно малый уголъ $d\varphi$; тогда

$$dF = \rho \cdot d\varphi \cdot d\rho$$

$$I_0 = \iint d\varphi \cdot \rho^3 \cdot d\rho.$$

Т. к. суммирование по φ происходитъ при всякой величинѣ ρ въ предѣлахъ отъ O до 2π , поэтому

$$\left. \begin{aligned} I_0 &= 2\pi \cdot \int_0^r \rho^3 \cdot d\rho = \frac{\pi r^4}{2} \\ I_0 &= \frac{\pi \cdot d^4}{32} = 0,1 \cdot d^4 \end{aligned} \right\} \dots \dots \dots 89.$$

Найдемъ теперь полярный моментъ инерціи площади сростка какого-угодно очертанія относительно произвольной оси A (фиг. 74), т. е. то выраженіе, которое входитъ въ ф-лу 86.

Изъ чертежа имѣемъ:

$$r^2 = a^2 + \rho^2 + 2a \cdot \rho \cdot \cos \varphi$$

$$I_a = a^2 \cdot \int dF + \int \rho^2 \cdot dF + 2a \cdot \int \cos \varphi \cdot \rho \cdot dF.$$

Въ послѣдней части р-ва 1-й интеграль представляетъ собою F , площадь сростка, 2-й интеграль—полярный моментъ инерціи I_0 относительно оси, проходящей чрезъ ц. т. площади, а третій интеграль обращается въ нуль, т. к. онъ тождественъ съ тѣмъ, который приведенъ въ этомъ § подъ буквой d . Послѣ этого

$$I_a = I_0 + F \cdot a^2 \dots \dots \dots 90,$$

т. е. *полярный моментъ инерціи площади относительно произвольной оси, \perp -ной къ плоскости сѣченія, = моменту инерціи относительно оси, проходящей чрезъ центръ тяжести сѣченія и \perp -ной къ его плоскости, плюс произведение площади на квадратъ разстоянія осей.*

Для площади круга съ діам. d , центръ котораго отстоитъ отъ оси вращения A на разстояніи a , будемъ имѣть:

$$I_a = 0,1 \cdot d^4 + \frac{\pi}{4} \cdot d^2 \cdot a^2 \dots \dots \dots 91.$$

г) *Случай круглаго центрального сrostка.* На фиг. 77 изображены 2 тѣла U_1 и U_2 , имѣющія общую ось вращения AA . Передача вращательнаго момента отъ тѣла U_2 къ U_1 происходитъ черезъ круглый центрально расположенный сrostокъ B , имѣющій видъ короткой шейки съ діам. d .

Въ этомъ случаѣ сдвигъ сrostка сводится къ закручиванію его около оси AA . Ур-ія **87** и **88** удовлетворяются при 'этомъ сами собою, п. ч. всѣ внутреннія силы приводятся здѣсь къ парамъ силъ, которыя проекцій на оси координатъ не даютъ. Слѣд., передача вращательнаго *мом* отъ одного тѣла къ другому черезъ центральный круглый сrostокъ не сопровождается возбужденіемъ добавочнаго давленія на оси тѣлъ.

Т. к. здѣсь $a = 0$, поэтому $I_a = I_0$, и ур-іе крѣпости сrostка будетъ

$$\left. \begin{aligned} M &= \frac{H}{R} \cdot I_0 = \frac{H}{R} \cdot 0,1 \cdot d^4 \\ M &= H \cdot 0,1 \cdot d^3 \end{aligned} \right\} \dots \dots \dots 92.$$

54. Задачи. № 31. Два тѣла U_1 и U_2 имѣютъ общую ось вращения AA (фиг. 78) и соединены между собою круглымъ желѣзнымъ сrostкомъ, расположеннымъ эксцентрично. Діам. сrostка $100 \text{ мм.} = d_1$, разстояніе его центра O отъ оси вращения $a = 300 \text{ мм.}$ Сrostокъ рассчитанъ съ напряженіемъ $H = 4 \text{ кг.}$ на кв. мм. Рѣшить слѣдующіе вопросы:

- 1) Какой вращательный *мом* въ состояніи передать сrostокъ?
- 2) Какое давленіе возбуждится на оси A ?
- 3) Какой діам. имѣли бы 2 сrostка, симметрично расположенныхъ относительно оси и замѣняющихъ данный одинъ?
- 4) Какіе размѣры имѣлъ бы центральный сrostокъ одинаковой крѣпости съ даннымъ?
- 5) Какіе размѣры имѣлъ бы сrostокъ, подобный данному, при разстояніи $a = 400 \text{ мм.}$?

Здѣсь
$$R = a + \frac{d_1}{2} = 350 \text{ мм.}$$

На этомъ разстояніи находится отъ оси вращения точка E , наиболѣе напряженная и работающая съ напряженіемъ сдвига

$$S = H = 4 \text{ кг. на кв. мм.}$$

Напряженіе сдвига при ц. т. сrostка будетъ

$$h_0 = H \cdot \frac{a}{R} = \frac{4 \cdot 300}{350} = 3,43 \text{ кг. на кв. мм.}$$

Полярный *мом* инерции площади сrostка относительно оси вращения *АА* вычислится по ф-лѣ 91:

$$I_a = 0,1 \cdot 100^4 + \frac{\pi}{4} \cdot 100^2 \cdot 300^2 = 100^4 (0,1 + 7,07) \dots \text{а.}$$

$$I_a = 717\,000\,000 \text{ въ мм.}$$

Передаваемый сrostкомъ *мом* (ф-ла 86)

$$M = \frac{4}{350} \cdot 717\,000 \text{ кг-мт} = 8194,29.$$

Давленіе на оси вычислится по 88 а.

$$K = 3,43 \cdot \frac{\pi}{4} \cdot 100^2 = \text{ок. } 26940 \text{ кг.}$$

Это громадное добавочное давленіе на оси существовать не будетъ, если сдѣлаемъ 2 симметрично расположенныхъ сrostка съ діам. d_2 или 1 центральный съ діам. d .

При двухъ сrostкахъ діаметръ ихъ d_2 будетъ меньше d_1 , поэтому R уменьшится, а новое значеніе h_0 увеличится. Примемъ при двухъ сrostкахъ $h_0 = 3,5$ кг. и назовемъ *полярный мом инерции каждаго изъ двухъ сrostковъ* чрезъ I_{a2} , тогда по ур-ю 86 надо имѣть:

$$\frac{4}{350} \cdot 717\,000\,000 = \frac{3,5}{300} \cdot 2 \cdot I_{a2}, \text{ откуда}$$

$$I_{a2} = 351200000 \text{ въ мм.}$$

Разсматривая составъ ф-лы а этого §, видимъ, что полярный моментъ инерции эксцентрично лежащей площади относительно оси инерции, зависитъ главнымъ образомъ отъ члена $F \cdot a^2$ и приближенно м. б. положенъ равнымъ этой величинѣ. Это значительно ускоряетъ рѣшеніе вопроса и въ данномъ случаѣ разрѣшаетъ его въ смыслѣ усиленія крѣпости сrostка. Беремъ поэтому

$$I_{a2} = \frac{\pi}{4} \cdot d_2^2 \cdot 300^2, \text{ откуда}$$

$$d_2 = \text{около } 71 \text{ мм.}$$

Эта величина больше требуемой. Примемъ $d_2 = 70$ мм. и опредѣлимъ величину передаваемого обоими сrostками момента. Для этого найдемъ для каждаго изъ сrostковъ

$$I_{a2} = 0,1 \cdot 70^4 + \frac{\pi}{4} \cdot 70^2 \cdot 300^2 = \text{ок. } 348\,760\,000$$

$$M = \frac{4 \cdot 2 \cdot 348760}{300 + 35} \text{ кгмт} = \text{ок. } 8330,$$

т. е. нѣсколько болѣе требуемаго. Такимъ образомъ, замѣняя 1 сrostокъ діам. 100 мм. двумя съ діам. по 70 мм., симметрично расположенными относительно оси, мы получаемъ ту же крѣпость сrostковъ, но избавляемся отъ громаднаго давленія на оси, достигающаго въ данномъ случаѣ почти 27 *тн*.

Для заклепки вѣшняго ряда:

$$I_{a1} = 0,1 \cdot 25^4 + \frac{\pi}{4} \cdot 25^3 \cdot 200^2 = 19674000 \text{ мм.}$$

Для заклепки внутренняго ряда

$$I_{a2} = 0,1 \cdot 25^4 + \frac{\pi}{4} \cdot 25^3 \cdot 130^2 = 8337000 \text{ мм.}$$

Послѣ этого

$$m_1 = \frac{H}{R} \cdot 2 \cdot I_{a1} = \frac{5,5 \cdot 2 \cdot 19674}{200 + 12,5} = 1018,3 \text{ кг.-мм}$$

$$m_2 = \frac{H}{R} \cdot 2 \cdot I_{a2} = \frac{5,5 \cdot 2 \cdot 8337}{200 + 12,5} = 431 \text{ кг.-мм}$$

$$M = 10 \cdot 1018,3 + 5 \cdot 431 = 10183 + 2155 \dots \text{ в.}$$

$$M = 12338 \text{ кг.-мм} \dots \dots \dots \text{ г.}$$

Разсматривая слагаемыя ф-лы в, мы видимъ, что главное участие въ сопротивленіи принимаетъ вѣшній рядъ заклепокъ, а не внутренній, такъ какъ на долю вѣшняго ряда выпадаетъ здѣсь почти 83% всего *мом.*

Поэтому расчерчивать подобные швы нужно такимъ образомъ, чтобы возможно большее число заклепокъ было помѣщено во вѣшнемъ ряду, и чтобы внутренній рядъ заклепокъ находился отъ вѣшняго въ самомъ близкомъ положеніи, допускаемомъ условіями клѣпки.

Легко видѣть, что при большихъ разстояніяхъ заклепокъ отъ оси А (фиг. 79) не будетъ внесено въ вычисленіе большой погрѣшности, если предположить и равномерное распредѣленіе напряженій сдвига по всему сѣченію заклепки. Въ самомъ дѣлѣ, поперечное сѣченіе каждой заклепки

$$\frac{\pi}{4} \cdot 25^3 = 490,87 \text{ кв. мм.}$$

У каждой заклепки работаетъ на сдвигъ два сѣченія. Во вѣшнемъ ряду сопротивленіе сдвигу для одной заклепки будетъ

$$490,87 \cdot 2 \cdot 5,5 = 5398,57 \text{ кг.}$$

$$m_1 = 5398,57 \cdot 0,2 = 1079,7 \text{ кг.-мм};$$

во внутреннемъ ряду сопротивленіе сдвигу для каждой заклепки будетъ:

$$5398,57 \cdot \frac{130}{200} = 3508,7 \text{ кг.}$$

$$m_2 = 3508,7 \cdot 0,13 = 456 \text{ кг.-мм.}$$

$$M = 10 \cdot 1079,7 + 5 \cdot 456 = 13077 \text{ кг.-мм.}$$

что даетъ противъ величины, вычисленной ранѣе (см. ф-лу г), увеличеніе только на 6%.

№ 33. Нужно передать вращательный моментъ въ 10000 *kg-mt* чрезъ центральный кольцевой чугунный сrostокъ, у котораго внѣшній діаметръ = 360 мм.

Примемъ допускаемое напряженіе сдвигу для чугуна 1,8 *к*.

Ур-іе крѣпости напишется въ этомъ случаѣ такъ (ф-лы 86 и 89):

$$M = \frac{1,8}{180} (0,1 \cdot 360^4 - 0,1 \cdot x^4),$$

откуда внутренній діаметръ сrostка

$$x^4 = 360^4 - 10^{10}; \quad x = 354 \text{ мм.}$$

Въ такомъ видѣ сrostокъ можно встрѣтить при устройствѣ кулачныхъ муфтъ. Если бы сдвигу подвергались только отдѣльные элементы кольцевого сrostка, составляющіе въ общемъ, напр., $\frac{1}{2}$ всей площади кольца, тогда новый внутренній діам. будетъ

$$x_1^4 = 360^4 - 2 \cdot 10^{10}; \quad x = 347 \text{ мм.}$$

55. Одновременное дѣйствіе на параллелепипедъ силъ растяженія и сдвига. а) *Направление наиболее растянутыхъ линий и max вытяжки.* Пусть имѣемъ п-дъ *BI* (фиг. 80), подверженный дѣйствію растягивающей нагрузки *P*, равномерно распределенной на граняхъ *AI*, *BH*, и сдвигающей нагрузки *Q*. Нормальное напряженіе отъ 1-й нагрузки будетъ $h = P : F$, а тангенціальное напряженіе отъ 2-й нагрузки — $t = Q \cdot F$.

П-дъ получить удлиненіе по направленію *AB*, сокращеніе—по направленію *BH* и сдвигъ съ угломъ перекашиванія φ при грани *AB*. Вслѣдствіе этого изъ угла *A* на грани *AN* будутъ выходить растянутыя линии. Возьмемъ одну изъ нихъ *AC* подъ произвольнымъ угломъ β къ грани *AB* и опредѣлимъ ея вытяжку.

$$\begin{aligned} \text{Пусть} \quad AC &= l; \quad AB = a; \quad BC = b; \\ a &= l \cdot \cos \beta; \quad b = l \cdot \sin \beta. \end{aligned}$$

Нагрузка *P* по направленію своего дѣйствія вызоветъ въ продольномъ направленіи *вытяжку* i , а въ поперечномъ направленіи—*усадку* i_1 (см. § 15). Зависимость между относительными деформациями и напряженіями выразится ф-лами:

$$\left. \begin{aligned} i &= m \cdot i_1 = h : E \\ \varphi &= t : G \end{aligned} \right\} \dots \dots \dots \text{ а.}$$

Вслѣдствіе поперечнаго сокращенія линии *BC* при дѣйствіи нагрузки точка *C* перемѣстится въ *D*, если

$$CD = b \cdot i_1 = i_1 \cdot l \cdot \sin \beta \dots \dots \dots \text{ б.}$$

Вслѣдствіе удлиненія линии $CC_1 \parallel AB$ при дѣйствіи нагрузки точка *C* перемѣстится по направленію CC_1 на величину удлиненія

$$CF = DE = a \cdot i = i \cdot l \cdot \cos \beta \dots \dots \dots \text{ в}$$

Наконецъ въ слѣдствіе перекашиванія п-да линія CC_1 перемѣстится въ положеніе C_1K , отклонившись на уголъ φ отъ своего первоначальнаго направленія. Сдвигъ точки C будетъ

$$CK = EL = a \cdot \varphi = \varphi \cdot l \cdot \cos \beta \dots \dots \dots \text{г.}$$

При одновременномъ дѣйствіи обѣихъ нагрузокъ P и Q деформации совершатся одновременно. Сдѣлаемъ ихъ сложеніе: C перемѣщаемъ въ D на величину сокращенія ребра BC ; D перемѣщаемъ въ E на величину вытяжки линіи CC_1 ; E перемѣщаемъ въ L на величину сдвига точки C ; тогда послѣ всѣхъ этихъ перемѣщеній линія AC займетъ новое положеніе AL , вытянувшись на нѣкоторую длину.

Если обозначимъ $AL = l_1$, то вытяжка линіи AC будетъ

$$I = \frac{l_1 - l}{l} \dots \dots \dots \text{д.}$$

Ее и нужно теперь найти въ функціи заданныхъ величинъ i, φ . Для этого многоугольный замкнутый контуръ $AL\text{E}D\text{C}A$ проектируемъ на направленіе AC . Но такъ какъ всѣ деформации п-да предполагаются весьма незначительными, поэтому и отклоненіе линіи AL отъ ея первоначальнаго направленія AC будетъ тоже весьма малымъ, и можно считать, что \cos угла CAL не отличается отъ 1. Тогда

$$AL = EL \cdot \sin \beta + DE \cdot \cos \beta - CD \cdot \sin \beta + AC \dots \dots \text{е.}$$

Опредѣляемъ отсюда величину I_2 , пользуясь обозначеніями, которыми выражены φ -лами б, в, г, д:

$$I = \varphi \cdot \sin \beta \cdot \cos \beta + i \cdot \cos^2 \beta - i_1 \cdot \sin^2 \beta \dots \dots \text{ж.}$$

Это и есть вытяжка произвольной растянутой линіи п-да. Какъ видно, она есть функція β , т. е. различныя линіи, выходящія изъ угла A , будутъ удлиняться неодинаково, и между нами будетъ такая, для которой вытяжка будетъ *max*. Это и будетъ наиболѣе растянутая линія, а стало быть и наиболѣе *опасная*. Дальнѣйшая задача будетъ заключаться въ опредѣленіи *max I*.

Для этого нужно было бы взять производную отъ I по переменному β , приравнять ее нулю и опредѣлить изъ этого ур-ія искомую величину β . Но если продѣлать это вычисленіе съ выраженіемъ ж, получится весьма сложное рѣшеніе. Для его упрощенія введемъ въ послѣднее р-во двойную дугу 2β , пользуясь извѣстными φ -лами перехода:

$$\sin \beta \cdot \cos \beta = \frac{1}{2} \cdot \sin 2\beta$$

$$\cos^2 \beta = \frac{1 + \cos 2\beta}{2}$$

$$\sin^2 \beta = \frac{1 - \cos 2\beta}{2}$$

$$I = \frac{\varphi}{2} \cdot \sin 2\beta + \frac{i}{2} \cdot (1 + \cos 2\beta) - \frac{i_1}{2} (1 - \cos 2\beta)$$

$$I = \frac{\varphi}{2} \sin 2\beta + \frac{i + i_1}{2} \cdot \cos 2\beta + \frac{i - i_1}{2}$$

$$i + i_1 = i + \frac{i}{m} = i \cdot \frac{m + 1}{m}; \quad i - i_1 = i \cdot \frac{m - 1}{m}$$

$$I = \frac{\varphi}{2} \sin 2\beta + \frac{m + 1}{2m} \cdot i \cdot \cos 2\beta + \frac{m - 1}{2m} \cdot i \dots \dots \dots \text{з.}$$

Въ такомъ видѣ дифференцирование этого выраженія съ цѣлю опредѣленія *max I* приводитъ къ довольно простому результату:

$$\frac{dI}{d\beta} = \varphi \cdot \cos 2\beta - \frac{m + 1}{m} \cdot i \cdot \sin 2\beta \dots \dots \dots \text{и.}$$

Приравнявши полученное выраженіе нулю, получимъ ур-іе, изъ котораго опредѣлится искомое значеніе переменнаго β , обращающее функцію *I* въ *max*. Оно будетъ:

$$\operatorname{tg} 2\beta = \frac{m}{m + 1} \cdot \frac{\varphi}{i} \dots \dots \dots \text{к.}$$

Возьмемъ 2-ю производную отъ *I* по β :

$$\frac{d^2 I}{d\beta^2} = -2\varphi \cdot \sin 2\beta - \frac{m + 1}{m} \cdot 2i \cdot \cos 2\beta \dots \dots \dots \text{л.}$$

Выраженіе л показываетъ, что 2-я производная будетъ менѣе 0, т. е. *I* буд. *max*, тогда, когда будутъ положительны *Sin 2β* и *Cos 2β* при положительномъ *tg 2β*, т. е. въ углѣ *BAI* на фиг. 80.

Чтобы найти *max I* по ф-лѣ з, для этого, пользуясь ф-лой н, надо вычислить *Sin* и *Cos* двойной дуги по ф-ламъ перехода:

$$\cos 2\beta = \frac{1}{\sqrt{1 + \operatorname{tg}^2 2\beta}}; \quad \sin 2\beta = \cos 2\beta \cdot \operatorname{tg} 2\beta.$$

Введемъ обозначеніе

$$m^2 \cdot \varphi^2 + i^2 \cdot (m + 1)^2 = \mathcal{H}^2 \dots \dots \dots \text{м.}$$

Тогда получимъ:

$$\cos 2\beta = i \cdot \frac{m + 1}{\mathcal{H}}; \quad \sin 2\beta = \varphi \cdot \frac{m}{\mathcal{H}}$$

$$\max I = \frac{m - 1}{2m} \cdot i + \frac{m}{2} \cdot \frac{\varphi^2}{\mathcal{H}} + \frac{(m + 1)^2}{2m} \cdot \frac{i^2}{\mathcal{H}} = \frac{m - 1}{2m} \cdot i + \frac{1}{2m} \cdot \mathcal{H}$$

$$\max I = \frac{m - 1}{2m} \cdot i + \frac{1}{2m} \cdot \sqrt{m^2 \cdot \varphi^2 + i^2 \cdot (m + 1)^2} \dots \dots \dots \text{93.}$$

Это и есть окончательная ф-ла, опредѣляющая вытяжку наиболѣе опасной, наиболѣе вытянутой линіи. Выводъ этой ф-лы былъ сдѣланъ *Saint-Venant* (въ 1837 г.).

б) *Максимальное напряженіе для растянутыхъ линій.* Чтобы получить расчетное ур-іе, надо вмѣсто зависимости между деформациями имѣть подобную же зависимость между напряженіями.

Для этого воспользуемся ϕ -лами а этого § и, кроме того, введем напряжение H наиболее растянутой линии:

$$\max I = H : E$$

$$\frac{H}{E} = \frac{m-1}{2m} \cdot \frac{h}{E} + \frac{m+1}{2m} \sqrt{\frac{m^2}{(m+1)^2} \cdot \frac{t^2}{G^2} + \frac{h^2}{E^2}}$$

Пользуясь ϕ -лой 84 и полагая $m = 4$, можно написать:

$$H = \frac{m-1}{2m} \cdot h + \frac{m+1}{2m} \sqrt{h^2 + (2t)^2}$$

$$H = \frac{3}{8} h + \frac{5}{8} \sqrt{h^2 + (2t)^2} \dots \dots \dots 94.$$

Это и есть зависимость между данными напряжениями h и t и максимальным H , с которыми будут напряжены в тѣлѣ всѣ линии, наклоненныя къ грани AB подъ угломъ β , опредѣляемымъ изъ ϕ -лы и этого §:

$$\operatorname{tg} 2\beta = \frac{m+1}{m} \cdot \frac{t}{G} : \frac{h}{E} = \frac{2t}{h} \dots \dots \dots 95.$$

Послѣ того какъ выяснено значеніе величины m и отношенія $E : G$ при выводѣ ϕ -лы 94, можно сказать, что результатъ получился бы тотъ же самый, но видъ всѣхъ ϕ -лъ нѣсколько упростился бы, если бы въ ϕ -лу 3 и послѣдующія вносить $m = 4$ и пользоваться ϕ -лой 84, а.

Если сдѣлаемъ $t = 0$, т. е. оставимъ воздѣйствіе одной только растягивающей нагрузки, тогда

по ϕ -лѣ 95 $\operatorname{tg} 2\beta = 0 \dots \dots \dots \beta = 0$;

а по ϕ -лѣ 94 $H = \frac{3}{8} h + \frac{5}{8} h = h$,

т. е. наиболее напряженными линиями въ этомъ случаѣ будутъ всѣ продольныя линии, ||-я ребру AB и работающія съ даннымъ нормальнымъ напряженіемъ h .

Если сдѣлаемъ $h = 0$, т. е. оставимъ воздѣйствіе одной только тангенціальной нагрузки, тогда по ϕ -лѣ 95:

$$\operatorname{tg} 2\beta = \infty; 2\beta = 90^\circ; \beta = 45^\circ.$$

По ϕ -лѣ 93 . . . $\max I = \frac{\varphi}{2}$.

Эти послѣдніе результаты вполне согласны съ ϕ -лой 78 b (см. § 49, б). При этомъ по ϕ -лѣ 94 будемъ имѣть:

$$H = \frac{5}{4} \cdot t, \text{ или } t = \frac{4}{5} H,$$

что вполне согласно съ ϕ -лой 82.

в) *Формула Баха*. Чтобы пользоваться ϕ -лой 94 для практическихъ цѣлей, нужно ввести въ нее вліяніе способа дѣйствія нагрузокъ, или

величину степени надежности, съ которою выполнялось бы тѣло при дѣйствіи на него каждой изъ нагрузокъ въ отдѣльности. Съ этою цѣлію проф. *Бахъ* (*Bach*) даетъ ф-лѣ 94 слѣдующій видъ:

$$H = \frac{3}{8}h + \frac{5}{8}\sqrt{h^2 + (2 \cdot x \cdot t)^2} \dots \dots \dots 96,$$

т. е. онъ вводитъ при t коэф. x (отвлеченное число), значение котораго опредѣляется сдѣлавши $h = 0$; тогда

$$H = \frac{5}{4} \cdot t \cdot x; \phi \cdot H = Z_0; \phi_1 \cdot t = S_0,$$

гдѣ Z_0 и S_0 — разрушающія напряженія матеріала при растяженіи и сдвигѣ, а ϕ и ϕ_1 — соотвѣтственные степени надежности, допускаемая при дѣйствіи нагрузокъ P и Q . Поэтому

$$x = \frac{4}{5} \cdot \frac{H}{t} = \frac{4}{5} \cdot \frac{Z_0}{\phi} \cdot \frac{S_0}{\phi_1} \dots \dots \dots 97.$$

Пусть, напр., при расчетѣ желѣзной детали взято $Z = 7$, а $S = 2,4$, т. е. растягивающая нагрузка передается на деталь спокойно, а сдвигающая — съ ударомъ, тогда

$$x = \frac{4}{5} \cdot \frac{Z}{S} = \frac{4}{5} \cdot \frac{7}{2,4} = \frac{7}{3}.$$

Въ другомъ случаѣ пусть та и другая нагрузки передаются съ ударомъ — $H = Z = 3$, $S = 2,4$, тогда

$$x = \frac{4}{5} \cdot \frac{3}{2,4} = 1,0.$$

г) *Расчетное ур-іе на растяженіе и равномерный сдвигъ.* Даны растягивающая нагрузка P и сдвигающая Q , площадь сѣченія тѣла — F , обѣ нагрузки равномерно распределены по площади сѣченія. Тогда

$$h = \frac{P}{F}; t = \frac{Q}{F}; \frac{t}{h} = \frac{Q}{P}.$$

По ф-лѣ 96:

$$H = \left\{ \frac{3}{8} + \frac{5}{8}\sqrt{1 + \left(\frac{2x \cdot Q}{P}\right)^2} \right\} \cdot h = G \cdot h,$$

гдѣ G представляетъ выраженіе, заключенное въ скобки, всегда большее 1 и являющееся въ зависимости отъ величины нагрузокъ и способа ихъ воздѣйствія на тѣло. Расчетное ур-іе получимъ, если внесемъ вмѣсто H допускаемое напряженіе Z :

$$\left. \begin{aligned} Z &= \text{или болѣе } G \cdot \frac{P}{F} \\ F &= \text{или болѣе } \frac{P}{Z \cdot G} \\ P &= \text{или менѣе } F \cdot \frac{Z}{G} \end{aligned} \right\} \dots \dots \dots 98.$$

Эта ф-ла показываетъ, что расчетъ на одновременное дѣйствіе растягивающей и сдвигающей нагрузки сводится къ расчету на дѣйствіе одной лишь растягивающей нагрузки, но съ напряженіемъ, меньшимъ обычно допускаемаго, и это уменьшеніе дѣлается въ зависимости отъ величины обѣихъ нагрузокъ и способа ихъ воздѣйствія. Такъ, напр.

$\frac{Q}{P} = \frac{1}{10}$	$\frac{1}{5}$	$\frac{1}{4}$	$\frac{1}{3}$	$\frac{1}{2}$	$\frac{3}{4}$	$\frac{7}{8}$	1	2	10
$\Gamma = 1,01$	1,05	1,08	1,13	1,26	1,5	1,63	1,78	2,95	12,9

Изъ данныхъ этой таблички видно, какъ быстро возрастаетъ величина Γ по мѣрѣ увеличенія отношенія заданныхъ нагрузокъ.

Вопросы для повторенія главы о сдвигѣ.

Что называется тангенціальнымъ напряженіемъ? Какъ происходитъ явленіе перекашиванія при растяженіи и сжатіи? Отчего нельзя произвести опыта надъ явленіемъ чистаго сдвига, когда грани п-да не испытываютъ ни растяженія, ни сжатія? Какими свойствами обладалъ бы п-дъ, испытывающій чистый сдвигъ? Какъ пишется законъ Гука при сдвигѣ и расчетное ур-е? Какъ происходитъ явленіе пробиванія металловъ? Какая зависимость существуетъ между обоими коэфф упругости — 1-го и 2-го рода?

Явленіе сдвига на срезкѣ двухъ тѣлъ, \perp -номъ къ оси вращенія ихъ. Распредѣленіе напряженій, условия равновѣсія, расчетное ур-е. Какъ уничтожаются добавочныя давления на ось? Что такое полярный *момент* инерціи, выраженіе его для круга относительно различныхъ осей. Выгоды и невыгоды круглаго *центрального* срезка.

Видъ ф-лы *Баха* при одновременномъ воздѣйствіи тангенціальной и нормальной нагрузки, значеніе его коэфф α ; можетъ-ли онъ быть $= 1$ и больше 1; что для этого необходимо?

П дъ былъ рассчитанъ прочно на сдвигъ; нагрузку удвоили, какъ распорядиться выборомъ размѣровъ новаго п-да, чтобы приращеніе вѣса вышло *тѣ* при расчетѣ съ прежней степенью надежности?

С В О Д Ъ

главныхъ формулъ и данныхъ изъ главы о сдвигѣ.

а) *Равномерное распределеи тангенциальныхъ напряженій.*

$$\left. \begin{array}{l} \text{Тангенциальное на-} \\ \text{пряженіе въ } \kappa. \text{ на} \\ \text{кв. мм.} \end{array} \right\} = \frac{\text{Сила сдвига въ } \kappa.}{\text{Площадь въ кв. мм.}} \left. \vphantom{\frac{\text{Сила сдвига въ } \kappa.}{\text{Площадь въ кв. мм.}}} \right\} \S 48.$$

$$t = \frac{Q}{F} \dots \dots \dots$$

$$\left. \begin{array}{l} \text{Тангенциальное на-} \\ \text{пряженіе на грани} \\ \text{п-да.} \end{array} \right\} = \left. \begin{array}{l} \text{Тангенциальному напряженію въ произ-} \\ \text{вольной плоскости, } \parallel \text{-й этой грани, и въ} \\ \text{плоскости, } \perp \text{-й къ этой грани.} \end{array} \right\} \dots 77$$

$$t = t_1 \dots \dots \dots / \dots \dots \dots \left. \vphantom{\frac{\text{Тангенциальному напряженію въ произ-}}{\text{вольной плоскости, } \parallel \text{-й этой грани, и въ}}} \right\} \S 48.$$

$$\left. \begin{array}{l} \text{Перекозь (отвлечен-} \\ \text{ное число).} \end{array} \right\} = \frac{\text{Сдвигъ точки въ мм.}}{\text{Разстояніе сдвигаемой точки отъ непо-} \\ \text{движной въ мм.}}$$

$$\left. \begin{array}{l} \text{Коэффициентъ упру-} \\ \text{гости 2-го рода въ} \\ \kappa. \text{ на кв. мм.} \end{array} \right\} = \frac{\text{Тангенциальное напряженіе въ } \kappa. \text{ на кв.}}{\text{мм.}} \left. \vphantom{\frac{\text{Тангенциальное напряженіе въ } \kappa. \text{ на кв.}}{\text{мм.}}} \right\} \dots 79$$

$$\left. \begin{array}{l} \text{Перекозь (отвлеченное число).} \\ G = \frac{t}{\varphi} \dots \dots \dots \\ G = 0,4 \cdot E \end{array} \right\} \S 49.$$

Расчетное ур-іе на сдвигъ:

$$\left. \begin{array}{l} \text{Допускаемое напря-} \\ \text{женіе въ } \kappa. \text{ на кв.} \\ \text{мм.} \end{array} \right\} > \frac{\text{Безопасная нагрузка въ } \kappa.}{\text{Безопасная площадь въ кв мм.}} \left. \vphantom{\frac{\text{Безопасная нагрузка въ } \kappa.}{\text{Безопасная площадь въ кв мм.}}} \right\} \dots 80$$

$$S = \text{или болѣе } \frac{Q}{F} \dots \dots \dots \left. \vphantom{\frac{Q}{F}} \right\} \S 50.$$

Допускаемое напряженіе при сдвигѣ — около $\frac{4}{5}$ допускаемаго на-
пряженія при растяженіи.

б) *Напряженія равномерно возрастаютъ, идя отъ нѣкоторой оси.*

$$\frac{\text{Max. напряженія.}}{\text{Напряженіе въ данной точкѣ.}} = \frac{\text{Разстояніе крайней } \left. \begin{array}{l} \text{точки отъ оси} \\ \text{вращенія} \end{array} \right\} \dots 85}{\text{Разстояніе данной } \left. \begin{array}{l} \text{точки отъ оси} \\ \text{вращенія} \end{array} \right\} \S 53.}$$

$$\left. \begin{array}{l} \text{Вращательный моментъ.} \\ \text{Напряженіе въ крайней точкѣ.} \end{array} \right\} = \frac{\text{Полярный моментъ инерціи площ. сродка относительно оси вращенія.}}{\text{Разстояніе крайней точки сродка отъ оси вращенія.}} \dots 86$$

$$M = \frac{H \cdot I_a}{R} \dots \dots \dots$$

$$\left. \begin{array}{l} \text{Давленіе на ось при нецентральному сродкѣ.} \\ \text{Напряженіе сдвига при центрѣ тяжести сродка} \end{array} \right\} = \frac{\text{Площадь сродка.}}{\dots} \dots 88,а$$

$$K = h_0 \cdot F \dots \dots \dots$$

$$\left. \begin{array}{l} \text{Полярный моментъ инерціи центрального круглага сродка} \end{array} \right\} = \frac{\text{Четвертая степень диаметра сродка}}{10} \dots \dots 89.$$

$$I_0 = 0,1 \cdot d^4 \dots \dots \dots$$

в) Ф-ла Баха при одновременномъ дѣйствіи силъ растяженія и сдвига (§ 55).

$$\left. \begin{array}{l} \text{Max. напряжен.} \\ \text{Нормал. напряж.} \end{array} \right\} = \frac{3}{8} \times \left\{ \begin{array}{l} \text{Нормал. напряж.} + \frac{5}{8} \sqrt{(\text{Нормал. напряж.})^2 + (2x \times \text{тангенціальное напряж.})^2} \\ H = \frac{3}{8} h + \frac{5}{8} \sqrt{h^2 + (2x \cdot t)^2} \end{array} \right\} \dots 96$$

$$\left. \begin{array}{l} \text{Коэф. Баха } x \\ \text{Допускаемое нормальное напряженіе.} \end{array} \right\} = \frac{4 \times \text{Допускаемое тангенціальное напряженіе.}}{5 \times \text{Допускаемое нормальное напряженіе.}} \dots 97$$

$$X = \frac{4}{5} \cdot \frac{H}{t} = \frac{4}{5} \cdot \frac{Z_0}{\phi} \cdot \frac{S_0}{\phi_1} \dots \dots \dots$$

Расчетное ур-іе на растяжене и сдвигъ:

$$\left. \begin{array}{l} Z = \text{или болѣе } \frac{\Gamma \cdot P}{F} \\ \Gamma = \frac{3}{8} + \frac{5}{8} \sqrt{1 + \left(\frac{2x \cdot Q}{P} \right)^2} \\ h = P : F; t = Q : F \end{array} \right\} \dots \dots \dots 98$$

Сопротивленіе тѣлъ крученію.

56. Деформированіе крутимаго цилиндра. Пусть имѣемъ *круглый цилиндръ*, лѣвое основаніе O_1 (фиг. 81) у котораго остается неподвижнымъ, а въ плоскости праваго основанія O дѣйствуетъ пара силъ QQ . Если дѣйствіемъ этой пары неподвижность скрѣпленія цилиндра съ плоскостью E не нарушается, въ такомъ случаѣ притти въ движеніе цилиндръ не можетъ, а только деформируется, закручивается. Пока получаются упругія деформаци, самое явленіе крученія происходитъ слѣдующимъ образомъ:

- 1) ось цилиндра не искривляется;
- 2) длина цилиндра не измѣняется;
- 3) окружности, ограничивающія поперечныя сѣченія тѣла, сохраняютъ свои размѣры и форму, т. е. остаются въ первоначальной плоскости и послѣ крученія;
- 4) образующія цилиндра послѣ закручиванія обращаются въ винтовыя линіи

Если и внутри тѣла явленіе происходитъ такимъ же образомъ, какъ наружу, то нужно допустить, что всѣ матеріальныя точки, лежащія до закручиванія въ нѣкоторой плоскости, продолжаютъ оставаться въ ней и послѣ закручиванія, сохраняя въ то же время свою относительную группировку и въ плоскости сѣченія вообще, и на отдѣльныхъ радіусахъ векторахъ въ частности. Нужно представить себѣ, слѣдовательно, что группа матеріальныхъ частицъ, составляющихъ поперечное сѣченіе, при этомъ сдвигается только относительно смежнаго сѣченія, и что всѣ такіе сдвиги при переходѣ отъ одного сѣченія къ другому совершенно одинаковы.

Изъ всего этого видно, что сущность явленія при крученіи круглаго цилиндра ничѣмъ не отличается отъ разсмотрѣннаго уже нами явленія сдвига на сrostкѣ двухъ тѣлъ, \perp -номъ къ общей оси вращения ихъ (§ 53), если говорить о центральномъ кругломъ сrostкѣ и допустить, что по всей длинѣ крутимаго цилиндра мы имѣемъ безконечно большое число сrostковъ.

Если ABC (фиг. 81) будетъ образующая цилиндра до закручиванія и AB_1C_1 —винтовая линія, въ которую обращаетъ ее пара QQ , то BB_1 , CC_1 —будутъ сдвиги на поверхности относительно первоначальнаго направленія, и уголъ CO_1C_1 наз. *угломъ закручиванія*, который получился на данной длинѣ цилиндра $OO_1 = l$.

Измѣняя при опытахъ діам. цилиндра d , длину его l и закручивающій моментъ M , можно было выяснитъ вліяніе каждаго изъ этихъ факторовъ на величину угла закручивания θ . Сдѣлавши разработку подобныхъ опытныхъ данныхъ, пришли къ слѣд. ф-лѣ:

$$\theta = b \cdot \frac{M \cdot l}{d^4} \dots \dots \dots a,$$

т. е. уголъ закручивания прямо пропорционаленъ первымъ степенямъ закручивающаго момента и длины цилиндра и обратно пропорционаленъ 4-й степени его діаметра. Величина b есть опытный числовой коэф., который находится въ зависимости отъ рода матеріала, подвергаемаго испытанію.

При опытахъ съ мягкой сталью Баушмигерь получалъ величину θ на длинѣ въ 1 мт. въ 438° , и деформациі цилиндра получались все еще упругими. Настолько сильнымъ можетъ быть перекручиваніе цилиндра при спокойномъ дѣйствіи нагрузки.

57. Распредѣленіе напряженій въ плоскости сѣченія и по длинѣ цилиндра. Расчетное ур-іе. Законъ распредѣленія напряженій въ поперечномъ сѣченіи будетъ здѣсь, очевидно, тотъ же, что и на срезкѣ двухъ тѣлъ, \perp -мъ къ общей оси вращенія ихъ (§ 53, а). Въ произвольномъ сѣченіи O_2 цилиндра возьмемъ радіусъ O_2B (фиг. 81) и на немъ двѣ точки B и m на разстояніяхъ R и r отъ оси цилиндра, которую называютъ здѣсь также осью крученія. Напряженія въ точкахъ B и m пусть будутъ H и h , тогда

$$h = \frac{r}{R} \cdot H \dots \dots \dots 85 \text{ (см. § 53, а).}$$

На продолженіи радіуса O_2B найдутся двѣ другія матеріальныя точки D и n , діаметрально противоположныя B и m , и въ этихъ точкахъ напряженіе будетъ одинаково съ B и m . Другими словами, внутреннія силы сопротивленія въ каждомъ изъ сѣченій приводятся къ парамъ силъ, которыя и должны уравновѣсить собою дѣйствіе внѣшней пары съ моментомъ M . Напишемъ ур-іе моментовъ (§ 53, в.).

$$M = \int r \cdot h \cdot dF = \frac{H}{R} \int r^2 \cdot dF = \frac{H}{R} \cdot I_0 \dots \dots \dots 92.$$

Это и есть ур-іе равновѣсія, найденное нами въ случаѣ круглаго центральнаго срезка (ф-ла 92), только здѣсь оно примѣнимо не къ одному сѣченію цилиндра, а ко всѣмъ.

Въ плоскости даннаго поперечнаго сѣченія напряженіе H на внѣшней окружности цилиндра является наибольшимъ, но при переходѣ отъ одного поперечнаго сѣченія къ другому величина H не измѣняется, такъ какъ ур-іе равновѣсія (ф-ла 92 этого §) написана для произвольнаго сѣченія O_2 . Слѣдовательно, при передачѣ закручивающаго момента изъ одного поперечнаго сѣченія круглаго цилиндра въ другое сѣче-

не, напряжение сдвига на поверхности цилиндра остается постоянным, и все поперечныя сѣченія его являются **равноопасными**. На чертежѣ (фиг. 81) мы выразимъ это, проведя *кривую напряжений* въ видѣ прямой KL_1 , ||-й верхней образующей цилиндра KL , на разстояніи

$$KK_1 = LL_1 = H = T,$$

гдѣ T —допускаемое или расчетное напряжение при крученіи.

Два другія условія равновѣсія, т. е.

$$\Sigma X = 0, \Sigma Y = 0,$$

удовлетворяются здѣсь сами собою, потому что и нагрузка и силы сопротивленія приводятся здѣсь къ парамъ силъ.

Чтобы получить изъ ур-я **92** расчетное, надо внести въ него вмѣсто наибольшаго напряжения H допускаемую при крученіи величину T .

Отношеніе полярнаго момента инерціи I_0 къ радіусу цилиндра R , т. е. къ разстоянію наиболѣе напряженныхъ точекъ сѣченія отъ оси крученія, называется *модулемъ сопротивленія* крутимаго цилиндра и обозначается такъ:

$$W_0 = I_0 : R.$$

Послѣ этого расчетное ур-іе напишется такъ (см. ф-лу **92**):

безопасное напряжение

$$T = \text{или болѣе } M : W_0 \dots \dots \dots$$

безопасный модуль сопротивленія

$$W_0 = \text{или болѣе } M : T \dots \dots \dots$$

безопасный закручивающій моментъ

$$M = \text{или менѣе } T \cdot W_0 \dots \dots \dots$$

}...99

Слѣдовательно, *закручивающій моментъ* = произведенію изъ *допускаемаго напряжения* на *модуль сопротивленія* Расчетное ур-іе при крученіи имѣетъ столь же простой видъ, какъ и при растяженіи, сжатіи, сдвигѣ, только вмѣсто нагрузки при крученіи вводится въ ур-іе закручивающій моментъ, а вмѣсто площади сѣченія вводится модуль сопротивленія.

58. Величины допускаемыхъ напряженій при крученіи. Величины разрушающихъ напряженій при крученіи T_0 бываютъ или близки къ тѣмъ, которыя получаются при опытахъ на растяженіе, или менѣе ихъ; только въ рѣдкихъ случаяхъ, при некруглой формѣ сѣченія, T_0 получается болѣе Z_0 . Болѣе или менѣе значительное сопротивленіе крученію оказываютъ сталь и желѣзо. Чугунъ и дерево являются весьма слабымъ матеріаломъ по отношенію къ закручиванію и мало способными выносить на себѣ дѣйствіе крутящихъ моментовъ, измѣняющихся по величинѣ и по направленію.

Величины допускаемыхъ напряженій можно брать изъ табл. 11-й.

Таблица 11-я.

Название материаловъ.	Величины T въ <i>кг.</i> на кв. <i>мм.</i>	
	въ передачахъ съ непрерывнымъ вращеніемъ на быстромъ ходу	при отсутствіи непрерывнаго вращенія
Сталь	5—2,5	8—6
Желѣзо	3,5—1,2	5—3,5
Чугунъ:		
а) сплошное круглое сѣченіе . .	—	2,5—1,3
б) полое " "	1,2	2,0—1,0
Дерево	—	0,6—0,3

Максимальное напряженіе T_1 въ стали, при которомъ получаются все еще упругія деформации, достигаетъ тѣмъ большей величины, чѣмъ больше содержитъ сталь углерода. Такъ, по опытамъ *Баушмгера* при содержаніи углерода 0,46% величина T_1 можетъ доходить до 15 *кг.* на кв. *мм.*, а при содержаніи углерода въ 0,96%— $T_1 =$ до 27 *кг.*

Величины допускаемыхъ напряженій при расчетѣ желѣзныхъ приводныхъ валовъ на крученіе встрѣчаются иногда гораздо ниже указанныхъ въ табл. 11-й— $T =$ отъ 2,0 до 0,75, но это объясняется другой причиной: приводные валы слѣдовало бы рассчитывать на крученіе и сгибаніе, а ихъ рассчитываютъ только по закручивающему моменту и покрываютъ неточность расчета допущеніемъ малой величины T въ такой мѣрѣ, что въ большинствѣ случаевъ, производя повѣрочный точный расчетъ такимъ образомъ осуществленныхъ валовъ, находятъ размѣры ихъ не только безопасными для той нагрузки, при которой имъ приходится работать, но иногда и прямо излишне крѣпкими.

59. Величины модулей сопротивленія. а) *Сплошное круглое сѣченіе.* По ф-лѣ 89:

$$I_0 = 0,1 \cdot d^4; R = \frac{d}{2},$$

$$W_0 = I_0 : R = 0,2 \cdot d^3 \dots \dots \dots 100$$

Величины модулей при различныхъ диаметрахъ даны въ табл. 12-й, но для сокращенія письма они даны въ сантиметрахъ; для перехода отъ однихъ мѣръ къ другимъ служитъ слѣдующая ф-ла:

$$W_0 \text{ въ мм.} = 1000 \cdot W_0 \text{ въ см.}$$

Таблица 12-я

Діам. d въ мм., модули W_0 — въ см. ³					
d	W_0	d	W_0	d	W_0
35	8,58	75	84,38	115	302,18
40	12,8	80	102,4	120	345,6
45	18,23	85	122,83	125	390,63
50	25	90	145,8	130	439,4
55	33,28	95	171,48	135	492,08
60	43,2	100	200,0	140	548,8
65	54,93	105	231,53	145	609,73
70	68,6	110	266,2	150	675,0

Таблица 12-я приведена съ двойкой цѣлю:

- 1) чтобы облегчить веденіе провѣрочныхъ расчетовъ для валовъ,
- 2) чтобы разъ навсегда уяснить себѣ, какое вліяніе имѣеть увеличеніе діаметра вала на величину передаваемого имъ момента.

Провѣрочные расчеты приводныхъ и другихъ валовъ *тогда только* можно дѣлать по окончательнымъ, готовымъ формуламъ вида

$$d = A \cdot \sqrt[3]{M},$$

опредѣляющимъ діаметръ вала по закручивающему моменту, или вида

$$d = C \cdot \sqrt[3]{N : n},$$

опредѣляющимъ діаметръ вала по передаваемой имъ работѣ N (въ лощ. сил.) и числу оборотовъ его n въ мин., когда при такой ф-лѣ есть указаніе, съ какимъ напряженіемъ матеріала валъ будетъ работать при этомъ, и когда выяснено, что это напряженіе будетъ подходящимъ при данныхъ условіяхъ работы вала. Иначе необходимо пользоваться расчетными ф-лами 99 и таблицей 12-й.

Данныя этой таблицы ясно указываютъ въ то же время, какъ быстро возрастаетъ величина модуля W_0 , а стало быть и величина крутящаго момента M , съ увеличеніемъ d . При возрастаніи діам. съ 40 на 45 мм. модуль увеличивается съ 12,8 на 18,23, т. е. на 5,43, тогда какъ при возрастаніи діам. съ 140 на 145 мм. модуль увеличивается съ 548,8 на 609,73, т. е. на 60,93 см.

Эти данныя указываютъ на то, что наиболѣе всего помогаютъ сопротивленію при крученіи вала внѣшніе элементы его сѣченія, наиболѣе удаленные отъ оси крученія, и что поэтому для увеличенія крѣпости вала и уменьшенія его вѣса выгодно развивать внѣшніе элементы сѣченія, наиболѣе дѣятельные, и удалять тѣ изъ нихъ, которые ближе прилегаютъ къ оси крученія и по своему положенію мало способны къ дѣятельному сопротивленію. Это даетъ мысль о выгодности употребленія

пустотѣлыхъ валовъ, или *полыхъ*, съ круглымъ кольцевымъ или *полымъ* сѣченіемъ.

б) *Полое круглое сѣченіе.* Если говорятъ, что сплошной валъ съ діам. d и полый валъ съ діам. d_1 и d_0 (фиг. 82) одинаково прочны на крученіе, это значить, что оба они рассчитаны съ одной и той же степенью надежности

Называя допускаемыя величины напряженій соотвѣтственно чрезъ T и T_1 , мы должны сказать, что при одинаковой крѣпости валовъ эти величины должны относиться, какъ соотвѣтственныя величины, коэф. крѣпости. Для стального и желѣзнаго полого вала это будетъ обозначать, что

$$T_1 = T,$$

а для чугунаго полого вала, сообразно природѣ матеріала, требуется для этого, чтобы

$$T_1 = 0,8 \cdot T,$$

т. е. при расчетъ чугунныхъ полыхъ валовъ на крученіе надо брать допускаемое напряженіе на 20% ниже, чѣмъ при расчетъ сплошныхъ чугунныхъ валовъ.

Величина модуля сопротивленія въ случаѣ полого сѣченія напишется такъ:

$$W_0 = \frac{I_0}{R} = \frac{0,1 (d_1^4 - d_0^4)}{0,5 \cdot d_1},$$

$$W_0 = 0,2 \cdot \frac{d_1^4 - d_0^4}{d_1} = 0,2 \cdot d_1^3 \cdot \left[1 - \frac{d_0^4}{d_1^4} \right]. \dots 101^*).$$

При расчетѣ полыхъ валовъ обыкновенно задаются отношеніемъ $d_0 : d_1$. Въ чугунныхъ и стальныхъ валахъ это отношеніе выбирается отъ 0,5 до 0,75. При расчетѣ желѣзныхъ полыхъ валовъ, которые получаютъ прокаткою и для которыхъ данными величинами бываютъ *внѣшній діам. и толщина стѣнки*, удобнѣе бываетъ рѣшать вопросъ о крѣпости ихъ, заготовивъ таблицу, подобную табл. 12-й, гдѣ были бы указаны главные размѣры сѣченія вала и его модуль.

Выраженіе 101 возможно представить иначе:

$$W_0 = B \cdot d_1^3,$$

гдѣ B будетъ коэф., зависящій исключительно отъ величины отношенія $d_0 : d_1$. Его можно имѣть подготовленнымъ заранѣе:

$\frac{d_0}{d_1} \dots 0,5$	0,55	0,6	0,65	0,7	0,75
$B \dots 0,1875$	0,1816	0,1741	0,1643	0,1520	0,1367

*) Случалось слышать отвѣтъ, что для получения модуля сопротивленія полого сѣченія надо взять модуль внѣшняго очертанія и вычесть изъ него модуль внутренняго очертанія, оба по ф. гл. 100, т. е.

$$0,2 (d_1^3 - d_0^3)$$

Въ исключительныхъ случаяхъ, когда $d_0 : d_1$ будетъ близко къ 1, написанное невѣрное выраженіе бываетъ близко къ истинному.

60. **Величины закручивающихъ моментовъ.** Когда опредѣленіе діам. вала дѣлается въ мм., выраженіе M должно быть вносимо въ ф-лы 99 въ кг.-мм., W_0 —въ мм. (3-степени) и T —въ кг. на кв. мм. Если M дано въ кг.-мт., то нужно пользоваться ф-лой перехода

$$M \text{ кг.-мм.} = 1000 \cdot M \text{ кг.-мт.}$$

Весьма часто вмѣсто передаваемого валомъ момента данными для расчета служатъ: N — работа, передаваемая валомъ, въ лош. силахъ (по 75 кг.-мт.) и n —число оборотовъ вала въ 1 минуту. Формула перехода составитъ такъ: если D будетъ плечо пары QQ (фиг. 81), а v — скорость точки приложенія нагрузки, то

$$N \text{ лош. сил.} = \frac{2 Q^{кг} \times v^{мм.}}{75} = \frac{2 Q^{кг} \cdot \pi \cdot D^{мм.} \cdot n}{75 \cdot 60}$$

$$M \text{ кг.-мт.} = Q^{кг} \cdot D^{мм} = 716,2 \cdot \frac{N}{n} \dots \dots \dots 102$$

т. е. *крутящій мом въ кг.-мт. равняется произведенію 716,2 на отношеніе передаваемой валомъ работы въ лош. сил. и въ секунду къ числу его оборотовъ въ минуту.*

Для быстрыхъ соображеній о крѣпости валовъ ниже приводится таблица 13-я, въ которой по заданному отношенію $n : N$ можно имѣть готовую величину M въ кг.-мт.

Т а б л и ц а 13-я.

M — въ кг.-мт.					
$\frac{n}{N}$	M	$\frac{n}{N}$	M	$\frac{n}{N}$	M
1,25	572,96	6	119,37	25	28,65
1,5	477,47	7	102,31	30	23,87
1,75	409,26	8	89,53	40	17,91
2	358,10	9	79,58	50	14,32
2,5	286,48	10	71,62	60	11,94
3	238,73	12,5	57,29	70	10,23
3,5	204,63	15	47,75	80	8,95
4	179,05	17,5	40,93	90	7,96
5	143,24	20	35,81	100	7,16

Когда встрѣтятся случай подсчитыванія M при отношеніи $n : N$, не указанномъ въ таблицѣ 13-й, результатъ слѣдуетъ вписать въ нее, и такимъ образомъ она мало-по-малу будетъ пополняться новыми цифрами.

61. **Задачи. № 34.** Сплошной и полый валь исполнены въ видѣ одинаковой длины цилиндровъ, и на изготовленіе ихъ потрачена одна и та же масса матеріала. Найти отношеніе передаваемыхъ ими моментовъ.

Удерживая тѣ же обозначенія, что и ранѣе, главное условіе задачи выразимъ формулою:

$$d^3 = d_1^3 - d_0^3 \dots \dots \dots \text{ а.}$$

Называя моментъ, передаваемый сплошнымъ валомъ чрезъ M , а полымъ—чрезъ M_1 , и соотвѣтственныя допускаемыя напряженія—чрезъ T и T_1 , будемъ имѣть (см. ф-лы 99, 100 и 101):

$$M = T \cdot 0,2 \cdot d^3,$$

$$M_1 = T_1 \cdot 0,2 \cdot \frac{d_1^4 - d_0^4}{d_1}, \text{ откуда}$$

$$\frac{M_1}{M} = \frac{T_1}{T} \cdot \frac{d_1^4 - d_0^4}{d_1 \cdot d^3} = \frac{T_1}{T} \cdot \frac{(d_1^2 - d_0^2)(d_1^2 + d_0^2)}{d_1 \cdot d^3}$$

При помощи ф-лы а это выраженіе приводится къ слѣдующему.

$$\frac{M_1}{M} = \frac{T_1}{T} \cdot \frac{2d_1^2 - d^2}{d_1 \cdot d} \dots \dots \dots \text{ 103.}$$

Если $T_1 = T$, то

$$\frac{M_1}{M} = 2 \cdot \frac{d_1}{d} - \frac{d}{d_1},$$

но такъ какъ $d_1 : d$ здѣсь всегда болѣе 1. слѣд.

$$2 \cdot \frac{d_1}{d} \text{ болѣе двухъ,}$$

и отношеніе $M_1 : M$ получается всегда болѣе 1. Пусть, напр.,

$$\frac{d_1}{d} = 2 \dots \frac{M_1}{M} = 3,5$$

$$" \quad 3 \dots " = 5,66 \text{ и т. д.}$$

Этимъ доказывается выгодность употребленія желѣзныхъ и стальныхъ полыхъ валовъ.

Въ случаѣ чугуна $T_1 = 0,8 \cdot T$. Чтобы сдѣлалось выгоднымъ употреблять полый валь, необходимо удовлетворить неравенство:

$$0,8 \cdot \frac{2d_1^2 - d^2}{d_1 \cdot d} \text{ болѣе 1.}$$

Отношеніе $d_1 : d$, начиная съ котораго это неравенство будетъ удовлетворяться само собою, получится, рѣшая квадратное ур-іе:

$$2d_1^2 - d^2 = \frac{d_1 \cdot d}{0,8}, \text{ или}$$

$$\left(\frac{d_1}{d}\right)^2 - 0,625 \cdot \frac{d_1}{d} - 0,5 = 0, \text{ откуда } \frac{d_1}{d} = 1,085.$$

Такимъ образомъ можно сказать, что и чугунные валы *всегда* выгодно дѣлать полыми, потому что діам. d_1 полого вала всегда можетъ превосходить діам. сплошного d на величину, большую 8,5%.

Нужно думать, что будущее принадлежитъ пустотѣлымъ валамъ—желѣзнымъ и стальнымъ. Въ практикѣ построения валовъ, рассчитанныхъ на большія величины передаваемой работы, полые валы и теперь уже во многихъ случаяхъ предпочитаютъ сплошнымъ (валы большихъ паровыхъ и крупныхъ заводскихъ паровыхъ машинъ).

№ 35. Вращательный моментъ M въ двухъ случаяхъ передается двумя различными способами: въ 1-мъ случаѣ для этого имѣется 1 валъ съ длиной l и постояннымъ діам. d на всей длинѣ; во 2-мъ случаѣ для этого имѣется m валовъ съ длиной $l:m$ и постояннымъ діам. d_1 на всей ихъ длинѣ. Оба вала—изъ одного и того же матеріала и рассчитаны съ однимъ и тѣмъ же напряженіемъ T . Въ какомъ отношеніи между собою находятся вѣса этихъ валовъ?

Расчетныя ур-ія для обоихъ валовъ будутъ:

$$M = T \cdot 0,2 \cdot d^3,$$

$$\frac{M}{m} = T \cdot 0,2 \cdot d_1^3, \text{ откуда}$$

$$d^3 = m \cdot d_1^3, \text{ или}$$

$$d_1 = d : \sqrt[3]{m} \dots \dots \dots \text{ б,}$$

Если γ — вѣсъ куб. единицы матеріала валовъ, то вѣса ихъ въ обоихъ случаяхъ будутъ:

$$q = \frac{\pi}{4} \cdot d^2 \cdot l \cdot \gamma$$

$$q_1 = m \cdot \frac{\pi}{4} \cdot d_1^2 \cdot \frac{l}{m} \cdot \gamma, \text{ откуда}$$

$$\frac{q_1}{q} = \left(\frac{d_1}{d}\right)^2 = 1 : \sqrt[3]{m^2} \dots \dots \dots \text{ в.}$$

Ф-ла в показываетъ, что 2-я комбинація валовъ имѣетъ меньшій вѣсъ, чѣмъ 1-я:

при $m = 2$...	$q_1 : q = 0,63,$
„ „ = 3	...	„ „ = 0,48,
„ „ = 4	...	„ „ = 0,40.

Эти цифры показываютъ, насколько выгодно дробленіе всей передаваемой работы между отдѣльными валами.

На фиг. 83 данъ случай, когда $m = 1$, и весь валъ рассчитанъ по одному и тому же моменту M , который воспринимается валомъ въ сѣченіи A и затѣмъ раздается по длинѣ вала въ отдѣльныхъ мѣстахъ различнымъ машинамъ. Расчетная кривая моментовъ для вала изобра-

жена здѣсь прямой $CD \parallel AB$. Дѣйствительная же кривая моментовъ изобразится нѣкоторой ломаной линіей 1, 2...7, 8, показанной на фиг. 83 пунктиромъ. Въ пунктахъ 1, 2...7, 8 разставлены машины, и уступы ломаной линіи отмѣчаютъ, какой моментъ потребляетъ каждая изъ машинъ. По чертежу видно, что расчетный *мом* передается только на линію Cl (фиг. 83), а на всей остальной части вала расчетный моментъ для вала во много разъ превосходить дѣйствительно необходимый въ этомъ мѣстѣ вращательный *мом*; и во всей остальной части вала, въ особенности въ правой его половинѣ, валъ во много разъ будетъ излишне крѣпокъ.

На фиг. 84 представленъ другой примѣръ раздачи того же *мом* M при другой группировкѣ машинъ и другомъ расположеніи двигателя, а именно при $m = 2$. Здѣсь двигатель находится въ срединѣ длины вала $AB_1 = AB_2 = 0,5 \cdot l$, и каждая половина вала воспринимаетъ на себя половину же и величины *мом* M ; прямая $C_1 D_1$ замѣняетъ собою расчетную кривую моментовъ, — $B_1 D_1 = B_2 C_1 = 0,5 M$, а двѣ ломаныя линіи 1...4, 5...8 показываютъ дѣйствительный ходъ раздачи момента. Разница между ординатами расчетной кривой и дѣйствительной здѣсь выходитъ уже гораздо менѣе, и матеріалъ, употребленный на изготовленіе вала, здѣсь утилизируется гораздо лучше, чѣмъ въ 1-мъ случаѣ.

Случаи раздачи работы при $m = 3, 4 \dots 8, 10$ встрѣчаются въ практикѣ во множествѣ при устройствѣ многоэтажныхъ и одноэтажныхъ прядильныхъ и ткацкихъ фабрикъ. Дробленіе работы при передачахъ ея отъ двигателя къ приводнымъ валамъ съ удобствомъ дѣлается въ настоящее время посредствомъ канатной и ременной передачъ.

№ 36. Два вала одинаковой длины съ діам. d и d_1 передаютъ одну и ту же работу N лощ. силъ. но при различныхъ числахъ оборотовъ въ мин. n и n_1 и различныхъ допускаемыхъ напряженіяхъ T и T_1 . Определить отношеніе ихъ вѣсовъ.

Расчетныя ур-ія' этихъ валовъ будутъ.

$$716\ 200 \cdot \frac{N}{n} = T \cdot 0,2 \cdot d^3$$

$$716\ 200 \cdot \frac{N}{n_1} = T_1 \cdot 0,2 \cdot d_1^3, \text{ откуда}$$

$$n \cdot T d^3 = n_1 \cdot T_1 \cdot d_1^3 \dots \dots \dots \Gamma,$$

т. е. въ валахъ, передающихъ одну и ту же работу, произведе-
ніе изъ числа оборотовъ на допускаемое напряженіе матеріала и на кубъ
діаметра вага есть величина постоянная. Откуда:

$$\frac{d}{d_1} = \sqrt[3]{\frac{n_1 \cdot T_1}{n \cdot T}} \dots \dots \dots \Delta$$

Вѣсъ этихъ двухъ валовъ соответственно будетъ:

$$q = \frac{\pi}{4} \cdot d^2 \cdot l \cdot \gamma; \quad q_1 = \frac{\pi}{4} \cdot d_1^2 \cdot l \cdot \gamma_1$$

$$\frac{q}{q_1} = \frac{d^2 \cdot \gamma}{d_1^2 \cdot \gamma_1} = \frac{\gamma}{\gamma_1} \cdot \sqrt[3]{\left(\frac{n_1 T_1}{n \cdot T}\right)^2} \dots \dots \dots e.$$

Пусть $\gamma = \gamma_1$, $n = 70$, $T = 1,5$
 $n_1 = 100$, $T_1 = 2,1$

Эти числовые данные соответствуют тѣмъ, которыя принимались въ прежнее время при устройствѣ механическихъ заводовъ, и тѣмъ, которыя принимаются теперь, руководствуясь опытомъ заграничныхъ заводовъ, по преимуществу американскихъ. По ф-лѣ е получимъ

$$\frac{q}{q_1} = \sqrt[3]{\left(\frac{100 \cdot 2,1}{70 \cdot 1,5}\right)^2} = \sqrt[3]{4} = 1,587,$$

т. е. во 2-мъ случаѣ приводные валы по крайней мѣрѣ на 50% м б. легче, чѣмъ въ 1-мъ случаѣ.

№ 37. Для расчета валовъ даются въ различныхъ справочныхъ книжкахъ формулы типа

$$d = C \cdot \sqrt[3]{N : n},$$

причемъ величина коэф. C въ разныхъ книжкахъ дается различная, въ одномъ случаѣ d дано въ дюймахъ, въ другомъ—въ мм., но и въ томъ и другомъ случаѣ встрѣчаются указания, что C надо брать различно. Показать, какъ обр. слѣдуетъ переходить отъ ф-лѣ съ одними наименованьями къ ф-ламъ съ другими наименованьями и опредѣлить напряженіе материала, которое допущено при расчетѣ.

Ф-ла перехода имѣеть въ этомъ случаѣ весьма простой видъ и запоминается легко:

$$\frac{d^{m.m}}{d^{д.м}} = \frac{C^{m.m}}{C^{д.м}} = 25,4$$

Зависимость между величиною C и напряженіемъ материала получится сравненіемъ общей расчетной ф-лы:

$$M = 716\,200 \cdot \frac{N}{n} = T \cdot 0,2 \cdot d^3$$

и данной ф-лы $C^3 \cdot \frac{N}{n} = d^3,$

откуда $C^3 = \frac{716\,200}{0,2 \cdot T} \dots \dots \dots$ ж.

$$T = \frac{3\,581\,000}{C^3} \dots \dots \dots$$
 з.

Ф-лою ж опредѣляется величина коэф. C по заданному напряженію T , а ф-лою з—обратно, причемъ C берется изъ ф-лы, опредѣляющей d въ мм., а T получается въ кг. на кв. мм

Таблица 14-я. Величины C въ ф-лѣ $d = C \cdot \sqrt[3]{\frac{N}{n}}$.

Гдѣ примѣняется желѣзный валъ.	Величина C		Соотвѣтственное T въ кг. на кв. мм.
	въ мм.	въ дм.	
Легкія ременные передачи къ станкамъ.	120	4,72	2,07
”	125	4,92	1,84
”	127	5,0	1,75
”	130	5,12	1,63
Комбинаціи ременныхъ передачъ и легкіхъ зубчатыхъ	140	5,51	1,30
”	150	5,91	1,06
Легкія канатныя передачи	155	6,1	0,96
Тяжелыя канатныя, ременные, зубчатыя передачи	160	6,3	0,87
”	170	6,7	0,73

Сравнивая величины T въ табл. 11 и 14, видимъ, что здѣсь онѣ берутся иногда много ниже допускаемыхъ. Причина этого уже разъяснена въ концѣ § 58.

№ 38. Стальной полый валъ съ внѣшн. діам 102 мм. и толщиною стѣнки 10 мм., рассчитанный съ напряженіемъ 3 кг., замѣнить желѣзнымъ сплошнымъ валомъ, заставляя послѣдній работать съ напряженіемъ 1,75 кг.

Пользуясь ф-лами 100 и 101, напишемъ условіе, выраженное въ заданіи:

$$1,75 \cdot 0,2 \cdot d^3 = 3 \cdot 0,2 \cdot \frac{102^4 - 82^4}{102}, \text{ откуда } d = 102 \text{ мм.}$$

Отношеніе вѣсовъ этихъ валовъ будетъ

$$\frac{102^2 - 82^2}{102^2} \cdot \frac{7,8}{7,5} = 0,326,$$

т. е. стальной полый валъ при этихъ равносильныхъ условіяхъ работы будетъ вѣсить только одну треть противъ желѣзнаго сплошнаго.

№ 39. Какова будетъ поверхность, ограничивающая тѣло равногоспротивленія при крученіи, если предположить равномерную раздачу момента по всей длинѣ вала?

Въ этой задачѣ предполагается, что кривая распредѣленія моментовъ по длинѣ вала м. бъ выражена прямою AC (фиг. 85). На разстояніи x отъ праваго конца вала *тот* будетъ

$$m = M \cdot \frac{x}{l}.$$

Если диаметр вала въ этомъ сѣченіи будетъ y , то

$$M \cdot \frac{x}{l} = T \cdot 0,2 \cdot y^3.$$

Для сѣченія B при $x = l$ получимъ

$$M = T \cdot 0,2 \cdot d^3, \text{ откуда } \frac{y^3}{d^3} = \frac{x}{l},$$

т. е. поверхность, ограничивающая тѣло равнаго сопротивленія при крученіи, была бы кубическимъ параболоидомъ вращения.

Къ выполнению этой формы обращаться однако никогда не приходится, п. ч. случая непрерывной равномерной раздачи *мом* по закону, выражаемому прямой AC , не встрѣчается надобности осуществлять. Измѣненіе момента по длинѣ вала обыкновенно происходитъ по закону, выражаемому ломаной линіей 1,2...7,8 (фиг. 83). Но если и въ этомъ случаѣ точки $C, 1, 2, \dots, 7, 8, B$ (фиг. 83) будутъ лежать на одной прямой, то тѣло равнаго сопротивленія будетъ, такъ сказать, вписано въ *ступенчатую форму равной крѣпости*.

Въ этой задачѣ мы снова находимъ указаніе, какъ обр. возможно уменьшить вѣсъ вала при раздѣлѣ значительной величины момента и при большей длинѣ вала. Ранѣе мы видѣли, что для этого нужно сдѣлать *дробленіе* работы между отдѣльными валами, а здѣсь усматриваемъ, что, исполняя каждый изъ отдѣльныхъ валовъ, можно выполнить его въ видѣ *ступенчатого тѣла равной крѣпости*, болѣе или менѣе близко подходящаго къ идеальной формѣ.

62. Опредѣленіе угла закручиванія для цилиндра. *а) Случай дѣйствія одной пары силъ на всей длинѣ цилиндра.* Пусть имѣемъ цилиндръ съ осью OO_1 (фиг. 81), закручиваемый дѣйствіемъ вращательнаго момента $M = const$. На поверхности такого цилиндра вызывается напряженіе H , на разстояніи r отъ оси — напряженіе h , а на разстояніи единицы отъ оси — напряженіе h_0 :

$$\frac{H}{R} = \frac{h}{r} = h_0 \dots \dots \dots i.$$

Изъ деформируемаго цилиндра выдѣлимъ цилиндрическую поверхность съ радиусомъ $Of = O_1d = 1$ (фиг. 86).

Пусть fd будетъ образующая этого цилиндра, а f_1d — винтовая линія, въ которую обращается образующая при закручиваніи цилиндра. Тогда дуга ff_1 (фиг. 86) будетъ измѣрять собою уголъ закручиванія θ . Развернувши эту цилиндрическую поверхность, относительное положеніе образующей df , винтовой линіи df_1 и дуги ff_1 получимъ въ томъ видѣ, какъ представляетъ нижняя часть фиг. 86: здѣсь ff_1 , ee_1 суть сдвиги въ различныхъ точкахъ образующей относительно ея первоначальнаго положенія. Если сдѣлать $O_1k = de = 1$, то дуга ee_1 будетъ измѣрять при сдвигѣ уголъ перекашиванія φ . Изъ чертежа (фиг. 86):

$$ff_1 : df = ee_1 : de, \text{ или } \theta = l \cdot \varphi \dots \dots \dots k.$$

Зависимость между углом перекашивания φ и напряжением h_0 на поверхности рассматриваемого цилиндра напишется по ф-лѣ 79 (§ 49):

$$h_0 = G \cdot \varphi.$$

Но

$$h_0 = \frac{H}{R} = \frac{M}{I_0}, \text{ поэтому}$$

$$\theta = \frac{M \cdot l}{G \cdot I_0} \dots \dots \dots 104.$$

Опредѣляя теперь уголъ закручивания, напишемъ:

$$\theta^0 = \frac{180}{\pi} \cdot \theta = \frac{180}{\pi} \cdot \frac{M \cdot l}{G \cdot 0,1 \cdot d^4} \dots \dots \dots 104, a.$$

Сравнивая эту ф-лу съ ф-лой **a** въ § 56, видимъ между ними полнѣйшее тождество. При этомъ выясняется и значение коэф. ν :

$$\nu = \frac{1800}{\pi \cdot G}, \text{ откуда } G = \frac{1800}{\pi \cdot \nu} \dots \dots \dots 105.$$

Измѣряя величины угловъ закручивания, представляется возможнымъ выяснитъ величину постояннаго ν для каждаго изъ материаловъ, а по нему помощью ф-лы **105** находится и величина коэф. упругости 2-го рода. Такимъ образомъ было обнаружено, что для наиболѣе употребительныхъ материаловъ (желѣза, стали и чугуна) отношеніе $G : E$ колеблется между $\frac{2}{5}$ и $\frac{3}{8}$, т. е. 0,4 и 0,375, что весьма близко къ результату, полученному въ § 54 (зад. № 30, ф-ла 84 a).

Измѣненіе величины угла закручивания по мѣрѣ удаленія отъ сѣченія O_1 на фиг. 81 можно выразить графически въ видѣ прямой KS , отложивши $LS = \theta$.

б) *Случай дѣйствія нѣсколькихъ паръ въ различныхъ сѣченяхъ*
 Пусть цилиндръ OO_1 (фиг. 87) закручивается тремя парами силъ съ моментами $M_1 M_2 M_3$: изъ нихъ моментъ $M_1 = OF = Eg$ проявляетъ свое дѣйствіе одинъ между сѣченіями O и g на длинѣ l_1 , въ сѣченіи g прибавляется второй моментъ $M_2 = DE$, такъ что

$$Dg = Cf = M_1 + M_2;$$

дѣйствие суммы этихъ моментовъ распространяется на длинѣ $l_2 = fg$; наконецъ въ сѣченіи f прибавляется 3-й моментъ $M_3 = BC$, и на длинѣ $O_1f = l_3$ дѣйствуютъ уже всѣ 3 момента, такъ что

$$Bf = AO_1 = M_1 + M_2 + M_3.$$

Законъ распредѣленія моментовъ указываетъ ломаная линия $ABCDEF$.

Уголъ закручиванія θ_3 на длинѣ l_3 получится такъ:

$$\theta_3 = \frac{M_1 + M_2 + M_3}{G \cdot I_0} \cdot l_3.$$

Измѣненіе величины угла между сѣченіями O_1 и f выразить прямая O_1a , если

$$af = \theta_3.$$

Между сѣченіями f и g уголъ закручиванія будетъ

$$\theta_2 = \frac{M_1 + M_2}{G \cdot I_0} \cdot l_2.$$

Измѣненіе угла закручиванія на длинѣ l_2 выразить прямая ab , если

$$bg = \theta_1 + \theta_2.$$

Наконецъ, уголъ закручиванія на длинѣ gO получится такъ

$$\theta_1 = \frac{M_1}{G \cdot I_0} l_1,$$

а измѣненіе угла выразить прямая bc , если

$$Oc = \theta_1 + \theta_2 + \theta_3 = \theta_0$$

$$\theta_0 = \frac{1}{G \cdot I_0} \cdot \left[M_1(l_1 + l_2 + l_3) + M_2(l_2 + l_3) + M_3 l_3 \right] . . . 106.$$

Если бы кривая моментовъ состояла изъ n одинаковыхъ ступеней, т. е. весь моментъ M раздавался бы поровну во всѣхъ n сѣченіяхъ, и въ каждомъ отдавалась бы величина

$$m = \frac{M}{n},$$

а сѣченія были бы размѣщены на равныхъ разстояніяхъ

$$l = \frac{l}{n},$$

то полный уголъ закручиванія по ф-лѣ 106 составился бы такъ:

$$\theta_0 = \frac{m \cdot l}{G \cdot I_0} \left[n + (n - 1) + \dots + 2 + 1 \right]$$

$$\theta_0 = \frac{m \cdot l}{G \cdot I_0} \cdot \frac{n + 1}{2} \cdot n = \frac{M \cdot l}{G \cdot I_0} \cdot \frac{n + 1}{2n} 107$$

При увеличеніи n до безконечности ступеньчатая кривая моментовъ обращается въ прямую AO (фиг. 88), засѣкающую $AO_1 = M$, а ломаная прямая O_1abc (фиг. 87), указывающая законъ измѣненія угловъ закручиванія, обращается въ параболу O_1K . Выраженіе

$$\frac{n + 1}{2n} = \frac{1}{2} + \frac{1}{n},$$

Оно обращается въ $\frac{1}{2}$ при $n = \infty$, и тогда θ_0 будетъ, очевидно, половиною того угла закручиванія, который получился въ случаѣ a) отъ постояннаго момента. Если проведемъ на фиг 88 прямую O_1S такъ же,

какъ и на фиг. 81 проведена прямая угловъ θ , т. е. сдѣлаемъ на фиг. 88.

$$OS = \theta, \text{ тогда } OK = \theta_0 = \frac{\theta}{2}.$$

Если на фиг. 81, 87 и 88 величина *мом* M одна и та же, валы сдѣланы изъ одного матеріала и съ одинаковой крѣпостью, тогда уголъ θ будетъ одна и та же величина, а парабола O_1K (фиг. 88) должна касаться прямой O_1S .

Ур-іе параболы O_1K (фиг. 88) получается весьма просто. Въ произвольномъ сѣченіи a , отстоящемъ на разстояніе x отъ праваго конца вала, выраженіе момента будетъ

$$M_x = M \cdot \frac{x}{l}$$

На бесконечно маломъ разстояніи dx величину момента можно считать постоянною и равною M_x . Бесконечно малая величина угла закручиванія $d\theta$ на длинѣ, равной dx , напишется такъ:

$$d\theta = \frac{M_x \cdot dx}{G \cdot I_0} = \frac{M}{G \cdot I_0 \cdot l} \cdot x \cdot dx.$$

Интегрируя это уравненіе по θ въ предѣлахъ отъ нуля до θ , а по x — въ предѣлахъ отъ нуля до x , получимъ

$$\theta = \frac{M}{G \cdot I_0} \cdot \frac{x^2}{2l} \dots \dots \dots 108.$$

Это и есть ур-іе параболы O_1cK (фиг. 88), отнесенной къ осямъ yKx , причемъ $cl = \theta$. Сдѣлавши $x = l$, получаемъ

$$\theta_0 = \frac{1}{2} \frac{M \cdot l}{G \cdot I_0} \dots \dots \dots 108, a.$$

Сравненіе ф-лъ 108 а и 104 и приводитъ насъ къ тому заключенію, которое было сдѣлано выше, и по которому—*въ случаѣ равномерной раздачи момента по длинѣ вала, на концы его получается только половина угла закручиванія, вызываемаго при передачѣ полного момента съ одного конца вала на другой.*

63. **Опредѣленіе діаметра вала по углу закручиванія.** Когда вмѣстѣ съ валомъ вращаются значительныя массы, оживленныя большою скоростью, и въ особенности переменною скоростью, тогда при расчетѣ вала обращаютъ вниманіе также и на его упругую деформацію, измѣряемую величиною угла закручиванія вала на концѣ его. Для величины этого угла устанавливается опредѣленная норма. Будемъ называть величину угла закручиванія въ градусахъ, приходящуюся на 1 мт. длины вала, его *круткою* и обозначать чрезъ ψ , тогда

$$\psi = \frac{\theta^0}{l \text{ мт.}}$$

По ф-лѣ 104а имѣемъ:

$$d^4 = \frac{1800}{\pi \cdot G} \cdot \frac{M \cdot l^{m/m}}{\Theta} = \frac{1800 \ 000}{\pi \cdot G} \cdot \frac{M}{\psi}.$$

Внося въ это выраженіе вмѣсто M его величину въ *кг.-мм.* (на основ. ф-лы 102)

$$M \text{ кг.-мм.} = 716 \ 200 \cdot \frac{N}{n},$$

вмѣсто ψ допускаемую величину крутки

$$\psi = \frac{1^\circ}{4},$$

и $G = 7700$ *кг.* на кв. *мм.*, получимъ:

$$d = 120 \cdot \sqrt[4]{\frac{N}{n}} \dots \dots \dots 109.$$

Если бы для крутки вала была дана какая-либо другая величина, тогда діаметръ надо высчитывать по ф-лѣ болѣе общаго вида

$$d = 120 \sqrt[4]{\frac{N}{4 \cdot \psi \cdot n}} \dots \dots \dots 109,а.$$

Часто ф-лу 109 смѣниваютъ съ ф-лою типа

$$d = C \sqrt[3]{\frac{N}{n}} \dots \dots \dots 110,$$

въ которой для самыхъ легкихъ приводныхъ валовъ съ ременной передачей величины коэф. C назначается тоже 120 (см. зад. 37, § 61)

Ф-ла 110 съ надлежащимъ коэф. C въ ней предусматриваетъ надлежащую крѣпость вала, т. е. полученіе у него на поверхности такой величины напряженія, которая была бы не выше допускаемой, а ф-лой 109а предусматривается, чтобы упругая деформация вала не превосходила данной допускаемой величины, когда валу приходится работать въ условіяхъ, отмѣченныхъ въ началѣ этого §.

Въ болѣе трудныхъ случаяхъ работы вала требуютъ, чтобы ψ было не болѣе $\frac{1}{5} - \frac{1^\circ}{6}$.

Изъ осторожности расчетъ вала всегда надо дѣлать по обѣимъ ф-ламъ—110 и 109,а и принимать за исполняемую величину діаметра— большую изъ двухъ величинъ, которыя будутъ получены.

64. Задачи. № 40. Легкій приводный валъ ременной передачи имѣетъ рабочую длину 3 *мт.* и былъ рассчитанъ по ф-лѣ 110 съ коэф. $C = 120$. Определить крутку вала при $N = 10$ и $n = 120$.

$$d = 120 \sqrt[3]{\frac{10}{120}} = 52 \text{ мм.}$$

$$M = 716 \ 200 \cdot \frac{10}{120} = 59 \ 683 \text{ кг.-мм.}$$

По 104,а:

$$\theta^\circ = \frac{1800}{\pi} \cdot \frac{59\,683 \cdot 3000}{7700 \cdot 52^4} = \text{ок. } 1^\circ 11'.$$

Этотъ результатъ показываетъ, что уголъ закручиванія у вала чрез-мѣрно великъ, и что валъ слѣдовало бы разсчитывать по ф-лѣ 109, тогда:

$$d_1 = 120 \sqrt[4]{\frac{10}{120}} = 65 \text{ мм.}$$

№ 41. Валъ отъ канатнаго привода заимствуетъ работу въ 60 л. с. при 120 обор. Определить его діаметръ.

По ф-лѣ 109 имѣемъ

$$d_1 = 120 \sqrt[4]{\frac{60}{120}} = 101 \text{ мм.}$$

Въ ф-лѣ 110 примемъ $C = 155$ (см. зад. № 37, § 61):

$$d = 155 \sqrt[3]{\frac{60}{120}} = 123 \text{ мм}$$

За исполняемый діам. можно поэтому принять 125 мм.

№ 42. Правый и лѣвый конецъ вала заземлены; на разстояніи l_1 отъ лѣвой опоры и l_2 отъ правой передается валу моментъ M . Определить крутящій моментъ для лѣвой и правой части вала?

Отв. $M_1 : M_2 = l_2 : l_1.$

65. Приращеніе напряженія при крученіи, вслѣдствіе неравно-мѣрнаго вращенія массъ. Предположимъ, что, при передачѣ валомъ работы между двумя данными сѣченіями, въ одномъ изъ нихъ можетъ происходить измѣненіе живой силы вращающейся массы m , вслѣдствіе измѣненія скорости вращенія ея съ v_0 на v_1 . Развивающаяся при этомъ работа будетъ потрачена на упругую деформацию вала, который получитъ приращеніе угла закручиванія, равное α ; величина послѣдняго пусть будетъ такова, что $\theta + \alpha$ представляетъ собою все еще упругую деформацию. Если *та* пары силъ, развивающей ту же работу, что и данная живая сила, назовемъ чрезъ $Q_1 \cdot D$, гдѣ D — плечо пары, то мы должны имѣть:

$$m \cdot \frac{v_1^2 - v_0^2}{2} = A = Q_1 \cdot D \cdot \alpha \dots \dots \dots \text{а.}$$

Моментъ $m = Q_1 \cdot D$ представляетъ собою ту самую величину, дѣйстви-тельствомъ которой вызвано появленіе *добавочнаго* угла закручиванія α , по-этому

$$\alpha = \frac{m \cdot l}{G \cdot I_0} \dots \dots \dots \text{б.}$$

$$A = \frac{m^2 \cdot l}{G \cdot I_0} \dots \dots \dots \text{в.}$$

Подъ дѣйствиємъ момента M вызовется на поверхности цилиндра къ существующему напряженію H еще *добавочное* напряжение τ , опредѣляемое р-вомъ

$$M = \tau \cdot \frac{I_0}{R} \dots \dots \dots \text{г.}$$

Соединяя равенства в и г, получимъ:

$$A = \frac{\tau^2 \cdot l}{G} \cdot \frac{I_0}{R^2} \dots \dots \dots \text{д}$$

$$I_0 : R^2 = \frac{\pi}{32} \cdot d^4 : \frac{d^2}{4} = \frac{F}{2},$$

если F —площадь сѣченія вала. Послѣ этого ф-ла а приметъ видъ:

$$A = m \cdot \frac{v_1^2 - v_0^2}{2} = \frac{\tau^2 \cdot F \cdot l}{2G} \dots \dots \dots \text{е,}$$

$$\tau = \sqrt{\frac{2G \cdot A}{F \cdot l}} \dots \dots \dots \text{111,}$$

т. е. *приращение* напряжения у вала, происходящее вслѣдствие появления *приращенія* живой силъ массъ, равняется корню квадратному изъ дроби, у которой числитель = произведенію удвоеннаго коэффиціента упругости 2-го рода на величину *приращенія* живой силы, а знаменатель — *рабочій* объемъ вала, т. е. объемъ его между двумя данными конечными сѣченіями вала — *воспроизводящимъ* живую силу и *воспринимающимъ* ее.

Если $v_0 = 0$, то
$$\tau = v_1 \cdot \sqrt{\frac{G \cdot m}{F \cdot l}} \dots \dots \dots \text{112,}$$

т. е. *напряжение* материала, которое развивается при *внезапномъ* пускани вала въ ходъ или *внезапной* остановкѣ его, равно произведенію двухъ величинъ, изъ коихъ 1-я есть наибольшая скорость, *приобрѣтенная* массою, *вращающеюся* вмѣстѣ съ валомъ, при троганіи ихъ съ мѣста, или *скорость* передъ *внезапною* остановкою вала, а 2-я величина *равна* корню квадратному изъ дроби, числитель которой = произведенію *вращающейся* массы на коэф. упругости 2-го рода, а знаменатель—*рабочій* объемъ вала.

Ур-е крѣпости вала въ этомъ случаѣ будетъ писаться такъ:

$$T = \text{или болѣе } H + \tau \dots \dots \dots \text{113,}$$

гдѣ *напряжение* H опредѣляется по ф-лѣ 92:

$$H = M \cdot \frac{R}{I_0}.$$

Но такъ какъ при *разсчетѣ* валовъ весьма трудно назначить возможную величину τ , поэтому валы тяжелыхъ передачъ по ф-лѣ 99 всегда и *разсчитываются* съ пониженнымъ допускаемымъ напряженіемъ T (см. § 58 и зад. № 37, таб. 14).

Здѣсь выяснилось, какое большое влияние оказываетъ *рабочий объемъ* вала на урегулирование величины внезапныхъ напряженій, вызываемыхъ при измѣненіи живой силы массы, вращающихся вмѣстѣ съ валомъ; при этомъ пользу приносятъ не единичныя и случайныя утолщенія вала, а равномерное увеличеніе размѣровъ его живого или расчетнаго сѣченія на всемъ протяженіи, гдѣ происходитъ воздѣйствіе живой силы.

Ф-лы 111 и 112 указываютъ въ то же время, что величина τ зависитъ отъ G , и въ этомъ отношеніи величина добавочнаго напряжения должна получаться значительно менѣе въ чугунныхъ валахъ чѣмъ въ желѣзныхъ и стальныхъ. Въ этомъ обстоятельствѣ кроется между прочимъ одна изъ причинъ, почему въ турбинахъ съ вертикальнымъ валомъ и верхнимъ фонарнымъ подпятникомъ (надъ водою) полый турбинный валъ, облегающій стоякъ, и до сихъ поръ выполняется изъ чугуна, а не изъ стали, не взирая на столь отвѣтственную роль, выпадающую во всемъ устройствѣ турбины на долю этого вала.

66. Расчетъ вала на одновременное дѣйствіе растягивающей и крутящей нагрузки. Пусть имѣемъ валъ, на который передается растягивающая нагрузка P и крутящій моментъ M . Тогда по ф-лѣ Баха (ф-ла 96 въ § 55, е):

$$H = h \left[\frac{3}{8} + \frac{5}{8} \sqrt{1 + \left(\frac{2x \cdot t}{h} \right)^2} \right]$$

Здѣсь

$$h = P : F$$

$$t = M \cdot W_0$$

$$\frac{t}{h} = \frac{M}{W_0} : \frac{P}{F} = \frac{4 M}{P \cdot d}, \text{ т. к.}$$

для круга $W_0 : F = \frac{\pi \cdot d^3}{16} : \frac{\pi}{4} d^2 = \frac{d}{4}$

$$H = \frac{P}{F} \cdot \mathcal{K}, \text{ гдѣ}$$

$$\mathcal{K} = \frac{3}{8} + \frac{5}{8} \sqrt{1 + \left(\frac{8x \cdot M}{P \cdot d} \right)^2} \dots \dots \dots 114.$$

Расчетное ур-е будетъ

$$F = \text{или болѣе} \frac{P}{Z \cdot \mathcal{K}} \dots \dots \dots 115.$$

Величина \mathcal{K} всегда болѣе 1. Такъ обр мы видимъ, что расчетъ на одновременное дѣйствіе растягивающей и крутящей нагрузки сводится къ расчету на дѣйствіе одной лишь растягивающей нагрузки, но съ напряженіемъ, меньшимъ обычно допускаемаго, и это уменьше-

не дѣлается въ зависимости отъ величины обѣихъ нагрузокъ и способности ихъ воздѣйствія.

Ф-ла 114 показываетъ въ то же время, что J есть функция d , діам. искомаго вала. Чтобы сдѣлать рѣшеніе вопроса опредѣленнымъ, въ ф-лу 114 вмѣсто d вносить или ту величину діаметра, которая получится изъ расчетнаго ур-ія на одно растяженіе, или ту, которая будетъ получена по данному крутящему моменту, но непременно большую изъ нихъ.

67. Задачи. № 43. Валъ винтового подъемнаго механизма растягивается усилиемъ $P=10$ *tn* и требуетъ для своего вращенія момента въ 70 *к.-мт.* Передача плавная. Опредѣлить размѣры сѣченій, которыя вносятъ на себѣ дѣйствіе и растагивающей, и крутящей нагрузки.

Допустимъ $Z=6,5$ *к. на кв. мм.* } для желѣза.
 $t=3,5$ „ „ „ „ „ }

Если бы надо было вести расчетъ на одно растяженіе, площадь поперечнаго сѣченія была бы

$$F = \frac{10000}{6,5} = 1538; d = 45 \text{ мм.}$$

Если бы расчетъ вели на одно крученіе, имѣли бы:

$$70\,000 = 3,5 \cdot 0,2 \cdot d^3; d = 47 \text{ мм.}$$

Въ ф-лу 114 надо вносить эту послѣднюю величину:

$$J = \frac{3}{8} + \frac{5}{8} \sqrt{1 + \left(\frac{8 \cdot 1,5 \cdot 70\,000}{10\,000 \cdot 47} \right)^2} = 1,66,$$

т. е. по ф-лѣ 97 (§ 55,6)

$$x = \frac{4}{5} \frac{Z}{t} = \frac{4}{5} \cdot \frac{6,5}{3,5} = 1,5.$$

Послѣ этого окончательно

$$F = \frac{10\,000}{6,5 : 1,66} = 2546 \text{ кв. мм.}$$

$$d = \text{или болѣе } 57 \text{ мм.}$$

№ 44. На желѣзномъ валу 50 мм. діам. и 3 мт. рабочей длиною находится приведенная масса, соответствующая 300 *к.* Опредѣлить напряженіе при пусканіи такого вала въ ходъ.

Здѣсь $F = \frac{\pi}{4} \cdot 50^2 = 1964 \text{ кв. мм.}$

$$l = 3000 \text{ мм.}$$

$$G = 8000 \text{ к. на кв. мм.}$$

$$m = \frac{300 \text{ к.}}{9808 \text{ мм.}}$$

$$\tau = v_1 \cdot \sqrt{\frac{8000 \cdot 300}{1964 \cdot 3000 \cdot 9808}} = \frac{v_1}{49,5'}$$

т. е. на каждые 49,5 мм. начальной скорости на окружности приведенной массы получится напряжение на поверхности вала въ 1 кг.

68. Кручение призматических тѣлъ. Изрѣдка приходится встрѣчаться въ машиностроительной практикѣ съ провѣркою крѣпости крученія у призматическихъ тѣлъ, имѣющихъ болѣе или менѣе сложное очертаніе поперечнаго сѣченія. Это встрѣчается при выполненіи такихъ тѣлъ отливкою ихъ изъ чугуна. Распрежденіе напряженій въ поперечномъ сѣчени призмы происходитъ при этомъ совершенно другимъ образомъ, чѣмъ при кругломъ сѣченіи цилиндра; поэтому теорія крученія круглаго цилиндра совсѣмъ не м. б распространяема на тѣла призматическія, а теорія крученія послѣднихъ и ея результаты не имѣютъ никакого отношенія къ круглому цилиндру.

Весьма цѣнныя теоретическія и опытные изслѣдованія надъ чугунными призматическими тѣлами были сдѣланы проф. *Бахомъ* и подробно изложены въ его сочиненіи *Elasticitat & Festigkeit*. Мы приведемъ здѣсь только окончательные результаты этихъ изслѣдованій.

Какая бы форма поперечнаго сѣченія ни была, расчетное ур-іе крутимой призмы можно писать такъ:

$$M = T \cdot W_0,$$

гдѣ M —крутящій моментъ, T —допускаемое напряжение, а W_0 —модуль сопротивленія, указанный *Бахомъ*.

Точно также

$$\Theta = \frac{M \cdot l}{G} \cdot A,$$

гдѣ Θ — уголъ закручиванія призмы и A — функция размѣровъ, выясненная *Бахомъ*. Имъ же опытнымъ путемъ найдено и отношеніе

$$B = T : Z.$$

Съченіе эллиптическое сплошное. Длина осей эллипса — большой $2a$, а малой — $2b$.

$$W_0 = \frac{\pi}{2} \cdot a \cdot b^2; \quad A = \frac{a^2 + b^2}{\pi \cdot a^3 \cdot b^3}; \quad B = 1 - 1,25.$$

Съченіе эллиптическое полое. Внѣшнія оси— $2a$ и $2b$, внутреннія $2a_0$ и $2b_0$, отношеніе

$$\frac{a_0}{a} = \frac{b_0}{b} = m$$

$$W_0 = \frac{\pi}{2} \cdot \frac{a \cdot b^3 - a_0 \cdot b_0^3}{b}; \quad B = 0,8 - 1,0;$$

$$A = \frac{a^2 + b^2}{\pi \cdot a^3 \cdot b^3 (1 - m^4)}.$$

Съчение прямоугольное сплошное. Большая сторона— a , малая— b

$$W_0 = \frac{2}{9} \cdot a \cdot b^2; \quad \mathbf{B} = 1,4 - 1,6; \quad \mathbf{C} = \frac{b^2 + a^2}{a^3 \cdot b^3};$$

$\frac{a}{b} = 1$	2	4	8
$\mathbf{C} = 3,56$	3,50	3,35	3,21.

Съчение крестообразное (фиг. 89):

$$W_0 = \frac{2}{9} (h + h_1 - a) \cdot a^2; \quad \mathbf{B} = 1,4 - 1,6.$$

Съчение угловое (фиг. 90):

$$W_0 = \frac{2}{9} (h + h_1 - a) \cdot a^2; \quad \mathbf{B} = 1,4 - 1,6.$$

Съчение корытообразное (швеллеръ) и двутавровое (фиг. 91 и 92):

$$W_0 = \frac{2}{9} (h + 2b_0) \cdot a^2; \quad \mathbf{B} = 1,4 - 1,6$$

$$a = b - b_0 = \frac{h - h_0}{2}.$$

Вопросы для повторенія главы о крученіи.

Результаты опытовъ надъ крученіемъ круглаго цра Распредѣлене напряженій въ поперечномъ сѣчени, условия равновѣсія, расчетное ур-е. Отношеніе различныхъ материаловъ къ сопротивленію крученія Модуль сопротивленія для сплошного и полога сѣченія Если изъ чугунаго цилиндра вырѣжемъ сердцевину съ диаметромъ = $\frac{1}{4}, \frac{1}{3}, \frac{1}{2}, \frac{3}{4}$ отъ вѣшняго, насколько уменьшится его вѣсъ и сопротивление крученію. Гдѣ находится опасное сѣчене крутимаго цилиндра при одной дѣйствующей парѣ, при двухъ, при трехъ и т. д., какой видъ имѣетъ кривая моментовъ и кривая измѣненія угловъ закручиванія во всѣхъ этихъ случаяхъ? Зависимость между N , n и M Дробленіе работы между отдѣльными валами, выполнение каждаго изъ нихъ съ *тѣ* вѣса. Формулы для расчета вала, ихъ видъ, переходъ отъ однихъ мѣръ къ другимъ въ этихъ ф-лахъ. Оставляя всѣ условия работы вала и пускающаго его въ ходъ прежними, какъ обр. уменьшить напряженіе при пусканіи вдвое, втрое и т. д. Какъ дѣлается расчетъ на совмѣстное растяженіе и крученіе, ур-е крѣпости. Какая разница получится, если будемъ прикладывать къ цилиндру закручивающую пару силъ, или одну силу на вдвое большемъ плечѣ отъ оси? Перечислить всѣ выгоды полныхъ валовъ, невыгода ихъ при разсмотрѣннн вопроса о пусканіи вала въ ходъ сравнительно съ равнокрѣпкими имъ сплошными валами

С В О Д Ъ

главныхъ формулъ и данныхъ изъ главы о крученіи.

$$\left. \begin{array}{l} \text{Макъ напряженія.} \\ \text{Напряженіе въ дан-} \\ \text{ной точкѣ.} \end{array} \right\} = \frac{\text{Разстояніе крайней} \left\{ \begin{array}{l} \text{точки сѣченія отъ} \\ \text{оси крученія.} \end{array} \right.}{\text{Разстояніе данной}} \left. \vphantom{\frac{\text{Разстояніе крайней}}{\text{Разстояніе данной}}} \right\} \begin{array}{l} \text{85.} \\ \text{§ 57} \end{array}$$

$$\frac{H}{h} = \frac{R}{r} \dots \dots \dots$$

$$\left. \begin{array}{l} \text{Модуль сопротивле-} \\ \text{нія сѣченія—въ мм.} \\ \text{3-й степени.} \end{array} \right\} = \frac{\text{Полярный моментъ инерціи сѣ-} \\ \text{ченія — въ мм. 4-й степени.}}{\text{Радиусъ цилиндра—въ мм.}} \left. \vphantom{\frac{\text{Полярный моментъ инерціи сѣ-}}{\text{Радиусъ цилиндра—въ мм.}}} \right\} \dots \dots \dots \text{§ 57.}$$

$$W_0 = I_0 : R \dots \dots \dots$$

Разсчетное ур-іе:

$$\left. \begin{array}{l} \text{Допускаемое напря-} \\ \text{женіе въ мм. на кв.} \\ \text{мм.} \end{array} \right\} > \frac{\text{Крутящій моментъ въ кг.-мм.}}{\text{Модуль сопротивленія—въ мм.} \\ \text{3-й степени.}} \left. \vphantom{\frac{\text{Крутящій моментъ въ кг.-мм.}}{\text{Модуль сопротивленія—въ мм.}}} \right\} \dots \dots \dots \text{99.}$$

$$T = \text{или болѣе } M : W_0 \dots \dots \dots$$

Для круглаго сплошного сѣченія:

$$\left. \begin{array}{l} \text{Полярный моментъ} \\ \text{инерціи площади} \\ \text{круга.} \end{array} \right\} = \frac{\text{Четвертая степень діаметра.}}{10} \left. \vphantom{\frac{\text{Четвертая степень діаметра.}}{10}} \right\} \dots \dots \dots \text{89.}$$

$$I_0 = \frac{\pi}{32} \cdot d^4 = 0,1 \cdot d^4 \dots \dots \dots \text{§ 53, в.}$$

$$\left. \begin{array}{l} \text{Модуль сопротивленія} \\ \text{площади круга при} \\ \text{крученія.} \end{array} \right\} = \begin{array}{l} 0,2 \times \text{Кубъ діаметра.} \\ W_0 = I_0 \cdot R = 0,2 \cdot d^3 \dots \dots \end{array} \left. \vphantom{\begin{array}{l} 0,2 \times \text{Кубъ діаметра.} \\ W_0 = I_0 \cdot R = 0,2 \cdot d^3 \dots \dots \end{array}} \right\} \dots \dots \dots \begin{array}{l} \text{100.} \\ \text{§ 59.} \end{array}$$

$$\left. \begin{array}{l} \text{Модуль сопротивле-} \\ \text{нія въ мм.} \end{array} \right\} = 1000 \times \text{Модуль сопротивленія въ смт.}$$

ЧАСТЬ II.

Сопротивленіе тѣлъ сгибанію.

Въ нижеслѣдующемъ изложена теорія сгибанія *призматическаго бруса съ прямолинейной осью*, т. е. тотъ частный случай общей теоріи сгибанія, который имѣетъ наибольшее значеніе въ практикѣ машиностроенія, инженернаго и строительнаго дѣла и даетъ результаты, ближе всего отвѣчающіе опытнымъ даннымъ. Мы предполагаемъ при этомъ, что поперечное сѣченіе сгибаемаго бруса имѣетъ по крайней мѣрѣ *одну* ось симметріи, самое же очертаніе сѣченія при соблюденіи этого условія можетъ быть произвольнымъ. Въ теоріи сгибанія такой брусъ для краткости мы будемъ называть *балкой*.

Сгибаніе балки можно вызвать и *продольной* нагрузкой, и *поперечной*.

Въ случаѣ сгибанія балки отъ дѣйствія продольной нагрузки всѣ поперечныя сѣченія балки испытываютъ перемѣщенія двоякаго рода, во-1-хъ, отъ сгибанія, и во-2-хъ, отъ растяженія или сжатія, смотря по тому, въ какую сторону направлено дѣйствіе нагрузки. Въ чистой же формѣ, не осложненной явленіями добавочнаго растяженія или сжатія, сгибаніе балки происходитъ при дѣйствіи *поперечной нагрузки*, сгибающей балку и нагружающей ее въ плоскости симметріи. Этотъ послѣдній случай мы и будемъ разсматривать далѣе.

Такой способъ симметричнаго нагруженія балки поперечными силами является наиболѣе разумнымъ, позволяетъ осуществить балку съ наименьшими возможными для нея размѣрами при данной степени надежности постройки, даетъ наибольшую гарантію правильности расчета въ смыслѣ наилучшаго согласованія его съ опытными данными и долженъ быть примѣняемъ въ практикѣ по преимуществу.

А. Зависимость между нагрузкой и силами сопротивленія при сгибаніи.

1. Положенія, на которыхъ основана теорія сгибанія. Съ практической точки зрѣнія только такая теорія имѣетъ надлежащую цѣну, ко-

торая основана на положеніяхъ, подтверждаемыхъ путемъ опыта наиболѣе близко.

Теоріи сгибанія не сразу посчастливилось въ этомъ отношеніи. Начало теоретической разработки вопроса о сгибаніи балки болѣе нежели на 2 столѣтія предшествовало опытнымъ изслѣдованіямъ его и неоднократно основано было на совершенно произвольныхъ положеніяхъ, которыя казались составителямъ теорій наиболѣе простыми, естественными, правильными, но при провѣркѣ оказывались безусловно невѣрными.

Имѣющая нынѣ всеобщее примѣненіе въ практикѣ теорія сгибанія основана на слѣдующихъ положеніяхъ:

а. Балка на всемъ своемъ протяженіи предполагается состоящею изъ однороднаго материала ¹⁾.

б. Провѣсь согнутой оси балки относительно первоначальнаго ея положенія, называемый **стрѣлою прогиба**, предполагается весьма небольшимъ ²⁾

в. Поперечныя сѣченія балки, бывшія до сгибанія плоскими, предполагаются сохраняющими плоскую форму и пость сгибанія ³⁾.

г. Продольныя волокна ⁴⁾ балки при сгибаніи обращаются въ кривыя **ЭКВИДИСТАНТНЫЯ**, т. е. на всемъ протяженіи балки сохраняющія между собою одинаковое разстояніе,—то же самое, которое было между ними до сгибанія балки ⁵⁾.

д. Продольныя волокна балки, расположенія при сгибаніи балки на выпуклой ея сторонѣ, **растягиваются**, а на вогнутой—**сжимаются**.

Это положеніе было доказано *Дюгамелемъ* цѣлымъ рядомъ опытовъ съ деревянными балками сжатая воююна у нихъ перерѣзаются (всѣ или часть ихъ) въ нѣсколькихъ мѣстахъ по длинѣ балки прорѣзы аккуратно расклиниваются деревянными пластинками, и затѣмъ цѣлыя балки и съ вырѣзами на грузаются до излома балки, оказывается, что ломающій грузъ для всѣхъ этихъ балокъ нужно имѣть одинъ и тотъ же, разница въ результатахъ заключается въ предѣлахъ допускаемыхъ ошибокъ при измѣреніяхъ, ломающій грузъ быстро уменьшается по мѣрѣ погруженія прорѣза въ область растянутыхъ волоконъ.

Практическое примѣненіе результатовъ этихъ опытовъ въ 1883 г., въ 1 ю мою заграничную командировку, я встрѣтилъ на одной изъ водопроводныхъ

¹⁾ Это положеніе ближе всего осуществляется на практикѣ въ балкахъ изъ мягкаго желѣза и стали. Уклоненія отъ него всегда имѣютъ мѣсто *въ деревянныхъ балкахъ*, вслѣдствіе естественныхъ условий наростанія и неодинаковой плотности годовыхъ колець, и *въ чугунныхъ балкахъ*, вслѣдствіе образованія *корки* на поверхности литья при его остываніи, твердой и мало тягучей.

²⁾ Отношеніе длины балки къ стрѣлѣ прогиба въ потолочныхъ балкахъ съ мало измѣняющейся нагрузкой бываетъ въ деревянныхъ балкахъ отъ 200 до 400, въ чугунныхъ—отъ 1000 до 1500 и въ желѣзныхъ—отъ 600 до 1000. Величина этого отношенія зависитъ также отъ способа нагруженія балки, надежности ея постройки и отношенія длины ея къ высотѣ сѣченія.

³⁾ Это положеніе подтверждается опытомъ только при соблюденіи предыдущихъ условій. При большихъ же стрѣлахъ прогиба, не допускаемыхъ въ долговѣчныхъ сооруженіяхъ, но получаемыхъ въ лабораторныхъ опытахъ при значительномъ выгибѣ балки, сѣченіе не кривляется.

⁴⁾ Тацъ называемъ мы для краткости всѣ продольныя матеріальныя линіи балки.

⁵⁾ Это положеніе весьма близко подтверждается опытомъ только при соблюденіи 1-го и 2-го условій

станцій въ Парижѣ (*Place d'Alma, 1*). На станціи были въ работѣ 2 паровыхъ насоса Паровые цилиндры—простого дѣйствія, діам. 1,805 *мт.*, ходъ 2,25; скальчатые насосы также простого дѣйствія, діам. 1,05 *мт.*, ходъ 2,35; оборотовъ въ минуту—8; передача отъ парового поршня къ насосному шпунжеру дѣлается коромысломъ, длина котораго 9,29 *мт.* и высота стѣченія падъ осью 1,6 *мт.* Въ 1883 г. машины эти расходовали въ часъ на 1 эффективную силу до 2,5 *ж.* каменнаго угля (*charbon d'Aniche*) постѣ того, какъ въ ихъ устройствѣ были введены различныя усовершенствованія; а когда машины были только что поставлены въ 1865 г., онѣ расходовали до 7 *ж.* угля. Въ 1874 г у одной изъ машинъ сломалось коромысло какъ разъ падъ осью. Нагруженное коромысло выгибается всегда въ одну сторону: сжатія волокна—внизу, растянутыя вверху. Ремонтъ его былъ сдѣланъ, пользуясь результатами опытовъ Дюгамеля: возлѣ втулки были поставлены сравнительно весьма слабыя желѣзныя скобы, а дѣйствіе растянутыхъ волоконъ было передано на желѣзные шпиретели, и коромысло продолжало работать такъ же, какъ и прежде.

е. Область растянутыхъ волоконъ раздѣлена отъ области сжатыхъ волоконъ нейтральнымъ слоемъ, въ которомъ лежатъ волокна, не получившія при сгибаніи ни удлиненія, ни укороченія.

Проф. падуапскаго университета, знаменитый математикъ, физикъ и астрономъ, *Галилео Галилей* въ теоріи сгибанія, предложенной имъ въ 1630 г., дѣлалъ допущеніе, что *вся продольныя волокна согнутаго бруса одинаково растянуты*. Положеніе это ни на чемъ не было основано, просто казалось ему естественнымъ; но опытъ опровергаетъ это положеніе. а потому и самая теорія его представляетъ интересъ только съ исторической точки зрѣнія, какъ курьезное заблужденіе ученаго, который въ другихъ случаяхъ всегда выставлялъ на видъ необходимость пробѣрки теоретическихъ заключеній путемъ опыта.

Около 1680 г. французскій академикъ *Мариоттъ* и знаменитый нѣмецкій математикъ *Лейбницъ* предложили другую теорію сгибанія, въ которой нейтральный слой также произвольно былъ предположенъ совпадающимъ съ крайними вогнутыми волокнами, и всѣ волокна, кромѣ лежащихъ въ нейтральномъ слое, вытянутыми пропорціонально разстояніямъ ихъ отъ нейтральнаго слоя.

Вѣрное положеніе нейтральнаго слоя при сгибаніи было указано французскимъ академикомъ *Parent* въ 1713 г.

ж. Нейтральный слой проходитъ чрезъ центры тяжести осѣй поперечныхъ сѣченій балки.

Теоретическое доказательство этого положенія было дано въ 1821 году французскимъ академикомъ *Navie*, знаменитымъ профессоромъ механики въ Парижскихъ спеціальныхъ техническихъ школахъ, весьма много потрудившимся надъ созданіемъ теоріи упругости.

Подтвержденіе этого положенія съ помощью точныхъ, научно обставленныхъ опытовъ падъ деревянными и чугунными балками было сдѣлано въ 40-хъ годахъ французскимъ академикомъ *Morenomъ*.

2. Опредѣленіе вытяжки и напряженія произвольно взятаго волокна согнутой балки. Пусть *ac* и *bd* (фиг. 93) будутъ два безконечно близкихъ сѣченія согнутой балки, *ab*—волокно въ ея нейтральномъ слое, *mn*— произвольное растянутое волокно, отстоящее отъ нейтральнаго слоя на длину *am = z*. Если обозначимъ радіусъ кривизны дуги *ab* чрезъ *r*, тогда можно написать:

$$\frac{mn}{ab} = \frac{r+z}{r}, \text{ или } \frac{mn-ab}{ab} = \frac{z}{r}.$$

Въ этомъ равенствѣ числитель 1-й части представляетъ удлиненіе, полученное волокномъ *mn* при сгибаніи, а знаменатель—первоначальную длину этого волокна, поэтому вся 1-я часть послѣдняго равенства бу-

деть *вытяжкой*, или *относительнымъ удлинениемъ* произвольнаго волокна. Назовемъ вытяжку чрезъ i , тогда:

$$i = z : r. \dots\dots\dots 1.$$

Если бы разсматриваемое волокно было свободно, т. е. вытягивалось независимо отъ остальныхъ, тогда нормальное напряженіе его h можно было бы вычислить, умножая i на *коэффициентъ упругости* E при растяженіи, на основаніи закона *Гука* *), т. е.

$$h = E \cdot i. \dots\dots\dots 2.$$

На самомъ же дѣлѣ волокна согнутаго тѣла не свободны, и постоянство коэф. упругости у всѣхъ волоконъ балки является допущеніемъ, которое можно сдѣлать безъ большой погрѣшности только въ случаѣ однородныхъ и мягкихъ матеріаловъ, каковы—мягкое желѣзо и мягкая сталь, по своимъ свойствамъ близко подходящая къ желѣзу.

Называя чрезъ dF —бесконечно малую площадь поперечнаго сѣченія волокна, нормальную силу X_1 , растягивающую волокно, напишемъ такъ:

$$X_1 = h \cdot dF = E \cdot \frac{z}{r} \cdot dF \dots\dots\dots 3.$$

Эти формулы, одинаково приложимыя къ растянутымъ и сжатымъ волокнамъ согнутой балки, показываютъ, что *чѣмъ дальше отстоитъ взятое волокно отъ нейтральнаго слоя, тѣмъ большее сопротивление оказываетъ оно сгибанію балки*, или иначе, *вытяжка и нормальное напряженіе волокна прямо пропорціональны разстоянію его отъ нейтральнаго слоя*. Наиболѣе напряженными волокнами будутъ крайнія cd и $m_1 n_1$ (фиг. 93). Если разстояніе крайняго волокна отъ нейтральнаго слоя назовемъ

$$am_1 = e_1 \text{ и } ac = e_2$$

и соотвѣтственныя имъ напряженія—чрезъ H_1 и H_2 , то

$$\frac{h}{z} = \frac{H_1}{e_1} = \frac{H_2}{e_2} = \frac{E}{r}. \dots\dots\dots 4.$$

Если выражать линейные размѣры въ *мм.*, площади въ кв. *мм.*, нагрузки въ *кг.*, то h , H_1 , H_2 и E будутъ выражены въ *кг.* на кв. *мм.*, X_1 — въ *кг.*, а i будетъ отвлеченное число.

3. Условія равновѣсія внѣшней нагрузки и внутреннихъ силъ сопротивленія при сгибаніи. Предполагаемъ, что нагрузка на балку сдѣлана въ вертикальной плоскости нормально къ оси балки, и что эта

) Высказанная имъ въ 1678 г. гипотетическая формула—„вытяжка пропорціональна напряженію“*—на простѣйшихъ деформацияхъ тѣла провѣрена опытнымъ путемъ и легла въ основу всей теоріи упругости, какъ обытный законъ. Названіе коэф. упругости отношенію h къ i дано было въ 1807 г. профессоромъ *Юнгомъ*; имъ же было разъяснено и практическое значеніе этой величины.

плоскость въ то же время является дѣлящею каждое поперечное сѣченіе балки на двѣ симметричныя части. Когда произойдетъ сгибаніе балки, т. е. установится равновѣсіе между внутренними силами и внѣшней нагрузкой, представимъ себѣ балку по произвольному сѣченію AC (фиг. 94) какъ бы разсѣченною на двѣ части, правую и лѣвую; замѣнивъ дѣйствіе лѣвой части на правую внутренними силами, разсмотримъ условія равновѣсія правой части. При этомъ мы предполагаемъ, что воображаемое нами раздѣленіе балки на двѣ части не нарушаетъ равновѣсія балки, а ст. б. и отдѣльныхъ частей ея.

При составленіи условій равновѣсія оси координатъ выбираемъ так. обр.: начало координатъ o беремъ въ центрѣ тяжести сѣченія AC , ось ox направляемъ по оси бруса, нормально къ сѣченію AC ; плоскость xoz , въ которой приложена внѣшняя нагрузка, совмѣщаемъ съ плоскостью симметрии тѣла, если таковыхъ плоскостей—одна; тогда ось oy будетъ лежать въ нейтральномъ слоѣ.

Допуская, что выпуклая часть балки находится ниже нейтральнаго слоя xoy , а вогнутая—выше него, мы должны будемъ къ сѣченію AC ниже оси oy приложить нормальныя силы растяженія, а выше ея—нормальныя силы сжатія, съ которыми воздѣйствовала отнятая (лѣвая) часть на оставшуюся (правую), и затѣмъ приложить къ правой части всѣ 6 условій равновѣсія твердаго тѣла:

$$\begin{array}{l|l} \Sigma X = 0 & \Sigma (X.y - Y.x) = 0 \\ \Sigma Y = 0 & \Sigma (Y.z - Z.y) = 0 \\ \Sigma Z = 0 & \Sigma (Z.x - X.z) = 0 \end{array}$$

1-е условіе равновѣсія. Внѣшняя нагрузка на ось ox проекціи не даетъ, а потому необходимо, чтобы алгебраическая сумма проекцій всѣхъ внутреннихъ силъ на ось ox была равна нулю. Это послѣднее условіе равносильно тому, что сумма силъ растяженія въ данномъ сѣченіи должна равняться суммѣ силъ сжатія. Необходимость этого положенія была указана еще академикомъ Parent въ 1713 г. Если сумма силъ растяженія будетъ X' , а сила сжатія— X'' , тогда это условіе требуетъ существованія равенства:

$$X' = X'' \quad \dots \dots \dots 5$$

Пользуясь формулой 3, это равенство можно представить такъ:

$$\Sigma X_1 = \frac{E}{r} \cdot \Sigma z \cdot dF = 0. \quad \dots \dots \dots 3.$$

Оно представляетъ собою тождество, п. ч. 2-й множитель, какъ статическій моментъ площади поперечнаго сѣченія балки, взятый относительно оси oy , проходящей чрезъ центръ тяжести площади, всегда равенъ нулю.

2-е условіе равновѣсія удовлетворяется само собою, потому что внутреннія и внѣшнія силы проекцій на ось oy не даютъ.

Проекціи всѣхъ внутреннихъ силъ на оси координатъ будемъ называть чрезъ X_1, Y_1, Z_1 , а проекціи всѣхъ внѣшнихъ силъ — X_2, Y_2, Z_2 .

3-е условіе равновѣсія будетъ:

$$\Sigma Z_1 + \Sigma Z_2 = 0 \dots \dots \dots 7.$$

Но такъ какъ алгебраическая сумма проекцій внѣшнихъ силъ на ось oz не равна нулю, поэтому равенство 7 требуетъ существованія въ поперечномъ сѣченіи AC внутреннихъ тангенціальныхъ силъ, уравновѣшивающихъ собою дѣйствіе внѣшнихъ силъ.

Алгебраическую сумму проекцій на ось oz для внѣшней нагрузки, расположенной по одну сторону отъ произвольно взятаго сѣченія называемъ для краткости *сѣкущимъ усиленъ* или *силой сдвига* для даннаго сѣченія. Такъ какъ сѣкущее усиленіе ΣZ_2 приложено къ балкѣ въ плоскости симметріи ея, поэтому нужно допустить, что и внутреннія тангенціальныя силы ΣZ_1 распределены симметрично по всей площади сѣченія AC (фиг. 94).

4-е условіе равновѣсія удовлетворяется само собою. Выраженіе алгебраической суммы моментовъ $\Sigma X_1 \cdot y$ обращается въ нуль, вслѣдствіе симметріи сѣченія AC относительно оси oz ; благодаря этому, вся эта алгебраическая сумма будетъ состоять изъ слагаемыхъ, которыя попарно будутъ одинаковы по величинѣ, но съ разными знаками у плечъ y . Выраженія $\Sigma X_2 \cdot y, \Sigma Y_1 \cdot x$ и $\Sigma Y_2 \cdot x$ порознь обращаются въ нуль, потому что X_2, Y_2 и Y_1 равны нулю.

5-е условіе равновѣсія также удовлетворяется само собою, потому что силы Y_1 и Y_2 равны нулю, плечи y для силъ Z_2 равны нулю, а силы Z_1 даютъ относительно оси oz моменты, равные по величинѣ, но противоположные по знаку.

6-е условіе равновѣсія. $\Sigma Z_1 \cdot x = 0$, потому что силы Z_1 лежатъ въ плоскости yoz , и плечи ихъ относительно оси oy равны нулю. Алгебраическая сумма моментовъ относительно оси oy для внѣшнихъ силъ, расположенныхъ по одну сторону разсматриваемаго сѣченія, называется *сгибающимъ моментомъ* въ данномъ сѣченіи. Называемъ его чрезъ M .

Тогда

$$M = \Sigma Z_2 \cdot x$$

$\Sigma X_2 \cdot z$ есть нуль, ибо всѣ $X_2 = 0$. Для составленія $\Sigma X_1 \cdot z$ пользуемся равенствомъ 3, и тогда 6-е условіе равновѣсія представится въ такомъ видѣ:

$$M - \frac{E}{r} \cdot \Sigma z^2 \cdot dF = 0.$$

Если написать

$$\Sigma z^2 \cdot dF = I \dots \dots \dots 8,$$

тогда получаемъ:

$$M = \frac{E \cdot I}{r} \dots \dots \dots 9.$$

Величина I представляет собою алгебраическую сумму произведений изъ всѣхъ элементовъ площади на квадраты ихъ разстояній отъ оси ou и называется *экваториальнымъ моментомъ инерции* площади сѣченія относительно оси ou . Эта ось ou называется *осью инерции* поперечнаго сѣченія балки. Какъ видно изъ предыдущаго, *ось инерции сѣченія лежитъ въ нейтральномъ слоеъ балки*, другими словами, *ось инерции произвольнаго поперечнаго сѣченія согнутой балки надо проводить черезъ центръ тяжести сѣченія перпендикулярно къ направлению сгибающихся внѣшнихъ силъ*.

Такъ какъ въ теоріи сгибання приходится имѣть дѣло все время съ однимъ только экваториальнымъ моментомъ инерции и никогда — съ полярнымъ, поэтому во всемъ дальнѣйшемъ изложении величину I мы будемъ называть просто *моментомъ инерции* безъ всякаго наименованія

Послѣ этого равенство 9 слѣдуетъ читать такъ: *въ произвольномъ сѣченіи согнутой балки сгибающій моментъ равенъ произведенію коэффициента упругости материала на моментъ инерции сѣченія, раздѣленному на радиусъ кривизны въ данномъ сѣченіи*.

Выводъ условій равновѣсія согнутой балки на основаніи шести ур-ій статики былъ предложенъ въ 1773 г. знаменитымъ французскимъ ученымъ *Кулоубомъ*, которымъ разработано также и нѣсколько другихъ отдѣловъ теоріи упругости.

4. Расчетное ур-іе сгибаемой балки. Равновѣсіе внутреннихъ и внѣшнихъ силъ при сгибання балки требуетъ существованія р-въ 7 и 9. Рассмотрѣнію р-ва 7, т. е зависимости между нагрузкой и внутренними тангенциальными силами, будетъ посвящена вполнѣ особая глава, здѣсь же пока мы обратимъ главное вниманіе только на крѣпость растянутыхъ и сжатыхъ волоконъ бруса.

Посредствомъ ф-лы 4 можно ввести въ ф-лу 9 напряженія наиболѣе растянутыхъ и наиболѣе сжатыхъ волоконъ, написавши, что

$$M = \frac{H_1}{e_1} \cdot I = \frac{H_2}{e_2} \cdot I \dots \dots \dots 9, a$$

Если вмѣсто H_1 и H_2 будутъ внесены въ это ур-іе *допускаемая напряженія материала* при сгибаніи, тогда мы получимъ расчетныя ур-ія для растянутой и сжатой части согнутаго бруса.

Безопасное напряженіе для крайнихъ растянутыхъ волоконъ

$$B_1 = \text{или болѣе } \frac{M \cdot e_1}{I} \dots \dots \dots 10,$$

а для крайнихъ сжатыхъ волоконъ

$$B_2 = \text{или болѣе } \frac{M \cdot e_2}{I} \dots \dots \dots 11.$$

Безопасная величина сгибающаго момента, которую можетъ воспринять растянутая часть балки, будетъ

$$M_1 = \text{или менѣе } \frac{B_1}{e_1} \cdot I \dots \dots \dots 10, a,$$

а сжатая

$$M_1 = \text{или менѣе } \frac{B_2}{e_2} I \dots \dots \dots 11,а$$

Наименьшая изъ этихъ двухъ величинъ моментовъ и будетъ та, которую можно безопасно передать на данную балку. Какъ видно, эта наименьшая величина момента зависитъ отъ формы поперечнаго сѣченія балки (т. е. отъ разстояній e_1 и e_2) и отъ величины допускаемыхъ напряженій матеріала.

Если поперечное сѣченіе балки имѣетъ не одну, а двѣ оси симметріи, изъ коихъ одна лежитъ въ плоскости сгибанія, а другая въ нейтральномъ слоѣ, тогда разстоянія крайнихъ, наиболѣе растянутыхъ и наиболѣе сжатыхъ волоконъ отъ нейтральнаго слоя будутъ одинаковы, т. е.

$$e_1 = e_2 = e, \text{ поэтому } H_1 = H_2 = H,$$

и вмѣсто ур-ія 9,а получимъ слѣдующее

$$M = \frac{H}{e} \cdot I \dots \dots \dots 9,в.$$

Обозначимъ

$$\frac{I}{e} = W \dots \dots \dots 12$$

и будемъ называть это отношеніе *модулемъ сопротивленія сѣченія балки*. Слѣдъ, *модуль сопротивленія сѣченія балки съ двумя осями симметріи есть отношеніе момента инерціи сѣченія ея относительно нейтральнаго слоя къ полувысотѣ балки*.

Расчетное ур-іе балки съ двумя осями симметріи въ ея сѣченіи можно писать въ такомъ видѣ:

Безопасное напряженіе матеріала

$$B = \text{или болѣе } \frac{M}{W} \dots \dots \dots 13,$$

Безопасная величина сгибающаго момента

$$M = \text{или менѣе } B \cdot W \dots \dots \dots 13,а$$

безопасная (наименьшая возможная) величина модуля сопротивленія сѣченія

$$W = \text{или болѣе } \frac{M}{B} \dots \dots \dots 13,б.$$

Эти ф-лы совершенно аналогичны съ тѣми, которыя имѣли въ теоріи крученія, съ тою лишь разницею, что здѣсь модуль сопротивленія сѣченія вычисляется по экваторіальному моменту инерціи, а не полярному. Другая существенная разница заключается въ томъ, что ф-лы 13 должны быть примѣняемы къ такому сѣченію балки, въ которомъ выраженіе сгибающаго момента имѣетъ наибольшее значеніе по абсолютной величинѣ.

Такое сѣченіе балки называютъ *опаснымъ или расчетнымъ*, а выраженіе сгибающаго момента въ этомъ сѣченіи называютъ *расчетнымъ моментомъ* балки.

Чтобы имѣть возможность производить расчеты балокъ на сгибаніе, надо знать для нихъ величины модулей W , надо выяснитъ, гдѣ находится опасное сѣченіе балки, и какова величина расчетнаго сгибающаго момента.

Б. Модули сопротивленія поперечнаго сѣченія при сгибаніи балки.

5. Модуль сопротивленія прямоугольнаго сѣченія. Стороны прямоугольника — a и h (фиг. 95), ось инерціи yy параллельна сторонѣ a .

Найдемъ сначала моментъ инерціи I_1 прямоугольника $ymny$, у котораго высота $e = 0,5 \cdot h$. Элементъ площади выдѣлимъ въ видѣ прямоугольника съ основаниемъ a и бесконечно малой высотой dz ; расстояние центра тяжести его площади отъ оси yy пусть будетъ z . Тогда $dF = a \cdot dz$, и по 8 получимъ:

$$I_1 = \int_0^e a \cdot z^2 \cdot dz = \frac{a \cdot e^3}{3} \dots \dots \dots 14,$$

т. е. моментъ инерции площади прямоугольника относительно одной изъ сторонъ его = одной трети произведенія 1-й степени этой стороны на кубъ другой стороны.

Если I будетъ моментъ инерціи всей площади прямоугольника tr относительно нейтральной линіи yy , то по смыслу вопроса

$$I = 2I_1 = \frac{2a \cdot e^3}{3} = \frac{a \cdot h^3}{12} \dots \dots \dots 15,$$

т. е. моментъ инерции площади прямоугольника относительно нейтральной линіи = одной двенадцатой произведенія 1-й степени той стороны, которая параллельна нейтральной линіи, на кубъ другой стороны.

Модуль сопротивленія по 12 будетъ:

$$W = \frac{a \cdot h^3}{12} : \frac{h}{2} = \frac{a \cdot h^2}{6} \dots \dots \dots 16,$$

т. е. модуль сопротивленія при сгибаніи балки прямоугольнаго сѣченія = одной шестой произведенія 1-й степени той стороны, которая параллельна нейтральной линіи, на квадратъ другой стороны. Изъ этого видно, что прямоугольныя балки выгодно при сгибаніи ставить „на ребро“, т. е. плоскость сгибанія дѣлать параллельной большему изъ двухъ размѣровъ сѣченія. Если бы положить балку „планшя“, или повернуть сѣченіе ея на 90° , тогда модуль сопротивленія балки былъ бы

$$W_1 = \frac{h \cdot a^2}{6}; \quad \frac{W}{W_1} = \frac{h}{a},$$

т. е. модули сопротивленія одной и той же балки, поставленной на

ребро и положенной плашмя, относятся между собою, как большая сторона сечения къ малой. Въ такомъ же отношеніи между собою будутъ находиться и наиболшіе сгибающіе моменты, которые безопасно будетъ выносить на себѣ каждая изъ балокъ. На этомъ основаніи въ практикѣ, гдѣ только возможно, стараются нагрузить прямоугольную балку въ плоскости, параллельной большей изъ ея сторонъ.

Если бы требовалось построить балку съ прямоугольнымъ сѣченіемъ, сопротивляемость котораго, при данномъ расположеніи сѣченія относительно направленія дѣйствія нагрузки, зависѣла бы въ одинаковой степени отъ каждой изъ сторонъ сѣченія, тогда, какъ видно по 13, а, нужно расчетный моментъ сдѣлать прямо пропорціональнымъ высотѣ балки. Такой примѣръ въ практикѣ имѣемъ при опредѣленіи прочныхъ размѣровъ зубьевъ у зубчатыхъ колесъ.

6. Модуль сопротивленія сѣченій, производимыхъ изъ прямоугольнаго. а) *Полая или пустотѣлая балка* прямоугольнаго сѣченія имѣетъ въ разрѣзѣ видъ, указанный на фиг. 96, гдѣ A —внѣшняя ширина сѣченія, A_1 —внутренняя, H —внѣшняя высота, H_1 —внутренняя, yy —нейтральный слой. Моментъ инерціи такого сѣченія напишется въ видѣ разности моментовъ инерціи внѣшняго и внутренняго очертанія, и разстояніе крайнихъ точекъ сѣченія отъ нейтральной линіи $e = 0,5H$, поэтому

$$W = \frac{A \cdot H^3 - A_1 \cdot H_1^3}{6 \cdot H} \dots \dots \dots 17.$$

б) *Двутавровая балка* съ двумя осями симметріи имѣетъ сѣченіе, показанное на фиг. 97: A —ширина *пожи* или *подошвы*, t —ея толщина, H —высота всей балки, d —толщина ея вертикальной *стѣнки*, yy —нейтральная линія. Модуль сопротивленія этой балки изобразится той же формулой 17, если въ ней замѣнить A_1 чрезъ $(A - d)$ и H_1 чрезъ $H - 2t$. Пользуясь тою же формулою 17 можно написать сразу также и модуль сопротивленія балки съ крестообразнымъ сѣченіемъ, имѣющимъ двѣ оси симметріи.

7. Модуль сопротивленія чечевицеобразнаго сѣченія, очерченнаго дугами круга (фиг. 98). Такая форма сѣченія является весьма цѣлесообразною для спиць маховиковъ, передающихъ работу на пріемный валъ посредствомъ ремня или каната при весьма большой скорости послѣднихъ, нерѣдко превышающей 30 *mt.* (около 100 фут.) въ сек. Спицы съ такимъ сѣченіемъ отлично разсѣкаютъ воздухъ, а для облегченія ихъ дѣлаютъ полыми съ круглымъ очертаніемъ полости.

Пусть дуга mn будетъ описана изъ центра o радиусомъ r , полувысота сѣченія $o_1n = b$ и полуширина его $o_1m = a$. Нейтральной линіей сѣченія будетъ ось om , если on располагается въ плоскости вращенія маховика.

Мы вычислимъ моментъ инерціи I_1 площади mo_1n , т. е. $\frac{1}{4}$ чечевицеобразнаго сѣченія. Для этого выберемъ элементъ площади въ видѣ прямоугольника съ высотой z и безконечно-малою шириною dy , отстоящій отъ центра o на разстояніи y (фиг. 98). Моментъ инерціи этого элемента площади относительно оси om будетъ $\frac{1}{3} \cdot dy \cdot z^3$. Если взять сумму подобныхъ элементарныхъ моментовъ инерціи, измѣняя z отъ нуля до b , а y —отъ r до $c = 00_1$ соответственно, тогда мы получимъ I_1 , т. е.

$$I_1 = \frac{1}{3} \int_c^r z^3 \cdot dy.$$

Зависимость между координатами y и z въ **кругѣ** выражается такъ:

$$y = \sqrt{r^2 - z^2}; \quad dy = \frac{-z \cdot dz}{\sqrt{r^2 - z^2}},$$

$$I_1 = + \frac{1}{3} \int_0^b \frac{z^4 \cdot dz}{\sqrt{r^2 - z^2}}$$

Введемъ новое переменное α , подъ условіемъ

$$z = r \cdot Sn\alpha,$$

измѣняющееся въ предѣлахъ отъ нуля до φ при измѣненіи z отъ нуля до b . Тогда

$$z^4 = r^4 \cdot Sn^4\alpha; \quad dz = r \cdot Cs\alpha \cdot d\alpha$$

$$\sqrt{r^2 - z^2} = r \cdot Cs\alpha$$

$$I_1 = + \frac{r^4}{3} \int_0^\varphi Sn^4\alpha \cdot d\alpha \dots \dots \dots \mathbf{A}$$

$$- \int Sn^4\alpha \cdot d\alpha = T = \int Sn^3\alpha \cdot dCs\alpha$$

$$T = Sn^3\alpha \cdot Cs\alpha - \int Cs\alpha \cdot 3 Sn^2\alpha \cdot Cs\alpha \cdot d\alpha =$$

$$= Sn^3\alpha \cdot Cs\alpha - \int (1 - Sn^2\alpha) \cdot 3 Sn^2\alpha \cdot d\alpha =$$

$$= Sn^3\alpha \cdot Cs\alpha - 3 \int Sn^2\alpha \cdot d\alpha + 3 \int Sn^4\alpha \cdot d\alpha;$$

$$4 T = Sn^3\alpha \cdot Cs\alpha - 3 \cdot \int \frac{1 - Cs 2\alpha}{2} \cdot d\alpha$$

$$T = \frac{Sn^3\alpha \ Cs\alpha}{4} - \frac{3}{8} \left(\alpha - \frac{Sn2\alpha}{2} \right) . \quad . \quad . \quad . \quad \mathbf{B.}$$

Полученное выражение вносимъ въ формулу **A** и вставляемъ оба предѣла:

$$I_1 = \frac{r^4}{3,8} \left[-2Sn^3\varphi \ Cs\varphi + 3\varphi - 3Sn\varphi \cdot Cs\varphi \right] . \quad . \quad . \quad \mathbf{18.}$$

Въ этой формулѣ

$$Sn\varphi = \frac{b}{r}; \quad Cs\varphi = \sqrt{1 - \frac{b^2}{r^2}}.$$

Для получения момента инерціи площади всего чечевице-образнаго сѣченія I нужно написать

$$I = 4I_1.$$

Модуль сопротивленія этого сѣченія получится такъ:

$$W = \frac{I}{e} = \frac{4I_1}{b}.$$

8. Модуль сопротивленія круглаго сѣченія. Круглое сѣчение можно получить преобразованиемъ чечевицеобразнаго, если допустить въ частномъ случаѣ, что

$$b = r, \quad \text{тогда } \varphi = \frac{\pi}{2} \dots Cs\varphi = 0.$$

Называя діаметръ круглаго сѣченія чрезъ d , изъ **18** получимъ:

$$\left. \begin{aligned} I_1 &= \frac{\pi \cdot r^4}{16}, \quad \text{откуда} \\ I &= \frac{\pi \cdot r^4}{4} = \frac{\pi \cdot d^4}{64} \\ W &= \frac{\pi \cdot d^3}{32} \end{aligned} \right\} \dots \dots \dots \mathbf{19,}$$

т. е. модуль сопротивленія балки съ круглымъ сѣчениемъ = произведенію площади сѣченія на восьмую долю діаметра его.

Если брусъ будетъ полый съ наружнымъ діам. d_1 и внутреннимъ d_0 , тогда модуль сопротивленія, очевидно, будетъ имѣть слѣдующее выраженіе:

$$W_1 = \frac{\pi}{32} \cdot \frac{d_1^4 - d_0^4}{d_1} \dots \dots \dots \mathbf{20.}$$

9. Модуль сопротивленія эллиптическаго сѣченія (фиг. 99). Полуоси его $om = a$ и $on = b$, нейтральная линия — om , ур-е вѣтви mn —

$$\begin{aligned} \frac{y^2}{a^2} + \frac{z^2}{b^2} &= 1, \quad \text{откуда} \\ z^2 &= \frac{b^2}{a^2} (a^2 - y^2). \end{aligned}$$

Опредѣляя моментъ инерціи площади оръзка *топ*, мы можемъ написать

$$I_1 = \frac{1}{3} \int_0^a z^3 \cdot dy = \frac{b^3}{3a^3} \int_0^a \sqrt{(a^2 - y^2)^3} \cdot dy$$

Введемъ сюда новое переменное β подѣ условіемъ:

$$y = a \cdot \text{Cs}\beta; \quad a^2 - y^2 = a^2 \cdot \text{Sn}^2\beta, \\ dy = -a \cdot \text{Sn}\beta \cdot d\beta;$$

когда $y = 0 \dots \dots \beta = \frac{\pi}{2}$

" $y = a \dots \dots \beta = 0$

$$I_1 = \frac{a \cdot b^3}{3} \cdot \int_0^{\frac{\pi}{2}} \text{Sn}^4\beta \cdot d\beta.$$

Интегралъ этого вида былъ полученъ нами въ § 7. Результатъ былъ отмѣченъ буквою **В**. Внося въ это выраженіе предѣлы, получимъ

$$\left. \begin{aligned} I &= 4I_1 = \frac{\pi \cdot a \cdot b^3}{4} \\ W &= \frac{\pi \cdot a \cdot b^2}{4} \end{aligned} \right\} \dots \dots \dots 21,$$

т. е. модуль сопротивленія балки съ эллиптическимъ сѣченіемъ = произведенію площади сѣченія на восьмую долю высоты сѣченія.

То же самое выраженіе I для эллипса съ полуосями b и a можетъ быть выведено и другимъ путемъ, пользуясь соотношеніемъ между ординатою эллипса и ординатою круга, вписаннаго въ эллипсъ.

Опишемъ изъ центра O (фиг. 100) двѣ окружности, одну радиусомъ $On = b$, а другую — радиусомъ $Om = a$. Проведемъ произвольный радиусъ векторъ OAB . Если $AC \parallel On$ и $BC \parallel Om$, тогда точка C принадлежитъ эллипсу, построенному на полуосяхъ a и b .

При линіи BC выдѣлимъ прямоугольный элементъ площади съ шириною dy и высотой $DC = z$ въ эллипсѣ и $AD = z_1$ въ кругѣ радиуса a . Моментъ инерціи $\frac{1}{4}$ площади эллипса, т. е. площади $mCnO$ будетъ

$$I_1 = \int_0^a \frac{z^3}{3} \cdot dy.$$

Изъ чертежа (фиг. 100) имѣемъ:

$$\frac{CD}{AD} = \frac{OB}{OA}, \text{ или}$$

$$\frac{z}{z_1} = \frac{b}{a}, \text{ откуда } z = z_1 \cdot \frac{b}{a}$$

$$I_1 = \frac{b^3}{a^3} \int_0^a \frac{z_1^3 \cdot dy}{3} = \frac{b^3}{a^3} \cdot \frac{\pi a^4}{16} = \frac{\pi \cdot a \cdot b^3}{16},$$

такъ какъ интеграль, входящій въ послѣднее выраженіе, есть моментъ инерціи четверти площади круга, описаннаго радіусомъ a .

В. Расчетные сгибающіе моменты и стрѣлы прогиба призматическихъ балокъ.

10. **Сгибающій моментъ.** Алгебраическая сумма моментовъ всѣхъ силъ, расположенныхъ по одну сторону отъ разсматриваемаго сѣченія согнутой балки, наз. *сгибающимъ моментомъ* въ данномъ сѣченіи. Величина момента получится, очевидно, всегда одна и та же, брать ли моментъ всѣхъ погрузокъ, расположенныхъ справа отъ даннаго сѣченія, или же слѣва: мы разсматриваемъ балку послѣ того, какъ установилось равновѣсіе внѣшней погрузки и внутреннихъ силъ сопротивленія, когда, слѣдовательно, за центръ моментовъ можетъ быть принятъ центръ тяжести произвольнаго сѣченія балки, и алгебраическая сумма моментовъ всѣхъ внѣшнихъ нагрузокъ относительно этого центра должна быть = нулю. Поэтому сгибающій моментъ пишутъ для нагрузокъ, расположенныхъ или справа или слѣва отъ даннаго сѣченія, и часто отдаютъ предпочтеніе тому изъ этихъ выраженій, которое имѣетъ болѣе простой внѣшній видъ.

Пусть точка приложения нагрузки P_1 , сосредоточенной въ одномъ сѣченіи, находится отъ конца балки A (фиг 101) на разстояніи l_1 , а произвольное сѣченіе N балки — на разстояніи x , тогда моментъ силы P_1 относительно центра тяжести (сокращенно—ц. т.) сѣченія N напишется весьма просто, умножая силу на ея плечо, т. е. сгибающій моментъ въ сѣченіи N будетъ $P_1(x-l_1)$.

Посмотримъ теперь, какъ слѣдуетъ писать *выраженіе сгибающаго момента отъ равномерной нагрузки*, которую на всемъ протяженіи AN можно представлять себѣ въ видѣ вѣсмага слоя одинаковой ширины и высоты. Нагрузка, приходящаяся на линейную единицу длины балки (1 мм), пусть будетъ p . Возьмемъ на разстояніи y отъ сѣченія N бесконечно-тонкій элементъ этой нагрузки шириною dy ; на этой ширинѣ будетъ распреѣлена нагрузка $p \cdot dy$, которую можно принимать за сосредоточенный грузъ и писать для него моментъ относительно ц. т. сѣченія N въ видѣ $p \cdot y \cdot dy$; тогда для всей нагрузки, распреѣленной на длинѣ x , сгибающій моментъ можно разсматривать, какъ алгебраическую сумму предыдущихъ выраженій, распространяя суммирование по y въ предѣлахъ отъ нуля до x . Результатъ вычисления, очевидно, будетъ $0,5 \cdot p \cdot x^2$. Его можно разсматривать, какъ произведеніе $p \cdot x$ на $0,5 \cdot x$; но $p \cdot x$ есть вся равномерная нагрузка, распреѣленная на длинѣ

x , а $0,5 \cdot x$ есть расстояние ц. т. ея отъ ц. т. сѣченія N , слѣдовательно, когда нужно писать моментъ равномерной нагрузки относительно ц. т. даннаго сѣченія, тогда нагрузку нужно представлять себѣ какъ бы сосредоточенной въ ц. т. ея и писать для нея моментъ на общихъ основаніяхъ, какъ для сосредоточеннаго груза. Поэтому, если на длинѣ $mn = c - b$ (фиг. 101) будетъ равномерно распредѣлена такая нагрузка, у которой на единицу длины приходится q килограм., то вся нагрузка будетъ $q \cdot (c - b)$, а моментъ ея относительно ц. т. сѣченія N надо писать такъ:

$$q \cdot (c - b) \cdot \left(x - \frac{b + c}{2} \right).$$

Если теперь представимъ себѣ, что на балку справа отъ сѣченія N дѣйствуютъ сосредоточенные грузы P_1, P_2 и равномерныя нагрузки, изъ коихъ одна распредѣлена равномерно только на длинѣ mn , а другая—на всемъ протяженіи бруса, тогда сгибающій моментъ для сѣченія N отъ всѣхъ нагрузокъ, расположенныхъ отъ него справа, надо писать такъ:

$$M = P_1(x - l_1) - P_2(x - l_2) + q \cdot (c - b) \cdot \left(x - \frac{b + c}{2} \right) + \frac{p \cdot x^2}{2} \dots 22.$$

Если считать x за абсциссы, а M за ординаты, то ур-іе 22 будетъ представлять собою уравненіе нѣкоторой кривой линіи; ее называютъ *кривою моментовъ*.

Если $p = 0$, тогда кривая моментовъ обращается въ прямую линію, аналитическое выраженіе момента не имѣетъ тогда ни *max*, ни *min*, а сама функція съ увеличеніемъ x или все возрастаетъ, или все убываетъ. Наибольшій сгибающій моментъ будетъ въ этомъ случаѣ имѣть мѣсто для одного изъ сѣченій, въ которомъ сосредоточена вышняя нагрузка.

Если же p не равно нулю, тогда кривая моментовъ при данномъ сѣченіи будетъ всегда параболой, независимо отъ того, нагружена ли балка еще и сосредоточенными грузами, или же нѣтъ.

11. Сѣкующее усиліе. Если мы возьмемъ 1-ю производную отъ момента M (см. ур-іе 22) по абсциссѣ x , то получимъ:

$$\frac{dM}{dx} = P_1 - P_2 + q \cdot (c - b) + p \cdot x \dots 23.$$

Вторая часть этого послѣдняго равенства представляетъ собою алгебраическую сумму проекцій на ось oz (фиг. 94) всѣхъ нагрузокъ, приложенныхъ къ балкѣ справа отъ сѣченія N на фиг. 101. Въ § 3 (при разсмотрѣніи 3-го условия равновѣсія) такую алг. сумму мы называли *сѣкующимъ усиліемъ* или *силою сдвига* для даннаго сѣченія. Такъ обр. мы видимъ, что *сѣкующее усиліе аналитически представляетъ собою 1-ю производную отъ сгибающаго момента по абсциссѣ сѣченія*.

Если назовем сѣкующее усилие чрезъ V , то

$$V = \frac{dM}{dx} 24.$$

Равенство это было доказано инженеромъ Шведлеромъ и часто зовется его именемъ.

Уравненіе

$$V = P_1 - P_2 + q(b - c) + p \cdot x$$

выражаетъ зависимость между V и x . Оно представляетъ собою всегда прямую линію, которая можетъ быть названа *прямой сѣкующихъ усилій*.

Если $p = 0$, т. е. равномерная нагрузка при данномъ сѣченіи на балкѣ отсутствуетъ, тогда V не зависитъ отъ x , т. е. прямая сѣкующихъ усилій будетъ параллельна оси бруса.

Если же p не равно нулю, тогда прямая сѣкующихъ усилій будетъ наклонна къ оси бруса. Въ этомъ случаѣ прямая сѣкующихъ усилій должна пересѣкать ось бруса при такомъ значеніи x , которое соотвѣтствуетъ аналитическому *max* или *min* сгибающаго момента (на основ. формулы 24).

12. Дифференціальное ур-іе упругой линіи. Кривая, въ которую обращается ось балки послѣ изгиба ея внѣшней нагрузкой, наз. *упругой линіей*. Наибольшая ордината упругой линіи при данномъ способѣ нагруженія наз. *стрѣлой прогиба* или *прогибомъ* балки. Радиусъ кривизны r упругой линіи въ данномъ сѣченіи бруса, при всѣхъ прочихъ одинаковыхъ условіяхъ, обратно пропорціоналенъ сгибающему моменту (см. формулу 9).

Съ другой стороны, если x и z будутъ координаты произвольной точки упругой линіи, то

$$r = \pm \left[1 + \left(\frac{dz}{dx} \right)^2 \right]^{\frac{3}{2}} : \frac{d^2z}{dx^2}.$$

При весьма маломъ прогибѣ балки, который мы все время имѣемъ въ виду, выраженіе $\frac{dz}{dx}$, представляющее собою tg угла наклоненія касательной къ упругой линіи съ осью абсциссъ (осью бруса), будетъ весьма малой величиной, и квадратомъ ея, который приходится складывать съ единицей, безъ большой погрѣшности можно пренебречь *); тогда, по совокупности съ ур-іемъ 9, можно будетъ написать:

$$\pm \frac{d^2z}{dx^2} = \frac{1}{r} = \frac{M}{E \cdot I}.$$

*) Это допущеніе аналитически будетъ выражать собою то, что мы не дѣлаемъ разницы между дѣйствительною длиною дуги ds упругой линіи и проекціей dx этой дуги на ось бруса, т. е. мы допускаемъ, что плечо нагрузки относительно ц т даннаго сѣченія до прогиба и послѣ прогиба балки одно и то же.

Это ур-іе наз. *дифференціальнымъ ур-іемъ упругой линіи*. Интегрируя его 2 раза, мы получимъ ур-іе упругой линіи въ обычномъ его видѣ, какъ аналитическую зависимость между z и x . Обозначимъ для краткости

$$E \cdot I = A \dots \dots \dots 25.$$

Тогда въ болѣе общемъ видѣ дифференціальное ур-іе упругой линіи можно писать такъ:

$$\pm A \cdot \frac{d^2 z}{dx^2} = \pm M \dots \dots \dots 26.$$

13. **Выборъ знаковъ въ дифференціальномъ ур-іи упругой линіи** дѣлается такимъ образомъ, чтобы знакъ у ординаты z , полученный изъ ур-ія упругой линіи, былъ одинаковъ съ тѣмъ знакомъ, который слѣдуетъ приписать ординатѣ z согласно выбранному расположенію осей координатъ. Оба эти знака будутъ совершенно согласны, если соблюдать слѣдующія правила:

1) знакъ у 1-й части ур-ія 26 нужно поставить въ зависимость отъ знака у радіуса кривизны, который считается за $(+r)$, если направление радіуса кривизны, проведенное отъ точки на кривой до центра кривизны, идетъ въ сторону положительной оси ординатъ, и наоборотъ;

2) знакъ у 2-й части ур-ія 26 нужно поставить въ зависимость отъ способа воздѣйствія сгибающаго момента на данное сѣченіе балки, считая за $(+M)$ тотъ моментъ, который стремится *согнуть* балку, а за $(-M)$ такой моментъ, который стремится *разогнуть* балку въ разсматриваемомъ сѣченіи.

При соблюденіи этихъ правилъ разногласія вычисленія съ чертежемъ получаться не будутъ.

14. **Интегральное ур-іе упругой линіи** получится, если обинтегрируемъ ур-іе 26-е два раза. Пусть OC (фиг. 102) будетъ часть упругой линіи, отнесенной къ осямъ координатъ xOz . Предположимъ, что на упругой линіи существуетъ такая точка C , обѣ координаты которой намъ извѣстны и равны a и h , т. е.

$$\text{при } x = a \dots \dots \dots z = h.$$

Возьмемъ у балки произвольное сѣченіе N на разстоянн x отъ начала координатъ и на разстоянн y отъ точки C . Сгибающій моментъ въ этомъ сѣченіи пусть будетъ M . Не обращая вниманія на знаки въ ур-іи 26, интегрируемъ его въ предѣлахъ отъ нуля до x , имѣя въ виду, что по фиг. 102

$$\text{при } x = 0 \dots \dots \dots \frac{dz}{dx} = tg \alpha$$

$$A \left(\frac{dz}{dx} - tg \alpha \right) = \int_0^x M \cdot dx$$

Интегрируемъ это послѣднее ур-іе еще разъ между тѣми же предѣлами, замѣчая, что при $x=0$ и $z=0$, поэтому

$$A(z - x \cdot \operatorname{tg} \alpha) = \int_0^z dx \int_0^x M dx = K.$$

Для нахождения этого двойного интеграла пользуемся известной формулой:

$$\int u \cdot dv = u \cdot v - \int v \cdot du.$$

Въ нашемъ случаѣ надо положить

$$\begin{aligned} dv &= dx; & v &= x, \\ u &= \int_0^x M \cdot dx; & du &= M \cdot dx, \end{aligned}$$

тогда получимъ

$$K = x \cdot \int_0^x M \cdot dx - \int_0^x x \cdot M \cdot dx.$$

Если полученное нами выраженіе мы отнесемъ къ точкѣ C , тогда нужно ввести въ него h вмѣсто z , а — вмѣсто x . Одновременно съ этимъ введемъ новое значеніе абсциссы, а именно y вмѣсто x подѣ условіемъ:

$$y + x = a; \quad dx = - dy,$$

при

$$x = 0 \dots y = a,$$

»

$$x = a \dots y = 0, \text{ тогда}$$

$$A \cdot (h - a \cdot \operatorname{tg} \alpha) = - a \cdot \int_a^0 M \cdot dy + \int_a^0 M(a - y) dy,$$

или

$$\pm A \cdot (h - a \cdot \operatorname{tg} \alpha) = \int_0^a M \cdot y \cdot dy \dots \dots \dots . 27.$$

Это и есть искомое интегральное ур-іе упругой линіи. Въ немъ h и a — координаты произвольной точки на кривой. Въ 1-й части равенства нужно брать передъ A знакъ или плюсъ, или минусъ, смотря по тому, какое значеніе имѣетъ ордината h по чертежу. Знаки y момента вписываются по 2-му правилу § 13.

Далѣе мы рассмотримъ цѣлый рядъ примѣровъ на расчетъ призматическихъ балокъ при разныхъ способахъ ихъ нагруженія, встрѣчающихся въ практикѣ. Въ каждомъ изъ этихъ примѣровъ мы будемъ рѣшать нижеслѣдующіе вопросы:

- 1) какой видъ имѣютъ кривая моментовъ и прямая силъ сдвига,

- 2) къ какому сѣченію относится расчетная величина сгибающаго момента *),
- 3) какой видъ имѣетъ ур-іе крѣпости балки,
- 4) чему равна безопасная нагрузка на балку при данныхъ размѣрахъ ея,
- 5) чему равна безопасная длина балки при данной нагрузкѣ на нее и данномъ модулѣ сопротивленія,
- 6) какой видъ имѣетъ ур-іе упругой линіи, есть ли у нея точки перегиба и проч.,
- 7) какую величину имѣетъ стрѣла прогиба и
- 8) какъ выражается отношеніе допускаемой стрѣлы у балки къ допускаемой длинѣ послѣдней.

15. Балка зацеplена однимъ концомъ въ стѣнѣ и нагружена сосредоточеннымъ грузомъ P на свободномъ концѣ (фиг. 103). *a.* Длина балки $CD = l$. Беремъ произвольное поперечное сѣченіе балки N на разстояніи y отъ свободного конца и обозначаемъ сгибающій моментъ въ этомъ сѣченіи чрезъ M , а сѣкущее усиліе — чрезъ V . Тогда

$$M = P \cdot y$$

будетъ ур-іе прямой моментовъ DC_1 , проходящей чрезъ ц т крайняго свободного конца балки, засѣкающей въ сѣченіи N ординату $NN_1 = M$, а въ ущемленномъ сѣченіи C наибольшую возможную ординату

$$M_1 = P \cdot l. \dots \dots \dots 28.$$

Это выраженіе сгибающаго момента и будетъ *расчетнымъ*, а ущемленное сѣченіе C — *опаснымъ*.

Ур-іе крѣпости такой балки будетъ (см. форм. 13 *a* въ § 4):

$$P \cdot l = B \cdot W \dots \dots \dots 29.$$

Безопасная нагрузка P_1 опредѣлится такъ:

$$P_1 = B \cdot W : l \dots \dots \dots 30,$$

а безопасная длина l_1 балки при данной нагрузкѣ будетъ:

$$l_1 = B \cdot W : P \dots \dots \dots 31.$$

Сѣкущее усиліе (см. ф-лу 24) будетъ

$$V = P = NN_2 \dots \dots \dots 32.$$

Прямая сѣкущихъ усилій (N_2C_2) будетъ параллельна несогнутой оси бруса CD , и всѣ поперечныя сѣченія согнутой балки будутъ одинаково опасны относительно поперечнаго сдвига.

Расчетный моментъ балки M_1 представляетъ собою въ этомъ случаѣ также и моментъ зацеplенія конца C , или иначе *опорный мо-*

*) Это сѣченіе наз. *расчетнымъ* или *опаснымъ*.

ментъ, съ которымъ конецъ C долженъ быть удерживаемъ на мѣстѣ, чтобы не происходило вывертыванія балки, т. е. отклоненія упругой линіи CO отъ первоначальной несогнутой ея оси CD въ точкѣ C . Кромѣ опорнаго момента M_1 , стѣнѣ должна оказать еще сопротивленіе, равное нагрузкѣ P , но противоположное ей по направленію. Если писать сгибающій моментъ въ сѣченіи N для всѣхъ силъ, расположенныхъ слѣва отъ сѣченія N , то мы должны взять опорный моментъ и затѣмъ моментъ сопротивленія опоры, т. е.

$$M = M_1 - P \cdot x = P(l-x),$$

что, очевидно, тождественно съ прежнимъ выраженіемъ момента $P \cdot y$.

б. При нахожденіи стрѣлы прогиба беремъ прямоугольныя оси координатъ yoz (фиг. 103), располагая начало ихъ въ ц. т. O крайняго свободнаго провисшаго сѣченія балки, и направляя ось Oy параллельно несогнутой оси бруса, а ось Oz — по вертикали вверхъ, чтобы всѣ ординаты упругой линіи имѣли положительное значеніе. Мы предполагаемъ, что защемленіе балки совершенное, т. е., что при вертикальной стѣнѣ несогнутая ось балки CD горизонтальна, а согнутая ось CO касается CD въ мѣстѣ защемленія, т. е.

при $y = l$, или $x = 0 \dots \dots \dots tg\alpha = 0 \dots \dots \dots$ 33.

Выраженіе стрѣлы прогиба м. получить по ф-лѣ 27 (см. § 14) непосредственно, если въ ней положить

$$a = l \text{ и } M = + P \cdot y,$$

т. к. внѣшняя нагрузка P въ сѣченіи N загибаетъ балку (см. § 13). Тогда

$$+ A \cdot h = \int_0^a P \cdot y^2 \cdot dy = \frac{Pl^3}{3}, \text{ откуда}$$

$$h = \frac{1}{3} \cdot \frac{P \cdot l^3}{E \cdot I} \dots \dots \dots$$
 34,

т. е. стрѣла прогиба прямо пропорціональна 1-й степени нагрузки, кубу длины балки, и обратно пропорціональна коэф. упругости матеріала балки и моменту инерціи сѣченія.

в. Для вычисленія допускаемой стрѣлы прогиба f_1 въ ур-е 34 вмѣсто $P \cdot l$ нужно будетъ внести $B \cdot I : e$ (по форм. 29 и 13 а), тогда получимъ:

$$f_1 = \frac{1}{3} \cdot \frac{B}{E} \cdot \frac{l^3}{e} \dots \dots \dots$$
 35,

т. е. допускаемая стрѣла прогиба прямо пропорціональна 1-й степени возможнаго въ матеріалъ напряженія, квадрату длины балки, и обратно пропорціональна коэф. упругости матеріала балки и полувысотѣ сѣченія ея (наибольшему размѣру сѣченія, расположенному параллельно плоскости дѣйствія силъ или въ самой этой плоскости).

Если принять

для дерева $B = 1$ кг./кв. мм., $E \doteq 1000$ кг./кв. мм.

„ чугуна $B = 2,5$ „ „ $E = 10000$ „

„ желѣза $B = 7,5$ „ „ $E = 20000$ „

тогда при однихъ и тѣхъ же значеняхъ $l^2:e$ допускаемыя стрѣлы прогиба для дерева, чугуна и желѣза будутъ относиться между собою, какъ

$$1 : \frac{2,5}{10} : \frac{7,5}{20}, \text{ или } 1 : \frac{1}{4} : \frac{1}{2,66}$$

г. Если для воспринятія нагрузки P будутъ задѣланы въ стѣну двѣ параллельныя балки одинаковой длины, изъ одного и того же матеріала, но различныхъ размѣровъ въ сѣчени, тогда, для одинаковости ихъ прогиба на свободномъ концѣ требуется, чтобы общая нагрузка была распределена между балками въ отношеніи прямо пропорциональномъ моментамъ инерціи ихъ сѣченій (по ф-лѣ 34). А если при одинаковомъ прогибѣ этихъ двухъ балокъ требуется отъ нихъ и одинаковая крѣпость, т. е. существованіе одного и того же допускаемаго напряженія матеріала въ опасномъ сѣчені, тогда, какъ указываетъ форм. 35, требуется имѣть у нихъ еще и одинаковую высоту, т. е. распределеніе нагрузокъ между обѣими балками д. б. сдѣлано прямо пропорционально модулямъ сопротивленія ихъ сѣченій. Если C_1D_1 и C_2D_2 (фиг. 104) въ планѣ будутъ двѣ такія балки съ модулями W_1 и W_2 . тогда на поперечной соединительной балкѣ D_1D_2 точку приложенія T для общей нагрузки P надо избрать такъ, чтобы существовало равенство.

$$W_1 \cdot m = W_2 \cdot n$$

д. Если для воспринятія нагрузки P будутъ задѣланы въ стѣны двѣ балки C_1D и C_2D (фиг. 105), сходящіяся на свободныхъ своихъ концахъ подъ прямымъ угломъ, тогда величины нагрузокъ P_1 и P_2 , вызывающихъ въ каждой изъ этихъ балокъ одинаковый прогибъ на концѣ будутъ связаны между собою такимъ ур-немъ:

$$\frac{P_1 \cdot l_1^3}{E_1 \cdot I_1} = \frac{P_2 \cdot l_2^3}{E_2 \cdot I_2},$$

гдѣ чрезъ l_1 и l_2 обозначена длина обѣихъ балокъ, E_1 и E_2 — коэф. упругости ихъ, I_1 и I_2 — моменты инерціи. Ур-ня крѣпости каждой изъ нихъ напишутся въ такомъ видѣ:

$$P_1 \cdot l_1 = B_1 \cdot \frac{I_1}{e_1}; P_2 \cdot l_2 = B_2 \cdot \frac{I_2}{e_2}.$$

Соединяя эти ф-лы съ предыдущею, найдемъ:

$$\frac{e_1}{e_2} = \frac{B_1}{B_2} \cdot \frac{E_2 (l_1)^2}{E_1 (l_2)^2}.$$

Если объ балки изъ одного и того же матеріала, и желаютъ построить ихъ съ одинаковою степенью надежности, то $B_1 = B_2$ и $E_1 = E_2$; тогда

$$\frac{e_1}{e_2} = \left(\frac{l_1}{l_2}\right)^2,$$

т. е. высоты балокъ изъ одного и того же матеріала, сходящихся подъ угломъ, воспринимающихъ на себя общую нагрузку и рассчитываемыхъ съ одной и той же надежностью, должны быть пропорциональны квадратамъ ихъ длины. При этихъ условіяхъ отношеніе между нагрузками выразится такъ:

$$\frac{P_1}{P_2} = \frac{I_1}{I_2} \cdot \left(\frac{l_2}{l_1}\right)^3.$$

е. Уравненіе упругой линіи. Согнутая ось бруса пусть будетъ CO (фиг. 103). Отнесемъ ее къ прежнимъ осямъ координатъ *уог*. Чтобы примѣнить къ этому случаю ур-іе 26 (см. § 12), надо рѣшить вопросъ о знакахъ. Радіусъ кривизны въ сѣченіи N пойдетъ въ сторону отрицательной оси z -овъ, поэтому въ 1-й части ур-ія 26 надо поставить знакъ минусъ; затѣмъ моментъ силы P относительно ц. т. сѣченія N является загибающимъ балку, поэтому во 2-ой части ур-ія 26 надо поставить знакъ плюсъ (см. § 13). На основаніи этого мы получимъ:

$$-A \cdot \frac{d^2 z}{dy^2} = + P \cdot y.$$

Интегрируемъ это ур-іе 2 раза, вводя каждый разъ произвольныя постоянныя c и c_1

$$-A \cdot \frac{dz}{dy} = P \cdot \frac{y^2}{2} + c \dots \dots \dots \text{а,}$$

$$-A \cdot z = \frac{P}{2} \cdot \frac{y^3}{3} + c \cdot y + c_1 \dots \dots \dots \text{б}$$

Для опредѣленія постояннаго c надо отнести ф-лу а къ такой точкѣ на кривой, въ которой бы мы знали величину $tg\alpha$; мы имѣемъ такую точку, а именно C , для которой

$$\text{при } y = l \dots \frac{dz}{dy} = 0 = \frac{P \cdot l^2}{2} + c,$$

откуда
$$c = - \frac{P \cdot l^2}{2}.$$

Для нахождения постояннаго c_1 отнесемъ формулу б къ началу координатъ O , гдѣ при $y = 0$ и $z = 0$, а тогда видимъ, что $c_1 = 0$. Послѣ этого ф-ла б приметъ видъ:

$$A \cdot z = \frac{P}{2} \cdot y \cdot \left(l^2 - \frac{y^2}{3} \right) \dots \dots \dots \text{в.}$$

Это и есть искомое ур-іе упругой линіи. *Мах* ординаты $z = h$ мы получимъ, дѣлая въ этомъ ур-іи $y = l$. Результатъ будетъ тождественъ съ ф-лой 34.

ж. Воспользуемся тѣмъ же примѣромъ и докажемъ, что результатъ, данный въ ф-лѣ 34, не зависитъ отъ расположенія осей координатъ. Новое начало ихъ возьмемъ въ точкѣ O , ось x -овъ направимъ по несогнутой оси бруса CD , а ось z -овъ по линіи CC_2 (внизъ). Тогда радіусъ кривизны въ сѣченіи N будетъ направленъ въ сторону положительной оси z -овъ, и моментъ силы P будетъ загибающимъ балку въ сѣченіи N , стало быть, на основаніи § 13, ф-ла 26 здѣсь будетъ имѣть видъ.

$$+ A \cdot \frac{d^2 z}{dx^2} = + P(l-x).$$

Интегрируя это ур-іе 2 раза, получимъ:

$$A \cdot \frac{dz}{dx} = - \frac{P(l-x)^2}{2} + c_2 \dots \dots \dots \text{д.}$$

$$A \cdot z = \frac{P}{2} \frac{(l-x)^3}{3} + c_2 \cdot x + c_3 \dots \dots \dots \text{е.}$$

Для нахождения c_2 примѣняемъ ф-лу д къ точкѣ C , гдѣ при

$$x = 0 \dots \frac{dz}{dx} = 0 = - \frac{Pl^2}{2} + c_2,$$

откуда

$$c_2 = \frac{P \cdot l^2}{2}.$$

Для нахождения c_3 примѣнимъ къ точкѣ C ф-лу е, дѣлая

$$\text{при } x = 0 \dots z = 0 = \frac{P \cdot l^3}{6} + c_3,$$

$$\text{откуда } c_3 = - \frac{P \cdot l^3}{6}.$$

Послѣ этого ур-іе е приметъ видъ:

$$A \cdot z = \frac{P \cdot (l-x)^3}{6} + \frac{P \cdot l^2}{2} \cdot x - \frac{P \cdot l^3}{6}.$$

Мах величины $z = h$ въ этомъ случаѣ будетъ имѣть мѣсто при $x = l$, и результатъ будетъ тождественъ съ ф-лой 34.

16. Балка защемлена однимъ концомъ въ стѣнѣ и нагружена по всей длинѣ равномерно (фиг. 106). *а.* Длина балки CD (фиг. 12) пусть будетъ l . Беремъ произвольное сѣченіе балки N на разстояніи y отъ свободнаго конца и обозначаемъ сгиб. мом. въ этомъ сѣченіи чрезъ M , а сѣкущее усиліе чрезъ V . Тогда, обозначая нагрузку, приходящуюся на единицу длинѣ балки, чрезъ p , будетъ имѣть:

$$M = \frac{p \cdot y^2}{2}$$

Видимъ, что кривою моментовъ будетъ въ этомъ случаѣ парабола $C_1 D$, проходящая чрезъ ц. т. крайняго свободнаго конца балки. Вершина параболы будетъ въ D , а ея ось Dz . Наибольшая возможная ордината этой кривой будетъ

$$CC_1 = M_2 = \frac{p \cdot l^2}{2} = Q \cdot \frac{l}{2} \dots \dots \dots 36$$

Это выраженіе сгибающаго момента и будетъ *разсчетнымъ*, а ущемленное сѣченіе C — *опаснымъ*. Ур-іе крѣпости такой балки будетъ:

$$\frac{Q \cdot l}{2} = B \cdot W \dots \dots \dots 37$$

Безопасная нагрузка P_2 опредѣлится такъ:

$$P_2 = 2 \cdot B \cdot W : l \dots \dots \dots 38,$$

а безопасная длина балки l_2 при данной нагрузкѣ будетъ:

$$l_2 = 2 \cdot B \cdot W : Q \dots \dots \dots 39$$

Сравнивая формулы 30 и 38, 31 и 39, видимъ, что и безопасная нагрузка, и безопасная длина балки здѣсь будутъ вдвое болѣе чѣмъ въ 1-мъ случаѣ.

Прямая сѣкущихъ усилій $C_2 D$ будетъ, очевидно, имѣть ур-іе:

$$V = \frac{dM}{dy} = p \cdot y,$$

т. е. наиболѣе опаснымъ сѣченіемъ относительно сдвига будетъ ущемленное сѣченіе C .

Дѣйствіе стѣны на балку сказывается моментомъ защемленія M_2 и сопротивленіемъ, равнымъ Q , но направленнымъ вверху.

Напишемъ сгиб. мом. для сѣченія N отъ всѣхъ силъ, приложенныхъ къ балкѣ, *слѣва* отъ него:

$$M = \frac{Q \cdot l}{2} - Q \cdot x + \frac{p \cdot x^2}{2},$$

но $Q = p \cdot l$, поэтому

$$M = \frac{p}{2} (l^2 - 2 l x + x^2) = \frac{p \cdot y^2}{2},$$

т. е. безразлично, писать ли моментъ для всѣхъ силъ, расположенныхъ справа отъ даннаго сѣченія, или же слѣва.

б. При нахожденіи стрѣлы прогиба беремъ прямоугольныя оси координатъ $y Oz$ (фиг. 106), располагая начало ихъ въ ц. т. O крайняго свободнаго конца балки, и направляя ось Oy параллельно несогнутой оси бруса, а ось Oz — по вертикали вверху, чтобы всѣ ординаты упругой линіи CO были положительны. При совершенномъ защемленіи балки въ сѣченіи C ,

$$\text{при } y = l \text{ и } x = 0 \dots \text{ т. е. } \alpha = 0.$$

Выражаніе стрѣлы прогиба h м. получить изъ ф-лы 27, если въ ней положить

$$a = l \text{ и } M = \frac{p \cdot y^2}{2},$$

выбравъ знаки на основ. §§ 13 и 14. Тогда

$$+ A \cdot h = \int_0^l \frac{p \cdot y^2}{2} \cdot y \cdot dy = \frac{p \cdot l^3}{8}, \text{ откуда}$$

$$h = \frac{1}{8} \cdot \frac{Q \cdot l^3}{E \cdot I} \dots \dots \dots 40$$

И здѣсь м. было бы привести то же самое заключеніе, которое было сдѣлано по поводу ф-лы 34.

е. Для вычисленія допускаемой стрѣлы прогиба f_2 въ ф-лу 40 вмѣсто 0,5. $Q \cdot l$ надо внести $B \cdot I : e$ (на основ. ф-лы 37):

$$f_2 = \frac{1}{4} \cdot \frac{B \cdot l^2}{E \cdot e} \dots \dots \dots 41$$

Сравнивая ф-лу 35 съ 41, видимъ, что безопасная стрѣла прогиба будетъ получаться во 2-мъ случаѣ менѣе, чѣмъ въ 1-мъ, въ отношеніи 3 : 4.

Заключенія § 15, ϵ и δ одинаково приложимы и къ этому способу нагруженія.

г. Для полученія ур-ня упругой линіи беремъ оси координатъ такъ, какъ говорено ранѣе (§ 16 б). Вопросъ о знакахъ разрѣшаемъ на основ. § 13 и получаемъ:

$$- A \cdot \frac{d^2 z}{dy^2} = + \frac{p \cdot y^2}{2}$$

Послѣ двухъ интеграцій получимъ:

$$- A \cdot \frac{dz}{dy} = \frac{p}{2} \cdot \frac{y^3}{3} + c_1$$

$$- A \cdot z = \frac{p}{6} \cdot \frac{y^4}{4} + c_1 \cdot y + c_2$$

Для точки O при $y = 0$ и $z = 0$, поэтому и $c_2 = 0$.

Для нахождения c_1 переносимъ сѣченіе N въ C , гдѣ

$$\text{при } y = l \dots \dots \dots \frac{dz}{dy} = 0 = \frac{p l^3}{6} + c_1,$$

$$\text{откуда } c_1 = -\frac{p l^3}{6}, \text{ тогда}$$

$$A \cdot z = \frac{p}{6} \left(l^3 \cdot y - \frac{y^4}{4} \right).$$

Это и есть искомое ур-іе упругой линіи. *Max* ординаты $z=h$ получится, дѣлая $y=l$. Результатъ вычисленія будетъ тождественъ съ ф-лой 40.

Въ видѣ примѣра можно сдѣлать нахождение ур-ія упругой линіи, отнесенной къ осямъ координатъ DCC_2 , или же къ осямъ CDO . При осяхъ DCC_2 съ началомъ C ур-іе будетъ

$$A.z = \frac{p}{24}(6l^2 - 4x.l + x^2).x^2,$$

а при осяхъ CDO съ началомъ D ур-іе будетъ:

$$A.z = \frac{p}{24}(y^4 - 24l^3.y + 3l^4).$$

17. Балка защемлена однимъ концомъ въ стѣнѣ, нагрузка равномерно возрастаетъ по мѣрѣ приближенія къ защемленному концу (фиг. 107). *a.* Нагрузка представляется графически въ видѣ одинаковой ширины вѣсогого слоя, высота котораго измѣняется по закону прямой линіи DH . Если на всю длину балки приходится нагрузка Q , выражаемая площадью треугольника CDH , а на произвольной длинѣ y располагается нагрузка q , выражаемая площ. треугольника NDK , то

$$\frac{q}{Q} = \frac{y^2}{l^2} \text{ и } q = \frac{Q}{l^2} \cdot y^2.$$

Выраженіе сгибающаго мом. M для произвольнаго сѣченія N нужно будетъ писать, умножая нагрузку q на расстояние $\frac{y}{3}$ центра тяжести ея отъ сѣченія N . Аналитическое доказательство этого предложенія м. б. сдѣлано подобно тому, какъ это было указано въ § 10 для равномерной нагрузки. Поэтому

$$M = q \cdot \frac{y}{3} = \frac{Q}{3l^2} \cdot y^3.$$

Кривая моментовъ будетъ въ этомъ случаѣ кубическою параболою $C_1 \curvearrowright$ (фиг. 107), которая засѣкаетъ въ ущемленномъ сѣченіи ординату CC_1 , равную по величинѣ расчетному моменту

$$M_3 = \frac{Q.l}{3} \dots \dots \dots 42.$$

Ур-іе крѣпости такой балки будетъ (см. форм. 13 въ § 4):

$$\frac{Q.l}{3} = B.W \dots \dots \dots 43.$$

Безопасная нагрузка P_3 опредѣлится такъ:

$$P_3 = 3B.W:l \dots \dots \dots 44,$$

и безопасная длина балки будетъ:

$$l_3 = 3B.W:P_3 \dots \dots \dots 45.$$

Сравнивая между собою ф-лы 30, 38 и 44, находимъ:

$$P_1 : P_2 : P_3 = 1 : 2 : 3,$$

а по ф-ламъ 31, 39 и 45 получаемъ

$$l_1 : l_2 : l_3 = 1 : 2 : 3.$$

Кривая сѣкущихъ усилій будетъ параболою DC_2 , ур-іе которой получится такъ:

$$V = \frac{dM}{dy} = \frac{Q}{l^2} \cdot y^2 = q,$$

т. е. здѣсь, какъ и въ предыдущемъ случаѣ, наиболѣе опаснымъ сѣчениемъ по отношенію къ сдвигу будетъ ущемленное сѣченіе C , въ которомъ $V = Q$.

б. Для нахождения стрѣлы прогиба беремъ прямоугольныя оси координатъ yOz (фиг. 107), располагая начало ихъ въ ц. т. O крайняго свободнаго провисаго конца, и направляя ось Oy параллельно несогнутой оси бруса, а ось Oz — по вертикали вверхъ. При совершенномъ защемленіи балки въ сѣченіи C ,

$$\text{при } y = l \dots \dots \dots tg\alpha = 0.$$

Выраженіе стрѣлы прогиба h м. получить изъ ф-лы 27, если въ ней положить

$$a = l \text{ и } M = \frac{Q}{3l^2} \cdot y^3,$$

выбравъ знаки на основ. §§ 13 и 14. Тогда

$$+ A \cdot h = \frac{Q}{3l^2} \cdot \int_0^l y^4 \cdot dy = \frac{Q \cdot l^5}{15}$$

$$h = \frac{1}{15} \cdot \frac{Q \cdot l^3}{E \cdot I} \dots \dots \dots 46.$$

И здѣсь м. привести то же самое заключеніе, которое было сдѣлано по поводу ф-лы 34.

Для вычисленія допускаемой стрѣлы прогиба f_3 въ ф-лу 46 вмѣсто $Ql : 3$ надо внести $B \cdot I : e$ (на основ. ф-лы 43):

$$f_3 = \frac{1}{5} \cdot \frac{B \cdot l^3}{E \cdot e} \dots \dots \dots 47.$$

Сравненіе ф-лъ 35, 41 и 47 показываетъ, что

$$f_1 : f_2 : f_3 = \frac{1}{3} : \frac{1}{4} : \frac{1}{5}.$$

в. Для полученія ур-ія упругой линіи беремъ оси координатъ CDO (фиг. 107) съ началомъ D , положительной осью y -овъ, направленной по линіи DC влѣво, и положительной осью z -овъ — по вертикали DO внизъ.

Примѣняемъ ф-лу 26 (см. § 12), соблюдая правило знаковъ (§ 13):

$$+ A. \frac{d^2 z}{dy^2} = + \frac{Q}{3l^2} \cdot y^3$$

$$A. \frac{dz}{dy} = \frac{Q}{3l^2} \cdot \frac{y^4}{4} + c$$

$$A. z = \frac{Q}{12 \cdot l^2} \cdot \frac{y^5}{5} + c \cdot y + c_1.$$

Въ сѣченіи C при $y=l$ $\frac{dz}{dy} = 0 = \frac{Ql^2}{12} + c$,

откуда $c = -\frac{Q \cdot l^2}{12}$.

Въ томъ же сѣченіи C при $y=l$ $z=0$, поэтому

$$0 = \frac{Q \cdot l^5}{60} - \frac{Q \cdot l^3}{12} + c_1, \text{ или}$$

$$c_1 = \frac{Q \cdot l^3}{15}.$$

При взятомъ расположеніи осей координатъ CDO произвольное постоянное c_1 , очевидно, всегда будетъ равно вычисляемой стрѣлкѣ прогиба.

Ур-іе упругой линіи будетъ:

$$E. I. z = \frac{Q}{60 \cdot l^2} (y^5 - 5l^4 \cdot y + 4l^5).$$

При $y=0$, оно даеъ $z=h$, стрѣлкѣ, которую мы вычислили ранѣе по ф-лѣ 46.

Въ видѣ задачи м. продѣлать то же вычисленіе, взявъ другое расположеніе осей координатъ: при осяхъ yOz (фиг. 107) ур-іе упругой линіи будетъ:

$$A. z = \frac{Q}{60 \cdot l^2} (5l^4 \cdot y - y^5),$$

а при осяхъ DCC_2 (фиг. 107) получимъ:

$$A. z = \frac{Q}{60 \cdot l^2} [(l-x)^5 + 5l^4 \cdot x - l^5].$$

Оба эти ур-ія при соответственныхъ значеніяхъ y и x дають то же самое выраженіе стрѣлы, что и выше (ф-ла 46).

18. Балка защемлена однимъ концомъ въ стѣнѣ, нагрузка равномерно убываетъ по мѣрѣ приближенія къ защемленному концу (фиг. 108). Нагрузка представляется въ видѣ одинаковой ширины вѣсогомъ слоя, высота котораго измѣняется по закону прямой линіи CH (фиг. 108). Если на всю длину l балки приходится нагрузка, выражаемая площадью треугольника CDH , а на произвольной длинѣ $CN = x$ расположена будетъ нагрузка q , выражаемая площадью треугольника CNN_1 , то

$$q = \frac{Q}{l^2} \cdot x^2.$$

Моментъ защемленія балки въ сѣченіи C напишется такъ:

$$M_4 = Q \cdot \frac{2}{3} l \dots \dots \dots 48.$$

Выраженіе сгибающаго момента M въ произвольномъ сѣченіи балки можно писать безразлично отъ силъ, дѣйствующихъ на сѣченіе или справа, или слѣва. Въ данномъ случаѣ M проще писать для силъ, расположенныхъ слѣва отъ сѣченія N , причемъ все выраженіе алгебраической суммы будетъ состоять изъ трехъ слагаемыхъ, а именно: изъ момента защемленія M_4 , изъ момента сопротивленія силы Q , направленной къверху и выражающей собою сопротивление стѣны, и изъ момента нагрузки q , дѣйствующаго за одно съ M_4 :

$$M = M_4 - Q \cdot x + q \cdot \frac{x^3}{3}, \text{ или}$$

$$M = \frac{Q}{3l^2} (x^3 - 3l^2 \cdot x + 2l^3) \dots \dots \dots 49.$$

Это и есть ур-іе кривой моментовъ C_1D (фиг. 108). При $x = l$, получимъ $M = 0$, т. е. кривая проходитъ чрезъ точку D , а при $x = 0$ находимъ $M = M_4$, моменту защемленія.

Сѣжущее усиле получимъ по ф-лѣ 24:

$$\frac{dM}{dx} = V = \frac{Q}{l^2} (x^2 - l^2) \dots \dots \dots 50.$$

При $x = l \dots V = 0$, т. е. кривая моментовъ C_1D въ точкѣ D касается линіи CD . Кривая сѣжущихъ усилій DC_2 будетъ параболою, вершина которой находится въ C_2 , а осью ея служитъ вертикаль CO_2 . При $x = l \dots V = 0$, а при $x = 0 \dots V = Q$; на знакъ минусъ мы при этомъ не обращаемъ вниманія, такъ какъ онъ характеризуетъ собою только аналитическое свойство V , какъ функціи x , убывающей по мѣрѣ возрастанія x .

Разсчетное ур-іе этой балки будетъ:

$$\frac{2}{3} Q \cdot l = B \cdot W \dots \dots \dots 51.$$

Безопасная нагрузка P_4 для такой балки будетъ:

$$P_4 = \frac{3}{2} \cdot B \cdot W : l \dots \dots \dots 52,$$

а безопасная длина l_4 опредѣлится такъ:

$$l_4 = \frac{3}{2} \cdot B \cdot W : P_4 \dots \dots \dots 53.$$

Сравнивая между собою ф-лы 30, 38, 44 и 52, находимъ:

$$P_1 : P_2 : P_3 : P_4 = 1 \cdot 2 : 3 : 1,5.$$

Въ такомъ же отношеніи между собою будутъ находиться и безопасныя длины балокъ (см ф-лы 31, 39, 45 и 53). Изъ этого видно, что по условіямъ крѣпости рассмотрѣнный нами способъ нагруженія балки занимаетъ промежуточное мѣсто между 1-мъ и 2-мъ случаямъ.

Найдемъ теперь ур-іе упругой линіи CO (фиг. 108). Отнесемъ ее къ осямъ координатъ DCC_2 съ началомъ въ C , располагая положительную ось x -овъ по горизонтали вправо, а положительную ось z -овъ по вертикали внизъ. Соблюдая правило знаковъ (§ 13), примѣняемъ ф-лу 26 (§ 12):

$$+A \cdot \frac{d^2z}{dx^2} = +\frac{Q}{3l^2}(x^3 - 3l^2 \cdot x + 2l^3),$$

$$A \cdot \frac{dz}{dx} = \frac{Q}{3l^2} \left(\frac{x^4}{4} - 3l^2 \cdot \frac{x^2}{2} + 2l^3 \cdot x \right) + c,$$

$$A \cdot z = \frac{Q}{3l^2} \left(\frac{1}{4} \cdot \frac{x^5}{5} - \frac{3l^2}{2} \cdot \frac{x^3}{3} + 2l^3 \cdot \frac{x^2}{2} \right) + c \cdot x + c_1.$$

При выбранномъ нами расположеніи осей координатъ оба произвольныя постоянныя, очевидно, будутъ равны нулю, потому что

$$\text{при } x = 0 \dots \frac{dz}{dx} = 0 \text{ и } z = 0.$$

Поэтому ур-іе упругой линіи будетъ:

$$A \cdot z = \frac{Q}{60 \cdot l^2} (x^5 - 10 \cdot l^2 \cdot x^3 + 20l^3 \cdot x^2).$$

Стрѣлу прогиба h мы получимъ, сдѣлавши въ этомъ ур-іи $x = l$, тогда

$$h = \frac{11}{60} \cdot \frac{Q \cdot l^3}{E \cdot I} \dots \dots \dots 54.$$

Для вычисленія допускаемой стрѣлы прогиба f_4 соединяемъ ф-лы 51 и 54 въ одну:

$$f_4 = \frac{11}{40} \cdot \frac{B \cdot l^2}{E \cdot e} \dots \dots \dots 55,$$

т. е. и въ смыслѣ образованія стрѣлы прогиба этотъ случай занимаетъ мѣсто между 1-мъ и 2-мъ способомъ нагруженія.

19. Балка свободно лежитъ на двухъ опорахъ и нагружена однимъ сосредоточеннымъ грузомъ (фиг. 109). a . Плечи нагрузки P пусть будутъ a и b , причемъ $a + b = l = CD$. Сопротивленія опоръ называемъ чрезъ T и S , тогда:

$$T = P \cdot \frac{b}{l}; \quad S = P \cdot \frac{a}{l}.$$

Замѣняя дѣйствіе опоръ на балку силами S и T , мы можемъ вовсе отвѣстись отъ опоръ и разсматривать балку, какъ подверженную дѣйствію трехъ сосредоточенныхъ грузовъ S , P и T .

Если на разстояніи x отъ лѣвой опоры возьмемъ сѣченіе N , тогда сгиб. мом. M въ этомъ сѣченіи будетъ

$$M = T \cdot x.$$

т. е. при измѣненіи x въ предѣлахъ отъ нуля до a сгибающіе моменты на лѣвомъ плечѣ балки будутъ измѣняться по закону прямой линіи CH , если условно примемъ

$$HF = M_s = T \cdot a = P \cdot \frac{a \cdot b}{l} \dots \dots \dots 56.$$

M_s буд. представлять собою наибольшее значеніе сгиб. мом. на лѣвомъ плечѣ балки. Возьмемъ затѣмъ произвольное сѣченіе ея N_1 на правомъ плечѣ, на разстояніи x_1 отъ опоры C , и напишемъ для этого сѣченія выраженіе момента M_1 отъ нагрузокъ T и P , расположенныхъ слѣва отъ сѣченія N_1 :

$$M_1 = T \cdot x_1 - P(x_1 - a), \text{ или}$$

$$M_1 = P \cdot a - x_1(P - T).$$

Это выраженіе показываетъ, что сгиб. моменты на правомъ плечѣ балки измѣняются также по закону прямой линіи. Не трудно убѣдиться, что этою прямою будетъ HD . въ выраженіи M_1 абсцисса x_1 можетъ измѣняться только въ предѣлахъ отъ a до l , наибольшее значеніе M_1 будетъ имѣть мѣсто при наименьшемъ значеніи x_1 , т. е. при $x_1 = a$, когда $M_1 = T \cdot a = M_s$; если же сдѣлать $x_1 = l$, то $M_1 = P \cdot a - l \cdot S = 0$. Слѣд., опаснымъ или расчетнымъ сѣченіемъ балки, свободно лежащей на опорахъ и нагруженной сосредоточеннымъ грузомъ, будетъ всегда сѣченіе, проходящее чрезъ точку приложенія внешней нагрузки. Поэтому выраженіе 56 будетъ расчетнымъ моментомъ такой балки, а ур-іе крѣпости ея напишется такъ:

$$\frac{P \cdot a \cdot b}{l} = B \cdot W \dots \dots \dots 57.$$

Выяснимъ, какое расположеніе нагрузки будетъ наиболѣе опаснымъ, предполагая, что плечо $a = u$ мы можемъ измѣнять. Переменную величину расчетнаго момента обозначимъ въ этомъ случаѣ чрезъ m , тогда

$$m = \frac{P \cdot u \cdot (l - u)}{l}$$

$$\frac{dm}{du} = \frac{P}{l}(l - 2u) = 0,$$

откуда $u = \frac{l}{2} = l - u,$

т. е. наиболѣе опасное расположеніе нагрузки на балкѣ будетъ такое, когда она сосредоточена въ серединѣ длины балки. Ур-іе крѣпости балки въ этомъ случаѣ будетъ:

$$\frac{P \cdot l}{4} = B \cdot W \dots \dots \dots 58,$$

Безопасная нагрузка P_s опредѣлится такъ:

$$P_s = 4B \cdot W \cdot l \dots \dots \dots 59,$$

а безопасная длина балки будетъ

$$l_3 = 4B.W : P_3. \dots \dots \dots 60.$$

Сравнивая между собою ф-лы 30, 38, 44 и 59, находимъ, что

$$P_1 : P_2 : P_3 : P_4 = 1 : 2 : 3 : 4.$$

Въ такомъ же отношеніи между собою находятся и безопасныя длины балокъ.

Ур-іе прямой сѣкущихъ усилій на лѣвомъ плечѣ балки получимъ, взявши

$$\frac{dM}{dx} = V = T = CC_1,$$

а на правомъ плечѣ —

$$\frac{dM_1}{dx_1} = V_1 = T - P = -S = FK.$$

Прямыя, проведенныя чрезъ точки C_1 и K параллельно несогнутой оси бруса, будутъ искомыми.

б. Мы видѣли, что въ сѣченіяхъ N и N_1 сгибающіе моменты выражаются различно, а потому упругая линія здѣсь должна состоять изъ двухъ вѣтвей CF_1 и F_1D , имѣющихъ различныя ур-ія. Въ дифференціальной формѣ мы ихъ напишемъ по ф-лѣ 26 (§ 12), соблюдая правило знаковъ по § 13. Отнесемъ обѣ кривыя къ системѣ осей DCC_1 , располагая начало координатъ въ точкѣ C и направляя оси x и x_1 по горизонтали вправо, а оси z и z_1 — по вертикали внизъ, тогда (см. § 13):

для кривой CF_1

$$-A \cdot \frac{d^2z}{dx^2} = +T \cdot x$$

$$-A \cdot \frac{dz}{dx} = T \cdot \frac{x^2}{2} + c_1. \dots \dots \dots \phi.$$

$$-A \cdot z = \frac{T}{2} \cdot \frac{x^3}{3} + c_1 \cdot x + c_2. \dots \dots \dots \psi,$$

а для кривой F_1D .

$$-A \cdot \frac{d^2z_1}{dx_1^2} = T \cdot x_1 - P \cdot (x_1 - a).$$

$$-A \cdot \frac{dz_1}{dx_1} = T \cdot \frac{x_1^2}{2} - P \cdot \frac{(x_1 - a)^2}{2} + c_3. \dots \dots \dots \chi.$$

$$-A \cdot z_1 = \frac{T}{2} \cdot \frac{x_1^3}{3} - \frac{P}{2} \cdot \frac{(x_1 - a)^3}{3} + c_3 \cdot x_1 + c_4. \dots \dots \dots \theta.$$

Для нахождения 4-хъ произвольныхъ постоянныхъ нужно написать 4 условія, выражающія различныя свойства упругой линіи CF_1D .

1-е условіе. При $x = 0$ въ точкѣ C $z = 0$, откуда по ур-ію ψ выходитъ, что и $c_2 = 0$.

2-е условие. Обѣ вѣтви упругой лини въ точкѣ F_1 имѣютъ общую касательную, т. е. балка изгибается безъ перелома въ точкѣ F_1 . Это положеніе, подтверждаемое опытомъ, можно выразить такъ:

$$\text{при } x = x_1 = a \dots \dots \dots \frac{dz}{dx} = \frac{dz_1}{dx_1},$$

тогда изъ сравненія условій ϕ и ψ , находимъ, что $c_1 = c_3$.

3-е условие. Обѣ вѣтви упругой лини въ точкѣ F_1 имѣютъ общую ординату, т. е. при $x = x_1 = a \dots z_1 = z$, тогда изъ сравненія ф-лъ ψ и θ получается:

$$c_1 \cdot a + c_2 = c_3 \cdot a + c_4, \text{ или } c_4 = c_2 = 0.$$

4-е условие. Правая вѣтвь кривой проходитъ чрезъ точку D , т. е. при $x_1 = l \dots z_1 = 0$. Тогда изъ ф-лы θ

$$0 = \frac{T \cdot l^3}{6} - \frac{P \cdot b^3}{6} + c_3 \cdot l,$$

но

$$T = \frac{P \cdot b}{l}, \text{ поэтому}$$

$$c_3 = - \frac{T}{6} \cdot (l^2 - b^2) = c_1,$$

$$l^2 - b^2 = a^2 + 2ab = k^2.$$

Послѣ этого ф-лы ϕ и ψ примутъ видъ:

$$\begin{aligned} & - A \cdot \frac{dz}{dx} = \frac{T}{2} \cdot \left(x^2 - \frac{k^2}{3} \right) \dots \dots \dots \phi - \\ & - A \cdot z = \frac{T}{6} \cdot (x^3 - k^2 \cdot x) \dots \dots \dots \psi . \end{aligned}$$

в. Наибольшая ордината h упругой лини будетъ имѣть мѣсто при такомъ значеніи x_2 , когда

$$x_2 = \frac{k}{\sqrt{3}} = a \cdot \sqrt{\frac{1}{3} + \frac{2}{3} \cdot \frac{b}{a}}.$$

Если $b < a$, тогда $x_2 < a$, и полученное рѣшеніе будетъ отвѣчать на вопросъ; если же x_2 получится болѣе a , то этимъ рѣшеніемъ воспользоваться мы не можемъ, такъ какъ ур-ня ϕ и ψ мы можемъ примѣнять къ нашей балкѣ, измѣняя x только въ предѣлахъ отъ нуля до a ; тогда придется обратиться къ ур-нямъ η и θ и стрѣлу прогиба искать въ правой вѣтви упругой лини $F_1 D$.

Для случая $x_2 < a$ имѣемъ:

$$A \cdot h = \frac{T}{9} \cdot \frac{k^3}{\sqrt{3}}.$$

Въ частномъ случаѣ, когда $a = b = 0,5 \cdot l$, т. е. балка равноплечая, получимъ

$$T = \frac{P}{2}; k^2 = 3a^2 \text{ и}$$

$$A \cdot h = \frac{1}{9\sqrt{3}} \cdot \frac{P}{2} \cdot a^3 \cdot 3\sqrt{3}, \text{ откуда}$$

$$h = \frac{1}{48} \cdot \frac{P \cdot l^3}{E \cdot I} \dots \dots \dots 61.$$

Допускаемую стрѣлу прогиба f_v получимъ, соединяя ф-лы 58 и 61 въ одну:

$$f_v = \frac{1}{12} \cdot \frac{B \cdot l^3}{E \cdot e} \dots \dots \dots 62.$$

Результатъ, представляемый ф-лою 61-ю, возможно провѣрить также и на основаніи ф-лы 34 (см. § 15), ибо разсмотрѣнная нами балка на половинѣ своей длины по существу дѣла должна изгибаться совершенно такъ же, какъ балка, ущемленная въ срединѣ своей длины и нагруженная на свободномъ концѣ (на опорѣ) грузомъ $\frac{P}{2}$. Если поэтому въ ф-лу 34

вмѣсто P внесемъ $\frac{P}{2}$ и вмѣсто l подставимъ $\frac{l}{2}$, тогда получимъ

$$h = \frac{1}{3} \cdot \frac{P}{E \cdot I} \cdot \frac{l^3}{2} \cdot \frac{1}{8},$$

что тождественно съ ф-лой 61-й.

2. Опредѣленіе произвольнаго постояннаго c_1 въ ур-іи ϕ можетъ быть сдѣлано еще и другимъ способомъ, пользуясь ур-іемъ 27 (§ 14) для упругой линіи. Это ур-іе можетъ прямо дать величину $tg \alpha$, или *девиации*, если выразить сгиб. моментъ въ функціи $y = l - x$ (фиг. 109).

$$M = S \cdot y - P(y - b) \dots \dots \dots t.$$

Это выраженіе болѣе нуля, $tg \alpha$ тоже положителенъ (фиг. 109) при взятомъ расположеніи осей, поэтому, чтобы имѣть его болѣе нуля, въ 1-й части формулы 27 нужно будетъ взять передъ всѣмъ выраженіемъ знакъ минусъ. Затѣмъ вмѣсто a въ ф-лу 27 мы внесемъ l , т. е. начальной и конечной точками упругой линіи примемъ точки C и D . Внося въ это ур-іе вмѣсто M его величину изъ ф-лы t , нужно будетъ имѣть въ виду, что въ ней членъ $P(y - b)$ появляется только при значеніяхъ y , измѣняющихся отъ b до l ; сообразно съ этимъ назначаются и предѣлы интегрированія во 2-й части ф-лы 27:

при $y = l \dots \dots z = b = 0$, поэтому

$$A \cdot l \cdot tg \alpha = \int_0^l S \cdot y^2 \cdot dy - \int_b^l P (y - b) \cdot y \cdot dy =$$

$$= S \cdot \frac{l^3}{3} - P \cdot \left[\frac{l^3 - b^3}{3} - b \cdot \frac{l^2 - b^2}{2} \right] \dots \dots \dots u$$

$$A \cdot l \cdot tg \alpha = P \cdot \left[\frac{a}{l} \cdot \frac{l^3}{3} - \frac{l^3}{3} + \frac{b^3}{3} + b \cdot \frac{l^2}{2} - \frac{b^3}{2} \right] =$$

$$= P \cdot \left[l^2 \left(\frac{a}{3} - \frac{l}{3} + \frac{b}{2} \right) - \frac{b^3}{6} \right] = \frac{P \cdot b}{6} (l^2 - b^2)$$

Послѣ этого не трудно найти и c_1 въ ϕ -лѣ ϕ этого §. Если сдѣлаемъ въ ней $x=0$, тогда $\frac{dz}{dx} = tg \alpha$, поэтому

$$- A \cdot tg \alpha = - \frac{P \cdot b}{6 \cdot l} (l^2 - b^2) = c_1$$

Такое именно выражение для c_1 мы и получили въ 4-мъ условіи этого §. Такимъ образомъ мы придемъ къ тѣмъ же самымъ ур-іямъ ϕ' и ψ' , но много короче.

20. Балка свободна положена на двѣ опоры и нагружена двумя одинаковыми равномерно-распределенными нагрузками, прилегающими къ опорамъ балки (фиг. 110). a . Двѣ одинаковыя нагрузки P , P распределены равномерно на плечахъ балки длиною $b = CD = FG$. Нагрузка на единицу длины — p , такъ что $P = b \cdot p$. Сопротивленія опоръ будутъ, очевидно, одинаковы и равны P . Прикладывая ихъ къ опорамъ C и G , можно будетъ отвлечься отъ самыхъ опоръ и разсматривать балку, какъ нагруженную 4-мя силами P Упругая линия будетъ CD_1F_1G .

Напишемъ выражение сгиб. мом. M для произвольнаго сѣченія N балки, взятаго на разстояніи x отъ точки D :

$$M = b \cdot p \cdot (b - x) - p \frac{(b - x)^2}{2}, \text{ или}$$

$$M = \frac{p}{2} (b^2 - x^2) \dots \dots \dots 63$$

Это ур-іе кривой моментовъ CD_2 есть ур-іе параболы съ вершиной въ D_2 и осью D_2D_1 . Мы можемъ пользоваться этимъ ур-іемъ только при измѣненіи x отъ нуля до b влѣво отъ точки D . Наибольшее значеніе момента $M = M_0$ получится, если сдѣлаемъ $x=0$, тогда

$$M_0 = \frac{p}{2} b^2 = \frac{P \cdot b}{2} \dots \dots \dots 64$$

Ур-іе прямой силъ сдвига получится такъ:

$$V = \frac{dM}{dx} = -p \cdot x \dots \dots \dots 65,$$

т. е. прямая проходитъ чрезъ точку D и засѣкаетъ на вертикали чрезъ точку C длину CC_1 , равную сопротивленію опоры.

Напишемъ теперь выражение сгиб. мом. M_1 въ произвольномъ сѣченіи N_1 на разстояніи x_1 справа отъ точки D , взявъ моменты двухъ силъ — сопротивленія лѣвой опоры и лѣвой нагрузки:

$$M_1 = P \cdot (b + x_1) - P \left(\frac{b}{2} + x_1 \right) = \frac{P \cdot b}{2} = M_0 \dots \dots 66,$$

т. е. M_1 постоянно, и всѣ сѣченія между D и F одинаково опасны.

Сѣвующее усиліе $V_1 = 0$, т. е. во всѣхъ сѣченіяхъ между D и F напряженіе отъ сдвига отсутствуетъ.

На основаніи ф-лы 9 (см. § 3) можно сказать, что вѣтвь D_1F_1 упругой линіи будетъ окружностью, п ч. для всѣхъ поперечныхъ сѣченій балки жежду D и F величина радіуса кривизны r постоянна.

Ур-іе крѣпости такой балки будетъ:

$$\frac{P \cdot b}{2} = B \cdot W \dots \dots \dots 67.$$

б. Для находженія ур-ія упругой линіи D_1F_1 расположимъ начало координатъ въ D_1 , ось x_1 направимъ по горизонтали *вправо*, а ось z_1 — по вертикали *внизъ*. Соблюдая правило знаковъ (§ 13), по ф-лѣ 26 (см. § 12), пишемъ:

$$\begin{aligned} -A \cdot \frac{d^2 z_1}{dx_1^2} &= + \frac{P \cdot b}{2} \\ -A \cdot \frac{dz_1}{dx_1} &= \frac{P \cdot b}{2} \cdot x_1 + c_1 \\ -A \cdot z_1 &= \frac{P \cdot b}{2} \cdot \frac{x_1^2}{2} + c_1 \cdot x_1 + c_2. \end{aligned}$$

Такъ какъ балка нагружена симметрично, поэтому въ срединѣ длины балки касательная къ D_1F_1 будетъ параллельна съ DF , т. е.

при
$$x_1 = \frac{l}{2} - b \dots \frac{dz_1}{dx_1} = 0, \text{ откуда,}$$

$$c_1 = \frac{P \cdot b}{4} (2b - l) \dots \dots \dots a$$

Въ точкѣ D_1 при $x_1 = 0 \dots z_1 = 0$, поэтому и $c_2 = 0$.

Уравненіе кривой D_1F_1 будетъ:

$$A \cdot z_1 = P \cdot b \cdot x_1 \cdot \frac{l - 2b - x_1}{4}$$

Если назовемъ наибольшую ординату кривой D_1F_1 чрезъ f , то ее мы получимъ изъ предыдущаго ур-ія, сдѣлавши въ немъ

$$x_1 = \frac{l}{2} - b = t, \text{ тогда}$$

$$A \cdot f = \frac{P \cdot b}{4} \cdot t \left(l - 2b - \frac{l}{2} + b \right) = \frac{P \cdot b}{4} \cdot t^2. \dots \dots \dots б.$$

Не трудно видѣть, что то же самое соотношеніе мы получимъ и геометрическимъ путемъ, опредѣляя радіусъ окружности D_1F_1 по ф-лѣ 9:

$$r = E \cdot I : M = A : M.$$

Съ другой стороны полухорда, перпендикулярная къ диаметру, есть средняя пропорціональная между его отрѣзками, т. е.

$$t^2 = f \cdot (2r - f), \text{ или приблизительно}$$

$$t^2 = 2f \cdot r = 2f \cdot \frac{A}{M}, \text{ откуда}$$

$$A \cdot f = \frac{M \cdot t^2}{2},$$

что тождественно съ ф-лой б.

Уголъ, который дѣлаетъ касательная къ D_1F_1 въ точкѣ D_1 съ осью c_1 , называемъ чрезъ α , тогда при $x_1 = 0$

$$A \cdot \operatorname{tg} \alpha = \frac{P \cdot b}{4} (l - 2b) = -c_1 \dots \dots \dots \text{в.}$$

в. Для нахождения ур-ія упругой линіи CD_1 располагаемъ начало координатъ въ D_1 , направляемъ ось x по горизонтали *вмѣсто*, а ось z — по вертикали *вверхъ*. Соблюдая правило знаковъ (§ 13), по ф-лѣ 26 пишемъ:

$$+A \cdot \frac{d^2z}{dx^2} = +\frac{p}{2}(b^2 - x^2),$$

$$A \cdot \frac{dz}{dx} = \frac{p}{2} \left(b^2 \cdot x - \frac{x^3}{3} \right) + c_3$$

$$A \cdot z = \frac{p}{2} \left(b^2 \cdot \frac{x^2}{2} - \frac{1}{3} \cdot \frac{x^4}{4} \right) + c_3 \cdot x + c_4.$$

При $x = 0$, очевидно, $\frac{dz}{dx} = \operatorname{tg} \alpha$.

Кромѣ этого, въ точкѣ D_1 при $x = 0 \dots z = 0$, поэтому и $c_4 = 0$.

Такимъ образомъ, ур-іе кривой CD_1 будетъ:

$$A \cdot z = \frac{p \cdot x^2}{24} (6b^2 - x^2) + \frac{P \cdot b \cdot x}{4} (l - 2b) \dots \dots \dots \text{г.}$$

Наибольшая ордината f_1 этой кривой получится, дѣлая въ предыдущемъ ур-іи $x = b$, тогда

$$A \cdot f_1 = \frac{P \cdot b^2}{24} (6l - 7b) \dots \dots \dots \text{д.}$$

Полная стрѣла прогиба такой балки будетъ $f + f_1 = h$.

и. Въ частномъ случаѣ, когда нагрузка $Q = 2P$ будетъ распределена равномерно по всей длинѣ балки (фиг. 111), будемъ имѣть:

$$b = \frac{l}{2}, \text{ сопротивленія опоръ } P = \frac{Q}{2}.$$

Точки D_2 и F_2 (фиг. 110) сольются, и обѣ вѣтви параболы CD_2 и F_2G будутъ одною кривою, ур-іе которой вмѣсто 63 будетъ

$$M = \frac{p}{2} \left(\frac{l^2}{4} - x^2 \right) \dots \dots \dots \text{63,а.}$$

Расчетный моментъ, отнесенный къ срединѣ длины балки, будетъ

$$M_0 = \frac{P \cdot l}{4} = \frac{Q \cdot l}{8} \dots \dots \dots 68.$$

Объ прямыя силы сдвига C_1D и FP (фиг. 110) будутъ составлять продолженіе одна другой.

Ур-ие крѣпости балки будетъ:

$$\frac{Q \cdot l}{8} = B \cdot W \dots \dots \dots 69.$$

Безопасная нагрузка P_6 опредѣлится такъ:

$$P_6 = 8 \cdot B \cdot W : l \dots \dots \dots 70.$$

Безопасная длина балки l_6 будетъ:

$$l_6 = 8 \cdot B \cdot W : P_6 \dots \dots \dots 71$$

Сравнивая ф-лы 70 и 59, видимъ, что

$$P_6 : P_3 = 2,$$

т. е. въ случаѣ призматической балки, свободно лежащей на двухъ опорахъ, безопасная для балки нагрузка, распределенная по всей длинѣ балки равномерно, будетъ вдвое больше, чѣмъ безопасная сосредоточенная нагрузка, приложенная въ срединѣ длины балки. Въ такомъ же отношеніи между собою находятся и безопасныя длины обѣихъ балокъ при заданной для нихъ одинаковой нагрузкѣ.

Вѣтвь D_1F_1 (фиг. 110) упругой линіи въ этомъ случаѣ исчезаетъ, т. е. $f = 0$ и $f_1 = h$. Ф-ла в показываетъ, что $\alpha = 0$, т. е. при совпаденіи точекъ F_1 и D_1 на срединѣ длины балки касательная въ этой общей точкѣ будетъ параллельна несогнутой оси балки. Обѣ кривыя CD_1 и F_1G будутъ представлены общимъ ур-іемъ γ въ такомъ видѣ:

$$A \cdot z = \frac{p \cdot x^2}{24} \left(\frac{3}{2} l^2 - x^2 \right).$$

Дѣлая $x = \frac{l}{2}$, находимъ

$$A \cdot f_1 = \frac{p}{24} \cdot \frac{l^4}{4} \left(\frac{3}{2} - \frac{1}{4} \right) = \frac{5}{24 \cdot 16} \cdot p \cdot l^4$$

$$f_1 = \frac{5}{384} \cdot \frac{Q \cdot l^3}{E \cdot I} \dots \dots \dots 72.$$

Соединяя ф-лы 68 и 72, найдемъ допускаемую стрѣлу прогиба

$$f_6 = \frac{5}{48} \cdot \frac{B \cdot l^3}{E \cdot e} \dots \dots \dots 73.$$

Сравнивая ф-лы 62 и 73, видимъ, что

$$f_3 : f_6 = 4 : 5,$$

т. е. въ случаѣ балки, свободно лежащей на двухъ опорахъ безопасная стрѣла прогиба равномерно-нагруженной балки на 25% больше, чѣмъ въ случаѣ балки, нагруженной въ срединѣ длины ея сосредоточенной нагрузкой той же величины.

Случай равномернаго распредѣленія нагрузки по всей длинѣ балки имѣеть въ практикѣ настолько большое значеніе и такъ часто встрѣчается, что, независимо отъ всего вышеизложеннаго въ § 20 по отношенію къ фиг. 110, нужно умѣть провести все вычисленіе въ стройномъ порядкѣ также и по отношенію къ фиг. 111

Отсчитывая абсциссы отъ точки *C* вправо, получимъ слѣдующіе результаты:

$$M = q \cdot y \cdot \frac{2b - y}{2}$$

$$V = q \cdot (b - y)$$

$$A \cdot z = q \cdot y \cdot \frac{y^3 - 4 \cdot b \cdot y^2 + 8b^3}{24}$$

При $y = b = \frac{l}{2}$ получимъ.

$$M_D = \frac{q \cdot b^3}{2} = \frac{Q \cdot l}{8}$$

$$A \cdot h = \frac{q \cdot b}{24} \cdot 5 \cdot b^3 = \frac{5}{384} \cdot Q \cdot l^3.$$

21. Балка свободно лежитъ на двухъ опорахъ и нагружена на части длины равномерно, но не симметрично (фиг. 112). *a*. Схема нагруженія балки представлена на фиг. 112: *a* и *b* — неодинаковыя плечи балки, *c* — длина нагруженной части балки, *Q* — вся нагрузка, распредѣленная на этой длинѣ, *q* — нагрузка, приходящаяся на единицу длины бруса, такъ что $Q = q \cdot c$. Черезъ *y* называемъ разстояніе ц. т. *O* нагрузки *Q* отъ правой опоры, т. е.

$$y = b + \frac{c}{2}.$$

Сопротивленія опоръ назовемъ чрезъ *S* и *T*. По законамъ статики получимъ:

$$\left. \begin{aligned} S &= Q \frac{y}{l} \\ T &= Q \cdot \frac{l - y}{l} \end{aligned} \right\} \dots \dots \dots a$$

Въ произвольномъ сѣченіи *N* на разстояніи *x* отъ лѣвой опоры ур-іе гиб. мом. будетъ

$$M = S \cdot x,$$

а ур-іе сѣкущаго усилія —

$$V = \frac{dM}{dx} = S = CC_1 \text{ (на фиг. 112).}$$

Кривая моментов на плечѣ CD будетъ прямою CD_2 , гдѣ

$$M_2 = DD_2 = S \cdot a.$$

Прямая сѣкущихъ усилий будетъ C_1D_1 , параллельная оси бруса CK .

Въ произвольномъ сѣчении N_1 (между D и H) на разстоянн x_1 отъ лѣвой опоры выраженіе сгиб. мом. будетъ:

$$M_1 = S \cdot x_1 - q \cdot \frac{(x_1 - a)^2}{2},$$

а ур-іе прямой сѣкущихъ усилий D_1H_1 на длинѣ DH напишется такъ:

$$V_1 = \frac{dM_1}{dx_1} = S - q(x_1 - a).$$

Въ этихъ двухъ послѣднихъ ур-іяхъ x_1 измѣняется въ предѣлахъ отъ a до $a + c$. Если сдѣлать $x_1 = a$, то получимъ $V_1 = S = V$, т. е. кривая моментовъ (парабола) $D_2F_1H_2$ въ точкѣ D_2 касательна къ прямой моментовъ CD_2 . Положеніе вершины F_1 параболы опредѣлить точка F пересѣченія прямой силъ сдвига съ осью бруса. Обѣ эти точки д. б. на одной вертикали. Абсцисса x_1 точки F опредѣлится изъ ур-ія $V_1 = 0$, т. е.

$$x_1 - a = \frac{S}{q} = DF$$

$$x_1 = \frac{S}{q} + a = CF$$

При такомъ значенн x_1 сгиб. мом. будетъ *max*; назовемъ этотъ моментъ чрезъ m ; тогда

$$m = S \left(a + \frac{S}{q} \right) - \frac{q}{2} \cdot \frac{S^2}{q^2}, \text{ или}$$

$$m = S \cdot a + \frac{S^2}{2q} \dots \dots \dots \text{ б}$$

Ур-іе крѣпости такой балки будетъ

$$m = B \cdot W$$

б. Если мы будемъ измѣнять плечи a и b у балки, оставляя длину c нагруженной части постоянною, то сопротивленіе опоры будетъ переменнною величиною, будетъ функціею разстоянн y между ц. т. O нагрузки и правой опорой K . Найдемъ такое расположеніе нагрузки, при которомъ сгиб. мом. m будетъ *max*. Соединяя ф-лы а и б, находимъ:

$$m = \frac{Q \cdot a}{l} \cdot y + \frac{Q^2}{2q \cdot l^2} \cdot y^2,$$

$$\text{но } a = l - \frac{c}{2} - y = \gamma - y$$

и $Q = q \cdot c$, поэтому

$$m = \frac{Q \cdot y}{2l^2} (2\gamma \cdot l - 2l \cdot y + cy).$$

Для нахождения *max* беремъ 1-ю производную отъ *m* по *y* и приравниваемъ ее нулю:

$$m = \frac{Q}{2l^2} (2\gamma \cdot l - 4l \cdot y + 2c \cdot y) = 0, \text{ откуда}$$

$$\gamma \cdot l = (2l - c) \cdot y, \text{ или}$$

$$y = \frac{l}{2}, \text{ или } a = b = \frac{l - c}{2},$$

т. е. **наибольте невыгодное** расположение нагрузки на балку будетъ такое, когда балка равноплечая. При этомъ

$$S = T = \frac{Q}{2}.$$

Называя наибольшій сгиб. мом въ этомъ случаѣ чрезъ M_0 , найдемъ по ф-лѣ б:

$$M_0 = \frac{Q}{2} \left(a + \frac{c}{4} \right) \dots \dots \dots 74.$$

Въ случаѣ равномернаго распредѣленія нагрузки по всей длинѣ имѣемъ $a = 0$, $c = l$ и

$$M_0 = \frac{Q \cdot l}{8},$$

что тождественно съ ф-лою 68, которую мы имѣли выше.

Кривая моментовъ на правомъ плечѣ HK (фиг. 112) будетъ, очевидно, прямою H_2K , касательною къ параболѣ $D_2F_1H_2$ и проходящею чрезъ точку опоры K .

Прямая сѣкущихъ усилій на правомъ плечѣ балки будетъ прямою H_1T , параллельною съ осью бруса и отстоящею отъ оси на разстояніе

$$HH_1 = S - Q = -T.$$

в. Въ другомъ частномъ случаѣ, когда нагрузка прилегаетъ къ одной изъ опоръ, напр., къ лѣвой опорѣ C , но длина $DH = c$ будетъ менѣе l , прямой моментовъ CD_2 и прямой сѣкущихъ усилій C_1D_1 мы имѣть не будемъ, точка D_2 совпадаетъ съ C . Этотъ случай получится изъ предыдущаго, если сдѣлаемъ $a = 0$, тогда абсцисса опаснаго сѣченія

$$CF = \frac{S}{q}$$

и расчетный моментъ

$$m = \frac{S^2}{2q}.$$

Если при этомъ сдѣлаемъ $c = b = \frac{l}{2}$, то $y = \frac{3}{4}$.

$$S = \frac{3}{4} Q \text{ и } T = \frac{1}{4} Q,$$

$$OF = \frac{3}{4} c = \frac{3}{8} l \text{ и}$$

$$m = \frac{S}{2} \cdot \frac{S}{q} = \frac{3}{8} Q \cdot \frac{l}{2} = \frac{3}{16} \cdot Q \cdot l.$$

и. Ур-іе упругой лини и стрѣлу прогиба найдемъ только для случая, представляющаго наибольшую опасность для призматической балки, т. е. когда нагруженіе ея сдѣлано симметрично, иначе

$$a = b, \quad S = T = \frac{Q}{2}$$

Располагая начало координатъ въ точкѣ C (фиг. 112), направляя оси x и x_1 по несогнутой оси бруса CK вправо, а оси z и z_1 — по вертикали внизъ, и соблюдая правило знаковъ (§ 13), дифференціальныя ур-ія въ частяхъ CD и DH напишемъ въ такомъ видѣ:

$$\text{для } CD \dots -A \cdot \frac{d^2 z}{dx^2} = S \cdot x$$

$$\text{„ } DH \dots -A \cdot \frac{d^2 z_1}{dx_1^2} = S \cdot x_1 - \frac{q}{2} (x_1 - a)^2.$$

Интегрируя каждое изъ этихъ ур-ій по 2 раза, получимъ:

$$-A \cdot \frac{dz}{dx} = S \cdot \frac{x^2}{2} + c_1$$

$$-A \cdot z = \frac{S}{2} \cdot \frac{x^3}{3} + c_1 \cdot x + c_2$$

$$-A \cdot \frac{dz_1}{dx_1} = S \cdot \frac{x_1^2}{2} - \frac{q}{2} \frac{(x_1 - a)^3}{3} + c_3$$

$$-A \cdot z_1 = \frac{S}{2} \cdot \frac{x_1^3}{3} - \frac{q}{6} \frac{(x_1 - a)^4}{4} + c_3 \cdot x_1 + c_4.$$

Если сдѣлаемъ $x = x_1 = a$, то на вертикали чрезъ точку D обѣ вѣтви упругой лини будутъ имѣть общую ординату и общую касательную, т. е.

$$\frac{dz}{dx} = \frac{dz_1}{dx_1} \dots c_1 = c_3,$$

$$z = z_1 \dots c_2 = c_4.$$

При $x = 0 \dots z = 0$, а потому и $c_2 = 0 = c_4$.

Затѣмъ вслѣдствіе симметріи упругой лини при $x_1 = \frac{l}{2}$, или

$$\text{при } x_1 - a = \frac{c}{2}, \text{ получимъ:}$$

$$\frac{dz_1}{dx_1} = 0 = \frac{1}{2} \cdot \frac{Q}{2} \cdot \frac{l^2}{4} - \frac{q}{6} \cdot \frac{c^3}{8} + c^3, \text{ или}$$

$$c_3 = \frac{Q}{48} (c^2 - 3 l^2), \text{ откуда}$$

$$A \cdot z_1 = -\frac{Q}{12} \cdot x_1^3 + \frac{q}{24} (x_1 - a)^4 - \frac{Q \cdot x_1}{48} (c^2 - 3l^2)$$

Для получения стрѣлы прогиба f надо сдѣлать въ этомъ ур-ни $x_1 = \frac{l}{2}$

$$A \cdot f = \frac{Q}{384} (c^3 - 4l \cdot c^2 + 8l^3) \dots \dots \dots 75$$

Если нагрузка будетъ распределѣна равномерно по всей длинѣ баки, тогда $c = l$ и

$$A \cdot f = \frac{5}{384} \cdot Q \cdot l^3,$$

что вполне согласно съ ф-лой 72; при этомъ безопасная стрѣла прогиба f_6 будетъ опредѣляться по ф-лѣ 73 (§ 20):

$$f_6 = \frac{5}{48} \cdot \frac{B \cdot l^2}{E \cdot e} = \frac{1}{9,6} \cdot \frac{B \cdot l^2}{E \cdot e}$$

Если ф-лу 75 примѣнить къ другому частному случаю, когда вся нагрузка сосредоточена въ одной точкѣ, тогда нужно будетъ сдѣлать $c = 0$:

$$A \cdot f = \frac{8}{384} \cdot Q \cdot l^3 = \frac{1}{48} \cdot Q \cdot l^3,$$

что согласно съ ф-лой 61. Въ этомъ частномъ случаѣ изъ ф-лы 74 (§ 21 б) получимъ

$$M_0 = \frac{Q}{2} a = \frac{Q \cdot l}{4},$$

т. е. получимъ ф-лу 58 (см. § 19, а). Опредѣляя въ этомъ случаѣ допускаемую стрѣлу прогиба, мы нашли по ф-лѣ 62-й (§ 19, в):

$$f_3 = \frac{1}{12} \cdot \frac{B \cdot l^2}{E \cdot e}$$

Въ промежуточныхъ частныхъ случаяхъ между этими двумя крайними мы найдемъ и промежуточные значенія для расчетнаго мом M_0 и допускаемой стрѣлы прогиба. Такъ, напр., при $c = \frac{l}{2}$ и $a = \frac{l}{4}$ найдемъ по 74-й:

$$M_0 = \frac{Q}{2} \left(\frac{l}{4} + \frac{l}{8} \right) = \frac{3}{16} Q \cdot l = \frac{1}{5,33} Q \cdot l = B \cdot W,$$

а по 75-й ф-лѣ:

$$A \cdot f = \frac{Q}{384} \left(\frac{l^3}{8} - 4l \cdot \frac{l^2}{4} + 8l^3 \right) = \frac{7,125}{384} \cdot Q \cdot l^3.$$

Безопасная стрѣла прогиба будетъ

$$f' = \frac{7,125}{72} \cdot \frac{B \cdot l^2}{E \cdot e} = \frac{1}{10,15} \cdot \frac{B \cdot l^2}{E \cdot e}$$

Если $c = \frac{l}{3}$, то $a = \frac{l}{3}$, и тогда

$$M_0 = \frac{Q}{2} \left(\frac{l}{3} + \frac{l}{12} \right) = \frac{5}{24} Q \cdot l = \frac{1}{4,8} Q \cdot l = B \cdot W$$

$$A \cdot f = \frac{Q}{384} \left(\frac{l^3}{27} - 4l \cdot \frac{l^2}{9} + 8l^3 \right) = \frac{7,6}{384} \cdot Q \cdot l^3$$

$$f'' = \frac{7,6}{80} \cdot \frac{B \cdot l^2}{E \cdot e} = \frac{1}{10,53} \cdot \frac{B \cdot l^2}{E \cdot e}$$

Если $c = \frac{l}{4}$, то $a = \frac{3}{8} l$, и тогда

$$M_0 = \frac{Q}{2} \left(\frac{3}{8} l + \frac{l}{16} \right) = \frac{7}{32} Q \cdot l = B \cdot W$$

$$A \cdot f = \frac{Q}{384} \left(\frac{l^3}{64} - 4l \cdot \frac{l^2}{16} + 8l^3 \right) = \frac{7,77}{384} \cdot Q \cdot l^3$$

$$f''' = \frac{7,77}{84} \cdot \frac{B \cdot l^2}{E \cdot e} = \frac{1}{10,81} \cdot \frac{B \cdot l^2}{E \cdot e}$$

д. Пользуясь ф-лами 61 (§ 19) и 72 (§ 20), мы можем рѣшить вопросъ объ опредѣленіи сопротивленій опоръ у балки, положенной свободно на 3 опоры, лежащая на одной горизонтали. Рѣшеніе этого вопроса съ помощію 2-хъ ур-ій статики не представляется возможнымъ, т. к. изъ нихъ надо опредѣлять 3 неизвѣстныя величины. Опредѣленность подобнаго рѣшенія существуетъ только до тѣхъ поръ, пока опоръ будетъ двѣ; но если подъ балку, лежащую на двухъ опорахъ, мы подведемъ еще 3-ю опору, тогда величина давленія, которое на нее при этомъ будетъ передано, находится въ зависимости отъ того, на какой высотѣ будетъ поставлена эта опора относительно другихъ, т. е. въ какой мѣрѣ будетъ участвовать въ передачѣ давленія упругое сопротивленіе балки. Если 3-я опора будетъ только доведена до соприкосновенія съ поверхностью прогнувшейся балки, лежащей на двухъ опорахъ, тогда на эту 3-ю опору, очевидно, не будетъ передаваться еще никакого давленія, но по мѣрѣ повышенія этой новой опоры она будетъ воспринимать на себя все бѣльшее и бѣльшее давленіе, разгружая прежнія опоры. Новую опору всегда можно поднять настолько высоко, что все давленіе будетъ передано именно на нее, а крайнія опоры разгрузятся совершенно.

Насъ интересуеетъ теперь вопросъ, каковы будутъ давленія на опоры у балки, лежащей на трехъ опорахъ, расположенныхъ на одной горизонтали, если разстоянія между опорами будутъ равны между собою, и нагрузка на балку между смежными опорами будетъ одинакова, равна Q на каждой половинѣ балки и равномерно распределена по всей длинѣ ея.

Тогда мы представимъ себѣ сначала, что имѣемъ балку AB (фиг. 113), нагруженную снизу вверхъ силой P въ срединѣ длины

балки; отъ дѣйствія этой силы балка получитъ прогибъ кверху (см. § 19 ф-лу 61):

$$f' = \frac{1}{48} \frac{P \cdot l^3}{A}$$

Затѣмъ пусть имѣемъ другую балку CD (фиг. 113), положенную на 2 опоры и нагруженную на длинѣ l , равномерной нагрузкой $2Q$; отъ дѣйствія ея балка получитъ прогибъ (см. § 20 ф-лу 72)

$$f'' = \frac{5}{384} \cdot \frac{2Q \cdot l^3}{A}$$

Если мы совмѣстимъ обѣ эти балки, тогда сила P можетъ замѣнить собою дѣйствіе 3-й опоры для балки. Опредѣлимъ P подъ тѣмъ условіемъ, чтобы всѣ 3 опоры лежали на одной горизонтали; въ нашемъ случаѣ это будетъ значить, что

$$f' = f'', \text{ откуда}$$

$$P = \frac{10}{8} Q.$$

Сопротивленія крайнихъ опоръ балки EFH будутъ поэтому (фиг. 113):

$$Q \quad \frac{P}{2} = \frac{3}{8} Q.$$

Всѣ сопротивленія опоръ такой балки EFH вписаны на чертежѣ, причемъ ясно, что въ точкѣ F упругая линия будетъ касаться направленія EFH несогнутой оси. Слѣдов., каждую половину балки м. разсматривать, какъ защемленную однимъ концомъ въ F и свободно положенную другимъ концомъ на опору E или H ; при этомъ результатъ распредѣленія нагрузки Q на обѣ опоры будетъ тотъ же самый, т. е. на свободный конецъ балки — $\frac{3}{8} Q$, а на ущемленный — $\frac{5}{8} Q$. Необходимость такого именно распредѣленія нагрузки возможно доказать еще и другимъ путемъ, пользуясь ф-лами 34 и 40 (см. §§ 15 и 16). Для этого нужно вообразить себѣ двѣ одинаковой длины балки, защемленные однимъ концомъ въ стѣнѣ и нагруженные на свободномъ концѣ силами: одна — сосредоточенною на концѣ силою P кверху, а другая — равномерно-распредѣленною по всей длинѣ нагрузкою Q книзу; 1-я балка даетъ кверху прогибъ (ф-ла 34 въ § 15, б):

$$h_1 = \frac{1}{3} \cdot \frac{P \cdot l^3}{A},$$

а 2-я балка — книзу прогибъ (ф-ла 40 въ § 16, б):

$$h_2 = \frac{1}{8} \cdot \frac{Q \cdot l^3}{A}.$$

Если мы желаемъ дѣйстви́емъ силы P замѣнить сопротивление свободной опоры, то мы совмѣщаемъ обѣ балки. Пусть, напр., свободная опора располагается выше заце́мленного мѣста на высоту h , тогда это буд. означать, что

$$h = h_1 - h_2 = \frac{l^3}{A} \left(\frac{P}{3} - \frac{Q}{8} \right), \text{ откуда}$$

$$P = \frac{3}{8} Q + \frac{3A \cdot h}{l^3}. \dots \dots \dots \text{ж.}$$

Если бы свободная опора была поставлена *ниже* уце́мленного мѣста на высоту h , то во 2-й части ур-ія ж надо было бы поставить знак *минусъ*. Наконецъ, если обѣ опоры — на одной высотѣ, то $h = 0$ и

$$P = \frac{3}{8} Q,$$

т. е. на свободную опору будетъ передаваться $\frac{3}{8}$ всей нагрузки, а на заце́мленный конецъ — $\frac{5}{8}$ ея, — тотъ самый результатъ, который мы получили выше.

22. Балка заце́млена однимъ концомъ въ стѣнѣ, другимъ свободно лежитъ на опорѣ и равномерно нагружена по всей длинѣ (фиг. 114). *а.* Схема нагруженія балки представлена на фиг. 114: O —заце́мленный конецъ балки, D —свободный, S и T —сопротивленія опоръ. Изъ предыдущаго § намъ извѣстно, что

$$S = \frac{5}{8} Q, \quad T = \frac{3}{8} Q,$$

$$S + T = Q = q \cdot l.$$

Но тотъ же самый результатъ можно получить еще и другимъ способомъ, болѣе быстро и непосредственно. Это даетъ намъ возможность сдѣлать ф-ла 27-я (см. § 14). Примемъ въ ней $a = l$, т. е. будемъ вести интегрированіе на всей длинѣ балки, тогда для точки $C \dots h=0$ и $tg\alpha = 0$, а въ 2-й части равенства 27 сдѣлаемъ интегрированіе по x , написавъ выраженіе сгибающаго момента въ произвольномъ сѣченіи N такимъ образомъ:

$$M = T \cdot x - \frac{q \cdot x^2}{2} \dots \dots \dots L.$$

Тогда

$$0 = \int_0^l \left(T \cdot x - \frac{q \cdot x^2}{2} \right) \cdot x \cdot dx, \text{ или}$$

$$0 = T \cdot \frac{l^3}{3} - \frac{q}{2} \cdot \frac{l^4}{4}, \text{ откуда}$$

$$T = \frac{3}{8} Q = \frac{3}{8} q \cdot l.$$

Кривая моментовъ, какъ показываетъ ур-іе **L**, будетъ въ этомъ случаѣ парабола DF_1C_2 . При $x=0$ и $M=0$, т. е. парабола проходитъ чрезъ точку D . Для нахождения координаты вершины параболы F_1 беремъ 1-ю производную бть M по x :

$$V = \frac{dM}{dx} = T - q \cdot x. \text{J.}$$

$$V = 0, \text{ если } x_1 = T : q = \frac{3}{8} l = DF.$$

При такомъ значеніи x моментъ M будетъ имѣть аналитическій *max*. Назовемъ его выраженіе чрезъ M_1 , тогда

$$M_1 = \left(\frac{3}{8} q \cdot l - \frac{q}{2} \cdot \frac{3}{8} l \right) \frac{3}{8} l = \frac{9}{128} \cdot q \cdot l^2, \text{ или}$$

$$M_1 = \frac{1}{14,22} \cdot Q \cdot l.$$

Парабола моментовъ пересѣчетъ ось балки CD въ точкѣ H , абсцисса которой x_0 найдется, сдѣлавши $M=0$. Изъ ур-ія **L** получаемъ

$$x_0 = 2 T : q = 2x_1 = DH,$$

т. е. $DF = FH$, какъ и слѣдовало ожидать. При значеніяхъ x , большихъ x_0 , сгибающій моментъ, очевидно, будетъ отрицательнымъ, и при $x=l$ мы получаемъ моментъ защемленія

$$M_2 = \frac{3}{8} q \cdot l^2 - \frac{q \cdot l^2}{2} = - \frac{q \cdot l^2}{8}$$

$$M_2 = CC_2 = - \frac{Q \cdot l}{8} \text{76.}$$

Измѣненіе знака у сгибающаго момента съ плюса на минусъ сопровождается переходомъ момента чрезъ нулевое значеніе его въ точкѣ H . Въ этомъ поперечномъ сѣченіи (см. ф-лу 9) имѣемъ

$$r = \frac{E \cdot I}{M} = \infty,$$

т. е., если провести вертикаль HH_1 , то на упругой линіи она отмѣтитъ точку перегиба кривой H_1 , и на протяженіи CH_1 упругая линія будетъ обращена къ оси бруса своею выпуклостію, а на части DH_1 —своею вогнутостію.

По абсолютной величинѣ оказывается $M_2 > M_1$, слѣдовательно, опаснымъ сѣченіемъ такой балки будетъ защемленное сѣченіе C , для котораго ур-іе крѣпости напишется такъ:

$$\frac{Q \cdot l}{8} = BV \text{77.}$$

Это ур-іе ничѣмъ не отличается отъ ур-ія 69 (§ 20, г), которое мы имѣли для равноѣрно-нагруженной балки съ обоими свободными концами; поэтому безопасная нагрузка и длина балки могутъ быть вычисляемы здѣсь по ф-ламъ 70 и 71. Другими словами, въ случаѣ балки, равноѣрно нагруженной по всей длинѣ, заземленіе одного конца балки крѣпости ея не увеличиваетъ; балка потребуетъ тѣхъ же самыхъ размѣровъ, какъ и въ случаѣ обоихъ свободныхъ концовъ у нея; и вся разница между ними до сихъ поръ оказывается только въ другомъ распредѣленіи давленій на опоры, въ передачѣ значительно большаго давленія на стѣну, чѣмъ на свободную опору.

Прямая сила сдвига, представляемая ур-іемъ J, будетъ $C_1 FT$, для которой

$$DT = \frac{3}{8} Q, \quad CC_1 = -\frac{5}{8} Q.$$

б. Для полученія ур-ія упругой линіи располагаемъ оси координатъ такимъ образомъ: начало ихъ — въ точкѣ D , ось x — по оси CD влево, ось z — по вертикали внизъ. Принимая во вниманіе правило знаковъ (§ 13), дифф. ур-іе упругой линіи напишемъ такъ:

$$-A \cdot \frac{d^2 z}{dx^2} = T \cdot x - \frac{q \cdot x^2}{2} \dots \dots \dots \text{г.}$$

Примѣчаніе. Не нужно думать, что вѣтви CH_1 и H_1D (фиг. 114) упругой линіи будутъ имѣть различныя ур-ія. Легко убѣдиться въ томъ, что это будетъ одна непрерывная кривая. Въ самомъ дѣлѣ, если бы мы взяли произвольное сѣченіе N_1 на такомъ разстояніи x_1 отъ опоры D , которое болѣе DH , тогда сгиб. моментъ въ этомъ сѣченіи имѣлъ бы слѣд. знаки (см. § 13):

$$-\left(T \cdot x_1 - \frac{q \cdot x_1^2}{2}\right),$$

т. е. обратные тѣмъ, которые были въ предыдущемъ ур-іи г; но въ сѣченіи N_1 (по тому же § 13) и знакъ у радіуса кривизны долженъ быть плюсъ, а не минусъ; слѣдовательно, когда придется писать дифф. ур-іе для части CH_1 , нужно будетъ въ ур-іи г измѣнить всѣ знаки на обратныя, а составъ ур-ія останется тотъ же; поэтому вся кривая CH_1D будетъ представлена однимъ общимъ ур-іемъ. Это замѣчаніе одинаково относится ко всѣмъ способамъ нагруженія балокъ, при которыхъ сгибающій моментъ переходитъ между опорами чрезъ нулевое значеніе, и въ дальнѣйшемъ изложеніи мы неоднократно будемъ отмѣчать эту особенность упругой линіи съ точками перегиба.

Интегрируемъ теперь ур-іе г два раза. Для этого сначала приведемъ его къ слѣд. виду:

$$+A \cdot \frac{d^2 z}{dx^2} = \frac{q}{8} (4x^2 - 3l \cdot x)$$

$$A. \frac{dz}{dx} = \frac{q}{8} \left(4 \cdot \frac{x^3}{3} - 3l \cdot \frac{x^2}{2} \right) + c_1$$

$$A. z = \frac{q}{8} \left(\frac{4}{3} \cdot \frac{x^4}{4} - \frac{3l}{2} \cdot \frac{x^3}{3} \right) + c_1 \cdot x + c_2.$$

Въ точкѣ *C* при $x = l \dots \dots \frac{dz}{dx} = 0$, слѣд.

$$0 = \frac{q \cdot l^3}{8} \left(\frac{4}{3} - \frac{3}{2} \right) + c_1, \text{ откуда}$$

$$c_1 = + \frac{q \cdot l^3}{48}.$$

Въ точкѣ *D* при $x = 0 \dots \dots z = 0$, слѣд. и $c_2 = 0$.

Послѣ этого предыдущія ур-ія м. написать въ так. видѣ:

$$A. \frac{dz}{dx} = \frac{q}{48} (8x^3 - 9l \cdot x^2 + l^3)$$

$$A. z = \frac{q}{48} (2x^4 - 3lx^3 + l^3 \cdot x).$$

Max ординаты мы получимъ при значеніи x , опредѣляющемся изъ ур-ія $\frac{dz}{dx} = 0$, но это ур-іе должно имѣть одно рѣшеніе въ видѣ $x = l$, поэтому составляемъ

$$\frac{8x^3 - 9l \cdot x^2 + l^3}{x - l} = 8x^2 - l \cdot x - l^2 = 0;$$

откуда

$$x = \frac{1}{16} l \pm \sqrt{\left(\frac{1}{16} l \right)^2 + \frac{1}{8} \cdot l^2}.$$

Очевидно, надо взять рѣшеніе по плюсу; оно даетъ

$$x = \frac{1 + \sqrt{33}}{16} \cdot l = 0,4215 \cdot l.$$

Вставляя это значеніе x для опредѣленія стрѣлы прогиба f въ ур-іе упругой линіи, найдемъ

$$A. f = \frac{1}{185} \cdot Q \cdot l^3 \dots \dots \dots 78.$$

Безопасную стрѣлу прогиба f_7 получимъ, соединяя эту ф-лу съ 77:

$$f_7 = \frac{8}{185} \cdot \frac{B \cdot l^3}{E \cdot e} \dots \dots \dots 79.$$

Сравнивая ф-лу 73 (§ 20, 1) и ф-лу 79, видимъ, что

$$f_7 : f_6 = \frac{8}{185} : \frac{5}{48} = 0,415.$$

Слѣд., преимущество ущемленной балки передъ свободной заключается въ томъ, что стрѣла получается у нея почти въ $2^{1/2}$ раза менѣе, чѣмъ у балки свободной, при одинаковой ихъ крѣпости.

23. Балка зашцеplена однимъ концомъ въ стѣну, а свободный конецъ ея сгибають 2 сосредоточенные груза. *a*. Схема нагруженія балки грузами *Q* и *P* представлена на фиг. 115: *a* и *b* — плечи балки; $a + b = l$. Сгибающій мом. для сѣченія *N*, отстоящаго на разстоянiе *x* отъ точки приложенiя силы *Q*, будетъ

$$M = Q \cdot x.$$

Это ур-е представляетъ прямую моментовъ D_1F_2 . Она засѣкаетъ на вертикали чрезъ точку приложенiя силы *P* моментъ M_2 , наибольшiй на правомъ плечѣ балки

$$M_2 = Q \cdot a = F_1F_2.$$

Сгиб. мом. въ сѣченiи N_1 , отстоящемъ отъ точки приложенiя силы *Q*, на разстоянiе x_1 напишется такъ:

$$M_1 = Q \cdot x_1 - P(x_1 - a)$$

Это — ур-е прямой моментовъ, проходящей чрезъ точку F_2 . При различныхъ соотношенiяхъ между величинами грузовъ *P* и *Q* и плечъ балки *a* и *b* возможны 5 различныхъ расположенiй этой прямой моментовъ — CF_2 , C_1F_2 , C_2F_2 , C_3F_2 и C_4F_2 . Точка пересѣченiя прямой моментовъ съ осью бруса опредѣлится абсциссою x_1 , получасемою изъ ур-и $M_1 = 0$ или

$$P \cdot a - (P - Q) \cdot x_1 = 0, \text{ откуда}$$

$$x_1 = \frac{P \cdot a}{P - Q} = D_1H.$$

Удобнѣе слѣдить за измѣненiемъ величины $y = l - x_1 = CH$.

$$y = l - \frac{P \cdot a}{P - Q} = \frac{P \cdot b - Q \cdot l}{P - Q}$$

Если $P \cdot b - Q \cdot l = 0$, т. е. $\frac{P}{Q} = \frac{l}{b}$, то $y = 0$, т. е. прямою моментовъ будетъ CF_2 , и моментъ зашцеplенiя въ этомъ случаѣ равенъ нулю: опаснымъ сѣч. балки будетъ F_1 , и ур-е крѣпости ея будетъ $Q \cdot a = B \cdot W$.

Прямой C_1F_2 соотвѣтствуетъ такой случай нагруженiя, когда $y > 0$, и когда это получается при существованiи соотношенiй

$$P \cdot b > Q \cdot l \text{ и } P > Q,$$

т. е. когда и числитель, и знаменатель дроби, опредѣляющей *y*, оба положительны. Напр., $P = 2Q$, тогда нужно имѣть

$$2Q \cdot b > Q \cdot l, \text{ или } 2b > l.$$

Пусть $b = \frac{2}{3}l$, тогда $y = \frac{1}{3}l$.

Величина $y > 0$ можетъ имѣть мѣсто и въ случаѣ прямой моментовой C_2F_2 . Для этого нужно соблюсти влѣд. условия

$$P \cdot b < Q \cdot l \text{ и } P < Q,$$

т. е. и числитель, и знаменатель у дроби y должны быть отрицательны. И, поим., условіе $Q = 2P$ требуетъ, чтобы мы имѣли

$$P \cdot b < 2P \cdot l, \text{ т. е. } b < 2l,$$

а это условіе само собою всегда выполняется; стало быть, важно только соблюсти 2-е условіе— $P < Q$. Пусть и здѣсь $b = \frac{2}{3}l$, тогда получаемъ

$$y = \frac{4}{3}l.$$

Прямой моментовой F_2C_4 соответствуетъ такой случай, когда $y < 0$ вслѣдствіе того, что

$$P \cdot b < Q \cdot l \text{ и } P > Q.$$

Алгебраически $y < 0$ можно имѣть и тогда еще, когда

$$P \cdot b > Q \cdot l \text{ и } P < Q,$$

но по смыслу задачи выполнение такихъ условій невозможно, ибо всегда $b < l$.

Наконецъ прямая моментовой C_2F_2 , параллельная оси бруса, получится тогда, когда $P = Q$ и $y = \infty$, т. е. въ случаѣ дѣйствія на балку пары силъ. При этомъ условіи выходитъ

$$M_1 = P \cdot a = const.,$$

и часть бруса CF_1 будетъ изгибаться по окружности.

б. Какой бы случай мы не имѣли упругая линия FD будетъ имѣть одно ур-іе, а CF —другое, и притомъ вся часть CF будетъ представлена однимъ ур-іемъ, хотя бы на этой линіи была и точка перегиба въ сѣченіи H . (см. примѣч въ § 22 б).

Для составленія ур-ій упругой линіи выберемъ оси координатъ: начало ихъ — въ D (фиг. 115), оси x и x_1 — по горизонтали *влѣво*, оси z и z_1 — по вертикали *внизъ*. Соблюдая правило знаковъ (§ 13), для части FD напишемъ:

$$\left. \begin{aligned} -A \cdot \frac{d^2z}{dx^2} &= +Q \cdot x = +M \\ -A \cdot \frac{dz}{dx} &= Q \cdot \frac{x^2}{2} + c_1 \\ -A \cdot z &= \frac{Q}{2} \cdot \frac{x^3}{3} + c_1 \cdot x + c_2 \end{aligned} \right\} \dots \dots \dots A.$$

Разстояніе DD_1 здѣсь придется опредѣлить изъ условія:

$$\text{при } x = 0' \dots \dots z = h = DD_1 = -\frac{c_2}{A},$$

что вполнѣ согласно съ ф-лой 80.

г. Для практики представляет особый интерес такой случай, когда $h = DD_1 = 0$ (фиг. 115), т. е. когда (по ф-лѣ 80):

$$Q = P \cdot \frac{b^3(3l - b)}{2l^3} \dots \dots \dots 81.$$

Вычисленная по этой ф-лѣ величина Q буд. представлять собою сопротивление опоры у балки, однимъ концомъ защемленной, а другимъ лежащей свободно на опорѣ и нагруженной однимъ сосредоточеннымъ грузомъ P . Если при этомъ положить $a = b = \frac{l}{2}$, то

$$Q = \frac{5}{16} P,$$

а на другую опору защемленнымъ концомъ будетъ передано $\frac{11}{16} P$. Выраженіе момента M_2 (§ 23a) въ точкѣ F_1 будетъ

$$M_2 = \frac{5}{16} \cdot P \cdot \frac{l}{2} = \frac{5}{32} P \cdot l;$$

а въ точкѣ C выраженіе момента назыв. чрезъ M_3 . Его получимъ, сдѣлавъ въ выраженіи M_1 (§ 23a) $x_1 = l$:

$$M_3 = \frac{5}{16} P \cdot l - P \cdot \frac{l}{2} = -\frac{3}{16} P \cdot l.$$

По абсолютной величинѣ $M_3 > M_2$, поэтому опаснымъ сѣченіемъ будетъ C , и *ур-е крѣпости* для него напишется такъ:

$$\frac{3}{16} P \cdot l = B \cdot W \dots \dots \dots 82.$$

Безопасная нагрузка P_8 получится такъ:

$$P_8 = \frac{16}{3} \cdot B \cdot W : l \dots \dots \dots 83,$$

и безопасная длина балки

$$l_8 = \frac{16}{3} \cdot B \cdot W \cdot P \dots \dots \dots 84.$$

Сравнивая эти формулы съ 59 и 60 (§ 19a) для балки съ концами свободными, видимъ, что:

$$P_8 : P_5 = l_8 : l_5 = 4 : 3.$$

д. Оси координатъ расположимъ въ этомъ частномъ случаѣ такъ же, какъ въ § 23b, тогда (см. ф-лу m):

$$c_4 = c_2 = 0 \quad \text{и}$$

$$c_1 = c_3 = \frac{1}{2} \left(P \cdot \frac{l^2}{4} - \frac{5}{16} P \cdot l^2 \right) = - \frac{P \cdot l^2}{32}.$$

По ф-ламъ A въ § 236 имѣемъ

$$-A \cdot \frac{dz}{dx} = \frac{P}{32} (5x^2 - l^2),$$

$$-A \cdot z = \frac{P}{32} \left(5 \cdot \frac{x^3}{3} - l^2 \cdot x \right).$$

Max ординаты, т. е. стрѣла прогиба f , получится при значеніи x , опредѣляемомъ изъ ур-ія $5x^2 - l^2 = 0$, откуда

$$x = l : \sqrt{5};$$

а сама стрѣла будетъ

$$A \cdot f = \frac{P}{32} \cdot \frac{l}{\sqrt{5}} \left(l^2 - \frac{5}{3} \cdot \frac{l^2}{5} \right), \text{ или}$$

$$f = \frac{1}{48\sqrt{5}} \cdot \frac{P \cdot l^3}{E J} \dots \dots \dots \mathbf{85}.$$

Въ случаѣ балки со свободными концами мы имѣли для опредѣленія стрѣлы ф-лу **61** (см. § 19b).

Безопасную стрѣлу прогиба f_s получимъ, соединяя ур-ія **82** и **85**:

$$f_s = \frac{1}{9\sqrt{5}} \cdot \frac{B l^2}{E e} \dots \dots \dots \mathbf{86}.$$

Отношеніе безопасныхъ стрѣлъ прогиба у балки съ обоими свободными концами и у балки съ однимъ свободнымъ, а другимъ — защемленнымъ при одинаковой ихъ крѣпости — получится, сравнивая ф-лы **62** (§ 19b) и **86**:

$$f_s : f_s = 3\sqrt{5} : 4 = 1,652.$$

А если у обѣихъ балокъ будутъ одинаковые размѣры, взятые по размѣрамъ балки со свободными обоими концами, то отношеніе стрѣлъ будетъ равно $\sqrt{5} = 2,236$.

24. Балка своими концами свободно положена на двѣ опоры и нагружена двумя сосредоточенными грузами между опорами. *a.* Схема нагруженія балки двумя грузами P_1 и P_2 представлена на фиг. 116: a_1 и a_2 — плечи нагрузокъ относительно опоры C ; b_1 и b_2 — относительно опоры D , такъ что

$$a_1 + b_1 = a_2 + b_2 = l.$$

Сопротивленія опоръ по правиламъ статики выразятся такъ:

$$V = \frac{P_1 \cdot b_1 + P_2 \cdot b_2}{l},$$

$$U = \frac{P_1 \cdot a_1 + P_2 \cdot a_2}{l}.$$

т. е. она совсѣмъ не зависитъ отъ длины балки, а только отъ внѣшнихъ плечъ балки. Это свойство балки нагруженной двумя грузами, является весьма цѣннымъ и позволяетъ осуществлять длинныя балки весьма легкими.

Безопасная длина балки въ этомъ случаѣ не м. б. опредѣлена изъ ур-ія крѣпости; ее придется опредѣлять по заданной допускаемой стрѣлѣ прогиба.

б. Выводъ ур-ій упругой линіи и опредѣленіе стрѣлы прогиба мы приведемъ здѣсь для того частнаго случая, когда $P_1 = P_2 = P$ и $a_1 = b_2 = d$; тогда $V = U = P$ (фиг. 118).

Начало координатъ беремъ въ точкѣ C (фиг. 118), оси x и x_1 направляемъ по оси балки CD , а оси z и z_1 — по вертикали *внизъ*.

Соблюдая правило знаковъ (§ 13), дифф. ур-іе упругой линіи CE_1 пишемъ такъ:

$$\begin{aligned} - A \frac{d^2 z}{dx^2} &= P \cdot x \\ - A \cdot \frac{dz}{dx} &= P \cdot \frac{x^2}{2} + c_1 \\ - A \cdot z &= \frac{P}{2} \frac{x^3}{3} + c_1 \cdot x + c_2. \end{aligned}$$

Для кривой E_1F_1 ур-ія будутъ:

$$\begin{aligned} - A \cdot \frac{d^2 z_1}{dx_1^2} &= P \cdot d \\ - A \cdot \frac{dz_1}{dx_1} &= P \cdot d \cdot x_1 + c_3 \\ - A \cdot z_1 &= P \cdot d \cdot \frac{x_1^2}{2} + c_3 \cdot x_1 + c_4. \end{aligned}$$

Въ точкѣ C при $x = 0 \dots \dots \dots z = 0$, потому и $c_2 = 0$.

Въ точкѣ E_1 при $x = x_1 = d \dots \dots \dots \frac{dz_1}{dx_1} = \frac{dz}{dx}$, потому

$$\cdot \frac{P \cdot d^2}{2} + c_1 = P \cdot d^2 + c_3, \quad \text{откуда}$$

$$c_1 = c_3 + \frac{P \cdot d^3}{2}.$$

Въ срединѣ длины бруса (при балкѣ симметрично-нагруженной)

$$\text{при } x_1 = \frac{l}{2} \dots \dots \dots \frac{dz_1}{dx_1} = 0 = \frac{P \cdot d \cdot l}{2} + c_3,$$

$$\text{или } c_3 = - \frac{P \cdot d \cdot l}{2}, \quad \text{а потому}$$

$$c_1 = - \frac{P \cdot d}{2} (l - d).$$

Наконецъ, въ точкѣ E_1 при $x = x_1 = d \dots \dots z = z_1$, слѣд

$$\frac{P \cdot d^3}{6} - \frac{P \cdot d^2}{2} (l - d) = \frac{P \cdot d^3}{2} - \frac{P \cdot d^2 \cdot l}{2} + c_4,$$

$$\text{откуда } c_4 = \frac{P \cdot d^3}{6}.$$

Ур-ія упругой линіи будутъ:

$$CE_1 \dots \dots A \cdot z = \frac{P \cdot d}{2} (l - d) \cdot x - \frac{P \cdot x^3}{6}$$

$$EF_1 \dots \dots A \cdot z_1 = \frac{P \cdot d}{6} \cdot (3l \cdot x_1 - 3x_1^2 - d^2).$$

в. Стрѣлу прогиба h получимъ, сдѣлавъ въ этомъ ур-іи $x_1 = \frac{l}{2}$,

тогда:

$$A \cdot h = \frac{P \cdot d}{6} \left(\frac{3}{4} l^2 - d^2 \right) \dots \dots \dots \mathbf{87}.$$

Безопасную стрѣлу f получимъ, внося въ это ур-іе $B \cdot W$ вмѣсто $P \cdot d$; тогда

$$f = \frac{B}{6E} \frac{1}{e} \left(\frac{3}{4} l^2 - d^2 \right) \dots \dots \dots \mathbf{88}.$$

Видимъ, что безопасная стрѣла зависитъ въ этомъ случаѣ не только отъ всей длины балки, но и отъ крайнихъ плечъ ея d .

Для повѣрки вычисленія сдѣлаемъ $d = \frac{l}{2}$; это будетъ означать, что обѣ нагрузки P будутъ приложены въ срединѣ длины бруса, и ф-ла **87** обратится въ такую:

$$A \cdot h = \frac{P}{6} \cdot \frac{l}{2} \left(\frac{3}{4} l^2 - \frac{l^2}{4} \right) = \frac{P \cdot l^3}{24},$$

что вполне согласно съ ф-лою **61** въ § 19b.

г. Въ частномъ случаѣ, когда сдѣлаемъ $d = \frac{l}{4}$, получимъ изъ ф-лы **87**-й

$$A \cdot h_1 = \frac{P}{6} \cdot \frac{l}{4} \left(\frac{3}{4} l^2 - \frac{l^2}{16} \right) = \frac{11}{8 \cdot 48} \cdot P \cdot l^3 \dots \dots \dots \mathbf{89}.$$

Этой ф-лою м. пользоваться при вычисленіи сопротивленій опоръ у балки, свободно положенной на 3 опоры, при равныхъ разстояніяхъ между опорами и равныхъ нагрузкахъ P , сосредоточенныхъ въ срединѣ длины между опорами. Для этого вообразимъ себѣ 2 балки — одну, нагруженную силами P тѣмъ способомъ, который былъ предположенъ при выводѣ ф-лы **89**, а другую, свободно положенную на 2 опоры съ тѣмъ же разстояніемъ l между ними и нагруженную одною сосредоточенною нагрузкою Q , приложенною въ срединѣ длины балки и на-

правленною кверху. Первая балка прогнется книзу на величину h_1 , вычисляемую по ф-лѣ 89, а вторая — кверху на величину h , определяемую по ф-лѣ 61 въ § 19b, т. е.

$$A \cdot h = \frac{1}{48} \cdot Q \cdot l^3.$$

Если необходимо имѣть всѣ 3 опоры у балки расположенными на одной высотѣ, тогда это приводится къ равенству $h = h_1$, что даетъ намъ сопротивление средней опоры $Q = \frac{11}{8} P$, а крайнихъ — по $\frac{5}{16} P$. Этотъ результатъ находится въ полномъ согласіи съ данными § 23, гдѣ разсмотрѣнъ частный случай отъ этого общаго.

25. Балка закреплена обоими концами въ стѣнахъ и нагружена однимъ сосредоточеннымъ грузомъ. *a.* Схема нагруженія балки представлена на фиг. 119: плечи балки — $AC = a$, $BC = b$, нагрузка — P , сопротивления опоръ — S и T , моменты закрепленья концовъ балки — m и n . Эти 4 послѣднихъ величины неизвѣстны, и двухъ ур-ій статики для ихъ опредѣленія было бы недостаточно. Къ нимъ нужно добавить еще 2 ур-ія, которыя пусть выражаютъ, что въ точкахъ A и B закрепленье у балки совершенное, т. е. $tg \alpha = 0$, и что опоры A и B расположены на одномъ уровнѣ.

Принимая точку A за центръ моментовъ, условіе равновѣсія напишемъ въ такомъ видѣ:

$$n - S \cdot l + P \cdot a - m = 0, \text{ откуда}$$

$$S = \frac{n - m}{l} + P \cdot \frac{a}{l} \dots \dots \dots \text{ ж.}$$

Такимъ же образомъ получили бы

$$T = \frac{m - n}{l} + P \cdot \frac{b}{l} \dots \dots \dots \text{ и.}$$

$$\text{и} \quad S + T = P \dots \dots \dots \text{ к.}$$

Возьмемъ произвольное сѣченіе N на разстояніи x отъ лѣвой опоры и на разстояніи y отъ правой. Выраженіе сгибающаго момента M въ этомъ сѣченіи въ функціи отъ y напишется такъ:

$$M = n - S \cdot y + P \cdot (y - b),$$

причемъ послѣдній членъ въ этомъ выраженіи появляется только тогда, когда y измѣняется въ предѣлахъ отъ b до l . Примѣнимъ къ этой балкѣ ф-лу 27 (см. § 14), замѣняя въ ней a чрезъ l , внося вмѣсто M предыдущее выраженіе и дѣлая въ ней

$$h = 0 \text{ и } tg \alpha = 0:$$

$$0 = n \cdot \frac{l^2}{2} - S \cdot \frac{l^3}{3} + P \left(\frac{l^3 - b^3}{3} - b^2 \cdot \frac{l^2 - b^2}{2} \right) \dots \dots \text{ у.}$$

Замѣняя въ этомъ ур-іи n чрезъ m , а также S чрезъ T и b чрезъ a , получимъ аналогично съ предыдущимъ:

$$o = m \cdot \frac{l^2}{2} - T \cdot \frac{l^3}{3} + P \left(\frac{l^3 - a^3}{3} - a \cdot \frac{l^2 - a^2}{2} \right) \dots v.$$

Вычитая эти ур-ія одно изъ другого, получимъ:

$$o = (n - m) \cdot \frac{l^2}{2} - (S - T) \cdot \frac{l^3}{3} + P \left(\frac{a - b}{2} \cdot l^2 + \frac{b^3 - a^3}{6} \right)$$

Соединяя затѣмъ ур-ія i и $ж$, мы получимъ изъ нихъ:

$$S - T = 2 \cdot \frac{n - m}{l} + P \cdot \frac{a - b}{l}$$

Внося эту разность въ предыдущее ур-іе, получаемъ:

$$(n - m) \cdot l^2 = P \cdot l^2 (a - b) + P (b^3 - a^3), \text{ или}$$

$$(n - m) \cdot l^2 = P \cdot (a - b) \cdot [l^2 - (b^2 + ab + a^2)], \text{ или}$$

$$n - m = \frac{P \cdot a \cdot b}{l} \cdot \frac{a - b}{l} \dots t.$$

Если сложимъ ур-ія u и v , то получимъ:

$$o = \frac{m + n}{2} \cdot l^2 - \frac{S + T}{3} \cdot l^3 + P \left\{ \frac{2l^3}{3} - \frac{a + b}{2} \cdot l^2 + \frac{a^3 + b^3}{6} \right\}$$

Дѣлая въ этой ф-лѣ приведенія на основаніи ф-лы k этого §, найдемъ:

$$\frac{m + n}{2} \cdot l^2 = P \cdot \frac{l^3 - a^3 - b^3}{6}, \text{ откуда}$$

$$m + n = P \cdot \frac{a \cdot b}{l} \dots w$$

Ф-лы t и w показываютъ намъ слѣдующее:

1. Сумма опорныхъ моментовъ балки съ обоими ущемленными концами равна нагрузкѣ, умноженной на произведенія плечъ балки и раздѣленной на ея длину. Если бы та же самая балка была со свободными концами, то сумма $m + n$ представляла бы для нея расчетный моментъ (см. ф-лу 56 въ § 19 а).

2. Разность опорныхъ моментовъ равняется изъ суммъ, умноженной на отношеніе разности плечъ балки къ ея полной длинѣ.

б. Для опредѣленія величины каждаго изъ опорныхъ моментовъ остается рѣшить ур-ія t и w относительно m и n :

$$2n = \frac{P \cdot a \cdot b}{l} \left(\frac{a - b}{l} + 1 \right), \text{ откуда}$$

$$\left. \begin{aligned} n &= \frac{P \cdot a^2 \cdot b}{l^2} = \frac{m+n}{l} \cdot a \\ m &= \frac{P \cdot a \cdot b^2}{l^2} = \frac{m+n}{l} \cdot b \end{aligned} \right\} \dots \dots \dots 90$$

$$m : n = b : a \dots \dots \dots 90, a.$$

Эти ф-лы показывают следующее:

1. Величины опорных моментов заземленной балки обратно пропорциональны ее плечамъ.

2. Величина каждого из опорных моментов получается, умножая их сумму на отношеніе контръ-плеча балки къ ее полной длинѣ.

Графическое опредѣленіе величинъ m и n м. б. сдѣлано слѣд. обр.: отложимъ $BB_1 = m+n$ на фиг. 119, соединимъ точки A и B_1 проведемъ $C_1B_2 \parallel AB$, тогда отрѣзки BB_2 и B_1B_2 будутъ искомыми, т. е.

$$BB_2 = n ; B_1B_2 = m.$$

в. Найдемъ теперь сопротивленія опоръ, пользуясь ф-лами ж, і:

$$S = P \cdot a \cdot b \cdot \frac{a-b}{l^3} + \frac{P \cdot a}{l} =$$

$$= \frac{P \cdot a}{l^3} \cdot [a \cdot b - b^2 + (a^2 + 2ab + b^2)]$$

$$\left. \begin{aligned} S &= P \cdot \frac{a^3 + 3a^2 \cdot b}{l^3} \\ T &= P \cdot \frac{b^3 + 3b^2 \cdot a}{l^3} \end{aligned} \right\} \dots \dots \dots 91$$

т. е. сопротивление опоры заземленной балки равно нагрузкѣ, умноженной на дробь, у которой знаменатель представляет собою кубъ длины балки, а числитель содержитъ въ себѣ изъ куба суммы обоихъ плечъ балки тѣ два слагаемыхъ, идѣ находятся кубъ и квадратъ контръ-плеча балки, причемъ р-во k этого § будетъ, разумѣется, удовлетворено.

г. Посмотримъ теперь, какой видъ будутъ имѣть здѣсь кривыя M и V . Въ произвольномъ сѣченіи N (фиг. 119) на разстояніи x отъ опоры A моментъ будетъ:

$$M = m - T \cdot x = \frac{P \cdot a \cdot b^2}{l^2} - P \cdot b^2 \cdot \frac{3a+b}{l^3} \cdot x$$

$$M = P \cdot b^2 \cdot \frac{a \cdot l - (3a+b) \cdot x}{l^3}$$

Это есть ур-іе прямой линіи A_1C_2 , которая обладаетъ слѣдующими свойствами:

При $x = 0 \dots M = m = \frac{P \cdot a \cdot b^2}{l^2} = AA_1$

Въ точкѣ H . . . $M = 0$, что даетъ

$$\bar{x} = a \cdot \frac{l}{3a + b} \dots \dots \dots 92.$$

т. е. \bar{x} менѣе a . Затѣмъ при $x = a$, получимъ

$$M_c = P \cdot b^2 \cdot a \cdot \frac{l - (3a + b)}{l^3} = - \frac{2 \cdot P \cdot a^2 \cdot b^2}{l^3} \dots \dots \dots 93.$$

Такимъ же образомъ можетъ быть получено ур-іе и прямой B_2C_2 ; если отсчитывать абсциссы отъ опоры A , то въ сѣченіи N_1 моментъ будетъ:

$$M_1 = m - T \cdot x_1 + P \cdot (x_1 - a).$$

При $x_1 = a$. . . $M_1 = M_c$.

При $x_1 = l$ получимъ

$$M_1 = \frac{P \cdot a \cdot b^2}{l^2} - \frac{P \cdot b^2 \cdot (3a + b)}{l^3} + P \cdot b = \frac{P \cdot b \cdot a^2}{l^2} = n.$$

Кривыя сѣвущихъ усилій будутъ имѣть ур-нія:

$$V = \frac{dM}{dx} = - T.$$

$$V_1 = \frac{dM_1}{dx_1} = - T + P = + S.$$

д. Чтобы найти расчетное ур-іе балки, надо сравнить между собою 3 момента— m , n и M_c .

Одинъ изъ двухъ опорныхъ моментовъ всегда будетъ болѣе другого; Если $a > b$, то $n > m$, и въ дальнѣйшемъ придется сравнивать между собою моменты n и M_c ; возьмемъ ихъ отношеніе:

$$n : M_c = \frac{P \cdot a^2 \cdot b}{l^2} : 2P \cdot \frac{a^2 \cdot b^2}{l^3} = \frac{l}{2b} = \frac{a + b}{2b},$$

что болѣе 1; слѣдовательно

опаснымъ сѣченіемъ у балки съ обоими защемленными концами всегда будетъ одно изъ ея защемленныхъ сѣченій, а именно — ближайшее къ точкѣ приложенія нагрузки.

Такимъ образомъ если $a > b$, то расчетное ур-іе будетъ

$$n = P_1 \frac{a^2 \cdot b}{l^2} = B \cdot W,$$

а если $a < b$, то опасное сѣчение будетъ A съ расчетнымъ ур-іемъ

$$m = P \cdot \frac{b^2 \cdot a}{l^2} = B \cdot W.$$

Слѣдовательно, вообще расчетное ур-іе надо составлять по схемѣ:

$$\text{Нагрузка} \times \text{Малое плечо} \times \left[\frac{\text{Большое плечо}}{\text{Длина балки}} \right]^2 = B \cdot W \quad 94.$$

Въ частномъ случаѣ, когда

$$a = b = \frac{l}{2} \dots m = n = M_c = \frac{P \cdot l}{8},$$

т. е. у равноплечей зашцеиленной балки будетъ 3 равно-опасныхъ сѣченія—оба зашцеиленныхъ и среднее, гдѣ приложена нагрузка.

е. Если длина плечъ у балки будетъ измѣняться, то будетъ переменнѣй и 1-я часть расчетнаго ур-ія (см. ф-лу 94). Найдемъ наиболѣе невыгодный способъ нагруженія такой балки.

Наибольшій изъ опорныхъ моментовъ

$$n = \frac{P \cdot a^2 \cdot b}{l^2} = \frac{P \cdot a^2(l - a)}{l^2}.$$

Если переменнѣе плечо a будетъ замѣнено z , то

$$n = P \cdot \frac{l \cdot z^2 - z^3}{l^2}$$

Найдемъ \max момента n :

$$\frac{dn}{dz} = \frac{P}{l^2} (2l \cdot z - 3z^2) = 0, \text{ откуда,}$$

$$z = a = \frac{2}{3} l; \quad b = l - a = \frac{1}{3} l,$$

$$\max n = \frac{P}{l^2} \left(\frac{2}{3} l\right)^2 \cdot \frac{1}{3} l = \frac{4}{27} \cdot P \cdot l.$$

Видъ ф-лы 93 говорить намъ, что \max момента M_c будетъ тогда, когда $a = b$, т. е.

$$\max M_c = \frac{P \cdot l}{8},$$

ж. Если чрезъ точку H (фиг. 119) проведемъ вертикаль, то на упругой линіи она отмѣтитъ точку перегиба H_1 . Вся вѣтвь AH_1C_3 упругой линіи будетъ представлена, очевидно, однимъ ур-іемъ, а не двумя (см. примѣчаніе въ § 22 б), а кривая BC_3 —другимъ.

Располагая начало координатъ въ точкѣ A , направимъ ось x -овъ по горизонтали *вправо*, а ось z -овъ—по вертикали *внизъ*; тогда, соблюдая правило знаковъ (§ 13), для кривой AH_1C_3 , получимъ ур-іе:

$$+ A \cdot \frac{d^2 z}{dx^2} = + m - T \cdot x \dots \dots \dots \text{ а.}$$

$$A \cdot \frac{dz}{dx} = m \cdot x - T \cdot \frac{x^2}{2} + c \dots \dots \dots \text{ б.}$$

Но такъ какъ въ сѣченіи A при $x = 0 \dots \frac{dz}{dx} = 0$, поэтому $c = 0$;

а стало быть

$$A \cdot z = m \cdot \frac{x^2}{2} - \frac{T}{2} \cdot \frac{x^3}{3} + c_1 \dots \dots \dots \text{ в.}$$

Но въ сѣченіи $A\dots$ при $x=0\dots z=0$, поэтому $c_1=0$. Наиболь-
шій провѣсъ балки найдемъ, если сдѣлаемъ $\frac{dz}{dx} = 0$, т. е.

$$0 = m - T \cdot \frac{x}{2}, \text{ откуда}$$

$$\underline{x} = 2 \cdot \frac{m}{T} = 2 \cdot \bar{x} \text{ (см. ф-лу 92),}$$

т. е. когда вычерчена кривая моментовъ и получена абсцисса $АН$
точки перегиба упругой линіи, то, удваивая ее, найдемъ абсциссу
наибольшаго провѣса. Очевидно, что если $a > b$, то

$$\underline{x} < a, \text{ такъ какъ } \underline{x} = a \cdot \frac{2a + 2b}{3a + b},$$

т. е. наибольший провѣсъ балки будетъ получаться всегда на боль-
шемъ изъ ея плечъ.

з. Найдемъ стрѣлу прогиба.

$$A \cdot z = \frac{x^2}{6} (3m - T \cdot x).$$

$$A \cdot h = \frac{1}{6} \cdot \left(\frac{2m}{T}\right)^2 \cdot m = \frac{2}{3} \cdot \frac{m^3}{T^2},$$

$$A \cdot h = \frac{2}{3} \cdot P \cdot a^3 \cdot \left(\frac{b}{3a + b}\right)^2$$

Если $a = b = \frac{l}{2}$

$$A \cdot h = \frac{2}{3} \cdot P \cdot \frac{a^3}{16} = \frac{1}{192} \cdot P \cdot l^3.$$

и. Случай равноплечей балки, ущемленной обоими концами, встрѣ-
чается въ практикѣ на столько часто, что всѣ данныя относительно
него нужно имѣть наготовѣ и возстановленіе ихъ нужно умѣть дѣлать
непосредственно, независимо отъ всего предыдущаго.

Если $a = b = \frac{l}{2}$, то $S = T = \frac{P}{2}$.

Изъ ф-лы ж (§ 25а) находимъ, что $m = n$.

Дифференціальное ур-іе упругой линіи и двѣ его интеграціи, вмѣ-
сто ф-лъ а, б, в (см. § 25 ж), представляются въ такомъ видѣ:

$$A \cdot \frac{d^2z}{dx^2} = m - \frac{P \cdot x}{2} \dots \dots \dots \text{ а}_1,$$

$$A \cdot \frac{dz}{dx} = m \cdot x - \frac{P \cdot x^2}{4} \dots \dots \dots \text{ б}_1,$$

$$A \cdot z = m \cdot \frac{x^2}{2} - P \cdot \frac{x^3}{12} \dots \dots \dots \text{ в}_1.$$

Для равноплечей балки имѣемъ

$$\text{при } x = \frac{l}{2} \dots \frac{dz}{dx} = 0 = m - \frac{P \cdot l}{8}, \text{ откуда}$$

$$m = n = \frac{P \cdot l}{8}.$$

Въ срединѣ длины балки

$$M_c = m - T \cdot \frac{l}{2} = -\frac{P \cdot l}{8},$$

слѣд. опасныхъ степеній здѣсь будетъ **3**—оба крайнихъ и среднее.

Расчетное ур-іе балки будетъ

$$P \cdot \frac{l}{8} = B \cdot W \dots \dots \dots \mathbf{95}$$

Безопасная нагрузка P_9 получится такъ

$$P_9 = 8 \cdot B \cdot W : l \dots \dots \dots \mathbf{96}.$$

Безопасная длина балки l_9 будетъ

$$l_9 = 8 B \cdot W : P \dots \dots \dots \mathbf{97}.$$

Сравнивая эти формулы съ таковыми же для балки, у которой концы свободны (см. ф-лы **59** и **60** въ § 19a), видимъ, что защемленіе обоихъ концовъ балки позволяетъ увеличить вдвое или нагрузку, или длину балки.

Опредѣляя по ф-лѣ b_1 стрѣлу прогиба, дѣлаемъ $x = \frac{l}{2}$, тогда

$$A \cdot h = \frac{x^3}{12} (6m - P \cdot x) = \frac{1}{12} \cdot \frac{l^3}{4} \cdot \left(6 \frac{P \cdot l}{8} - P \cdot \frac{l}{2} \right)$$

$$h = \frac{1}{12 \cdot 16} \cdot \frac{P \cdot l^3}{A} = \frac{1}{192} \cdot \frac{P \cdot l^3}{E \cdot I} \dots \dots \dots \mathbf{98}.$$

Безопасная стрѣла прогиба f_9 получится, соединяя ф-лы **95** и **98**:

$$f_9 = \frac{1}{24} \cdot \frac{B \cdot l^3}{E \cdot e} \dots \dots \dots \mathbf{99}.$$

Сравнивая ф-лы **99** и **62** (см. § 19b), видимъ, что

$$f_b : f_9 = 2,$$

т. е. для балки со свободными концами безопасная стрѣла вдвое больше чѣмъ для балки съ обоими защемленными концами.

А если у обѣихъ балокъ (свободной и защемленной обоими концами) размѣры будутъ взяты одинаковыми и такими, какъ это требуется для балки со свободными концами, тогда при одинаковой на-

грузкѣ свободная балка даетъ большій провѣсъ, нежели ущемленная, въ отношеніи

$$192 : 48 = 4 : 1,$$

т. е. защемленіе обоихъ концовъ балки можетъ сразу уменьшить ея прогибъ въ 4 раза.

26. Балка защемлена обоими концами, нагрузка же распределена равномерно по всей ея длинѣ. *a.* Схема нагруженія балки представлена на фиг. 120: Q — вся нагрузка, q — часть ея, приходящаяся на 1 длины бруса, такъ что $Q = q \cdot l$.

Опредѣленіе опорныхъ моментовъ можетъ быть сдѣлано на основаніи ф-лы 90 предыдущаго §, рассматривая всю нагрузку, какъ безконечно большое число элементарныхъ сосредоточенныхъ грузовъ, занимающихъ по длинѣ балки безконечно малую ширину dy . Величины m и n будутъ получены, если въ ф-лу 90 будутъ внесены

$$\begin{array}{lll} q \cdot dy & \text{вмѣсто} & P, \\ y & \text{„} & a, \\ l - y & \text{„} & b; \end{array}$$

$$m = \frac{1}{l^2} \cdot \int_0^l q \cdot dy \cdot y \cdot (l^2 - 2ly + y^2) =$$

$$= \frac{q}{l^2} \cdot \left[l^2 \cdot \frac{y^2}{2} - 2l \cdot \frac{y^3}{3} + \frac{y^4}{4} \right]_0^l = \frac{q \cdot l^2}{12} = \frac{Q \cdot l}{12} \dots \dots 100.$$

$$n = \frac{1}{l^2} \cdot \int_0^l q \cdot dy \cdot y^2 (l - y) = \frac{q}{l^2} \left(l \cdot \frac{y^3}{3} - \frac{y^4}{4} \right)_0^l = \frac{Q \cdot l}{12} \dots \dots 100, a.$$

Принимая точку B (фиг. 120) за центръ моментовъ, ур-іе равновѣсія балки напишемъ въ такомъ видѣ:

$$m - T \cdot l + \frac{Q \cdot l}{2} = n, \quad \text{откуда}$$

$$T = \frac{Q}{2} = S = \frac{q \cdot l}{2}.$$

б. Выраженіе сгибающаго момента въ произвольномъ сѣченіи N балки на разстояніи x отъ лѣвой опоры напишется такъ:

$$M = m - T \cdot x + \frac{q \cdot x^2}{2} \dots \dots \dots 101.$$

Это есть ур-іе параболы $A_1C_1B_1$: при $x = 0 \dots \dots M = m$;

при $x = l \dots \dots M = m - T \cdot l + \frac{q \cdot l^2}{2} = n$;

при $x = \frac{l}{2}$ получимъ аналитическое значеніе $\max M$, т. е.

$$\frac{dM}{dx} = V = -T + q \cdot x \dots\dots\dots 102.$$

А это выраженіе обращается въ нуль при значеніи

$$x = \frac{T}{q} = \frac{l}{2}$$

$$\max M = M_c = \frac{q \cdot l^2}{12} - \frac{q \cdot l}{2} \cdot l + \frac{q}{2} \left(\frac{l}{2}\right)^2$$

$$M_c = -\frac{q \cdot l^2}{24} = -\frac{Q \cdot l}{24} = CC_1 \dots\dots\dots 103,$$

т. е. аналитическій **max** сгибающаго момента при этомъ способъ нагруженія вдвое меньше опорнаго момента.

Поэтому балка, ущемленная обоими концами и нагруженная равномерно, имѣетъ 2 опасныхъ сѣченія — въ мѣстахъ защемленія.

Ур-іе крепости такой балки будетъ:

$$\frac{Q \cdot l}{12} = B \cdot W \dots\dots\dots 104.$$

Безопасная нагрузка P_{10} такой балки будетъ

$$P_{10} = 12 \cdot B \cdot W : l \dots\dots\dots 105.$$

Безопасная длина балки l_{10} опредѣлится такъ:

$$l_{10} = 12 \cdot B \cdot W : Q \dots\dots\dots 106.$$

Сравнивая ф-лы 105 и 106 съ ф-лами 70 и 71 (см. § 20,1), которыя мы имѣли при той же нагрузкѣ для балки со свободными концами, находимъ, что

$$P_{10} : P_6 = l_{10} : l_6 = 3 : 2,$$

т. е. защемленіе концовъ балки позволяетъ увеличить на 50% или величину равномерной нагрузки, или же длину балки.

Величина сѣкущаго усилія будетъ измѣняться въ обоихъ случаяхъ по одному и тому же закону.

Въ точкахъ H и L кривая моментовъ пересѣчетъ несогнутую ось бруса; вертикали, проведенныя чрезъ эти точки, отмѣтятъ на упругой линіи точки перегиба H_1 и L_1 . Абсциссы ихъ опредѣлятся изъ р-ва..... $M = 0$, что даетъ по ф-лѣ 101:

$$0 = \frac{q}{12} (l^2 - 6 \cdot l \cdot x + 6 \cdot x^2), \text{ или}$$

$$x^2 - l \cdot x + \frac{l^2}{6} = 0, \text{ откуда}$$

$$x = \frac{l}{2} \left(1 \pm \frac{1}{\sqrt{3}} \right), \text{ или}$$

$$AH = 0.2113 \cdot l; \quad AL = 0.7887 \cdot l.$$

в. Отнесем упругую линию $AH_1C_2L_1B$ (фиг. 120) къ осямъ координатъ xAz , располагая ихъ начало въ центрѣ тяжести лѣваго защемленнаго сѣченія A ; ось Ax направимъ по горизонтали *вправо*, а ось Az по вертикали *внизъ*. Соблюдая правило знаковъ (§ 13), для кривой AH_1 ур-іе напишемъ въ такомъ видѣ:

$$+A \cdot \frac{d^2z}{dx^2} = +m - T \cdot x + \frac{q \cdot x^2}{2} \dots \dots \dots d.$$

Не трудно убѣдиться въ томъ, что вѣтви кривой H_1C_2 , C_2L_1 и L_1B будутъ представлены тѣмъ же самымъ ур-емъ d (см. *примѣчаніе* въ § 22 б).

Если бы формуль' предыдущаго § для опредѣленія опорныхъ моментовъ m и n не было подѣ рукою, величину момента m возможно опредѣлить также и помощью ур-я d , обинтегрировавъ его одинъ разъ и выразивъ, что упругая линия въ точкахъ A и B касается оси бруса, а проведенная въ точкѣ C_2 , въ срединѣ длины балки, касательная параллельна ея оси. Интегрируемъ ур-іе d :

$$A \cdot \frac{dz}{dx} = m \cdot x - T \cdot \frac{x^2}{2} + \frac{q \cdot x^3}{6} + c \dots \dots \dots e.$$

При $x = 0$ въ точкѣ $A \dots \dots \frac{dz}{dx} = 0 \dots \dots c = 0$

При $x = l$ въ точкѣ $B \dots \dots \frac{dz}{dx} = 0$, поэтому

$$m \cdot l - \frac{q \cdot l}{2} \cdot \frac{l^2}{2} + \frac{q}{6} \cdot l^3 = 0, \text{ откуда } m = \frac{q \cdot l^2}{12},$$

что согласуется съ ф-лой 100.

При $x = \frac{l}{2}$ въ точкѣ $C_2 \dots \dots \frac{dz}{dx} = 0$, ст. б.

$$m \cdot \frac{l}{2} - \frac{1}{2} \cdot \frac{q \cdot l}{2} \cdot \frac{l^2}{4} + \frac{q}{6} \cdot \frac{l^3}{8} = 0,$$

что даетъ ту же самую величину m , какъ и раньше. Поэтому ур-іе e можно представить такъ:

$$A \cdot \frac{dz}{dx} = \frac{q}{12} (l^2 \cdot x - 3 \cdot l \cdot x^2 + 2 \cdot x^3)$$

Интегрируя это ур-іе, найдемъ:

$$A \cdot z = \frac{q}{12} \left(l^2 \cdot \frac{x^2}{2} - 3 \cdot l \cdot \frac{x^3}{3} + 2 \cdot \frac{x^4}{4} \right) + c_1$$

Но при $x = 0$ въ точкѣ A и $z = 0$, слѣд $c_1 = 0$. Ур-іе упругой линіи будетъ:

$$A \cdot z = \frac{q}{24} \cdot x^2 (l^2 - 2 \cdot l \cdot x + x^2) = \frac{q}{24} \cdot x^2 \cdot (l - x)^2.$$

г. Наибольший прогиб балки получимъ, сдѣлавъ $x = \frac{l}{2}$, тогда

$$A \cdot h = \frac{q}{24} \cdot \frac{l^4}{16} = \frac{q \cdot l^4}{384} = \frac{Q \cdot l^3}{384} \dots \dots \dots 107$$

Безопасную стрѣлу прогиба f_{10} найдемъ, присоединяя къ этой ф-лѣ ур-іе крѣпости балки (см. ф-лу 104):

$$f_{10} = \frac{1}{32} \cdot \frac{B \cdot l^3}{E \cdot e} \dots \dots \dots 108$$

Сравнивая это выраженіе съ ф-лою 73 (см. § 20, г), которая опредѣляетъ безопасную стрѣлу для балки со свободными концами находимъ, что

$$f_6 : f_{10} = \frac{5}{48} : \frac{1}{32} = 10 : 3,$$

т. е. выполненіе равномерно нагруженной балки съ заземленными концами уменьшаетъ стрѣлу прогиба въ отношеніи 3 : 10 сравнительно съ балкою, у которой оба конца свободны, при одинаковой крѣпости въ обоихъ случаяхъ.

Если же въ обоихъ случаяхъ балка была бы выполнена съ одинаковыми размѣрами, которые требуются условіями существованія балки съ свободными концами, то отношеніе стрѣлъ прогиба было бы равно пяти, какъ показываетъ сравненіе ф-ль 107 и 72 (см. § 20, г), т. е. заземленіе концовъ балки, равномерно нагруженной по всей длинѣ, уменьшаетъ стрѣлу прогиба въ 5 разъ.

27. Задачи. № 45. Балка ущемлена однимъ концомъ въ стѣнѣ (фиг. 121) и нагружена двумя сосредоточенными грузами P и $P_1 = n \cdot P$, дѣйствующими въ разныя стороны. Разстоянія между точками приложенія ихъ — $a = t \cdot l$. Найти кривыя моментовъ, кривыя силъ сдвига и расчетное ур-іе балки.

Отвѣтъ. Сѣченіе $N \dots \dots M = P \cdot x$; $V = P$

$$N_1 \dots \dots M_1 = P \cdot l \cdot t \cdot \left(\frac{x_1}{l} \cdot \frac{1-n}{t} + n \right); V_1 = P \cdot (1-n).$$

Если $\beta = \frac{1-n}{t} + n = 1 \dots \dots$, т. е. $n = 1$, то всѣ сѣченія между A и C одинаково опасны, и расчетное ур-іе будетъ:

$$P \cdot l \cdot t = B \cdot W \dots \dots \dots a.$$

Если абсол. вел. $\beta > 1 \dots \dots$ расчетное сѣч. буд. A , и для него

$$P \cdot l \cdot t \cdot \beta = B \cdot W.$$

Если $\beta < 1 \dots \dots$ расчетное сѣч. буд. C ; расчетъ — по ур-ію a .

Подставляя вмѣсто n и t различныя числовыя значенія, нужно вычертить кривыя M и V .

№ 46. Балка ущемлена однимъ концомъ въ стѣнѣ (фиг. 122) и нагружена тремя сосредоточенными грузами P , $2P$ и P . Разстоянія $CD = DE = a = t.l$. Найти кривыя M и V и расчетное ур-іе балки.

Отв. Сѣченіе N $M = P.x$; $V = P$; $M_D = P.l.t$

„ N_1 $M_1 = P.l \left(2t - \frac{x_1}{l} \right)$; $V_1 = -P$; $M_c = 0$

„ N_2 $M_2 = 0$; $V_2 = 0$.

Опасное сѣченіе D , расчетное ур-іе

$$P.l.t = B.W.$$

По этимъ даннымъ надо вычертить кривыя моментовъ и силъ сдвига.

№ 47. Балка ущемлена однимъ концомъ въ стѣнѣ (фиг. 123) и нагружена t одинаковыми нагрузками P , точки приложенія которыхъ дѣлятъ длину балки на t равныхъ частей. Найти кривыя M и V и расчетное ур-іе.

Отв. $P.l \cdot \frac{1+t}{2} = B.W$ сѣч. C .

Нужно вычертить кривыя M и V .

№ 48. Балка ущемлена однимъ концомъ въ стѣнѣ (фиг. 124) и нагружена на длинѣ $a = t.l$ равномерно. Найти кривыя M и V и расчетное уравненіе.

Отв. Сѣч. N $M = \frac{Q}{l} \cdot \frac{x^2}{2t}$; $V = \frac{Q}{l} \cdot \frac{x}{t}$

$$M_c = \frac{Q.l}{2} \cdot t; V_c = Q$$

Сѣч. N_1 $M_1 = Q.l \left(\frac{x_1}{l} - \frac{t}{2} \right)$; $V_1 = Q$

$$Q.l : \frac{2-t}{2} = B.W$$
..... сѣч. A .

По этимъ даннымъ нужно вычертить кривыя M и V .

№ 49. Балка ущемлена однимъ концомъ въ стѣнѣ (фиг. 125) и нагружена двумя грузами — равномерной нагрузкой Q и сосредоточеннымъ грузомъ $P = n.Q$. Нагрузка Q распределена на длинѣ $a = t.l$. Найти кривыя M и V и расчетное ур-іе.

Отв. Сѣч. N $M = Q.l \cdot \left(\frac{1}{2t} \cdot \frac{x^2}{l^2} - n \cdot \frac{x}{l} \right)$

$$V = Q \left(\frac{1}{t} \cdot \frac{x}{l} - n \right).$$

Абсцисса *max M*..... $\bar{x} = n \cdot t \cdot l$

$$\text{max } M = -\frac{t}{2} \cdot n^2 \cdot Q \cdot l = M_0.$$

Сѣч $N_1 \dots M_1 = Q \cdot l \cdot \left(\frac{1-n}{l} \cdot x_1 - \frac{t}{2} \right)$; $V_1 = Q(1-n)$.

При $x_1 = l \dots M_A = Q \cdot l \left(1 - n - \frac{t}{2} \right)$.

Условие $M_0 = M_A$ требуетъ, чтобы

$$\frac{n^2 \cdot t}{2} = 1 - n - \frac{t}{2}, \quad \text{или}$$

$$t = \frac{2 - 2n}{n^2 + 1}.$$

При $t = 1 \dots n = \sqrt{2} - 1 = 0,4142$.

На основаніи полученныхъ данныхъ нужно вычертить кривыя M и V .

№ 50. Балка своими концами свободно положена на двѣ опоры и нагружена n одинаковыми сосредоточенными грузами, точки приложенія которыхъ дѣлятъ длину балки на $n + 1$ равныхъ частей. Найти расчетное ур-е балки.

Отв. а) *Случай, когда n число нечетное* (фиг. 126).

Опасное сѣч. $A \dots M = \frac{n \cdot P}{2} \cdot \frac{l}{2} - P \cdot \frac{l}{n+1} \left(1 + 2 + 3 + \dots + \frac{n-1}{2} \right)$

$$M = \frac{P \cdot l}{8} (n + 1) = B. \quad W = \alpha \cdot P \cdot l$$

$n = 1$	3	5	7	9	11
$\alpha = \frac{1}{4}$	$\frac{1}{2}$	$\frac{3}{4}$	1	$\frac{5}{4}$	$\frac{6}{4}$

б) *Случай, когда n число четное* (фиг. 127).

Въ сѣч. $A \dots M = \frac{n \cdot P}{2} \cdot \frac{l}{2} - P \cdot \frac{l}{n+1} \left(\frac{1}{2} + \frac{3}{2} + \frac{5}{2} + \dots + \frac{n-1}{2} \right)$

$$M = \frac{n \cdot P \cdot l}{4} - P \cdot \frac{l}{n+1} \cdot \frac{n^2}{4} = \frac{Pl}{8} \cdot n \cdot \frac{n+2}{n+1} = \beta \cdot P \cdot l.$$

$$\beta \cdot P \cdot l = B \cdot W$$

$n = 2$	4	6	8	10
$\beta = \frac{1}{3}$	$\frac{3}{5}$	$\frac{6}{7}$	$\frac{10}{9}$	$\frac{15}{11}$

Всѣ сѣченія балки между B и F равноопасны. Вмѣсто сѣч. A моментъ можно писать для сѣченія B .

№ 51. Балка своими концами свободно положена на двѣ опоры *A* и *B* (фиг. 128) и нагружена на части длины равномерно, причѣмъ нагрузка прилегаетъ къ одной изъ опоръ. Найти кривыя моментовъ и силы сдвига, а также и расчетное ур-іе.

Отв. Вводя обозначеніе $a = t \cdot l$, получимъ:

$$K = Q \cdot \frac{2-t}{2}; \quad L = Q \cdot \frac{t}{2}.$$

$$\begin{aligned} \text{Сѣченіе } N \dots M &= K \cdot x - \frac{Q}{a} \cdot \frac{x^2}{2} \\ V &= K - \frac{Q}{a} \cdot x. \end{aligned}$$

Абсцисса *max M*:

$$\begin{aligned} \bar{x} &= t \cdot \frac{2-t}{2} \cdot l \\ \text{max } M &= \frac{a}{2} \cdot \frac{K^2}{Q} = \frac{Q \cdot l}{8} \cdot t(2-t)^2 = M_0. \end{aligned}$$

$$\begin{aligned} \text{Сѣченіе } N_1 \dots M_1 &= \frac{t}{2} \cdot Q \cdot l - (Q - K) \cdot x_1 \\ V_1 &= -L \\ M_c &= t \cdot \frac{1-t}{2} \cdot Q \cdot l \end{aligned}$$

Расчетное ур-іе

$$\frac{Q \cdot l}{8} \cdot t(2-t)^2 = B \cdot W = \frac{Q \cdot l}{8} \cdot \alpha$$

такъ какъ

$$\frac{t}{8} \cdot (2-t)^2 \text{ всегда болѣе } t \cdot \frac{1-t}{2}.$$

При $t = 0,1$	0,2	0,3	0,4	0,5	0,6	0,7	0,8	0,9	$\frac{2}{3}$
$\alpha = 0,361$	0,648	0,867	1,024	1,125	1,176	1,183	1,152	1,089	1,189.

*Max M*₀ получается при значеніи *t*, получаемомъ изъ ур-ія

$$t^3 - \frac{8}{3} \cdot t + \frac{4}{3} = 0, \text{ откуда } t = \frac{2}{3}.$$

По этимъ даннымъ надо вычертить кривыя *M* и *V*.

№ 52. Балка своими концами свободно положена на двѣ опоры *A* и *B* (фиг. 129) и нагружена двумя одинаковыми грузами; изъ нихъ одинъ распределенъ равномерно на длинѣ $2a$, а другой имѣетъ плечо *a* относительно опоры *B*. Найти кривыя *M* и *V* и расчетное ур-іе балки.

Отв. Моментъ всѣхъ силъ относительно точки B будетъ

$$K.l - Q(l - a) - Q.a = 0, \text{ откуда } K = L = Q.$$

Сѣченіе $N \dots M = Q \cdot x - q \cdot \frac{x^2}{2}$, гдѣ $q = Q : 2a$

$$V = Q - q \cdot x$$

Сѣченія C, N_1 и $D \dots M_1 = Qa; V_1 = 0.$

Сѣченія $N_2 \dots M_2 = Q \cdot (l - x_2); V_2 = -Q.$

Разсч. ур-е.... $Q \cdot a = B \cdot W.$

По этимъ даннымъ надо построить кривыя M и V . Вершина параболы M будетъ въ сѣченіи C .

№ 53. Балка своими концами A и B (фиг. 130) свободно положена на двѣ опоры и нагружена двумя одинаковыми сосредоточенными грузами, имѣющими одинаковыя плечи относительно опоръ, но дѣйствующими въ различныя стороны. Найти кривыя M и V и расчетное ур-е балки.

Отв. Моментъ всѣхъ силъ относительно опоры B будетъ:

$$K.l - P(l - a) + P.a = 0, \text{ откуда}$$

$$K = P \cdot \frac{l - 2a}{l} = L$$

Сѣченіе $N \dots M = K \cdot x; V = K.$

„ $N_1 \dots M_1 = K \cdot x_1 - P \cdot (x_1 - a) = P \cdot a \left(1 - \frac{2x_1}{l} \right)$

$$V_1 = -P \cdot \frac{2a}{l}$$

При $x_1 = \frac{l}{2} \dots M_1 = 0$

Сѣченіе $N_2 \dots M_2 = -L \cdot (l - x_2); V_2 = +L$

$$M_c = K \cdot a; M_d = -L \cdot a = -K \cdot a$$

Расчетное ур-е....

$$P \cdot a \cdot \frac{l - 2a}{l} = B \cdot W$$

По этимъ даннымъ надо построить кривыя M и V .

№ 54. Балка свободно положена на двѣ опоры A и B (фиг. 131) и на свѣшивающихся ея концахъ нагружена двумя различными сосредоточенными грузами P и Q , имѣющими разныя плечи относительно опоръ. Найти кривыя M и V и расчетное ур-е балки.

Отв. Моментъ всѣхъ силъ относительно опоры B будетъ писаться такъ:

$$P \cdot (l + a) - K \cdot l - Q \cdot b = 0$$

$$K = P \cdot \frac{l + a}{l} - Q \cdot \frac{b}{l}$$

$$L = Q \cdot \frac{l + b}{l} - P \cdot \frac{a}{l}$$

Сѣченіе $N \dots M = P \cdot x$; $V = P$.

„ $N_1 \dots M_1 = P \cdot x_1 - K \cdot (x_1 - a)$; $V_1 = P - K$.

„ $N_2 \dots M_2 = P \cdot x_2 - K \cdot (x_2 - a) - L \cdot (x_2 - l - a)$

$$V_2 = P - K - L = -Q$$

По этимъ даннымъ надо вычертить кривыя M и V . Разсчетнымъ сѣченіемъ будетъ или A , или B .

№ 55. Въ предыдущей задачѣ надо расположить грузы P и Q так. обр., чтобы всѣ сѣченія балки между A и B были одинаково опасны.

Отв. Для этого нужно имѣть:

$$P = K; Q = L; \text{ т. е. } P : Q = b : a.$$

№ 56. Балка свободно положена на двѣ опоры A и B (фиг. 132) и на свѣшывающемся за опору A лѣвомъ концѣ ея нагружена равномерно на длинѣ $2a$. Найти кривыя M и V и разсчетное ур-іе балки.

Отв. $Q = q \cdot 2a$; $a : l = t$

$$K = Q(1 + t); L = Q \cdot t$$

Сѣченіе $N \dots M = q \cdot \frac{x^2}{2}$; $V = q \cdot x$.

„ $A \dots M_A = q \cdot 2a^2 = Q \cdot a = Q \cdot l \cdot t$; $V_A = \pm Q$

„ $N_1 \dots M_1 = Q \cdot t [(2t + 1) \cdot l - x_1]$; $V_1 = -Q \cdot t = -L$.

Разсчетное ур-іе

$$Q \cdot l \cdot t = B \cdot W$$

По этимъ даннымъ надо построить кривыя M и V .

№ 57. Балка свободно положена на двѣ опоры A и B (фиг. 133), лѣвый конецъ ея свѣшивается за опору A . Нагрузка распределена равномерно по всей длинѣ балки. Найти кривыя M и V и разсчетное ур-іе балки.

Отв. Нагрузка $Q = q(l + a) = q \cdot l(1 + t)$, если $\frac{a}{l} = t$.

$$K = \frac{q \cdot l}{2} \cdot (1 + t)^2, L = \frac{q \cdot l}{2} (1 - t^2).$$

Съченіе $N \dots M = \frac{q \cdot x^2}{2}$; $V = q \cdot x$.

" $A \dots M_A = \frac{q \cdot a^2}{2} = \frac{q}{2} \cdot l^2 \cdot t^2 = \frac{q \cdot l^2}{8} \cdot 4 t^2 = \frac{q \cdot l^2}{8} \cdot \alpha$

" $N_1 \dots M_1 = \frac{q \cdot x_1^2}{2} - K(x_1 - a)$; $V_1 = q \cdot x_1 - K$.

Абсцисса $\max M_1 \dots$

$$x_1 = \frac{K}{q} = \frac{l}{2} (1+t)^2$$

$$\max M_1 = - \frac{q \cdot l^2}{8} (1-t^2)^2 = - \frac{q \cdot l^2}{8} \cdot \beta$$

Абсциссы точки пересѣченія кривой M_1 съ осью бруса будутъ опредѣляться равенствомъ:

$$x_1 = \frac{1+t}{2} \cdot l \cdot [(1+t) \pm (1-t)], \text{ откуда}$$

$$\overline{x_1} = l \cdot (1+t); \underline{x_1} = l \cdot (1-t). t$$

Величины коэф. α и β даетъ табл. 15-я.

Т а б л и ц а 15-я.

При $t = 0,1$	0,2	0,3	0,4	0,5	0,6	0,7	0,8	0,9	1
" $\alpha = 0,04$	0,16	0,36	0,64	1,0	1,44	1,96	2,56	3,24	4
" $\beta = 0,98$	0,92	0,83	0,74	0,56	0,41	0,26	0,13	0,04	0

Разсчетнымъ сѣченіемъ въ этомъ случаѣ м. б. или A , или то сѣченіе, гдѣ моментъ M_1 имѣетъ свой \max .

Оба сѣченія будутъ одинаково опасны при значени

$$t = \sqrt{3 - \sqrt{8}} = 0,414 \text{ *)}$$

Въ этомъ случаѣ

$$\alpha = \beta = 0,685$$

По этимъ даннымъ надо построить кривыя M и V въ случаѣ, когда t болѣе и менѣе 1.

№ 58. Балка свободно положена на двѣ опоры; лѣвый конецъ ея свѣшивается за опору, равномерная нагрузка распределена на свѣшивающемся концѣ и отчасти между опорами (фиг. 134). Найти кривыя M и V и разсчетное ур-іе балки.

*) Это выраженіе показываетъ намъ, что a будетъ разностью между діагональю и стороною квадрата, имѣющаго свою стороною разстояніе l между опорами (фиг 133).

Отв. $Q = q \cdot (a + b)$; $a + b = s$; $a - b = d$.

$$K = Q \cdot \frac{2l + d}{2l}; L = -Q \cdot \frac{d}{2l}.$$

Сѣченіе $N \dots M = q \cdot \frac{x^2}{2}$; $V = q \cdot x$

„ $A \dots M_A = q \cdot \frac{a^2}{2} = Q \cdot \frac{a^2}{2s}$

„ $N_1 \dots M_1 = \frac{q \cdot x_1^2}{2} - K \cdot (x_1 - a)$

$$V_1 = q \cdot x_1 - K.$$

Абсцисса $\max M_1 \dots$

$$x_2 = \frac{K}{q} = s \cdot \frac{2l + d}{2l}$$

Если $a > b \dots x_2 > s \dots$ расчетное сѣч. — A .

« $a = b \dots x_2 = s \dots$ „ „ — A

„ $a < b \dots x_2 < s \dots$ расчетнымъ сѣченіемъ м. б. и A и сѣч., соответствующее $\max M_1$. Величина

$$\max M_1 = Q \cdot \frac{2l + d}{4l^2} \left\{ 2l \cdot a - s \cdot \frac{2l + d}{2} \right\}$$

По этимъ даннымъ надо построить кривыя M и V для случая, когда a болѣе b и наоборотъ.

При $b = l$ этотъ случай нагруженія будетъ одинаковъ съ предыдущимъ (фиг. 133).

№ 59. Балка свободно положена на 2 опоры A и B (фиг. 135) и нагружена равномерно какъ на свѣшивающемся за опору лѣвомъ концѣ балки, такъ и на части ея, прилегающей къ правой опорѣ. Нагрузка на 1 длины — q , длина лѣвой нагруженной части — $2a$, правой — $2b$. Найти кривыя M и V и расчетное ур-іе балки.

Отв. $a_f = t \cdot l$; $b = u \cdot l$.

$$K = 2q \cdot l(t + t^2 + u^2); L = 2q \cdot l(u - u^2 - t^2).$$

Сѣч. $N \dots M = \frac{q \cdot x^2}{2}$; $V = q \cdot x$.

„ $A \dots M_A = 2q \cdot a^2 = \frac{q \cdot l^2}{10} \cdot 20t^2 = \frac{q \cdot l^2}{10} \cdot a$

„ $N_1 \dots M_1 = (2q \cdot a - K) \cdot x_1 - 2a(q \cdot a - K)$

$$V_1 = 2q \cdot a - K$$

„ $N_2 \dots M_2 = L \cdot x_2' - \frac{q}{2} \cdot x_2^2$; $V_2 = L - q \cdot x_2$

Абсцисса $\max M_2 \dots$

$$x_2 = \frac{L}{q} = 2l \cdot (u - u^2 - t^2).$$

$$\max M_2 = \frac{1}{2} \cdot \frac{L^2}{q} = \frac{q \cdot l^2}{10} \cdot 20 (u - u^2 - t^2) = \frac{q \cdot l^2}{10} \cdot \beta$$

$$\frac{K}{2q \cdot (a + b)} = \gamma = \frac{t + t^2 + u^2}{t + u}$$

$$\frac{L}{2q \cdot (a + b)} = \delta = \frac{u - u^2 - t^2}{t + u}.$$

При различных соотношениях между a , b и l величины коэффициентов α , β , γ и δ даны в таблицѣ 16-й.

Т а б л и ц а 16-я.

		u = 0,1	u = 0,2	u = 0,3	u = 0,4	u = 0,5
При $t = 0,1$ $\alpha = 0,2$	Коэфф. γ	0,6	0,5	0,5	0,54	0,6
	" δ	0,4	0,5	0,5	0,46	0,4
	" β	0,128	0,45	0,8	1,058	1,152
При $t = 0,2$ $\alpha = 0,8$	" γ	0,833	0,7	0,66	0,667	0,7
	" δ	0,167	0,3	0,34	0,333	0,3
	" β	0,05	0,288	0,578	0,8	0,882
При $t = 0,3$ $\alpha = 1,8$	" γ	1	0,86	0,8	0,786	0,8
	" δ	0	0,14	0,2	0,214	0,2
	" β	0	0,098	0,288	0,45	0,512
При $t = 0,4$ $\alpha = 3,2$	" γ	1,14	1	0,929	0,9	0,9
	" δ	-0,14	0	0,071	0,1	0,1
	" β	0,098	0	0,050	0,128	0,162
При $t = 0,5$ $\alpha = 5,0$	" γ	1,267	1,129	1,05	1,011	1
	" δ	-0,267	-0,129	-0,05	-0,011	0
	" β	0,512	0,162	0,032	0,002	0

По даннымъ таблицы 16-й нужно построить въ различныхъ случаяхъ кривыя M и V , указать расчетное сѣченіе балки и написать для него расчетное ур-іе.

№ 60. Балка свободно положена на двѣ опоры и нагружена равномерно на части длины возлѣ каждой изъ опоръ. Длина нагружен-

ных частей $2a$ и $2b$ (фиг. 136), нагрузка на 1 длины — q . Найти кривыя M и V и расчетное ур-ие балки.

Отв. Обозначения... $a = t.l$; $b = u.l$

$$K = 2q.l.(t - t^2 + u^2); L = 2q.l(u - u^2 + t^2).$$

$$\text{Сѣченіе } N... M = K.x - q.\frac{x^2}{2}; V = K - q.x.$$

$$, N_1... M_1 = K.x_1 - 2q.a(x_1 - a).$$

$$V_1 = K - 2q.a$$

$$, N_2... M_2 = L.x_2 - \frac{q}{2}.x_2^2; V_2 = L - q.x_2.$$

Абсцисса $\max M$

$$\bar{x} = \frac{K}{q} = 2l(t - t^2 + u^2).$$

Если $t = u... \bar{x} = 2l.t = 2a$, т. е. расчетными сѣченіями будутъ C и D съ ур-іемъ

$$2q.l^2.t^2 = B.W.$$

Если $t > u... \bar{x} < 2a$, т. е. расчетное сѣченіе будетъ между A и C съ ур-іемъ

$$\max M = 2q.l^2(t - t^2 + u^2) = B.W.$$

Если $t < u... \bar{x}_2 < 2b$, т. е. расчетное сѣченіе будетъ между B и D съ ур-іемъ

$$\max M_2 = 2q.l^2(u - u^2 + t^2) = B.W.$$

По этимъ даннымъ надо построить кривыя M и V во всѣхъ трехъ случаяхъ, т. е. когда a равно b , больше и меньше его.

№ 61. Балка свободно положена на двѣ опоры и на свѣшивающихся ея концахъ длиною $2a$ и $2b$ равномерно нагружена (фиг. 137), нагрузка на 1 длины — q . Найти кривыя M и V и расчетное ур-іе балки.

Отв. Обозначения $a = t.l$; $b = u.l$,

$$K = 2q.l(t + t^2 - u^2); L = 2q.l(u + u^2 - t^2).$$

$$\text{Сѣченіе } N... M = q.\frac{x^2}{2}; V = q.x,$$

$$, A... M_A = 2q.l^2.t^2,$$

$$, N_1... M_1 = (2q.a - K).x_1 + 2a(K - q.a).$$

$$V_1 = 2q.a - K,$$

$$, N_2... M_2 = \frac{q}{2}.x_2^2; V_2 = q.x_2.$$

$$, B... M_B = 2q.l^2.u^2.$$

Если $t = u$, всѣ сѣченія между A и B равноопасны.

„ $t > u \dots 2q \cdot l^2 \cdot t^2 = B \cdot W$.

„ $t < u \dots 2q \cdot l^2 \cdot u^2 = B \cdot W$.

По этимъ даннымъ надо построить кривыя M и V .

№ 62. Балка свободно положена на двѣ опоры; равномерная нагрузка распределѣна на части длины въ двухъ мѣстахъ симметрично (фиг. 138) Найти кривыя M и V и расчетное ур-іе балки.

Отв. $K = L = Q = q \cdot c$.

Сѣчение $N \dots M = K \cdot x; V = K$.

„ $N_1 \dots M_1 = K \cdot x_1 - q \cdot \frac{(x_1 - a)^2}{2}$,

$V_1 = K - q(x_1 - a)$.

Въ сѣченіи $C \dots \max M_1 = K(a + c) - Q \cdot \frac{c}{2} = q \cdot c \cdot \frac{2a + c}{2}$.

Всѣ сѣченія между C и D равноопасны.

№ 62,а. Распределѣние нагрузки подобно тому, которое было въ предыдущей задачѣ, только плечи a_1 и a_2 (фиг. 139) не одинаковы и длина нагруженныхъ частей c_1 и c_2 различная, а нагрузка на 1 длины — одна и та же. Сдѣлать размѣщеніе нагрузки подѣ условіемъ, чтобы всѣ сѣченія между C и D были одинаково опасны

Отв. Это будетъ при условіи $K = q \cdot c_1$ и $L = q \cdot c_2$, для чего необходимо существованіе р-ва.

$$\frac{c_2}{c_1} = \frac{2a_1 + c_1}{2a_2 + c_2}$$

№ 63 Балка свободно положена на двѣ опоры A и B (фиг. 140); нагрузка Q представляется въ видѣ слоя постоянной толщины, но перемѣнной высоты, постепенно возрастающей при переходѣ отъ одной опоры къ другой. Найти кривыя M и V , расчетное ур-іе, стрѣлу прогиба и ур-іе упругой линіи.

Отв. $K = \frac{L}{2} = \frac{Q}{3}$.

Сѣчение $N \dots M = Q \cdot x \cdot \frac{l^2 - x^2}{3l^2}; V = Q \cdot \frac{l^2 - 3x^2}{3l^2}$.

Абсц. *max.* мом. $\bar{x} = l : \sqrt{3}$

$\max M = \frac{2}{9\sqrt{3}} \cdot Q \cdot l = 0,1283 \cdot Q \cdot l = B \cdot W$.

Ур-іе упругой линіи:

$$A \cdot z = \frac{Q \cdot x}{180} \cdot \frac{10l^2 \cdot x^2 - 3x^4 - 7l^4}{l^2}$$

Абсцисса наибольшаго провѣса

$$x = l \cdot \sqrt{1 - \sqrt{8 : 15}} = 0,5193 \cdot l.$$

Стрѣла прогиба... $A.h = 0,013 \cdot Q.l^3$.

№ 64. Лѣвымъ концомъ A балка зацѣмлена въ стѣнѣ (фиг. 141), правая часть балки лежитъ свободно на опорѣ B ; на свѣшивающемся за опору концѣ балка нагружена сосредоточеннымъ грузомъ P . Найдите сопротивления опоры такой балки, расчетное ур-іе и стрѣлу прогиба въ точкѣ подвѣса.

Отв. Вѣтвь AHB

$$A.z = \frac{P(m-x)^3}{6} - \frac{K(l-x)^3}{6} + c_1 \cdot x + c_2.$$

Вѣтвь BC_1

$$A.z_1 = P \cdot \frac{(m-x_1)^3}{6} + c_1 \cdot x_1 + c_2.$$

Постоянныя величины

$$c_1 = \frac{P \cdot m^2 - K \cdot l^2}{2}; \quad c_2 = \frac{K \cdot l^3 - P \cdot m^3}{6}.$$

Сопротивленія опоръ:

$$K = \frac{3m-l}{2l} \cdot P = P + \frac{3}{2} \cdot \frac{c}{l} \cdot P.$$

$$L = \frac{m-l}{2l} \cdot 3P = \frac{3}{2} \cdot \frac{c}{l} \cdot P.$$

$$M_B = P \cdot c; \quad M_A = -\frac{P \cdot c}{2}.$$

$$P \cdot c = B \cdot W \dots \text{сѣч. } B.$$

$$A.f = \frac{P \cdot m^3}{3} - \frac{P \cdot l}{12} (3m-l)^2 = P \cdot c^2 \cdot \frac{4c+3l}{12}.$$

№ 65. Условія задачи подобны предыдущимъ, только нагрузка Q на длинѣ c распределена равномерно. Не составляя ур-ій упругой линіи, найти сопротивления опоръ и расчетное ур-іе (фиг. 142).

Отв. $K = Q + \frac{3}{4} \frac{c}{l} \cdot Q; \quad L = \frac{3}{4} \frac{c}{l} \cdot Q$

$$M_B = Q \cdot \frac{c}{2}; \quad M_A = -Q \cdot \frac{c}{4}$$

$$Q \cdot \frac{c}{2} = B \cdot W \dots \text{сѣч. } B.$$

№ 66. Балка свободно положена на двѣ опоры A и B (фиг. 143), нагрузка распределена на длинѣ BC и равномерно возрастаетъ, идя отъ C къ B .

Найти расчетный моментъ для такой балки.

$$\text{Отв. } K = Q \cdot \frac{c}{3l}; \quad L = Q \cdot \frac{3l - c}{3l}.$$

Абсцисса *max* сгибающаго момента

$$\bar{x} = a + c \cdot \sqrt{K:Q} = a + c \sqrt{\frac{c}{3l}}$$

Расчетное уравне

$$\frac{c}{3l} \left(a + \frac{2c}{3} \cdot \sqrt{\frac{c}{3l}} \right) \cdot Q = B \cdot W.$$

№ 67 Произвести расчетъ балки въ тѣхъ условіяхъ, которыя всгрѣчаются въ резервуарахъ проф. *Intze*, съ коническимъ днищемъ изъ листового желѣза.

Профиль днища въ схемѣ данъ на фиг. 144 (подробности см. въ *Атласъ деталей машинъ*); CD — образующая конуса, вдоль которой располагается одна изъ балокъ, поддерживающихъ коническое днище; $FGHI$ — площадь трапеции (вырѣзка изъ днища), воспринимающая на себя давление воды и передающая его балкѣ; h — высота уровня воды надъ точкою D балки, H — надъ точкою C , y — надъ произвольною точкою E , которая отстоитъ отъ D на разстояніи x , z — соответственная ширина площади нагруженія, A и a — два ея крайнія значенія, $CD = l$ длина балки, δ — плотность воды (въсь 1 куб. *мт*). Элементарная площадь — $z \cdot dx$; давленіе воды, воспринимаемое этой площадью — $z \cdot y \cdot dx \cdot \delta$, давленіе, приходящееся на l длины балки въ сѣченіи E

$$p_\varepsilon = \delta \cdot y \cdot z$$

По фиг. 144 имѣемъ

$$y = h + x \cdot \frac{H - h}{l}$$

$$z = a + x \cdot \frac{A - a}{l}$$

Поэтому

$$p_\varepsilon = \frac{\delta}{l^2} \left[a \cdot l + x (A - a) \right] \cdot \left\{ h \cdot l + x (H - h) \right\}.$$

Законъ измѣненія p представится параболою $C_1E_1D_1$ (фиг. 145), гдѣ обозначаютъ:

при $x = 0 \dots DD_1 = p_D = \delta \cdot a \cdot h = n$

при $x = l \dots CC_1 = p_C = \delta \cdot A \cdot H = N.$

Ордината, соответствующая значению $x = \frac{l}{2}$, будетъ

$$\delta \cdot \frac{H+h}{2} \cdot \frac{A+a}{2}.$$

Примемъ вмѣсто нея большую величину

$$FF_1 = \frac{CC_1}{2} = \frac{N}{2} = \frac{\delta \cdot A \cdot H}{2}$$

и допустимъ, что величины p измѣняются, какъ ординаты ломаной линіи $C_1F_1D_1$ (фиг. 145), которая весьма близко подходитъ къ точному параболическому очертанію $C_1E_1D_1$. Нагрузка графически будетъ представляться площадью $CC_1F_1D_1D$, которую можно разсматривать, какъ состоящую изъ двухъ площадей P и Q , гдѣ

$$P = \frac{\overline{CD} \cdot \overline{CC_1}}{2} = \frac{\delta \cdot A \cdot H \cdot l}{2} = \frac{N \cdot l}{2}.$$

$$Q = \frac{\overline{DD_1} \cdot \overline{DD_1}}{2} = \frac{\delta \cdot a \cdot h \cdot l}{4} = \frac{n \cdot l}{4}.$$

Для опредѣленія сопротивленія опоры L беремъ за центръ моментовъ точку D , а для опредѣленія K — точку C

$$L \cdot l = P \cdot \frac{2}{3}l + Q \cdot \frac{l}{6}; \quad L = \frac{4P + Q}{6}.$$

$$K \cdot l = P \cdot \frac{l}{3} + Q \cdot \frac{5}{6}l; \quad K = \frac{2P + 5Q}{6}$$

$$K = \delta \cdot l \cdot \frac{A \cdot H + 1,25 \cdot a \cdot h}{6}.$$

Пусть абсцисса max сгибающаго момента будетъ \bar{x} , а соответственная ордината площади нагруженія — n_0 , тогда

$$n_0 : N = \bar{x} \cdot l; \quad n_0 = N \cdot \frac{\bar{x}}{l}.$$

Если R будетъ сѣченіе, въ которомъ моментъ будетъ max , тогда въ этомъ сѣченіи мы должны имѣть сѣкущее усиліе = 0, т. е.

$$K - Q - \text{пл. } RR_1D = 0, \text{ гдѣ}$$

$$\text{пл. } RR_1D = \frac{n_0 \cdot \bar{x}}{2} = \frac{N \cdot \bar{x}^2}{2l}; \text{ поэтому}$$

$$\delta \cdot l \cdot \frac{A \cdot H + 1,25 a \cdot h}{6} = \frac{\delta \cdot a \cdot h \cdot l}{4} + \delta \cdot A \cdot H \cdot \frac{\bar{x}^2}{2l}.$$

$$\bar{x} = l \cdot \sqrt{\frac{1}{3} - \frac{1}{12} \cdot \frac{a \cdot h}{A \cdot H}}.$$

Разсчетный моментъ въ сѣченіи R будетъ:

$$M = K \cdot \bar{x} - Q \left(\bar{x} - \frac{l}{6} \right) - \frac{N \cdot \bar{x}^3}{6 \cdot l}.$$

Г. Многоопорные балки. Определеіе сопротивленій опоръ и нахожденіе расчетнаго момента.

25. Общія соображенія относительно многопролетныхъ балокъ. Если число опоръ, на которыхъ балка лежитъ свободно, превышаетъ двѣ, въ такомъ случаѣ определеіе давленій на опоры не можетъ быть сдѣлано исключительно помощью ur -іи статики, и. ч. этихъ ur -іи въ случаѣ дѣйствія параллельныхъ силъ имѣется только *два*, а неизвѣстныхъ давленій на опоры всегда болѣе двухъ. Рѣшеніе вопроса можно сдѣлать и въ этомъ случаѣ определеннымъ, принимая во вниманіе упругое сопрогивленіе сгибанію, оказываемое балкою, и взаимное расположеніе опоръ по отношенію къ нѣкоторой горизонтали, имѣющей определенное положеніе въ пространствѣ.

На всемъ протяженіи балка предполагается *призматическою*, т. е. имѣющею постоянныя размѣры поперечнаго сѣченія.

Пусть имѣемъ балку, которая свободно лежитъ на $n + 1$ опорѣ, т. е. имѣетъ n промежутковъ между опорами, ии, какъ говорятъ, *n пролетовъ*. При рѣшеніи вопроса о нагруженіи такой балки явится необходимость определять $n + 1$ неизвѣстное въ видѣ сопротивленій опоръ. Эта задача могла бы быть рѣшена и на основаніи тѣхъ данныхъ, которыя у насъ уже имѣются относительно примѣненія ur -іи упругой линіи въ различныхъ случаяхъ; но этотъ способъ приводитъ къ весьма продолжительнымъ выкладкамъ. къ рѣшенію довольно большого числа ur -іи 1-й степени, число которыхъ весьма быстро возрастаетъ съ увеличеніемъ числа пролетовъ балки и съ переходомъ отъ равномерной нагрузки къ отдѣльнымъ, сосредоточеннымъ грузамъ.

Съ цѣлю упрощенія рѣшенія подобныхъ вопросовъ *Clapeyron* и *Bertot* предложили особый методъ расчета многоопорныхъ балокъ, помощью котораго изъ ur -іи упругой линіи определяются сначала *не сопротивленія опоръ*, а величины сгибающихъ моментовъ во всѣхъ поперечныхъ сѣченіяхъ балки, проходящихъ чрезъ ея точки опоры. Такие моменты называются *опорными моментами*. Между опорными моментами трехъ смежныхъ опоръ многопролетной балки, оказывается, существуетъ нѣкоторая общая зависимость, видъ которой определяется только способомъ нагруженія трехъ произвольно взятыхъ пролетовъ балки и вовсе не зависитъ отъ числа пролетовъ. Такая зависимость наз. *ur-емъ трехъ опорныхъ моментовъ*. Имѣя въ распоряженіи такое ur -іе, весьма быстро находятъ всѣ опорные моменты, а по нимъ — сопротивленія опоръ.

Въ дальнѣйшемъ намъ предстоитъ, слѣд., сдѣлать выводъ ur -ой трехъ опорныхъ моментовъ. Первое упрощеніе въ задачѣ о многоопорной балкѣ было сдѣлано *Клапейрономъ*. Получивши ur -ію упругой линіи послѣ интеграціи въ общемъ видѣ, онъ исключилъ изъ нихъ всѣ неизвѣстныя сопротивленія опоры, оставивши въ этихъ ur -іяхъ *опорные сгибающіе моменты и девианци*, т. е. tg -ы угловъ наклоненія упругія

линии къ горизонту во всѣхъ точкахъ опоры; такихъ девиаций у балки съ n пролетами было $n + 1$; если балка на всѣхъ опорахъ лежитъ свободно, то опорные моменты двухъ крайнихъ опоръ равны нулю, и неизвѣстными опорными моментами будутъ только $n - 1$ опорный моментъ для среднихъ опоръ; слѣд., въ задачѣ *Клатейрона* всѣхъ неизвѣстныхъ, подлежащихъ опредѣленю, будетъ

$$(n + 1) + (n - 1) = 2n$$

Дальнѣйшее упрощене въ рѣшеніи этой задачи было сдѣлано *Берто*, который изъ n -ой *Клатейрона* исключилъ всѣ неизвѣстныя $n + 1$ девиации и оставилъ для опредѣленія только $n - 1$ неизвѣстное въ видѣ опорныхъ *тот-овъ* промежуточныхъ опоръ. И *Клатейронъ* и *Берто* рассматривали вопросъ о нагруженіи многоопорной балки только равномерною нагрузкою, величина которой не измѣняется между двумя данными опорами. Рѣшая вопросъ въ этомъ случаѣ общимъ, извѣстнымъ уже намъ путемъ, мы встрѣтились бы съ необходимостью рѣшать $3n - 1$ n -іе 1-й степени, какъ не трудно видѣть: n -іе упругой линіи мы написали бы въ каждомъ пролетѣ 1 разъ и обинтегрировали бы его два раза, вводя $2n$ неизвѣстныхъ произвольныхъ постоянныхъ, которые являются при интеграціи между произвольными предѣлами; кромѣ этихъ $2n$ неизвѣстныхъ въ эти n -ія вошли бы еще $n + 1$ неизвѣстное въ видѣ сопротивленій опоръ; слѣд., всѣхъ неизвѣстныхъ, подлежащихъ опредѣленю было бы

$$2n + (n + 1) = 3n + 1.$$

Для нахождения этихъ неизвѣстныхъ надо было бы составить $3n + 1$ n -іе: изъ нихъ 2 n -ія дадутъ намъ условия равновѣсія между нагрузкою и сопротивленіями опоръ, т. е. это будутъ 2 n -ія статики; затѣмъ мы имѣемъ $2n$ точекъ опоры, въ каждомъ пролетѣ—по 2 точки опоры; въ каждой изъ этихъ точекъ опоры мы можемъ написать, что упругая линія проходитъ чрезъ точку, обѣ координаты которой извѣстны; такихъ n -ій будетъ, слѣдов., $2n$; наконецъ, промежуточныхъ точекъ опоры у балки будетъ $n - 1$, въ каждой изъ этихъ точекъ мы можемъ написать, что лѣвая кривая непрерывно переходитъ въ правую кривую, и такихъ n -ій, выражающихъ равенство девиаций, будетъ $n - 1$; а всего мы получимъ $3n + 1$ n -іе 1-й степени:

2 n -ія статики,

$2n$ n -ій, координирующихъ точки опоры балки въ каждомъ пролетѣ,

$n - 1$ n -іе равенства девиаций въ точкахъ опоры.

Всего... $3n + 1$ n -іе,

т. е. рѣшеніе вопроса и въ общемъ случаѣ является вполне опредѣленнымъ, но для этого требуется разрѣшеніе $3n + 1$ n -ія, тогда какъ

способъ *Берто* приводитъ къ рѣшенію только $n - 1$ ур-я. Разница выходитъ такова

$$\text{при } n = 2 \quad \dots \quad 5n + 1 = 7. \quad \dots \quad n - 1 = 1'$$

$$, \quad n = 3 \dots \quad 5n + 1 = 10. \quad \dots \quad n - 1 = 2 \text{ и т. д.}$$

Но *Берто* далъ только частное рѣшеніе вопроса, когда нагрузка въ каждомъ пролетѣ по всей его длинѣ распределена равномерно. Болѣе общее рѣшеніе той же задачи было сдѣлано покойнымъ профессоромъ Императорскаго Техническаго Училища *Д. П. Лебедевымъ*, который далъ выводъ ур-я трехъ опорныхъ моментовъ въ самой общей его формѣ, когда нагрузка въ каждомъ изъ пролетовъ представлена отдѣльными сосредоточенными грузами.

Если бы предположить, что на каждомъ изъ пролетовъ имѣется только по одному сосредоточенному грузу $P_1 P_2 \dots P_n$ (фиг. 146), тогда въ каждомъ изъ пролетовъ выраженіе сгибающаго момента имѣло бы различный видъ справа и слѣва отъ точки приложенія сосредоточенной нагрузки, слѣд., въ каждомъ пролетѣ мы имѣли бы по 2 ур-я упругой лини, т. е. всего $2n$ ур-ій упругой лини; интегрируя каждое изъ нихъ по 2 раза, мы ввели бы $4n$ неизвѣстныхъ произвольныхъ постоянныхъ, а всего неизвѣстныхъ, подлежащихъ опредѣленію, было бы $5n + 1$, ибо къ $4n$ неизвѣстнымъ произвольнымъ постояннымъ надо присоединить еще $n + 1$ неизвѣстное въ видѣ сопротивленій опоръ. Для нахождения всѣхъ этихъ неизвѣстныхъ необходимо было бы составить и рѣшить $5n + 1$ ур-е. Эти ур-я, очевидно, должны были составиться такъ:

2 ур-я статики, выражающихъ равновѣсіе нагрузки и сопротивленій опоръ,

$2n$ ур-ій, координирующихъ точки опоры балки въ каждомъ пролетѣ,

n ур-ій, выражающихъ равенство ординаты правой и лѣвой кривой при каждой точкѣ приложенія внѣшней нагрузки,

n ур-ій равенства девиаций у смежныхъ кривыхъ при каждой изъ точекъ приложенія внѣшней нагрузки,

$n - 1$ ур-е равенства девиаций у смежныхъ кривыхъ при каждой изъ промежуточныхъ точекъ опоры у балки.

Всего составляетъ, слѣдовательно, $5n + 1$ ур-е, и рѣшеніе вопроса получается вполне опредѣленное. По способу же проф. *Лебедева*, какъ и по способу *Берто* въ случаѣ равномерной нагрузки, понадобится рѣшить здѣсь только $n - 1$ ур-е съ $n - 1$ неизвѣстными въ видѣ опорныхъ моментовъ для $n - 1$ промежуточной опоры. Разница выходитъ уже слѣдующая:

$$\text{при } n = 2 \dots \quad 5n + 1 = 11 \dots \quad n - 1 = 1,$$

$$, \quad n = 3 \quad \dots \quad \quad \quad = 16 \dots \quad \quad \quad = 2 \text{ и т. д.}$$

Такая же разница въ числѣ ур-ій между рѣшеніемъ общимъ и проф. *Лебедева* получилась бы и въ томъ случаѣ, когда въ каждомъ изъ пролетовъ равномерная нагрузка O (фиг. 146) была бы распределена лишь на части длины пролета и однимъ краемъ прилегала бы къ опорѣ.

Затѣмъ въ случаѣ дѣйствія двухъ сосредоточенныхъ грузовъ на каждомъ пролетѣ или вмѣсто этого въ случаѣ существованія на каждомъ пролетѣ равномерной нагрузки R (фиг. 146), не прилегающей ни къ одной изъ опоръ, пришлось бы рѣшать по общему способу $7n + 1$ ур-іе, а по способу проф. *Лебедева* опять только $n - 1$ ур-іе. При комбинаціяхъ равномерной нагрузки O или R , съ сосредоточенными грузами на каждомъ изъ пролетовъ, рѣшая вопросъ общимъ путемъ возможно встрѣтиться съ необходимостью совмѣстнаго рѣшенія

$$9n + 1 \text{ ур-ій,}$$

$$11n + 1 \quad \text{„} \quad \text{и т. д.}$$

а по способу проф. *Лебедева*, пользуясь ур-іемъ трехъ опорныхъ моментовъ, и въ этихъ случаяхъ придется рѣшать каждый разъ только $n - 1$ ур-іе.

Этимъ въ достаточной мѣрѣ выясняется значеніе ур-ія трехъ опорныхъ моментовъ и необходимость имѣть его выводъ въ самомъ общемъ видѣ. Для этого достаточно сдѣлать выводъ его только для случая существованія сосредоточенныхъ нагрузокъ въ каждомъ изъ пролетовъ, такъ какъ равномерная нагрузка всякаго вида Q, O или R (фиг. 146) и неравномерная нагрузка могутъ быть рассматриваемы, какъ совокупность сосредоточенныхъ грузовъ, измѣняющихся при переходѣ отъ одной точки приложенія къ другой по опредѣленному закону.

Рѣшеніе этого вопроса приводится здѣсь съ цѣлью удовлетворенія потребностей не столько инженернаго и строительнаго искусства, сколько машиностроенія, гдѣ съ вопросомъ о нагруженіи призматическихъ балокъ (въ видѣ валовъ и пр.), лежащихъ на нѣсколькихъ опорахъ, опредѣленнымъ образомъ координированныхъ, приходится встрѣчаться весьма часто и при самыхъ разнообразныхъ способахъ нагруженія.

29. Сопротивленія опоръ многопролетной балки и ея сѣкуція усилія. Когда балка положена на n опоръ, не измѣняющихся послѣ нагруженія балки своего относительнаго положенія въ пространствѣ, тогда каждая изъ опоръ оказываетъ давленію, которое производитъ на нее балка, равное и прямо противоположное сопротивленію или *реакцію*. Не нужно смѣшивать *сопротивленіе опоры* съ *сѣкущимъ усиліемъ* по ту и по другую сторону отъ опоры, чрезъ которую балка слѣдуетъ непрерывно.

Сѣкущимъ усиліемъ или *силою сдвига* въ данномъ сѣченіи мы называли алгебраическую сумму всѣхъ силъ по одну сторону отъ рассматриваемаго сѣченія.

Согласно съ этимъ опредѣленіемъ мы можемъ сказать, что *сѣкущее усилие при данной опорѣ будетъ равно сопротивленію этой опоры только въ такомъ случаѣ, когда балка кончается надъ данной опорой, и нагружене ея по другую сторону отъ опоры вовсе не производится.*

Если же балка слѣдуетъ чрезъ данную опору непрерывно, тогда, подходя къ точкѣ опоры балки слѣва, мы будемъ имѣть нѣкоторую величину сѣкущаго усиія, положимъ V_1 , которая представляетъ собою алгебраическую сумму всѣхъ силъ, дѣйствующихъ на балку слѣва отъ даннаго сѣченія, включая въ число сихъ не только внѣшнюю нагрузку, расположенную лѣвѣе даннаго сѣченія, но также сопротивленія всѣхъ опоръ, расположенныхъ лѣвѣе взятой; а подходя къ данной точкѣ опоры справа, мы будемъ имѣть уже другую величину сѣкущаго усиія, положимъ V_n , которая будетъ представлять собою алгебраическую сумму всѣхъ силъ, дѣйствующихъ на балку справа отъ даннаго сѣченія, включая въ число дѣйствующихъ силъ не только внѣшнюю нагрузку, расположенную правѣе даннаго сѣченія, но также сопротивленія всѣхъ опоръ, расположенныхъ правѣе данной. Сопротивленіе же взятой опоры K , очевидно, должно равняться суммѣ сѣкущихъ усиій при данной опорѣ справа отъ нея и слѣва, т. е.

$$K = V_1 + V_n \dots \dots \dots 1.$$

Такова величина сопротивленія опоры; что же касается до направленія дѣйствія этого сопротивленія, то по смыслу вопроса *положительная* величина K должна обозначать, что сопротивленіе опоры направлено въ сторону, противоположную дѣйствію нагрузки, а *отрицательная* величина сопротивленія данной опоры будетъ обозначать, что эта опора должна оказывать сопротивленіе въ одну сторону съ дѣйствіемъ нагрузки.

Происхожденіе ур-я I понятно само собою, но оно можетъ быть подтверждено также и на основаніи правилъ статики. Пусть имѣемъ балку $ВАС$ (фиг. 147), лежащую на нѣсколькихъ опорахъ и какъ-либо нагруженную. Когда балка получила отъ нагрузки свой упругій прогибъ, она пришла въ равновѣсіе, и каждая изъ опоръ восприняла при дѣйствіи на нее давленіе; послѣ этого мы можемъ отвлечься отъ разсмотрѣнія опоръ, замѣнивъ воздѣйствіе ихъ на балку соответственными реакціями. Разсмотримъ одну изъ опоръ A , чрезъ которую балка слѣдуетъ непрерывно, и опредѣлимъ сопротивленіе этой опоры.

Замѣнимъ алгебраическую сумму всѣхъ силъ, дѣйствующихъ на балку слѣва отъ сѣченія A , ихъ слагающею; это будетъ, очевидно, сѣкущее усилие для балки слѣва отъ ея сѣченія A , т. е. V_1 ; пусть оно будетъ приложено въ точкѣ D на разстояніи a отъ разсматриваемой опоры. Совершенно такимъ же образомъ замѣнимъ и алгебраическую сумму всѣхъ силъ, дѣйствующихъ на балку справа отъ сѣченія A , ихъ слагающею; это будетъ, очевидно, сѣкущее усилие для балки справа отъ

ея сѣченія A , т. е. V_n ; пусть оно будетъ приложено въ точкѣ E на разстоянн b отъ разматриваемой опоры. Балка находится въ равновѣсн, слѣдовательно, необходимо имѣть слѣдующее:

1) моменты сѣкущихъ усилий справа и слѣва отъ точки A должны быть равны между собою, т. е.

$$V_i \cdot a = V_n \cdot b;$$

2) слагающая сѣкущихъ усилий должна проходить чрезъ точку A и должна быть равна ихъ суммѣ, т. е.

$$K = V_i + V_n$$

Только въ частномъ случаѣ, когда опора A является крайнею правою или крайнею лѣвою, сѣкущее усилие не будетъ отличаться отъ сопротивленія опоры. Напр., если опора A будетъ крайнею лѣвою, тогда

$$V_i = 0 \dots K_{лѣв} = V_n,$$

а если опора A будетъ крайнею правою, то

$$V_n = 0 \dots K_{прав} = V_i$$

Разсмотрѣнне фиг. 147 и ф-лы I приводитъ насъ къ такому заключенно, что *если мы перемѣщаемъ сѣчене все время по одному какому-нибудь направленно и переходимъ чрезъ точку опоры, тогда сѣкущее усилие должно мѣняться при этомъ не только свою величину, но также и знакъ*. Подходя къ опорѣ A слѣва (фиг. 147) пусть имѣемъ, напрнмѣръ, V_i отрицательнымъ, тогда K надо считать положительнымъ, перейдя чрезъ опору A слѣва направо, мы должны получить сѣкущее усилие равнымъ

$$-V_i + K = -V_n + (V_i + V_n) = +V_n$$

На чертежѣ (фиг. 147) V_n имѣетъ тотъ же знакъ, какъ и V_i , т. е. оно отрицательно; это такъ и должно быть, потому что на чертежѣ V_n представляетъ сѣкущее усилие для того случая, когда мы подходимъ къ A *справа налево*, а не наоборотъ, какъ мы сейчасъ вычисляли; поэтому фиг. 147 не противорѣчитъ предыдущему вычисленно, а подтверждаетъ его.

Такова существенная разница между сопротивленіями опоръ многопролетной балки и сѣкущими усилиями при точкахъ опоръ ея.

30. Выраженіе сѣкущаго усилия и сгибающаго момента въ произвольномъ пролетѣ балки. а) *Случай ненагруженнаго пролета.* Пусть имѣемъ произвольный пролетъ балки, на которомъ нѣтъ никакой внѣшней нагрузки; текущій № лѣвой опоры—($k-1$), а правой— k .

Пусть обозначаютъ:

M_{k-1} — опорный моментъ въ сѣченн лѣвой опоры даннаго пролета,

M_k — " " " " правой " " "

M_n — сгибающий моментъ въ произвольномъ сѣченіи *ненагруженнаго* пролета,

V_n — сѣкущее усилие въ произвольномъ сѣченіи *ненагруженнаго* пролета,

l — длина пролета.

Если данный пролетъ AB (фиг. 148) не нагруженъ вовсе, тогда между точками A и B величина сѣкущаго усилия остается постоянною и равною той, которую мы получимъ, перейдя чрезъ точку опоры A слѣва направо, т. е. уже включивъ въ алгебраическую сумму всѣхъ силъ слѣва отъ сѣченія A также и сопротивление опоры A , поэтому кривая сѣкущихъ усилий *ненагруженнаго* пролета будетъ горизонтальною прямою линіею CD , параллельною съ осью абсциссъ Ax .

Зависимость между сгибающимъ моментомъ и сѣкущимъ усилиемъ въ сѣченіи N (фиг. 148), по теоремѣ *Шведлера* (см. § 11, ф-ла 24). пишется такъ:

$$\frac{dM_n}{dx} = V_n = const.$$

Интегрируя это ур-е, получимъ:

$$M_n = V_n \cdot x + c \dots \dots \dots \text{ а,}$$

гдѣ c — произвольное постоянное. Если сдѣлаемъ $x = 0$, т. е. перенесемъ сѣчение N въ A , тогда M_n обратится въ M_{n-1} , и мы будемъ имѣть:

$$M_{n-1} = c, \text{ поэтому}$$

$$M_n = V_n \cdot x + M_{n-1} \dots \dots \dots \text{ б,}$$

т. е. *сгибающий моментъ въ произвольномъ сѣченіи ненагруженнаго пролета надо писать такъ же, какъ для балки, свободно лежащей на опорахъ при томъ услови, что въ сѣченіи надъ опорой у нея приложенъ опорный моментъ и сѣкущее усилие ненагруженнаго пролета.*

Нужно именно помнить, что, *разсматривая равновѣсіе произвольнаго пролета балки, при опорѣ мы должны имѣть приложеннымъ не сопротивление опоры, а сѣкущее усилие, которое получается, перейдя чрезъ опору въ пролетъ.*

Если сдѣлаемъ $x = l$, т. е. перенесемъ сѣчение N въ B (фиг. 148), тогда M_n обратится въ M_n , и мы будемъ имѣть:

$$M_n = V_n \cdot l + M_{n-1}, \text{ откуда}$$

$$V_n = \frac{M_n - M_{n-1}}{l} \dots \dots \dots \text{ в,}$$

т. е. *сѣкущее усилие ненагруженнаго пролета = дроби, у которой числитель есть разность опорныхъ моментовъ послѣдующей и предыду-*

щей опоры, а знаменатель—длина пролета. После этого ф-ла б приметь видъ:

$$M_n = \frac{M_k - M_{k-1}}{l} \cdot x + M_{k-1} \dots \dots \dots \text{III.}$$

Эта ф-ла показываетъ, что кривая моментовъ ненагруженного пролета будетъ прямою линіею, наклонною къ оси абсциссъ. Координата x], опредѣляющая точку пересѣченія прямой моментовъ съ осью абсциссъ, найдется изъ ф-лы III, сдѣлавши въ ней $M_n = 0$.

$$x] = \frac{M_{k-1}}{M_{k-1} - M_k} \cdot l \dots \dots \dots \text{B.}$$

Если $M_{k-1} > M_k$, тогда $x]$ будетъ положительно, и прямая моментовъ будетъ подобна FF' (фиг. 148).

Если $M_{k-1} < M_k$, величина $x]$ будетъ отрицательна, т. е. точка пересѣченія прямой моментовъ съ осью абсциссъ будетъ находиться лѣвѣе опоры A , и прямая моментовъ будетъ подобна EF_1 (фиг. 148)

Если $M_{k-1} = M_k$, тогда $x]$ = безконечности, и прямая моментовъ EF_0 будетъ || оси абсциссъ.

Если $M_k = 0$, т. е. опора B будетъ крайнею правою, тогда

$$x] \text{ будетъ} = l,$$

т. е. прямая моментовъ пересѣчетъ ось абсциссъ въ сѣченіи, проходящимъ чрезъ опору B ; въ частномъ случаѣ, когда опоры A и B находятся на одной высотѣ, прямая моментовъ пройдетъ какъ разъ чрезъ точку опоры B .

Если $M_{k-1} = 0$, т. е. опора A будетъ крайнею лѣвою, тогда

$$x] \text{ будетъ} = 0,$$

т. е. прямая моментовъ будетъ начинаться въ точкѣ A .

б) *Случай пролета, нагруженного однимъ сосредоточеннымъ грузомъ* (фиг. 149). Разстоянія точки приложенія нагрузки P отъ опоръ даннаго пролета обозначимъ чрезъ a и b . Если бы данная балка, имѣющая длину, поперечные размѣры и нагрузку разсматриваемаго пролета, была свободно положена на опоры A и B , ихъ сопротивленія p и q опредѣлялись бы такъ (фиг. 149):

$$\left. \begin{aligned} p &= P \cdot \frac{b}{l}; & q &= P \cdot \frac{a}{l} \\ p + q &= P \end{aligned} \right\} \dots \dots \dots \text{Г.}$$

Въ случаѣ непрерывной балки, нагруженной за опорами A и B , сопротивленія опоръ будутъ другія, но они будутъ находиться въ зависимости отъ величинъ p и q , какъ увидимъ далѣе

Пусть обозначаютъ:

M_a и V_a — сгибающій моментъ и сѣкущее усиліе въ произвольномъ сѣченіи N , (фиг. 149) на плечѣ a балки, т. е. при измѣненіи x отъ o до a ;

M_b и V_b — сгибающій моментъ и сѣкущее усиліе въ произвольномъ сѣченіи N_1 (фиг. 149) на плечѣ b балки, т. е. при измѣненіи абсциссы сѣченія x_1 отъ a до l ;

M_c — сгибающій моментъ въ точкѣ приложенія нагрузки.

Зависимость между сгиб. мом и сѣкущимъ усиліемъ въ сѣченіи N (фиг. 149), по теоремѣ Шведлера, напишется такъ:

$$\frac{dM_a}{dx} = V_a = const.,$$

н. ч. между точками A и C , т. е. на всемъ плечѣ a , въ составъ V_a входитъ все та же алгебраическая сумма силъ, что и въ точкѣ A , перейдя опору слѣва направо и включивши въ выраженіе V_a также и сопротивленіе опоры A .

Интегрируя написанное выше ур-іе, получимъ:

$$M_a = V_a \cdot x + c_1.$$

Если сдѣлаемъ $x=0$, т. е. перенесемъ сѣченіе N въ точку A , тогда M_a обратится въ M_{k-1} , и мы получимъ:

$$M_{k-1} = c_1 \\ M_a = V_a \cdot x + M_{k-1} \dots \dots \dots \text{д.}$$

Если сдѣлаемъ въ этомъ ур-іи $x=a$, т. е. перенесемъ сѣченіе N въ C (фиг. 149), тогда M_a обратится въ M_c , и мы получимъ:

$$M_c = V_a \cdot a + M_{k-1} \dots \dots \dots \text{е.}$$

Когда мы перейдемъ въ сѣченіе N_1 (фиг. 149), идя слѣва направо, мы получимъ новое выраженіе сѣкущаго усилія, т. е. величину V_b вмѣсто V_a . Сѣкущее усиліе, перейдя точку опоры слѣва направо, мы все время считали ранѣе положительнымъ, поэтому для полученія V_b надо вычесть изъ V_a нагрузку P , чтобы, подходя къ точкѣ опоры B слѣва, снова имѣть отрицательную величину сѣкущаго усилія (см. § предыдущій); тогда, перейдя чрезъ опору B слѣва направо и включивши въ число складываемыхъ силъ также и сопротивленіе опоры B , мы снова получимъ положительное сѣкущее усиліе и т. д. Слѣд.,

$$V_b = V_a - P \dots \dots \dots \text{ж.}$$

Зависимость между сгибающимъ моментомъ и сѣкущимъ усиліемъ въ сѣченіи N_1 выразится, по теоремѣ Шведлера, такъ:

$$\frac{dM_b}{dx_1} = V_b = const.,$$

п. ч при измененіи x_1 отъ a до l , т е на всемъ протяженіи праваго плеча пролета, не прибавляется никакой новой нагрузки. Интегрируя послѣднее равенство, получимъ:

$$M_b = V_b \cdot x_1 + c_2$$

Если сдѣлаемъ $x_1 = l$, т. е. перенесемъ сѣчене N_1 въ B , тогда M_b обратится въ M_k , и мы получимъ

$$M_k = V_b \cdot l + c_2$$

Вычитая 2 послѣднія р-ва одно изъ другого, находимъ:

$$M_b = M_k + V_b \cdot (x_1 - l) \dots \dots \dots \text{з.}$$

Если сдѣлаемъ $x_1 = a$, т. е. перенесемъ сѣчене N_1 (фиг. 149) въ C , тогда M_b обратится въ M_c , а изъ р-ва 3 получимъ:

$$M_c = M_l + V_b \cdot (a - l) \dots \dots \dots \text{к.}$$

Т. к. величина сгибающаго момента M_c д. б. одною и тою же, подходитъ-ли къ сѣченію C слѣва или справа, поэтому 1-я части р-въ е и к надо считать одинаковыми; тогда

$$V_a \cdot a + M_{k-1} = M_k + V_b \cdot (a - l).$$

Пользуясь р-вомъ ж, получаемъ изъ предыдущаго р-ва слѣдующее:

$$P \cdot a + M_{k-1} = M_k - V_b \cdot l, \text{ или}$$

$$V_b = \frac{M_k - M_{k-1} - P \cdot a}{l} \dots \dots \dots \text{и}$$

Сравнивая 2-ю часть равенства и съ ф-лами II и г, мы видимъ, что уменьшаемое представляетъ собой сѣкущее усилие, какимъ оно было бы въ ненагруженномъ пролетѣ, а вычитаемое величину q сопротивления правой опоры, которое было бы у даннаго пролета при свободныхъ концахъ у него, т. е. °

$$V_b = V_n - q = V_n - (P - p), \text{ или}$$

$$\left. \begin{aligned} V_b &= V_n + p - P \\ V_a &= V_b + P = V_n + p \end{aligned} \right\} \dots \dots \dots \text{IV.}$$

Ф-лы IV показываютъ, что для получения сѣкущаго усилия въ пролетѣ, нагруженномъ однимъ сосредоточеннымъ грузомъ, къ сѣкущему усилию ненагруженнаго пролета надо прибавить ту величину сопротивления опоры, которая получилась бы у балки, имѣющей всѣ размеры и наружку даннаго пролета, но лежащей на своихъ опорахъ свободно, т. е. не продолжающейся за опоры.

Послѣ этого по ф-лѣ д напишемъ

$$M_a = (V_n + p) \cdot x + M_{k-1} \dots \dots \dots \text{V.}$$

Точно также по ф-лѣ 3 имѣемъ.

$$M_b = M_k + (V_n - q) \cdot (x_1 - l) = M_k + V_n \cdot x_1 - V_n \cdot l - q(x_1 - l) = \\ = M_k + V_n \cdot x_1 - \frac{M_k - M_{k-1}}{l} \cdot l + q(l - r_1).$$

Но въ балкѣ со свободными концами, для которой вычислены величины p и q , имѣеть мѣсто слѣд. р-во

$$q(l - x_1) = p \cdot x_1 - P(x_1 - a),$$

поэтому можно написать, что

$$M_b = (V_n + p) \cdot x_1 + M_{k-1} - P(x_1 - a) \dots \dots \dots \text{VI.}$$

Ф-лы V и VI позволяютъ сдѣлать слѣд. заключение: *чтобы написать выражение сгибающаго момента въ произвольномъ стѣпени пролета, нагруженнаго однимъ сосредоточеннымъ грузомъ, для этого нужно представить себѣ данный пролетъ какъ-бы свободнымъ, приложить къ его опорамъ соответственные опорные моменты и сѣкущая усилія, а затѣмъ писать моменты въ каждомъ стѣнии на общихъ основаньяхъ.* Так обр. въ этомъ отношеніи пролетъ нагруженный и ненагруженный не имѣють между собою никакой разницы; и здѣсь также необходимо помнить, что, составляя условия равновѣсія для пролета, къ его опорамъ надо приложить *не сопротивленія опоръ, а тѣ величины сѣкущихъ усилій, которыя получатся, перейдя въ пролетъ чрезъ опору.* т. е. включивши каждый разъ въ выраженіе сѣкущаго усилія также и сопротивленіе опоры.

Если возьмемъ 1-ю производную отъ M_a и M_b по соответственнымъ абсциссамъ сѣченій, то изъ ф-лѣ V и VI получимъ ф-лы IV Кривая сѣкущихъ усилій на плечѣ AC (фиг. 149) будетъ прямою DE, ||-ною оси Ax, а на плечѣ CB — такою же прямою FH, расположенною только ниже оси абсциссъ, т. к. въ предыдущемъ § было доказано, что сѣкущее усиліе должно мѣнять знакъ при перенесеніи сѣченія чрезъ опору, или, безразлично, чрезъ точку приложения нѣкоторой сосредоточенной нагрузки

Кривая моментовъ на плечѣ AC (фиг. 149) представится прямою KL, которая пересѣкаетъ ось абсциссъ въ точкѣ I. Найдемъ $AI = \bar{x}$; для этого въ ур-ніи V надо положить

$$M_a = 0; \quad V_n + p = V_a.$$

Тогда

$$0 = V_a \cdot \bar{x} + M_{k-1}, \quad \text{откуда}$$

$$\bar{x} = - \frac{M_{k-1}}{V_a} \dots \dots \dots \text{н.}$$

Докажемъ, что \bar{x} всегда будетъ менѣе a , т. е. прямая KL всегда будетъ пересѣкать ось абсциссъ между A и C, т. е. на плечѣ a .

По ф-лѣ е имѣемъ.

$$\frac{M_c}{V_a} = a + \frac{M_{k-1}}{V_a}.$$

Соединяя это выраженіе съ ф-лой н, получимъ:

$$\bar{x} = a - \frac{M_c}{V_a} \dots \dots \dots \text{о.}$$

Ф-лы н и о показываютъ, что если опорный моментъ отрицателенъ, тогда M_c будетъ положителенъ, и \bar{x} будетъ меньше a . Въ частномъ случаѣ, когда опора A будетъ крайнею лѣвою опорой балки, будемъ имѣть:

$$M_{k-1} = 0 \dots \dots \bar{x} = 0,$$

т. е. точка L совпадаетъ съ A , и кривая моментовъ должна будетъ пройти чрезъ начало координатъ A .

Кривая моментовъ на плечѣ BC (фиг. 149) будетъ прямою KR , которая пересѣкаетъ ось абсциссъ въ точкѣ O на разстояніи $AO = \bar{x}_1$ отъ опоры A . Опредѣлимъ \bar{x}_1 , положивши M_b въ ур-ни 3 равнымъ нулю.

$$0 = M_k + V_b \cdot (\bar{x}_1 - l), \text{ откуда}$$

$$\bar{x}_1 = l - \frac{M_k}{V_b} \dots \dots \dots \text{п.}$$

Т. к. величины M_k и V_b обѣ отрицательны, поэтому \bar{x}_1 всегда меньше l , т. е. точка O лежитъ между точкою приложенія нагрузки и правою опорой. Въ частномъ случаѣ, когда опора B будетъ крайнею правою опорой всей многопролетной балки, получимъ:

$$M_k = 0 \dots \dots \bar{x}_1 = l,$$

т. е. въ этомъ случаѣ кривая моментовъ должна пересѣкать ось абсциссъ въ сѣченіи надъ опорой.

31. Ур-іе трехъ опорныхъ моментовъ. а) *Пролеты нагружены сосредоточенными грузами.* Пусть имѣемъ 2 смежныхъ пролета многоопорной балки, у которыхъ текущий № будетъ k и $k + 1$. Введемъ обозначенія:

- P_k и P_{k+1} — сосредоточенныя нагрузки на обоихъ пролетахъ,
- a_k и a_{k+1} — плечи этихъ нагрузокъ относительно *крайнихъ* опоръ A и C (фиг. 150),
- l_k и l_{k+1} — длины пролетовъ,
- M_{k-1} , M_k , M_{k+1} — опорные моменты въ сѣченіяхъ A , B , C ,
- h_k и h_{k+1} — высота средней опоры надъ крайними.

Выберемъ двѣ системы осей координатъ $x_1 Vz$ и $x_2 Vz$ съ общимъ началомъ B и общей осью Vz . Углы наклона касательной къ упругой линіи въ обоихъ пролетахъ пусть будутъ β_1 и β_2 . По чертежу видно, что

$$\beta_1 + \beta_2 = 180^\circ; \text{ tg } \beta_1 + \text{tg } \beta_2 = 0 \dots \dots \dots \text{р.}$$

Разстоянія сѣченій N и N_1 , произвольно взятыхъ въ обоихъ пролетахъ, отъ крайнихъ опоръ обозначимъ чрезъ ξ_1 и ξ_2 . Тогда интегральныя ур-я упругой линіи въ обоихъ пролетахъ напишутся такъ:

$$\begin{aligned} - E . I . (h_k - l_k \cdot tg . \beta_1) &= \int_0^{l_k} M . \xi_1 . d \xi_1 = \mathcal{H} \\ - E . I . (h_{k+1} - l_{k+1} tg \beta_2) &= \int_0^{l_{k+1}} M . \xi_2 . d \xi_2 = \mathcal{Z} \end{aligned}$$

Исключая изъ этихъ двухъ р-въ давіаціи при помощи ур-я p , получимъ.

$$- E . I . \left(\frac{h_k}{l_k} + \frac{h_{k+1}}{l_{k+1}} \right) = B = \frac{\mathcal{H}}{l_k} + \frac{\mathcal{Z}}{l_{k+1}} q$$

Выраженіе момента M , который надо вносить при вычисленіи \mathcal{H} , по предыдущему будетъ:

$$M = M_{k-1} + V_a \cdot \xi_1 - P_k \cdot (\xi_1 - a_k), \text{ приче мъ}$$

$$V_a = V_{n+p} = \frac{M_k - M_{k-1}}{l_k} - P_k \cdot \frac{l_k - a_k}{l_k}$$

$$M = M_{k-1} + \frac{M_k - M_{k-1}}{l_k} \cdot \xi_1 + P_k \cdot \frac{l_k - a_k}{l_k} \cdot \xi_1 - P_k \cdot \xi_1 + P_k \cdot a_k$$

Так. обр. интеграль \mathcal{H} разобьется на 5 отдѣльныхъ, изъ нихъ \mathcal{H}_1 \mathcal{H}_2 \mathcal{H}_3 должны быть взяты въ предѣлахъ отъ 0 до l_k , тогда какъ два послѣдніе — \mathcal{H}_4 и \mathcal{H}_5 — д. б. взяты въ предѣлахъ отъ a_k до l_k , п. ч. членъ $P_k \cdot (\xi_1 - a_k)$ начинаетъ входить въ выраженіе момента только тогда, когда ξ_1 соотвѣтствуетъ абсциссамъ праваго плеча пролета AB . Поэтому мы будемъ имѣть:

$$\begin{aligned} \mathcal{H}_1 &= M_{k-1} \cdot \frac{l_k^2}{2} \\ \mathcal{H}_2 &= \frac{M_k - M_{k-1}}{l_k} \cdot \frac{l_k^3}{3} \\ \mathcal{H}_3 &= P_k \cdot \frac{l_k - a_k}{l_k} \cdot \frac{l_k^3}{3} \\ \mathcal{H}_4 &= - P_k \cdot \frac{l_k^3 - a_k^3}{3} \\ \mathcal{H}_5 &= P_k \cdot a_k \cdot \frac{l_k^2 - a_k^2}{2} \end{aligned}$$

Дѣлая преобразованія, получимъ:

$$\begin{aligned} \mathcal{H}_1 + \mathcal{H}_2 &= \frac{M_{k-1} + 2 \cdot M_k}{6} \cdot l_k^2 \\ \mathcal{H}_3 + \mathcal{H}_4 + \mathcal{H}_5 &= P_k \cdot \left[\frac{l_k^3}{3} - \frac{a_k \cdot l_k^2}{3} - \frac{l_k^3}{3} + \frac{a_k^3}{3} + \frac{a_k \cdot l_k^2}{2} - \frac{a_k^3}{2} \right], \text{ или} \end{aligned}$$

$$\mathcal{K}_3 + \mathcal{K}_4 + \mathcal{K}_5 = P_k \cdot a_k \cdot \frac{l_k^2 - a_k^2}{6}.$$

Послѣ этого

$$\frac{\mathcal{K}}{l_k} = \frac{M_{k-1} + 2 M_k}{6} \cdot l_k + P_k \cdot a_k \cdot \frac{l_k^2 - a_k^2}{6}$$

Вслѣдствіе симметріи въ обозначеніяхъ так. же обр получили бы:

$$\frac{\mathcal{Z}}{l_{k+1}} = \frac{M_{k+1} + 2 M_k}{6} \cdot l_{k+1} + P_{k+1} \cdot a_{k+1} \cdot \frac{l_{k+1}^2 - a_{k+1}^2}{6}$$

Р-во φ приметъ теперь видъ:

$$B = \frac{M_{k-1} + 2 M_k}{6} \cdot l_k + \frac{M_{k+1} + 2 M_k}{6} \cdot l_{k+1} + \sum P \cdot \frac{a}{l} \cdot \frac{l^2 - a^2}{6} \dots \text{VII},$$

$$\text{гдѣ } B = - E \cdot I \cdot \left(\frac{h_k}{l_k} + \frac{h_{k+1}}{l_{k+1}} \right)$$

Это и есть ур-е трехъ опорныхъ моментовъ въ самомъ общемъ его видѣ.

Первая часть этого ур-ія представляетъ собою произведеніе коэф. упругости на моментъ инерции счленія балки и на сумму отношений высоты средней опоры надъ крайними къ соответственнымъ длинамъ пролетовъ. Если средняя опора выше крайнихъ, знакъ у этой части ур-ія д. б. минусъ, а если ниже — плюсъ. Когда всѣ три опоры лежатъ на одной высотѣ, $B = 0$.

Вторая часть ур-ія трехъ моментовъ представляетъ собою одну шестую долю трехъ слѣдующихъ слагаемыхъ:

1-е и 2-е слагаемое выражаются въ каждомъ пролетѣ произведеніемъ длины пролета на сумму опорныхъ моментовъ — крайняго и удвоеннаго средняго;

3-е слагаемое д. б. повторено столько разъ, сколько сосредоточенныхъ грузовъ имѣется на обоихъ пролетахъ, и представляетъ собою произведеніе двухъ величинъ, — изъ нихъ 1-я была бы сопротивленіемъ средней опоры, если бы рассматриваемые пролеты, какъ свободные, были нагружены данными сосредоточенными грузами, а 2-я величина есть разность квадратовъ длины пролета и плеча нагрузки относительно **крайней** опоры въ каждомъ пролетѣ.

б) Пролеты нагружены равномерно на части ихъ длины. Если какой-либо изъ пролетовъ, напр. BC (фиг. 151) будетъ нагруженъ равномерно на нѣкоторой части всей его длины, тогда въ ур-іи VII измѣнится, очевидно, только 3-е слагаемое 2-й части равенства. Пусть величина всей нагрузки будетъ R , а плечи ея относительно **крайней** опоры въ данномъ изъ 2 пролетовъ — b и c ; тогда нагрузка, которая прихо-

дится на бесконечно малую длину $d\xi$, м. б. рассматривается, как отдельный сосредоточенный грузъ. У этого груза будутъ:

величина $\frac{R}{b-c} \cdot d\xi$

плечо a ξ , поэтому

$$\sum \frac{P \cdot a}{l} \cdot \frac{l^2 - a^2}{6} = \frac{R}{6l} \int_c^b \frac{l^2 - \xi^2}{b-c} \cdot \xi \cdot d\xi =$$

$$= \frac{R}{6 \cdot l} \cdot \frac{1}{b-c} \cdot \left[l^2 \cdot \frac{b^2 - c^2}{2} - \frac{b^4 - c^4}{4} \right] = R \cdot \frac{b+c}{2} \cdot \frac{2l^2 - b^2 - c^2}{12 \cdot l} \dots \text{VIII.}$$

Слѣд., въ случаѣ равномерной нагрузки, распределенной на нѣкоторой части длины пролета, въ ур-иі трехъ опорныхъ моментовъ 3-е слагаемое 2-й части равенства будетъ представлять собою произведение двухъ величинъ, — изъ нихъ 1-я будетъ моментъ нагрузки относительно крайней опоры, а 2-я величина будетъ дробь, ея числитель — разность между удвоеннымъ квадратомъ длины пролета и квадратами плечъ нагрузки, а знаменатель — удвоенная длина пролета ($\frac{1}{6}$ — общій множитель у всѣхъ слагаемыхъ 2-й части).

в) Пролеты нагружены равномерно на всей ихъ длинѣ. Нагрузка на пролетѣ равна Q и распределена равномерно по всей длинѣ пролета. Очевидно, что это будетъ частный случай предыдущаго болѣе общаго случая. Чтобы получить 3-е слагаемое 2-й части ур-ія трехъ опорныхъ моментовъ, въ р-вѣ VIII надо сдѣлать

$$Q = R; \quad c = 0; \quad b = l, \quad \text{тогда}$$

$$\sum \frac{P \cdot a}{l} \cdot \frac{l^2 - a^2}{6} = \frac{Q \cdot l}{2} \cdot \frac{2l^2 - l^2}{12l} = \frac{Q \cdot l^2}{24} = \frac{Q \cdot l}{2} \cdot \frac{l}{12} \dots \text{IX,}$$

т. е. въ случаѣ равномерной нагрузки, распределенной равномерно по всей длинѣ пролета, въ ур-иі трехъ опорныхъ моментовъ 3-е слагаемое 2-й части равенства будетъ представлять собою произведение изъ момента нагрузки относительно крайней опоры на половинную длину соответственнаго пролета.

Ур-іе VII есть ур-іе проф. Лебедева, а если внести во 2-ю часть этого ур-ія вмѣсто 3-го слагаемаго только выражение IX, тогда получимъ ур-іе трехъ моментовъ въ томъ частномъ видѣ, какъ оно было выведено первоначально Bertot.

32. Опредѣленіе сопротивленій опоръ многопролетной балки. Ур-іе трехъ опорныхъ моментовъ въ случаѣ балки съ n пролетами можетъ быть написано $n - 1$ разъ, примѣняя его каждый разъ къ двумъ смежнымъ пролетамъ. Так. обр. получимъ $n - 1$ ур-іе; въ нихъ войдутъ $n + 1$ неизвѣстныхъ опорныхъ моментовъ; недостающія 2 ур-ія

будутъ выражать, что моменты у крайней правой и крайней лѣвой опоръ равны нулю, если балка за эти опоры не продолжается, или же они будутъ имѣть заданное опредѣленное значеніе, если балка на свѣшивающихся за опоры концахъ какъ-либо нагружена. Слѣд., опредѣленіе опорныхъ моментовъ сводится теперь *всегда* къ рѣшенію $n-1$ ур-ія, сколько бы нагрузокъ на балку не передавалось, и какимъ бы способомъ онѣ ни были распредѣлены на балкѣ, тогда какъ, работая общимъ пріемомъ, пришлось бы нерѣдко рѣшать и $5n+1$ ур-іе, и $7n+1$, и болѣе (см. § 28).

Когда опорные моменты найдены, переходятъ къ опредѣленію сѣкущихъ усилій надъ опорами балки. При каждой опорѣ находятъ два сѣкущихъ усилія, перемѣщаясь чрезъ точку опоры *слѣва направо*, т. е. V_n , и перемѣщаясь чрезъ точку опоры *справа налево*, т. е. V_n (см. § 29). Складывая обѣ эти величины, получаемъ сопротивленіе данной опоры.

Когда опорные моменты найдены, сѣкущее усиліе пишется непосредственно. Въ случаѣ существованія сосредоточеннаго груза на данномъ пролетѣ были выведены ур-ія IV (см. § 30 б), которыя показывали, что *сѣкущее усиліе надъ опорой слагается изъ двухъ величинъ:*

а) *изъ сткущало усилія ненагруженного пролета и*

б) *изъ давленія, которое передавалось бы на данную опору отъ заданной нагрузки, если бы концы балки въ данномъ пролетѣ были свободны.*

Оба эти слагаемыя пишутся непосредственно 1-е — по ф-лѣ II (см. § 30 а), а 2-е — по правиламъ статики.

Не трудно видѣть, что правило, вытекающее изъ разсмотрѣнія ф-лы IV, м. б. распространено также и на всякую другую нагрузку, распредѣленную по пролету какимъ угодно способомъ.

Пусть, напр., на пролетѣ BC (фиг. 151) находится равномерная нагрузка R съ плечами b и c относительно опоры C , и мы желаемъ опредѣлить при опорѣ B сѣкущее усиліе V_n , перейдя опору B *слѣва направо*. Разсматривая пролетъ BC , какъ свободный, мы должны къ опорамъ приложить ихъ опорные моменты M_k и M_{k+1} и сѣкущія усилія — V_n при лѣвой опорѣ и V_n — при правой опорѣ. Примемъ точку опоры C за центръ моментовъ и напишемъ относительно нея моментъ всѣхъ силъ, приложенныхъ къ балкѣ на данномъ пролетѣ. Тогда сѣкущее усиліе V_n при точкѣ O момента не дастъ, и мы будемъ имѣть:

$$M_k + V_n \cdot l - R \cdot \frac{b+c}{2} = M_{k+1}, \quad \text{откуда}$$

$$V_n = \frac{M_{k+1} - M_k}{l} + R \cdot \frac{b+c}{2l},$$

что и подтверждаетъ выше высказанное правило, вытекающее изъ разсмотрѣнія ф-лы IV, т. к. 1-е слагаемое во 2-й части послѣдняго равенства есть V_n (см. ф-лу II, § 30 а), а 2-е слагаемое есть p , т. е.

давление на опору B , если бы пролеть BC былъ со свободными концами у балки

Таковы результаты теоріи многопролетныхъ балокъ, которая м. б. примѣняема при всевозможныхъ способахъ нагруженія въ пролетахъ.

Разсмотрѣнная теорія построена на допущеніи, что *относительное расположение опоръ по высотъ послѣ нагруженія балки не измѣняется и что коэф. упругости и моментъ инерціи балки на всемъ ея протяженіи остаются постоянными*. Примѣняя эту теорію, необходимо озаботиться, чтобы сказанныя условія были выполнены.

Перейдемъ теперь къ приложениямъ теоріи многоопорныхъ балокъ. Для этого сдѣлаемъ нѣсколько наиболее типичныхъ задачъ, результаты рѣшенія которыхъ приходится нерѣдко примѣнять въ практикѣ машиностроенія и строительнаго искусства.

33. Задачи. № 68. Балка свободно лежитъ на трехъ опорахъ и въ каждомъ пролетѣ нагружена однимъ сосредоточеннымъ грузомъ. Найти ея сопротивленія опоръ и расчетное ур-іе (фиг. 152). *а) Общій случай.* Длины пролетовъ — l_1 и l_2 , нагрузки — P_1 и P_2 , ихъ плечи относительно крайнихъ опоръ — a_1 и a_2 . Опоры — на одной горизонтали, такъ что $B=0$. Общая ф-ла VII здѣсь напишется одинъ разъ, положивши въ ней $k=1$, тогда опорные моменты будутъ M_0 M_1 M_2 , изъ нихъ

$$M_0 = M_2 = 0$$

$$0 = \frac{M_0 + 2M_1}{6} \cdot l_1 + \frac{M_2 + 2M_1}{6} \cdot l_2 + \frac{P_1 \cdot a_1}{l_1} \cdot \frac{l_1^2 - a_1^2}{6} + \frac{P_2 \cdot a_2}{l_2} \cdot \frac{l_2^2 - a_2^2}{6};$$

$$M_1 = -\frac{1}{l_1 + l_2} \left[\frac{P_1 \cdot a_1}{l_1} \cdot \frac{l_1^2 - a_1^2}{2} + \frac{P_2 \cdot a_2}{l_2} \cdot \frac{l_2^2 - a_2^2}{2} \right] \dots \text{A.}$$

Сѣкущія усилія обозначимъ такъ:

V_{on} — у крайней лѣвой опоры,

V_{1a} V_{1n} — у средней опоры,

V_{2a} — у крайней правой опоры.

Сопротивленія опоръ пусть будутъ K_0 K_1 K_2 . Тогда

$$K_0 = V_{on}; \quad K_1 = V_{1a} + V_{1n}; \quad K_2 = V_{2a}.$$

Пишемъ непосредственно сѣкущія усилія (см. § 30):

$$V_{on} = V_n + p = \frac{M_1 - M_0}{l_1} + P_1 \cdot \frac{l_1 - a_1}{l_1} = K_0 \dots \text{B.}$$

$$\left. \begin{aligned} V_{1a} &= \frac{M_0 - M_1}{l_1} + P_1 \cdot \frac{a_1}{l_1} \\ V_{1n} &= \frac{M_2 - M_1}{l_2} + P_2 \cdot \frac{a_2}{l_2} \end{aligned} \right\} \dots \text{C.}$$

$$V_{2a} = \frac{M_1 - M_2}{l_2} + P_2 \cdot \frac{l_2 - a_2}{l_2} = K_2 \dots \text{D.}$$

Для повѣрки вычисления сопротивленія опоръ служить ур-іе:

$$K_0 + K_1 + K_2 = P_1 + P_2.$$

Кривая сѣкущихъ усилій на части AD (фиг. 152) балки будетъ прямою A_1D_1 , причѣмъ

$$AA_1 = DD_1 = K_0 = \frac{M_1}{l_1} + P_1 \cdot \frac{l_1 - a_1}{l_1}.$$

Перехода на часть BD , получимъ новое сѣкущее усиліе; законъ измѣненія его представится прямою B_2D_2 , причѣмъ

$$DD_2 = BB_2 = K_0 - P = \frac{M_1}{l_1} - \frac{P_1 \cdot a_1}{l_1} = -V_{1a}.$$

Перехода на часть DE , получимъ новое сѣкущее усиліе

$$BB_1 = EE_1 = -V_{1a} + K_1 = +V_{1n}.$$

Наконецъ, идя далѣе на часть EC , получаемъ сѣкущее усиліе

$$EE_2 = CC_2 = +V_{1n} - P_2 = -\frac{M_1}{l_2} + P_2 \cdot \frac{a_2}{l_2} - P_2 = -K_2.$$

Все написанное здѣсь о сѣкущихъ усиліяхъ подтверждаетъ и сдѣланныя здѣсь ранѣе вычисления, и положенія § 30.

Кривая моментовъ будетъ ломаною линією $AdbeC$ (фиг. 152).

Наибольшій положительный моментъ въ лѣвомъ пролетѣ будетъ:

$$M_D = K_0 \cdot a_1 = \frac{M_1 \cdot a_1}{l_1} + P_1 \cdot a_1 \cdot \frac{l_1 - a_1}{l_1}.$$

Моментъ въ произвольномъ сѣченіи части BD будетъ:

$$M_{BD} = K_0 \cdot x_1 - P_1 \cdot (x_1 - a_1).$$

Сдѣлавши въ этомъ ур-іи $x_1 = l_1$, получимъ

$$M_B = K_0 \cdot l_1 - P_1 \cdot (l_1 - a_1) = M_1.$$

Въ сѣченіи E будетъ наибольшій сгибающій положительный моментъ въ правомъ пролетѣ:

$$M_E = K_2 \cdot a_2 = M_1 \cdot \frac{a_2}{l_2} - P_2 \cdot a_2 \cdot \frac{l_2 - a_2}{l_2}$$

Расчетнымъ сѣченіемъ будетъ или D , или B , или E , смотря по тому, въ которомъ изъ нихъ *тотъ* будетъ больше.

а) *Частный случай 1-й.* Правый пролетъ ненагруженъ, а на лѣвомъ—по прежнему 1 сосредоточенный грузъ (фиг. 153). По ф-ламъ A, B, C, D , сдѣлавъ $P_2 = 0$, находимъ.

$$M_1 = -\frac{P_1 \cdot a_1}{2l_1} \cdot \frac{l_1^2 - a_1^2}{l_1 + l_2}$$

$$K_0 = \frac{M_1}{l_1} + P_1 \cdot \frac{l_1 - a_1}{l_1}; K_2 = \frac{M_1}{l_2} < 0;$$

$$V_{1a} = -\frac{M_1}{l_1} + P_1 \frac{a_1}{l_1}; \quad V_{1a} = -\frac{M_1}{l_2} = -K_2$$

Кривыя моментовъ и силъ сдвига изображены въ этомъ случаѣ на фиг. 153, которая показываетъ, что опора *C* д. б. расположена сверхъ балки.

Вопросы: 1) Когда моменты въ *B* и *D* по абсолютной величинѣ м. б. равны между собою? **Отв.** Ни при какихъ условіяхъ.
2) При какомъ расположеніи нагрузки *P*₁ моментъ *M*₁ будетъ *max*? **Отв.** Когда $a_1 = l_1 : \sqrt{3}$.

б) Частный случай 2-й. Длина праваго пролета на фиг. 153 доведена въ предыдущемъ случаѣ до нуля, и балка обращена въ защемленную концомъ *B* и нагруженную въ произвольномъ мѣстѣ однимъ сосредоточеннымъ грузомъ.

$$M_1 = -\frac{P \cdot a}{2} \cdot \frac{l^2 - a^2}{l^2}$$

$$K_0 = \frac{M_1}{l} + P \cdot \frac{l-a}{l}; \quad K_1 = V_{1a} = -\frac{M_1}{l} + P \cdot \frac{a}{l}$$

Если сдѣлаемъ $a : l = t$, тогда

$$M_1 = -t \cdot \frac{1-t^2}{2} \cdot P \cdot l; \quad K_1 = t \cdot \frac{3-t^2}{2} \cdot P; \quad K_0 = P - K_1.$$

$$M_1 = -\alpha \cdot P \cdot l; \quad K_1 = \beta \cdot P; \quad K_0 = \gamma \cdot P.$$

При $t = \frac{1}{2}$ получаемъ

$$M_1 = -\frac{1}{2} \cdot \frac{1-\frac{1}{4}}{2} \cdot P \cdot l = -\frac{3}{16} \cdot P \cdot l$$

$$K_1 = \frac{1}{2} \cdot \frac{3-\frac{1}{4}}{2} \cdot P = \frac{11}{16} P; \quad K_0 = \frac{5}{16} P,$$

т. е. получаемъ при этомъ результаты, извѣстные намъ ранѣе (см. § 23, *в*).

Max момента *M*₁ получимъ при значеніи *t*, получаемомъ изъ ур-ня

$$\frac{dM_1}{dt} = 0, \quad \text{откуда } t = \frac{a}{l} = \frac{1}{\sqrt{3}}$$

$$\text{max } M_1 = -\frac{P \cdot l}{3\sqrt{3}} = -\frac{P \cdot l}{5,196}$$

Моментъ въ точкѣ приложенія силы

$$M_D = K_0 \cdot a = \left(t - \frac{3}{2} \cdot t^2 + \frac{t^4}{2} \right) \cdot P \cdot l = \delta \cdot P \cdot l$$

Въ таблицѣ 17-й для различныхъ значений t приведены величины коэффициентов α , β , γ , δ , определяющихъ собою наиболее характерныя данныя, необходимыя при расчетѣ такой балки.

Т а б л и ц а 17-я.

Одинъ конецъ балки свободенъ, другой защеменъ, нагрузка—1 сосредоточенный грузъ.

$t = 0,1$	0,2	0,3	0,4	0,5	0,6	0,7	0,8	0,9
$\alpha = 0,05$	0,096	0,1365	0,168	0,1875	0,192	0,1785	0,144	0,086
$\beta = 0,1495$	0,296	0,4365	0,568	0,6875	0,792	0,8785	0,944	0,986
$\gamma = 0,8505$	0,704	0,5635	0,432	0,3125	0,208	0,1215	0,056	0,014
$\delta = 0,0851$	0,141	0,1691	0,173	0,1563	0,125	0,0851	0,045	0,013

в) *Частный случай 3-й.* Длина пролетовъ на фиг. 152 одинакова, нагрузка одинакова и расположена симметрично относительно средней опоры.

$$l_1 = l_2 = l; a_1 = a_2 = a; P_1 = P_2 = P.$$

$$M_1 = -\frac{1}{2l} \frac{2P \cdot a}{l} \cdot \frac{l^2 - a^2}{2} = -\frac{P \cdot a}{2} \cdot \frac{l^2 - a^2}{l^2}$$

$$K_0 = K_2 = \frac{M_1}{l} + P \cdot \frac{l - a}{l}$$

$$K_1 = 2 \cdot V_{1a} = 2 V_{1a} = 2 \cdot \frac{P \cdot a - M_1}{l}$$

Такимъ образомъ видно, что этотъ случай разнится отъ предыдущаго только величиною K_1 , сопротивления средней опоры; оно здѣсь вдвое болѣе, чѣмъ въ случаѣ b , всѣ же остальные величины остаются безъ измѣненій, поэтому въ соответственныхъ случаяхъ можно пользоваться также и цифрами предыдущей таблицы.

№ 69. Правымъ своимъ концомъ балка ущемлена въ стѣнѣ (фиг. 154), лѣвый конецъ ея лежитъ свободно на опорѣ; нагрузка сдѣлана двумя сосредоточенными грузами P_1 и P_2 съ плечами a_1 и a_2 относительно опоры A . Найти сопротивленія опоръ и расчетное сѣченіе балки.

а) *Общій случай.* Въ ур-и A предыдущей задачи надо положить здѣсь:

$$M_0 = M_2 = 0; l_2 = 0; l_1 = l.$$

$$M_1 = -\frac{P_1 \cdot a_1 (l^2 - a_1^2) + P_2 \cdot a_2 \cdot (l^2 - a_2^2)}{2l^2} \dots \dots \dots \text{Е.}$$

$$K_1 = V_{1,2} = \frac{M_0 - M_1}{l} + \frac{P_1 \cdot a_1}{l} + \frac{P_2 \cdot a_2}{l} \dots \dots \dots F.$$

$$K_1 = \frac{P_1 \cdot a_1 + P_2 \cdot a_2 - M_1}{l}; K_0 = P_1 + P_2 - K_1$$

Кривыя сѣкущихъ усилій будутъ прямыми $A_1 C_1$, $C_2 D_2$ и $D_1 B_1$, причемъ:

$$AA_1 = CC_1 = K_0; CC_2 = DD_2 = K_0 - P_1; BB_1 = -K_1.$$

Кривая моментовъ будетъ ломаною линіею $Abef$, или Abc_1f , смотря по величинѣ нагрузокъ и плечъ ихъ. Опаснымъ сѣченіемъ м. б. или B , или C .

б) *Частный случай.* На фиг. 154 нагрузки одинаковы и плечи ихъ относительно опоръ соотвѣтственно одинаковы, т. е.

$$P_1 = P_2 = P; a_1 = l - a_2 = t \cdot l; a_2 = l(1 - t).$$

$$M_1 = - \frac{Pl}{2} \left[t(1 - t^2) + (1 - t) \{ 1 - (1 - t)^2 \} \right]$$

$$M_1 = - 3t \cdot \frac{1 - t}{2} \cdot P \cdot l$$

Мах момента M_1 будетъ, очевидно, при $t = 1/2$, т. е. когда оба груза приложены въ срединѣ длины балки, образовавши одну сосредоточенную нагрузку $2P$; тогда

$$\max M_1 = - \frac{3}{2} \cdot \frac{1}{2} \cdot \frac{1}{2} \cdot Pl = - \frac{3}{16} \cdot 2P \cdot l,$$

какъ и слѣдовало ожидать (см. § 23, 2);

$$K_1 = P \cdot t + P \cdot (1 - t) + P \cdot 3t \cdot \frac{1 - t}{2} = \frac{2 + 3t - 3t^2}{2} \cdot P$$

Мах давленія на опору B получится, очевидно, также при $t = \frac{1}{2}$, когда

$$K_1 = \frac{2 + \frac{3}{2} - \frac{3}{4}}{2} \cdot P = \frac{11}{8} P = \frac{11}{16} \cdot 2P$$

Сгибающій моментъ въ сѣчени C будетъ

$$M_C = K_0 \cdot a_1 = K_0 \cdot l \cdot t$$

и въ сѣчени D

$$M_D = K_0 \cdot a_2 - P(a_2 - a_1) = K_1 \cdot a_1 + M_1$$

Введемъ обозначенія

$$M_1 = - \alpha \cdot P \cdot l; K_1 = \beta \cdot P; K_0 = \gamma \cdot P;$$

$$M_C = \delta \cdot P \cdot l; M_D = \psi \cdot P \cdot l.$$

Давая t различные значения от 0 до $\frac{1}{2}$, мы будем получать также соответственные значения и для всѣхъ этихъ 5 величинъ коэффициентовъ. Эти данныя сведены въ таблицу 18-ю.

Т а б л и ц а 18-я.

Одинъ конецъ балки свободенъ, другой зацеиленъ, нагрузка — 2 сосредоточенныхъ груза.

t	$\frac{1}{10}$	$\frac{1}{9}$	$\frac{1}{8}$	$\frac{1}{7}$	$\frac{1}{6}$	$\frac{1}{5}$	$\frac{1}{4}$	$\frac{1}{3}$	$\frac{1}{2}$
α	0,135	0,148	0,164	0,184	0,208	0,240	0,281	0,333	0,375
β	1,135	1,148	1,164	1,184	1,208	1,240	1,281	1,333	1,375
γ	0,865	0,852	0,836	0,816	0,792	0,760	0,719	0,667	0,625
δ	0,087	0,095	0,105	0,116	0,132	0,142	0,180	0,222	0,312
ψ	0,022*	0,020*	0,019*	0,015*	0,08 *	0,008	0,039	0,111	0,312

NB. Отмѣченныя * величины ψ (при измѣненіи t отъ $\frac{1}{10}$ до $\frac{1}{6}$)

отрицательны, а остальные — положительны.

Цифры табл. 18-й показываютъ, что въ этомъ случаѣ опаснымъ сѣченіемъ балки всегда будетъ ея зацеиленное сѣченіе.

При сравненіи цифръ табл. 17-й и табл. 18-й нужно помнить, что въ 1-мъ случаѣ вся нагрузка = P , и здѣсь она = $2P$. Только что рассмотрѣнный способъ нагруженія выгоднѣе предыдущаго, такъ расчетнаго момента получается здѣсь менѣе, чѣмъ въ 1-мъ случаѣ.

PS. Когда балка нагружена двумя равными и симметрично расположенными нагрузками, при измѣненіи t отъ 0 до $\frac{1}{3}$ выгоднѣе оба конца балки едѣлать свободно лежащими на своихъ опорахъ.

№ 70. Балка, у которой одинъ конецъ зацеиленъ (фиг. 155), а другой свободно лежитъ на опорѣ, нагружена m одинаковыми сосредоточенными грузами, точки приложенія которыхъ дѣлятъ длину балки на равныя части. Найти моментъ зацеиленія и сопротивленія опоръ балки.

Если d будетъ плечо 1-й нагрузки, прилегающей къ свободной опорѣ, тогда плечо 2-й будетъ $2d$, 3-й — $3d, \dots$, послѣдней — $m \cdot d$, причемъ

$$d = l : (m + 1).$$

Вмѣсто ф-лы E предыдущей задачи получимъ здѣсь

$$M_1 = -\frac{P}{2l^2} \sum a \cdot (l^2 - a^2) \dots \dots \dots \text{Ж.}$$

Въ выражение алгебраической суммы вмѣсто a надо вносить здѣсь всѣ значенія плечъ отъ $a=d$ до $a=m \cdot d$. Тогда получимъ:

$$M_1 = -\frac{P}{2l^2} [d(l^2 - d^2) + 2d(l^2 - 2^2 \cdot d^2) + \dots + m \cdot d(l^2 - m^2 \cdot d^2)] =$$

$$= -\frac{P}{2l^2} [d \cdot l^2 (1 + 2 + \dots + m) - d^3 (1^3 + 2^3 + \dots + m^3)]$$

$$1 + 2 + 3 + \dots + m = \frac{1+m}{2} \cdot m = S$$

$$1^3 + 2^3 + 3^3 + \dots + m^3 = \left(\frac{1+m}{2} \cdot m\right)^2 = S^2$$

$$\sum a \cdot (l^2 - a^2) = d \cdot S (l^2 - S \cdot d^2) \dots \dots \dots \text{У}$$

$$M_1 = -P \cdot d \cdot S \cdot \frac{l^2 - S \cdot d^2}{2l^2} = -\beta \cdot P \cdot l$$

$$K_0 = \frac{M_1}{l} + \sum P \cdot \frac{l-a}{l} = \frac{M_1}{l} + \frac{P}{l} [m \cdot d + (m-1)d + \dots + 2d + d]$$

$$K_0 = \frac{M_1}{l} + \frac{P \cdot d \cdot S}{l} = \frac{P \cdot d \cdot S}{l} \left[1 - \frac{l^2 - S \cdot d^2}{2l^2}\right] = \gamma \cdot P$$

$$K_1 = m \cdot P - K_0 = (m - \gamma) \cdot P$$

При различныхъ значеніяхъ m величины β и γ даны въ табл. 19-й.

Таблица 19-я.

Одинъ конецъ балки свободенъ, другой — защемленъ, нагрузка сдѣлана m сосредоточенными грузами.

$m = 1$	2	3	4	5	6	7	8	9	10
$\beta = \frac{3}{16}$	$\frac{1}{3}$	$\frac{15}{32}$	$\frac{3}{5}$	$\frac{35}{48}$	$\frac{6}{7}$	$\frac{63}{64}$	$\frac{10}{9}$	$\frac{99}{80}$	$\frac{165}{121}$
$\gamma = \frac{5}{16}$	$\frac{2}{3}$	$\frac{33}{32}$	$\frac{7}{5}$	$\frac{85}{48}$	$\frac{15}{7}$	$\frac{161}{64}$	$\frac{26}{9}$	$\frac{261}{80}$	$\frac{440}{121}$

№ 71. Балка ущемлена обоими концами и нагружена однимъ сосредоточеннымъ грузомъ P съ плечами a и b относительно опоръ. Найти ея опорные моменты и сопротивленія опоръ.

Эти вопросы были уже рѣшены въ § 25, но тамъ требовалось для этого произвести довольно длинныя вычисленія. Рѣшеніе выходитъ весьма короткимъ, если разсматривать такую балку, какъ трехпролетную, у которой длина крайнихъ пролетовъ l доведена до нуля.

Въ примѣненіи къ пролетамъ A_0AB (фиг. 156) ур-іе VII будетъ писаться такъ:

$$2M_1 \cdot l + M_2 \cdot l + P \cdot b \cdot \frac{l^2 - b^2}{l} = 0 \quad \dots \quad \text{а}$$

Въ пролетахъ ABB_0 (фиг. 156) такъ же обр. получимъ:

$$M_1 \cdot l + 2M_2 \cdot l + P \cdot a \cdot \frac{l^2 - a^2}{l} = 0 \quad \dots \quad \text{б}$$

Рѣшая эти 2 ур-ія, получимъ опорные моменты. Умноживъ ур-іе б на 2, вычитаемъ его изъ а и опредѣляемъ M_2 :

$$\begin{aligned} M_2 &= -\frac{P}{3l^2} [2a \cdot (l^2 - a^2) - (l - a) \cdot \{l^2 - (l^2 - 2la + a^2)\}] = \\ &= -\frac{P}{3} \cdot \frac{l - a}{l^2} \cdot [2a(l + a) - (2la - a^2)] = -\frac{P \cdot b \cdot a^2}{l^2} \end{aligned}$$

Подобнымъ же образомъ найдемъ

$$M_1 = -\frac{P \cdot a \cdot b^2}{l^2}.$$

$$M_1 : M_2 = b \cdot a ; M_1 + M_2 = -\frac{P \cdot a \cdot b}{l}$$

Сопротивленія опоръ напишутся непосредственно. Для опоры А

$$K_1 = V_n + p = \frac{M_2 - M_1}{l} + \frac{P \cdot b}{l} = \frac{P}{l} \left(-\frac{b \cdot a^2}{l^2} + \frac{a \cdot b^2}{l^2} + b \right)$$

$$K_1 = \frac{P \cdot b}{l^2} [-a^2 + ab + (a^2 + 2ab + b^2)] = P \cdot b^2 \cdot \frac{3a + b}{l^2}$$

Аналогично съ этимъ найдется и K_2 . Кривыя моментовъ и силъ сдвига построятся, какъ и ранѣе.

№ 72. Балка съ защемленными обоими концами (фиг. 157) нагружена m одинаковыми сосредоточенными грузами, точки приложенія которыхъ дѣлятъ длину балки на равныя части. Найти опорные моменты и сопротивленія опоръ.

Пусть плечо 1-й нагрузки относительно лѣвой опоры А будетъ d , второй — $2d$ и т. д., послѣдней

$$m \cdot d = l - d, \text{ такъ что}$$

$$d = l : (m + 1)$$

Ур-ія а и б предыдущей задачи обратятся здѣсь въ слѣдующія:

$$2M_1 \cdot l + M_2 \cdot l + \sum \frac{P \cdot (l - a) \cdot [l^2 - (l - a)^2]}{l} = 0 \quad \dots \quad \text{с}$$

$$M_1 \cdot l + 2M_2 \cdot l + \sum P \cdot a \cdot \frac{l^2 - a^2}{l} = 0 \quad \dots \quad \text{д}$$

Въ выраженіяхъ \sum плечо a должно получить всѣ значенія отъ $a=d$ до $a=m \cdot d$.

По условіямъ задания, очевидно, что

$$\sum (l-a) \cdot [l^2 - (l-a)^2] = \sum a \cdot (l^2 - a^2)$$

Тогда р-ва с и д будутъ тождественны, т. е.

$$M_1 = M_2 = - \frac{P}{3 \cdot l^2} \cdot \sum a \cdot (l^2 - a^2) \dots \dots \dots \text{З}$$

Эта ф-ла совершенно аналогична съ ф-лой Ж задачи № 70, только тамъ въ знаменателѣ стояло 2, а здѣсь 3, т. е. при нагруженніи балки m одинаковыми сосредоточенными грузами защемленіе 2-го конца балки уменьшаетъ опорный моментъ въ отношеніи 2 : 3.

$$M_1 = M_2 = - P \cdot d \cdot S \cdot \frac{l^2 - S \cdot d^2}{3 l^2},$$

$$\text{гдѣ } S = m \cdot \frac{1 + m}{2}$$

№ 73. Балка свободно положена на 3 опоры и нагружена равномерно. Найти опорные моменты и сопротивленія опоръ балки (фиг. 158).

а) Общій случай. Длина пролетовъ l_1 и l_2 , нагрузки на пролетахъ — Q_1 и Q_2 (фиг. 158). Опоры A, B и C —на одной высотѣ, тогда въ ур-ніи VII (§ 31 а) $B=0$. Затѣмъ

$$M_0 = M_2 = 0.$$

Вмѣсто 3-го слагаемаго 2-й части равенства VII надо внести въ этомъ случаѣ выраженіе IX (§ 31 в). По сокращеніи всего ур-ія трехъ моментовъ на *шесть* получимъ:

$$0 = 2 M_1 (l_1 + l_2) + \frac{Q_1 \cdot l_1^2 + Q_2 \cdot l_2^2}{4}, \text{ или}$$

$$M_1 = - \frac{1}{8} \cdot \frac{Q_1 \cdot l_1^2 + Q_2 \cdot l_2^2}{l_1 + l_2} \dots \dots \dots \text{Н.}$$

Сопротивленія опоръ пусть будутъ K_0, K_1, K_2 . Они будутъ писаться непосредственно:

$$K_0 = V_{он} = V_{x+p} = \frac{M_1 - M_0}{l_1} + \frac{Q_1}{2} \dots \dots \dots \text{а.}$$

$$\left. \begin{aligned} V_{1a} &= \frac{M_0 - M_1}{l_1} + \frac{Q_1}{2} \\ V_{1b} &= \frac{M_2 - M_1}{l_2} + \frac{Q_2}{2} \end{aligned} \right\} K_1 = V_{1a} + V_{1b} \dots \dots \dots \text{б.}$$

$$K_1 = - M_1 \cdot \frac{l_1 + l_2}{l_1 \cdot l_2} + \frac{Q_1 + Q_2}{2} \dots \dots \dots \text{в.}$$

$$K_2 = V_{2a} = \frac{M_1 - M_2}{l_2} + \frac{Q_2}{2} \dots \dots \dots \text{Г.}$$

Для повѣрки сдѣланнаго вычисленія служить ур-іе статики:

$$K_0 + K_1 + K_2 = Q_1 + Q_2.$$

Пусть нагрузка на единицу длины въ лѣвомъ пролетѣ будетъ q_1 , а въ правомъ— q_2 , т. е.

$$Q_1 = q_1 \cdot l_1; \quad Q_2 = q_2 \cdot l_2.$$

Кривая моментовъ на пролетѣ AB будетъ парабола ADE (фиг 158). Въ произвольномъ сѣченіи N моментъ будетъ писаться такъ:

$$M = K_0 \cdot x - q_1 \cdot \frac{x^2}{2} + M_0 \dots \dots \dots \text{Ж.}$$

При $x=0 \dots M=0$; при $x=l_1$ получимъ

$$M_B = K_0 \cdot l_1 - q_1 \cdot \frac{l_1^2}{2},$$

что, очевидно, тождественно съ ур-емъ a , т. е. $M_B = M_1$.

Аналитическій *max* момента M получимъ, взявъ 1-ю производную отъ M по x , т. е. вычисляя сѣкущее усилие для сѣчения N :

$$V = \frac{dM}{dx} = K_0 - q_1 \cdot x \dots \dots \dots \text{е.}$$

Кривая сѣкущихъ усилій будетъ прямою A_1B_1 , которая пересѣкаетъ ось балки въ сѣчении DD_1 , опредѣляющемъ вершину D параболы и аналитическій *max* момента, равный DD_1 .

При $x=0 \dots V_A = V_{on} = K_0$.

При $x=l \dots V_B = K_0 - q_1 \cdot l_1 = K_0 - Q_1 = -V_{1a}$.

Въ сѣчени $D_1 \dots V=0$, что даетъ

$$\bar{x} = K_0 : q_1 \dots \dots \dots \text{д.}$$

т. е. для полученія разстояння между опорою и сѣченіемъ, въ котормъ аналитическое выраженіе момента будетъ *max*, сѣкущее усилие при опорѣ надо раздѣлить на величину нагрузки, которая приходится на единицу длины въ данномъ пролетѣ.

По смыслу ур-ія e , очевидно, что это правило является общимъ, въ какомъ бы пролетѣ мы ни находились и сколько бы пролетовъ ни было, если всѣ они равномерно нагружены.

Значеніе \bar{x} внесемъ теперъ въ ур-іе $ж$ для полученія *max* M :

$$\text{max } M = DD_1 = K_0 \cdot \frac{K_0}{q_1} - \frac{q_1}{2} \cdot \frac{K_0^2}{q_1^2} + M_0$$

$$\text{max } M = M_0 + \frac{1}{2} q_1 \cdot \bar{x}^2 \dots \dots \dots \text{з.}$$

Второе слагаемое въ послѣдней ф-лѣ можно представить такъ

$$\left(q_1 \cdot \bar{x} \right) \cdot \frac{\bar{x}}{2};$$

тогда послѣднюю ф-лу можно читать слѣд. обр.: *аналитическій max момента на пролетъ, нагруженномъ равномерно, равняется опорному моменту, сложенному съ моментомъ относительно опоры, который взятъ для равномерной нагрузки, расположенной между опорой и стѣченіемъ максимальнаго момента.* По смыслу ф-лы ж и по ходу всего вычисленія, очевидно, что и это правило будетъ справедливо, въ какомъ бы пролетѣ мы ни находились и сколько бы ихъ ни было.

Переходя во 2-й пролетъ BC , напишемъ выраженіе сгибающаго момента въ сѣченіи N_1 (фиг. 158), отстоящемъ отъ опоры B на разстояніе x_1 :

$$M' = M_1 + V_{1n} \cdot x_1 - q_2 \cdot \frac{x_1^2}{2} \dots \dots \dots \text{и.}$$

Это есть ур-іе параболы EFC . При $x_1 = 0 \dots \dots M'_B = M_1$.

При $x_1 = l_2$ получимъ

$$M'_c = M_1 + V_{1n} \cdot l_2 - q_2 \cdot \frac{l_2^2}{2},$$

что, очевидно, равно 0, согласно съ ф-лой б, опредѣляющей V_{1n} .

Опредѣлимъ теперь сѣвущее усиліе и аналитическій *max* момента:

$$V' = \frac{dM'}{dx_1} = V_{1n} - q_2 \cdot x_2 \dots \dots \dots \text{i.}$$

Если $x_2 = 0 \dots \dots V'_B = V_{1n}$.

При $x_2 = l \dots \dots V'_c = V_{1n} - q_2 \cdot l_2$,

что, по сравненіи ф-лъ б и г, очевидно, представляетъ собою ($-K_2$).

Изъ ур-ія i имѣемъ далѣе

$$BF_1 = \bar{x}_2 = \frac{V_{1n}}{q_2},$$

что подтверждаетъ правило, высказанное при ф-лѣ д этого §. Внесемъ \bar{x}_2 въ ур-іе и; тогда

$$\text{max } M' = FF_1 = M_1 + \frac{1}{2} \cdot q_2 \cdot \bar{x}_2^2;$$

а это подтверждаетъ правило, высказанное при ф-лѣ з этого §. Опаснымъ сѣченіемъ здѣсь можетъ быть не только B , но и D_1 , и F_1 , смотря по длинѣ пролетовъ и величинѣ нагрузокъ.

б) *Частный случай 1-й.* Длина пролетовъ одинакова, по нагрузки неодинаковы:

$$l_1 = l_2 = l; Q_1 = Q; Q_2 = f \cdot Q$$

$$M_1 = -\frac{1+f}{16} \cdot Q \cdot l = -\alpha \cdot \frac{Q \cdot l}{16}$$

$$K_0 = \frac{Q}{2} - Q \cdot \frac{1+f}{16} = \frac{7-f}{16} \cdot Q = \beta \cdot \frac{Q}{16}$$

$$V_{1a} = \frac{Q}{2} + Q \cdot \frac{1+f}{16} = \frac{9+f}{16} \cdot Q$$

$$V_{1n} = Q \cdot \frac{f}{2} + Q \cdot \frac{1+f}{16} = \frac{1+9f}{16} \cdot Q$$

$$K_1 = 5 \cdot \frac{1+f}{8} \cdot Q = \gamma \cdot \frac{Q}{16}$$

$$K_2 = Q \cdot \frac{f}{2} - Q \cdot \frac{1+f}{16} = \frac{7f-1}{16} \cdot Q = \delta \cdot \frac{Q}{16}$$

$$\bar{x} = \frac{K_0}{q_1} = \frac{7-f}{16} \cdot l$$

$$\max M = DD_1 = \frac{Q \cdot l}{2} \cdot \left(\frac{7-f}{16} \right)^2 = \psi \cdot \frac{Q \cdot l}{16}$$

$$\bar{x}_1 = \frac{V_{1n}}{q_2} = \frac{1+9f}{16f} \cdot l$$

$$\max M' = FF_1 = \frac{Q \cdot l}{16} \left\{ \frac{(1+9f)^2}{32 \cdot f} - f - 1 \right\} = \lambda \cdot \frac{Q \cdot l}{16}$$

Величины коэффициентов для различных значений f приведены в табл. 20-й.

Таблица 20-я.

Балка на трех опорах; нагрузка равномерная, но различная на обоих пролетах.

f	α	β	γ	δ	ψ	λ
1	2	6	20	6	1,125	1,125
2	3	5	30	13	0,781	2,641
3	4	4	40	20	0,5	4,166
4	5	3	50	27	0,281	5,695
5	6	2	60	34	0,125	7,225
6	7	1	70	41	0,031	8,755
7	8	0	80	48	0	10,286

Въ случаѣ $f=1$ табл. 20-я даетъ извѣстныя намъ данныя для балки, лежащей однимъ концомъ свободно на опорѣ, другимъ защемленной въ стѣнѣ и равномерно нагруженной.

Одинаковые моменты въ B и F_1 по абсолютной величинѣ получаются тогда, когда $\alpha = \lambda$, т. е.

$$\frac{(1 + 9f)^2}{32 \cdot f} = 2 + 2f, \text{ или}$$

$$f^2 - \frac{46}{17} f + \frac{1}{17} = 0, \text{ откуда}$$

$$f = 2,684.$$

При $f = 7$ крайняя лѣвая опора совсѣмъ разгружается; величина φ при этомъ $\neq 0$; это обозначаетъ, что вершина D параболы при этомъ совпадаетъ съ опорой A (фиг. 158).

При значенияхъ f болѣе 7 опора A д б. поставлена сверху, β дѣлается отрицательнымъ, и вся кривая сѣкущихъ усилій A_1B_1 (фиг. 158) будетъ расположена ниже оси балки; при этомъ моментъ въ сѣченіи F_1 все болѣе и болѣе превышаетъ моментъ надъ опорой B .

Вопросы Найти положеніе точекъ H и L на фиг. 158 Могутъ ли онѣ вмѣстѣ или порознь совпадать съ точкою B ? Что нужно сдѣлать съ балкой, чтобы точки H и L кривой моментовъ совпали съ B ?

Какой видъ будетъ имѣть кривая моментовъ ADE (фиг 158) при $f = 7$ и болѣе 7? Опредѣлить координаты вершины D въ этомъ случаѣ

в) *Частный случай 2-й.* Одинъ конецъ балки ущемленъ, другой лежитъ свободно на опорѣ; нагрузка равномерно распределена по длинѣ балки

Въ этомъ случаѣ надо положить:

$$l_2 = 0; l_1 = l; Q_1 = Q,$$

тогда изъ ур-ія H получимъ

$$M_1 = -\frac{Q \cdot l}{8}$$

по а и б:

$$V_{on} = K_0 = \frac{Q}{2} - \frac{Q}{8} = \frac{3}{8} Q.$$

$$V_{1a} = K_1 = \frac{Q}{2} + \frac{Q}{8} = \frac{5}{8} Q.$$

Результаты эти были уже получены нами въ § 22, а.

Ихъ получимъ также изъ предыдущаго частнаго случая, сдѣлавши $f = 1$ и рассматривая половину балки. По табл. 20-й при $f = 1$, имѣемъ

$$\alpha = 2, \quad \beta = 6, \quad \gamma = 20, \text{ т. е.}$$

$$M_1 = -2 \cdot \frac{Q \cdot l}{16}; \quad K_0 = 6 \cdot \frac{Q}{16}; \quad V_{1a} = \frac{20}{2} \cdot \frac{Q}{16}.$$

№ 74. Балка лежит на четырех опорах и нагружена равномерно. Найти ее опорные моменты и сопротивления опор (фиг. 159).

а) *Общий случай.* Длина пролетов $l_1 l_2 l_3$, нагрузки на пролетах $Q_1 Q_2 Q_3$, опорные моменты $M_0 M_1 M_2 M_3$, из них

$$M_0 = M_3 = 0,$$

сопротивления опор $K_0 K_1 K_2 K_3$. Опоры — на одной высотѣ, поэтому $B=0$ въ ур-и VII (§ 31, а). Примѣняя это ур-е сначала къ 1-му и 2-му пролету, а затѣмъ ко 2-му и 3-му, получимъ 2 ур-я:

$$2M_1 \cdot l_1 + (2M_1 + M_2) \cdot l_2 + \frac{Q_1 \cdot l_1^2 + Q_2 \cdot l_2^2}{4} = 0 \quad \dots \text{L.}$$

$$(2M_2 + M_1) \cdot l_2 + 2M_2 \cdot l_3 + \frac{Q_2 \cdot l_2^2 + Q_3 \cdot l_3^2}{4} = 0 \quad \dots \text{M.}$$

Опредѣля изъ нихъ опорные моменты, найдемъ:

$$M_1 = \frac{1}{4} \cdot \frac{(Q_2 \cdot l_2^2 + Q_3 \cdot l_3^2) \cdot l_2 - 2(Q_1 l_1^2 + Q_2 \cdot l_2^2)(l_2 + l_3)}{4(l_1 + l_2)(l_2 + l_3) - l_2^2}$$

$$M_2 = \frac{1}{4} \cdot \frac{(Q_1 \cdot l_1^2 + Q_2 \cdot l_2^2) \cdot l_2 - 2(Q_2 \cdot l_2^2 + Q_3 \cdot l_3^2)(l_1 + l_2)}{4(l_1 + l_2)(l_2 + l_3) - l_2^2}.$$

Затѣмъ опредѣленіе сопротивленій опоръ будетъ сдѣлано на общихъ основаніяхъ, изслѣдованіе кривой моментовъ и сѣкущихъ усилій — также.

б) *Частный случай 1-й.* Пролеты одинаковой длины и одинаково нагружены:

$$\left. \begin{aligned} Q_1 = Q_2 = Q_3 = Q \\ l_1 = l_2 = l_3 = l \end{aligned} \right\} \dots \text{фиг. 159.}$$

$$M_1 = M_2 = \frac{1}{4} \cdot \frac{2Q \cdot l^2 \cdot l - 2 \cdot 2Q \cdot l^2 \cdot 2l}{4 \cdot 2l \cdot 2l - l^2} = -\frac{Q \cdot l}{10}$$

$$K_0 = \frac{Q}{2} - \frac{Q}{10} = \frac{4}{10} Q = K_3; \quad K_1 = K_2 = \frac{11}{10} Q, \text{ т. к.}$$

$$V_{1*} = \frac{Q}{10} + \frac{Q}{2} = \frac{6}{10} Q; \quad V_{1n} = \frac{M_2 - M_1}{l} + \frac{Q}{2} = \frac{Q}{2};$$

$$K_0 + K_1 + K_2 + K_3 = \frac{4 + 11 + 11 + 4}{10} = 3Q.$$

Опасныя сѣченія надъ средними опорами.

в) *Частный случай 2-й.* Пролеты одинаковой длины, но нагрузка сдѣлана только на среднемъ изъ нихъ (фиг. 160), т. е.

$$Q_1 = Q_3 = 0, \quad Q_2 = Q$$

$$M_1 = M_2 = \frac{Q \cdot l^3 - 2 \cdot Q \cdot l^2 \cdot 2l}{15l^2} \cdot \frac{1}{4} = -\frac{Q \cdot l}{20}.$$

$$K_0 = K_3 = -\frac{Q}{20}; \quad V_{1a} = +\frac{Q}{20}; \quad V_{1n} = \frac{Q}{2}; \quad K_1 = K_2 = \frac{11}{20} \cdot Q.$$

Крайнія опоры д. б. поставлены сверху. Расчетное сѣч. — въ срединѣ длины балки.

в) *Частный случай 3-й.* Пролеты одинаковой длины, но нагрузка сдѣлана только на обѣихъ крайнихъ, и она одинакова (фиг. 161), т. е.

$$Q_1 = Q_3 = Q, \quad Q_2 = 0$$

$$M_1 = M_2 = -\frac{1}{4} \cdot \frac{Q \cdot l^3 - 2 \cdot Q \cdot l^2 \cdot 2l}{15l^2} = -\frac{Q \cdot l}{20}$$

$$K_0 = K_3 = \frac{Q}{2} - \frac{Q}{20} = \frac{9}{20} Q; \quad V_{1a} = \frac{Q}{2} + \frac{Q}{20} = \frac{11}{20} Q; \quad V_{1n} = \frac{M_1 - M_2}{l} = 0;$$

$$K_1 = K_2 = \frac{11}{20} Q; \quad K_1 + K_2 + K_3 + K_0 = \frac{9 + 11 + 11 + 9}{20} = 2Q.$$

Соединяя 2-й случай съ 3-мъ, мы должны получить нагрузку 1-го случая, причемъ надлежащимъ образомъ должны суммироваться и сопротивленія опоръ и опорные моменты, что и есть на самомъ дѣлѣ *).

д) *Частный случай 4-й.* Нагрузка сдѣлана только на одномъ изъ крайнихъ пролетовъ, остальные же 2 ненагружены вовсе (фиг. 162), т. е.

$$Q_1 = Q, \quad Q_2 = Q_3 = 0$$

$$M_1 = -\frac{1}{4} \cdot \frac{2 \cdot Q \cdot l^2 \cdot 2l}{15l^2} = -\frac{Q \cdot l}{15}$$

$$M_2 = \frac{1}{4} \cdot \frac{Q \cdot l^3}{15l^2} = +\frac{Q \cdot l}{60}$$

$$K_0 = V_{0n} = \frac{Q}{2} + \frac{M_1 - M_0}{l} = \frac{Q}{2} - \frac{Q}{15} = \frac{26}{60} \cdot Q$$

$$V_{1a} = \frac{Q}{2} + \frac{M_0 - M_1}{l} = \frac{Q}{2} + \frac{Q}{15} = \frac{34}{60} \cdot Q$$

$$V_{1n} = \frac{M_2 - M_1}{l} = \frac{Q}{60} + \frac{Q}{15} = \frac{5}{60} \cdot Q$$

$$V_{2a} = \frac{M_1 - M_2}{l} = -\frac{Q}{60} - \frac{Q}{15} = -\frac{5}{60} Q$$

$$V_{2n} = \frac{M_3 - M_2}{l} = -\frac{Q}{60}.$$

$$K_1 = V_{1a} + V_{1n} = \frac{39}{60} \cdot Q; \quad K_2 = V_{2a} + V_{2n} = -\frac{6}{60} Q.$$

*) Расчетныя сѣченія находятся здѣсь въ обѣихъ крайнихъ пролетахъ

$$K_3 = V_{3a} = \frac{M_2 - M_3}{l} = \frac{Q}{60}$$

$$K_0 + K_1 + K_2 + K_3 = \frac{26 + 39 - 6 + 1}{60} \cdot Q = Q$$

Третья лѣва опора д. б. сверху

е) *Частный случай 5-й.* Нагружены 2 смежные пролета, 3-й же не нагруженъ (фиг. 163), т. е.

$$Q_1 = 0, Q_2 = Q_3 = Q.$$

$$M_1 = \frac{1}{4} \cdot \frac{2 Q \cdot l^3 - 2 \cdot Q \cdot l^2 \cdot 2l}{15 l^2} = -\frac{Q \cdot l}{30}$$

$$M_2 = \frac{1}{4} \cdot \frac{Q \cdot l^3 - 2 \cdot 2 Q \cdot l^2 \cdot 2l}{15 l^2} = -\frac{7}{60} \cdot Q \cdot l$$

$$K_0 = V_{0a} = \frac{M_1 - M_0}{l} = -\frac{2}{60} \cdot Q$$

$$V_{1a} = \frac{M_0 - M_1}{l} = +\frac{2}{60} \cdot Q$$

$$V_{1n} = \frac{M_2 - M_1}{l} + \frac{Q}{2} = \left(-\frac{7}{60} + \frac{1}{30} + \frac{1}{2}\right) \cdot Q = \frac{25}{60} \cdot Q$$

$$V_{2a} = \frac{Q}{2} + \frac{M_1 - M_2}{l} = \left(\frac{1}{2} - \frac{1}{30} + \frac{7}{60}\right) \cdot Q = \frac{35}{60} \cdot Q$$

$$V_{2n} = \frac{Q}{2} + \frac{M_3 - M_2}{l} = \left(\frac{1}{2} + \frac{7}{60}\right) \cdot Q = \frac{37}{60} \cdot Q.$$

$$K_1 = V_{1a} + V_{1n} = \frac{27}{60} \cdot Q; K_2 = V_{2a} + V_{2n} = \frac{72}{60} \cdot Q.$$

$$K_3 = \frac{Q}{2} + \frac{M_2 - M_3}{l} = \left(\frac{1}{2} - \frac{7}{60}\right) Q = \frac{23}{60} \cdot Q.$$

$$K_0 + K_1 + K_2 + K_3 = \frac{-2 + 27 + 72 + 23}{60} Q = 2 Q.$$

Крайняя лѣвая опора д. б. здѣсь сверху.

Комбинируя 4-й и 5-й частные случаи вмѣстѣ, мы должны, очевидно, притти къ 1-му частному случаю и получить сопротивления опоръ и опорные моменты, какъ сумму найденныхъ здѣсь величинъ:

$$M_1 = -\left(\frac{1}{15} + \frac{1}{30}\right) Q l = -\frac{Q \cdot l}{10}$$

$$K_0 = \frac{26 - 2}{60} \cdot Q = \frac{24}{60} Q = \frac{4}{10} Q; K_1 = \frac{39 + 27}{60} \cdot Q = \frac{11}{10} \cdot Q;$$

$$K_2 = \frac{-6 + 72}{60} \cdot Q = \frac{11}{10} \cdot Q; K_3 = \frac{1 + 23}{60} \cdot Q = \frac{4}{10} \cdot Q.$$

f) *Частный случай 6-й.* Балка ущемлена обоими концами и нагружена равномерно. Здѣсь нужно положить въ ф-лахъ L и M (случай a этой задачи):

$$l_1 = l_3 = 0; l_2 = l; Q_2 = Q$$

$$M_1 = M_2 = \frac{1}{4} \cdot \frac{Q \cdot l^3 - 2 \cdot Q \cdot l^2 \cdot l}{4l^2 - l^2} = -\frac{Q \cdot l}{12}$$

$$K_1 = V_{1n} = \frac{M_2 - M_1}{l} + \frac{Q}{2} = \frac{Q}{2}$$

$$K_2 = V_{2n} = \frac{M_1 - M_2}{l} + \frac{Q}{2} = \frac{Q}{2}$$

Эти результаты мы уже имѣли ранѣе (см. § 26).

№ 75. Балка лежитъ на трехъ опорахъ и въ каждомъ пролетѣ нагружена равномерно на нѣкоторой части длины пролета. Найти опорные моменты и сопротивленія опоръ такой балки (фиг. 164).

a) *Общій случай.* Длина пролетовъ l_1 и l_2 , нагрузки— R_1 и R_2 , плечи ихъ относительно крайнихъ опоръ b_1, b_2, c_1, c_2 (фиг. 164). Опоры лежатъ на одной высотѣ, поэтому въ ур-иѣ VII (§ 31, a) величина $B = 0$; кромѣ того

$$M_0 = M_2 = 0$$

Соединяя ф-лы VII и VIII (§ 31 a и б), получаемъ:

$$2M_1(l_1 + l_2) + R_1 \frac{b_1 + c_1}{4} \cdot \frac{2l_1^2 - b_1^2 - c_1^2}{l_1} + R_2 \cdot \frac{b_2 + c_2}{4} \cdot \frac{2l_2^2 - b_2^2 - c_2^2}{l_2} = 0$$

Затѣмъ на общихъ основаніяхъ находимъ сопротивленія опоръ, кривыя моментовъ и сѣкущихъ усилій.

Выраженіегибающаго момента въ сѣченіи N на части DE , гдѣ нагрузка, приходящаяся на l длины, $= q_1$, будетъ:

$$M = K_0 \cdot x - q_1 \cdot \frac{(x - c_1)^2}{2} + M_0$$

Это будетъ ур-іе параболы $D_1F_1E_1$, вершина которой находится въ F_1 . Ур-іе прямой сѣкущихъ усилій въ части DE будетъ:

$$\frac{dM}{dx} = V = K_0 - q_1 \cdot (x - c_1)$$

При $x = c_1 \dots V_D = K_0 = V_A = V_{on}$

При $x = b_1 \dots V_B = K_0 - q_1(b_1 - c_1) = K_0 - R_1 = V_{1n}$

Въ сѣченіи $F \dots V = 0 \dots \bar{x} - c_1 = \frac{K_0}{q_1}$,

т. е. для полученія разстоянія между началомъ нагрузки на пролетѣ и сѣченіемъ, въ которомъ аналитическое выраженіе момента будетъ

max, надо раздѣлить съѣдущее усиліе при опорѣ на величину нагрузки, которая приходится на 1 длины въ данномъ пролетѣ.

$$\begin{aligned} \max, M &= K_0 \cdot \frac{K_0}{q_1} - \frac{q_1}{2} \cdot \left(\frac{K_0}{q_1} \right)^2 + M_0 = \\ &= M_0 + q_1 \cdot \frac{x^2}{2}, \end{aligned}$$

т. е. аналитическій **max** момента на пролетѣ, нагруженномъ равномерно на части длины пролета, равняется опорному моменту, сложенному съ моментомъ относительно ближайшей къ опорѣ начальной точки нагрузки для той части нагрузки на пролетѣ, которая расположена между ея начальной точкою и стѣнемъ максимальнаго момента. Очевидно, что оба эти правила будутъ справедливы, въ какомъ бы пролетѣ мы ни находились и сколько бы ихъ ни было.

Опасными сѣченіями могутъ быть или F , или B , или L , смотря по величинѣ нагрузокъ и длинѣ пролетовъ.

Кривая сѣдущихъ усилій будетъ ломаною линіею $A_2 D_2 \dot{E}_2 B_2$ въ лѣвомъ пролетѣ, $B_1 H_1 I_1 C_1$ —въ правомъ.

Вопросы Какъ доказать, что прямая AD_1 (фиг. 164) касательна къ параболѣ $D_1 F_1 E_1$ въ точкѣ D_1 ?

Что нужно сдѣлать съ балкою, чтобы сѣченіе F аналитическаго **max** момента дѣлило длину DE пополамъ?

Что нужно для того, чтобы углы $DAD_1 - GCI$ были равны между собою?

б) *Частный случай 1-й.* Длина пролетовъ одинакова, нагрузки одинаковы и симметрично расположены относительно средней опоры, т. е.

$$l_1 = l_2 = l; b_1 = b_2 = b; c_1 = c_2 = c; R_1 = R_2 = R.$$

Данныя этого случая будутъ пригодны также и тогда, когда каждый изъ пролетовъ рассматривается независимо отъ другого, т. е. какъ балка, ущемленная однимъ концомъ B (фиг. 165), а другимъ A свободно лежащая на опорѣ. Разница будетъ только въ величинѣ сопротивленія средней опоры, которое для цѣлой балки будетъ $2K_1$, а для ея половины K_1 ; поэтому здѣсь мы будемъ рассматривать ущемленную балку (фиг. 165).

Вмѣсто общаго ур-ія, которое имѣли для опредѣленія M_1 въ случаѣ а), здѣсь получимъ:

$$\left. \begin{aligned} 2M_1 \cdot l + R \cdot \frac{b+c}{4} \cdot \frac{2l^2 - b^2 - c^2}{l} &= 0, \\ M_1 &= -R \cdot \frac{b+c}{8} \cdot \frac{2l^2 - b^2 - c^2}{l^2} \dots \\ K_1 &= R \cdot \frac{b+c}{2l} - \frac{M_1}{l} \dots \dots \dots \\ K_0 &= R - K_1 \dots \dots \dots \end{aligned} \right\} \dots \dots \dots \mathbf{N}.$$

в) *Частный случай 2-й.* Балка одним концом закреплена в стѣнѣ, другимъ лежитъ свободно на опорѣ; равномерная нагрузка занимаетъ часть длины балки (фиг. 165) и расположена на ней симметрично относительно опоры, т. е.

$$b + c = l.$$

Пусть $c = t \cdot l$; $b = l(1 - t)$.

$$M_1 = -R \cdot \frac{l}{8} \cdot \frac{l^2 + (b^2 + 2bc + c^2) - b^2 - c^2}{l^2}$$

$$M_1 = -\frac{R \cdot l}{8} \cdot \frac{l^2 + 2b \cdot c}{l^2} = -\frac{R \cdot l}{8} \left(1 + 2 \cdot \frac{b}{l} \cdot \frac{c}{l} \right) =$$

$$= -R \cdot l \cdot \frac{1 + 2t(1 - t)}{8} = -\frac{R \cdot l}{8} \cdot \alpha$$

$$K_1 = \frac{R}{2} + \frac{R \cdot \alpha}{8} = \frac{4 + \alpha}{8} \cdot R; K_0 = \frac{4 - \alpha}{8} \cdot R.$$

При $t = 0$ приходимъ къ случаю *в* задачи № 73; тогда

$$M_1 = -\frac{R \cdot l}{8}; \alpha = 1; K_1 = \frac{5}{8} R; K_0 = \frac{3}{8} R$$

При $t = \frac{1}{2}$ приходимъ къ случаю *б* задачи № 69; тогда

$$\alpha = 1 + 2 \cdot \frac{1}{2} \cdot \frac{1}{2} = \frac{3}{2}$$

$$M_1 = -\frac{3}{16} \cdot R \cdot l; K_1 = \frac{11}{16} R; K_0 = \frac{5}{16} R$$

При промежуточныхъ значеняхъ t получаемъ величины, приведенныя въ таблицѣ 21.^А

Таблица 21-я (фиг. 165.... $c = l - b$).

$t = \frac{1}{10}$	$\frac{1}{9}$	$\frac{1}{8}$	$\frac{1}{7}$	$\frac{1}{6}$	$\frac{1}{5}$	$\frac{1}{4}$	$\frac{1}{3}$
$\alpha = 1,18$	1,197	1,219	1,245	1,278	1,32	1,375	1,444
$\frac{K_1}{R} = 0,647$	0,649	0,652	0,656	0,659	0,665	0,672	0,681

г) *Частный случай 3-й.* Балка однимъ концомъ закреплена в стѣнѣ, другимъ лежитъ свободно на опорѣ; равномерная нагрузка занимаетъ часть длины балки и прилегаетъ къ свободной опорѣ (фиг. 166), т. е.

$$c = 0; b = u \cdot l$$

По предыдущей ф-лѣ N имѣемъ:

$$M_1 = -\frac{R \cdot b}{8} \cdot \frac{2l^2 - b^2}{l^2} = -\frac{R \cdot l}{8} \cdot u(2 - u^2) = -\frac{R \cdot l}{8} \cdot \alpha$$

$$K_1 = R \cdot \frac{u}{2} + R \cdot u \cdot \frac{2 - u^2}{8} = R \cdot u \cdot \frac{6 - u^2}{8}$$

Если $u = 1$, мы приходимъ къ случаю в задачи № 73; тогда

$$M_1 = -\frac{R \cdot l}{8}; K_1 = \frac{5}{8} \cdot R.$$

При другихъ значеніяхъ u получимъ данныя, приведенныя въ таб. 22.

Таблица 22-я (фиг. 166).

$u = 0,1$	0,2	0,3	0,4	0,5	0,6	0,7	0,8	0,9
$\alpha = 0,199$	0,392	0,573	0,736	0,875	0,984	1,057	1,088	1,071
$\frac{K_1}{R} = 0,075$	0,149	0,222	0,292	0,359	0,423	0,482	0,536	0,584

При измѣненіи u наибольшее значеніе M_1 по абсолютной величинѣ получается тогда, когда величина

$$u \cdot (2 - u^2)$$

будетъ *max*, что соотвѣтствуетъ величинѣ

$$u = \sqrt{\frac{2}{3}} = 0,8165.$$

Опасное сѣченіе здѣсь всегда находится въ защемленномъ сѣченіи. Значеніе аналитическаго *max* момента будетъ

$$\max M = \bar{M} = q \cdot \frac{\bar{x}^2}{2} = \frac{q}{2} \cdot \left(\frac{K_0}{q}\right)^2$$

$$q = \frac{R}{b}; K_0 = R - K_1 = \frac{R}{8}(8 - 6u - u^3)$$

$$\bar{M} = \frac{R \cdot l}{128} \cdot u \cdot (8 - 6u - u^3)^2.$$

Т. к. величина u всегда менѣе 1, поэтому величину коэф. послѣ $R \cdot l : 128$ въ предыдущемъ р-вѣ можно замѣнить приближенно чрезъ

$$A = u(8 - 6u)^2 = 64 \cdot u - 96 \cdot u^2 + 36 \cdot u^3.$$

Найдемъ *max* A при измѣненіи u :

$$\frac{dA}{du} = 64 - 192 \cdot u + 108 \cdot u^2 = 0, \text{ откуда}$$

$$u = \frac{4}{9}, \text{ при этомъ}$$

$$\max \bar{M} = \frac{R \cdot l}{8} \cdot 0,15,$$

т. е. значительно меньше соответственной величины α .

д) *Частный случай 4-й.* Балка одним концом закреплена въ стѣнѣ, другимъ лежитъ свободно на опорѣ; равномерная нагрузка занимаетъ часть длины пролета, прилегающая къ стѣнѣ (фиг. 167), т. е.

$$b = l, \quad c = z \cdot l.$$

По предыдущей ф-лѣ **N** имѣемъ:

$$M_1 = -R \cdot \frac{l+c}{8} \frac{l^2 - c^2}{l^2} = -\frac{R \cdot l}{8} \cdot (1+z)(1-z^2) = -\frac{R \cdot l}{8} \cdot \alpha;$$

$$K_1 = R \cdot \frac{1+z}{2} + R \cdot \frac{1+z}{8} (1-z^2) = \frac{1+z}{8} \cdot (5-z^2) \cdot R = \beta \cdot R.$$

При $z = 0$ приходимъ къ случаю σ задачи № 73; тогда

$$M_1 = -\frac{R \cdot l}{8}; \quad K_1 = \frac{5}{8} R.$$

При $z = 1$ нагрузка передается прямо на стѣну, при этомъ

$$M_1 = 0; \quad K_1 = R.$$

При промежуточныхъ значеніяхъ z получимъ слѣдующія данныя (см. тб. 23-ю):

Таблица 23-я (фиг. 167).

$z = 0,1$	0,2	0,3	0,4	0,5	0,6	0,7	0,8	0,9
$\alpha = 1,089$	1,152	1,183	1,176	1,125	1,024	0,867	0,648	0,361
$\frac{K_1}{R} = 0,686$	0,744	0,798	0,847	0,891	0,928	0,958	0,981	0,995
$\frac{K_0}{R} = 0,314$	0,256	0,202	0,153	0,109	0,072	0,042	0,019	0,005

Расчетное сѣченіе въ этомъ случаѣ всегда находится въ мѣстѣ заземленія балки. Если бы нужно было найти аналитическій *max* момента (т. е. ординату FF_1 на фиг. 164), тогда, идя справа налѣво, можно писать:

$$\max M = \bar{M} = M_1 + \frac{q \cdot \bar{x}^2}{2}; \quad \text{гдѣ}$$

$$\bar{x} = K_1 : q; \quad q = \frac{R}{l-c} = \frac{R}{l(1-z)}$$

$$\bar{M} = M_1 + \frac{K_1^2}{R} \cdot l \cdot \frac{1-z}{2} = \frac{R \cdot l}{8} \left[(1-z) \cdot 4\beta^2 - \alpha \right].$$

№ 76. Балка ущемлена въ стѣнахъ обоими концами и нагружена равномерно на части длины (фиг. 168). а) *Общій случай.* Нагрузка — R , плечи ея относительно лѣвой опоры b_1 и c_1 , относительно правой — b_2 и c_2 . Опорные моменты такой балки получимъ, рассматривая ее, какъ трехпролетную, у когорой длина крайнихъ пролетовъ l доведена до нуля (фиг. 168).

Примѣняя ур-ія VII и VIII (§ 31а и б) къ пролетамъ CA и AB , получимъ:

$$(2M_1 + M_2) \cdot l + R \cdot \frac{b_2 + c_2}{2} \cdot \frac{l^2 - b_2^2 - c_2^2}{2l} = 0$$

а въ пролетахъ AB и BD :

$$(M_1 + 2M_2) \cdot l + R \cdot \frac{b_1 + c_1}{2} \cdot \frac{l^2 - b_1^2 - c_1^2}{2l} = 0.$$

Рѣшая эти ур-ія относительно M_1 и M_2 , будемъ имѣть:

$$\left. \begin{aligned} M_1 &= \frac{R}{12 \cdot l^2} \left[(b_1 + c_1)(2l^2 - b_1^2 - c_1^2) - 2(b_2 + c_2)(2l^2 - b_2^2 - c_2^2) \right] \\ M_2 &= \frac{R}{12 \cdot l^2} \left[(b_2 + c_2)(2l^2 - b_2^2 - c_2^2) - 2(b_1 + c_1)(2l^2 - b_1^2 - c_1^2) \right] \end{aligned} \right\} \dots 0$$

Сопротивленія опоръ K_1 и K_2 (фиг. 168) найдутся общимъ путемъ:

$$K_1 = R \cdot \frac{b_2 + c_2}{2l} + \frac{M_2 - M_1}{l}$$

$$K_2 = R \cdot \frac{b_1 + c_1}{2l} + \frac{M_1 - M_2}{l}$$

б) *Частный случай 1-й.* Нагрузка расположена на части длины равномерно и симметрично относительно опоръ; оба конца балки защемлены въ стѣнахъ, т. е.

$$b_1 = b_2 = b = (1 - t) \cdot l; \quad c_1 = c_2 = c = t \cdot l; \quad b + c = l$$

$$\begin{aligned} M_1 &\doteq M_2 = - \frac{R \cdot l}{12} \cdot \frac{l^2 + (b^2 + 2bc + c^2) - b^2 - c^2}{l^2} = \\ &= - \frac{R \cdot l}{12} \cdot \frac{l^2 + 2b \cdot c}{l^2} = - \frac{R \cdot l}{12} \cdot [1 + 2t(1 - t)] = - \frac{R \cdot l}{12} \cdot \alpha \end{aligned}$$

$$K_1 = K_2 = \frac{R}{2} + \frac{M_1 - M_2}{l} = \frac{R}{2}$$

Если сдѣлаемъ $t = 0$, тогда мы придемъ къ случаю балка, ущемленной обоими концами и нагруженной равномерно по всей длинѣ, когда

$$\alpha = 1 \dots \dots M_1 = M_2 = - \frac{R \cdot l}{12}$$

Если сдѣлаемъ $t = \frac{1}{2}$, тогда всю нагрузку обратимъ въ сосредоточенный грузъ, приложенный къ балкѣ въ срединѣ ея длины, гдѣ

$$\alpha = \frac{3}{2} \dots\dots M_1 = M_2 = \frac{R \cdot l}{8}.$$

При промежуточныхъ значеніяхъ t будемъ имѣть:

$t = \frac{1}{10}$	$\frac{1}{9}$	$\frac{1}{8}$	$\frac{1}{7}$	$\frac{1}{6}$	$\frac{1}{5}$	$\frac{1}{4}$	$\frac{1}{3}$
$\alpha = 1,18$	1,197	1,219	1,245	1,278	1,32	1,375	1,444

Аналитическій *max* сгибающаго момента здѣсь будетъ имѣть мѣсто всегда въ срединѣ длины балки и будетъ писаться непосредственно:

$$\bar{M} = K_1 \cdot \frac{l}{2} + M_1 - \frac{R}{2} \cdot \frac{l - 2c}{4} = M_1 + R \cdot \frac{l + 2c}{8}$$

$$\bar{M} = \frac{R \cdot l}{12} \cdot \frac{1 + 2t + 4 \cdot t^2}{2} = \frac{R \cdot l}{12} \cdot \beta.$$

Max коэф. β получается при наибольшемъ возможномъ значеніи t , т. е.

$$\text{при } t = \frac{1}{2} \dots\dots \beta = \frac{3}{2} \dots\dots \bar{M} = \frac{R \cdot l}{8}.$$

При этихъ данныхъ $\dots\dots \alpha = \frac{3}{2}$, т. е. обнаруживаемъ известное свойство балки, ущемленной въ стѣнахъ обоими концами и нагруженной въ срединѣ длины сосредоточеннымъ грузомъ: у нея 3 сгибающихъ момента имѣютъ одно и то же значеніе *max* — въ точкахъ опоры и въ срединѣ длины.

При всѣхъ остальныхъ возможныхъ значеніяхъ t коэф. α больше коэф. β , и расчетными сѣченіями такой балки всегда будутъ ея ущемленныя, опорныя сѣченія.

в) *Частный случай 2-й.* Балка ущемлена обоими концами; равномерная нагрузка, распределенная на части длины, прилегаетъ къ одной изъ опоръ, напр. *A* (фиг. 169), т. е.

$$c_1 = 0 ; b_2 = l ; b_1 + c_2 = l ;$$

$$b_1 = b = u \cdot l ; c_2 = c = l - b = l(1 - u).$$

Ф-лы *O* примутъ въ этомъ случаѣ видъ:

$$2 l^2 - b^2 - c^2 = 2 l^2 - l^2 - (l^2 - 2 l \cdot b + b^2) = b(2 l - b).$$

$$M_1 = \frac{R \cdot b}{12 \cdot l^2} [(2 l^2 - b^2) - 2 (2 l - b)^2]$$

$$M_1 = \frac{R \cdot l}{12} \cdot u \cdot [(2 - u^2) - 2(2 - u)^2] = -\frac{R \cdot l}{12} \cdot \alpha_1$$

$$M_2 = \frac{R \cdot b}{12 \cdot l^2} [(2l - b)^2 - 2(2l^2 - b^2)]$$

$$M_2 = \frac{R \cdot l}{12} \cdot u \cdot [(2 - u)^2 - 2(2 - u^2)] = -\frac{R \cdot l}{12} \cdot \alpha_2$$

Если сдѣлаемъ $u = 1$, получимъ балку, нагруженную по всей длинѣ равномерно, и тогда $\alpha_1 = \alpha_2 = 1$.

Макс коэффициентовъ α_1 и α_2 получается при различныхъ значеніяхъ u .

$$\alpha_1 = 2u - u^3 - 2u(4 - 4u + u^2) = -6u + 8u^2 - 3u^3$$

$$\frac{d\alpha_1}{du} = -6 + 16u - 9u^2 = 0, \text{ откуда}$$

$$u = 0,536$$

$$\alpha_2 = u(4 - 4u + u^2) - 4u + 2u^3 = 3u^3 - 4u^2,$$

$$\frac{d\alpha_2}{du} = 9u^2 - 8u; \text{ откуда } u = \frac{8}{9}$$

Сопротивленіе лѣвой опоры будетъ опредѣляться такъ:

$$K_1 = R \cdot \frac{b_2 + c_2}{2l} + \frac{M_2 - M_1}{l} = R \cdot \frac{2l - b}{2l} + \frac{R}{12} (\alpha_1 - \alpha_2)$$

$$K_1 = \frac{R}{12} \cdot [\alpha_1 - \alpha_2 + 6(2 - u)] = \beta \cdot \frac{R}{12}$$

При $u = 1 \dots \beta = 6 \dots K_1 = 0,5 \cdot R$.

Аналитическій *max* сгибающаго момента напишется, по общему правилу, такъ:

$$\bar{M} = M_1 + \frac{q}{2} \cdot \bar{x}^2, \text{ гдѣ } q = \frac{R}{u \cdot l}$$

$$\bar{x} = \frac{K_1}{q} = \frac{\beta \cdot u \cdot l}{12}$$

$$\bar{M} = -\frac{R \cdot l}{12} \cdot \alpha_1 + \frac{R}{2 \cdot u \cdot l} \cdot \left(\frac{\beta \cdot u \cdot l}{12}\right)^2$$

$$\bar{M} = \frac{R \cdot l}{12} \cdot \left(\frac{u \cdot \beta^2}{24} - \alpha_1\right) = \frac{R \cdot l}{12} \cdot \gamma$$

Если $u = 1 \dots \beta = 6; \alpha_1 = 1 \dots \gamma = \frac{1}{2} \dots \bar{M} = \frac{R \cdot l}{24}$,

т. е. получаемъ тогда извѣстный уже намъ результатъ. При другихъ значеніяхъ u получаемъ данныя, приведенныя въ табл. 24.

Таблица 24-я (фиг. 169).

$u = 0,1$	0,2	0,3	0,4	0,5	0,6	0,7	0,8	0,9
$\alpha_1 = 0,523$	0,864	1,161	1,312	1,375	1,368	1,309	1,216	1,107
$\alpha_2 = 0,037$	0,136	0,279	0,448	0,625	0,792	0,931	1,024	1,053
$\beta = 11,886$	11,528	11,082	10,464	9,75	8,976	8,178	7,392	6,654
$\gamma = 0,076$	0,238	0,379	0,526	0,605	0,657	0,651	0,609	0,551

Данные этой таблицы показывают, что расчетнымъ сѣчениемъ будетъ сѣченіе A , къ которому прилегаютъ нагрузка.

№ 77. Балка ущемлена въ стѣнахъ обоими концами и нагружена двумя одинаковыми грузами, составляющими вмѣстѣ пару силъ; точки приложенія нагрузокъ находятся на одинаковыхъ разстояніяхъ отъ опоръ (фиг. 170). Найти моменты защемленія такой балки и расчетное сѣченіе для нея.

Плечи нагрузокъ относительно опоръ — a и b . Разсматривая балку, какъ трехпролетную съ длиною крайнихъ пролетовъ, доведенною до нуля, и примѣняя ур-іе VII (см. § 31, a) два раза, напишемъ слѣдующее:

$$0 = (2 M_1 + M_2) \cdot l + P \cdot b \cdot \frac{l^2 - b^2}{l} - P \cdot a \cdot \frac{l^2 - a^2}{l}$$

$$0 = (2 M_2 + M_1) \cdot l + P \cdot a \cdot \frac{l^2 - a^2}{l} - P \cdot b \cdot \frac{l^2 - b^2}{l}$$

Складывая эти ур-ія, даходить:

$$(2 M_1 + M_2) l + (2 M_2 + M_1) \cdot l = 0, \text{ откуда}$$

$$M_2 = - M_1,$$

т. е. моменты защемленія такой балки будутъ между собою равны, но противоположны по знаку. Затѣмъ умножая 1-е ур-іе на 2 и вычитая изъ него 2-е, получимъ:

$$\begin{aligned} M_1 &= - P \cdot \frac{b(l^2 - b^2) - a(l^2 - a^2)}{l^2} = \\ &= - \frac{P}{l^2} [(l - a) \cdot \{l^2 - (l^2 - 2la + a^2)\} - a(l^2 - a^2)] = \\ &= - \frac{P}{l^2} \cdot a(l - a)(l - 2a) \end{aligned}$$

Слѣд., опорные моменты обращаются въ нуль при трехъ значеніяхъ a :

- 1) когда $a = 0$, и C совпадаетъ съ A , а D — съ B ;
- 2) когда $a = l$, и C совпадаетъ съ B , а D — съ A ;

3) когда $a = \frac{l}{2}$, т. е. $l = 2a$, и объѣ нагрузки взаимно уничтожаютъ свое воздѣйствіе на балку.

Введемъ обозначеніе..... $a = t.l$

$$M_1 = - P.l . t (1 - t) (1 - 2t) = - P.l . a$$

Сопротивленія опоры, по общему правилу, будутъ писаться такъ:

$$\begin{aligned} K_1 &= \frac{M_2 - M_1}{l} + P \cdot \frac{b}{l} - P \cdot \frac{a}{l} = \\ &= - \frac{2 M_1}{l} + P \cdot \frac{b - a}{l} = P (1 - 2t) \cdot [1 + 2t - 2t^2] = \beta \cdot P \end{aligned}$$

Когда $t = 0$ $K_1 = P$; при $t = 1$ $K_1 = - P$; и наконецъ при $t = \frac{1}{2}$ $K_1 = 0$.

$$K_2 = \frac{M_1 - M_2}{l} + P \cdot \frac{a}{l} - P \cdot \frac{b}{l} = - K_1,$$

т. е. сопротивленія опоръ будутъ здѣсь представлять собою также пару силъ.

Моменты въ точкахъ C и D будутъ, очевидно, равны, но противоположны по знаку:

$$M_c = K_1 . a + M_1 = P.l.t^2.(1 - 2t)(3 - 2t) = \gamma . P . l$$

При различныхъ значеніяхъ t величины коэф. даны въ табл. 25-й

Таблица 25-я (фиг. 170).

$t = \frac{1}{10}$	$\frac{1}{9}$	$\frac{1}{8}$	$\frac{1}{7}$	$\frac{1}{6}$	$\frac{1}{5}$	$\frac{1}{4}$	$\frac{1}{3}$	$\frac{1}{2}$
$\alpha = 0,072$	0,077	0,082	0,087	0,093	0,096	0,094	0,074	0
$\beta = 0,944$	0,932	0,914	0,888	0,853	0,792	0,688	0,481	0
$\gamma = 0,022$	0,027	0,032	0,040	0,049	0,062	0,078	0,086	0

Мах опорнаго момента M_2 найдется такъ:

$$\alpha = (t - t^2)(1 - 2t) = t - 3t^2 + 2t^3$$

$$\frac{d\alpha}{dt} = 1 - 6t + 6t^2 = 0, \text{ откуда}$$

$$t = \frac{1}{2} - \sqrt{\frac{1}{4} - \frac{1}{16}} = \frac{1}{2} \left(1 - \frac{1}{\sqrt{3}} \right) = \frac{1}{4,73} = 0,211$$

$$\text{max } \alpha = 0,0962$$

Max момента въ точкѣ приложенія силы опредѣлится слѣд. обр.:

$$\gamma = (t^2 - 2t^3) (3 - 2t) = 3t^2 - 8t^3 + 4t^4$$

$$\frac{d\gamma}{dt} = 6 \cdot t - 24 \cdot t^2 + 16 \cdot t^3 = 0, \text{ или}$$

$$t^2 - \frac{3}{2} \cdot t + \frac{3}{8} = 0, \text{ откуда}$$

$$t = \frac{3}{4} - \sqrt{\frac{9}{16} - \frac{3}{8}} = \frac{3 - \sqrt{3}}{4} = \frac{1}{3,15} = 0,317$$

$$\text{max } \gamma = 0,0866$$

При нѣкоторомъ значеніи t сгибающій моментъ въ точкѣ приложенія силы и опорный моментъ дѣлаются одинаковыми; для этого нужно, чтобы $\alpha = \gamma$, т. е.

$$1 - t = 3t - 2t^2, \text{ или } t^2 - 2t + \frac{1}{2} = 0,$$

$$\text{откуда } t = 1 - \frac{1}{\sqrt{2}} = \frac{1}{3,4} = 0,293$$

При этомъ значеніи t

$$M_c = M_2 = 0,0855 \cdot P \cdot l$$

Пока t измѣняется отъ 0 до 0,293 расчетныхъ сѣченемъ будетъ опорное, а при значеніяхъ t отъ 0,293 до 0,707 расчетнымъ сѣченіемъ является сѣчение, проходящее чрезъ точку приложенія силы.

Кривыя моментовъ и силы сдвига изображены на фиг. 170. Упругая линія будетъ имѣть въ этомъ случаѣ 3 точки перегиба $m_1 m_2 m_3$ (фиг. 170), изъ коихъ одна находится въ срединѣ длины балки.

Д. Силы сдвига въ продольныхъ и поперечныхъ плоскостяхъ согнутаго бруса.

34. **Общее представленіе о происхожденіи силъ сдвига при сгибаніи бруса.** Явленіе сгибанія балки всегда сопровождается явленіемъ сдвига въ ея продольныхъ и поперечныхъ плоскостяхъ. Въ необходимости существованія явленія сдвига при сгибаніи мы имѣли уже случай убѣдиться, разсматривая 6 основныхъ ур-ій равновѣсія согнутаго бруса (см. § 3): изъ нихъ 4 ур-ія удовлетворялись сами собою, одно привело насъ къ равенству момента внѣшнихъ силъ съ моментомъ внутреннихъ силъ, растяженія и сжатія, и наконецъ одно ур-іе требовало, чтобы алгебраическая сумма проекцій на ось z —овъ всѣхъ силъ, взятыхъ по одну сторону отъ разсматриваемаго сѣченія, равнялась сопротивленію сдвига въ этомъ сѣченіи, или короче, чтобы сѣкующее усиліе равнялось сопротивленію сдвига при данномъ сѣченіи.

Представленіе о силѣ сдвига въ поперечномъ сѣченіи согнутой балки можно дать еще и въ такой элементарной формѣ. Пусть имѣемъ балку A (фиг. 171), на которую передается дѣйствіе какой-либо сгибающей нагрузки. Возьмемъ произвольное сѣченіе N этой балки, и пусть справа отъ него сѣкущее усиліе будетъ P ; оно будетъ представлять собою алгебраическую сумму всѣхъ силъ, взятыхъ справа отъ сѣченія N , включая въ ихъ число также и сопротивленія всѣхъ опоръ справа отъ сѣченія N . Пусть слагающая всѣхъ этихъ силъ будетъ сосредоточена въ точкѣ O . Послѣ того какъ балка получила уже деформацию отъ нагрузки и пришла въ равновѣсіе, приложимъ въ ц. т. сѣченія N двѣ равныя и противоположныя силы $(+P)$ и $(-P)$, равныя по величинѣ сѣкущему усилію P въ данномъ сѣченіи справа; равновѣсіе балки чрезъ это не нарушится. Но тогда мы получаемъ пару силъ $(P, -P)$ и силу $(+P)$: дѣйствіе пары силъ д. б. уравновѣшено сопротивленіемъ внутреннихъ паръ отъ силъ растяженія и сжатія въ поперечномъ сѣченіи, а сила $(+P)$ относительно сѣченія N является тангенциальною силою, которая д. б. уравновѣшена сопротивленіемъ сдвига въ поперечномъ сѣченіи балки. Какъ распредѣлится сила $(+P)$ между отдѣльными элементами даннаго сѣченія N , это будетъ выяснено далѣе; но какова бы ни была форма поперечнаго сѣченія балки и какой бы законъ распредѣленія напряженій сдвига между элементами сѣченія мы не обнаружили въ послѣдствіи, *алгебраическая сумма всѣхъ элементарныхъ сопротивленій сдвига въ произвольномъ поперечномъ сѣченіи согнутой балки должна равняться сѣкущему усилію въ этомъ сѣченіи*. Будетъ измѣняться эта алгебраическая сумма при переходѣ отъ одного поперечнаго сѣченія къ другому, или нѣтъ, это будетъ зависѣть отъ вида кривой сѣкущихъ усилій.

Чтобы составить себѣ представленіе о силахъ сдвига въ продольныхъ плоскостяхъ согнутаго бруса, поступаемъ такъ: когда равновѣсіе согнутой балки установилось, въ области растянутыхъ волоконъ балки представимъ себѣ часть ея $ABCD$ (фиг. 172) какъ-бы удаленною; чтобы равновѣсіе балки не нарушилось, со стороны отнятой части AC мы должны приложить къ сѣченію AB тѣ элементарныя силы растяженія, съ которыми отнятая часть AC дѣйствовала на оставшуюся BE . Извѣстно, что эти элементарныя силы растяженія распредѣлены на плоскости поперечнаго сѣченія AB не равномерно, что онѣ возрастаютъ пропорціонально разстояніямъ отъ нейтральнаго слоя Ox . Совокупность ихъ на площади обрѣза AB пусть будетъ $\Sigma X = Q$. Эта сила, приложенная къ плоскости AB , является воздѣйствіемъ отнятой части бруса AC на оставшуюся BE ; она будетъ параллельна продольному сѣченію AE оставшейся части балки и вызоветъ въ этомъ сѣченіи сопротивленіе сдвига.

Ясно, что чѣмъ далѣе будетъ взято продольное сѣченіе AE отъ нейтральнаго слоя, тѣмъ сила Q будетъ меньше; и когда AE будетъ совпадать съ крайними растянутыми волокнами, Q будетъ равно нулю; то же самое могли бы доказать и относительно крайнихъ сжатыхъ ли-

ный сѣченія; слѣд., въ крайнихъ продольныхъ сѣченіяхъ, наиболее удаленныхъ отъ нейтральнаго слоя согнутаго бруса, напряжение сдвига должно равняться нулю, какаѣ бы форма поперечнаго сѣченія бруса ни была и какимъ бы способомъ поперечная сгибающая нагрузка на него не дѣйствовала. Напротивъ, съ приближеніемъ сѣченія AE къ нейтральному слою величина силы Q будетъ все время возрастать, и такъ ея получится, очевидно, для нейтральнаго слоя; если мы спустимся съ сѣчениемъ AE ниже нейтральнаго слоя, тогда въ составъ алгебраической суммы ΣX будутъ входить уже не только силы растяженія со знакомъ плюсъ, но и силы сжатія—со знакомъ минусъ; а когда съ сѣчениемъ AE спустимся до крайняго нижняго волокна $F'G'$, тогда ΣX обратится въ нуль, п. ч. и вѣшняя нагрузка, и внутреннія силы растяженія и сжатія, взятая въ суммѣ для всего поперечнаго сѣченія, никакой проекціи на ось Ox не даютъ. Поэтому, **мах** силы сдвига при сгибаніи всегда долженъ имѣть мѣсто въ продольной плоскости согнутаго бруса, совпадающей съ его нейтральнымъ слоемъ, и опять—независимо ни отъ формы сѣченія бруса, ни отъ способа его нагруженія.

Этимъ элементарнымъ путемъ мы получили, слѣд, представленіе какъ о происхожденіи сопротивленія сдвига въ продольныхъ плоскостяхъ согнутаго бруса, такъ отчасти уже и о самомъ распредѣленіи силъ сопротивленія между его продольными плоскостями, обнаружили, что крайніе, наиболее удаленные отъ нейтральнаго слоя, элементы сѣченія совсѣмъ не испытываютъ напряженія сдвига, и что по продольному сѣченію бруса, совпадающему съ его нейтральнымъ слоемъ, распредѣляется максимальная тангенціальная сила.

35. Значеніе силъ сопротивленія сдвига въ поперечныхъ и продольныхъ плоскостяхъ согнутаго бруса. Согнутый брусъ д. б. крѣпокъ по отношенію къ сдвигу, какъ въ его поперечныхъ плоскостяхъ, такъ и продольныхъ.

Въ силу этого, напр, въ деревянныхъ брускахъ избѣгаютъ направлять дѣйствіе сгибающей нагрузки параллельно направленію волоконъ бруса (фиг. 173), какъ потому, что дерево въ поперечномъ направленіи оказываетъ весьма слабое сопротивленіе растяженію, такъ и потому, что сопротивленіе сдвигу по направленію волоконъ у дерева также весьма незначительно.

Точно также и отъ металлической балки, составленной въ длину изъ нѣсколькихъ отдѣльныхъ частей, требуется, чтобы въ плоскостяхъ поперечнаго стыка была достаточная крѣпость не только по отношенію къ сгибающему моменту, но также и по отношенію къ силамъ сдвига.

Если въ области сжатыхъ волоконъ согнутаго бруса сдѣлаемъ надрѣзъ km (фиг. 171) так. обр., чтобы передача сжимающаго дѣйствія силы P могла свободно происходить справа налѣво, брусъ могъ бы и послѣ этого надрѣза выдерживать ту же величину сгибающаго момента, что и прежде, но по отношенію къ сдвигу въ поперечномъ сѣченіи онъ можетъ оказаться недостаточно крѣпкимъ.

Сдѣлаемъ подобные же надрѣзы въ продольномъ направленіи. Пусть имѣемъ брусъ, съ прямоугольнымъ поперечнымъ сѣченіемъ, защемленный однимъ концомъ въ стѣнѣ и нагруженный сосредоточеннымъ грузомъ P . Посмотримъ какой сгибающій моментъ можно передать на цѣлый брусъ и на брусъ, разрѣзанный въ продольномъ направленіи. Размѣры поперечнаго сѣченія цѣлаго бруса $a \times h$. Плоскости продольнаго разрѣза дѣлятъ высоту на n равныхъ частей. Эффектъ сгибанія цѣлаго и разрѣзаннаго бруса представленъ на фиг. 174, I , II , III : здѣсь I изображаетъ цѣлый брусъ до сгибанія, II — цѣлый брусъ послѣ сгибанія, его конечное поперечное сѣченіе остается послѣ сгибанія плоскимъ и нормальнымъ къ упругой линіи въ точкѣ A ; III представляетъ сгибаніе разрѣзаннаго бруса, конечныя поперечныя сѣченія его остаются тоже плоскими и нормальными каждое къ своей упругой линіи, а потому они будутъ сдвинуты одно относительно другаго; на каждомъ продольномъ стыкѣ двухъ смежныхъ частей разрѣзаннаго бруса здѣсь соприкасаются теперь уже элементы съ разноименными напряжениями, — у верхней части эго будутъ сжатые элементы, а у нижней — растянутые. Въ поперечномъ сѣченіи цѣлаго бруса II нейтральнымъ слоемъ будетъ ось y , поэтому моментъ инерціи и модуль сопротивленія сѣченія будутъ писаться такъ:

$$I = \frac{a \cdot h^3}{12}; \quad e = \frac{h}{2}; \quad W = \frac{I}{e} = \frac{a \cdot h^2}{6}$$

Сгибающій моментъ, который можно передать на цѣлый брусъ, будетъ:

$$M = B \cdot W = B \cdot \frac{a \cdot h^2}{6} = P \cdot l$$

Если безопасную нагрузку для бруса III , разрѣзаннаго вдоль, обозначимъ чрезъ P_1 и допустимъ, что на каждую изъ частей передается нагрузка $P_1 : n$, тогда послѣ сгибанія такого бруса въ поперечномъ сѣченіи каждой изъ частей эго будетъ свой нейтральный слой y_1 (фиг. 174, III); размѣры сѣченія — $a \times \frac{h}{n}$, моментъ инерціи и модуль сопротивленія сѣченія будутъ:

$$I_1 = \frac{a}{12} \cdot \left(\frac{h}{n}\right)^3; \quad e_1 = \frac{1}{2} \cdot \frac{h}{n}; \quad W_1 = \frac{a}{6} \cdot \left(\frac{h}{n}\right)^2$$

Сгибающій моментъ, который можно передать на брусъ, продольно разрѣзанный на n отдѣльныхъ частей горизонтальными плоскостями, будетъ:

$$M_1 = P_1 \cdot l = n \cdot \left(\frac{P_1}{n} \cdot l\right) = n \cdot B \cdot W_1, \text{ или}$$

$$M_1 = \frac{1}{n} \cdot B \cdot \frac{a \cdot h^2}{6} = \frac{1}{n} \cdot M,$$

т. е. разрѣзаніе прямоугольнаго бруса продольными горизонтальными

Найдемъ силы Q и Q_1 ; каждая изъ нихъ представляетъ собою алгебраическую сумму элементарныхъ силъ растяженія, одна на площади AC , другая—на площади A_1C_1 .

Пусть напряженія крайнихъ элементовъ A и A_1 будутъ H и H_1 , а напряженія на произвольномъ разстоянїи z отъ нейтральнаго слоя— h и h_1 , тогда мы имѣемъ:

$$\frac{h}{H} = \frac{h_1}{H_1} = \frac{z}{e} \dots \dots \dots \text{б.}$$

На площади обрѣза KLN выдѣлимъ элементъ площади dF , проведя двѣ бесконечно близкія параллели на разстоянїи dz одна къ другой; тогда элементъ площади

$$dF = 2y \cdot dz \dots \dots \dots \text{в;}$$

его можно принимать испытывающимъ одно и то же напряженіе h —на плоскости AC и h_1 —на плоскости A_1C_1 ; элементарная сила растяженія слѣва отъ AC будетъ $h \cdot dF$, а ихъ сумма

$$Q = \Sigma h \cdot dF;$$

точно также элементарная сила растяженія справа отъ A_1C_1 будетъ $h_1 \cdot dF$, а ихъ сумма

$$Q_1 = \Sigma h_1 \cdot dF.$$

$$Q = \int_f^e H \cdot \frac{z}{e} \cdot 2y \cdot dz = \frac{H}{e} \cdot U \dots \dots \dots \text{г,}$$

гдѣ

$$U = \int_f^e 2y \cdot z \cdot dz \dots \dots \dots \text{д.}$$

Величина U представляетъ собою *статическій моментъ площади обрѣза*, взятый относительно нейтральной линїи O_2y .

Совершенно подобнымъ же образомъ получимъ

$$Q_1 = \frac{H_1}{e} \cdot U.$$

Величина U здѣсь будетъ та же самая, что и въ выраженїи Q , т. е. обѣ площади обрѣза AC и A_1C_1 одинаковы. Поэтому мы получимъ:

$$Ж = U \cdot \frac{H - H_1}{e} \dots \dots \dots \text{а,}$$

т. е. сила сдвига въ продольной горизонтальной плоскости согнутаго бруса между двумя данными поперечными сѣченїями равна статическому моменту площади обрѣза относительно нейтральной линїи, умноженному на дробь, у которой числитель есть разность напряженій въ крайнихъ точкахъ двухъ данныхъ сѣченій, а знаменатель—

разстояніе этихъ крайнихъ точекъ отъ нейтральнаго слоя. Такъ обр. мы видимъ, что величина силы сдвига будетъ зависѣть съ одной стороны отъ формы поперечнаго сѣченія бруса, съ другой — отъ положенія разсматриваемаго продольнаго сѣченія, и съ третьей наконецъ — отъ закона распредѣленія напряженій между крайними точками бруса, наиболѣе удаленными отъ нейтральнаго слоя.

Введемъ въ ф-лу **A** выраженія M и M_1 сгибающихъ моментовъ въ сѣченіяхъ AC и A_1C_1 (см. ф-лу **9, a** въ § 4):

$$M = \frac{H \cdot I}{e}; \quad M_1 = \frac{H_1 \cdot I}{e}, \quad \text{тогда}$$

$$Ж = U \cdot \frac{M - M_1}{I} \dots \dots \dots \text{Б,}$$

т. е. отношеніе разности напряженій въ крайнихъ точкахъ двухъ данныхъ сѣченій къ разстоянію этихъ точекъ отъ нейтральнаго слоя можетъ быть замѣнено въ выраженіи силы сдвига отношеніемъ разности сгибающихъ моментовъ въ двухъ данныхъ поперечныхъ сѣченіяхъ къ моменту инерціи **ВСЕГО** поперечнаго сѣченія бруса относительно нейтральной линіи.

Выраженіе **Б** показываетъ намъ, что при разныхъ способахъ нагруженія бруса законъ измѣненія силы сдвига между двумя произвольно взятыми поперечными сѣченіями его намъ всегда будетъ указывать кривая сгибающихъ моментовъ бруса.

Если кривая сгибающихъ моментовъ не будетъ прямою, ||-ю оси бруса, тогда на опредѣленной длинѣ CC_1 величина $Ж$ будетъ переменною въ разныхъ мѣстахъ по длинѣ бруса.

Пусть $ж$ будетъ величина *продольной силы сдвига*, отнесенной къ единицѣ длины бруса въ продольномъ его сѣченіи. Если предположимъ (фиг. 175), что разстояніе $CC_1 = dx$, т. е. оба поперечныхъ сѣченія AO и A_1O_1 взяты на бесконечно близкомъ разстояніи другъ отъ друга, тогда

$$Ж = ж \cdot dx; \quad M - M_1 = dM,$$

и ф-ла **Б** приметъ видъ:

$$ж \cdot dx = U \cdot \frac{dM}{I}, \quad \text{или}$$

$$ж = \frac{U}{I} \cdot \frac{dM}{dx} = \frac{U \cdot V}{I} \dots \dots \dots \text{В,}$$

т. е. **СИЛА СДВИГА** въ продольной горизонтальной плоскости согнутаго бруса, отнесенная къ единицѣ длины, равна статическому моменту площади обрѣза, умноженному на отношеніе стѣкающаго усилія къ моменту инерціи **ВСЕГО** сѣченія бруса.

Слѣд., въ балкахъ нагруженныхъ сосредоточенными грузами, величина $ж$ будетъ постоянной между точками приложенія силъ, а въ балкахъ съ равномерной нагрузкой $ж$ будетъ равномерно возрастать

по мѣрѣ удаленія отъ сѣченія, имѣющаго аналитическій *max* или *min* момента.

При практическомъ примѣненіи ф-ль **Б** и **В** нерѣдко дѣлають ошибку: берутъ вмѣсто I моментъ инерціи площади обрѣза, а нужно брать моментъ инерціи *всего* сѣченія бруса относительно нейтральной линіи, а если онъ сросщенный изъ нѣсколькихъ брусевъ, то — полной площ. сѣченія ихъ

Опредѣлимъ теперь *напряженіе сдвига* въ произвольномъ мѣстѣ данной продольной плоскости согнутаго бруса. Пусть оно будетъ T . Для этого представимъ себѣ, что поперечныя плоскости AC и A_1C_1 (фиг. 175) отстоятъ на разстояніи *единицы* одна отъ другой. Тогда въ плоскости CC_1 будетъ дѣйствовать сила $ж$, и она будетъ распределяться по площади $CC_1 \times 2.b$, т. е. по площади $2.b$, п. ч. $CC_1 = 1$

Величину единицы длины мы можемъ всегда выбрать произвольно-малой, т. е. такой, на протяженіи которой величину T можно считать постоянною; при такихъ условіяхъ

$$ж = T \cdot 2.b = \frac{U.V}{I}, \text{ или}$$

$$T = \frac{U.V}{2.b.I} \quad . \quad . \quad . \quad \Gamma,$$

т. е. тангенціальное напряженіе въ продольной горизонтальной плоскости согнутаго бруса равно дроби, у которой числитель есть произведение статическаго момента площади обрѣза на стѣкущее усиле въ данномъ сѣченіи, а знаменатель — произведение момента инерціи **ВСЕГО** поперечнаго сѣченія бруса на ширину площади обрѣза въ данной продольной плоскости.

Для полученія расчетнаго ур-ня на сдвигъ при сгибаніи, надо найти *max* T и сдѣлать его равнымъ или меньшимъ допускаемаго при сдвигѣ напряженія S .

Выведенныя въ этомъ параграфѣ ф-лы **А** (или **Б**), **В** и **Г** и являются основными, рѣшающими вопросъ о силахъ сдвига при сгибаніи

37. Алгебраическая сумма силъ сдвига въ поперечномъ сѣченіи согнутаго бруса. Мы знаемъ, что эта алгебраическая сумма всегда должна равняться сѣкущему усилію даннаго сѣченія, какой бы ни былъ видъ поперечнаго сѣченія бруса и способъ нагруженія балки. Нужно, слѣд., доказать, что выведенныя нами ф-лы неизбѣжно приведутъ насъ именно къ этому результату

При точкѣ C (фиг. 175) въ согнутомъ брусѣ выдѣлимъ элементарный параллелепипедъ, покрытый на чертежѣ штрихами накрестъ и имѣющій размѣры

$$2.b \times dz \times dx.$$

Разсматривая перекашивание этого п-да мы можем сказать, что на боковых перекашиваемых гранях его будет одно и то же напряжение сдвига T ; поэтому при точкѣ C , какъ въ продольномъ направлении согнутаго бруса, такъ и въ поперечномъ, будетъ существовать одна и та же величина силы сдвига $ж$, приходящейся на единицу длины; на длинѣ dz по вертикальному направлению она будетъ $ж \cdot dz$, а на всей рассматриваемой площади обрѣза KLN она будетъ

$$R = \sum_f^e ж \cdot dz = \frac{V}{I} \cdot \sum_f^e U \cdot dz$$

Сдѣлаемъ въ этомъ выраженіи размѣръ f переменнымъ, положивъ его равнымъ z , т. е. будетъ перемѣщать линію KN и мѣнять размѣръ площади обрѣза. Тогда

$$R = \frac{V}{I} \cdot \int_z^e U \cdot dz = \frac{V}{I} \left[z \cdot U - \int z \cdot dU \right]_z^e$$

Пользуясь выраженіемъ d (§ 36), мы напишемъ, что

$$U = \int_z^e z \cdot dF, \text{ поэтому}$$

$$dU = -z \cdot dF.$$

$$R = \frac{V}{I} \cdot \left[z \cdot U + \int z^2 \cdot dF \right]_z^e$$

Такъ выражается алгебраическая сумма силъ сдвига, распределенныхъ по произвольной плоскости обрѣза KLN (фиг. 175) Если мы пожелаемъ слѣвать плоскостью обрѣза всю площадь поперечнаго сѣченія, тогда нужно положить $z = -e_1$, т. е. распространить интегрирование на всю площадь сѣченія; но при этомъ мы найдемъ, что

$$\int_{-e_1}^e z^2 \cdot dF = I,$$

т. е. этотъ интегралъ обратится въ моментъ инерціи всего сѣченія бруса, а

$$U = \int_{-e_1}^e z \cdot dF = \bar{z} \cdot F = 0 \dots \dots \dots g,$$

т. к. координата \bar{z} центра тяжести всего сѣченія бруса будетъ здѣсь равна нулю; а потому

$$\text{при } z = -e_1 \dots \dots R = V$$

38. Разсчетное ур-іе на сдвигъ при сгибаніи. а) Общая соображенія. Какія бы ни были форма поперечнаго сѣченія согнутаго бруса и способъ его нагруженія извнѣ, необходимо въ каждомъ отдѣльномъ

случаѣ найти тангенціальное напряженіе T , опредѣлить его \max и сдѣлать $\max T$ равнымъ или меньшимъ допускаемаго при сдвигѣ напряженія S . Разсматривая ф-лу Γ (§ 36), мы видимъ, что $\max T$ получится тогда, когда мы внесемъ въ эту ф-лу $\max V$; кромѣ того,

$$\max \frac{U}{2b \cdot I} = \frac{\beta}{F},$$

гдѣ F есть площадь всего поперечнаго сѣченія бруса, а β —нѣкоторый коэф., зависящій исключительно отъ формы и размѣровъ поперечнаго сѣченія согнутаго бруса. Слѣд ,

$$\max T \cong \frac{\max V \cdot \beta}{F}$$

Эта ф-ла при каждомъ способѣ нагруженія балки должна быть относима къ сѣченію, въ которомъ сѣкущее усиліе V имѣетъ значеніе \max , т. е. къ опасному сѣченію относительно сдвига. Если это помнить, тогда расчетное ур-іе на сдвигъ при сгибани можно писать такъ:

$$S = \text{или болѣе } \frac{\beta \cdot V}{F} \dots \dots \dots Д.$$

Эта основная ф-ла отличается отъ обычно употребляемой при расчетѣ на сдвигъ (см. ф-лу 80 въ § 50, часть I-я) только присутствіемъ во 2-й части коэф. β , величину котораго и нужно теперь найти для сѣченій, наиболѣе часто встрѣчающихся при практическихъ примѣненіяхъ.

б) *Прямоугольное сѣченіе балки.* (фиг. 176). Размѣры сѣченія $a \times h$. Площадь обрѣза $KLMN$. Ея статическій моментъ будетъ

$$U = \int_z^e z \cdot dF = \int_z^e z \cdot a \cdot dz = a \cdot \frac{e^2 - z^2}{2}$$

То же самое выраженіе можно написать и непосредственно по теоремѣ о центрѣ тяжести, т. к.

$$U = F_{n.k} \cdot \bar{z}, \text{ гдѣ } F_{n.k} = a \cdot (e - z); \bar{z} = \frac{e + z}{2}$$

Умножая величину площади KM на разстояніе ц. т. ея отъ нейтральной оси и получимъ то же самое выраженіе U , что и ранѣе. Въ выраженіе T входятъ затѣмъ величины

$$2b = a; I = \frac{a \cdot h^3}{12}, \text{ поэтому } T = V \cdot a \cdot \frac{e^2 - z^2}{2}; a \cdot \frac{a \cdot h^3}{12} = \frac{6V}{a \cdot h} \cdot \frac{e^2 - z^2}{h^2} \dots \dots \dots i.$$

Эта ф-ла показывает, что кривая тангенциальных напряжений будет параболою *mpr* (фиг. 176):

при $z = +e \dots T = 0 \dots$ на линии LM

при $z = -e \dots T = 0 \dots$ „ „ $L_1 M_1$

Перемена z съ $(+z)$ на $(-z)$ не изменяет величину T , поэтому нейтральная линия Oy будет осью параболы.

При $z = 0$, т. е. въ нейтральномъ слоѣ, получимъ

$$\max T = T_0 = \frac{6V}{a \cdot h} \cdot \frac{e^2}{h^2} = \frac{6V}{F} \cdot \left(\frac{1}{2}\right)^2 = \frac{3}{2} \cdot \frac{V}{F}$$

Так. обр. здѣсь $\beta = \frac{3}{2}$, и расчетное ур-іе прямоугольнаго бруса будетъ:

$$S = \text{или болѣе } \frac{3}{2} \cdot \frac{V}{F} \dots \dots \dots 3.$$

в) *Эллиптическое и круглое сѣчене балки.* Полуоси эллипса (фиг. 177) — a и b . Ур-іе его

$$\frac{y^2}{b^2} + \frac{z^2}{a^2} = 1, \text{ поэтому}$$

$$\frac{2y \cdot dy}{b^2} + \frac{2z \cdot dz}{a^2} = 0; 2z \cdot dz = -\frac{a^2}{b^2} \cdot 2y \cdot dy$$

$$U = \int_z^e 2y \cdot z \cdot dz = - \int_y^0 y \cdot \frac{a^2}{b^2} \cdot 2y \cdot dy = + \frac{2a^2}{b^2} \cdot \int_0^y y^2 \cdot dy$$

$$U = \frac{2a^2}{b^2} \cdot \frac{y^3}{3}$$

Моментъ инерци сѣченя эллипса (см. ф-лу 21, § 9, II ч.):

$$I = \frac{\pi}{4} \cdot b \cdot a^3$$

Напряженіе сдвига (см. ф-лу Γ въ § 36) будетъ

$$T = V \cdot \frac{2a^2}{b^2} \cdot \frac{y^3}{3} : 2y \cdot \frac{\pi}{4} \cdot b \cdot a^3 = \frac{4}{3} \cdot \frac{V}{\pi \cdot a \cdot b} \cdot \frac{y^2}{b^2}$$

Но $\pi \cdot a \cdot b = F; \frac{y^2}{b^2} = \frac{a^2 - z^2}{a^2}$

$$T = \frac{4}{3} \cdot \frac{V}{F} \cdot \frac{a^2 - z^2}{a^2}$$

И здѣсь кривая напряжений будетъ параболою *mpr* (фиг. 177):

при $z = +a \dots T = 0 \dots$ точка L

при $z = -a \dots T = 0 \dots$ „ „ L_1

$$\max T = T_0 = \frac{4}{3} \cdot \frac{V}{F}$$

Слѣд., здѣсь коэф. $\beta = \frac{4}{3}$, и расчетное ур-е эллиптического или круглаго бруса будетъ:

$$S = \text{или болѣе } \frac{4}{3} \cdot \frac{V}{F} \dots \dots \dots \text{Ж.}$$

Въ случаѣ круглаго сѣченія, когда $a = b = r$, статическій моментъ площади обрѣза относительно діаметра круга получится равнымъ

$$U = \frac{2}{3} \cdot y^3 = \frac{2}{3} [r^2 - z^2]^{\frac{3}{2}}$$

При употребленіи сложныхъ балокъ, составленныхъ изъ двухъ брусевъ, скрѣпленныхъ между собою и сопротивляющихся, какъ одно цѣлое, нейтральный слой часто не совпадаетъ съ діам. круга, а является хордою $O_1 y_1$ (фиг. 178), отстоящею отъ діаметра на разстояніе c . Посмотримъ, какъ выразится въ этомъ случаѣ статическій моментъ U_1 площади обрѣза F_1 , покрытой штрихами на фиг. 177. Прежнія координаты линіи KN относительно осей yOz были y, z , новыя же координаты относительно осей $y_1 O_1 z$ будутъ y_1, z_1 , причемъ

$$y = y_1; z = z_1 + c.$$

$$y^2 + (z_1 + c)^2 = r^2; 2y \cdot dy + 2(z_1 + c) \cdot dz_1 = 0.$$

Статическій моментъ U_1 относительно оси $O_1 y_1$ напишется такъ:

$$U_1 = \int_{z_1}^{r-c} 2y \cdot z_1 \cdot dz_1 = -2 \int_y^c y^2 \cdot dy - c \int_{z_1}^{r-c} 2y \cdot dz_1$$

$$U_1 = \frac{2}{3} \cdot y^3 - c \cdot F_1 = U - c \cdot F_1 \dots \dots \dots \text{К,}$$

т. е. статическій моментъ площади обрѣза для круглаго сѣченія, взятый относительно хорды, равняется статическому моменту той же площади, взятому относительно діаметра, параллельнаго хордѣ, безъ произведенія площади обрѣза на разстояніе хорды отъ діаметра.

в) *Двутавровое сѣченіе балки* (фиг. 179). Размѣры сѣченія —

$$h \times a \times h_1 \times a_1$$

Для продольнаго сѣченія KN на разстояніи z отъ нейтральнаго слоя статическій моментъ площади будетъ

$$U = a \cdot (e - z) \cdot \frac{e + z}{2} = a \cdot \frac{e^2 - z^2}{2}; 2b = a$$

Но ф-лѣ Г (см. § 36) будемъ имѣть.

$$T = V \cdot \frac{e^2 - z^2}{2I} \dots \dots \dots \text{Л.}$$

Въ этой ф-лѣ z м. б. измѣняемъ отъ $z = e_1$ до $z = e$.

Въ точкѣ m , при $z = e = \frac{h}{2} \dots T = 0$

Въ точкѣ c , когда $\min z = e_1 = \frac{h_1}{2} \dots \max T = V \cdot \frac{e^2 - e_1^2}{2I}$

Не нужно думать, что парабола $m O_1 p$, представляемая ур-іемъ л, будетъ та же самая, которая была бы въ случаѣ прямоугольнаго сѣченія балки съ размѣрами $a \times h$: въ обоихъ этихъ случаяхъ величина I будетъ совершенно различна. Здѣсь мы будемъ имѣть

$$I = \frac{a \cdot h^3 + (a - a_1) h_1^3}{12},$$

тогда какъ въ случаѣ прямоугольнаго сѣченія имѣли бы одно только первое слагаемое въ выражении I .

Для сѣченія $K_1 N_1$ на разстояніи z_1 отъ нейтральнаго слоя статическій моментъ площади будетъ писаться такъ (см. случай b этого §).

$$U_1 = a \cdot \frac{e^2 - e_1^2}{2} + a_1 \cdot \frac{e_1^2 - z_1^2}{2} = \frac{a_1}{2} \left[\frac{a \cdot e^2}{a_1} - \frac{a - a_1}{a_1} \cdot e_1^2 - z_1^2 \right]$$

Если въ скобѣ послѣдняго выраженія прибавимъ и вычтемъ e^2 , тогда получимъ:

$$U_1 = \frac{a_1}{2} \left[\frac{a - a_1}{a_1} (e^2 - e_1^2) + e^2 - z_1^2 \right]$$

Въ ф-лу Γ (§ 36) надо будетъ внести теперь $2b = a_1$

$$T_1 = \frac{V}{2I} \left[(e^2 - z_1^2) + \frac{a - a_1}{a_1} (e^2 - e_1^2) \right]$$

Обозначимъ чрезъ

$$n^2 = \frac{a - a_1}{a_1} \cdot (e^2 - e_1^2).$$

Это выраженіе всегда будетъ положительно, т. к. въ двутавровомъ сѣченіи $a > a_1$ и $e > e_1$, поэтому

$$\left. \begin{aligned} T_1 &= T + T_2, \text{ гдѣ} \\ T_2 &= V \cdot \frac{a - a_1}{a_1} \cdot \frac{e^2 - e_1^2}{2I} \end{aligned} \right\} \dots \dots \dots \mathbf{E}$$

Т. к. величина T_2 не зависитъ отъ z_1 , то графически полученный нами результатъ будетъ выражать собою, что парабола $m O_1 p$ (фиг. 179) напряженій T и парабола $c_2 n d_2$ будутъ эквидистантны: на всей высотѣ h_1 разность между ихъ абсциссами будетъ одна и та же, а именно:

$$T_2 = c_1 c_2 = O_1 n = d_1 d_2.$$

Макс $T_1 = T_0$ получимъ, сдѣлавъ $z_1 = 0$, т. е. въ нейтральномъ слоѣ:

$$T_0 = \frac{V}{2I} \cdot \left[\frac{a}{a_1} \cdot e^2 - \frac{a - a_1}{a_1} \cdot e_1^2 \right] = \frac{\beta \cdot V}{F}, \text{ гдѣ}$$

$$\beta = \frac{F}{2I} \left(\frac{a}{a_1} \cdot e^2 - \frac{a - a_1}{a_1} \cdot e_1^2 \right) \dots \dots \dots \text{ м}$$

Разсчетное ур-е на сдвигъ двутавровой балки будетъ

$$S = \text{или болѣе } \beta \cdot \frac{V}{F} \dots \dots \dots \text{ L}$$

Вычисляя по ф-лѣ м величины коэф. β для сѣченій двутавровыхъ желѣзныхъ прокатныхъ балокъ, получимъ:

для сѣченія балки № 10	$\beta = 33,3$
" " " № 20	$\beta = 40,5$
" " " № 30	$\beta = 46,2$
" " " № 40	$\beta = 52,6$

Так. обр. мы видимъ, что здѣсь величины β значительно отличаются отъ тѣхъ, которыя мы имѣли для сѣченій прямоугольнаго и круглаго, а потому провѣрка сѣченій двутавровыхъ балокъ относительно сдвига въ нейтральномъ слоѣ всегда является настоятельно необходимою.

д) *Крестообразное сѣченіе балки.* Если при крестообразномъ сѣченіи (фиг. 180) сдѣлать ту же разстановку размѣровъ, что и при двутавровомъ (фиг. 179), тогда выводъ, сдѣланный для двутавроваго сѣченія по существу дѣла м. б отнесенъ также и къ крестообразному сѣченію. Разница будетъ только въ томъ, что здѣсь $a < a_1$, а потому T_2 будетъ отрицательно, и кривая напряженій T_1 въ видѣ параболы $c_2 n d_2$ будетъ расположена *внутри* параболы $m O_1 p$ (фиг. 180).

Если крестообразное сѣченіе будетъ составлено изъ 4-хъ угольниковъ, то при разчетѣ ихъ скрѣпленій, опредѣляя тангенціальную силу по ф-лѣ Б (см. § 36), надо будетъ внести въ нее статическій моментъ полукреста, т. е. написать, что

$$W = \frac{M - M_1}{I} \left[a \cdot \frac{e^2 - e_1^2}{2} + a_1 \cdot \frac{e_1^2}{2} \right]$$

Вопросы для повторенія главы о сгибаніи тѣлъ.

Какъ происходитъ явленіе сгибанія. Что такое нейтральный слой, какъ онъ располагается, что будетъ съ нимъ, если направленіе дѣйствія нагрузки измѣнится, повернувшись относительно первоначальнаго на уголъ 180°? Вытяжка и усадка продольныхъ линій согнутаго бруса; ихъ напряженіе. Зачѣмъ требуется у сѣченія по крайней мѣрѣ одна ось симметріи? Какое положеніе должна занимать нагрузка относительно плоскости симметріи тѣла? Можетъ ли это направленіе быть повернуто на уголъ 180°, 90°, 60°, 45°, на произвольный уголъ, и когда можетъ? Какъ пользуются въ практикѣ сѣченіями безъ осей симметріи, примѣняя къ нимъ изложенную теорію. Что такое сгибающій *мом.*, сѣкущее усиліе? Какъ пишется зависимость между рад. кривизны сѣченія и сгиб. *мом.*, расчетное уравненіе? Какъ пишутся моменты инерціи и модули для сѣченій прямоугольнаго сплошнаго и полаго, двутавроваго, круглаго сплошнаго и полаго, эллиптическаго? Въ чемъ заключается теорема Шведлера? Что выражаетъ собою знакъ сѣкущаго усилія, какимъ образомъ возможно измѣнить его на обратный, оставаясь въ томъ же сѣченіи и съ тою же нагрузкою? Какъ пишется дифференціальное уравненіе упругой линіи и выбираются его знаки? Какъ пишется интегральное уравненіе упругой линіи? Указать по атласу опасное сѣченіе и написать расчетное ур-іе согнутой балки въ основныхъ случаяхъ нагруженія, чаще всего встрѣчающихся въ практикѣ: фиг. 103, 106, 109, 111, 114, 115, 116, 117, 118, 119, 120, 126, 127, 138. Какъ измѣняется величина безопасной нагрузки при переходѣ отъ одного случая нагруженія къ другому (нужно знать эти числовыя данныя наизусть (въ разбивку). Указать случаи нагруженія, при которыхъ упругая линія имѣетъ точки перегиба, при которыхъ опасное сѣченіе не одно, а 2, 3, 4

Согнутый брусъ, разрѣзанный на части продольными горизонтальными и вертикальными плоскостями; его крѣпость и стрѣла прогиба. *Max* и *min* напряженія сдвига въ продольныхъ плоскостяхъ согнутаго бруса; расчетное ур-іе на сдвигъ при сгибаніи.

Указать по атласу, гдѣ находится при каждомъ способѣ нагруженія то сѣченіе, въ которомъ имѣется *max M*, *min M*, *max V*, *min V*, гдѣ $M=0$, гдѣ тангенціальное напряженіе во всѣхъ точкахъ сѣченія равно нулю.

С В О Д Ъ

формулъ и главнѣйшихъ данныхъ изъ главы о сгибаніи.

$$\left. \begin{array}{l} \text{Вытяжка (усадка)} \\ \text{продольной линіи.} \end{array} \right\} = \frac{\text{Разстояніе линіи отъ нейтраль-}}{\text{наго слоя.}} \left. \begin{array}{l} \text{Радіусъ кривизны сѣченія.} \\ i = z : r \dots \dots \end{array} \right\} \dots \dots \begin{array}{l} 1. \\ \S 2. \end{array}$$

$$\left. \begin{array}{l} \text{Напряженіе продоль-} \\ \text{ной линіи (кг. на кв.} \\ \text{мм.).} \end{array} \right\} = \text{Кoeffициентъ упру-} \times \left. \begin{array}{l} \text{Вытяжка (усадка) ли-} \\ \text{ности 1-го рода.} \\ \text{ніи} \end{array} \right\} \begin{array}{l} 2. \\ \S 2 \end{array}$$

$$h = E \cdot i \dots \dots \dots$$

$$\left. \begin{array}{l} \text{Max сгибающаго} \\ \text{мом (к. - мм.)} \end{array} \right\} = \frac{\text{Коэффициент упру-} \times \text{Моментъ инерци} \\ \text{гости 1-го рода} \quad \times \quad \text{сѣченія}}{\text{Радиусъ кривизны сѣченія}} \left. \vphantom{\frac{\text{Коэффициент упру-}}{\text{Радиусъ кривизны сѣченія}}} \right\} \begin{array}{l} \text{9.} \\ \text{§ 3} \end{array}$$

$$M = \frac{E \cdot I}{r}; \quad E \dots \text{к. на кв. мм.}; \quad I \dots \text{мм}^4.$$

$$\left. \begin{array}{l} \text{Модуль сопротивле-} \\ \text{нія сѣченія при сги-} \\ \text{баніи (куб. мм.)} \end{array} \right\} = \frac{\text{Моментъ инерци сѣченія относитель-} \\ \text{но нейтральной линіи въ мм}^4}{\text{Разстояніе крайнихъ точекъ сѣченія} \\ \text{отъ нейтральной линіи въ мм.}} \left. \vphantom{\frac{\text{Моментъ инерци сѣченія}}{\text{Разстояніе крайнихъ точекъ сѣченія}}} \right\} \dots \begin{array}{l} \text{12.} \\ \text{§ 4.} \end{array}$$

$$W = I : e \dots \dots \dots$$

$$\left. \begin{array}{l} \text{Допускаемое напря-} \\ \text{женіе при сгибаніи} \\ \text{(к. на кв. мм.)} \end{array} \right\} \geq \frac{\text{Max сгибающаго момента въ к. - мм}}{\text{Модуль сопротивленія въ мм}^3} \left. \vphantom{\frac{\text{Max сгибающаго момента}}{\text{Модуль сопротивленія}}} \right\} \begin{array}{l} \text{10; 11.} \\ \text{§ 4.} \end{array}$$

$$B_1 \geq M : W_1; \quad B_2 \geq M : W_2$$

$$\left. \begin{array}{l} \text{Модуль сопротивленія} \\ \text{прямоугольнаго сѣ-} \\ \text{ченія въ мм}^3. \end{array} \right\} = \frac{\frac{1}{6} \times \text{стороны, ||-й нейтральному}}{\text{слою} \times \text{квадратъ стороны, } \perp \text{-й ней-}} \left. \vphantom{\frac{\frac{1}{6} \times \text{стороны}}{\text{слою}}}} \right\} \dots \begin{array}{l} \text{16.} \\ \text{§ 5.} \end{array}$$

$$W = \frac{a \cdot h^2}{6} \dots \dots \dots$$

$$\left. \begin{array}{l} \text{Модуль сопротивле-} \\ \text{нія сплошнаго круг-} \\ \text{лаго сѣченія въ мм}^3. \end{array} \right\} = \frac{\pi}{32} \times \text{Диаметръ сѣченія въ кубѣ.}} \left. \vphantom{\frac{\pi}{32} \times \text{Диаметръ сѣченія}} \right\} \dots \begin{array}{l} \text{19.} \\ \text{§ 8.} \end{array}$$

$$W = \frac{\pi}{32} \cdot d^3 = \text{около } 0,1 \cdot d^3 \dots$$

$$\left. \begin{array}{l} \text{Модуль сопротивле-} \\ \text{нія эллиптическаго} \\ \text{сѣченія въ мм}^3. \end{array} \right\} = \frac{\pi}{32} \times \text{длина оси, совпадающей съ}} \left. \vphantom{\frac{\pi}{32} \times \text{длина оси}} \right\} \dots \begin{array}{l} \text{21.} \\ \text{§ 9.} \end{array}$$

$$\text{нейтральнымъ слоемъ} \times \text{квадратъ} \\ \text{длины оси, } \perp \text{ нейтр слою.}$$

$$W = \frac{\pi}{4} \cdot a \cdot b^2 = \frac{\pi}{32} (2a) \cdot (2b)^2$$

Сѣкущее усиліе въ } = Алгебраическая сумма всѣхъ силъ по одну сто-
данномъ сѣченіи. } рону даннаго сѣченія, включая въ ихъ число и
сопротивленія опоръ, расположенныхъ съ той же
стороны.

$$\left. \begin{array}{l} \text{Сѣкущее усилие въ} \\ \text{данномъ сѣченіи} \end{array} \right\} = \left. \begin{array}{l} \text{Первая производная отъ сгибающаго} \\ \text{момента по абсциссѣ сѣченія,} \\ V = \frac{dM}{dx} \dots \dots \dots \end{array} \right\} \dots \text{ 24; } \S \text{ 11.}$$

$$\left. \begin{array}{l} \text{Коэффициентъ диф-} \\ \text{ференциальнаго ур-ія} \end{array} \right\} = \left. \begin{array}{l} \text{Коэффициентъ упру-} \times \text{Моментъ инерціи} \\ \text{гости 1-го рода.} \quad \text{сѣченія} \\ A = E \cdot I \dots \dots \dots \end{array} \right\} \dots \text{ 25; } \S \text{ 12.}$$

$$\left. \begin{array}{l} \text{Дифференциальное} \\ \text{ур-іе упругой ли-} \\ \text{ніи} \end{array} \right\} \dots \pm A \cdot \frac{d^2 z}{dx^2} = \pm M \dots \dots \dots \text{ 26; } \S \text{ 12.}$$

Положительный сгибающій. $\left. \begin{array}{l} \dots \text{ загибаетъ} \\ \text{отъ} \end{array} \right\}$ балку въ данномъ сѣ-
 Отрицательный сгибающій $\left. \begin{array}{l} \dots \text{ разгибаетъ} \end{array} \right\}$ ченіи.

Положительный радіусъ кривизны направленъ въ сторону поло-
 жительной оси *z*-овъ.

Интегральное ур-іе упругой линіи

$$\pm A \cdot (h - a \cdot \text{tg } \alpha) = \int_0^a M \cdot y \cdot dy \dots \dots \text{ 27; } \S \text{ 14.}$$

$$\left. \begin{array}{l} \text{Сопротивленіе опоры} \\ \text{многопролетной балки} \end{array} \right\} = \left. \begin{array}{l} \text{Суммѣ сѣкущихъ усилій} \textit{справа и слева} \\ \text{отъ данной опоры.} \\ K = V_i + V_n \dots \dots \dots \end{array} \right\} \dots \text{ I. } \S \text{ 29.}$$

$$\left. \begin{array}{l} \text{Сѣкущее усилие не-} \\ \text{нагруженнаго проле-} \\ \text{та многоопорной бал-} \\ \text{ки} \end{array} \right\} = \left. \begin{array}{l} \text{Разность опорныхъ моментовъ у послѣд-} \\ \text{дующей и предыдущей опоры.} \\ \text{Длина пролета.} \\ V_n = \frac{M_n - M_{n-1}}{l} \dots \dots \dots \end{array} \right\} \dots \text{ II. } \S \text{ 30a}$$

$$\left. \begin{array}{l} \text{Сѣкущее усилие на-} \\ \text{груженнаго пролета} \end{array} \right\} = \left. \begin{array}{l} \text{Суммѣ сѣкущаго усилія ненагруженнаго} \\ \text{пролета и сопротивленія опоры, если бы} \\ \text{въ данномъ пролетѣ концы балки были} \\ \text{свободны.} \\ V_a = V_n + p \dots \dots \dots \end{array} \right\} \dots \text{ IV. } \S \text{ 30b}$$

$$\left. \begin{array}{l} \text{Стрѣла прогиба со-} \\ \text{гнутого призматиче-} \\ \text{скаго бруса.} \end{array} \right\} = \text{Коэф.} \times \frac{\text{1-я степень нагруз-} \times \text{Кубъ длины}}{\text{Коэф. упругости} \times \text{Моментъ}} \left. \vphantom{\frac{\text{1-я степень нагруз-} \times \text{Кубъ длины}}{\text{Коэф. упругости} \times \text{Моментъ}}} \right\} \\ \text{ки} \quad \text{бруса.} \quad \text{1-го рода} \quad \text{инерціи.}$$

$$f = c \cdot \frac{P \cdot l}{EI} \dots \dots \dots$$

$$\left. \begin{array}{l} \text{Безопасная стрѣла} \\ \text{прогиба бруса.} \end{array} \right\} = \text{Коэф.} \times \frac{\text{Допускаемое на-} \times \text{Квадр. длины}}{\text{Коэф. упругости} \times \text{Высота сѣче-}} \left. \vphantom{\frac{\text{Допускаемое на-} \times \text{Квадр. длины}}{\text{Коэф. упругости} \times \text{Высота сѣче-}}} \right\} \\ \text{пряженіе} \quad \text{бруса.} \quad \text{1-го рода} \quad \text{нія бруса.}$$

$$f_s = c_1 \cdot \frac{B \cdot l^2}{E \cdot (2e)} \dots \dots \dots$$

$$\left. \begin{array}{l} \text{Тангенціальная сила} \\ \text{въ продольной плос-} \\ \text{кости согнутого бру-} \\ \text{са.} \end{array} \right\} = \text{Статическій} \times \frac{\text{Разность сгибающихъ мо-}}{\text{моментъ пло-} \times \text{ментовъ между данными}} \left. \vphantom{\frac{\text{Разность сгибающихъ мо-}}{\text{моментъ пло-} \times \text{ментовъ между данными}}} \right\} \dots \text{ Б.} \\ \text{щади обрѣза} \quad \text{Моментъ инерціи сѣченія.} \quad \left. \vphantom{\frac{\text{Разность сгибающихъ мо-}}{\text{моментъ пло-} \times \text{ментовъ между данными}}} \right\} \S 36.$$

$$H = U \cdot \frac{M - M_1}{I} \dots \dots \dots$$

$$\left. \begin{array}{l} \text{Тангенціальное на-} \\ \text{пряженіе въ продоль-} \\ \text{ной или поперечной} \\ \text{плоскости согнутого} \\ \text{бруса.} \end{array} \right\} = \frac{\text{Статическій моментъ} \times \text{Сѣкущее усиліе}}{\text{Ширина площади} \times \text{Моментъ инерціи}} \left. \vphantom{\frac{\text{Статическій моментъ} \times \text{Сѣкущее усиліе}}{\text{Ширина площади} \times \text{Моментъ инерціи}}} \right\} \dots \text{ Г.} \\ \text{площади обрѣза} \quad \text{въ данномъ сѣч.} \quad \text{обрѣза} \quad \text{сѣченія.} \quad \left. \vphantom{\frac{\text{Статическій моментъ} \times \text{Сѣкущее усиліе}}{\text{Ширина площади} \times \text{Моментъ инерціи}}} \right\} \S 36.$$

$$T = \frac{U \cdot V}{2b \cdot I} \dots \dots \dots$$

$$\left. \begin{array}{l} \text{Допускаемое напря-} \\ \text{женіе на сдвигъ при} \\ \text{сгибаніи} \end{array} \right\} \geq \text{Коэф} \beta \times \frac{\text{Сѣкущее усиліе.}}{\text{Площадь поперчн. сѣчен.}} \left. \vphantom{\frac{\text{Сѣкущее усиліе.}}{\text{Площадь поперчн. сѣчен.}}} \right\} \dots \text{ Д.} \\ \left. \vphantom{\frac{\text{Сѣкущее усиліе.}}{\text{Площадь поперчн. сѣчен.}}} \right\} \S 38.$$

$$S \geq \beta \frac{V}{F} \dots \dots \dots$$

Прямоугольное сѣченіе ... $\beta = \frac{3}{2}$; круглое ... $\beta = \frac{4}{3}$; двутавровое ... $\beta =$ до 50.

Max напряженія сдвига при сгибаніи — всегда въ нейтральномъ слоѣ бруса.

Напряженіе сдвига при сгибаніи = 0

- 1) въ крайнихъ элементахъ каждаго поперечнаго сѣченія, наиболѣе удаленныхъ отъ нейтральнаго слоя;
- 2) во всѣхъ точкахъ поперечнаго сѣченія, гдѣ $V = 0$.

Е. Примѣненія теоріи сгибанія къ расчету частей машинъ и балокъ.

39. **Общій видъ расчетныхъ ур-ій.** Расчетныя ур-ія призматическаго сгибаемаго тѣла мы получили въ такомъ видѣ:

$$B = \text{или болѣе } \frac{M}{W} \dots \dots \dots \text{I (§ 4).}$$

$$S = \text{ „ „ } \beta \frac{V}{F} \dots \dots \dots \text{II (§ 38).}$$

Ур-іе I предусматриваетъ крѣпость растянутыхъ и сжатыхъ элементовъ сѣченія, наиболѣе удаленныхъ отъ нейтральнаго слоя, въ опасномъ сѣченіи призматическаго бруса, гдѣ сгибающій моментъ *M* имѣетъ свое наибольшее алгебраическое значене.

Ур-іе II предусматриваетъ крѣпость сдвига въ нейтральномъ слоѣ того поперечнаго сѣченія, гдѣ сѣкущее усиліе *V* имѣетъ свое наибольшее алгебраическое значеніе; β — коэф., зависящій отъ формы поперечнаго сѣченія.

Ур-ія I и II, какъ видно, относятся къ совершенно различнымъ точкамъ разныхъ сѣченій и должны быть удовлетворены *порознь*. Но бываютъ условія дѣйствія нагрузки, когда, удовлетворивши ур-іе I, мы имѣемъ чрезъ это ур-іе II уже само собою удовлетвореннымъ. Это бываетъ тогда именно, когда длина сгибаемаго тѣла значительно болѣе высоты его сѣченія.

Пусть допускаемыя величины напряженія для желѣза будутъ $B = 7$ и $S = 3,5$ *к. на кв. мм.* Слѣдовательно, *возможное* отношеніе напряженій сгибанія и сдвига будетъ два, а если *дѣйствительно существующее* отношеніе напряженій сгибанія и сдвига, вычисляемое при сліяніи ф-лъ I и II, будетъ равно возможному отношенію или болѣе его, тогда это укажетъ, что при этихъ условіяхъ можно вести расчетъ только по одной ф-лѣ I, а ф-лѣ II будетъ тогда само собою удовлетворена. Выразимъ это, раздѣливши I на II.

$$\frac{B}{S} = \frac{M}{V} \cdot \frac{F}{W \cdot \beta} = \text{или болѣе } 2 \dots \dots \dots \text{а.}$$

Пусть имѣемъ круглое сѣченіе съ діам. *d*, тогда

$$\frac{F}{W \cdot \beta} = \frac{\pi}{4} \cdot d^2 : \frac{\pi}{32} \cdot d^3 \cdot \frac{4}{3} = \frac{6}{d}$$

Поэтому необходимо имѣть

$$\frac{6 M}{V \cdot d} = \text{или болѣе } 2 \dots \dots \dots \text{в}$$

Если брусъ ущемленъ однимъ концомъ, а нагрузка состоитъ изъ одного груза P , навѣшеннаго на свободномъ концѣ, то

$$\max M = P \cdot l; \max V = P.$$

Условіе β приводится къ такому

$$\frac{l}{d} = \text{или болѣе } \frac{2}{6}, \text{ или } \frac{1}{3} \dots \dots \dots \text{Г.}$$

Это условіе выполняется даже и въ самыхъ короткихъ шарнирныхъ болтахъ, гдѣ $l : d$ всегда дѣлается болѣе $\frac{3}{4}$.

Если брусъ будетъ положенъ свободно на двѣ опоры и нагруженъ между ними нагрузкою Q , равномерно распределенной по всей длинѣ, то

$$\max M = \frac{Q \cdot l}{8}; \max V = \frac{Q}{2},$$

условіе β этого § тогда приводится къ слѣдующему:

$$\frac{6}{d} \cdot \frac{Q \cdot l}{8} : \frac{Q}{2} = \text{или болѣе } 2, \text{ или}$$

$$\frac{l}{d} = \text{или болѣе } \frac{4}{3} \dots \dots \dots \text{Д.}$$

Если оба конца бруса защемлены, и нагрузка Q равномерно распределена по всей длинѣ его, то

$$\max M = \frac{Q \cdot l}{12}; \max V = \frac{Q}{2};$$

а по условію β требуется въ этомъ случаѣ

$$\frac{l}{d} = \text{или болѣе } 2 \dots \dots \dots \text{Ж.}$$

Это послѣднее условіе не всегда выполняется, напр., въ ползунныхъ болтахъ *), гдѣ встрѣчается $l : d$ тогда = 1, иногда 1,25 чаще 1,5, но рѣдко 2 и болѣе. Слѣд., во всѣхъ такихъ случаяхъ, когда условіе β неудовлетворено, необходимо обращаться къ разсмотрѣнію ур-ія II и опредѣлять діам. болта именно по ф-лѣ II-й, а не I-й. Но это — довольно рѣдко встрѣчающійся при расчетахъ случай, обыкновенно же длина расчитываемаго на сгибаніе бруса въ весьма большое число разъ превосходитъ высоту его, тогда условия Г, Д, Ж, бывають удовлетворены, и расчетъ можно вести только по ф-лѣ I.

Исключеніе изъ этого правила составляютъ, какъ мы видѣли, балки двутавроваго сѣченія.

*) Хотя они дѣлаются почти всегда стальными, но и въ стали допускаемая величина $B : S$ тоже близка къ 2.

40. Брусья съ одинаковой крѣпостью въ нѣсколькихъ поперечныхъ сѣченіяхъ. А) *Призматическія балки*. При расчетѣ ихъ отыскивается такъ называемое *опасное сѣченіе*, въ которомъ абсолютная величина сгибающаго момента больше, чѣмъ во всѣхъ остальныхъ. Такой моментъ называютъ *расчетнымъ* и ставятъ условіемъ, чтобы вызываемое имъ наибольшее напряженіе въ поперечномъ сѣченіи не превосходило допускаемаго напряженія. Во всѣхъ остальныхъ сѣченіяхъ наибольшія напряженія въ каждомъ изъ нихъ будутъ гораздо менѣе допускаемаго и балка будетъ въ нихъ излишне крѣпка, такъ что крѣпость всей балки въ такомъ случаѣ опредѣляетъ одно лишь *расчетное* или *опасное* сѣченіе ея. Очевидно, что масса материала, излишне затраченнаго на постройку призматическаго бруса, будетъ въ этомъ случаѣ тѣмъ больше, чѣмъ длиннѣе брусъ.

Изучая главы *B* и *Г* теоріи сгибанія, мы обнаружили, что существуютъ такіе способы нагруженія призматической балки, когда у нея, въ различныхъ мѣстахъ ея длины, являются сразу *два, три* и даже *четыре* одинаково опасныхъ сѣченія, въ которыхъ абсолютная величина сгибающаго момента одна и та же, и въ то же время она наибольшая. Мы встрѣтили и такіе примѣры нагруженія, гдѣ наибольшій моментъ сохраняетъ свою величину постоянною въ цѣломъ рядѣ поперечныхъ сѣченій, непрерывно слѣдующихъ одно за другимъ на извѣстномъ протяженіи. Несомнѣнно, что эти именно способы нагруженія призматической балки д. б. признаны наиболѣе выгодными съ практической точки зрѣнія, т. к., примѣняя ихъ, мы будемъ производить затрату материала на постройку балки не изъ-за одного только сѣченія, а изъ-за нѣсколькихъ, одинаково опасныхъ и распределенныхъ по длинѣ балки болѣе или менѣе равномерно.

Призматическія балки съ *двумя* одинаково опасными сѣченіями мы имѣли.

а) въ § 26 (фиг. 120)—оба конца балки защемлены, равномерная нагрузка занимаетъ всю длину балки;

б) въ задачѣ 49 (фиг. 125)—одинъ конецъ балки защемленъ, на свѣшивающемся концѣ скомбинированы равномерная нагрузка и сосредоточенный грузъ, дѣйствующіе въ разныя стороны;

в) въ задачѣ 53 (фиг. 130)—оба конца балки свободны, нагрузка сдѣлана парюю силъ;

г) въ задачѣ 68 (фиг. 152)—балка на трехъ опорахъ, нагруженіе двумя симметрично расположенными грузами (при опредѣленной величинѣ отношенія $a : l$, когда M_D болѣе M_B).

д) въ задачѣ 72 (фиг. 157)—оба конца балки защемлены, нагрузка—въ видѣ нѣсколькихъ сосредоточенныхъ грузовъ;

е) въ задачѣ 73 (фиг. 158)—балка на трехъ опорахъ, равномерная нагрузка распределена по всей длинѣ пролета, но не одинакова въ обоихъ пролетахъ (случай, когда $M_D = M_F$);

ж) въ задачѣ 74 (фиг. 159)—балка на 4 опорахъ, длина пролетовъ одинакова, нагрузка распределена равномерно по всей длинѣ балки (опасныя сѣч.—надъ средними опорами);

з) въ задачѣ 74 (фиг. 161) — балка на 4 опорахъ, длина пролетовъ одинакова, крайніе изъ нихъ нагружены равномерно и одинаково (опасныя сѣч.—на длинѣ крайнихъ пролетовъ);

и) въ задачѣ 75 (фиг. 164)—балка на 3 опорахъ, равномерная нагрузка, занимающая часть длины пролетовъ, расположена симметрично (случай, когда $M_F = M_L$ и оба они болѣе M_B), или же несимметрично (случай, когда $M_B = M_L$);

г) въ задачѣ 76 (фиг. 168)—оба конца балки зацементированы, симметричная равномерная нагрузка занимает часть длины балки;

к) въ задачѣ 77 (фиг. 170)—оба конца балки зацементированы, нагрузка—въ видѣ пары силъ.

Въ случаѣ употребленія многоопорныхъ балокъ, кромѣ перечисленныхъ примѣровъ, возможно подыскать еще много и другихъ комбинацій въ распределеніи нагрузокъ, когда у балки будетъ 2 одинаково опасныя сѣченія.

Призматическія балки съ *тремя* одинаково опасными сѣченіями мы имѣли:

а) въ § 25 (фиг. 119) — оба конца балки зацементированы, нагрузка — сосредоточенный грузъ въ срединѣ длины балки;

б) въ задачѣ 68 (фиг. 152) — балка на 3 опорахъ, нагрузка — по одному грузу въ каждомъ пролетѣ (случай, когда $M_B = M_D = M_B$).

в) въ задачѣ 75 (фиг. 164)—балка на 3 опорахъ, симметричная нагрузка равномерно распределена на части длины пролета (случай когда $M_B = M_F = M_L$).

Балку съ *четырьмя* одинаково опасными сѣченіями мы встрѣтили въ задачѣ 77 (фиг. 170): оба конца балки зацементированы, симметричная нагрузка сдѣлана парю силъ (случай, когда плечо $a = 0,293 \cdot l$).

Балку съ *нѣсколькими* одинаково опасными сѣченіями, непрерывно слѣдующими одно за другимъ на известномъ протяженіи, мы имѣли:

а) въ § 20 (фиг. 110)—концы балки свободны, равномерная нагрузка занимает часть длины балки и прилегаетъ къ опорамъ;

б) § 23 (фиг. 115)—одинъ конецъ балки зацементированъ, на свѣшивающемся концѣ дѣйствуетъ пара силъ;

в) въ § 24 (фиг. 117 и 118)—оба конца балки свободны, нагрузка—2 сосредоточенныхъ груза, величина каждого изъ нихъ одинакова съ ближайшимъ сопрогивленіемъ опоры;

г) въ задачѣ 50 (фиг. 127)—оба конца балки свободны, нагрузка— n одинаковыхъ симметричныхъ грузовъ (n —четное);

д) въ задачѣ 52 (фиг. 129)—оба конца балки свободны, нагрузка—сосредоточенный грузъ и равномерно-распределенная нагрузка;

е) въ задачѣ 55 (фиг. 131)—оба конца балки свободны, на свѣшивающихся концахъ—2 сосредоточныхъ груза;

ю) въ зад. 61 (фиг. 137) — оба конца балки свободны, на свѣшивающихся концахъ — равномерная нагрузка;

з) въ зад. 62 и 63 (фиг. 138 и 139) — оба конца балки свободны, между опорами — въ двухъ мѣстахъ равномерная нагрузка на части длины.

Б. Комбинаціи изъ нѣсколькихъ призматическихъ брусевъ. Какой бы способъ нагруженія ни былъ, всегда можно разсчитать брусъ, у котораго была бы одинаковая крѣпость въ нѣсколькихъ различныхъ сѣченіяхъ. Для этого нужно только выполнять разсчитываемое тѣло не изъ одного призматическаго бруса, а изъ нѣсколькихъ, хотя бы и съ разной формой поперечнаго сѣченія, но одинаковымъ образомъ поставленныхъ подъ дѣйствіе нагрузки; изъ нихъ нѣкоторые бруски будутъ итти на протяженіи всей длины балки, а другіе будутъ усиливать ея крѣпость только между тѣми сѣченіями, гдѣ это требуется. Если желаютъ сохранить при этомъ прямолинейность оси бруса, прерываемые бруски д. б. вводимы попарно и д. б. располагаемы симметрично относительно оси всей балки.

Разсчетъ такихъ балокъ проще всего дѣлается графически, пользуясь кривою моментовъ. Для примѣра пусть имѣемъ балку AC (фиг. 181), свободно положенную на двѣ опоры и равномерно нагруженную; кривою моментовъ будетъ для нея парабола AD_1C ; опаснымъ сѣченіемъ призматической балки было бы среднее сѣченіе DD_1 . Разсчитывая балку изъ даннаго матеріала и предполагая ее выполнить съ нѣсколькими одинаково опасными сѣченіями опредѣляемъ величину модуля сопротивленія балки для сѣченія D . Пусть она будетъ W ; тогда это значить, что

$$M_D = B \cdot W$$

Предположимъ, что по условіямъ задачи возможно и удобно будетъ вынолнить балку изъ пяти брусевъ трехъ различныхъ поперечныхъ сѣченій съ модулями W_0 W_1 W_2 , причемъ

$$W_0 + 2 W_1 + 2 W_2 = \text{или болѣе } W, \text{ равнога } \frac{M_D}{B}.$$

Тогда ординату DD_1 (фиг. 181) принимаемъ за сумму модулей, стоящихъ въ 1-й части предыдущаго ур-ія, т. е.

$$DE = W_0; EF = 2 W_1; FD_1 = 2 W_2$$

Затѣмъ чрезъ точки F и E проводимъ линіи FK_1 и EH_1 , параллельныя оси бруса, и продолжаемъ ихъ до пересѣченія съ параболою AD_1C въ точкахъ H_1 и K_1 ; эти послѣднія опредѣляютъ собою слѣва отъ середины бруса положеніе поперечныхъ сѣченій HH_1 и KK_1 , въ которыхъ могутъ быть прерваны брусья съ модулями W_1 и W_2 . Так. обр.

брусъ, имѣющій модуль W_0 , будетъ итти во всю длину балки; двѣ полосы съ модулемъ W_1 могутъ занимать длину, равную или большую $H_1 H_2$; а двѣ послѣднія полосы съ модулемъ W_2 могутъ итти по длинѣ, равной $K_1 K_2$ или нѣсколько большей ея. При этомъ получится балка, составленная изъ пяти призматическихъ полосъ, имѣющая 5 равнокрѣпкихъ сѣченій, соответствующихъ точкамъ $H_1 K_1 D_1 K_2 H_2$ (фиг. 181).

Этимъ приемомъ весьма часто пользуются въ практикѣ при выполнении деревянныхъ балокъ и въ особенности металлическихъ, составляемыхъ изъ большого числа прокатныхъ желѣзныхъ или стальныхъ полосъ.

В. Тѣла равнаго сопротивленія сгибанію. а. Мы видѣли, какъ обр. можно осуществить сгибаемое тѣло съ нѣсколькими одинаково крѣпкими поперечными сѣченіями. Съ теоретической точки зрѣнія не представляется никакихъ препятствій къ осуществленію и такой формы тѣла, при которой у него во всѣхъ сѣченіяхъ была бы одинаковая крѣпкость, но практическое рѣшеніе этого вопроса приводитъ нерѣдко къ весьма сложнымъ и трудно осуществимымъ формамъ, т. ч. небольшой выигрышъ въ вѣсѣ и стоимости материала весьма часто вовсе не покрываетъ добавочныхъ расходовъ по обработкѣ тѣла, г. е. приданію поверхности тѣла требуемаго расчетомъ вида, и съ экономической стороны точныя формы тѣлъ равнаго сопротивленія не представляютъ въ большинствѣ случаевъ никакой выгоды. Кромѣ того, всѣ эти формы тѣлъ отличаются, какъ увидимъ далѣе, большей податливостью, чѣмъ призматическія тѣла, т. е. даютъ при той же нагрузкѣ гораздо больший провѣсъ. Въ нѣкоторыхъ случаяхъ практики это обстоятельство является весьма крупнымъ недостаткомъ тѣла, долженствующаго выносить на себѣ сгибающее дѣйствіе нагрузки, напр., когда такое тѣло входитъ въ составъ точнаго механизма (вѣсовъ, разрывной машины, парораспределительнаго прибора и т. п.), или когда оно приналежитъ вращающейся части и осуществляетъ собою ея геометрическую ось. Въ такихъ случаяхъ, если и рѣшаются придать сгибаемому тѣлу такую форму, которая близко подходитъ къ идеальной формѣ равнаго сопротивленія, ихъ рассчитываютъ съ напряженіемъ, значительно меньшимъ обычно допускаемаго. При этомъ непремѣнномъ услови, разумѣется, и тѣло равнаго сопротивленія можно осуществить т. о., чтобы оно давало меньшую стрѣлку прогиба, чѣмъ другое тѣло, призматическое, разчитанное съ нормальной, неповышенною степенью надежности.

Если напряженіе въ крайнихъ точкахъ поперечнаго сѣченія, наиболѣе удаленныхъ отъ нейтральнаго слоя, обозначимъ чрезъ H , тогда ур-е поверхности, ограничивающей тѣло равнаго сопротивленія при сгибаніи будетъ:

$$H = B = \text{пост. велич.},$$

гдѣ B — допускаемое напряженіе материала. Это ур-е д. и. мѣсто въ

каждомъ изъ поперечныхъ сѣченій. На основаніи данныхъ § 4 теоріи сгибанія мы можемъ написать вмѣсто предыдущаго ур-ія слѣдующее.

$$\frac{M}{W} = B = \text{пост. велич.} \dots \dots \dots \text{III.}$$

Въ этомъ ур-и M есть функція x , т. е. разстоянія взятаго поперечнаго сѣченія отъ нѣкоторой постоянной точки, а W есть функція y и z , обоихъ размѣровъ поперечнаго сѣченія. Слѣд., въ общемъ видѣ ур-іе III будетъ такимъ:

$$\varphi(x, y, z) = B = \text{пост. велич.}$$

Чтобы составить себѣ нѣкоторое представленіе о формѣ тѣла равнаго сопротивленія и свойствахъ ихъ, разсмотримъ случай балки, одинъ конецъ у которой защеменъ въ стѣнѣ; на свободномъ концѣ ея пусть дѣйствуетъ сосредоточенный грузъ P (фиг. 182).

б. Сѣченіе прямоугольное. Размѣры сѣченія въ ущемленномъ мѣстѣ $a \times h$, въ произвольномъ сѣченіи $N - y \times z$ (фиг. 183); модули сопротивленія

$$W_A = \frac{a \cdot h^3}{6}; \quad W_N = \frac{y \cdot z^3}{6};$$

сгибающіе моменты соотвѣтственно будутъ

$$M_A = P \cdot l; \quad M_N = P \cdot x.$$

Послѣ этого ур-іе III приметъ видъ:

$$\frac{6 P \cdot l}{a \cdot h^3} = \frac{6 P \cdot x}{y \cdot z^3} = B = \text{пост. вел.}, \text{ или}$$
$$\frac{x}{y \cdot z^3} = \frac{l}{a \cdot h^3} \dots \dots \dots \text{IV}$$

Это и есть ур-іе поверхности тѣла равнаго сопротивленія съ прямоугольнымъ сѣченіемъ.

Если сдѣлаемъ у тѣла равнаго сопротивленія на всей его длинѣ постоянную высоту, т. е. $z = h$, тогда ф-ла IV обращается въ такую:

$$\frac{x}{y} = \frac{l}{a} \dots \dots \dots \text{IV, а}$$

Это есть ур-іе, опредѣляющее размѣры произвольнаго сѣченія N призмы съ треугольнымъ основаніемъ DEF (фиг. 184) въ планѣ. Вѣсь ея будетъ составлять только половину того, который будетъ имѣть призматическая балка съ размѣрами $a \times h \times l$. На самомъ дѣлѣ эту теоретическую форму придется исправить, на длинѣ x_0 *притупить*, удовлетворяя условія крѣпости сдвига. Пусть для этого требуется минимальные размѣры сѣченія $h \times a_0$. Тогда съ одной стороны по ф-лѣ II (§ 39)

$$S = \frac{3}{2} \cdot \frac{P}{a_0 \cdot h},$$

г. Стрѣла прогиба тѣла равнаго сопротивленія. Въ дифференціальномъ ур-иі упругой линіи (ф-лы 25 и 26 въ § 12) для тѣла равнаго сопротивленія величина момента инерціи сѣченія I будетъ переменною. Поэтому чтобы упростить интегрированіе этого ур-ія, въ него вводятъ стрѣлу прогиба f_1 призматическаго тѣла одинаковой крѣпости съ тѣломъ равнаго сопротивленія.

Ур-іе упругой линіи, отнесенное къ сѣченію N (фиг. 182) тѣла равнаго сопротивленія, будетъ:

$$E \cdot I \cdot \frac{d^2 z}{dx^2} = M = B \cdot \frac{I}{0,5 \cdot z}, \text{ откуда}$$

$$\frac{d^2 z}{dx^2} = \frac{1}{0,5 \cdot z} \cdot \frac{B}{E} \dots \dots \dots \text{VI.}$$

Знаки въ этомъ уравненіи будутъ разставлены такъ же, какъ и въ уравненіи 26 въ § 12, т. е. знакъ 1-й части будетъ зависѣть отъ знака у радіуса кривизны, а знакъ 2-й части — отъ знака у сгибающаго момента.

Въ ф-лу VI вмѣсто $B : E$ внесемъ величину этого отношенія изъ ф-лы 35 (§ 15):

$$\frac{B}{E} = \frac{3 \cdot e \cdot f_1}{l^2}; \text{ тогда } \frac{d^2 z}{dx^2} = \frac{3f_1}{l^2} \cdot \frac{2e}{z} = \frac{3f_1}{l^2} \cdot \frac{h}{z}.$$

Расположимъ оси координатъ по схемѣ фиг. 182: начало ихъ — въ центрѣ тяжести C_1 конечнаго сѣченія балки въ ея несогнутомъ видѣ, ось $C_1 x$ — по горизонтали *вправо*, ось $C_1 z$ — по вертикали *внизъ*.

Найдемъ стрѣлу прогиба для тѣла равнаго сопротивленія съ постоянной высотой (фиг. 184). Соблюдая правило знаковъ (§ 13) и принимая во вниманіе, что для этого тѣла $h = z$, получимъ

$$+ \frac{d^2 z}{dx^2} = + \frac{3f_1}{l^2}; \quad \frac{dz}{dx} = \frac{3f_1}{l^2} \cdot x + c.$$

Въ сѣченіи A , при $x = l \dots \frac{dz}{dx} = 0 = \frac{3f_1}{l} + c.$

Послѣ того

$$\frac{dz}{dx} = \frac{3f_1}{l^2} (x - l).$$

$$z = \frac{3f_1}{l^2} \left(\frac{x^2}{2} - l \cdot x \right) + c_1.$$

При $x = l$ въ сѣченіи $A \dots z = 0$, по этому $c_1 = \frac{3}{2} f_1.$

Ур-іе упругой линіи будетъ $\dots z = \frac{3}{2} \cdot f_1 \cdot \left(\frac{l-x}{l} \right)^2.$

Стрѣлу прогиба h получимъ, сдѣлавши $x = 0$; тогда $h = \frac{3}{2} \cdot f_1$,

т. е. тѣло равнаго сопротивленія съ постоянной высотой сѣченія получаетъ стрѣлу прогиба на 50% большую противъ призматическаго тѣла равной съ нимъ крѣпости.

Не трудно доказать, что тѣло равнаго сопротивленія съ постоянной шириной сѣченія получить стрѣлу прогиба на 100% большую противъ призматическаго бруса, а при кругломъ сѣченія на 80% большую противъ равнокрѣпкаго съ нимъ цилиндра. Во многихъ случаяхъ практики эти свойства тѣлъ равнаго сопротивленія считаются цѣнными (въ пружинахъ и т. п.), въ другихъ же, наоборотъ, не только не цѣнятся, но считаются вредными (у вращающихся тяжелыхъ тѣлъ, у балокъ подъ основаніями машинъ и т. п.). Но въ общемъ примѣненіе этихъ тѣлъ довольно ограничено, и главнымъ образомъ потому, что, употребляя комбинаціи изъ призматическихъ тѣлъ съ нѣсколькими равноопасными сѣченіями, можно весьма близко подойти къ идеальной формѣ тѣла, не усложняя его устройства и сводя до *мин* расходы по его изготовленію, т. е. расходы на приобрѣтеніе матеріала для балки и на его обработку.

41. Задачи. № 78. Балка длиною l ущемлена однимъ концомъ въ стѣнѣ, на свободномъ концѣ приложенъ сосредоточенный грузъ P . Тѣло равнаго сопротивленія имѣетъ прямоугольное поперечное сѣченіе; ширина его одинакова на всемъ протяженіи балки. Найти ур-іе упругой линіи и отношеніе стрѣлы прогиба f_1 этого тѣла къ провѣсу f равнокрѣпкаго съ нимъ призматическаго тѣла, имѣющаго ту же ширину сѣченія.

Отвѣтъ. Расположеніе осей координатъ—на фиг. 182:

$$z = 2f \cdot \left\{ 1 + 2 \cdot \left(\frac{x}{l} \right)^{\frac{3}{2}} - 3 \cdot \frac{x}{l} \right\}; f_1 : f = 2.$$

№ 79. Способъ нагруженія балки тотъ же, что и въ зад. № 78; но поперечное сѣченіе—круглое. Найти ур-іе упругой линіи тѣла равнаго сопротивленія и отношеніе стрѣлы прогиба f_2 этого тѣла къ провѣсу f равнокрѣпкаго съ нимъ цилиндра.

Отв. Расположеніе осей координатъ—на фиг. 182:

$$z = 1,8 f \cdot \left\{ 1 + 1,5 \cdot \left(\frac{x}{l} \right)^{\frac{5}{2}} - 2,5 \cdot \frac{x}{l} \right\}; f_2 : f = 1,8.$$

№ 80. Балка длиною l ущемлена однимъ концомъ въ стѣнѣ, нагрузка Q распределена по всей длинѣ балки равномерно. Тѣло равнаго сопротивленія имѣетъ прямоугольное сѣченіе, ширина его b по всей длинѣ тѣла одинакова, а высота h —переменная. Найти ур-іе поверхности этого тѣла, ур-іе упругой линіи и отношеніе стрѣлы прогиба

его f_3 къ провѣсу равнокрѣпкаго съ нимъ призматическаго тѣла, имѣющаго ту же ширину сѣченія.

Отвѣтъ. Ур-іе поверхности при $b = b_0$ будетъ $\frac{x}{l} = \frac{h}{h_0}$.

Расположеніе осей координатъ—на фиг. 182:

$$z = 4f \cdot \left\{ 1 + \frac{x}{l} \left(\ln \frac{x}{l} - 1 \right) \right\}; f_3 : f = 4.$$

№ 81. Способъ нагруженія балки тотъ же, что въ зад. № 80; тѣло равнаго сопротивленія имѣетъ прямоугольное сѣченіе, высота его h по всей длинѣ тѣла одинакова, и ширина b — переменная. Найти ур-іе поверхности этого тѣла, ур-іе упругой линіи и отношеніе стрѣлы прогиба его f_4 къ провѣсу равнокрѣпкаго съ нимъ призматическаго тѣла, имѣющаго ту же высоту сѣченій

Отвѣтъ. Ур-ніе поверхности при $h = h_0$ будетъ $\dots \frac{x^2}{l^2} = \frac{b}{b_0}$.

Расположеніе осей координатъ—на фиг. 182.

$$z = 2f \cdot \left(1 - 2 \cdot \frac{x}{l} + \frac{x^2}{l^2} \right); f_4 : f = 2.$$

Деревянные балки.

А. Балки изъ круглыхъ брусевъ.

42. **Одинарные круглыя балки.** Пусть имѣемъ n деревянныхъ круглыхъ брусевъ, воспринимающихъ на себя нагрузку въ одинаковыхъ условіяхъ. Моментъ въ опасномъ сѣченіи балокъ — M , общій у всѣхъ балокъ діам.— d , моментъ инерціи сѣченія одной балки— I , ея модуль сопротивленія при сгибаніи— W , допускаемое напряженіе— B . Тогда:

$$\left. \begin{aligned} M &= n \cdot B \cdot W \cdot \dots \dots \dots \\ W &= I : \frac{d}{2} = \frac{\pi}{32} \cdot d^3 = \text{ок. } 0,1 \cdot d^3 \end{aligned} \right\} \dots \dots \dots 116.$$

Таблица 26-я.

Модули сопротивленія круглыхъ сѣченій.

<i>d</i>	<i>I</i>	<i>W</i>	<i>d</i>	<i>I</i>	<i>W</i>	<i>d</i>	<i>I</i>	<i>W</i>
въ сантиметрахъ.			въ сантиметрахъ.			въ сантиметрахъ.		
15	2485	331	25	19175	1534	35	73662	4209
16	3217	402	26	22432	1726	36	82448	4580
17	4100	482	27	26087	1932	37	91998	4973
18	5153	573	28	30172	2155	38	102354	5387
19	6397	673	29	34719	2394	39	113561	5824
20	7584	785	30	39761	2651	40	125664	6283
21	9547	909	31	45333	2925	41	138709	6766
22	11499	1045	32	51472	3217	42	152745	7274
23	13737	1194	33	58214	3528	43	167820	7806
24	16286	1357	34	65597	3859	44	183984	8363

По заданному *M* изъ ф-лы 116 опредѣляютъ *n*. *W*, а затѣмъ далѣе вопросъ рѣшается различно: а) если *n* дано, опредѣляютъ прямо *W* и помощью табл. 26 останавливаются на той или другой величинѣ діаметра, у котораго модуль будетъ болѣе расчетнаго; б) если *n* не дано, и можно его выбирать, самый выборъ дѣлаютъ, соображаясь или съ условиями передачи нагрузки на балки, или съ ихъ относительной стоимостью, или, наконецъ, съ величиною стрѣлы прогиба, которая получится у балокъ съ тѣмъ или другимъ діаметромъ.

Величина допускаемаго напряженія *B* при расчетѣ деревянныхъ балокъ берется такою:

для одинарныхъ балокъ . . $B = 0,8 - 1,0$ *к.* на кв. *мм.*

„ сращенныхъ „ . . $B = 0,6 - 0,75$ „ „ „ „

Для перехода отъ модуля, выраженнаго въ *смт.*, къ модулю, выраженному въ *мм.*, будетъ служить слѣд. ф-ла:

$$W \text{ въ смт. } \times 1000 = W \text{ въ мм.}$$

43. **Выраженіе момента инерціи относительно произвольной оси.** Выведемъ общее выраженіе момента инерціи площади относительно произвольной оси *сс* (фиг. 187) въ функціи момента инерціи относительно оси *у*, ей ||-й и проходящей чрезъ ц. т. сѣченія.

$$I_x = \int \rho^2 \cdot dF; \quad I_y = \int z^2 \cdot dF; \quad \rho^2 = a^2 + z^2 + 2a \cdot z.$$

Умножимъ всѣ члены этого послѣдняго р-ва на dF и возьмемъ интеграль, распространяя его на всю площадь сѣченія:

$$I_c = a^2 \cdot F + I_y + 2a \int z \cdot dF; \text{ но}$$

$$\int z \cdot dF = F \cdot z_0 = 0, \text{ поэтому}$$

$$I_c = I_y + F \cdot a^2. \dots \dots \dots 117.$$

Эта ф-ла совершенно аналогична съ ф-лою 90 (§ 53, b, часть I-я) и показываетъ, что моментъ инерціи площади относительно произвольной оси, лежащей въ плоскости сѣченія, = моменту инерціи, относительно оси, ей ||-й и проходящей чрезъ ц. т. сѣченія, плюс произведение площади на квадратъ разстоянія осей.

44. Срощенные балки изъ круглыхъ брусевъ. а) *Модуль сопротивленія при двухъ балкахъ одинаковаго диаметра.* Пусть имѣемъ два круглыхъ бруса А и В (фиг. 188) одинаковаго діам. d , накрѣпко сросщенныхъ одинъ съ другимъ и сгибаемыхъ, какъ одна цѣлая балка въ плоскости AB .

Тогда нейтральнымъ слоемъ у этихъ балокъ будетъ линія yy , касательная къ обѣимъ окружностямъ въ точкѣ O . Моментъ инерціи такого сѣченія напишется по общей ф-лѣ 117 слѣд. обр.

$$I_y = 2 \cdot \left[I_k + \frac{\pi}{4} d^2 \cdot \frac{d^2}{4} \right]$$

$$I_y = 2 \left[\frac{\pi \cdot d^4}{64} + \frac{\pi \cdot d^4}{16} \right] = \frac{\pi \cdot d^4}{64} \cdot 10. \dots \dots \dots a.$$

Разстояніе крайнихъ точекъ сѣченія отъ нейтральной лини

$$e = d.$$

Поэтому модуль сопротивленія сросщенныхъ балокъ будетъ

$$W_1 = I_y : d = \frac{5\pi}{32} \cdot d^3 = 5 \cdot W. \dots \dots \dots b,$$

т. е. модуль сопротивленія сросщенной балки изъ двухъ одинаковыхъ круглыхъ брусевъ въ пять разъ больше, чѣмъ модуль сопротивленія одинарнаго бруса. Но для этого необходимо прочно связать обѣ балки, чтобы у нихъ былъ, дѣйствительно, одинъ общій нейтральный слой Oy , а не два отдѣльныхъ Bk и Al , какъ это было бы въ случаѣ двухъ брусевъ, свободно положенныхъ одинъ на другой и ничѣмъ не связанныхъ между собою. Не считывая на полное совершенство такого скрѣпленія, допускаемое напряженіе при расчетѣ сросщенныхъ балокъ беруть на 15—20% менѣе, чѣмъ въ случаѣ одинарныхъ брусевъ.

Так. обр моментъ, выдерживаемый сросщенной балкой, будетъ $M_1 = 0,75 \cdot B \cdot W_1$, а одинарнымъ круглымъ брусомъ — $M = B \cdot W$; отношение моментовъ

$$\frac{M_1}{M} = \frac{0,75 \cdot W_1}{W} = 0,75 \cdot 5 = 3^{3/4}$$

т. е. сросщенная балка изъ двухъ одинаковыхъ круглыхъ брусевъ въ состояннн выдержать, примѣрно, въ 4 раза большнй сгибающнй моментъ, чѣмъ каждый изъ брусевъ, ее составляющихъ.

б) *Модуль сопротивлення при двухъ балкахъ неодинаковаго диаметра.* Пусть имѣемъ два круглыхъ бруса *A* и *B* (фиг. 189) неодинаковаго диаметра, накрѣпко сросщенныхъ одинъ съ другимъ и сгибаемыхъ, какъ одна цѣлая балка въ плоскости *AB*. Пусть диам. меньшаго изъ брусевъ будетъ *d*, а большаго *m.d*, гдѣ *m* > 1. Въ такомъ случаѣ нейтральный слой уже не будетъ расположенъ на срединѣ высоты балки. Онъ будетъ проходить чрезъ ц. т. всего сѣчення составной балки. Площадь сѣчення верхней балки *B* есть $\pi \cdot d^2 : 4$, а нижней — $\pi \cdot m^2 \cdot d^2 : 4$, отношение ихъ равно *m*²; слѣд. для опредѣлення положення ц. т. *O* надо длину *AB* раздѣлить въ отношеннн 1 : *m*². Обозначимъ разстояннн ц. т. всего сѣчення отъ центровъ сѣченнй отдѣльныхъ брусевъ чрезъ *a*₁ и *a*₂, тогда

$$OA = a_1; \quad OB = a_2;$$

$$AB = a_1 + a_2 = d \cdot \frac{m + 1}{2}; \quad a_2 : a_1 = m^2,$$

$$\left. \begin{aligned} a_1 &= \frac{d}{2} \cdot \frac{m + 1}{m^2 + 1} \\ a_2 &= \frac{d}{2} \cdot \frac{m^3 + m^2}{m^2 + 1} \end{aligned} \right\} \dots \dots \dots \Gamma.$$

Если вогнутая сторона балки находится сверху, а выпуклая снизу, то разница между этою балкою и предыдущею будетъ въ слѣдующемъ: у балки изъ двухъ одинаковыхъ по величинѣ брусевъ волокна верхняго бруса были только сжаты, а нижняго — только растянуты; у балки же изъ неодинаковыхъ брусевъ часть нижняго изъ нихъ, лежащая выше нейтральнаго слоя будетъ сжата, а ниже — растянута.

Найдемъ теперь, которая изъ крайнихъ точекъ сѣчення *D* и *E* будетъ наиболѣе удаленною отъ нейтральнаго слоя и поэтому наиболѣе опасною точкою сѣчення:

$$\left. \begin{aligned} OE = e_1 &= a_1 + \frac{m \cdot d}{2} = \frac{d}{2} \cdot \frac{m^3 + 2m + 1}{m^2 + 1} \\ OD = e_2 &= a_2 + \frac{d}{2} = \frac{d}{2} \cdot \frac{m^3 + 2m^2 + 1}{m^2 + 1} \end{aligned} \right\} \dots \dots \dots \Delta.$$

Сравненіе этихъ двухъ величинъ показываетъ, что

если $m > 1$, то e_2 всегда $> e_1$,

т. е. наиболее напряженными элементами сѣченія сросщенной балки, состоящей изъ двухъ брусевъ неравнаго діам., всегда будутъ крайніе элементы меньшаго изъ двухъ брусевъ.

Теперь нужно найти выраженіе *той* инерціи составной балки относительно оси Oy ; для этого необходимо вычислить порознь моменты инерціи верхняго и нижняго сѣченій относительно той же оси и сложить ихъ. Каждое изъ этихъ вычисленій дѣлается по общей ф-лѣ 117 (§ 43):

$$I_x = \frac{\pi}{64} d^4; \quad I_{yB} = I_x + \frac{\pi}{4} \cdot d^2 \cdot a_2^2.$$

$$I_{yB} = \frac{\pi}{64} \cdot d^4 + \frac{\pi}{16} \cdot d^4 \cdot m^4 \cdot \left(\frac{m+1}{m^2+1} \right)^2$$

$$I_x = \frac{\pi}{64} \cdot m^4 \cdot d^4; \quad I_{yA} = I_x + \frac{\pi}{4} \cdot m^2 \cdot d^2 \cdot a_1^2$$

$$I_{yA} = \frac{\pi}{64} \cdot m^4 \cdot d^4 + \frac{\pi}{16} \cdot m^2 \cdot d^4 \cdot \left(\frac{m+1}{m^2+1} \right)^2.$$

Моментъ инерціи всего сѣченія составной балки будетъ:

$$I_{AB} = I_{yA} + I_{yB} = \frac{\pi}{64} \cdot d^4 \left[1 + m^4 + 4m^2 \cdot \frac{(m+1)^2}{m^2+1} \right] \dots ж.$$

Модуль сопротивленія всего сѣченія получимъ, дѣля моментъ инерціи его (ф-ла ж) на разстояніе наиболѣе напряженныхъ элементовъ отъ нейтральнаго слоя, т. е. на e_2 , а не e_1 :

$$W_2 = I_{AB} : e_2 = \frac{\pi}{32} \cdot d^3 \cdot \frac{(1+m^4)(m^2+1) + 4m^2 \cdot (m+1)^2}{m^3 + 2m^2 + 1} \dots з.$$

Если $m = 1$, т. е. брусья одинаковаго діам, тогда

$$e_1 = e_2 = \frac{d}{2},$$

$$I_{AB} = \frac{\pi}{64} \cdot d^4 \cdot \left[1 + 1 + \frac{4 \cdot 4}{2} \right] = \frac{\pi}{64} \cdot d^4 \cdot 10$$

$$W_2 = \frac{\pi}{32} \cdot d^3 \cdot \frac{2 \cdot 2 + 4 \cdot 4}{1 + 2 + 1} = \frac{\pi}{32} \cdot d^3 \cdot 5,$$

т. е. все выходитъ согласно съ данными случая а) этого §.

Если $m = 0$, т. е. 2-й брусъ отсутствуетъ, тогда мы должны получить ф-лы, которыя имѣли для одинарнаго бруса:

$$\text{изъ форм. д} \dots \dots \dots e_1 = e_2 = \frac{d}{2}$$

изъ форм. ж. $I = \frac{\pi}{64} \cdot d^4$

„ з $W = \frac{\pi}{32} \cdot d^3$

Такъ какъ выводъ всёхъ ф-лъ этого случая сдѣланъ независимо отъ того будетъ-ли m больше или меньше 1, поэтому примѣненіе ихъ возможно при какомъ угодно значеніи m . Въ табл. 27-й даны всё нужныя величины для 5 различныхъ соотношеній между діам. брусевъ.

Таблица 27-я.

Расчетныя величины для балокъ изъ двухъ неравныхъ круглыхъ брусевъ:
 $d_1 = m \cdot d$.

m	$F: \frac{\pi}{4} \cdot d^2$	$e_1: d$	$e_2: d$	$I: \frac{\pi}{64} \cdot d^4$	$W: \frac{\pi}{32} \cdot d^3$
1,1	2,21	1,025	1,075	12,12	5,64
1,2	2,44	1,051	1,149	14,50	6,31
1,3	2,69	1,077	1,223	17,11	7,01
1,4	2,96	1,105	1,295	20,10	7,76
1,5	3,25	1,135	1,365	23,07	8,45

Такъ какъ у этихъ балокъ e_1 не равно e_2 , и дерево слабѣе сопротивляется сжатію, чѣмъ растяженію, поэтому въ такихъ балкахъ сжатую стороною ихъ слѣдуетъ дѣлать ту, элементы которой прилегаютъ ближе къ нейтральному слою.

в) *Модуль сопротивленія при трехъ балкахъ равнаго диаметра, нарощенныхъ въ высоту* (фиг. 190). Пусть имѣемъ 3 круглыхъ бруса одинаковаго діам. — A, B, B_1 , накрѣико сросченыхъ въ одно цѣлое и сгибаемыхъ въ плоскости BB_1 . Нейтральнымъ слоемъ будетъ линия uA . Наиболѣе напряженные элементы сѣченія будутъ отстоять отъ нейтральнаго слоя на разстояніи

$$e = AD = AE = \frac{3}{2} \cdot d.$$

Моментъ инерціи площади B относительно оси Au будетъ:

$$I_{yB} = I_k + \frac{\pi}{4} \cdot d^2 \cdot d^2 = \frac{17}{64} \cdot \pi \cdot d^4.$$

Поэтому моментъ инерціи всего сѣченія составной балки напишется такъ:

$$I_{ABB_1} = I_{yA} + 2I_{yB} = 35 \cdot \frac{\pi \cdot d^4}{64} \dots \dots \dots \text{и.}$$

Модуль сопротивленія всей балки

$$W_3 = I_{ABB_1} : \frac{3}{2} \cdot d = \frac{35}{3} \cdot \frac{\pi \cdot d^3}{32} \dots \dots \dots i.$$

Такимъ образомъ видно, что эта комбинація выгоднѣе, чѣмъ балки, сращенныя изъ двухъ брусевъ, равнаго или неравнаго діаметра.

в) *Расчетъ скрѣпленій для круглыхъ сращенныхъ балокъ.* Отъ сращенныхъ брусевъ мы требовали, чтобы они, образовавъ балку, сгибались, какъ одно цѣлое, съ общимъ нейтральнымъ слоемъ. Это возможно будетъ только въ такомъ случаѣ, когда между сращенными брусьями не будетъ никакого скольженія, т. е. когда будутъ введены въ соединеніе добавочныя части, препятствующія сдвигу одного бруса относительно другого. Такими добавочными частями при балкахъ изъ круглыхъ брусевъ являются обыкновенно болты, стягивающіе брусья въ плоскости дѣйствія нагрузки. Эти болты рассчитываются ни въ какомъ случаѣ *не на сдвигъ*, а на предварительную затяжку, хотя направленіе дѣйствія силъ сдвига въ мѣстѣ стыка брусевъ и \perp -но къ оси болтовъ. Затяжка болтовъ выбирается такою, чтобы возбужденная ею сила тренія на стыкѣ была болѣе тангенціальной силы \mathcal{H} , дѣйствующей въ мѣстѣ стыка.

Пусть обозначаютъ

δ — діаметръ болтовъ,

Z — напряженіе, съ которымъ они будутъ затянуты,

c — число болтовъ,

f — коэффициентъ тренія на стыкѣ брусевъ. Тогда

$$\frac{\frac{\pi}{4} \delta^2 \cdot Z \cdot f \cdot c}{\mathcal{H}} = 2 - 2,5.$$

Выбираютъ при $\left. \begin{array}{l} \delta = 25 - 35 \text{ мм.}; Z = 5 - 4 \text{ кг. на кв. мм.} \\ f = 0,2 - 0,25 \end{array} \right\}$ расчетѣ:

Величина \mathcal{H} напишется такъ (см. ф-лу **Б** въ § 36).

$$\mathcal{H} = U \cdot \frac{M - M_1}{I} \dots \dots \dots \text{Б.}$$

При расчетѣ балки, сращенной изъ двухъ брусевъ равнаго діам., вносится въ ф-лу **Б** моментъ инерціи для всего сѣченія *):

$$I = \frac{\pi}{64} \cdot d^4 \cdot 10,$$

*) Обычная ошибка при употребленіи этой ф-лы—внесене $\frac{\pi}{64} \cdot d^4$ вмѣсто I .

а статическій моментъ — для половины сѣченія, такъ какъ J опредѣляется въ нейтральномъ слоѣ.

$$U = \frac{\pi}{4} \cdot d^2 \cdot \frac{d}{2} = \frac{\pi}{8} \cdot d^3;$$

такъ что въ этомъ случаѣ

$$J = 0,8 \cdot \frac{M - M_1}{d}.$$

Въ случаѣ двухъ брусевъ разнаго диаметра, при опредѣленіи U слѣдовало бы взять статическій моментъ площади обрѣза, покрытой на фиг. 189 штрихами на крестъ, но вмѣсто этого для упрощенія вычисленія можно брать слѣдующее выраженіе:

$$U = \text{прибл. } \frac{\pi}{4} \cdot m^2 \cdot d^2 \cdot a_1.$$

При этомъ a_1 надо брать по ф-лѣ г, а моментъ инерціи I — по ф-лѣ ж (§ 44 б).

Въ случаѣ балки, сросченной изъ трехъ одинаковыхъ брусевъ, сдвигъ можетъ происходить въ двухъ стыкахъ; для устраненія этого двойного сдвига служатъ одни и тѣ же болты. При опредѣленіи J надо брать

$$I = \frac{\pi \cdot d^4}{64} \cdot 35; \quad U = \frac{\pi}{4} \cdot d^2 \cdot d = \frac{\pi}{4} \cdot d^3;$$

$$J = \frac{16}{35} \cdot \frac{M - M_1}{d}.$$

45. **Задачи. № 82.** Деревянную балку 400 мм. діам. замѣнить другою изъ двухъ одинаковыхъ сросченныхъ брусевъ.

Для данной балки

$$M = B_0 \cdot W_0,$$

для сросченной балки

$$M = B_1 \cdot W_1 = 0,8 \cdot B_0 \cdot W_1,$$

допуская условно, что $B_1 = 0,8 \cdot B$; откуда

$$W_0 = 0,8 \cdot W_1 = 0,8 \cdot 5 \cdot W = 4W,$$

если W — модуль каждаго изъ сращиваемыхъ брусевъ. По табл. 26-й

$$W_0 = 6283 \text{ см}^3, \text{ поэтому } W = 6283 : 4 = 1321.$$

Ближайшій ббльшій модуль въ табл. 26-й будетъ 1357, соотвѣтственный діам. брусевъ 240 мм.

Не считая вѣса скрѣпленій, отношеніе вѣса составной балки къ вѣсу цѣлой будетъ:

$$2 \cdot \left(\frac{240}{400} \right)^2 = 0,72.$$

Отношеніе стрѣль прогиба этихъ двухъ балокъ будетъ прямо пропорціонально расчетнымъ напряжениямъ ихъ и обратно пропорціонально ихъ высотамъ:

$$\frac{f_1}{f_0} = \frac{B_1}{B_0} \frac{d_0}{2d_1} = 0,8 \cdot \frac{400}{2 \cdot 240} = 0,667.$$

№ 83. Ту же самую деревянную балку 400 мм. діам. замѣнить другою изъ двухъ неодинаковыхъ сращенныхъ брусевъ съ отношеніемъ діам. $m = 1,2$

По табл. 27 имѣемъ, что модуль сращенной балки при $m = 1,2$ будетъ 6,31 W , гдѣ W — модуль меньшаго изъ сращиваемыхъ брусевъ; тогда

$$W_0 = 6283 = 0,8 \cdot 6,31 W = 5,048 W,$$

$$W = 6283 : 5,048 = \text{ок. } 1225 \text{ см.}^3 = \frac{\pi}{32} \cdot d^3,$$

откуда $d = 232 \text{ мм}; d_1 = 1,2 \cdot 232 = 278 \text{ мм.}$

Отношеніе вѣса новой балки (сращенной) къ вѣсу цѣлой

$$\frac{232^2 + 278^2}{400^2} = 0,82,$$

т. е. такая балка выходитъ немного тяжелѣе предыдущей, составленной изъ одинаковыхъ брусевъ. По табл. 27-й

$$I_1 = 14,5 \cdot \frac{\pi d^4}{64} = 14,5 \cdot W \cdot \frac{d}{2} = 14,5 \cdot 1225 \cdot 11,6,$$

$$I_1 = 206045 \text{ см.}^4; I_0 = \frac{\pi}{64} \cdot 40^4 = 125664,$$

$$f_1 : f_0 = I_0 : I_1 = 0,61.$$

№ 84. При предварительномъ расчетѣ балки, сращенной изъ двухъ брусевъ разнаго діаметра, приближенно было допущено, что нейтральный слой проходитъ не чрезъ ц. т. сѣченія, а чрезъ точку касанія обоихъ круговъ. Выяснить величину ошибки, допущенной въ вычисленіи модуля сопротивленія (фиг. 191).

$$I_{zB} = \frac{\pi}{64} \cdot d^4 + \frac{\pi}{4} \cdot d^2 \cdot \frac{d^2}{4} = \frac{\pi}{64} \cdot d^4 \cdot 5$$

$$I_{zA} = \frac{\pi}{64} \cdot m^4 \cdot d^4 + \frac{\pi}{4} \cdot m^2 \cdot d^2 \cdot \left(\frac{m \cdot d}{2}\right)^2 = \frac{\pi}{64} \cdot d^4 \cdot 5m^4$$

$$I_{AB} = I_z + I_{zB} = \frac{\pi}{64} \cdot d^4 \cdot 5(1 + m^4).$$

$$W = I_{AB} : md = \frac{\pi \cdot d^3}{64} \cdot 5 \cdot \frac{1 + m^4}{m}$$

$$A = W : \frac{\pi}{32} \cdot d^3 = \frac{5}{2} \cdot \frac{1 + m^4}{m}$$

При $m = 1,1$	1,2	1,3	1,4	1,5
$A = 5,6$	6,4	7,4	8,6	10,1

Сравнивая эти данные съ тѣми, которыя приведены въ табл. 27-й, видимъ, что при m до 1,2 упрощенный, неправильный способъ вычисления даетъ результаты, весьма близкие къ истиннымъ, а далѣе этого они весьма быстро расходятся.

№ 85. Балка срослена изъ трехъ одинаковыхъ брусевъ такъ, какъ показываетъ фиг. 192. Найти модуль сопротивленія такой балки, связанной въ одно цѣлое и нагруженной въ плоскости CD .

$AB = BC = CA = d$. Пусть ц. т. сѣченія будетъ въ E . Очевидно, точка E должна дѣлить высоту CD въ отношеніи 1 : 2.

$$CD = \sqrt{d^2 - \left(\frac{d}{2}\right)^2} = \frac{d}{2} \cdot \sqrt{3}$$

$$DE = \frac{1}{3} \cdot CD = \frac{d}{6} \sqrt{3} = d : 2\sqrt{3}$$

$$CE = 2 \cdot DE = \frac{d}{3} \cdot \sqrt{3} = d : \sqrt{3}$$

Линія Ey , \perp -я CD , будетъ нейтральнымъ слоемъ

$$I_{yC} = \frac{\pi}{64} \cdot d^4 + \frac{\pi}{4} \cdot d^2 \cdot \frac{d^2}{3} = \frac{\pi}{64} \cdot d^4 \cdot \frac{19}{3}$$

$$I_{yA} = \frac{\pi}{64} \cdot d^4 + \frac{\pi}{4} \cdot d^2 \cdot \frac{d^2}{12} = \frac{\pi}{64} \cdot d^4 \cdot \frac{7}{3}$$

$$I_{ABC} = I_{yC} + 2 \cdot I_{yA} = \frac{\pi}{64} \cdot d^4 \cdot \frac{19 + 2 \cdot 7}{3} = \frac{\pi}{64} \cdot d^4 \cdot 11$$

$$EF = FC + CE = \frac{d}{2} + \frac{d}{\sqrt{3}} = \frac{d}{2} \cdot 2,154$$

$$W = I_{ABC} : EF = \frac{\pi \cdot d^8}{32} \cdot \frac{11}{2,154} = \frac{\pi \cdot d^8}{32} \cdot 5,1,$$

т. е. модуль сопротивленія балки, сросленной изъ трехъ одинаковыхъ круглыхъ брусевъ такъ, чтобы каждый изъ нихъ касался двухъ другихъ, получается почти совершенно такимъ же, какъ и у балки, сросленной изъ двухъ только брусевъ, нарощенныхъ одинъ на другой въ высоту; а между тѣмъ при трехъ брусяхъ вѣсь балки получается 1,5 раза болѣе, чѣмъ тамъ, и скрѣпленія трехъ балокъ потребуютъ для своего выполненія большихъ затратъ, чѣмъ при двухъ балкахъ. Такъ обр. эта комбинація изъ трехъ брусевъ выходитъ нерациональною.

№ 86. Срощенная балка составлена изъ двухъ круглыхъ брусевъ, оси которыхъ по направлению дѣйствія нагрузки удалены одна отъ другой на разстояніе $2a$, большее d (фиг. 193 и 194); между брусьями заложены куски дерева C, D, \dots , и вся система стянута болтами въ одно цѣлое. Предполагая, что при сгибаніи такой *прорѣзной балки* нейтральнымъ слоемъ будетъ линія Oy , найти W .

Обозначимъ $\frac{a}{d} = \kappa$, тогда

$$I_{yA} = \frac{\pi}{64} \cdot d^4 + \frac{\pi}{4} \cdot d^2 \cdot a^2 = \frac{\pi}{64} \cdot d^4 (1 + 16 \cdot \kappa^2)$$

$$e = OL = \frac{d}{2} + a = \frac{d}{2} (1 + 2 \cdot \kappa)$$

$$W = 2 \cdot I_{yA} : e = \frac{\pi \cdot d^3}{32} \cdot \frac{1 + 16 \cdot \kappa^2}{0,5 + \kappa}$$

$$W : \frac{\pi \cdot d^3}{32} = A = \frac{1 + 16 \cdot \kappa^2}{0,5 + \kappa}$$

Если сдѣлаемъ $\kappa = 0,5$, это будетъ означать, что брусья наложены одинъ на другой безъ промежутка между ними, и тогда мы должны получить модуль, который имѣли уже ранѣе (§ 44 а, ф-ла b):

$$A = \frac{1 + 16 \cdot \frac{1}{4}}{\frac{1}{2} + \frac{1}{2}} = 5.$$

Затѣмъ при дальнѣйшемъ увеличеніи κ , начиная съ $0,5$, величина коэф. A быстро возрастаетъ. Вычислимъ A для тѣхъ значеній κ , которыя возможно осуществить, употребляя на прокладки C, D, \dots (фиг. 194) обрубки тѣхъ же брусевъ:

$\kappa = 0,6$	$\left\{ \begin{array}{l} 0,7 \\ 7,33 \end{array} \right.$	$\left\{ \begin{array}{l} 0,8 \\ 8,65 \end{array} \right.$	$\left\{ \begin{array}{l} 0,9 \\ 9,97 \end{array} \right.$
$A = 6,15$			

Если бы сдѣлать $\kappa = 1$, то

$$A = \frac{1 + 16}{0,5 + 1} = \frac{34}{3}.$$

Когда мы имѣли балку изъ трехъ брусевъ, срощенныхъ въ высоту, величина A была $= 35 : 3$ (см. § 44 b, ф-ла i).

Это показываетъ, какое сравнительно малое участіе въ общемъ сопротивленіи принадлежитъ среднему брусу, элементы сѣченія у котораго весьма близко прилегаютъ къ нейтральному слою. Выбросивши средній брусъ, мы получили уменьшеніе модуля въ отношеніи $34 : 35$, т. е. менѣе 3% , а вѣсь и число потребныхъ брусевъ на составленіе балки умень-

пили на $\frac{1}{3}$. Изъ этого можно заключить, что *прорѣзные балки* являются весьма, рациональнымъ устройствомъ. Величина A съ увеличениемъ k возрастаетъ довольно быстро. Сдѣлавши $k=2$, мы уже имѣемъ $A=26$. Передачу нагрузки на прорѣзную балку можно дѣлать только въ тѣхъ мѣстахъ, гдѣ находятся распорки C, D, \dots (фиг. 194).

Б. Деревянные балки изъ прямоугольныхъ брусевъ.

46. **Одинарные прямоугольныя балки.** Если размѣры поперечнаго сѣченія балки будутъ $a \times h$, и балка при сгибаніи поставлена *на ребро*, т. е. направленіе дѣйствующей нагрузки \parallel -но большей изъ ея сторонъ (фиг. 195), то модуль сопротивленія сгибанію для такой балки будетъ:

$$W_1 = \frac{a \cdot h^3}{12} : \frac{h}{2} = \frac{a \cdot h^2}{6}.$$

Если та же самая балка будетъ положена *плашмя*, т. е. направленіе дѣйствующей нагрузки будетъ \parallel -но меньшей изъ сторонъ, то выраженіе модуля будетъ другое:

$$W_2 = \frac{h \cdot a^3}{12} : \frac{a}{2} = \frac{h \cdot a^2}{6}$$

$$W_1 : W_2 = h : a,$$

т. е. *отношеніе модулей сопротивленія балки, когда она работает „на ребро“ и „плашмя“, равно отношенію ея сторонъ.* Поэтому прямоугольная деревянная балка можетъ быть поставлена въ работѣ и въ хорошія условия сопротивленія и въ дурныя. Матеріалъ, употребленный на постройку балки, тогда только будетъ использованъ, какъ слѣдуетъ, когда балка, воспринимаетъ на себя нагрузку, работая „на ребро“, т. е. когда разстояніе крайнихъ элементовъ сѣченія ея представляется наибольшимъ, какое только возможно при данныхъ размѣрахъ балки.

Расчетное ур-іе для прямоугольной деревянной балки будетъ:

$$\left. \begin{array}{l} B = \text{или болѣе } M : W \\ W = \frac{a \cdot h^2}{6} \dots \end{array} \right\} \dots \dots \dots 118$$

Неизвѣстныхъ размѣровъ въ этомъ ур-іи—два, однимъ изъ нихъ нужно задаться, а другой опредѣлить. Дѣяется это, соображаясь также съ рыночными сортами брусевъ. Чѣмъ болѣе будетъ взято h сравнительно съ a , тѣмъ лучше, тѣмъ легче будетъ балка и тѣмъ меньшій провѣсъ въ работѣ она будетъ давать, п. ч. при образованіи момента инерціи высота h входитъ въ кубъ.

Чтобы имѣть возможность быстрѣ производить расчеты балокъ съ прямоугольнымъ сѣченіемъ, приводится составленная нами таблица модулей сопротивленія (см. табл. 28-ю) для брусевъ съ высотой отъ 15 до 30 см. (6 — 12 дм.) Величины модулей даны для ширины a отъ 1 до 10 см., поэтому выраженіе модуля быстро можетъ быть подсчитано по этой же табл. и для какой угодно другой ширины a .

Таблица 28-я.

Высота h смт.	Ширина сѣченія въ смт.									
	1	2	3	4	5	6	7	8	9	10
Величины модулей сопротивленія прямоугольнаго сѣченія въ смт.										
15	37,5	75	112,5	150	187,5	225	262,5	300	337,5	375
16	42,67	85,3	128	170,7	213,3	256	298,7	341,3	384	426,7
17	48,17	96,3	144,5	192,7	240,8	289	337	385	433,5	481,7
18	54	108	162	216	270	324	378	432	486	540
19	60,17	120,3	180,5	240,7	300,8	361	421	481,3	541,5	601,7
20	66,67	133,3	200	266,7	333,3	400	466,7	533,3	600	666,7
21	73,5	147	220,5	294	387,5	441	514,5	588	661,5	735
22	80,67	161,3	242	322,7	403,3	484	564,7	645,3	726	806,7
23	88,17	176,3	264,5	352,7	440,8	529	617,2	705,3	793,4	881,7
24	96	192	288	384	480	576	672	768	864	960
25	104,17	208,3	312,5	416,7	520,8	625	729,2	833,3	937,5	1041,7
26	112,7	225,3	338	450,7	563,3	675	788,7	901	1014	1125,7
27	121,5	243	364,5	486	607,5	729	850,5	972	1093,5	1215
28	130,67	261,3	392	522,7	653,3	784	914,7	1045,3	1176	1306,7
29	140,17	280,3	420,5	560,7	700,8	841	981,2	1121,3	1261,5	1401,7
30	150	300	450	600	750	900	1050	1200	1350	1500

W въ смт. $\times 1000 = W$ въ мм.

Пусть, напр., $a = 13,2$ см., $h = 24$ см.

модуль для 10 см.	960	} Въ суммѣ — 1267,2.
" " 3 " 	288	
" " 0,2 " 	19,2	

Цифры табл. 28-й наглядно указываютъ, что выраженіе модуля, равное заданной величинѣ, можетъ быть получено при разныхъ отношеніяхъ между a и h , но между всѣми возможными комбинаціями слѣдуетъ выбирать такую, при которой высота h наибольшая изъ всѣхъ, если только этому не препятствуютъ какія-либо мѣстныя условія.

Когда прямоугольная балка вырѣзается изъ даннаго круглаго бруса съ діам. d , можно установить между размѣрами сѣченія наибыгоднѣйшее соотношеніе подъ тѣмъ условіемъ, чтобы W былъ *max*

$$a^2 + h^2 = d; \quad h^2 = d^2 - a^2;$$

$$W = \frac{a \cdot h^2}{6} = \frac{a(d^2 - a^2)}{6}.$$

Если предположимъ, что $a = y$ будетъ переменною величиною, то:

$$W = \frac{d^2 \cdot y - y^3}{6}; \quad \frac{dW}{dy} = \frac{d^2 - 3y^2}{6} = 0;$$

$$y^2 = \frac{d^2}{3} = a^2, \text{ или } d : a = a : \frac{d}{3},$$

т. е. сторона прямоугольнаго сѣченія балки, вырѣзанной изъ круглаго бруса съ цѣлю получения *max* модуля, должна быть средней пропорціональной между всѣмъ діаметромъ бруса и третью діаметра.

Для выполнения этого условия достаточно продѣлать слѣдующее построеніе: произвольный діаметръ AC (фиг. 196) круглаго бруса раздѣлить на 3 части; изъ точекъ дѣленія E и F возставить \perp -ы къ диаметру до пересѣченія ихъ съ окружностью въ точкахъ B и D ; тогда прямоугольникъ $ABCD$ — будетъ искомый. Найдемъ отношеніе его сторонъ:

$$a^2 = \frac{d^2}{3}; \quad h^2 = d^2 - \frac{d^2}{3} = \frac{2}{3} \cdot d^2,$$

$$h^2 : a^2 = 2; \quad \frac{h}{a} = \sqrt{2} = \text{около } 1,4 = \frac{7}{5}.$$

47. Срощенные прямоугольныя балки. а) *Опредѣленіе модуля сопротивленія ихъ.* Если балка сросчена изъ n одинаковыхъ брусевъ съ размѣрами $a \times h$ (фиг. 197), тогда, связавши отдѣльные брусья накрѣпко въ одно цѣлое, мы будемъ имѣть нейтральный слой составной балки на срединѣ ея высоты; модуль ея по общей ф-лѣ для прямоугольныхъ балокъ напишется такъ:

$$W_n = \frac{a \cdot (n \cdot h)^2}{6} = \frac{a \cdot h^2}{6} \cdot n^2 \dots \dots \dots 119,$$

т. е. модули сопротивленія балокъ, сращиваемыхъ изъ одинаковыхъ брусевъ, возрастаютъ, какъ квадраты числа брусевъ, употребленныхъ на образование балокъ. А вѣсъ такихъ балокъ будетъ возрастать, какъ 1-я степень числа балокъ; это указываетъ на то, что при сращиваніи балокъ матеріалъ ихъ употребляется весьма рационально.

При $n = 2$. . .	$W_n : W = 4$	$I_n : I = 8$
" $n = 3$. . .	" $= 9$	" $= 27$
" $n = 4$. . .	" $= 16$	" $= 64$

Эти послѣднія данныя указываютъ на то, что возрастаніе момента инерціи идетъ чрезвычайно быстро вмѣстѣ съ увеличеніемъ n и что поэтому сросченныя балки будутъ давать весьма небольшой провѣсъ.

б) *Определеіе силы сдвига въ плоскости стыка сросченной балки.*
Общее выраженіе тангенціальной силы надо написать такъ:

$$Ж_n = U_n \cdot \frac{M_1 - M_0}{I_n}.$$

Здѣсь подъ I_n надо разумѣть уже моментъ инерціи всего сѣченія сросченной балки

Если балка сросчена изъ двухъ брусьевъ, каждый съ площ. сѣченія F (фиг. 198), т. е. $n = 2$, то

$$U_2 = F \cdot \frac{h}{2} = \frac{a \cdot h^2}{2}; \quad I_2 = \frac{a \cdot (2h)^3}{12} = 8 \cdot \frac{a \cdot h^3}{12}$$

$$Ж_2 = \frac{3}{4} \cdot \frac{M_1 - M_0}{h} = \frac{3}{2} \cdot \frac{M_1 - M_0}{(2h)} \dots \dots \dots a.$$

Если балка сросчена изъ трехъ брусьевъ (фиг. 199), т. е. $n = 3$, то

$$U_3 = F \cdot h = a \cdot h^2; \quad I_3 = \frac{a \cdot (3h)^3}{12} = 27 \cdot \frac{a \cdot h^3}{12}$$

$$Ж_3 = \frac{4}{9} \cdot \frac{M_1 - M_0}{h}.$$

При четверной сросченной балкѣ (фиг. 200) сдвигъ можетъ произойти или въ нейтральномъ слоѣ y или въ плоскости y_1 , на стыкѣ крайняго внѣшняго бруса

Для нейтральнаго слоя y :

$$U_{4y} = 2F \cdot h = 2 \cdot a \cdot h^2; \quad I_4 = \frac{a \cdot (4h)^3}{12} = 64 \cdot \frac{a \cdot h^3}{12}$$

$$Ж_{4y} = \frac{3}{8} \cdot \frac{M_1 - M_0}{h} = \frac{3}{2} \cdot \frac{M_1 - M_0}{(4h)} \dots \dots \dots б.$$

По ф-ламъ а и б видимъ, что какое бы ни было число парциальныхъ балокъ, тангенціальная сила въ нейтральномъ слоѣ опредѣляется всегда по общей ф-лѣ

$$\frac{3}{2} \cdot \frac{M_1 - M_0}{(n \cdot h)},$$

гдѣ $n \cdot h$ — высота составной балки.

Для стыка въ плоскости y_1 (фиг. 200)

$$U_{4 y_1} = F \cdot \frac{3}{2} \cdot h = \frac{3}{2} \cdot a \cdot h^2.$$

Моментъ инерціи надо вносить опять для всего сѣченія, и тогда

$$Ж_{4 y_1} = \frac{9}{32} \cdot \frac{M_1 - M_0}{h}.$$

Когда вычислены величины силъ сдвига, размѣры болтовъ могутъ быть опредѣлены на основаніи тѣхъ же принциповъ, которые примѣнялись при расчетѣ и круглыхъ срощенныхъ балокъ (см. § 44, *v*)

Кромѣ болтовъ, для воспринятія на себя силъ сдвига употребляются также и шпонки, которыя рассчитываются всегда въ предположеніи отсутствія болтовъ.

в) Шпонки для скрѣпленія деревянныхъ прямоугольныхъ брусевъ. Общій видъ расположенія шпонокъ на балкѣ, срощенной изъ двухъ брусевъ, показанъ на фиг. 201: ширина шпонки c , высота ея h_0 ; шпонка на половину вѣзана въ одну изъ балокъ и на столько же въ другую; размѣръ h_0 остается постояннымъ по всей рабочей длинѣ шпонки a , тогда какъ размѣръ c съ той и другой стороны балки нѣсколько различенъ, благодаря уклону на боковыхъ узкихъ сторонахъ шпонки, которыми она работаетъ, какъ клинъ. Если c_1 и c_2 будутъ наибольшая и наименьшая ширина шпонки, то

$$c = \frac{c_1 + c_2}{2}; \quad \frac{c_1 - c_2}{2} = 0,01 \cdot a$$

Врубка шпонки въ каждую изъ сращиваемыхъ балокъ дѣлается на величину

$$k = \frac{h_0}{2} = \text{отъ } 0,15 \cdot h \text{ до } 0,2 \cdot h,$$

гдѣ h — высота каждой изъ сращиваемыхъ балокъ. Въ виду того, что врубка для шпонки и дыра для скрѣпляющаго болта ослабляютъ рабочее сѣченіе балки, ни шпонки, ни болты не должны быть располагаемы въ опасномъ сѣченіи балки.

Шпонки дѣлаются обыкновенно дубовыми *); направленіе волоконъ у нихъ ставится \perp къ оси балки.

Между размѣрами шпонки c и k можетъ быть установлено соотношение, принимая во вниманіе условія ея крѣпости и условія устойчивости положенія ея въ гнѣздѣ.

Если верхній брусъ A (фиг. 202) имѣетъ стремленіе перемѣститься относительно нижняго B слѣва направо, тогда нагруженными боковыми сторонами шпонки будутъ — слѣва mn , а справа m_1n_1 . Нагрузка, приходящаяся на эти стороны, пусть будетъ p . Она стремится вращать шпонку въ гнѣздѣ около горизонтальной оси шпонки O (фиг. 102) Когда шпонка была поставлена на мѣсто съ предварительной затяжкой, распределеніе напряженій сматія на бокахъ mn и m_1n_1 можно было принимать равномернымъ; но когда совершится подъ дѣйствіемъ нагрузки p нѣкоторое вращеніе шпонки въ гнѣздѣ по направленію движенія часовой стрѣлки, тогда элементы боковой снимаемой поверхности шпонки, прилежающіе къ точкамъ m и m_1 , будутъ нагружены болѣе, нежели

*) Ниже указана одна конструкція шпонки, при которой шпонка можетъ быть выполнена сосною и будетъ даже крѣпче дубовой.

элементы возлѣ точекъ n и n_1 , такъ что моментъ воздѣйствующей пары будетъ нѣсколько менѣе $p \cdot \kappa$, который имѣли бы при равномерномъ распредѣленіи нагрузокъ p на сторонахъ mn и m_1n_1 . Но для большей надежности расчета шпонки на устойчивость ея, примемъ моментъ воздѣйствующей пары равнымъ $p \cdot \kappa$.

На верхней и нижней сторонахъ шпонки nl и n_1l_1 возбуждятся силы сопротивленія q , составленныя изъ отдѣльныхъ напряженій, равномерно возрастающихъ по мѣрѣ удаленія отъ вертикали ll_1 вправо и влево (см. § 38, ч I); поэтому моментъ сопротивленія вращенію шпонки въ гнѣздѣ будетъ $q \cdot \frac{2}{3} c$.

Условіе устойчивости шпонки въ гнѣздѣ можно выразить такъ:

$$p \cdot \kappa = \text{или менѣе } q \cdot \frac{2}{3} c, \text{ или}$$

$$\frac{c}{\kappa} = \text{или болѣе } \frac{3}{2} \cdot \frac{p}{q} \dots \dots \dots \text{ а.}$$

Если допускаемое напряжение на стыкѣ mn будетъ D , то для опредѣленія наибольшаго давленія p , которое можетъ воспринять шпонка, приближенно можно написать, что

$$p = D \cdot \kappa \cdot a \dots \dots \dots \text{ б.}$$

На самомъ же дѣлѣ величина p будетъ менѣе указанной, т. к. напряжение D будетъ существовать только въ крайнихъ точкахъ m и m_1 стыковъ, а во всѣхъ остальныхъ оно будетъ менѣе D . Но рассчитывая p по ф-лѣ б, мы дѣлаемъ допущеніе въ пользу устойчивости шпонки.

Что же касается до величины D , то по даннымъ табл. 9-й (§ 35, ч. I) видимъ, что

- а) для сосноваго гнѣзда смятіе на поверхности перерѣзанныхъ волоконъ могло бы быть принято 0,45 — 0,5 кг. на кв. мм.;
- б) для дубовой шпонки смятіе на боковой ея поверхности, при дѣйствіи нагрузки \perp къ направленію волоконъ, характеризуется допускаемымъ напряженіемъ всего 0,35 — 0,4 кг. на кв. мм.

Поэтому, какъ max , можно принять $D = 0,4$.

Если наибольшее напряженіе смятія на поверхностяхъ nl и n_1l_1 назовемъ чрезъ D_1 , тогда

$$q = \frac{D_1}{2} \frac{c}{2} a \dots \dots \dots \text{ в,}$$

гдѣ D_1 по табл. 9-й для сосны могло бы быть взято отъ 0,22 до 0,25. Въ пользу условія устойчивости примемъ $D_1 = 0,22$ кг. на кв. мм.

Послѣ этого ф-ла **a** приметъ видъ

$$\frac{c}{k} = \text{или болѣе } \frac{3}{2} \cdot 0,4 \cdot k \cdot a : \frac{0,22}{2} \cdot \frac{c}{2} \cdot a, \text{ или}$$

$$\frac{c^2}{k^2} \text{ болѣе } 10,91; \frac{c}{k} = \text{или болѣе } 3,3 \dots \dots \dots \text{ г.}$$

Разсматривая условия крѣпости шпонки, мы должны написать, что сила *p* не въ состоянн перерѣзать шпонки, или

$$p = \text{или менѣе } c \cdot a \cdot S \dots \dots \dots \text{ д.}$$

Это ур-іе написано въ пользу крѣпости шпонки относительно ея сдвига, т. к дѣйствительная длина шпонки м. б. и болѣе *a* (фиг. 201). По табл 10-й (§ 50, ч. I) можно принять для дубовой шпонки *S* = 0,125 *m.* на кв. мм (5 *пуд* на кв. *дм.*) Тогда, соединяя ф-лы **b** и **d**, найдемъ:

$$0,4 \cdot k \cdot a = \text{или менѣе } 0,125 \cdot c \cdot a, \text{ или}$$

$$\frac{c}{k} = \text{или болѣе } 3,2 \dots \dots \dots \text{ e}$$

Какъ видно, условия крѣпости шпонки и условия ея устойчивости удовлетворяются при значеніяхъ отношенія *c : k* весьма близкихъ между собою.

Достаточно было бы взять для этого ф-лу **г**; но ничто не мѣшаетъ дѣлать отношеніе *c : k* и болѣе указываемаго этой ф-лой. Часто берутъ

$$\frac{c}{k} = 4, \text{ или } \frac{c}{h_0} = 2$$

Кромѣ рассмотрѣнной формы шпонокъ, встрѣчаются въ практикѣ и другія, показанныя на фиг. 203—205.

При формѣ, приведенной на фиг. 203, на выдѣлку шпонокъ можно тратить матеріала почти вдвое менѣе, чѣмъ въ предыдущемъ случаѣ, но зато гнѣзда имѣютъ косыя очертанія, наклонныя къ оси балки, и требуютъ большей аккуратности въ работѣ.

При формѣ, показанной на фиг. 204, возможно обходиться безъ стягивающихъ болтовъ, но тогда требуется очень аккуратная работа по выдѣлкѣ гнѣздъ и шпонокъ.

Вполнѣ рациональною является форма шпонокъ, показанная на фиг. 205: отростки *s* и *t* дѣлаютъ ее весьма устойчивою въ гнѣздѣ; разстановка брусевъ на величину *r* усиливаетъ крѣпость балки и позволяетъ производить ея окраску со всѣхъ сторонъ; направленіе волоконъ въ шпонкѣ вполнѣ возможно здѣсь ставить параллельно оси балки и, выполняя шпонки сосновыми, получать крѣпость сжатія стыка шпонки при тѣхъ же его размѣрахъ болѣе, чѣмъ въ случаѣ дубовой шпонки съ волокнами, идущими \perp къ оси балки (см. данныя таб. 9-й въ § 35, ч. I).

в) *Размѣщеніе шпонокъ и болтовъ по длинѣ балки.* Выбравши размѣры s и k у шпонокъ, приступаютъ къ ихъ размѣщенію по длинѣ балки. Величина тангенціальной силы, которую можетъ воспринять на себя шпонка, дается предыдущею ф-лою b (см § 47.в)

$$p = D \cdot k \cdot a \dots \dots \dots b,$$

гдѣ $D = 0,4$ въ случаѣ дубовой шпонки съ волокнами \perp къ оси балки и

$D = 0,5$ въ случаѣ сосновой шпонки съ волокнами \parallel оси балки (фиг. 205).

Съ другой стороны величина тангенціальной силы, передаваемой на шпонку, опредѣляется общей ф-лой B (см. § 36).

$$Ж = U \cdot \frac{M - M_1}{I}$$

Во всѣхъ промежуткахъ между шпонками необходимо имѣть

$$Ж = \text{или менѣе } p,$$

откуда разность моментовъ, опредѣляющая разстояние между шпонками, будетъ:

$$M - M_1 = m = \text{или менѣе } \frac{p \cdot I}{U} \dots \dots \dots 120$$

Пользуясь ф-лой **120**, дѣлаютъ размѣщеніе шпонокъ графическимъ путемъ весьма просто слѣд. обр.:

Пусть, напр., балка AB (фиг 206) нагружена равномерно по всей длинѣ; кривою моментовъ будетъ въ этомъ случаѣ парабола AKB ; наибольшая ордината ея въ опасномъ сѣчени балки будетъ KL . Вычисляемъ величину m по ф-лѣ **120** и откладываемъ на чертежѣ

$$Kc = cd = de = ef = m.$$

Изъ полученныхъ точекъ проводимъ горизонтали $Cc, Dd \dots$ до пересѣченія съ параболою въ точкахъ $C, D, E \dots$. Проводя чрезъ эти точки вертикали $CC_1, DD_1 \dots$, опредѣлимъ мѣста для шпонокъ.

1-я шпонка слѣва отъ середины д. б. расположена правѣе точки C_1 ,

2-я—правѣе D_1 и т. д. При этомъ получилось на фиг. 206 Lf менѣе m . Если желаемъ, чтобы крайняя лѣвая шпонка расположилась какъ разъ надъ опорой A , тогда въ нашемъ случаѣ (фиг 206) дѣлимъ ординату KL ровно на 5 частей и находимъ новое расположение шпонокъ, при которомъ онѣ будутъ поставлены въ условия, еще болѣе благоприятныя, чѣмъ въ предыдущемъ случаѣ.

Такимъ же образомъ поступаютъ и при всякомъ другомъ способѣ нагруженія балокъ.

Расположение осей *zz* болтовъ при свертывани брусевъ, скрѣпленныхъ шпонками, встрѣчается въ трехъ видахъ, какъ показано на фиг. 201, 207 и 208.

Изъ нихъ расположеніе, показанное на фиг 207, наименѣе удачно, такъ какъ здѣсь ослабленіе поперечнаго сѣченія и болтомъ и шпункою происходитъ въ одномъ и томъ же мѣстѣ

Болты выполняются съ большой предварительной затяжкой, чтобы не происходило ослабленія ихъ въ случаѣ измѣненія величины нагрузки или направленія ея дѣйствія. Расчетъ ихъ производится такъ, какъ будто бы шпонокъ вовсе не было (см. § 44 *1*), но при этомъ принимается во вниманіе также и воздѣйствіе момента *p k* отъ шпонки на смежную пару болтовъ, какъ усиливающее величину напряженія въ нихъ. Число болтовъ здѣсь назначается въ зависимости отъ расположенія ихъ и отъ числа шпонокъ (фиг. 201, 207, 208). Диаметръ болтовъ во всякомъ случаѣ не дѣлается менѣе $\frac{3}{4} d_m$.

Употребленіе срощенныхъ деревянныхъ балокъ въ машиностроеніи практикуется весьма давно Такъ строились между прочимъ всѣ коромысла первыхъ по времени паровыхъ машинъ. Наиболѣе грандіознымъ изъ нихъ является коромысло атмосферной машины *Smcaton* (1775 г.), имѣвшей діаметръ парового цилиндра 72 дм, ходъ поршня—9 фут; число оборотовъ въ мин.—9; все коромысло составлено было изъ 24 деревянныхъ брусевъ, поставленныхъ по ширинѣ въ 2 ряда, такъ что наращивалось въ высоту 12 брусевъ, а для усиленія крѣпости средняго сѣченія примѣненъ былъ принципъ устройства проѣзной балки. (*Galloway The steam engine*).

48. Задачи. № 87. Деревянная балка срощена изъ двухъ прямоугольныхъ брусевъ одинаковой ширины $a = 180$ мм, но разной высоты — $h_1 = 180$ и $h_2 = 220$ мм Найдите ея модуль сопротивленія

Общая высота балокъ $h = 180 + 220 = 400$ мм.

Для балки съ такой высотой модуля въ табл. 28-й (см. § 46) нѣтъ, но есть модули для балки съ высотой вдвое меньшей—въ 20 см. При одной и той же ширинѣ балки модули пропорциональны квадратамъ высотъ.

При высотѣ въ 20 см. табличный модуль

для ширины 10 см. . .	666,7	}	сумма ихъ ... 1200 см.
" " 8 " . . .	533,3		

Для балки съ высотой въ 40 см. модуль долженъ быть

$$W = 1200 \cdot 4 = 4800 \text{ см}$$

№ 88. Деревянная балка накрѣпко срощена изъ двухъ одинаковыхъ брусевъ $a \times h$, но такъ, что одинъ изъ нихъ *B* (фиг. 209) поставленъ на ребро, а другой *A* работаетъ плашмя. Найдите модуль сопротивленія такой балки.

Расстояніе между центрами тяжести сѣченій обѣихъ балокъ

$$AB = \frac{a + h}{2}.$$

Центръ тяжести сѣченія всей балки опредѣлится равенствомъ:

$$AO = BO = \frac{AB}{2} = \frac{a + h}{4}$$

Спрашивается, можетъ-ли точка O совпасть съ E , т. е. можетъ-ли *ц. т.* всего сѣченія лежать въ плоскости стыка?

Для этого было бы необходимо имѣть $BO = BE$, т. е.

$$\frac{a + h}{4} = \frac{h}{2}, \text{ или } a = h.$$

Разстояніе крайнихъ элементовъ площади сѣченія отъ нейтральнаго слоя

$$CO = BC + BO = \frac{h}{2} + \frac{a + h}{4} = \frac{a + 3h}{4}.$$

Съ другой стороны

$$OD = \frac{3a + h}{4}.$$

Вычисляемъ теперь моменты инерціи сѣченій отдѣльныхъ брусьевъ и всего сѣченія балки

$$I_{vB} = \frac{a \cdot h^3}{12} + a \cdot h \cdot \left(\frac{a + h}{4}\right)^2 = \frac{a \cdot h^3}{12} \cdot \left[1 + \frac{3}{4} \left(\frac{a + h}{h}\right)^2\right]$$

$$I_{yA} = \frac{h \cdot a^3}{12} + a \cdot h \cdot \left(\frac{a + h}{4}\right)^2 = \frac{a \cdot h^3}{12} \cdot \left[\frac{a^2}{h^2} + \frac{3}{4} \left(\frac{a + h}{h}\right)^2\right]$$

$$I_{AB} = I_{yA} + I_{vB} = \frac{a \cdot h^3}{12} \left[1 + \frac{3 \cdot (a + h)^2 + 2a^2}{2h^2}\right]; \quad W = I_{AB} : CO.$$

$$\text{При } \frac{h}{a} = 2 \dots \dots I_{AB} : \frac{ah^3}{12} = \frac{37}{8} \dots \dots W : \frac{ah^2}{6} = \frac{37}{14}$$

$$\text{„ „} = 3 \dots \dots \text{„ „} = \frac{34}{9} \dots \dots \text{„ „} = \frac{34}{15}.$$

Эти послѣднія цифры показываютъ, что такая комбинація балокъ является гораздо менѣ рациональною, чѣмъ однообразное наращиваніе балокъ, поставленныхъ сбѣ на ребро.

№ 89. Изъ круглаго бруса нужно вырѣзать n досокъ одинаковаго прямоугольнаго сѣченія подѣ тѣмъ условіемъ, чтобы сложенные вмѣстѣ и поставленные на ребро онѣ дали *max* модуля

Сѣчене доски $\delta \times h$. Пусть ширина пропила между отдѣльными досками будетъ s .

$$\text{Если } n \cdot \delta + (n - 1) \cdot s = a,$$

то брусъ $a \times h$ будетъ тотъ самый, относительно котораго мы уже рѣшали вопросъ объ опредѣленіи его размѣровъ подѣ условіемъ *max W* (см. § 46), и для котораго нашли

$$h : a = 7 : 5$$

и способъ расчерчиванія, показанный на фиг. 196. Для него имѣли также

$$h^2 = \frac{2}{3} \cdot d^2; \quad h = 0,816 \cdot d.$$

Затѣмъ теперь имѣемъ

$$n \cdot \delta + (n - 1) \cdot s = \frac{5}{7} h = 0,58 \cdot d.$$

Изъ этого ур-ія, задаваясь шириною пропила $s = 2 - 3$ мм., можно опредѣлять или число досокъ n по толщинѣ ихъ δ , или наоборотъ. Замѣтимъ однако, что такой распилъ не будетъ рационаленъ, ибо здѣсь $h =$ всего $0,816 \cdot d$, слѣд. у нѣкоторыхъ досокъ теряется до 15% высоты, что соответствуетъ потерѣ на величинѣ модуля

$$(1,15)^2 - 1 = 0,323,$$

т. е. около 30%. Поэтому при распилѣ брусевъ на доски никоимъ образомъ не слѣдуетъ требовать, чтобы онѣ были вырѣзаны съ одинаковой высотой. Нужно озаботиться только объ одинаковой ширинѣ ихъ; затѣмъ, будучи взяты отъ разныхъ брусевъ, онѣ будутъ подсортированы по высотѣ, и утрата материала такимъ образомъ м. б. доведена до *min*.

№ 90 Найти выражение модуля сопротивления для *прорѣзной* балки (фиг. 210), составленной изъ двухъ брусевъ прямоугольнаго сѣченія, и обнаружить выгодность ея употребленія.

Размѣры каждого изъ брусевъ — $a \times h$, высота всей балки — $n \cdot h$, нейтральный слой yy дѣлитъ ее пополамъ.

$$I_y = a \cdot h^3 \cdot \frac{n^3 - (n - 2)^3}{12} = a \cdot h^3 \cdot \frac{6n^2 - 12n + 8}{12}$$

$$e = \frac{n \cdot h}{2}; \quad W = \frac{a \cdot h^2}{6} \cdot \frac{6n^2 - 12n + 8}{n}.$$

Для одинарной балки съ размѣрами $a \times h$ выраженіе модуля было

$$W_1 = \frac{a \cdot h^2}{6}.$$

$$\text{Такимъ образомъ } W:W_1 = \frac{6 \cdot n^2 - 12 \cdot n + 8}{n} = A.$$

Въ этомъ выраженіи $n =$ или болѣе *двухъ*. При $n = 2$ получаемъ $A = 4$, какъ это имѣли для сращенной балки, изображенной на фиг. 198 (§ 47, б).

При $n = 2,25$	2,5	2,75	3	3,25	3,5	3,75	4
„ $A = 5,05$	6,2	7,41	8,66	9,93	11,3	12,63	14

№ 91. Сравнить между собою модули сопротивления трехъ деревянныхъ балокъ: 1) круглой съ diam. d , 2) прямоугольной, вырѣзанной

изъ этой круглой подь условиемъ *max W* и 3) квадратной, вырѣзанной изъ круглой

Называемъ модули балокъ соответственно — $W_1 W_2 W_3$. Тогда

$$W_1 = \frac{\pi}{32} \cdot d^3; \quad W_2 = \frac{1}{6} \cdot \frac{d}{\sqrt{3}} \cdot \frac{2}{3} \cdot d^2 = \frac{1}{9\sqrt{3}} \cdot d^3;$$

$$W_3 = \frac{1}{6} \cdot \left(\frac{d}{\sqrt{2}}\right)^3 = \frac{1}{12\sqrt{2}} \cdot d^3.$$

Такимъ образомъ отношение модулей будетъ соответственно:

$$\frac{\pi}{32} : \frac{1}{9\sqrt{3}} : \frac{1}{12\sqrt{2}}, \text{ или}$$

$$0,09818 : 0,06414 : 0,05893, \text{ или}$$

$$1 : 0,653 : 0,600, \text{ или}$$

$$1,5314 : 1 : 0,9187, \text{ или}$$

$$1,6667 \quad 1,0883 \quad . 1.$$

Желѣзные балки.

49. Желѣзные балки съ круглымъ поперечнымъ сѣченіемъ. Сгибаемыя части машинъ и сооружений, выполняемые изъ желѣза съ круглой формой поперечнаго сѣченія, примѣняются главнымъ образомъ въ тѣхъ случаяхъ, гдѣ ожидается возможность измѣненія направленія вдѣйствія сгибающей нагрузки. Если M будетъ расчетный моментъ B — допускаемое напряженіе при сгибаніи, W — модуль сопротивленія расчетнаго сѣченія и d — диаметръ его, то

$$\left. \begin{aligned} M &= B \cdot W \\ W &= \frac{\pi}{64} \cdot d^4 \cdot \frac{d}{2} = \frac{\pi}{32} \cdot d^5 \end{aligned} \right\} \dots \dots \dots 121.$$

Въ табл. 29-й приведены величины модулей W .

Таблица 29-я.

* d — въ мм., W — въ куб. мм.

d	25	30	35	40	45	50	55	60
W	1534	2651	4209	6283	8946	12272	16334	21206
d	65	70	75	80	85	90	95	100
W	26961	33674	41417	50265	60292	71569	84173	98175

Величины B для сварочнаго желѣза берутся такъ:

направленіе дѣйствія нагрузки постоянно $B = 6,5 - 7,5$
 " " " переменнo $B = 3 - 4$

Для литога желѣза (*Flusseisen*):

направленіе дѣйствія нагрузки постоянно $B = 8 - 10$
 " " " переменнo $B = 5 - 6$

50. Желѣзные балки съ прямоугольнымъ сѣченіемъ. Такую форму поперечнаго сѣченія получаютъ рычаги, небольшіе балансиры и т. п. части машинъ. Расчетъ этихъ балокъ производится по тѣмъ же общимъ ф-ламъ, какъ и для деревянныхъ балокъ прямоугольнаго сѣченія (см. ф-лы 118 въ § 46). При нахожденіи модуля можно пользоваться цифрами табл. 28 (въ § 46), помня, что модули прямоугольныхъ балокъ пропорціональны 1-й степени ширины сѣченія и квадрату его высоты, т. е. квадрату размѣра, ||-го направленію нагрузки.

а. Случай передачи нагрузки на нѣсколько балокъ съ различными размѣрами поперечнаго сѣченія, имѣющихъ общую стрѣлу прогиба Подобный примѣръ встрѣчаемъ при расчетѣ чеки и причеки, гдѣ имѣются двѣ или три сгибаемыя части, воспринимающія общую нагрузку и дающія общій провѣсъ.

Пусть имѣемъ 3 такихъ балки I, II, III (фиг. 211) съ высотами $h_1 h_2 h_3$; у каждой изъ нихъ будетъ свой нейтральный слой $y_1 y_2 y_3$, и каждая будетъ воспринимать свой сгибающій моментъ $M_1 M_2 M_3$; въ суммѣ они дадутъ заданный моментъ M .

Всѣ ф-лы для опредѣленія допускаемой стрѣлы прогиба имѣли такой общій видъ (см. ф-лы 35, 41, 47, 55, 62 и др.):

$$f = c \frac{l^2}{E} \cdot \frac{B}{e} \dots \dots \dots 122,$$

гдѣ l — длина балки.

e — разстояніе крайнихъ точекъ сѣченія отъ нейтральнаго слоя, т. е. полувысота въ случаѣ прямоугольнаго сѣченія,

E — коэф. упругости материала,

B — допускаемое напряженіе материала,

c — постоянный коэф., зависящій отъ способа нагруженія балки

Предполагая, что всѣ три балки имѣютъ общую длину, сдѣланы изъ одного и того же матеріала и одинаковымъ образомъ нагружены, т. е. въ ф-лѣ 122 для нихъ будутъ одинаковы величины c , l и E , мы видимъ, что всѣ 3 балки дадутъ общій провѣсъ тогда только, когда при расчетѣ ихъ будетъ сдѣлано

$$\frac{B}{e} = \text{постоян. велич., или}$$

$$\frac{B_1}{e_1} = \frac{B_2}{e_2} = \frac{B_3}{e_3} \dots \dots \dots \text{а}$$

Если отъ дѣйствія момента M_2 наиболѣе растянутыми элементами сѣченія будутъ прилегающіе къ линіи CD , по напряженіе ихъ B_2 будетъ:

$$B_2 = \frac{M_2}{W_2} = \frac{M}{W_2} \cdot \sin \beta.$$

Такимъ образомъ въ точкѣ C , на пересѣченіи наиболѣе напряженныхъ линій AB и CD , получится наивысшее въ данномъ сѣченіи напряженіе

$$H = B_1 + B_2 = M \cdot \left(\frac{\cos \beta}{W_1} + \frac{\sin \beta}{W_2} \right) \dots \dots \dots 124$$

Съ измѣненіемъ величины угла β будетъ измѣняться и напряженіе H ; найдемъ его *max*:

$$\frac{dH}{d\beta} = M \cdot \left(-\frac{\sin \beta}{W_1} + \frac{\cos \beta}{W_2} \right) = 0, \text{ откуда}$$

$$\operatorname{tg} \beta = \frac{W_1}{W_2} = \frac{a}{h} \dots \dots \dots 125.$$

Очевидно, что уголъ $CAD = \beta$, т. е. при перемѣнѣ направленія дѣйствія нагрузки на балку съ прямоугольнымъ сѣченіемъ, наиболее опаснымъ положеніемъ плоскости нагруженія будетъ такое, когда она перпендикулярна къ одной изъ диагоналей поперечнаго сѣченія балки.

Взявши 2-ю производную отъ H по β , легко обнаружить, что это значеніе β будетъ соответствовать *max* величины H , а не *min*.

Послѣ этого можно написать

$$\cos \beta = 1 : \sqrt{1 + \operatorname{tg}^2 \beta} = h : \sqrt{a^2 + h^2}$$

$$\sin \beta = \operatorname{tg} \beta \cdot \cos \beta = a : \sqrt{a^2 + h^2}$$

Вносимъ эти величины въ ф-лу 124, подставляя въ нее вмѣсто модулей ихъ значенія въ функціи размѣровъ сѣченія; тогда

$$\operatorname{max} H = \frac{6M}{\sqrt{a^2 + h^2}} \left(\frac{1}{a^2} + \frac{1}{h^2} \right), \text{ или}$$

$$\operatorname{max} H = \frac{6M}{a^2 \cdot h^2} \cdot \sqrt{a^2 + h^2}$$

Расчетное, ур-е балки получится послѣ замѣны этого наибольшаго напряженія допускаемою для него величиною B :

$$B = \frac{M}{\left(\frac{a \cdot h^3}{6} \right)} \cdot \frac{\sqrt{a^2 + h^2}}{a} \dots \dots \dots 126.$$

Эта ф-ла показываетъ, что отношеніе расчетнаго напряженія въ случаѣ наиболее опаснаго расположенія плоскости нагруженія къ расчетному напряженію въ случаѣ наиболее выгоднаго расположе-

ня плоскости нагруженія, когда балка поставлена „на ребро“, равно отношенію диагонали къ наименьшей изъ сторонъ прямоугольнаго сѣченія.

Слѣд., если направленіе воздѣйствія нагрузки строго опредѣленное, т. е. β постоянно, тогда расчетъ слѣдуетъ производить по ф-лѣ 124, а при переменномъ β по — ф-лѣ 126. Дѣлая β равнымъ 0 или 90°, получаемъ частныя рѣшенія вопроса объ изгибѣ тѣла въ горизонтальной плоскости или вертикальной.

в) *Эллипсъ прогибовъ.* Въ случаѣ воздѣйствія на прямоугольную балку такой нагрузки, направленіе которой не совпадаетъ съ осями симметрии сѣченія, плоскость прогиба тѣла дѣлаетъ съ плоскостью нагруженія нѣкоторый уголъ. Откладывая величины стрѣлокъ прогиба по величинѣ и по направленію отъ *ц. т.* сѣченія въ соответственныхъ плоскостяхъ прогиба, получимъ на плоскости поперечнаго сѣченія нѣкоторую кривую; ея радіусы векторы графически будутъ изображать собою величины стрѣлокъ прогиба и указывать направленіе послѣдняго. Проф. *Intze* *) показалъ, что кривая эта будетъ эллипсомъ и назвалъ ее *эллипсомъ прогибовъ.*

Какой бы ни былъ способъ нагруженія тѣла, стрѣлка прогиба f м. б. выражена слѣдующею ф-лою (см. §§ 15—26):

$$f = k \frac{M}{I} \dots \dots \dots б,$$

гдѣ M — сгибающій моментъ,

I — моментъ инерціи сѣченія,

k — постоянный коэф., зависящій отъ рода матеріала и способа нагруженія тѣла

Пусть $a = OA = OB$ (фиг. 213) будетъ величина стрѣлки прогиба, которую получилъ бы данный брусъ, если бы заданный моментъ M дѣйствовалъ въ горизонтальной плоскости Oy ;

$b = OD = OE$ — подобная же стрѣлка при воздѣйствіи M въ вертикальной плоскости;

$I_1 = \frac{h \cdot c^3}{12}$ — моментъ инерціи сѣченія, взятый относительно нейтральной линіи Oz , т. е. при изгибѣ тѣла въ плоскости Oy ;

$I_2 = \frac{c \cdot h^3}{12}$ — моментъ инерціи сѣченія относительно оси Oy для случая изгиба въ вертикальной плоскости:

На основаніи этого, пользуясь ф-лой б этого §, мы можемъ написать:

$$a = k \cdot \frac{M}{I_1}, \quad b = k \cdot \frac{M}{I_2}$$

*) Въ журн. *Z.d. Ver. deutsch Ing.* 1881, H 10.

Дѣлая разложение заданнаго сгибающаго момента M по осямъ координатъ, получимъ слагающія его M_1 и M_2 слѣд. обр :

$$\begin{aligned} \text{по оси } Oy & \dots M_1 = M \cos\beta \\ \text{„ } Oz & \dots M_2 = M \sin\beta \end{aligned}$$

Соотвѣтственные этимъ моментамъ стрѣлки прогиба будутъ опредѣляться такъ:

$$\left. \begin{aligned} f_1 &= k \cdot \frac{M_1}{I_1} = k \cdot \frac{M \cdot \cos\beta}{I_1} = a \cdot \cos\beta \\ f_2 &= k \cdot \frac{M_2}{I_2} = k \cdot \frac{M \cdot \sin\beta}{I_2} = b \cdot \sin\beta. \end{aligned} \right\} \dots \dots \dots \Gamma.$$

Искомая стрѣла прогиба будетъ

$$h = \sqrt{f_1^2 + f_2^2} \dots \dots \dots \text{Д.}$$

• Образую сумму квадратовъ синуса и косинуса β , получимъ:

$$\frac{f_1^2}{a^2} + \frac{f_2^2}{b^2} = 1. \dots \dots \dots 127.$$

Это и есть искомое ур-е эллипса прогибовъ, если f_1 принять за абсциссу, а f_2 — за ординату точки, радиусъ векторъ которой равенъ по величинѣ и по направленію стрѣлѣ прогиба, вызываемой въ брусѣ заданнымъ сгибающимъ моментомъ M .

Ф-лы 127 и Д указываютъ способъ построения эллипса прогибовъ: проведемъ окружности ANB и DHE радиусами a и b ; построение можетъ быть сдѣлано въ произвольномъ масштабѣ, нужно только соблюсти условие:

$$a \cdot I_1 = b \cdot I_2, \text{ или } \frac{a}{b} = \frac{OA}{OE} = \frac{I_2}{I_1} = \frac{h^2}{c^2};$$

затѣмъ проводимъ направленіе ON подъ угломъ β къ оси Oy ; это будетъ слѣдъ плоскости нагруженія; отмѣчаемъ точки N и H пересѣченія этого радиуса ON съ окружностями DE и AB ; если изъ N проведемъ вертикаль KN , а изъ H горизонталь HL , тогда, очевидно, будемъ имѣть слѣдующее:

$$OK = ON \cdot \cos\beta = f_1 = a \cdot \cos\beta$$

$$KL = OH \cdot \sin\beta = f_2 = b \cdot \sin\beta,$$

т. е. длина OL по величинѣ и по направленію будетъ представлять собою стрѣлу прогиба, въ то же время — радиусъ векторъ эллипса прогибовъ и слѣдъ плоскости изгиба бруса, дѣлающій съ осью Oy уголъ γ . Подобнымъ же образомъ построятся и всѣ другія точки эллипса прогибовъ ALD при измѣненіи угла β .

Помощю эллипса прогибовъ возможно рѣшеніе и обратнаго вопроса, т. е. отысканіе положенія плоскости нагруженія ON по заданному положенію плоскости прогиба OL ; для этого изъ точки L проводятъ вертикаль LN или же горизонталь HL ; тогда направление OHN и будетъ отмѣчать положеніе плоскости нагруженія.

Какъ видно изъ чертежа (фиг. 213), при измѣненіи β отъ 0 до 90° плоскость прогибовъ все время отстаетъ отъ плоскости нагруженія; онѣ совпадаютъ между собою только при крайнихъ значеніяхъ β , когда изгибъ бруса происходитъ или въ горизонтальной плоскости или въ вертикальной.

Зависимость между углами β и γ устанавливается слѣдующимъ образомъ (фиг. 213):

$$KL = f_2 = OH \cdot \sin \beta = b \cdot \sin \beta$$

$$KL = OK \cdot \operatorname{tg} \gamma = a \cdot \cos \beta \cdot \operatorname{tg} \gamma,$$

откуда $b \cdot \sin \beta = a \cdot \cos \beta \cdot \operatorname{tg} \gamma$, или

$$\frac{\operatorname{tg} \beta}{\operatorname{tg} \gamma} = \frac{a}{b} = \frac{h^2}{c^2} \dots \dots \dots 128,$$

т. е. отношение тангенсовъ угловъ, которыя дѣлаютъ съ горизонтальною плоскостью нагруженія и плоскостью прогиба, равно отношению квадратовъ сторонъ прямоугольнаго сѣченія бруса.

Вопросъ объ эллипсѣ прогибовъ поставленъ здѣсь такъ обр., что всѣ разсужденія и выводы м. б. отнесены также и къ брусамъ съ другимъ поперечнымъ сѣченіемъ, лишь бы у нихъ имѣлось по двѣ оси симметріи. Полученными здѣсь результатами приближенно пользуются также при косомъ выгибѣ рельсовъ, желѣзныхъ угольниковъ и проч. Въ случаѣ круглаго поперечнаго сѣченія $a = b$, эллипсъ прогибовъ обращается въ кругъ, и плоскость нагруженія всегда совпадаетъ съ плоскостью прогиба.

51. Желѣзныя балки съ двутавровымъ поперечнымъ сѣченіемъ.

а) *Одинарные прокатныя балки* Двутавровыя балки изъ сварочнаго и литого желѣза получаютъ прокаткою. Главныя размѣры ихъ слѣдующіе (фиг. 214): h —высота сѣченія, a —ширина „ножки“, или „подшвы“, t —толщина „ножки“, или „ребра“, d —толщина вертикальной стѣнки (или просто толщина „стѣнки“). Между этими размѣрами установлено заграницею вполне определенное соотношеніе; по взаимному соглашенію между потребителями балокъ и производителями ихъ установлены *нормальныя размѣры* и нумерація балокъ. *Нумеромъ* балки въ Германіи принято называть число сантиметровъ, заключающихся въ высотѣ балки. Въ Америкѣ готовятъ двутавровыя балки, какъ рыночный товаръ, съ высотой до 600 мм. (24 дм.), въ Германіи — до 500 мм. (20 дм.), въ Россіи — до 300 мм (12 дм.).

Ниже приведены таблицы для расчета таких балокъ. Въ нихъ обозначаютъ:

№ — номеръ профиля балки.

F въ кв. см. — площадь поперечнаго сѣченія балки,

I_1 и I_2 въ см⁴. — моменты инерции относительно осей yy и zz (фиг. 214),

W въ см³. — модуль сопротивленія сѣченія относительно оси yy ,

q въ m — вѣсъ погоннаго метра балки.

Для перевода однѣхъ мѣръ въ другія могутъ служить слѣдующія данныя:

q въ kg для $mt = 1,344$. q въ рус. фунт. для фута.

q въ рус. фунт. для фута = 0,744 . q въ kg . для mt .

F въ кв. дм. = 0,15501 F въ кв. см.

F въ кв. см. = 6,45137 . F въ кв. дм

I въ см⁴. = 41,6 . I въ дм⁴.

I въ дм⁴. = 0,024 . I въ см⁴.

W въ см³. = 16,38 . W въ дм³.

W въ дм³ = 0,061 . W въ см³

Въ таблицѣ 30-й приведены данныя для нормальныхъ двутавровыхъ профилей, установленныхъ германскими инженерами.

Александровскій сталелитейный заводъ въ Спб. готовитъ двутавровыя балки съ высотой въ мм.

127; 150; 178; 200; 235; 260; 280; 300;

соотвѣтственныя имъ модули въ см³. таковы:

60; 99; 166; 216; 314; 446; 560; 659.

Данныя для профилей *Путиловскаго завода* въ Спб. приведены въ табл. 31-й.

Длину двутавровыхъ балокъ можно имѣть отъ 7 до 42 фут. (2,1 до 12,8 мт.) до № 15, а выше этого № — отъ $18\frac{2}{3}$ до 42 фут., или же отъ 8 до 18 аршинъ.

Т а б л и ц а 30-я.

Нормальные двутавровые немецкие профили.

№ профиля.	Площадь F кв. см.	Весъ 1 mt q килогр.	Моменты инерции въ см ⁴		Модули W_y въ см. ³
			I_y	I_z	
8	7,61	6,0	78,4	7,35	19,6
9	9,05	7,1	118	10,4	26,2
10	10,69	8,3	172	14,3	34,4
11	12,36	9,6	241	18,9	43,8
12	14,27	11,1	331	25,2	55,1
13	16,19	12,6	441	32,2	67,8
14	18,35	14,3	579	41,3	82,7
15	20,5	16,0	743	51,8	99,0
16	22,9	17,9	945	64,0	118
17	25,4	19,8	1177	78,8	139
18	28,0	21,9	1460	95,9	162
19	30,7	24,0	1779	115,2	187
20	33,7	26,2	2162	138	216
21	36,6	28,5	2587	163	246
22	39,8	31,0	3090	192	281
23	42,9	33,5	3642	224	317
24	46,4	36,2	4288	261	357
26	53,7	41,9	5798	341	446
28	61,4	47,9	7658	429	547
30	69,4	54,1	9888	530	659
32	78,2	61,0	12622	652	789
34	87,2	68,0	15827	789	931
36	97,5	76,1	19766	956	1098
38	107,5	83,9	24208	1138	1274
40	118,3	92,3	29446	1349	1472
42,5	133,0	103,7	37266	1672	1754
45	147,7	115,2	46204	2004	2054
47,5	163,6	127,6	56912	2424	2396
50	180,2	140,5	69245	2871	2770
55	215,2	167,9	99838	4028	3630

Таблица 31-я.

Двутавровые профили Путиловскаго завода въ С.-Петербургѣ.

Размѣры сѣченія въ дюймахъ.	Площадь сѣче- нія въ кв. <i>дм.</i>	Вѣсъ погоннаго фута балки въ <i>фунт.</i>	Модуль сопро- тивленія балки въ куб. <i>дм.</i>
$4 \times 2 \times \frac{3}{16}$	1,77	6,9	2,27
$5 \times 2 \frac{1}{4} \times \frac{7}{32}$	2,36	9,2	3,70
$5 \frac{1}{2} \times 2 \frac{1}{2} \times \frac{7}{32}$	2,65	10,4	4,88
$6 \times 2 \frac{3}{4} \times \frac{1}{4}$	3,33	13,2	6,30
$7 \times 3 \frac{3}{16} \times \frac{1}{4}$	4,32	16,7	9,70
$8 \times 3 \frac{1}{2} \times \frac{5}{16}$	5,41	20,5	13,6
$9 \times 3 \frac{15}{16} \times \frac{11}{32}$	6,70	25,7	19,70
$10 \times 4 \frac{7}{16} \times \frac{3}{8}$	8,01	31,4	25,9
$12 \times 4 \frac{13}{16} \times \frac{15}{32}$	11,13	42,8	40,80

Разсматривая данныя таблицъ 30 и 31, мы видимъ, что при переходѣ къ высшимъ №-мъ возрастание модуля сопротивленія у двутавровыхъ балокъ идетъ гораздо быстрее, чѣмъ увеличеніе вѣса ихъ.

Таблица 32-я.

Характеристика нормальныхъ нѣмецкихъ профилей.

№ балки	8	13	19	24	28	32
Вѣсъ <i>q</i>	6	12,6	24	36,2	47,9	61
Отношеніе } вѣсовъ }	1	2	4	6	8	10
Модуль W_y ..	19,6	67,8	187	357	547	789
Отношеніе } модулей }	1	3,46	9,54	18,2	27,9	40,24

Это сопоставленіе данныхъ сдѣлано въ табл. 32-й, гдѣ указано отношеніе соотвѣтственнаго вѣса балокъ и модулей ихъ Слѣдоват, когда нагрузка d б. передана не на одну балку, а на нѣсколько, выборъ балокъ высшаго № всегда приведетъ къ меньшей стоимости балокъ, чѣмъ при употребленіи низшихъ №-овъ. Выборъ болѣе высокихъ балокъ выгоденъ еще и потому, что такія балки будутъ давать при той же крѣпости ихъ значительно меньшей прогибъ, а именно: *если балки будутъ рассчитаны съ однимъ и тѣмъ же напряженіемъ материала, прогибы ихъ будутъ обратно пропорциональны N -амъ ихъ.*

б) *Клепанная балка двутаврового сѣченія* (фиг. 215) Такия балки образуются наклепкою на вертикальную стѣнку угловыхъ полосъ, числомъ 4, изъ нихъ — двѣ вверху и двѣ внизу. Если нужно дальнѣйшее увеличеніе модуля балки, къ угольникамъ приклепываются полки или подошвы L , показанныя на фиг. 215 пунктиромъ, изъ балочнаго желѣза.

Чтобы съ одной стороны облегчить расчетъ такихъ балокъ, а съ другой — привести результатъ расчета къ такимъ комбинаціямъ въ размѣрахъ полосъ и угольниковъ, которые являются наиболѣе удобными и практичными, существуютъ расчетныя таблицы для клепаныхъ балокъ. Эти таблицы содержатъ въ себѣ данныя относительно размѣровъ, величину модуля балки, а также и вѣсъ погоннаго *мт.* ея.

Такия таблицы имѣются въ слѣдующихъ работахъ:

а) въ работѣ инж. *Шаровскаго* (*Scharowsky—Musterbuch für Eisenconstructionen*) собраны данныя для клепаныхъ балокъ, у которыхъ величина модуля измѣняется отъ 3.000 до 20.0000 $см^3$;

б) въ работѣ *Boehm & John — Widerstandsmomente, Tragheitsmomente und Gewichte von Blechträgern* собраны данныя для клепаныхъ балокъ съ величиной модуля отъ 59 до 25622 $см^3$ и приведенъ указатель вѣсхъ балокъ въ порядкѣ возрастанія ихъ модуля;

в) въ работѣ *Zimmermann — Genietete Träger.*

Возьмемъ одну изъ клепаныхъ балокъ и прослѣдимъ возрастаніе ея модуля и вѣса при наклепываніи полокъ вверху и внизу сѣченія.

Возьмемъ клепаную балку съ сѣченіемъ фиг. 215, у которой размѣры стѣнки — 400×10 *мм.*, а размѣры угольниковъ — $100 \times 100 \times 10$ Для такой балки у *Boehm & John* (сокращенно *B. & J*) на стр. 18 находимъ модуль $W = 1292$ $см^3$, а вѣсъ погоннаго *мт.* — $q = 91$ *кг.*, не принимая во вниманіе вѣсъ заклепочныхъ головокъ (диам. закл. — 20 *мм.*).

Если бы та же балка имѣла полки, очертаніе которыхъ показано на фиг. 215 пунктиромъ, съ размѣрами $a \times b$, когда у нея повысились бы и вѣсъ, и модуль. Такъ, напр., если полки будутъ каждая изъ

одной полосы съ размѣрами сѣченія 250×12 мм., тогда у *B.* & *J.* на стр. 54 находимъ

модуль — 2203, вѣсъ — 137,8;

для балки съ полками той же ширины, но изъ двухъ полосъ, т. е. съ размѣрами сѣченія 250×24 , у *B.* & *J.* на стр. 56 находимъ

модуль — 3155, вѣсъ — 184,6,

для балки съ полками изъ трехъ полосъ на стр. 57 имѣемъ

модуль — 4124, вѣсъ — 231,4.

Послѣдовательное возрастаніе модуля и вѣса балки при измѣненіи числа полосъ въ полкахъ указываетъ для этого случая табл. 33-я.

Таблица 33-я.

Модули и вѣсъ клепаной балки съ размѣрами: стѣнки — 400×10 мм., угольниковъ — $100 \times 100 \times 10$, каждой изъ полосъ — 250×12 .

	Балка безъ полокъ	Число полосъ въ каждой полкѣ:		
		одна	двѣ	три
Модули	1292	2203	3155	4124
Отношеніе модулей	1	1,71	2,44	3,2
	—	1	1,43	1,87
	—	—	1	1,30
Вѣсъ <i>q</i>	91	137,8	184,6	231,4
Отношеніе вѣсовъ	1	1,51	2,03	2,54
	—	1	1,34	1,68
	—	—	1	1,25

Цифры этой таблицы ясно указываютъ, какимъ образомъ происходитъ возрастаніе модуля и вѣса балки по мѣрѣ утолщенія ея полокъ; вмѣстѣ съ тѣмъ, сравнивая данныя таблицъ 30 и 33, видимъ, что клепаная балка безъ полокъ и съ одной полкою, даже при высотѣ *h* въ 400 мм. съ выгодною могутъ быть замѣнены прокатными балками № 38 и $47\frac{1}{2}$ соответственно, а при всѣхъ болѣе низкихъ балкахъ это будетъ имѣть мѣсто даже и при полкахъ изъ двухъ полосъ. Напр., клепаная балка

- съ размѣрами стѣнки 220×10 мм.
- „ уголковъ $75 \times 75 \times 10$ мм.
- „ полокъ $2 \times 10 \times 170$ „

по *B.* & *J.* (стр. 35) будемъ имѣть модуль $93Q$ см.³ и вѣсъ погон *м.* 114,3 *к*, тогда какъ прокатная балка № 34, имѣющая ту же величину модуля, обладаетъ вѣсомъ $q = 68$ *к.*, т. е почти на 30% легче.

По отношенію къ клепанымъ балкамъ таблицы *B.* & *J.* позволяютъ рѣшать вопросы не только относительно тѣхъ размѣровъ балокъ, которыя приведены въ таблицахъ, но также и относительно нѣкоторыхъ другихъ промежуточныхъ комбинацій въ размѣрахъ ихъ. Это можно будетъ выяснитъ на нѣсколькихъ числовыхъ примѣрахъ въ видѣ задачъ.

52. Задачи. № 92 *). Для клепаной двутавровой балки, образованной изъ уголковъ $100 \times 100 \times 12$ и трехъ полосъ въ каждой полкѣ 260×12 , въ таблицахъ *B.* & *J.* (стр. 62) даны модули при высотѣ стѣнки 1160 и 1180 *м.* и толщинѣ ея 10 *м.* Требуется найти величину модуля той же балки при высотѣ ея 1175 *м.*

Вопросъ рѣшается интерполированиемъ. Величина модуля

При высотѣ 1180 *м.* 15231 см.³

„ „ 1160 „ 14923 „

Разность на 20 *м.* высоты 308 „

„ „ 1 „ „ 15,4 „

„ „ 5 „ „ 77 „

Модуль при высотѣ балки 1175 *м.* можно принять

$$15231 - 77 = 15154 \text{ см.}^3$$

№ 93. * Клепаная двутавровая балка изъ уголковъ $100 \times 100 \times 12$, трехъ полосъ въ каждой полкѣ 260×12 и стѣнки 1180×10 имѣетъ модуль 15231 см.³ Найти модуль сѣченія при ширинѣ полокъ 274 *м.*

У *B.* & *J.* на стр. 146 даны модули сопротивленія для полокъ въ 10 *м.* шириною. При толщинѣ полокъ 3×12 *м.* и высотѣ стѣнки у нея 1180 *м.* получается модуль

на 10 *м.* ширины полки 425,3

„ 14 „ „ „ $425,3 \times 1,4 = 595,4$.

Поэтому искомый модуль будетъ

$$15231 + 595,4 = 15826,4 \text{ см.}^3$$

№ 94.* Балка та же, что и въ предыдущей задачѣ, но толщина стѣнки не 10, а 12 *м.* Найти модуль сопротивленія поваго сѣченія.

*) При рѣшеніи задачъ, отмѣченныхъ *, надо имѣть подѣ ругами расчетныя таблицы *Boehm & John.*

У *B. & J.* на стр. 147 приведены величины модулей стѣнки, отнесенные къ 1 мм. ширины ея при разной толщинѣ пологъ. При высотѣ стѣнки 1180 мм. и толщинѣ пологъ 3×12 мм. величина модуля

для 1 мм ширины 218,7 см.³

для 2 „ „ 437,4 „

Искомая величина модуля сопротивленія будетъ:

$$15231 + 437,4 = 15668,4 \text{ см.}^3$$

№ 95.* Двуглавая прокатная балка № 30, у которой $W = 659$ см.³ и $q = 54,1$ кг, нарощена двумя полками, одной внизу и одной вверху, съ размѣрами пологъ 150×10 , вѣсъ погоннаго м. которыхъ равенъ 11,55 кг. Найти модуль сопротивленія новой балки и ея вѣсъ

У *B. & J.* на стр. 146 при высотѣ стѣнки 300 мм. модуль полки толщиной въ 10 мм

на 10 мм. ширины 30 см.³

„ 150 „ „ $30 \times 15 = 450$ см.³

Искомый модуль будетъ

$$450 + 659 = 1109 \text{ см.}^3$$

Искомый вѣсъ новой балки

$$54,1 + 2 \cdot 11,55 = 77,2$$

По табл. 30 видно, что эта новая балка могла бы быть замѣнена прокатною № 36.

№ 96. Двѣ прокатныя двуглавыя балки № 12 склепаны между собою своими полками (фиг. 216). Найти модуль сопротивленія новаго сѣченія

По табл. 30-й для балки № 12

$$I_{y1} = 331 \text{ см.}^4; F = 14, 27 \text{ см.}^2$$

Моментъ инерциі новаго сѣченія относительно нейтральной оси *yy* (фиг. 216) напишется по ф-лѣ 117 (см. § 43):

$$I_y = 2 \cdot [331 + 14, 27 \cdot 6^2] = 1689,44 \text{ см.}^4;$$

модуль сопротивленія будетъ

$$W = I_y : h = 1689,44 : 12 = 140,6 \text{ см.}^3$$

Такая балка будетъ вѣсить $2 \times 11,1 = 22,2$ кг. на 1 м. Между тѣмъ прокатная балка № 17 имѣетъ (см. табл. 30):

$$W_{17} = 139 \text{ см.}^3; q = 19,8 \text{ кг.},$$

т. е. такая комбинація балокъ не представляетъ никакой выгоды сравнительно съ прокатными балками высшаго №.

№ 97. Изъ двухъ двутавровыхъ балокъ № 12 образована про- рѣзная балка (фиг. 217), причемъ скрѣпленіе главныхъ балокъ сдѣ- лано посредствомъ обрѣзковъ тѣхъ же балокъ № 12. Найти модуль сопротивленія новаго сѣченія балки.

По ф-лѣ 117 (см. § 43):

$$I_y = 2[331 + 14,27 \cdot 12^2] = 4771,76 \text{ см}^4$$

Поэтому модуль сѣченія балки будетъ

$$W = I_y : \frac{3}{2} \cdot h = 4771,76 : 18 = 265 \text{ см}^3,$$

т. е. такая комбинація балокъ въ состоянн замѣнить собою прокатную балку № 22, у которой модуль = 281, а вѣсъ $q = 31 \text{ кг}$.

№ 98. Деревянная прямоугольная балка съ размѣрами $a_1 \times h_1$ сращена съ желѣзною полосою $a_2 \times h_2$ накрѣпко; нагрузка дѣйствуетъ въ плоскости симметріи сѣченія Oz (фиг. 218). Найти расчетное ур-іе для такой составной балки.

Пусть нейтральная линия сѣченія будетъ O_1y . Продольную линию, проходящую чрезъ точку O_1 , будемъ называть здѣсь осью бруса.

Пусть обозначаютъ:

e_1 — разстояние крайнихъ сжатыхъ линий деревянной части сѣче- ния отъ нейтрального слоя,

H_1 — напряженіе этихъ линий,

e_2 — разстояние крайнихъ растянутыхъ линий металлической части сѣченія отъ нейтрального слоя,

H_2 — напряженіе этихъ линий,

e_3 — разстояние поверхности стыка деревянной и металлической части балки отъ нейтрального слоя,

H_3 и H_0 — напряженія элементовъ металла и дерева на поверх- ности стыка соответственно,

r — радиусъ кривизны согнутой оси бруса въ точкѣ O_1 ,

E_1 — коэф. упругости дерева,

E_2 — „ „ желѣза.

Для произвольнаго элемента сѣченія, взятаго на разстояніи z отъ нейтральной линии, вытяжка будетъ $\iota = z : r$ (см. ф-лу 1 въ § 2), а элементарная растягивающая или сжимающая сила будетъ выражаться ф-лой 3 (§ 2). Предполагая, что нагрузка воздѣйствуетъ на балку въ плоскости симметріи сѣченія xOz и перпендикулярна къ оси x -овъ,

1-е условие равновѣсія, выражаемое ф-лой 5 (§ 3) мы напишемъ въ такомъ видѣ:

$$\frac{E_2}{r} \int_{e_3}^{e_2} z \, dF + \frac{E_1}{r} \int_0^{e_3} z \cdot dF = \frac{E_1}{r} \int_0^{e_1} z \, dF, \text{ или}$$

$$E_2 \cdot a_2 \cdot h_2 \cdot \left(e_3 + \frac{h_2}{2} \right) + E_1 \cdot a_1 \cdot \frac{e_3^2}{2} = E_1 \cdot a_1 \cdot \frac{e_1^2}{2} \dots \dots \text{ в}$$

Но $e_3 = h_1 - e_1$, поэтому

$$E_2 \cdot a_2 \cdot h_2 \left(h_1 - e_1 + \frac{h_2}{2} \right) + \frac{E_1 \cdot a_1}{2} (h_1^2 - 2h_1 \cdot e_1 + e_1^2) = E_1 \cdot a_1 \cdot \frac{e_1^2}{2};$$

$$E_2 \cdot a_2 \cdot h_2 \cdot \frac{2h_1 + h_2}{2} + \frac{E_1 \cdot a_1 \cdot h_1^2}{2} = e_1 [E_1 \cdot a_1 \cdot h_1 + E_2 \cdot a_2 \cdot h_2], \text{ или}$$

$$e_1 = \frac{1}{2} \cdot \frac{E_1 \cdot a_1 \cdot h_1^2 + E_2 \cdot a_2 \cdot h_2 (2h_1 + h_2)}{E_1 \cdot a_1 \cdot h_1 + E_2 \cdot a_2 \cdot h_2} \dots \dots \text{ 129}$$

Если $E_1 = E_2$, $a_1 = a_2$, т. е. имѣемъ однородную прямоугольную балку, тогда ф-ла 129 даетъ:

$$e_1 = \frac{h_1 + h_2}{2}$$

Когда величина e_1 будетъ найдена, моменты инерции отдѣльныхъ частей сѣченія представятся въ слѣд. видѣ:

для части $OA \dots I_1 = \frac{a_1 \cdot e_1^3}{3}$

„ „ $OC \dots I_3 = \frac{a_1 \cdot e_3^3}{3}$

„ „ $BD \dots I_2 = \frac{1}{3} \cdot a_2 \cdot (e_2^3 - e_3^3)$

Затѣмъ 6-е ур-іе равновѣсія, выражающее равенство моментовъ внѣшнихъ и внутреннихъ силъ относительно оси ou (см. ф-лу 9 въ § 3), напишется такъ:

$$M = \frac{1}{r} \sum E \cdot I = \frac{E_1 \cdot (I_1 + I_3) + E_2 \cdot I_2}{r} \dots \dots \text{ г.}$$

Но такъ какъ

$$\left. \begin{aligned} H_1 &= E_1 \cdot \frac{e_1}{r}; H_0 = E_1 \cdot \frac{e_3}{r} \\ H_2 &= E_2 \cdot \frac{e_2}{r}; H_3 = E_2 \cdot \frac{e_3}{r} \end{aligned} \right\} \dots \dots \text{ д.}$$

поэтому

$$\frac{E_1}{r} = \frac{H_1}{e_1}; \frac{E_2}{r} = \frac{H_2}{e_2}, \text{ или}$$

$$\frac{H_2}{e_2} = \frac{E_2}{E_1} \cdot \frac{H_1}{e_1} \dots \dots \text{ ж.}$$

Так. обр. расчетное ур-іе балки будетъ:

$$M = \frac{H_1}{e_1} \left\{ I_1 + I_3 + \frac{E_2}{E_1} \cdot I_2 \right\} \dots \dots \dots 130,$$

т. е. расчетное ур-іе балки, связанной въ одно цѣлое изъ двухъ разнородныхъ брусевъ, пишется по обыкновенной расчетной ф-ль съ тѣмъ лишь различіемъ, что моментъ инерціи счленія добавляемой полосы вводится въ общее выражение момента инерціи всей составной балки съ множителемъ, представляющимъ собою отношеніе коэф-фициентовъ упругости добавляемой полосы и остальной части балки.

Пусть, напр., имѣемъ у деревяннаго бруса $a_1 = 200$ мм., $h_1 = 300$, у желѣзной полосы $a_2 = 100$, $h_2 = 30$; кромѣ того,

$$E_2 = 20 \cdot E_1 = 20.000 \text{ кг. на кв. мм.};$$

тогда по ф-лѣ 129:

$$e_1 = \frac{1}{2} \cdot \frac{20 \cdot 30^2 + 20 \cdot 10 \cdot 3 (60 + 3)}{20 \cdot 30 + 20 \cdot 10 \cdot 3} \text{ см.}$$

$$e_1 = \frac{30 + 63}{4} = 232,5 \text{ мм.}; e_3 = 67,5 \text{ мм.};$$

$$e_2 = h_2 + e_3 = 97,5 \text{ мм.}$$

Пусть возможныя величины напряженій матеріала будутъ:

для желѣза... 7 кг. на кв. мм.

„ дерева 1 „ „ „

По ф-лѣ ж существующее въ балкѣ отношеніе напряженій получится равнымъ

$$\frac{H_2}{H_1} = \frac{E_2}{E_1} \cdot \frac{e_2}{e_1} = \frac{20 \cdot 97,5}{232,5} = 8,4$$

Полученное отношеніе напряженій показываетъ, что въ заданной комбинаціи брусевъ болѣе слабою частью будетъ желѣзная полоса, п. ч. въ ней получилось бы напряженіе 8,4 кг., если бы въ деревянномъ брусѣ взять напряженіе въ 1 кг. Поэтому здѣсь нужно вычислять допускаемую величину H_1 слѣд. образ :

$$H_1 = 7 \cdot \left(\frac{H_1}{H_2} \right) = \frac{7}{8,4} = 0,83$$

Послѣ этого по ф-лѣ 130 получаемъ

$$M = \frac{0,83}{232,5} \cdot [I_1 + I_3 + 20 \cdot I_2]$$

Если бы нужно было выяснитъ, какой высоты x деревянную балку замѣняетъ наша комбинація брусевъ, предполагая, что одинарная балка будетъ имѣть ту же ширину 200 мм., тогда нужно было бы написать такое равенство:

$$\frac{20 \cdot x^3}{6} = \frac{1}{23,25} \left\{ \frac{20 \cdot 23,25^3}{3} + \frac{20 \cdot 6,75^3}{3} + 20 \cdot \frac{10}{3} (9,75^3 - 6,75^3) \right\}$$

$$x = 40,48 \text{ см.} = \text{около } 405 \text{ мм.}$$

53. Желѣзныя балки съ коробчатымъ поперечнымъ сѣченіемъ.
 а) *Одинарные прокатныя балки.* Балки съ коробчатымъ или корытообразнымъ поперечнымъ сѣченіемъ наз. также *швеллерами.* Ихъ получаютъ прокаткою изъ желѣза или стали. Форма сѣченія и его главные размѣры указаны на фиг. 219. Между размѣрами сѣченія установлено заграницею вполнѣ опредѣленное соотношеніе, т. е. выработаны так. наз. нормальные размѣры. *Нумеромъ* балки въ Германіи наз. и здѣсь также число сантиметровъ, заключающихся въ высотѣ балки. Данныя для расчета такихъ балокъ германскаго нормальнаго образца собраны въ табл. 34-й.

Брянскій заводъ выкатываетъ 7 нумеровъ такихъ балокъ съ размѣрами, указанными въ табл. 35-й.

Возрастаніе модуля сопротивленія балки по мѣрѣ увеличенія ея вѣса охарактеризовано въ табл. 36-й по отношенію къ нормальнымъ нѣмецкимъ профилямъ. Сравнивая данныя этой таблицы съ таковыми же въ табл. 32, видимъ, что въ коробчатыхъ нормальныхъ профиляхъ послѣдовательное возрастаніе модуля балки при увеличеніи ея вѣса идетъ значительно быстрѣе, чѣмъ въ двутавровыхъ нормальныхъ профиляхъ. Сравненіе данныхъ тѣхъ же таблицъ указываетъ, кромѣ того, что, при одномъ и томъ же вѣсѣ балокъ, коробчатые профили имѣютъ большую величину I_z и даютъ большую величину W_z , чѣмъ двутавровые профили, т. е. употребленіе 1-хъ выгоднѣе чѣмъ 2-хъ въ случаѣ работы балки плашмя, а при работѣ „на ребро“, наоборотъ, будутъ выгоднѣе двутавровыя балки.

Т а б л и ц а 34-я.

Нормальные размѣры нѣмецкихъ профилей коробчатаго желѣза (фиг. 219).

№ профиля	Площадь F кв. см.	Вѣсъ 1 мт. q въ кг.	Расстояніе центра тяж. y_0 въ мм.	Моменты инерціи въ см. ⁴			Модули W_y въ см. ³
				J_h	J_z	J_y	
3	5,42	4,2	14,4	16,4	5,2	6,5	4,3
4	6,20	4,8	14,6	20,5	7,3	14,2	7,1
5	7,12	5,6	14,8	25,6	10,0	26,7	10,7
6 ^{1/2}	9,05	7,1	15,4	37,2	15,7	58,2	17,9
8	11,04	8,6	15,7	48,9	21,7	107	26,7
10	13,5	10,5	16,9	71,7	33,1	207	41,4
12	17,04	13,3	17,4	100,8	49,2	368	61,3
14	20,4	15,9	19,1	145,6	71,2	609	87,0
16	24,1	18,8	20,1	194,8	97,4	932	117
18	28,0	21,9	21,0	253,5	130	1364	152
20	32,3	25,2	22,0	327,3	171	1927	193
22	37,6	29,3	23,4	431,9	226	2712	247
24	42,3	33	23,3	—	248	3598	300
26	48,4	37,8	25,8	687,2	365	4857	374
28	53,3	41,6	25,3	—	399	6276	450
30	58,8	45,9	29,5	—	564	8064	538

Таблица 35-я.

Профили коробчатого желѣза Брянскаго завода.

Заводскій №	1	2	3	4	5	6	7
Разм. h	300	235	145	120	105	114	60
„ a	76	89	60	55	64	51	35
„ t	10	12	8	8,5	8	8	7
„ d	10	9,5	8	7	8	8	7
Площ. F ... см. ² .	43,2	42,5	20	16,6	17,26	16,0	7,66
Коорд. y_0 ... см. . . .	2,80	2,52	1,65	1,7	2,33	1,49	1,22
Мом. инерціи I_y	5026,5	3402	594	356	285,2	294	39,5
„ „ I_z	238,8	305	63,2	47,3	68,2	38,3	8,8
Модуль W_y	335	289,5	81,9	59,3	54,4	51,5	13,2
„ W_z	49,8	48	14,5	12,5	17,0	10,4	3,86
Фунтовъ на футъ	25,37	24,50	11,6	9,7	9,95	9,22	4,47

Таблица 36-я.

Характеристика нормальныхъ нѣмецкихъ профилей.

№ балки	4	8	14	20	26
Вѣсъ q	4,2	8,6	15,9	25,2	37,8 кг.
Отношеніе вѣсовъ	1	2,05	3,81	6	9
Модуль W_y	4,3	26,7	87,0	193	374 см. ³
Отношеніе модулей	1	6,21	20,23	44,9	87

Правильное примѣненіе теоріи сгибанія къ коробчатымъ балкамъ, работающимъ „на ребро“, будетъ имѣть мѣсто тогда только, когда такія балки дублируются, или вводятся въ четномъ числѣ (см. фиг. 220), какъ этого требуетъ удовлетвореніе всѣхъ условій равновѣсія (см. § 3).

б) Клепанная коробчатая балка. Онѣ могутъ быть образованы троякимъ образомъ: 1) на фиг. 221 показано сѣченіе балки, образованное изъ двухъ нормальныхъ профилей, къ которымъ приклепаны двѣ полки; 2) на фиг. 222 имѣемъ сѣченіе балки изъ двухъ клепаныхъ швеллеровъ; 3) на фиг. 223 предыдущее сѣченіе комбинировано съ двумя полками, — изъ нихъ обѣ могутъ быть выполнены такъ именно, какъ показана верхняя полка на фиг. 223, или обѣ такъ—какъ нижняя, или, наконецъ, въ той комбинаціи, которая указана на фиг. 223. Разсчетъ такихъ балокъ проще всего дѣлается съ помощью таблицъ *Voegt & John*.

54. **Задачи. № 99*).** Изъ двухъ коробчатыхъ прокатныхъ балокъ № 26 образовано сѣченіе, показанное на фиг. 221; размѣры полокъ 320×14 мм. Найти модуль сопротивленія такого сѣченія и вѣсъ балки.

Въ табл. 34-й находимъ модуль для профиля № 26. Онъ равенъ 374 см.³. Но теперь высота балки будетъ не 260 мм., а $260 + 28 = 288$ мм., поэтому, входя въ составъ новой балки, такой профиль дастъ намъ модуль:

$$374 \cdot \frac{260}{288} = 337,7 \text{ см.}^3$$

Затѣмъ по таблицамъ *B. & J.* (стр. 146) при высотѣ стѣнки 26 см. и толщинѣ полки 1,4 см. получается модуль:

$$\begin{aligned} \text{для } 1 \text{ см. ширины полки} & \dots \dots \dots 36,5 \\ \text{„ } 32 \text{ „ „ „} & \dots \dots \dots 32 \times 36,5 = 1168 \end{aligned}$$

Поэтому полное выраженіе модуля будетъ

$$1168 + 2 \cdot 337,7 = 1843,4 \text{ см.}^3$$

Вѣсъ погоннаго мт. такой балки составитъ изъ вѣса

$$\begin{aligned} \text{двухъ полокъ} & \dots \dots \dots 2 \times 34,5 = 69 \text{ кг.} \\ \text{„ профилей № 26} & \dots \dots \dots 2 \times 37,8 = 75,6 \text{ „} \\ \hline \text{Всего} & \dots \dots \dots 144,6 \text{ „} \end{aligned}$$

Для такого модуля, какъ нужно, двѣ прокатныхъ двутавровыхъ балки достаточно было бы имѣть № 34; для нихъ модуль былъ бы $2 \times 931 = 1862$ см.³, и вѣсъ ихъ 2×68 , или 136 кг. на мт. длины. Вѣсъ заклепочныхъ головокъ и работа по склепкѣ полокъ при этомъ отсутствовали бы.

№ 100. * Найти модуль сопротивленія и вѣсъ погон. мт. корбчатой клепаной балки съ сѣченіемъ, представляемымъ фиг. 222 и состоящимъ изъ 4 уголковъ $60 \times 60 \times 10$ мм. и стѣнки 330×10 мм. при діам. заклепокъ 16 мм.

Разсчетъ такой балки ничѣмъ не отличается отъ разсчета двутавровой. Въ таблицахъ *B. & J.* на стр. 5 находимъ модуль для двутавровой балки, у которой стѣнка 330×10 и заданные угольники, равнымъ 663. Остается добавить модуль стѣнки. На той же стр. 5 модуль для стѣнки высотой 330 мм. и толщиной 1 мм. данъ $= 14,9$, а при 10 мм. онъ будетъ 149. Так. обр. полный модуль сѣченія фиг. 222 будетъ

$$663 + 149 = 812 \text{ см.}^3$$

*) Задачи, отмѣченные звѣздочкой, рѣшаются при помощи таблицъ *Voegt & John.*

Вѣсь двутавровой балки съ тѣми же уголками и стѣнкой 330×10 данъ у *B. & J.* на стр. 5 равнымъ 60,3 *к.* Къ нему надо еще прибавить вѣсь 2-й стѣнки 330×10 . Его находимъ тамъ же на стр. 41:

$$\begin{array}{l} \text{при высотѣ } 320 \dots\dots\dots 25 \text{ к.} \\ \text{„ „ } 340 \dots\dots\dots 26,5 \text{ „} \\ \text{„ „ } 330 \text{ онъ будетъ } \frac{25 + 26,5}{2} = 25,75, \end{array}$$

т. е. вѣсь всей балки будетъ около 86 *к.* на *м.*

Къ характеристикѣ этого сѣченія замѣтимъ, что одна двутавровая балка № 34 дала бы модуль 931 и вѣсь 68 *к.*

№ 101 * Найти модуль сопротивленія сѣченія, изображеннаго на фиг. 223.

Для двутавровой клепаной балки съ уголками $90 \times 90 \times 11$ и съ полками 240×10 у *B. & J.* на стр. 45 имѣемъ модули:

$$\begin{array}{l} \text{при высотѣ } 34 \text{ см.} \dots\dots\dots 1612 \text{ см.}^3 \\ \text{„ „ } 36 \text{ „} \dots\dots\dots 1735 \text{ „} \\ \text{„ „ } 35 \text{ „ модуль будетъ } \frac{1612 + 1735}{2} = 1673,5 \end{array}$$

Но мы имѣемъ ширину полкъ не 240, а 460 *мм.* Для добавочной ширины полкъ въ 22 *см.* имѣемъ данныя тамъ же на стр. 146. Для 1 *см.* ширины модуль будетъ 35, а для всей добавочной ширины

$$35 \times 22 = 770 \text{ см}^3.$$

Затѣмъ остается прибавить модуль еще одной вертикальной стѣнки 350×10 . Тамъ же на стр. 147 для 1 *мм.* ширины находимъ его равнымъ 19,35, а въ нашемъ случаѣ онъ будетъ 193,5 Модуль всего сѣченія

$$1673,5 + 770 + 193,5 = 2637 \text{ см.}^3$$

55. Балки изъ углового желѣза и зетовъ. „Уголки“ и „зеты“, т. е. полосы съ поперечнымъ сѣченіемъ въ видѣ угольника (фиг. 224 и 225) или въ видѣ буквы *z* (фиг. 226) получаютъ прокаткою изъ желѣза или стали (литого желѣза) Уголки готовятся равнобокими (фиг. 224) и неравнобокими (фиг. 225), въ томъ и другомъ случаѣ толщина обѣихъ полкъ дѣлается одинаковою.

Таблица 37-я содержитъ въ себѣ данныя для расчета равнобокихъ уголковъ германскихъ нормальныхъ профилей, табл. 38-я даетъ то же для неравнобокихъ уголковъ, а табл. 39-я — для зетовъ. Въ 1-мъ вертикальномъ столбѣ этихъ таблицъ даны размѣры сѣченія, во 2-мъ — площадь его F , въ 3-мъ — вѣсь q погоннаго *м.* полосы въ *к.*, далѣе координаты y_0 и z_0 (фиг. 224 и 225), опредѣляющія положеніе ц. т.

сѣченія, и наконецъ моменты инерціи сѣченій относительно осей yy , zz , bb . Въ табл. 37-й приведены данныя только для нѣсколькихъ ходовыхъ сортовъ уголковъ. Кромѣ указанныхъ въ этой таблицѣ, существуютъ еще 16 профилей ниже наименьшаго табличнаго и 12 профилей выше указанныхъ въ таблицѣ.

Таблица 37-я.

Равнобокіе уголки германскихъ нормальныхъ профилей (фиг. 224).

$h \times t$	F	q	z_0	I_x	I_y
мм.	кв. см.	кг. на мм.	мм.	см.	см.
50 . 5	4,75	3,7	14,4	21,1	11,2
50 . 7	6,51	5,1	15,1	29,7	14,8
50 . 9	8,19	6,4	15,9	38,8	18,1
55 . 6	6,24	4,9	15,9	30,6	14,8
. 8	8,16	6,4	16,7	45,2	22,5
. 10	10	7,8	17,4	57,2	26,9
60 . 6	6,84	5,3	17,2	43,6	23,4
. 8	8,96	7	17,9	58,5	29,8
. 10	11	8,6	18,6	73,3	35,3
65 . 7	8,61	6,7	18,8	64,7	34,4
. 9	10,9	8,5	19,5	83,7	42,3
. 11	13,1	10,2	20,2	103	49,5
70 . 7	9,31	7,3	20,2	80,9	43,3
. 9	11,8	9,2	20,8	105	53,6
. 11	14,2	11,1	21,5	129	63,6
75 . 8	11,4	8,9	21,7	114	60
. 10	14,0	10,9	22,6	144	72,7
. 12	16,6	12,9	23,1	223	84
80 . 8	12,2	9,5	22,9	138	73,9
. 10	15	11,7	23,7	173	89,1
. 12	17,8	13,9	24,4	208	102
90 . 9	15,4	12	25,7	220	118
. 11	18,6	14,5	26,5	271	140
. 13	21,7	16,9	27,2	321	160
100 . 10	19	14,8	28,7	337	180
. 12	22,6	17,6	29,4	406	210
. 14	26	20,3	30,1	474	239
110 . 10	21	16,4	31,2	447	243
. 12	25	19,5	31,9	535	281
. 14	28,9	22,5	32,6	631	324
120 . 11	25,2	19,7	34,1	639	346
. 13	29,5	23	34,8	758	400
. 15	33,8	26,3	35,5	877	451

Таблица 38-я.

Неравнобокие уголки нормальных германских профилей.

$a \times b \times t$	F	q	y_0	z_0	I_y	I_z
20. 30. 3	1,41	1,10	5,1	10,1	1,28	0,46
. 4	1,84	1,44	5,5	10,5	1,66	0,52
30. 45. 4	2,84	2,22	7,5	15	5,83	2,09
. 5	3,5	2,73	7,9	15,4	7,01	2,51
40. 60. 5	4,75	3,71	9,9	19,9	17,4	6,26
. 7	6,51	5,08	10,6	20,6	23,1	8,23
50. 75. 7	8,26	6,4	12,6	25,1	46,9	16,8
. 9	10,44	8,1	13,3	25,8	57,9	20,6
65. 100. 9	14,04	11,0	16,2	33,7	142	47,9
. 11	16,94	13,2	16,9	34,4	169	56,3
80. 120. 10	19	14,8	19,7	39,7	279	100
. 12	22,96	17,6	20,5	40,5	326	116
100. 150. 12	28,56	22,3	24,5	49,5	656	237
. 14	33,04	25,8	25,2	50,2	749	269
20. 40. 3	1,71	1,33	4,5	14,5	2,83	0,49
. 4	2,24	1,75	4,9	14,9	3,62	0,61
30. 60. 5	4,25	3,32	6,9	22,0	15,7	2,7
. 7	5,81	4,53	7,7	22,7	20,8	3,5
40. 80. 6	6,84	5,34	9	29	45,2	7,83
. 8	8,96	7	9,7	29,7	57,9	9,81
50. 100. 8	11,36	8,9	11,4	36,4	117	20,1
. 10	14	10,9	12,1	37,1	141	24
65. 130. 10	18,5	14,4	14,7	47,2	322	55,6
. 12	21,96	17,1	15,4	47,9	377	64,4
80. 160. 12	27,36	21,3	17,9	57,9	725	125
. 14	31,64	24,7	18,17	58,7	829	141
100. 200. 14	40,04	31,2	22	72	1672	289
. 16	45,44	35,4	22,8	72,7	1870	323
ВЪ ММ.	КВ. СМ.	КГ. НА ММ.	ВЪ ММ.	ВЪ СМ.		

Таблица 39-я.

Зеты германскихъ нормальныхъ профилей.

$\dot{h} \times a \times d \times t$	F	q	I_y	I_z
въ мм.	кв. см	кг. на мм.	см.	см.
30 . 38 . 4 . 4,5	4,26	3,3	5,95	13,9
40 . 40 . 4,5 . 5	5,35	4,2	13,4	17,9
50 . 43 . 5 . 5,5	6,68	5,2	26	24,4
60 . 45 . 5 . 6	7,8	6,1	44,2	30,8
80 . 50 . 6 . 7	10,96	8,6	107,9	48,7
100 . 55 . 6,5 . 8	14,26	11,1	218,6	74,5
120 . 60 . 7 . 9	17,94	14	396,5	107,6
140 . 65 . 8 . 10	22,6	17,6	663,8	153,8
160 . 70 . 8,5 . 11	27,13	21,2	1043,3	208,5

Русскіе прокатные заводы выкатываютъ свои профили углового желѣза и даютъ для нихъ свои расчетныя таблицы. Длина полосъ бываетъ отъ 25 до 30 фут.

Примѣненіе уголковъ весьма часто находимъ при образованіи клепаныхъ балокъ. Въ этомъ случаѣ моментъ инерціи каждаго уголка будетъ введенъ въ общее выраженіе момента инерціи всей балки при помощи ф-лы 117 (см. § 43). Кромѣ этого, уголки и зеты находятъ себѣ въ настоящее время обширное примѣненіе при образованіи сѣтчатыхъ балокъ инженеръ-механика В. Г. Шухова.

56. Сѣтчатая балка Шухова. Схема расположенія уголковъ въ планѣ при образованіи сѣтчатой балки показана на фиг. 227: всѣ уголки дѣлаютъ съ осью балки уголъ β ; вертикальныя полки уголковъ верхняго ряда, идущихъ, положимъ, по направленію ab , направлены къверху, а въ уголкахъ нижняго ряда, расположенныхъ $\parallel ac$, вертикальныя полки направлены книзу, въ узловыхъ точкахъ, гдѣ происходитъ скрещиваніе горизонтальныхъ полокъ уголковъ, онѣ скрѣпляются между собою заклепками. Так. обр. получается жесткое соединеніе уголковъ, заставляющее ихъ при нагруженіи работать какъ одно цѣлое, какъ балку съ осью AB (фиг. 227).

На фиг. 228 показанъ выдѣленнымъ одинъ изъ элементовъ сѣтчатой балки. Пусть BC и BD будутъ двѣ полосы, задѣланныя въ стѣну подъ угломъ β къ линіи AB , которая будетъ осью балки; въ узловой точкѣ B полосы между собою соединены и нагружены, положимъ, сосредоточеннымъ грузомъ P , \perp къ плоскости чертежа. Тогда слѣдъ плоскости прогиба полосъ представитъ намъ линія AB . Длиною балки будетъ линія $AB = l$, отличающаяся отъ длины полосъ

$$BC = BD = l_1 = l : \cos \beta.$$

Если бы обѣ полосы были направлены вдоль линіи AB , на каждую изъ полосъ передавался бы сгибающій моментъ $\frac{1}{2} P \cdot l$; теперь же каждая изъ балокъ выносить на себѣ дѣйствіе сгибающаго момента $\frac{1}{2} \cdot P \cdot l_1$, т. е. болѣе предыдущаго въ отношеніи $1 : \cos \beta$.

Если бы оси полосъ совпадали съ AB , тогда поперечнымъ расчетнымъ сѣчениемъ каждой полосы было бы сѣченіе, \perp -ное къ оси балки AB и равное, положимъ, F . Теперь же, когда оси полосъ дѣлаютъ съ осью балки углы β , расчетными поперечными сѣченіями полосъ будутъ сѣченія, лежащія въ плоскости CD , \perp -ной къ оси балки AB ; эта ось лежитъ въ плоскости прогиба балки. Так. обр. здѣсь расчетнымъ сѣчениемъ каждой полосы будетъ не F , а $F : \cos \beta$, т. е. больше прежняго также въ отношеніи $1 : \cos \beta$; въ такой же мѣрѣ послѣдуетъ увеличеніе и момента инерціи каждой полосы, а также и ея модуля сопротивленія.

Слѣд., двѣ наклонныя одна къ другой полосы BC и BD , связанныя между собою въ одно цѣлое и принужденныя прогибаться въ плоскости AB , будутъ работать съ тѣмъ же напряженіемъ матеріала, какое отъ имѣли бы при одинаковомъ расположеніи ихъ вдоль оси балки AB , т. е. при $\beta = 0$.

Видно при этомъ, что крѣпость связанныхъ между собою наклонныхъ полосъ BC и BD не зависитъ отъ угла β , составляемаго ими съ осью балки. Инж. Шуховъ въ своихъ сѣтчатыхъ балкахъ дѣлаетъ $\tan \beta = 0,4$.

Обращаясь теперь отъ рассмотрѣннаго элемента сѣтки къ рассмотрѣнію цѣлой сѣтчатою балки (фиг. 227), мы можемъ сказать, что расчетъ ея ничѣмъ не будетъ отличаться отъ балки съ прямолинейной осью AB (фиг. 227). Пусть, напр., на данномъ протяженіи EF по ширинѣ сѣтчатою балки, произвольное поперечное сѣченіе NN пересѣкаетъ m полосъ, направленных $\parallel ab$, и n полосъ $\parallel ac$; тогда крѣпость такой балки будетъ одинакова съ крѣпостью $2m$ полосъ, расположенныхъ \parallel оси балки AB , независимо отъ β . Для большей надежности расчета при этомъ слѣдуетъ предполагать, что каждый рядъ полосъ будетъ имѣть свой нейтральный слой yy (фиг. 228).

Такия сѣтчатыя балки находятъ себѣ въ практикѣ обширное примѣненіе въ видѣ арочныхъ стропильныхъ фермъ*), съ наклонными струнами, протянутыми отъ различныхъ точекъ арки къ опорамъ. Употребленіе же плоскихъ сѣтчатыхъ балокъ, т. е. съ сѣткою, расположенною вдоль нѣкоторой плоскости, не представляетъ особыхъ выгодъ, п. ч здѣсь идутъ въ дѣло профили съ небольшою сравнительно

*) Расчетъ и условія рациональнаго устройства арочныхъ фермъ даны въ сочиненіи В. Г. Шухова — *Стропильн.* (Изданіе Политехническаго Общества въ Москвѣ).

высотой, результатомъ чего является менѣе выгодное использование матеріала, чѣмъ при высокихъ профиляхъ, и получение большей стрѣлы прогиба, чѣмъ въ послѣднемъ случаѣ.

57. Балки изъ таврового желѣза. а) *Прокатныя балки.* Видъ однотаврового или просто таврового профиля даетъ намъ фиг. 229. Между главными размѣрами сѣченія a , h и t установлено опредѣленное соотношеніе. Данныя для расчета нормальныхъ германскихъ тавровыхъ профилей приведены въ таблицѣ 40-й.

Таблица 40-я.

Тавровое желѣзо германскихъ нормальныхъ профилей (фиг. 229).

$a \times h \times t$	F	q	z_0	I_b	I_y	I_z
въ мм.	кв. см.	кг. на мт	мм.	въ см.		
60 30 . 5,5	4,64	3,6	7	5,18	2,91	9,98
70 . 35 . 6	5,94	4,6	8,1	9,03	5,12	17,3
80 40 . 7	7,91	6,2	9,3	15,7	8,87	30,1
90 . 45 . 8	10,16	7,9	10,5	24,8	14,4	49
100 : 50 . 8,5	12,02	9,4	11,6	37,4	21,2	71,3
120 . 60 . 10	17	13,3	13,8	75	43,2	145
140 . 70 . 11,5	22,8	17,8	16,1	138,2	79,1	265
160 . 80 . 13	29,5	23	18,3	233	134	446
180 . 90 . 14,5	37	28,9	20,5	368	213	709
200 . 100 . 16	45,4	35,4	22,8	559	323	1073
20 . 20 . 3	1,11	0,9	6,1	0,82	0,40	0,21
25 . 25 . 3,5	1,63	1,3	7,5	1,85	0,93	0,46
30 . 30 . 4	2,24	1,7	9	3,67	1,86	0,92
35 . 35 . 4,5	2,95	2,3	10,4	6,53	3,34	1,63
40 . 40 . 5	3,75	2,9	11,8	10,78	5,56	2,70
45 . 45 . 5,5	4,65	3,6	13,3	16,97	8,74	4,23
50 . 50 . 6	5,64	4,4	14,7	25,3	13,1	6,33
60 . 60 . 7	7,91	6,2	17,6	50,9	26,4	12,8
70 . 70 . 8	10,6	8,2	20,4	92,5	48,4	23,1
80 . 80 . 9	13,6	10,6	23,3	155	81,5	38,8
90 . 90 . 10	17	13,3	26,2	246	129	61,4
100 . 100 . 11	20,8	16,2	29	370	195	92,7
120 . 120 . 13	29,5	23	34,8	746	389	189
140 . 140 . 15	39,8	31	40,5	1387	734	347

Таблица 41-я.

Тавровые профили Брянского завода.

$a \times h \times t.$	$F \left\{ \begin{array}{l} \text{лв.} \\ \text{см.} \end{array} \right.$	$q \frac{\text{фн.}}{\text{фт.}}$	z_0 см.	I_y	W_y	I_x	W_x
				въ сантиметрахъ			
$3\frac{3}{4} \times 3\frac{3}{4} \times \frac{5}{8}$ д.	27,76	16	2,96	225,5	34,35	117,16	24,6
$3\frac{1}{2} \times 3\frac{1}{2} \times \frac{7}{16}$ "	25,56	14,65	2,06	158,8	23,2	328,5	43,1
$5 \times 2\frac{1}{2} \times \frac{13}{32}$ "	18,55	10,68	1,45	53	10,82	176,3	27,76
$3 \times 3 \times \frac{3}{8}$ "	13,58	7,95	2,25	73,08	13,6	35,5	9,32
$2 \times 2 \times \frac{1}{4}$ "	6,05	3,47	1,5	14,7	4,1	7,0	2,75
$60 \times 30 \times 6$ мм.	5,04	2,95	0,73	3,1	1,4	10,84	3,61

Для тавровыхъ профилей Брянского завода данныя сгруппированы въ табл. 41-й.

Сравнивая между собою съ одной стороны данныя тб. 30, а съ другой данныя таблицъ 34 — 41, нетрудно обнаружить, что при одномъ и томъ же вѣсѣ балокъ, выгоднѣе всего матеріалъ бываетъ употребленъ въ двутавровыхъ балкахъ, затѣмъ идутъ коробчатыя балки, далѣе зеты и наконецъ неравнобокіе уголки и тавры.

б) *Клепанная тавровая балка.* Типы сѣченій такихъ балокъ представлены на фиг. 230. Расчетъ ихъ можетъ быть легко производимъ, пользуясь таблицами *Voight & John* для двутавровыхъ сѣченій вдвое большей высоты противъ даннаго тавроваго.

Пусть, напр., двутавровая балка съ высотой h , изображенная на фиг. 231, представляетъ собою удвоенный данный тавровый профиль и имѣетъ относительно оси yy моментъ инерціи I . Если xx будетъ проходить чрезъ ц. т. тавроваго сѣченія $|| yy$ и на разстояніи a отъ послѣдней, тогда, называя площадь тавроваго сѣченія чрезъ F , а моментъ инерціи его относительно оси xx — чрезъ i , будемъ имѣть:

$$I = 2(i + F \cdot a^2); \text{ откуда } i = \frac{1}{2} \cdot I - F \cdot a^2.$$

По вопросу о расчетѣ балокъ и покрытій изъ волнистаго желѣза рекомендуемъ брошюру инж.-мех. П. С. Страхова — „Волнистое желѣзо и его примѣненія въ строительномъ дѣлѣ“. Изданіе Политехническаго Общества въ Москвѣ.

По вопросу о расчетѣ и примѣненіяхъ рельсовыхъ балокъ рекомендуемъ брошюру инж.-мех. Е. В. Зотикова — „Желѣзно-дорожные рельсы, какъ балки. Сравненіе стоимости рельсовыхъ и прокатныхъ двутавровыхъ балокъ“. Въ брошюрѣ доказывается нерациональность и невыгодность рельсовыхъ балокъ.

Чугунныя балки.

58. Особенности, наблюдаемая при сгибаніи чугунныхъ балокъ. При изложеніи общей теоріи сгибанія мы предполагали (см §2), что согнутое тѣло состоитъ изъ элементовъ въ видѣ продольныхъ материальныхъ линий, у которыхъ:

1) вытяжка возрастаетъ прямо пропорціонально разстояніямъ взятыхъ линий отъ нейтральнаго слоя,

2) напряженіе материала слѣдуетъ тому же закону измѣненія, какъ и вытяжка (см. ф-лу 2), т. е. величина коэф. упругости E является постоянною величиною.

Проф *Бачъ* (*Carl Bach in Stuttgart*) обнаружилъ опытнымъ путемъ, что при соблюденіи 1-го условія въ чугунныхъ балкахъ второе условіе не выполняется, т. е. коэф. упругости при растяженіи чугуна не есть постоянная величина. Съ увеличеніемъ напряженія материала величина E для чугуна уменьшается *). Такимъ образомъ если прямая ob (фиг. 232) будетъ изображать графически законъ измѣненія вытяжки при сгибаніи согнутаго бруса при переходѣ отъ одной продольной линіи къ другой, тогда законъ измѣненія напряженій представится уже не прямою od , а кривою omc , касательною къ этой прямой.

Слѣд., для волокна, отстоящаго на разстояние z отъ нейтральнаго слоя, вытяжка будетъ представлена на чертежѣ (фиг. 232) длиною ab , а напряженіе длиною ac вмѣсто ad .

При выводѣ ф-лы 9 (см. § 3), выражающей равенство моментовъ внѣшней нагрузки и внутреннихъ силъ, величину E мы выводили за знакъ интеграла, какъ постоянное, а здѣсь эта величина будетъ переменною. Черезъ это вводится въ расчетное уравненіе чугунной балки нѣкоторая ошибка. Но счастію эта ошибка выходитъ въ пользу крѣпости балки: пусть балка рассчитывается съ допускаемымъ напряженіемъ ac (фиг. 232); тогда по изложенной теоріи (§ 3) предполагается, что всѣ напряженія въ поперечномъ сѣченіи будутъ измѣняться по закону, выражаемому прямою линіею oc , а они измѣняются на самомъ дѣлѣ по закону, выражаемому кривою omc , т. е. въ дѣйствительности сумма моментовъ внутреннихъ силъ будетъ всегда больше величины, вычисляемой

*) Крайними значеніями E (коэф. упруг. 1-го рода) считаются для чугуна 7500 и 10500 кг. на кв. мм., а соответственныя величины G (коэф. упр. 2-го рода)—2900 и 4000.

по ф-лѣ 9а (см. § 4). На этомъ основаніи расчетными ур-ями 10 и 11 (§ 4) пользуются также и въ случаѣ чугунныхъ балокъ, допуская въ пользу крѣпости балки, что напряженія въ сѣчени согнутаго бруса измѣняются по закону, выражаемому прямой ос.

Другою особенностью, наблюдаемою при сгибаніи чугунныхъ балокъ является то, что въ нихъ величина напряженія, разрушающаго балку при сгибаніи, значительно болѣе, чѣмъ при растяженіи, и притомъ это напряженіе при сгибаніи зависитъ отъ формы поперечнаго сѣченія бруса и свойствъ матеріала, а именно: при одной и той же формѣ поперечнаго сѣченія бруса одна величина разрушающаго напряженія получается, когда брусъ будетъ подвергнутъ сгибанію безъ предварительнаго удаленія съ его поверхности мало тягучей литейной коры, и совершенно другую величину, значительно большую предыдущей, получимъ, если до испытанія балки кора будетъ удалена*).

Величины допускаемыхъ напряженій въ растянутыхъ элементахъ чугунныхъ сгибаемыхъ полосъ и балокъ даны въ таблицѣ 42-й; онѣ даны здѣсь для полосъ безъ литейной коры и съ корою въ трехъ случаяхъ:

- a — когда нагрузка постоянна,
- b — когда нагрузка измѣняетъ свою величину,
- c — " " " и величину и знакъ.

Въ сжатыхъ элементахъ сѣченія, имѣющаго двѣ оси симметрии, напряженіе берется то же, что и въ растянутыхъ элементахъ, а въ сѣченіяхъ съ одною осью симметрии въ сжатыхъ элементахъ напряженіе можетъ быть допущено въ 2 раза болѣе, чѣмъ въ растянутыхъ.

Таблица 42-я.

Допускаемыя напряженія въ растянутыхъ элементахъ чугунныхъ балокъ (въ *к.* на кв. *мм.*).

Форма поперечнаго сѣченія балки.	Безъ литейной коры			Съ литейной корою		
	<i>a</i>	<i>b</i>	<i>c</i>	<i>a</i>	<i>b</i>	<i>c</i>
Круглая и квадратная, когда нагрузка дѣйствуетъ по диагонали	6,15	4,10	2,05	5,1	3,4	1,7
Прямоугольная	5,1	3,4	1,7	4,2	2,8	1,4
Двутавровая	4,35	2,9	1,45	3,6	2,4	1,2

*) См работу проф Баха — *Die Biegungslehre und das Gusseisen*, напечатанную въ журн *Z d Ver deutsch Ing*, 1888 г.—стр 193—199, 221—226, 1089—1094, 1889 годъ—стр 140—143.

в) *Съчненіе эллиптическое сплошное, оси его m и n,*

$$m = 2a ; n = 2b.$$

По ф-лѣ 21 (см. § 9) модуль такого съчненія будетъ

$$W = \frac{\pi \cdot b \cdot a^2}{4} = 0,1 \cdot n \cdot m^2 \dots \dots \dots 21.$$

Отношеніе между осями *m:n* выполняется отъ 2 до 3.

г) *Съчненіе эллиптическое полое съ круглою полостью діам. d (фиг. 233), на основаніи ф-лѣ 19 и 21, будутъ имѣть модуль*

$$W = \frac{\pi}{32} \cdot \frac{n \cdot m^3 - d^4}{m} \dots \dots \dots 21,а.$$

д) *Съчненіе прямоугольное со сторонами a x h будетъ имѣть модуль (см. ф-лу 16 въ § 5 и фиг. 95)*

$$W = \frac{a \cdot h^2}{6} \dots \dots \dots 16.$$

е) *Съчненіе прямоугольное полое (фиг. 96) имѣетъ модуль (см. ф-лу 17 въ § 6)*

$$W_1 = \frac{A \cdot H^3 - A_1 \cdot H_1^3}{6H} \dots \dots \dots 17.$$

Сравнимъ между собою модули двухъ прямоугольныхъ балокъ — сплошной и полой — при условіи, что на образованіе ихъ затрачена одна и та же масса матеріала, т. е.

$$a \cdot h = A \cdot H - A_1 \cdot H_1 \dots \dots \dots н.$$

Допустимъ, что

$$\frac{H}{A} = \frac{H_1}{A_1} = \frac{h}{a} = c \dots \dots \dots л,$$

тогда по ф-лѣ н найдемъ

$$a^3 = A^3 - A_1^3$$

$$A_1^3 = A^3 - a^3$$

Затѣмъ отношеніе модулей будетъ

$$\frac{W_1}{W} = \frac{A \cdot H^3 - A_1 \cdot H_1^3}{H \cdot a \cdot h^2} = \psi$$

Пользуясь соотношеніемъ л, напишемъ

$$\psi = \frac{A^4 - A_1^4}{A \cdot a^3} = \frac{A^2 - A_1^2}{a^2} \cdot \frac{A^2 + A_1^2}{A \cdot a}$$

$$\psi = \frac{2 A^2 - a^2}{A \cdot a} = 2 \cdot \frac{A}{a} - \frac{a}{A} \dots \dots \dots 131$$

Т. е. отношеніе $A : a$ всегда болѣе 1, и то ψ тоже всегда болѣе 1.
Напримеръ,

$$A : a = 1,5 \dots \dots \psi = 2,33$$

$$, \quad = 2 \dots \dots \psi = 3,5 \text{ и т. д.}$$

При конструированіи балокъ съ такимъ сѣченіемъ надо имѣть въ виду, что толщина стѣнки м. б. выполнена не меньше $15 \text{ }^m/m$.

ж) Сѣченіе двутавровое (фиг. 97) въ смыслѣ образованія модуля является производнымъ отъ прямоугольнаго полого сѣченія (по § 6, б), поэтому модуль его напишется такъ:

$$H_1 = H - 2t; A_1 = A - d;$$

$$W = \frac{A \cdot H^3 - (A - d) \cdot (H - 2t)^3}{6 \cdot H} \dots \dots 17, \text{ а}$$

з) Сѣченіе крестообразное (фиг. 89) будетъ имѣть модуль

$$W = \frac{a \cdot h^3 + (h_1 - a) \cdot a^3}{6 \cdot h}$$

60. Задачи № 102. Для треугольника съ основаніемъ a и высотой e найти моментъ инерціи относительно осей yy , xx и oo (фиг. 234), параллельныхъ одна другой, причемъ ось oo проходитъ чрезъ ц. т. сѣченія.

$$dF = y \cdot dz; y = a \cdot \frac{e - z}{e}$$

$$I_y = \int_0^e z^2 \cdot a \cdot \frac{e - z}{e} \cdot dz = \frac{a \cdot e^3}{12} \dots \dots 132$$

Пользуясь ф-лой 14 (§ 5), напишемъ, что

$$I_x = a \cdot e^3 \left(\frac{1}{3} - \frac{1}{12} \right) = \frac{a \cdot e^3}{4} \dots \dots 133$$

При помощи ф-лы 117 (§ 43) получимъ

$$\left. \begin{aligned} I_0 &= I_y - F \cdot \frac{e^2}{9} = \frac{a \cdot e^3}{12} - \frac{a \cdot e}{2} \cdot \frac{e^2}{9} = \frac{a \cdot e^3}{36} \\ I_0 &= I_x - F \cdot \frac{4e^2}{9} = \frac{a \cdot e^3}{4} - \frac{a \cdot e}{2} \cdot \frac{4e^2}{9} = \frac{a \cdot e^3}{36} \end{aligned} \right\} \dots \dots 134$$

№ 103. Найти моментъ инерціи ромба или, равновеликаго съ нимъ по площади, треугольника, поставленнаго на ребро (фиг. 235).

Отв. $\frac{a \cdot e^3}{6}$, или $\frac{a \cdot h^3}{48}$.

№ 104. Найти моментъ инерціи и модуль сопротивленія сѣченія въ видѣ правильного 6-угольника со стороною a .

По ф-ламъ **132** и **133** выраженіе момента инерціи для 6-угольника съ расположеніемъ фиг. 236 будетъ:

$$I = 4 \cdot \frac{a \cdot e^3}{12} + 2 \cdot \frac{a \cdot e^3}{4} = \frac{5}{6} \cdot a \cdot e^3$$

$$e = \frac{a}{2} \cdot \sqrt{3}; I = \frac{5}{16} \cdot a^4 \cdot \sqrt{3} = 0,54 \cdot a^4 \dots \dots \dots \mathbf{135}.$$

Выраженіе модуля при расположеніи фиг. 236 будетъ

$$W = \frac{5}{6} \cdot a \cdot e^2 = \frac{5}{8} \cdot a^3 = 0,625 \cdot a^3 \dots \dots \dots \mathbf{136}.$$

Для нахождения I въ случаѣ 6-угольника при расположеніи его, какъ на фиг. 237, пишемъ моментъ инерціи для разности площадей ABC и CDE (по даннымъ задачи № 103):

$$I = 4 \cdot e \cdot \frac{a^3}{6} - 2 \cdot e \left(\frac{a}{2} \right)^3 = \frac{5}{16} \cdot a^4 \cdot \sqrt{3},$$

что тождественно съ ф-лой **135**; а новое выраженіе модуля будетъ

$$W_1 = \frac{5}{16} a^3 \cdot \sqrt{3} = 0,54 \cdot a^3 \dots \dots \dots \mathbf{137},$$

т. е. *наименьшій модуль 6-угольного сѣченія получается тогда, когда два противоположные ребра 6-гранника находятся въ плоскости сибанія.*

№ 105. Найти выраженіе модуля сопротивленія балки съ чечевицеобразнымъ сѣченіемъ, оси котораго $2a$ и $2b$ (фиг. 98) съ отношеніемъ $a : b = n$.

При помощи ф-лы **18** (§ 7) моментъ инерціи всего сѣченія напишется такъ

$$I = \frac{r^4}{6} \left[3\varphi - 3 \cdot \text{Sin}\varphi \cdot \text{Cos}\varphi - 2 \cdot \text{Sin}^3\varphi \cdot \text{Cos}\varphi \right]$$

$$b = r \cdot \text{Sin}\varphi; r - a = r \cdot \text{Cos}\varphi; (r - a)^2 + b^2 = r^2;$$

$$\text{откуда } r = \frac{a^2 + b^2}{2a} = b \cdot \frac{1 + n^2}{2n} \dots \dots \dots \mathbf{M}$$

$$\text{Sin}\varphi = \frac{b}{r} = \frac{2n}{1 + n^2} \dots \dots \dots \mathbf{N}$$

$$\text{Cos}\varphi = \frac{1 - n^2}{1 + n^2} \dots \dots \dots \mathbf{O}$$

$$\varphi = \text{arc Sin} \frac{2n}{1 + n^2} \dots \dots \dots \mathbf{P}$$

Таблица 43-я.

Чечевицеобразное сѣченіе.

$n = 0,5$	0,4	0,3
$\frac{r}{\bar{b}} = 1,25$	1,45	1,71
$\text{Sin } \varphi = 0,8$	0,69	0,585
$\text{Cos } \varphi = 0,6$	0,723	0,811
$\varphi : \pi = 0,295$	0,242	0,199
$I : b^4 = 0,295$	0,23	0,2

61. **Чугунныя балки съ поперечными сѣченіями, имѣющими одну ось симметріи.** Примѣромъ такого сѣченія, часто встрѣчающагося при выполненіи балокъ изъ чугуна, можетъ служить тавровое сѣченіе (фиг. 238). Употребленіе такой формы сѣченія допускается тогда только, когда нагрузка не мѣняетъ направленія своего воздѣйствія на балку, и когда, по свойству нагруженія балки, упругая линія не имѣетъ ни одной точки перегиба. Особенность расчета балокъ съ такимъ сѣченіемъ заключается въ томъ, что здѣсь въ области сжатыхъ элементовъ сѣченія допускается величина напряженія B_2 , отличающаяся отъ B_1 , допускаемаго напряженія въ области растянутыхъ элементовъ сѣченія. Въ чугунѣ отношеніе между этими величинами допускается имѣть равнымъ

$$B_2 : B_1 = \text{отъ } 2 \text{ до } 3.$$

Поэтому и провѣрка крѣпости балки дѣлается здѣсь по обѣимъ ф-ламъ 10 и 11 (см. § 4), а не по одной.

а. Расчетъ балки существующей. Даны размѣры балки

$$h \times a \times t \times d,$$

требуется найти безопасную величину сгибающаго момента, принимая $B_2 = 2B_1$. Тогда прежде всего находится положеніе нейтральнаго слоя yy , проходящаго чрезъ ц. т. сѣченія. По теоремѣ о ц. т. пишемъ, что статическій моментъ всей площади сѣченія = суммѣ таковыхъ для отдѣльныхъ элементовъ площади. Беремъ моменты относительно линіи mm :

$$[h \cdot d + (a - \bar{d}) \cdot t] \cdot e_1 = h \cdot d \cdot \frac{h}{2} + (a - d) \cdot t \cdot \frac{t}{2} \dots \dots \dots \phi$$

$$e_1 = \frac{1}{2} \cdot \frac{d \cdot h^2 + (a - d) \cdot t^2}{d \cdot h + (a - d) \cdot t} \dots \dots \dots 138.$$

Затѣмъ $e_2 = h - e_1$.

Послѣ этого высота сѣченія разбивается на двѣ части въ отношеніи $e_2 : e_1$, находится положеніе ц. т. O и строится прямая напряженій fl (фиг. 238). Тогда

$$H_2 : H_1 = e_2 : e_1.$$

Если окажется, что

$$\frac{e_2}{e_1} \text{ болѣе } 2, \text{ то } \frac{H_2}{H_1} \text{ будетъ также болѣе } 2;$$

въ этомъ случаѣ расчетною стороною будетъ сжатая часть сѣченія, т. е. надо будетъ сдѣлать $H_2 = B_2$, тогда

$$H_1 = B_2 \cdot \frac{e_1}{e_2} \text{ будетъ менѣе } B_1,$$

слѣд., верхніе, растянутые элементы сѣченія и по давню будутъ при этомъ крѣпки.

А если бы взять при этомъ $H_1 = B_1$, тогда

$$H_2 = B_1 \cdot \frac{e_2}{e_1} \text{ оказалось бы болѣе } 2B_1,$$

что недопустимо.

Наоборотъ, если $\frac{e_2}{e_1}$ менѣе 2, то и $\frac{H_2}{H_1}$ будетъ менѣе 2; въ такомъ случаѣ рассчитывается верхняя, растянутая сторона сѣченія, т. е. берется $H_1 = B_1$, тогда

$$H_2 = B_1 \cdot \frac{e_2}{e_1} \text{ будетъ менѣе } 2B_1,$$

что и слѣдуетъ имѣть.

Въ случаѣ $e_2 = 2e_1$ получится $H_2 = 2H_1$, и обѣ части сѣченія будутъ равноопасны. Такое сѣченіе наз. *благоприятнымъ*.

Моментъ инерціи тавроваго сѣченія, пользуясь ϕ -лой 14 (§ 5) напишется такъ:

$$I = \frac{1}{3} \left\{ d(e_2^3 + e_1^3) + (a - d) \cdot [e_1^3 - (e_1 - t)^3] \right\} . . . 139.$$

Если e_2 болѣе $2e_1$, расчетное ур-іе будетъ:

$$M = B_2 \cdot I : e_2 140,$$

а въ случаѣ, когда e_2 менѣе $2e_1$, расчетнымъ ур-іемъ будетъ

$$M = B_1 \cdot I : e_1 141.$$

б. *Расчетъ балки строящейся.* Въ этомъ случаѣ стараются выполнить сѣченіе *благоприятнымъ*, т. е. удовлетворяютъ условію

$$\frac{B_2}{B_1} = \frac{e_2}{e_1} 142$$

При этомъ оба ур-ія 140 и 141 дають одну и ту же величину безопаснаго момента, т. е. и сжатые и растянутые элементы сѣченія будутъ равнокрѣпкими. Въ такомъ случаѣ можно выбрать только 3 размѣра сѣченія, напр.

$$d = 1; h = \beta_1 \cdot d; t = \beta_2 \cdot d;$$

размѣръ же $a = x \cdot d$ нужно будетъ отыскать, удовлетворяя условию 142.

Пусть $B_2 = 2B_1$, тогда $e_2 = 2 e_1$. Съ другой стороны

$$e_1 + e_2 = h = \beta_1 \cdot d = 3 e_1, \text{ откуда}$$

$$e_1 = \frac{\beta_1 \cdot d}{3}; e_2 = \frac{2}{3} \cdot \beta_1 \cdot d$$

По ф-лѣ ф этого § имѣемъ

$$a = d + \frac{h \cdot d}{t} \cdot \frac{h - 2e_1}{2e_1 - t} = x \cdot d$$

$$x = 1 + \frac{h}{t} \cdot \frac{h - 2e_1}{2e_1 - t} \dots \dots \dots 143$$

При соблюденіи этого условія точка O , ц. т. сѣченія, будетъ дѣлить высоту балки въ требуемомъ отношеніи 1 : 2.

Послѣ этого ф-ла 139 обратится въ такую

$$I = \beta_3 \cdot d^3,$$

а расчетное ур-іе будетъ

$$M = B_2 \cdot \frac{I}{e_2} = B_1 \cdot \frac{I}{e_1} = B_2 \cdot \frac{3\beta_3 \cdot d^4}{2\beta_1 \cdot d},$$

$$d^3 = \frac{2 \cdot \beta_1}{3 \cdot \beta_3} \cdot \frac{M}{B_2}.$$

Такъ находится расчетная d сѣченія; при этомъ d не должно быть менѣе 15 м/м . Если же окажется изъ расчета, что d выходитъ менѣе 15 м/м , это будетъ значить, что сѣченіе выбрано чрезмерно высокимъ, т. е. коэффициентъ β_1 излишне великъ. Измѣняя β_1 , надо снова опредѣлить x изъ 143 и повторить расчетъ съ новыми размѣрами сѣченія.

62. Задачи. № 106. У четырехъ тавровыхъ балокъ (фиг. 238) съ размѣрами:

$$d = 1; e_1 = 4 \cdot d; e_2 = 8 \cdot d,$$

при расчетной толщинѣ t полки равной

$$d - 1,5 d - 2 d - 2,5 d,$$

найти ширину полки подѣ условіемъ, чтобы сѣченіе балки было благоприятнымъ, и сравнить между собою крѣпость этихъ балокъ.

Отв. Пользуясь ф-лами 143 и 139, найдемъ слѣдующія данныя:

При $t : d =$	1	1,5	2	2,5
$a : d =$	7,86	5,92	5	4,5
$F : d^2 =$	18,86	20,88	20	20,75
$I : d^4 =$	275,94	271,33	266,67	262,72

Данныя этой таблицы показываютъ, что при измѣненіи t отъ $1,5 \cdot d$ до $2,5 \cdot d$ площади сѣченія балки, и слѣдовательно и вѣсь ихъ, почти не мѣняются, тогда какъ моменты инерціи сѣченія балокъ, а стало быть и модули сопротивленія ихъ, все время уменьшаются.

№ 107. Тавровая балка (фиг. 238) имѣетъ размѣры $t = 1,5 \cdot d$; $e_2 = 3,5 \cdot d$; $e_1 = 10,5 \cdot d$.

Найти для нея недостающія расчетныя величины.

Отв. $a = 12,8 \cdot d$; $F = 31,7 \cdot d^2$;

$$I = 537,3 \cdot d^4$$

№ 108. Тавровая балка (фиг. 238) имѣетъ размѣры

$$t = 2 \cdot d; e_2 = 4 \cdot d; e_1 = 12 \cdot d.$$

Найти для нея недостающія расчетныя величины.

Отв. $a = 11,66 \cdot d$; $F = 37,32 \cdot d^2$;

$$I = 762,97 \cdot d^4.$$

Сравненіе этихъ двухъ примѣровъ съ данными задачи № 106 показываетъ, насколько быстро возрастаетъ крѣпость балки при увеличеніи ея высоты.

Сопротивленіе призматическихъ тѣлъ одновременному воздѣйствію нормальной и тангенціальной нагрузки.

Въ дополненіе къ рассмотрѣннымъ ранѣе примѣрамъ (см. § 55 и, 66 въ ч. I) расчета тѣлъ на одновременное воздѣйствіе нормальной и тангенціальной нагрузки, приведемъ здѣсь еще нѣсколько характерныхъ и наиболее часто встрѣчающихся въ практикѣ случаевъ нагруженія.

63. Расчетъ цилиндра на одновременное дѣйствіе сгибающей и крутящей нагрузки. Въ этомъ случаѣ пользуются ф-лой *Баха* (см. ф-лу 96 въ § 55 в, ч. I) для опредѣленія сложнаго напряженія:

$$H = \frac{3}{8} \cdot h + \frac{5}{8} \sqrt{h^2 + (2x \cdot t)^2} \quad \dots \dots \dots \quad 96.$$

Пусть обозначаютъ:

M_0 — крутящій моментъ,

M_1 — сгибающій „

φ — діам. расчетнаго сѣченія,

$W_0 = \pi \cdot \varphi^3 : 16$ — модуль сопротивленія при кручении,

$W_1 = \pi \cdot \varphi^3 : 32$ — „ „ „ сгибани.

$$\text{Тогда } h = \frac{M_1}{W_1}; \quad t = \frac{M_0}{W_0} = \frac{M_0}{2 \cdot W_1}$$

$$t : h = M_0 : 2M_1$$

$$\left. \begin{aligned} H &= h \cdot A = A \cdot \frac{M_1}{W_1} \\ A &= \frac{3}{8} + \frac{5}{8} \sqrt{1 + \left(\frac{x \cdot M_0}{M_1}\right)^2} \\ x &= \frac{4}{5} \cdot \frac{h}{t} \end{aligned} \right\} \dots \dots \dots \quad 144.$$

Эта ф-ла показываетъ, что расчетъ можетъ быть сведенъ здѣсь къ расчету на одно сгибаніе, но только по сложному моменту $A \cdot M_1$,

опредѣляемому въ зависимости какъ отъ величины заданныхъ моментовъ M_0 и M_1 , такъ и отъ способа воздѣйствія ихъ на тѣло.

64. Расчетъ призматическаго тѣла на одновременное воздѣйствіе растягивающей и сгибающей нагрузки (фиг. 239). *а. Общій случай.* Пусть нагрузка R на призм тѣло даетъ слагающія: Q — по оси бруса и P — нормально къ оси. Тогда опаснымъ сѣченіемъ, очевидно, будетъ A , какъ и въ случаѣ воздѣйствія одной нагрузки P . Распределение напряженій въ сѣченіи A даетъ намъ фиг. 240: прямая p_1q_1 показываетъ законъ распределения напряженій, вызываемыхъ въ различныхъ точкахъ сѣченія отъ сгибанія бруса, а прямая pq ||-ая p_1q_1 показываетъ, что каждое изъ предыдущихъ напряженій получаетъ еще приращеніе въ видѣ напряженія h_0 , являющагося отъ растяженія бруса силою Q . Если F — площадь сѣченія, I — его моментъ инерціи относительно оси y -овъ, т. е. оси, проходящей въ сѣченіи чрезъ ц. т. его A перпендикулярно плоскости изгиба, тогда:

$$h_0 = \frac{Q}{F}; h_1 = \frac{P \cdot l \cdot e_1}{I}; h_2 = \frac{P \cdot l \cdot e_2}{I}$$

Расчетное ур-іе для растянутыхъ элементовъ сѣченія будетъ

$$B_1 = \text{или болѣе } h_0 + h_1, \text{ или}$$

$$B_1 \geq \frac{Q}{F} + \frac{P \cdot l \cdot e_1}{I} \dots \dots \dots 145,$$

а для сжатыхъ элементовъ сѣченія —

$$B_2 = \text{или болѣе } h_2 - h_0, \text{ или}$$

$$B_2 \geq \frac{P \cdot l \cdot e_2}{I} - \frac{Q}{F} \dots \dots \dots 146$$

Если сѣченіе имѣетъ двѣ оси симметріи, а брусъ желѣзный, стальной или деревянный, т. е. выполненъ изъ такихъ матеріаловъ, для которыхъ допускаемыя величины B_1 и B_2 одинаковы, то достаточно удовлетворить одно только ур-іе 145, а 146-е будетъ удовлетворено само собою; въ случаѣ же сѣченія съ одною осью симметріи, расположенной въ плоскости сгибанія, а также въ случаѣ чугунаго бруса, приходится обращаться къ повѣркѣ крѣпости бруса по обѣимъ выше-написаннымъ ф-ламъ.

б) *Эксцентрисическое растяженіе бруса.* Подобный же эффектъ м б. вызванъ въ призматическомъ тѣлѣ и одной продольной нагрузкой Q , если она будетъ дѣйствовать на брусъ съ эксцентриситетомъ a (фиг. 241). Разница отъ предыдущаго будетъ только въ томъ, что здѣсь почти всѣ сѣченія между A и C будутъ одинаково опасны, т. к. величина плеча сгибающей силы для сѣченій A и C разнится только на величину стрѣлки прогиба бруса f , допускаемая величина которой вообще можетъ быть весьма невелика.

Но наиболѣе опасными сѣченіями здѣсь будутъ все таки сѣченія, прилегающія къ C , гдѣ приложена внѣшняя нагрузка.

Расчетныя ур-ія для растянутыхъ и сжатыхъ элементовъ сѣченія, вмѣсто ф-ль 145 и 146, будутъ такими:

$$B_1 \geq \frac{Q}{F} \left(\frac{a \cdot e_1 \cdot F}{I} + 1 \right) \cdot \cdot \cdot \cdot \cdot \quad 147.$$

$$B_2 \geq \frac{Q}{F} \left(\frac{a \cdot e_2 \cdot F}{I} - 1 \right) \cdot \cdot \cdot \cdot \cdot \quad 148$$

Величины стрѣлы прогиба $m. б.$ опредѣлены обычнымъ путемъ:

$$E \cdot I \cdot \frac{d^2 z}{dx^2} = Q \cdot a = Const. \quad (\text{фиг. 241}).$$

$$E \cdot I \cdot \frac{dz}{dx} = Q \cdot a \cdot x + c.$$

При $x=l \dots \frac{dz}{dx} = 0 \dots c = - Q \cdot a \cdot l$

$$E \cdot I \cdot \frac{dz}{dx} = Q \cdot a (x - l).$$

$$E \cdot I \cdot z = Q \cdot a \cdot \frac{(x - l)^2}{2} + c_1.$$

При $x=l \dots z=0 \dots c_1=0$

При $x=0 \dots z=f = \frac{1}{2} \cdot \frac{Q \cdot a \cdot l^2}{E \cdot I} \cdot \cdot \cdot \cdot \cdot \quad 149.$

Если желаютъ, что бы отклоненіе оси балки $cc_1 = f$ (фиг. 241) не превосходило опредѣленной заданной величины, надо вести опредѣленіе размѣровъ поперечнаго сѣченія по ф-лѣ 149.

65. Задачи. № 109. Нагрузка Q , воспринимаемая ушкомъ L (фиг. 242) передается на цилиндрическую часть желѣзнаго стержня діам. d съ эксцентриситетомъ a . Составить расчетное ур-іе стержня и выяснитъ зависимость его крѣпости отъ величины плеча a .

Повѣрку крѣпости въ этомъ случаѣ достаточно сдѣлать по ф-лѣ 147, гдѣ

$$e_1 = \frac{d}{2}; F = \frac{\pi}{4} \cdot d^2; I = \frac{\pi}{64} \cdot d^4,$$

$$B_1 = \frac{Q}{F} \left(1 + 8 \cdot \frac{f}{d} \right) = \frac{Q}{F} \cdot C.$$

Эта ф-ла показываетъ, что расчетъ тѣла на эксцентричное растяженіе сводится къ расчету на центральное растяженіе, но подъ дѣй-

ствіемъ нагрузки $C \cdot Q$, всегда значительно превышающей заданную. Величины поправочнаго коэффиціента таковы:

$$\text{При } f: d = \frac{1}{8} \quad \left| \quad \frac{1}{4} \quad \right| \quad \left| \quad \frac{3}{8} \quad \right| \quad \left| \quad \frac{1}{2} \quad \frac{5}{8} \quad \right| \quad \left| \quad \frac{3}{4} \quad \right| \quad \left| \quad \frac{7}{8} \quad \right| \quad \left| \quad 1 \right.$$

$$\text{Коэф. } C = 2 \quad \left| \quad 3 \quad \right| \quad \left| \quad 4 \quad \right| \quad \left| \quad 5 \quad 6 \quad \right| \quad \left| \quad 7 \quad \right| \quad \left| \quad 8 \quad \right| \quad \left| \quad 9 \text{ и т. д.} \right.$$

№ 110. Діагональная полоса C (фиг. 243) приклепана къ поясу D рѣшетчатой балки т. о., что передача нагрузки въ 1-мъ заклепочномъ ряду mn происходитъ съ эксцентриситетомъ a , т. е. заклепка h поставлена отъ оси діагонали на разстояніи $b = 35^m/m$. Выяснить вліяніе этого плеча b на крѣпость діагонали.

Размѣры полосы $120 \times 10^m/m$, діам. заклепочнога отверстия $d = 20$.

Найдемъ положеніе ц. т. сѣченія mn :

$$20 \cdot 10 \cdot 25 + 10 \cdot (120 - 20) \cdot (60 + a) = 120 \cdot 10 \cdot 60,$$

$$\text{откуда } a = 7 \text{ мм.}$$

Тогда $e_1 = 67$; $e_2 = 53$;

$$F = (120 - 20) \cdot 10 = 1000 \text{ кв. мм.}$$

Моментъ инерціи сѣченія mn относительно оси yy будетъ:

$$I = \frac{1}{3} \cdot 10 [53^3 + 67^3 - 52^3 + 32^3] = 1139333 \text{ мм}^4.$$

$$I : F = 1139,3 \text{ мм}^2.$$

По ф-лѣ 147 имѣемъ:

$$B_1 = \frac{Q}{F} \cdot \left[\frac{7 \cdot 67}{1139,3} + 1 \right] = \frac{1,412 \cdot Q}{F},$$

т. е. благодаря существованію плеча b въ $35^m/m$ напряженіе въ діагонали повысилось болѣе нежели на 40% , а чрезъ это нагрузка на нее д. б. уменьшена въ отношеніи $1 : 1,412 = 0,708$, или на 30% . Выбросивши заклепку h (фиг. 243) и располагая 1-ю заклепку i центрально, можно возстановить крѣпость діагональной полосы.

№ 111. На фиг. 244 изображенъ эскизъ подвѣски для вала и ея сѣченіе; на подвѣску передается нагрузка $Q = 500 \text{ м.}$ съ плечомъ $b = 55 \text{ мм.}$ относительно крайнихъ растянутыхъ элементовъ сѣченія. Выяснить условия крѣпости послѣдняго.

Для опредѣленія положенія ц. т. O имѣемъ:

$$(80 \cdot 18 + 127 \cdot 18) \cdot e_1 = 80 \cdot 18 \cdot 9 + 127 \cdot 18 \cdot (18 + 63,5), \text{ откуда}$$

$$e_1 = 53,5; \quad e_2 = 127 + 18 - 53,5 = 91,5;$$

$$a = 53,5 + 55 = 108,5; \quad F = 18(127 + 80) = 3726.$$

$$I = \frac{1}{3} [18(91,5^3 + 53,5^3) + 62(53,5^3 - 35,5^3)] = 7770768 \text{ мм}^4.$$

$$I \cdot F = 2085,5 \text{ мм}^2$$

$$\text{По 147} \dots\dots\dots B_1 = \frac{Q \left(\frac{108,5 \cdot 53,5}{2085,5} + 1 \right)}{F} = \frac{3,75 \cdot Q}{F} = 0,5.$$

$$\text{„ 148} \dots\dots\dots B_2 = \frac{Q \left(\frac{108,5 \cdot 91,5}{2085,5} - 1 \right)}{F} = \frac{3,76 \cdot Q}{F}$$

Напряжение B_2 могло бы быть в 2 раза больше B_1 , а здесь они равны: крепость у сечения вполне достаточная, но утилизация крепости материала могла бы быть и лучше.

№ 112. На фиг. 245 изображено соединение растягиваемых деревянных брусев в длину при помощи врезных зубьев, соприкасающихся между собою по плоскости mn ; выяснить условия крепости такого соединения.

На стык mn происходит смятие материала. Расчетным ур-емь этого стыка будетъ:

$$Q = D \cdot \kappa \cdot d \dots\dots\dots \text{л.}$$

Сечение tr испытывает эксцентричное растяжение. Величины, входящія в ф-лу 147, будутъ:

$$F = d \cdot h; \quad a = \frac{h + \kappa}{2}; \quad e_1 = \frac{h}{2}; \quad I = \frac{d \cdot h^3}{12}$$

$$B_1 = \frac{Q}{d \cdot h} \left(1 + 6 \cdot \frac{a}{h} \right) = Q \cdot \frac{h + 6a}{d \cdot h^2} \dots\dots\dots \text{м.}$$

Сравнивая между собою два найденныя ур-я крепости, получимъ:

$$D : B_1 = \frac{h^2}{\kappa(h + 6a)} \dots\dots\dots \text{н.}$$

Обыкновенно в этом соединении дѣляется $h = 2\kappa$, тогда найдемъ $a = 1,5 \cdot \kappa$, и по ф-лѣ н:

$$D : B_1 = \frac{h}{\kappa} \cdot \frac{1}{1 + 6 \cdot \frac{a}{h} \cdot \frac{\kappa}{h}} = 4 : 11.$$

Таково д. б. соотношение между напряжениями, чтобы оба расчетных сечения были одинаково крепки. Если

$$D = 0,4 \dots\dots\dots B_1 = \frac{11}{4} \cdot 0,4 = 1,1,$$

т. е. установленное в практикѣ соотношение можно признать возможным для исполненія. Но тогда по ф-лѣ л получимъ

$$Q = 0,4 \cdot \kappa \cdot d,$$

а цѣлое сѣчение бруса могло бы передавать растягивающую нагрузку

$$Q_1 = 1,1 \cdot (\kappa + 2h) \cdot d = 1,1 \cdot 5 \cdot \kappa \cdot d$$

$$Q : Q_1 = 4 : 55 = 0,073,$$

т. е. въ такомъ соединеніи не утилизируется даже и 8% употребленнаго въ дѣло матеріала. Болѣе рациональнымъ будетъ скрѣпленіе двухъ брусевъ посредствомъ боковыхъ желѣзныхъ накладокъ, стянутыхъ поперечными болтами (см. *Худяковъ - Сидоровъ — Атласъ деталей машинъ*, изд. 3-е, ч. 1, тб. 22, фиг. 8).

№ 113. На фиг. 246 — 247 изображено соединеніе концовъ двухъ желѣзныхъ (или стальныхъ) шахтныхъ стержней *A* и *B*; головки ихъ *C* и *D* охватываются половинками *E* и *F* муфты; эти половинки удерживаются какимъ-либо приспособленіемъ*) отъ распадаенія и все соединеніе расклинивается клиномъ *H*. Стержни *A* и *B* нагружаются центрально нагрузкой *2P*. Найти расчетное ур-е для муфты *E — F*.

Прежде всего найдемъ центръ давленія нагрузки *P* на опорномъ полукольцѣ муфты, имѣющемъ ширину *mn* (фиг. 247).

Опредѣляя положеніе ц. т. *K* (фиг. 248) площади полукруга съ радіусомъ *r*, мы можемъ написать:

$$x^2 + y^2 = r^2; 2x \cdot dx + 2y \cdot dy = 0.$$

При $y = 0 \dots \dots x = r$; при $x = r \dots \dots y = 0$

$$\frac{\pi \cdot r^2}{2} \cdot z = \int_0^r y \cdot 2x \cdot dy = \int_0^r 2x^2 \cdot dx = \frac{2}{3} \cdot r^3,$$

$$z = \frac{4r}{3\pi} \dots \dots \dots 150.$$

Пусть обозначаютъ (фиг. 247 и 249):

- r_0 — радіусъ стержней *A* и *B*;
- r_1 — радіусъ головокъ *C* и *D*, или внутренней радіусъ муфты *E — F*;
- r_2 — внѣшній радіусъ муфты *E — F*;
- z_0 — разстояніе ц. т. опорной поверхности *mn* (фиг. 247) отъ оси стержней;
- z_1 — разстояніе ц. т. поперечнаго сѣченія одной изъ половинокъ муфты отъ оси стержней. По теоремѣ о ц. т., пользуясь ф-той 150, будемъ имѣть:

$$\frac{\pi}{2} \cdot r_1^2 \cdot \frac{4}{3\pi} \cdot r_1 = \frac{\pi}{2} \cdot r_0^2 \cdot \frac{4}{3\pi} \cdot r_0 + \pi \cdot \frac{r_1^2 - r_0^2}{2} \cdot z_0$$

$$z_0 = \frac{4}{3\pi} \cdot \frac{r_1^3 - r_0^3}{r_1^2 - r_0^2} \dots \dots \dots 151.$$

*) См. *Худяковъ-Сидоровъ, Атласъ деталей машинъ*, изд. 3-е, таблица 41-я.

Аналогично съ этимъ получимъ также, что

$$z_1 = \frac{4}{3\pi} \cdot \frac{r_2^3 - r_1^3}{r_2^2 - r_1^2} \dots \dots \dots 152.$$

Сгибающий моментъ для каждой изъ половинокъ муфты будетъ

$$M = P \cdot (z_1 - z_0) \dots \dots \dots 153.$$

Моментъ инерціи поперечнаго полукольцевого сѣченія каждой половинки муфты относительно линіи *yy* (фиг. 249), проходящей чрезъ ц. т. κ_1 ея сѣченія напишется такъ (см. ф-лы 19 въ § 8 и 117 въ § 43):

$$I = \frac{\pi}{4} \cdot \frac{r_2^4 - r_1^4}{2} - \pi \cdot \frac{r_2^2 - r_1^2}{2} \cdot z_1^2 \dots \dots \dots 154.$$

Для растянутыхъ элементовъ сѣченія, прилегающихъ къ линіи *ab* (фиг. 249), расчетное ур-іе будетъ:

$$B_1 \geq \frac{2P}{\pi \cdot (r_2^2 - r_1^2)} + \frac{P \cdot (z_1 - z_0) \cdot z_1}{I} \dots \dots \dots 155,$$

а для сжатыхъ элементовъ сѣченія, прилегающихъ къ образующей *f* (фиг. 249), расчетное ур-іе будетъ:

$$B_2 \geq \frac{P \cdot (z_1 - z_0) \cdot (r_2 - z_1)}{I} - \frac{2P}{\pi \cdot (r_2^2 - r_1^2)} \dots \dots \dots 156.$$

Оба эти ур-ія должны быть удовлетворены одновременно, задаваясь радіусомъ r_2 . Величина его, очевидно, должна быть болѣе той, которую получимъ, сдѣлавъ въ ур-іи 155 плечо $z_1 = 0$, т. е. болѣе величины

$$r_2 = \sqrt{r_1^2 + \frac{2P}{\pi \cdot B_1}} \dots \dots \dots 157.$$

Пусть, напр., $2P = 50.000$ *кн.* Допуская для стали $Z = 10$ *кн.* на кв. *мм.*, найдемъ $r_0 = 40$ *мм.* Примемъ затѣмъ на поверхности *mn* (фиг. 246) допускаемое напряженіе $D = 7,5$ *кн.*, тогда найдемъ

$$r_1 = \sqrt{40^2 + \frac{50000}{3,14 \cdot 7,5}} = 61 \text{ мм.}$$

По ф-лѣ 151... $z_0 = 32,6$ *мм.* Если примемъ $B_1 = 9$ *кн.*, то по ф-лѣ 157 найдемъ $r_2 = 75$ *мм.* Увеличивая исполняемую величину r_2 до 80 *мм.*, находимъ:

по 152 . . . $z_1 = 45,4$ *мм.* = e_1 ; $e_2 = 80 - 45,4 = 34,6$ *мм.*

по 153 . . . $M = 25000 \cdot (45,4 - 32,6) = 320000$ *кн.-мм.*

по 154 . . . $I = 10555600$ *мм⁴.*

$$\text{по 155 . . . } B_1 = \frac{50000}{20106 - 11690} + \frac{320000 \cdot 45,4}{10555600} =$$

$$= 5,94 + 1,36 = 7,3 \text{ м. на кв. мм.}$$

$$\text{по 156 . . . } B_2 = \frac{1,36 \cdot 34,6}{45,4} - 5,94 = -4,9 \text{ м. на кв. мм.,}$$

т. е. вся площадь сѣченія будетъ состоять изъ растянутыхъ элементовъ. Полученная величина B_1 показываетъ, что исполняемая величина r_2 могла бы быть и менѣе 80 мм. Если бы оставили ее равной 75 мм., тогда тѣмъ же порядкомъ пришли бы къ слѣд. результатамъ:

$z_1 = e_1 = 43,4$	$мм.$	$I = 6854700$	$мм.^4$
$e_2 = 34,6$	$"$	$B_1 = 10,85$	$м. \text{ на кв. мм.}$
$a = 10,8$	$"$	$B_2 = 7,53$	$" \quad " \quad " \quad "$

№ 114. Замѣнить въ предыдущей задачѣ внѣшнее очертаніе муфты эллиптическимъ подѣ тѣмъ условіемъ, чтобы эксцентриситетъ μ при передачѣ давленія былъ = 0.

Опредѣляя координату u : m . площади полуэллипса съ осями $2c$ и $2b$, получимъ (фиг. 250):

$$\frac{x^2}{c^2} + \frac{y^2}{b^2} = 1; \quad y \cdot dy = -\frac{b^2}{c^2} \cdot x \cdot dx.$$

$$\frac{\pi \cdot c \cdot b}{3} \cdot z = \int_0^z y \cdot 2x \cdot dy = \frac{2b^2}{c^2} \cdot \int_0^z x^2 \cdot dx = \frac{2}{3} \cdot b^2 \cdot c$$

$$z = \frac{4}{3 \cdot \pi} \cdot b \cdot \dots \dots \dots 158.$$

Для поперечнаго сѣченія муфты, имѣющаго круглое внутреннее очертаніе съ радіусомъ r_1 и эллиптическое внѣшнее очертаніе съ полуосями b и c , ц. т. пусть находится въ k_0 (фиг. 250). Тогда:

$$\frac{\pi \cdot c \cdot b}{2} \cdot \frac{4}{3\pi} \cdot b = \frac{\pi \cdot r_1^2}{2} \cdot \frac{4}{3\pi} \cdot r_1 + \left(\frac{\pi \cdot b \cdot c}{2} - \frac{\pi \cdot r_1^2}{2} \right) \cdot z_0$$

$$z_0 = \frac{4}{3\pi} \cdot \frac{c \cdot b^2 - r_1^3}{c \cdot b - r_1^2} \cdot \dots \dots \dots 159.$$

Если размѣры осей эллипса подобраны такимъ образомъ, что передача давленія происходитъ безъ эксцентриситета, т. е. всѣ элементы сѣченія муфты работаютъ на одно растяженіе, тогда ф-лы 151 и 159 должны давать одну и ту же величину:

$$\frac{r_1^3 - r_0^3}{r_1^2 - r_0^2} = \frac{c \cdot b^2 - r_1^3}{c \cdot b - r_1^2}, \quad \text{откуда}$$

$$c = \frac{r_1^2}{b} \cdot \frac{r_0^2}{r_0^2 - (r_0 + r_1) \cdot (b - r_1)} \cdot \dots \dots \dots 160.$$

Расчетное ур-іе муфты обратится въ слѣдующее:

$$2P = \text{или менѣе } Z \cdot \pi \cdot (b \cdot c - r_1^3).$$

Пользуясь ф-лой 160, можно привести это ур-іе къ такому виду:

$$2P \leq Z \cdot \pi \cdot r_1^3 \cdot \frac{(r_0 + r_1) \cdot (b - r)}{r_0^2 - (r_0 + r_1) \cdot (b - r)} \dots \dots \dots 161.$$

Задаваясь b , удовлетворяють ур-іе 161 по знаку неравенства, а затѣмъ вычисляютъ c по ф-лѣ 160.

66. Расчетъ длинныхъ сжатыхъ стоекъ или колоннъ. Сопротивленіе сжатію *длинной призмы*, или *стойки*, иначе *колонны* (фиг. 251), имѣющей вертикальную ось, обладающей полной однородностью материала и центрально нагруженной, ничѣмъ не должно было бы отличаться отъ сопротивленія сжатію *короткой призмы* (§ 33, ч. I). Но эти условія на практикѣ не достижимы, и явленіе сжатія стойки обыкновенно сопровождается искривленіемъ ея оси, т. е. явленіемъ сгибанія.

Нагрузивши вертикальную стойку вдоль ея оси, отклонивши слегка ея свободный конецъ въ сторону (фиг. 251) и предоставивши затѣмъ стойку самой себѣ, мы увидимъ, что для нея будетъ существовать нѣкоторое опредѣленное положеніе равновѣсія, если только нагрузка не чрезмѣрно велика.

Когда, искривленная воздѣйствіемъ продольной нагрузки, стойка находится въ равновѣсіи, безъ проявленія вредныхъ послѣдствій свободный конецъ стойки можетъ получить и дальнѣйшее небольшое отклоненіе по направленію изгиба отъ дѣйствія добавочной поперечной нагрузки, а по удаленіи ея сопротивление стойки беретъ перевѣсъ, и снова восстанавливается равновѣсіе между продольною нагрузкою и внутренними силами въ томъ же самомъ положеніи, которое заняла согнутая ось стойки сначала.

Наибольшая величина нагрузки, при которой сопротивление согнутой стойки все еще въ состоянн уравнивать собою дѣйствіе нагрузки, называется *ломающей нагрузкой*, такъ какъ малѣйшее увеличеніе ея ведетъ уже къ непрерывному увеличенію стрѣлы прогиба стойки и къ ея перелому, или перегибу, смотря по роду материала.

а. Формула Эйлера (Euler) для сжатыхъ стоекъ. Расположимъ начало координатъ въ ц. т. A (фиг. 252) свободного сѣченія стойки, ось x -овъ направимъ вертикально, а ось y -овъ горизонтально. Возьмемъ произвольное сѣченіе N на разстоянн x отъ свободного конца. Сгибающій моментъ въ этомъ сѣченнн будетъ $M = P \cdot y$.

Пользуясь правиломъ знаковъ (см. § 13, ч. II), ур-іе упругой линнн напишемъ слѣдующимъ образомъ (см. ф-лу 26, ч. II):

$$-\frac{d^2y}{dx^2} = + \frac{P \cdot y}{E \cdot I} \dots \dots \dots 162.$$

Введемъ обозначеніе $P : E \cdot I = n^2 \dots \dots \dots 163.$

Тогда

$$\frac{d^2 y}{dx^2} = -n^2 \cdot y \dots \dots \dots 162 \text{ а.}$$

Интеграція этого ур-ія даетъ слѣдующее:

$$y = A \cdot \text{Sin } n \cdot x + B \cdot \text{Cos } n \cdot x \dots \dots \dots 164,$$

гдѣ A и B — постоянныя величины. Для нахождения ихъ отнесемъ ур-іе 164 къ точкѣ A , гдѣ $x = y = 0$; тогда получимъ $B = 0$, а потому

$$y = A \cdot \text{Sin } n \cdot x \dots \dots \dots 165.$$

Въ практикѣ весьма часто встрѣчается такой случай сопротивленія изгибу длинной стойки, когда оба ея конца должны лежать на одной вертикали (фиг. 253). Тогда при $x = l$ мы снова должны имѣть $y = 0$, т. е.

$$A \cdot \text{Sin } n \cdot x = 0.$$

Но такъ какъ коэф. A не равенъ нулю, слѣд., надо имѣть:

$$\text{Sin } n \cdot l = 0 \dots \dots \dots 166.$$

Обѣ величины — n и l — не равны 0, поэтому ур-іе 166 возможно удовлетворить, только положивши

$$n \cdot l = m \cdot \pi, \text{ или}$$

$$n^2 \cdot l^2 = m^2 \cdot \pi^2 = l^2 \cdot P : E \cdot I, \text{ откуда}$$

$$P = m^2 \cdot \pi^2 \cdot \frac{E \cdot I}{l^2} \dots \dots \dots 167.$$

Это и есть ф-ла *Эйлера* (*Leonhard Euler*).

Сдѣлавши въ ней $m = 1$, получимъ случай стойки, оба конца которой свободны относительно вращенія, но принуждены оставаться на заданномъ направленіи AO :

$$m = 1 \dots \dots \dots P_1 = \pi^2 \cdot \frac{E \cdot I}{l^2} \dots \dots \dots 168.$$

При $m = 2$ будемъ имѣть случай стойки, представленный на фиг. 254, гдѣ $y = 0$ при значеніяхъ x , равныхъ $\frac{l}{2}$ и l ; въ этомъ случаѣ 3 точки оси стойки (A , C и O) принужденно должны оставаться на первоначальномъ направленіи оси AO . Сдѣлавши въ формулѣ 167-й $m = 2$, или же вставивъ $\frac{l}{2}$ вмѣсто l въ ф-лу 168, получимъ:

$$m = 2 \dots \dots \dots P_2 = (2\pi)^2 \cdot \frac{E \cdot I}{l^2} \dots \dots \dots 169.$$

Представляя себѣ стойку *АНСО* (фиг. 254) мысленно продолженною такъ, чтобы *ОК* было симметрично съ *НС*, мы можемъ сказать, что стойка *НСОК* (фиг. 254) въ состояніи вынести на себѣ ту же величину нагрузки, какъ и стойка *АНСО*, а въ такомъ случаѣ мы дѣлаемъ переходъ къ такой стойкѣ, у которой оба конца ущемлены и принуждены при выгибѣ стойки оставаться на первоначальномъ направленіи (фиг. 255). Слѣд., и въ этомъ случаѣ ломающая нагрузка будетъ опредѣляться по ф-лѣ 169, т. е. для стойки съ ущемленными концами ломающая нагрузка въ 4 раза больше, чѣмъ для стойки съ концами свободными. Но для этого нужно, чтобы ущемленіе было совершенное, т. е. чтобы въ сѣченіяхъ *A* и *O* (фиг. 255) ось колонны, дѣйствительно, не могла уклоняться отъ первоначальнаго направленія *АО*, т. е. вѣтви *AF* и *НО* (фиг. 255) искривленной оси должны касаться несогнутой оси *АО*.

При $m = 3$ мы сдѣлаемъ переходъ къ стойкѣ, у которой согнутая ось имѣетъ 4 точки *A*, *D*, *E* и *O* (фиг. 256) на первоначальномъ направленіи оси *АО*:

$$m = 3 \dots \dots P_3 = (3\pi)^2 \cdot \frac{E \cdot I}{l^2} \dots \dots 170.$$

Подобный случай принужденнаго удерживанія нѣсколькихъ точекъ согнутой оси стойки на первоначальномъ прямолинейномъ ея направленіи встрѣчается въ практикѣ въ настоящее время весьма часто, а именно при устройствѣ артезіанскихъ насосовъ, поршневыхъ штанги которыхъ удерживаются отъ выгиба въ сторону посредствомъ направляющихъ.

Не нужно думать, что, увеличивая m , мы можемъ довести величину нагрузки, ломающей стойку, до бесконечности. Очевидно, что максимальнымъ значеніемъ ломающаго груза будетъ величина его для короткой стойки.

Переходя отъ стойки съ обоими свободными концами (фиг. 253) къ такой, у которой свободенъ только одинъ конецъ (фиг. 252), мы должны замѣнить l въ ф-лѣ 168 величиною $2l$, и тогда получимъ величину ломающей нагрузки для этого случая.

$$P_0 = \frac{\pi^2}{4} \cdot \frac{E \cdot I}{l^2} \dots \dots 171.$$

Приведенныя здѣсь ф-лы 168 — 171 даютъ величину ломающей нагрузки. Пусть Q будетъ безопасная нагрузка, ϕ —степень надежности, тогда расчетное ур-іе будетъ:

$$\phi \cdot Q = (m \cdot \pi)^2 \cdot \frac{E \cdot I}{l^2} \dots \dots 172,$$

гдѣ m можетъ быть равно одной изъ слѣд. величинъ:

$m = \frac{1}{2} \dots \dots$	фиг. 252	$m = 2 \dots \dots$	фиг. 254 и 255
$m = 1 \dots \dots$	фиг. 253	$m = 3 \dots \dots$	фиг. 256

Величины ϕ берутся такъ: отъ 4 до 5 въ желѣзн. и стальныхъ колоннахъ, отъ 6 до 7 — въ чугунныхъ колоннахъ и отъ 7 до 10 въ деревянныхъ.

Если обозначимъ

$$r^2 = I / F,$$

гдѣ r будетъ радіусъ инерціи сѣченія, тогда разрушающее напряженіе K_0 для стойки со свободными концами (фиг. 253) по ф-лѣ 168 можно написать такъ:

$$K_0 = \frac{P_1}{F} = \pi^2 \cdot E \left(\frac{r}{l} \right)^2 \dots \dots \dots 172, a.$$

6. Формула Причарда (Prichard*) для сжатыхъ стоекъ. Въ недавнее время *Причардъ* далъ болѣе точный выводъ, расчетнаго ур-ня для сжатой стойки, принимая во вниманіе также и сокращеніе длины стойки подѣ дѣйствіемъ нагрузки. Если длину стойки до нагруженія ея обозначимъ чрезъ l , послѣ нагруженія — чрезъ l_1 и сокращеніе ея длины — чрезъ λ , тогда:

$$l_1 = l - \lambda = l \left(1 - \frac{P}{E \cdot F} \right) \dots \dots \dots 173$$

Пусть имѣемъ стойку (фиг. 252), нижній конецъ которой ущемленъ, а верхній свободенъ. Нагрузивши ее центрально, отклонимъ верхній ея конецъ воздѣйствіемъ небольшой поперечной силы. Въ изображенномъ на чертежѣ положеніи ANO пусть наступило равновѣсіе нагрузки P съ внутренними силами. Отнесемъ согнутую ось бруса къ осямъ координатъ $x Ay$, направивши $Ax \parallel OA_1$. Произвольное сѣченіе N согнутой стойки будетъ имѣть координаты

$$AN_1 = x; NN_1 = y.$$

Сгибающій моментъ въ сѣченіи N будетъ $M = P \cdot y$.

Элементы сѣченія N будутъ испытывать напряженія отъ сжатія стойки и отъ ея сгибанія. Наибольшее напряженіе сжатыхъ элементовъ сѣченія напишется такъ (подобно ф-лѣ 145).

$$H = \frac{P}{F} + \frac{P \cdot y \cdot e}{I} \dots \dots \dots 174,$$

гдѣ e — разстояніе крайнихъ сжатыхъ элементовъ сѣченія отъ нейтральнаго слоя, который имѣли бы, рассматривая одно явленіе сгибанія.

Опредѣлимъ величину наибольшаго укороченія элементовъ объема стойки съ высотой dx . По ф-лѣ 1 (см. § 2, ч. II) относительное укороченіе произвольной линіи, направленной вдоль оси согнутого бруса и отстоящей отъ нея на разстояніе z , вычисляется такъ:

$$i = z : r, \text{ если } r \text{ — радіусъ кривизны даннаго сѣченія.}$$

*) *The stresses in framed structures. By A. Jay Du Bois C. E., professor of civil engineering Yale University, глава IV.*

Для крайних наиболѣ сжатыхъ элементовъ сѣченія будемъ имѣть:

$$z = e \dots \dots \dots \iota_0 = e : r$$

Укороченіе на длинѣ dx такихъ наиболѣ сжатыхъ элементовъ сѣченія будетъ

$$k = \iota_0 \cdot dx = \frac{e}{r} \cdot dx \dots \dots \dots \text{ а.}$$

По ф-лѣ 9 (въ § 3, ч, II) имѣемъ:

$$\frac{1}{r} = \frac{M}{E \cdot I} \text{, поэтому } k = \frac{M \cdot e}{E \cdot I} \cdot dx \dots \dots \dots \text{ б}$$

Укороченіе того же элемента длины, вслѣдствіе воздѣйствія сжимающей силы P , опредѣлится такъ:

$$\lambda = \frac{P}{E \cdot F} \cdot dx \dots \dots \dots \text{ в.}$$

Явленіе укороченія элементовъ длины стойки всего нагляднѣе можетъ быть пояснено чертежемъ. Пусть $abfh$ (фиг. 257) будетъ элементъ объема стойки до ея нагруженія: ab и hf — два поперечныхъ сѣченія, отстоящихъ одно отъ другого на разстояніе $dx = qt$. Послѣ нагруженія стойки сѣченіе ab , вслѣдствіе сжатія, пусть перемѣстится въ положеніе cd , а вслѣдствіе сгибанія стойки пусть это сѣченіе придетъ въ положеніе c_1d_1 . Тогда длина qs , равная λ , представитъ намъ укороченіе элемента длиною dx вслѣдствіе сжатія, а длина dd_1 , равная k , выразитъ дальнѣйшее укороченіе крайняго сжатого волокна стойки при ея сгибани, такъ что полное наибольшее сжатіе на длинѣ dx будетъ представлено на чертежѣ длиною bd_1 . Новая длина элемента, измѣряемая по оси стойки, будетъ:

$$st = dx_1 = dx - \lambda = dx \left(1 - \frac{P}{E \cdot F}\right) \dots \dots \dots \text{ г.}$$

Сравненіе ф-лѣ 173 и г этого § показываетъ, что

$$\frac{dx}{dx_1} = \frac{l}{l_1} \dots \dots \dots \text{ д.}$$

Изъ подобія треугольниковъ dsd_1 и smt имѣемъ.

$$\frac{mt}{st} = \frac{ds}{dd_1}, \text{ или } \frac{r_1}{dx_1} = \frac{e}{k}, \text{ откуда}$$

$$\frac{1}{r_1} = \frac{k}{e} \cdot \frac{1}{dx_1} = \frac{1}{r} \cdot \frac{dx}{dx_1} = \frac{M}{E \cdot I} \cdot \frac{l}{l_1} \dots \dots \dots \text{ ж.}$$

Выражая радиусъ кривизны r_1 чрезъ 2-ю производную отъ y по x_1 и принимая во вниманіе правило разстановки знаковъ (§ 13, ч. II) въ дифференціальномъ ур-ніи упругой линіи, мы должны получить его въ слѣд. видѣ:

$$-\frac{d^2y}{dx_1^2} = + \frac{l}{l_1} \cdot \frac{P}{E \cdot I} y \dots \dots \dots \text{ 175.}$$

Введемъ обозначеніе $n_1^2 = \frac{l}{l_1} \cdot \frac{P}{E.I}$ 176.

Тогда $\frac{d^2 y}{dx_1^2} = -n_1^2 \cdot y$ 175,а.

Сравнивая между собою ф-лы 162 а и 175 а, мы видимъ, что онѣ по существу тождественны, и что

$$n_1^2 : n^2 = l : l_1,$$

а потому и въ результатѣ интегрированія должна получиться ф-ла, отличающаяся отъ ф-лы *Эйлера* только существованіемъ коэф. $l : l_1$ во 2-й части равенства. Произведемъ самую интеграцію ур-ія 175 а. Для этого замѣтимъ, что

$$\frac{d}{dy} \left(\frac{dy}{dx_1} \right)^2 = 2 \cdot \frac{dy}{dx_1} \cdot \frac{d^2 y}{dx_1^2} \cdot \frac{dx_1}{dy},$$

поэтому, умножая обѣ части ур-ія 175 а на $2 \cdot dy$ и производя интегрированіе ур-ія, получимъ:

$$\left(\frac{dy}{dx_1} \right)^2 = -n_1^2 \cdot y^2 + c 3.$$

Для опредѣленія произвольнаго постояннаго c отнесемъ ур-іе 3 къ ущемленному сѣченію O (фиг 252) стойки, гдѣ

$$x_1 = l_1 \dots y = AA_1 = f \dots \frac{dy}{dx_1} = 0, \text{ слѣд.}$$

$$0 = -n_1^2 \cdot f^2 + c, \text{ или } c = n_1^2 \cdot f^2.$$

Послѣ этого ур-іе 3 можно' написать въ такомъ видѣ:

$$\frac{dy}{dx_1} = n_1 \cdot \sqrt{f^2 - y^2}, \text{ или}$$

$$n_1 \cdot dx_1 = \frac{dy}{\sqrt{f^2 - y^2}} \text{и.}$$

Интегрируя это ур-іе, получимъ:

$$n_1 \cdot x_1 = \text{arc Sin } \frac{y}{f} + c_1 \text{н.}$$

Для нахождения произвольнаго постояннаго c_1 отнесемъ ур-іе къ сѣченію A (фиг. 253), гдѣ

$$\text{при } x_1 = 0 \dots y = 0, \text{ слѣд. } c_1 = 0.$$

Искомое ур-іе упругой лини будетъ:

$$\frac{y}{f} = \text{Sin } n_1 \cdot x_1 177.$$

Относя это ур-іе къ ущемленному сѣченію O стойки (фиг. 252) получимъ:

$$\text{при } x_1 = l_1 \dots y = OO_1 = AA_1 = f, \text{ т. е.}$$

$$1 = \sin n_1 \cdot l_1, \text{ или } n_1 \cdot l_1 = \frac{\pi}{2}$$

$$n_1^2 \cdot l_1^2 = \frac{\pi^2}{4} = \frac{l}{l_1} \cdot \frac{P}{E \cdot I} \cdot l_1^2, \text{ откуда}$$

$$P = \frac{\pi^2}{4} \cdot \frac{E \cdot I}{l \cdot l_1} \dots \dots \dots 178.$$

Это и есть ф-ла *Причарда* для случая стойки съ однимъ концомъ ущемленнымъ, а другимъ свободнымъ (фиг 252). Для этого случая ф-лу *Эйлера* мы имѣли въ видѣ ф-лы 171. Если не дѣлать различия между l и l_1 , т. е. пренебрегать сокращеніемъ колонны въ длину, тогда обѣ эти ф-лы и будутъ тождественны.

Замѣняя въ ф-лѣ 178 величину l_1 ея значеніемъ, изъ ф-лы 173 получимъ:

$$P \cdot l^2 \left(1 - \frac{P}{E \cdot F} \right) = \frac{\pi^2}{4} \cdot E \cdot I, \text{ откуда}$$

$$P = \frac{P^2}{E \cdot F} + \frac{\pi^2}{4} \cdot \frac{E \cdot I}{l^2} \dots \dots \dots 178, \text{ а.}$$

По 173 $\dots \dots \dots \frac{P}{E \cdot F} = \frac{l - l_1}{l}$

Так. обр. видно, что разрушающая нагрузка, вычисляемая по ф-лѣ *Причарда*, принимая во вниманіе укороченіе нагруженной колонны, получится всегда нѣсколько болѣе того, что даетъ ф-ла *Эйлера*, но т. к. это отступленіе идетъ въ пользу прочности рассчитываемой стойки и т. к. ф-ла *Эйлера* проще ф-лы *Причарда*, поэтому ф-лѣ *Эйлера* слѣдуетъ отдать предпочтеніе при расчетахъ — тѣмъ болѣе, что справедливость ея съ достаточной точностью подтверждена опытами, произведенными въ недавнее время *Баушингеромъ* и *Тетмайеромъ*.

в. **Формулы Навье и Шварцъ-Ранкина для сжатыхъ стоекъ** У сжатой стойки съ обоими свободными концами (фиг. 253) напряженіе матеріала въ сѣчени N м. б. выражено формулой 174

$$H = \frac{P}{F} + \frac{P \cdot y \cdot e}{I}$$

Очевидно, что *max* этого напряжения будетъ въ томъ поперечномъ сѣчени, гдѣ $y = f$, или стрѣлѣ прогиба. Но какъ мы видѣли, при всякомъ способѣ нагруженія согнутой балки стрѣла прогиба м. б. представлена такою ф-лой (см. ф-лу 35 въ § 15 в, ф-лу 41 въ § 16 в, ф-лу 47 въ § 17 б, ф-лу 62 въ § 19 в и т. д.):

$$f = c \cdot \frac{B \cdot l^2}{E \cdot e},$$

гдѣ c — коэф, зависящій отъ способа нагруженія согнутой балки. Вводя обозначенія:

$$c \cdot B : E = \beta; \quad I \cdot F = r^2,$$

гдѣ β — коэф., зависящій отъ рода матеріала, а r — радиусъ инерціи сѣченія, и замѣняя въ ф-лѣ 174 величину H допускаемымъ напряженіемъ D при сжатіи короткой призмы, получимъ расчетное ур-е для стойки въ слѣдующемъ видѣ:

$$P = F \cdot \frac{D}{1 + \beta \cdot \left(\frac{l^2}{r^2}\right)} \dots \dots \dots 179.$$

Въ 1-й четверти текущаго столѣтія эта ф-ла была выведена французскимъ академикомъ *Навье* (*Navier*). Сношенія въ ученой средѣ въ то время были еще весьма мало развиты, и случилось поэтому такъ, что въ 1854 г. самостоятельный выводъ той же формулы былъ сдѣланъ въ Германіи *Шварцемъ* (*Schwarz*), профессоромъ политехникума въ Ганноверѣ, а въ 1862 г. въ Англии то же самое дѣлаетъ инж. *Ранкинъ* (*Rankine*); поэтому ф-лу 179 въ литературѣ часто называютъ ф-лой *Шварцъ-Ранкина*. Если ввести обозначеніе.

$$\varphi = 1 \cdot \left[1 + \beta \cdot \frac{l^2}{r^2} \right] \dots \dots \dots 180,$$

тогда ф-ла 179 м. б. написана въ слѣд. видѣ:

$$P = F \cdot (D \cdot \varphi) \dots \dots \dots 181,$$

т. е. расчетъ сжатой длинной стойки можно вести по обычной ф-тѣ на сжатіе короткой призмы, если только за допускаемое напряженіе считать величину $\varphi \cdot D$, т. е. произведеніе обычно допускаемаго напряженія на поправочный коэф. φ , зависящій отъ величины отношенія длины стойки къ радиусу инерціи ея сѣченія.

Эта ф-ла содержитъ въ себѣ два опытныхъ коэф. — φ и D , поэтому многіе авторы и строители инженерныхъ сооружений долгое время предпочитали ее ф-лѣ *Эйлера*, содержащей въ себѣ только одинъ коэф. упругости E , величина котораго къ тому же далеко не постоянна для отдѣльныхъ полосъ какой-либо партии матеріала.

Довольно долгое время было распространено мнѣніе, что ф-ла *Эйлера* не подтверждается опытомъ, пока болѣе точными опытами новѣйшаго времени не была разсѣяна невѣрность такого заключенія, основаннаго на рѣзультатахъ старыхъ, весьма грубо обставлявшихся опытовъ.

г. Результаты опытовъ надъ провѣрною ф-лѣ для расчета сжатыхъ стоекъ Наиболѣе обширные и точные опыты съ этою цѣлью были продѣланы въ послѣднее время въ Германіи профессоромъ *Баушимгеромъ*, а въ Швейцаріи проф. *Тетмайеромъ* *).

А. Результаты опытовъ съ деревянными стойками. При центральной нагрузкѣ и отношеніи $l : r$ (длины стойки къ рад. инерціи ея

*) Prof. L. Tetmajer. Die Gesetze der Knickungsfestigkeit der technisch wichtigsten Baustoffe Zürich, 1896.

сбъченія), болшемъ 100, деревянныя стойки проявляли всѣ свойства упругаго прогиба, т. е. по удаленіи нагрузки происходило восстановленіе первоначальной формы, тогда какъ при стойкахъ съ отношеніемъ $l:r$ менше 100 по удаленіи нагрузки, величина которой была близка къ разрушающей, получались всегда остающіяся деформаци.

Сопротивляемость деревянныхъ стоекъ зависитъ отъ большей или меньшей сухости дерева, а также отъ числа и распредѣленія на стволѣ вѣтвей (сучковъ). Въ дальнѣйшемъ приведены результаты опытовъ *Тетмайера* надъ деревянными стойками хвойныхъ породъ, высушенными на воздухѣ, причеиъ напряженіе выражено въ tn на кв. см., а площадь въ кв. см.

При $l:r$ болѣе 100 ф-ла *Эйлера* подтвердилась вполне, и примѣнительно къ ф-лѣ 172 а ее можно было написать такъ:

$$K_0 = \frac{P_1}{F} = 987 \cdot \frac{r^2}{l^2} \dots \dots \dots 182.$$

При значеніяхъ же $l:r$ отъ 1,8 до 100 разрушающая нагрузка могла быть выражена ф-лою

$$P_1 = K_0 \cdot F = \left(0,293 - 0,00194 \cdot \frac{l}{r} \right) \cdot F \dots \dots 183.$$

Приводя эти ф-лы въ согласованіе съ ф-лой 179-й *Шварц-Ранкина* въ предположеніи, что разрушающее напряженіе $D_0 = 0,293 tn$ на кв. см., величины коэф. β получимъ слѣдующими (табл. 44):

Т а б л и ц а 44-я.

$l:r$	Коэф. β	$l:r$	Коэф. β	$l:r$	Коэф. β
10	0,000693	60	0,000182	120	0,000225
20	385	70	177	140	248
30	274	80	176	160	254
40	224	90	183	180	261
50	194	100	196	200	268

Слѣд., величина коэф. β не постоянна и не представляетъ собою какой-либо опредѣленной функціи отношенія $l:r$.

Б. Результаты опытовъ съ чугуиными стойками. При отношеніи $l:r$ болѣе 80 ф-ла *Эйлера* подтверждается для чугуна вполне; выражая нагрузки въ tn , а площади въ см., получимъ въ этомъ случаѣ:

$$K_0 = \frac{P_1}{F} = 9870 \cdot \frac{r^2}{l^2} \dots \dots \dots 184.$$

При отношеніяхъ же $l:r$ отъ 5 до 80 разрушающая нагрузка могла быть выражена слѣд. ф-лой:

$$P_1 = F \cdot \left[7,76 - 0,12 \cdot \frac{l}{r} + 0,00053 \cdot \frac{l^2}{r^2} \right] \dots 185.$$

Приводя эти ф-лы въ согласованіе съ ф-лой 179-й *Шварц-Ранкина* въ предположеніи, что разрушающее напряженіе $D_0 = 7,76 tn$. на кв. см., величины коэф. β получимъ слѣдующими (табл. 45):

Таблица 45-я.

$l:r$	Коэф. β	$l:r$	Коэф. β	$l:r$	Коэф. β
10	0,00175	60	0,00060	110	70
20	98	70	60	120	71
30	75	80	63	130	73
40	65	90	66	140	74
50	61	100	68	150	74

Так. обр. и здѣсь величина коэф. β непостоянна и не выражается какою-либо опредѣленною функціею отношенія $l:r$.

Въ расчетныхъ таблицахъ, составленныхъ инженеромъ *Шаровскимъ* (*Scharowsky, Musterbuch für Eisenconstruotionen*), для чугунныхъ колоннъ приняты за основаніе расчета слѣд. данныя:

$Z =$ или менѣе 250 м. на кв. см.

$D =$ „ „ 500 „ „

Коэф. $\beta = 0,0002$.

В. Результаты опытовъ съ желѣзными стойками изъ сварочнаго и литого желѣза. Разстояніе между центрами заклепокъ дѣлалось въ 70 разъ болѣе толщины склепываемыхъ полосъ; ослабленіе сѣченія полосы заклепками дѣлалось не болѣе 12%; наблюдалось при склепкѣ за возможно болѣе тщательнымъ заполненіемъ заклепочныхъ дыръ металломъ заклепокъ. Выражая нагрузку въ tn и площади въ кв. см., *Тетмайеръ* получалъ:

а) для сварочнаго желѣза при $l:r$ болѣе 112

$$K_0 = \frac{P_1}{F} = 19740 \cdot \frac{r^2}{l^2} \dots 186,$$

причемъ постоянный коэф. въ этой ф-лѣ соотвѣтствуетъ величинѣ $E = 20000$ м. на кв. мм.; а при $l:r$ отъ 10 до 112

$$P_1 = F \cdot \left[3,03 - 0,0129 \cdot \frac{l}{r} \right] \dots 187,$$

Если моментъ инерціи сѣченія относительно различныхъ его осей одинаковъ, въ расчетныя формулы вносится наименьшій изъ нихъ. Отсюда слѣдуетъ, что наивыгоднѣйшими формами поперечныхъ сѣченій у колоннъ будутъ такія, у которыхъ величина момента инерціи будетъ одинакова для двухъ взаимно \perp -ныхъ осей. Если, кромѣ центральной давящей нагрузки, будетъ еще существовать боковая, сгибающая колонну, нагрузка, тогда наивыгоднѣйшая форма сѣченія должна отвѣчать условіямъ крѣпости и на сжатіе и на сгибаніе.

Чугунныя колонны выполняются или пустотѣлыми (полыми) или ребристыми; пустотѣлыя могутъ имѣть форму или круглую (фиг. 258), или квадратную (фиг. 259—260), а также прямоугольную; ребристыя колонны имѣютъ сѣченіе двутавровое (фиг. 261—262).

Минимальная толщина стѣнокъ δ въ зависимости отъ внѣшняго діаметра колонны d м. б. такова:

$\delta =$	10	12	14	16	20 мм.
$d =$	80—140;	160—190;	200—290;	300—400,	420—500 мм.

Максимальная встрѣчающаяся толщина стѣнокъ δ_1 въ зависимости отъ діам. d бываетъ такою:

$\delta_1 =$	14	16	18	20	24	30	34	40	48	60 мм.
$d =$	80	90	100	120	150	200	250	300	360	450 "

Толщина стѣнокъ въ зависимости отъ длины колонны l регулируется такими данными

$l =$	2 — 3	3 — 5	болѣе 5 мт.
$\delta =$	12 — 15	15 — 20	, 20 мм.

Въ квадратныхъ чугунныхъ колоннахъ толщина стѣнокъ дѣлается такою же, какъ и въ круглыхъ, а чаще—нѣсколько болѣе. Если сѣченіе—въ видѣ полого прямоугольника, тогда толщина стѣнокъ обыкновенно ставится въ соотвѣтствіе съ размѣрами большей изъ сторонъ прямоугольника.

Въ чугунныхъ колоннахъ двутавроваго сѣченія толщина стѣнки и полокъ дѣлается одинаковою, и полки съ внутренней стороны могутъ не получать столь значительныхъ уклоновъ, какъ въ желѣзныхъ двутавровыхъ балкахъ. Размѣры такихъ колоннъ бываютъ отъ $80 \times 40 \times 10 \times 10$ до $800 \times 400 \times 70 \times 70$.

Желѣзныя колонны могутъ получать самыя разнообразныя формы поперечныхъ сѣченій, скомбинированныя изъ полосъ балочнаго желѣза, углового, тавроваго, двутавроваго, коробчатого, зетовъ и т. д.

Въ Германіи, гдѣ желѣзо дешево, нерѣдко можно встрѣтить въ употребленіи весьма нераціональную форму сѣченія колоннъ—въ видѣ креста, образованнаго изъ 4-хъ уголковъ при помощи 4-хъ рядовъ заклепокъ.

Легкія стойки въ зданіяхъ инж. *Шуховъ* дѣлаетъ крестообразнаго сѣченія, образуя изъ полосы балочнаго желѣза и двухъ неравнобокихъ уголковъ, причѣмъ склепываніе всѣхъ трехъ полосъ дѣлается *однимъ* ря домъ заклепокъ (фиг. 264).

Для передачи нагрузки отъ вѣса парового котла на фундаментъ часто употребляются стойки изъ прокатныхъ двутавровыхъ полосъ (фиг. 265). Въ зданіяхъ колонны выполняются часто съ двутавровымъ сѣ- ченіемъ, представленнымъ на фиг. 266 и 267. Различныя комбинаціи желѣзныхъ полосъ коробчатыхъ, угловыхъ, двутавровыхъ, зетовъ и т. п. представлены на фиг. 268—275. Сѣченія стоекъ изъ специального *ко- лоннаго или квадратнаго* желѣза—одного и въ комбинаціи съ балочнымъ и тавровымъ желѣзомъ—даны на фиг. 276—278.

Для *предварительныхъ* расчетовъ желѣзныхъ стоекъ и колоннъ, когда еще только подбираются размѣры сѣченія, величину поправочнаго коэф. φ въ ф-лу 181 можно вносить по даннымъ *Lowe*, изъ табл. 47-й, приводимой ниже. Въ этой таблицѣ l обозначаетъ длину колонны, а d —*наименьшій* размѣръ средняго поперечнаго сѣченія колонны, т. е. длину меньшей изъ сторонъ прямоугольника, описаннаго вокругъ сѣче- нія колонны или стойки.

Таблица 47-я.

Величины поправочныхъ коэф. $100 \times \varphi$ въ ф-лѣ 181.

$l:d$	$100 \times \varphi$						
5	95	17	65	29	50	46	38
6	92	18	63	30—31	49	47—48	37
7	88	19	62	32—33	48	49—50	36
8	85	20	61	34	47	51	35
9	83	21	59	35	46	52—53	34
10	80	22	57	36—37	45	54—55	33
11	77	23	56	38—39	44	56—58	31
12	75	24	55	40	43	59—60	30
13	73	25	54	41	42	61—62	29
14	71	26	53	42	41	63—65	28
15	69	27	52	43	40	66—67	27
16	67	28	51	44—45	39	68—70	25

Данныя для расчета полосъ тавровыхъ, двутавровыхъ, угловыхъ, зетовъ и коробчатыхъ даны выше (§§ 51—57).

Данныя для расчета колоннъ изъ квадратнаго желѣза приведены въ табл. 48-й (R —средній радиусъ цилиндрической части):

Таблица 48-я.

Нормальные немецкие профили квадратного железа (фиг. 276).

Размеры в мм. $R \times b \times d \times t$	Площадь сечения колонны кв. см.	Вес погонного мт. колон. в кг.	Мом. инерции I_y сечения колонны в см. ⁴	Модуль W_y сечения колонны в см. ³
50×35×4×6	29,8	23,4	573	66
" " × 8×8	48	37,5	901	101
75×40×6×8	54,9	42,9	2046	173
" " × 10×10	80,2	62,8	2957	246
100×45×8×10	88,1	68,9	5434	365
" " × 12×12	120,4	94	7395	490
125×50×10×12	129,3	101	11970	665
" " × 14×14	168,8	131,6	15591	857
150×55×12×14	178,9	139,6	23206	1100
" " × 18×17	248,6	194	32283	1509

Брянский завод выкатывает колонные профили слѣд. размѣров $R \times b \times d \times t$:

$$41 \times 29 \times 6 \times 7 ; 66,5 \times 52 \times 8 \times 8$$

$$98 \times 52 \times 13 \times 13 ; 138 \times 90 \times 11 \times 11$$

При передачѣ нагрузки отъ одной и той же системы (балки, рамы машины и т. п.) сразу на нѣсколько колоннъ не слѣдуетъ комбинировать чугуныя колонны съ желѣзными, какъ въ виду различнаго сокращенія ихъ въ длину подѣ дѣйствіемъ нагрузки, такъ отчасти и въ виду неодинаковаго коэф. линейнаго расширенія отъ теплоты для обоихъ металловъ.

Во всѣхъ случаяхъ, когда нагрузка передается сразу на нѣсколько колоннъ, обращается вниманіе на правильное распредѣленіе между ними давленія, на сокращеніе ихъ въ длину отъ дѣйствія нагрузки и на передачу давленія отъ колонны нижняго этажа на фундаментъ.

СБОРНИКЪ ЗАДАЧЪ

на приложенія теоріи растяженія и сжатія тѣлъ.

Составили инженеръ-механики

В. Г. Шуховъ и П. К. Худяковъ.

(выпуска 1876 г.).

(выпуска 1877 г.)

№ 1. Желѣзный цилиндръ *B* (фиг. 279) и чугунный полый цилиндръ *A* имѣютъ одинаковую площадь поперечнаго сѣченія и одинаковую высоту. Отъ дѣйствія сжимающей нагрузки *P* оба ц-ра получаютъ одно и то же укороченіе образующихъ. Найти отношеніе между напряженіями матеріала обоихъ цилиндровъ и расчетное ур-іе для нихъ подъ тѣмъ условіемъ, чтобы степень надежности системы была не менѣе 5.

Отв. Желѣзный ц-ръ будетъ напряженъ *вдвое* болѣе чугуннаго, если величины *E* принять соотвѣтственно въ 20000 и 10000 *кн.* на кв. *мм.* Взявъ допускаемыя величины напряженій *D* для желѣза $40 : 5 = 8$, а для чугуна $60 : 5 = 12$, видимъ, что чугунный ц-ръ долженъ будетъ работать съ напряженіемъ только въ 4 *кн.*, а расчетное ур-іе будетъ:

$$P = F \cdot (8 + 4) = F \times 12,$$

т. е. ту же самую нагрузку могъ бы вынести на себѣ и одинъ чугунный ц-ръ съ площадью *F*.

№ 2. Какъ нужно было бы писать въ предыдущей задачѣ расчетное ур-іе, если бы оба ц-ра вытягивались заданной нагрузкой?

Отв. Если допускаемое напряженіе для желѣза $Z_1 = 35 : 5 = 7$, а для чугуна $Z_2 = 13 : 5 = 2,6$, тогда желѣзный ц-ръ можно заставить работать съ напряженіемъ $2 \times 2,6 = 5,2$ *кн.*, и расчетное ур-іе будетъ:

$$P = F \cdot (5,2 + 2,6) = 7,8 \times F,$$

т. е. здѣсь наоборотъ чугунный ц-ръ почти не помогаетъ общему сопротивленію.

№ 3. Двѣ желѣзныхъ полосы A и B (фиг. 280) съ одинаковой площадью и длиной вытягиваются нагрузкой P на одну и ту же длину, но имѣютъ разные коэф. упругости E_1 и E_2 . Въ какомъ отношеши должны были бы находиться ихъ коэф. крѣпости Z_1 и Z_2 , чтобы обѣ полосы работали съ одинаковой надежностью.

Отв. $Z_1 : Z_2 = E_1 \cdot E_2$.

№ 4. Между двумя неподвижными опорами C и D (фиг. 281) расположены двѣ балки A и B одинаковой длины, но изъ нихъ A — желѣзная, B — чугунная. Предполагая опоры неподатливыми, найти напряженія материала, которыя получатся при расширеніи балокъ, если измѣненіе t -ры въ средѣ, окружающей балки, происходитъ отъ (-40) до $+100^\circ$. Ц.

Отв. Принимая коэф. линейнаго расширенія на 100° Ц. для желѣза $= 1:812$, а для чугуна $1:930$, получимъ напряженія сжатія въ желѣзной балкѣ 34,5, а въ чугунной 15,1

№ 5. Между неподвижными точками A и B (фиг. 282), находящимся одна отъ другой на разстояніи $2l$ свободно протянута проволока, у которой $F=1$ кв. мм. Какое усиліе P надо приложить въ срединѣ длины проволоки, чтобы вызвать въ ней заданное напряженіе H , если пренебрегать вѣсомъ самой проволоки?

Рѣшеніе. Проволока получитъ вытяжку $i = H \cdot E$;

$$l_1 = AC = BC = l(1 + i); \quad CD = h = l \cdot \sqrt{2i + i^2} \dots 1.$$

$$H : \frac{P}{2} = l_1 : h; \quad P = 2H \cdot \frac{h}{l_1} = 2H \cdot \frac{\sqrt{2i + i^2}}{1 + i}$$

Съ точностью, достаточною для цѣлей практики, эту послѣднюю ф-лу можно писать такъ:

$$P = 2H \cdot \sqrt{2i} = 2H \cdot \sqrt{2H \cdot E} \dots 2.$$

№ 6. Прежде чѣмъ быть оборванною проволока даетъ удлиненіе въ 25% отъ первоначальной длины. Найти разрывающую нагрузку P , если она приложена къ проволока тѣмъ способомъ, который указанъ въ предыдущей задачѣ.

Отв. $h : l \cdot l_1 = 3 : 4 : 5; \quad P = 1,2 \cdot H$,

т. е. разорвать такую проволоку будетъ труднѣе, чѣмъ непосредственнымъ навѣшиваніемъ разрывающаго груза H на проволоку, протянутую вертикально.

№ 7. При какихъ условіяхъ для обрыва проволоки потребуется одинаковая нагрузка въ случаѣ непосредственнаго навѣшиванія груза на вертикально висящую проволоку и въ случаѣ воздѣйствія нагрузки тѣмъ способомъ, который указанъ въ зад. № 5 (фиг. 282).

Отв. Для этого надо имѣть (фиг. 282):

$$\sin \beta = \frac{1}{2}; \cos \beta = \frac{\sqrt{3}}{2} = 0,866$$

$$\frac{l_1}{l} = 1 + i = 1 : 0,866 = 1,1547; i = 0,1547,$$

т. е. вытяжка у проволоки до разрыва ея д. б. въ 15,5%.

№ 8. При 0° Ц. желѣзная проволока, у которой $F = 1$ кв. мм., свободно протянута между неподвижными точками A и B (фиг. 282) и не испытываетъ никакого напряженія. Допускаемая величина напряженія дана — $H = 20$ кг. на кв. мм. Нагрузка навѣшивается на проволоку въ срединѣ ея длины $2l$. Какова будетъ величина безопасной нагрузки при 0°, при (— 50°) и при + 50° Ц?

Рѣш. При 0° величина нагрузки опредѣляется непосредственно по ф-лѣ 2 (см. зад. № 5):

$$P = 2 \cdot 20 \cdot \sqrt{\frac{2 \cdot 20}{20000}} = 1,7888, \text{ или около } 1,8 \text{ кг.}$$

Если коэф. линейнаго расширенія проволоки при измѣненіи температуры на 100° примемъ = 1 : 812,5, то вытяжка проволоки при повышеніи t -ры на 50° будетъ

$$i_1 = \frac{0,5}{812,5} = \frac{1}{1625}$$

Когда въ проволокахъ будетъ вызвано допускаемое напряженіе въ 20 кг., она дастъ еще добавочную вытяжку

$$i = \frac{H}{E} = \frac{20}{20000} = \frac{1}{1000}$$

$$I = i + i_1 = \frac{1}{1625} + \frac{1}{1000} = \frac{21}{13000}$$

По ф-лѣ 1 (см. предыдущую зад. № 5) соответственная этому значенію I величина угла β опредѣлится изъ р-ва:

$$\operatorname{tg} \beta = \frac{h}{l} = \sqrt{2I + I^2} = 0,0579; \beta = 3^{\circ}19'$$

При такомъ значеніи β величины tg и \sin можно считать одинаковыми. Поэтому

$$P_1 = 2 H \cdot \sin \beta = 2 \cdot 20 \cdot 0,0579 = 2,32 \text{ кг.}$$

Напряженіе, которое будетъ вызвано въ проволокахъ паденіемъ температуры съ 0° на (— 50°), будетъ

$$H_2 = \frac{0,5}{812,5} \cdot 20000 = 12,31 \text{ кг. на кв. мм.}$$

Слѣд., въ этомъ случаѣ добавочное до 20 *к.* напряжение матеріала будетъ = 7,69 *к.* Его вызоветъ нагрузка

$$P_2 = 2.7,69 \sqrt{\frac{2 \cdot 7,69}{20000}} = 0,43 \text{ к.}$$

Так. обр. отношение полученныхъ нагрузокъ будетъ =

$$0,43 : 1,8 : 2,32, \text{ или } 0,24 : 1 : 1,29.$$

№ 9. Треугольная ферма *ABC* (фиг. 283), состоящая изъ двухъ тягъ *AC* и *BC* и распорнаго бруса *AB*, принимаетъ на себя нагрузку *P* въ узлѣ *C*. Длина бруса *AB* = $2l$, высота *CD* = h . Предполагая, что сочлененія въ узлахъ *A, B, C* шарнирные и что нагрузка *P* вызываетъ одинаковое напряжение матеріала какъ въ сжатой части *AB*, такъ и въ растянутыхъ *AC* и *BC*, опредѣлить пониженіе точки подвѣса *C*, происходящее вслѣдствіе упругихъ деформаций частей фермы.

$$P_{\text{ши.}} \quad S = \frac{P}{2} \cdot \frac{l}{h}; \quad Q = \frac{P}{2} \cdot \frac{\sqrt{h^2 + l^2}}{h}$$

Послѣ нагруженія фермы длины *BA*, *BC* и *CA* примуть размѣръ:

$$\text{длина } AB \dots 2l \cdot (1 - \epsilon)$$

$$\text{длина } AC \text{ и } CB \dots (1 + \epsilon) \cdot \sqrt{h^2 + l^2}$$

Новая высота фермы $DC_1 = h_1$. Она опредѣлится такъ:

$$h_1 = \sqrt{(h^2 + l^2) \cdot (1 + \epsilon)^2 - l^2 \cdot (1 - \epsilon)^2} = \sqrt{4\epsilon \cdot l^2 + h^2 (1 + \epsilon)^2}$$

Пусть $h = \frac{l}{10}$, расчетное напряжение $Z = D = 10$ *к.* на кв. *мм.*,

$$E = 20000, \quad \epsilon = \frac{Z}{E} = \frac{1}{2000}; \quad (1 + \epsilon)^2 = \text{около } 1 + \frac{1}{1000}$$

$$h_1 = l \cdot \sqrt{\frac{1}{500} + \frac{1}{100} \cdot 1,001} = 0,1096 \cdot l$$

$$\text{Прогибъ } h_1 - h = (0,1096 - 0,1) \cdot l = 0,0096 \cdot l$$

Если бы треугольная ферма была замѣнена призматической балкой съ высотой h и длиной $2l$, тогда ея стрѣла прогиба опредѣлялась бы по ф-лѣ 62 (см. § 19, ч. II), которую въ примѣненіи къ нашему случаю надо было бы писать такъ:

$$f = \frac{1}{12} \cdot \frac{B \cdot (2l)^3}{E \cdot e} = \frac{2}{3} \cdot \frac{B \cdot l^3}{E \cdot h}$$

При вышеуказанныхъ числовыхъ данныхъ получимъ:

$$f = \frac{2}{3} \cdot \frac{10 \cdot 10 \cdot l}{20000} = \frac{l}{300} = 0,0033 \cdot l,$$

т. е. призматическая балка, имѣющая высоту стѣненія, равную высоте треугольной фермы, при одинаковой крѣпости съ нею подѣлитъ

ствіемъ одной и той же нагрузки, приложенной въ срединѣ, даетъ прогибъ, приблизительно въ 3 раза меньшій, чѣмъ треугольная ферма.

№ 10. Треугольная ферма ABC (фиг. 284), состоящая изъ двухъ подкосовъ AC , BC и затяжки AB , въ узлѣ C принимаетъ на себя нагрузку P . Длина $AB=2l$; $CD=h$. Предполагая, что всѣ сочлененія въ узлахъ фермы шарнирныя и что нагрузка P вызываетъ одинаковое напряженіе материала и въ сжатыхъ и въ растянутой части фермы, опредѣлить пониженіе узла C , происходящее вслѣдствіе упругихъ деформаций частей фермы.

$$P_{\text{ши.}} \quad Q = \frac{P}{2} \cdot \frac{l}{h}; \quad S = \frac{P}{2} \cdot \frac{\sqrt{h^2 + l^2}}{h}.$$

Послѣ нагруженія всѣ части фермы примутъ слѣд. размѣры:

$$AB \dots \dots 2l \cdot (1 + \nu); \quad AC \text{ и } BC \dots (1 - \nu) \cdot \sqrt{h^2 + l^2}.$$

Новая высота фермы $C_1D=h_1$. Она будетъ опредѣляться равенствомъ:

$$h_1 = \sqrt{(h^2 + l^2) \cdot (1 - \nu)^2 - l^2 \cdot (1 + \nu)^2} = \sqrt{h^2 \cdot (1 - \nu)^2 - 4\nu \cdot l^2}.$$

$$\text{Прогибъ фермы } f = h - h_1 = h - \sqrt{h^2(1 - \nu)^2 - 4\nu \cdot l^2}.$$

C_1D , равное h_1 , получится $= 0$ тогда, когда

$$h = 2l \cdot \frac{\sqrt{\nu}}{1 - \nu}.$$

$$\text{Принимая } \nu = 1 : 1000 \dots \dots \dots h = \frac{1}{31} \cdot 2l.$$

Пусть сѣченіе частей фермы равно F кв. мм.; допускаемая нагрузка на подкосы будетъ:

$$Q = F \cdot E \cdot \nu = F \cdot \frac{20000}{1000} = 20 \cdot F.$$

$$P = \frac{2Q \cdot h}{l} = \frac{2 \cdot 20 \cdot F \cdot 2}{31} = 2,58 \cdot F,$$

т. е. при очень малыхъ подъемахъ фермы достаточно приложить незначительное усиліе къ вершинѣ фермы, чтобы ее разрушить.

№ 11. Рѣшить задачу № 9 въ предположеніи, что въ растянутыхъ частяхъ допускается напряженіе Z , а въ сжатой — D , не равное Z .

$$\text{Отв.} \quad \nu = \frac{Z}{E}; \quad \nu_1 = \frac{D}{E}$$

$$f = h_1 - h = \sqrt{h^2 \left(1 + \frac{Z}{E}\right)^2 + 2l^2 \cdot \frac{Z + D}{E}} - h.$$

№ 12. Рѣшить задачу № 10 въ предположеніи, что въ растянутой части допускается напряженіе Z , а въ сжатой — D .

Отв. $i = Z : E; \quad \iota_1 = D : E$

$$\frac{2}{3}f = h - h_1 = h - \sqrt{h^2 \cdot \left(1 - \frac{D}{E}\right)^2 - 2l^2 \cdot \frac{Z + D}{E}}$$

№ 13. Въ треугольной фермѣ ABC (фиг. 285) съ наклоннымъ подкосомъ найти пониженіе точки подвѣса нагрузки вслѣдствіе существованія упругихъ деформаций въ частяхъ фермы, предполагая, что части фермы рассчитаны съ одинаковымъ напряженіемъ, и матеріаль ихъ имѣетъ одинаковую величину коэф. упругости.

Рѣш. $\overline{DE}^2 = l^2 \cdot (1 + \iota)^2 - f^2 = (l^2 + h^2) \cdot (1 - \iota)^2 - (h - f)^2$

$$f = \iota \cdot l \cdot \left(2 \cdot \frac{l}{h} + \frac{h}{l} - \frac{\iota \cdot h}{2l}\right)$$

Съ достаточною для практики точностію можно принимать

$$f = \iota \cdot l \cdot \left(2 \frac{l}{h} + \frac{h}{l}\right) \dots \dots \dots 3.$$

Если бы эту треугольную ферму замѣнить равнокрѣпкой съ ней балкой равнаго сопротивленія, у которой ширина прямоугольнаго сѣченія постоянна на всей ея длинѣ, а высота въ ущемленномъ мѣстѣ $= h$ (см. § 40, B , б; зад. № 78), ея стрѣла прогиба въ точкѣ приложенія нагрузки была бы:

$$f_1 = \frac{2}{3} \cdot \frac{P \cdot l^3}{E \cdot I} = \frac{2}{3} \cdot \frac{B \cdot l^2}{E \cdot e} = \frac{4}{3} \cdot \iota \cdot \frac{l^2}{h}$$

т. е. треугольная ферма дастъ всегда большій провѣсъ, чѣмъ равнокрѣпкая съ нею балка равнаго сопротивленія, имѣющая ширину прямоугольнаго поперечнаго сѣченія постоянную, а высоту въ ущемленномъ мѣстѣ одинаковую съ высотой фермы.

№ 14. Въ треугольной фермѣ ABC (фиг. 286) съ наклонной тягой найти пониженіе точки подвѣса нагрузки вслѣдствіе существованія упругихъ деформаций въ частяхъ фермы, предполагая, что части фермы рассчитаны съ одинаковымъ напряженіемъ, и что матеріаль ихъ имѣетъ одинаковую величину коэф. упругости.

Отв. Точное выраженіе вертикальнаго перемѣщенія точки подвѣса

$$f = \iota \cdot l \cdot \left(2 \frac{l}{h} + \frac{h}{l} + \frac{\iota \cdot h}{2l}\right),$$

а приближенно, съ достаточною для практики степенью точности, это выраженіе можно принимать одинаковымъ съ ф-лой 3 задачи № 13.

№ 15. Въ фермахъ ABC (фиг. 285 и 286) при заданной величинѣ вылета фермы, т. е. расстоянія $AB = l$, найти высоту фермы

подъ условіемъ, чтобы пониженіе точки подвѣса груза въ фермѣ послѣ ея нагруженія было *min*.

Рѣш. Для этого отъ выраженія 3 (см. предыдущую зад. № 13), представляющаго собою пониженіе точки подвѣса f , надо взять производную по h и приравнять ее нулю. Получимъ

$$h = l \cdot \sqrt{2},$$

т. е. высота фермы d . б диагональю квадрата, построеннаго на длинѣ вылета, какъ на сторонѣ.

№ 16. Въ фермѣ ABC (фиг. 285) съ наклоннымъ подкосомъ при данномъ вылетѣ ея l опредѣлить высоту h подъ условіемъ, чтобы вѣсъ частей фермы былъ *min*, если въ растянутой части фермы допускается напряженіе Z , а въ сжатой D .

$$\text{Рѣш. } S = P \cdot \frac{l}{h}; \quad Q = P \cdot \frac{\sqrt{l^2 + h^2}}{h}$$

Если вѣсъ куб. мм. матеріала будетъ γ , тогда вѣсъ частей фермы

$$\begin{aligned} \text{будетъ: части } AB. & \dots \dots \dots \frac{\gamma \cdot P}{Z} \cdot \frac{l^2}{h} \\ \text{„ } BC. & \dots \dots \dots \frac{\gamma \cdot P}{D} \cdot \frac{l^2 + h^2}{h} \end{aligned}$$

Послѣ этого вѣсъ фермы получимъ такимъ

$$R = \gamma \cdot P \cdot \left[\frac{l^2}{h} \cdot \frac{D + Z}{D \cdot Z} + \frac{h}{D} \right]$$

Отыскивая *min* этого выраженія, найдемъ

$$h = l \sqrt{\frac{D + Z}{Z}}$$

При $D = Z \dots h = l \cdot \sqrt{2}$ (см. предыдущую зад.),

т. е. *наивыгоднѣйшее отношеніе высоты фермы къ ея вылету въ смыслъ наименьшей затраты матеріала на ея изготовленіе соотвѣтствуетъ тѣмъ размѣрамъ фермы, при которыхъ она даетъ наименьшій прогибъ.* При этомъ для всякаго отношенія Z къ D имѣемъ:

$$\text{min } R = \frac{P \cdot \gamma}{D} \cdot 2h$$

№ 17 Въ фермѣ ABC (фиг. 286) съ наклонной тягой опредѣлить отношеніе высоты фермы къ заданному вылету ея подъ условіемъ, чтобы вѣсъ всей фермы былъ *min*, если въ растянутой части допускается напряженіе Z , а въ сжатой — D .

Отв. Вѣсъ фермы выразится такъ:

$$R = P \cdot \gamma \cdot \left[\frac{l^2}{h} \cdot \frac{Z + D}{Z \cdot D} + \frac{h}{Z} \right]$$

Min R при данномъ l получится, когда

$$h = l \cdot \sqrt{\frac{Z + D}{D}}; \text{ при } D = Z \dots h = l \cdot \sqrt{2}.$$

Независимо отъ величины отношенія Z къ D имѣемъ всегда

$$\min R = \frac{P \cdot \gamma}{Z} \cdot 2h$$

№ 18. Для выполненія сжатой части фермы ABC (фиг. 286) предыдущей задачи имѣется уже готовая полоса подходящей длины и размѣровъ сѣченія. Найти высоту фермы подъ условіемъ, чтобы вѣсъ тяги былъ *min*.

Отв. Вѣсъ тяги будетъ $\dots \frac{P \cdot \gamma}{Z} \cdot \frac{l^2 + h^2}{h}$. Его *min* получимъ при

$$h = l; \text{ онъ будетъ } \frac{P \cdot \gamma}{Z} \cdot 2h$$

№ 19. Желѣзная фабричная дымовая труба AB (фиг. 287) передаетъ воспринимаемую ею равномерную нагрузку (отъ вѣтра) тягѣ CD . Найти точку прикрѣпленія тяги къ трубѣ подъ условіемъ, чтобы вѣсъ тяги былъ *min*.

Отв. Положеніе точки C м. б. выбрано произвольно, а уголь β долженъ быть въ 45° . Если нужно, чтобы также и вѣсъ трубы при этомъ былъ *min*, указанія на это рѣшеніе имѣются въ задачѣ 57-й курса (§ 27).

№ 20. Посредствомъ четырехъ стержней AB , BC , CD и DB (фиг. 288) нагрузка $2P$ передается въ неподвижный узелъ A . Въ растянутыхъ частяхъ допускается напряженіе Z , въ сжатыхъ — D . Найти положеніе узловой точки B подъ условіемъ, чтобы вѣсъ всей системы былъ *min* при данныхъ ея размѣрахъ $2a$ и $l = b + c$.

Отв. Вѣсъ всей системы будетъ

$$R = 2P \cdot \gamma \left[\frac{a^2}{b} \cdot \frac{D + Z}{D \cdot Z} + \frac{l}{Z} \right]$$

Min R при данныхъ l и a получится тогда, когда b будетъ *max*, т. е. когда $c = 0$, и тяги изъ точекъ C и D будутъ проведены прямо въ A .

№ 21. Посредствомъ трехъ стержней AC , CD и DA (фиг. 289) нагрузка $2P$ передается въ угловую точку A . Напряженіе въ растянутыхъ частяхъ — Z , въ сжатой — D . При данной длинѣ основанія треугольника CD найти его высоту подъ условіемъ, чтобы вѣсъ всей системы былъ *min*.

Отв. Вѣсъ всей системы будетъ:

$$R = \frac{2P \cdot \gamma}{Z} \cdot \left[\frac{a^2}{b} \cdot \frac{Z+D}{D} + b \right].$$

Min R получится, когда $b = a \cdot \sqrt{\frac{Z+D}{D}}$; при $Z = D \dots b = a \cdot \sqrt{2}$.

Независимо отъ величины отношенія Z къ D имѣемъ всегда:

$$\min R = \frac{2P \cdot \gamma}{Z} \cdot 2b.$$

№ 22. Треугольная ферма ABC (фиг. 290), нагруженная грузомъ P , удерживается въ равновѣсїи въ положенїи, показанномъ на чертежѣ, силою S_1 . При данномъ вылетѣ фермы $l = AC$ найти высоту ея h подъ условїемъ, чтобы вѣсъ всѣхъ частей былъ *min*. Въ тѣгѣ допускается напряженіе Z , а въ подкосахъ AC и CB напряженіе D .

Отв. Вѣсъ фермы выражается такъ:

$$R = P \cdot \gamma \cdot \frac{Z+D}{Z \cdot D} \cdot \left[\frac{l^2}{h} + h \right].$$

Независимо отъ величинъ Z и D получается *min R* при $h = l$; причемъ въ случаѣ, когда $Z = D$, имѣемъ:

$$\min R = \frac{P \cdot \gamma}{Z} \cdot 4h.$$

№ 23. Сдѣлать предположеніе въ предыдущей задачѣ, что ферма удерживается въ равновѣсїи наклонною силою T (фиг. 290), которая дѣлаетъ съ вертикалью данный уголъ β , и найти наивыгоднѣйшее соотношеніе между l и h .

Отв. $W = P \cdot \left(1 + \frac{l}{h \cdot \operatorname{tg} \beta} \right)$; $T = P \cdot \frac{l}{h \cdot \operatorname{Sin} \beta}$.

$$R = \frac{P \cdot \gamma}{D} \cdot \left[\frac{Z+D}{Z} \left(\frac{l^2}{h} + h \right) + \frac{l}{\operatorname{tg} \beta} \right].$$

Min R и здѣсь получится, когда $h = l$, т. е. длина подкосовъ d . *б. одинакова*, и это соотношеніе не зависитъ отъ заданныхъ величинъ Z и D .

№ 24. Треугольная ферма ABC (фиг. 291) съ однимъ подкосомъ и двумя тягами подвѣшена за узелъ A и удерживается въ изображенномъ положенїи тягою S . Найти соотношеніе между ея размѣрами подъ условїемъ *min* ея вѣса.

Отв. $R = \frac{P \cdot \gamma}{Z} \cdot \frac{Z+D}{D} \cdot \left[\frac{l^2}{h} + h \right]$. При $h = l$ получимъ *min R*. Вы-

раженіе вѣса вообще и его *min* одинаковы съ тѣмъ, которое имѣли въ зад. № 22; въ рассмотрѣнныхъ фермахъ наивыгоднѣйшіе размѣры

ихъ получаются тогда, когда парныя одноименныя части ихъ (подкосы или тяги) имѣютъ одинаковую длину. При $Z=D$ обѣ фермы (фиг. 290, 291), оказываются, обладаютъ еще другимъ свойствомъ: есть растянутыя и сжатыя части будетъ у нихъ одинаковъ.

Когда тяга S (фиг. 291) будетъ наклонна, измѣнится только вѣсъ фермы, но соотношеніе $h=l$ должно имѣть мѣсто также и въ этомъ случаѣ.

№ 25. Нагрузка P передается на опору A (фиг. 292) посредствомъ 4 тягъ равной длины и одного подкоса. При данномъ a найти отношеніе $b:a$ подъ условіемъ, чтобы вѣсъ всей системы былъ *min*.

Отв. $R = \frac{2P \cdot \gamma}{Z} \left[\frac{a^2}{b} \cdot \frac{Z+D}{D} + b \right]$. Мин R получится, когда

$$b = a \cdot \sqrt{1 + \frac{Z}{D}}; \text{ при } Z=D \dots b = a \cdot \sqrt{2}.$$

Каковы бы ни были величины Z и $D \dots \text{min } R = \frac{P \cdot \gamma}{Z} \cdot 2 \cdot (2b)$.

№ 25,а. Видъ системы тотъ же самый, что и въ предыдущей задачѣ, но нагрузка привѣшена въ узлахъ B и D (фиг. 293). Найти наивыгоднѣйшіе размѣры въ этомъ случаѣ.

Отв. Тяга AC растягивается усиленіемъ $\frac{1}{2} \cdot P$ Вѣсъ всей системы

$$R = \frac{P \cdot \gamma}{Z} \cdot \left[\frac{b^2 + a^2}{2b} \cdot \frac{Z+D}{D} + b \right].$$

При $b^2 = \frac{Z+D}{Z+3D} \cdot a^2 \dots \text{min } R = \frac{P \cdot \gamma}{Z} \cdot \frac{Z+D}{D} \cdot \frac{a^2}{b}$.

Если $Z=D \dots a = b \cdot \sqrt{2} \dots \text{min } R = \frac{P \cdot \gamma}{Z} \cdot 2 \cdot (2b)$.

№ 26. Между данными точками A, B, C (фиг. 294) должна быть расположена узловая точка D , соединенная съ заданными точками посредствомъ трубопровода, вѣсъ погонной единицы котораго по вѣсьмъ тремъ направленіямъ AD, CD, BD одинаковъ. Положеніе точки D найти подъ условіемъ, чтобы вѣсъ у всего трубопровода былъ *min*.

Рѣшеніе Разстоянія a, b, c даны. Вѣсъ трубопровода будетъ пропорціоналенъ $U = r + s + t$, гдѣ

$$s = \sqrt{r^2 + c^2 - 2 \cdot r \cdot c \cdot \text{Cos } \varphi}; \quad t = \sqrt{r^2 + b^2 - 2r \cdot b \cdot \text{Cos}(\theta - \varphi)}$$

$$\frac{dU}{d\varphi} = \frac{ds}{d\varphi} + \frac{dt}{d\varphi} = \frac{1}{2 \cdot s} \cdot 2 \cdot r \cdot c \cdot \text{Sin } \varphi - \frac{1}{2 \cdot t} \cdot 2 \cdot r \cdot b \cdot \text{Sin}(\theta - \varphi) = 0,$$

$$\frac{c \cdot \text{Sin } \varphi}{s} = \frac{b \cdot \text{Sin}(\theta - \varphi)}{t}, \text{ или}$$

$$\text{Sin } \beta = \text{Sin } \gamma, \text{ т. е. } \alpha = \beta = \gamma.$$

№ 27. Въ треугольной фермѣ ACB (фиг. 295) данъ вылетъ $CD=l$ и длина подкоса $BC=d$. Найти высоту фермы подъ условіемъ, чтобы вѣсъ частей былъ min . Напряженіе въ растянутой части — Z , въ сжатой — D .

Отв. Вѣсъ фермы выразится такъ:

$$R = \frac{P \cdot \gamma}{a+b} \cdot \left(\frac{b^3 + l^3 + d^3}{Z} + \frac{d^2}{D} \right)$$

$Min R$ получится тогда, когда $a + b = m = d \cdot \sqrt{\frac{Z+D}{D}}$

Если $Z = D \dots m = d \sqrt{2}$; при $a = l \dots d = a \sqrt{2} \dots a = b$

№ 28. Въ треугольной фермѣ ACB (фиг. 295) дана высота ея $AB=m$ и вылетъ $CD=l$. Найти положеніе узловой точки C подъ условіемъ, чтобы вѣсъ фермы былъ min . Напряженіе въ растянутой части — Z , въ сжатой — D .

Отв. Вѣсъ фермы будетъ

$$R = \frac{P \cdot \gamma}{m} \cdot \left[\frac{Z+D}{Z \cdot D} \cdot l^2 + \frac{b^2 \cdot D + a^2 \cdot Z}{Z \cdot D} \right]$$

$Min R$ получится, когда $b : a = Z : D$ независимо отъ величины вылета. Если $Z = D \dots b = a$.

№ 29. Въ треугольной фермѣ ABO (фиг. 296) данъ вылетъ $BD=l$ и длина подкоса d . Найти разстояніе между узлами A и C фермы подъ условіемъ, чтобы вѣсъ частей былъ min . Напряженіе въ растянутой части Z , въ сжатой — D .

Отв. Вѣсъ фермы будетъ въ этомъ случаѣ

$$R = \frac{P \cdot \gamma}{Z} \cdot \left[\frac{Z+D}{D} \cdot \frac{a^2 + l^2}{h} + h - 2a \right]$$

$Min. R$ получится тогда, когда независимо отъ вылета будемъ имѣть:

$$h = \sqrt{\frac{D+Z}{D} \cdot (a^2 + l^2)} = d \cdot \sqrt{\frac{Z+D}{D}}$$

№ 30. Въ треугольной фермѣ ABC (фиг. 297) данъ вылетъ $CD=l$ и длина подкоса $BC=d$. Найти разстояніе между узлами A и C фермы подъ условіемъ, чтобы вѣсъ частей былъ min . Напряженіе въ растянутой части Z , въ сжатой — D .

Рѣшеніе. $Q : P = k : m ; S : P = d : m$

$$k = n \cdot \frac{l}{a+l} ; m = a \cdot \frac{h}{a+l}$$

$$Q = P \cdot \frac{n \cdot l}{a \cdot h} ; S = P \cdot \frac{a+l}{a} \cdot \frac{d}{h}$$

Вѣсь фермы будетъ

$$R = P \cdot \gamma \cdot \left[\frac{l \cdot n^2}{a \cdot h \cdot Z} + \frac{a + l}{a} \cdot \frac{d^2}{h \cdot D} \right]$$

Принимая въ этомъ выраженіи h и d за постоянныя, беремъ 1-ю производную по переменному a отъ выраженія

$$T = \frac{D \cdot l \cdot n^2 + Z(a + l) \cdot d^2}{a},$$

въ которомъ... $n^2 = h^2 + (a + l)^2$. Искомое значеніе a независимо отъ вылета фермы будетъ:

$$a = d \cdot \sqrt{\frac{Z + D}{D}}; \text{ при } Z = D \dots a = d \cdot \sqrt{2} /$$

№ 31. Ферма ABC (фиг. 298) въ видѣ равнобедреннаго треугольника играетъ роль трехплечнаго коромысла, которое совершаетъ свои качанія около оси D , дѣлящей основаніе треугольника BC на двѣ равныя части. Въ вершину A передается усиліе $2P$, попеременно дѣйствующее то въ одну сторону, то въ другую; преодолеваемые коромысломъ сопротивленія T приложены къ вершинамъ B и C и будутъ, слѣд., направлены также попеременно то въ одну сторону, то въ другую. Высота фермы дана, нужно найти длину основанія ея подъ условіемъ, чтобы вѣсь всѣхъ частей былъ *min*.

Рѣшеніе. $Q = S = P \cdot \frac{c}{a}; T = S \cdot \frac{b}{c} = P \cdot \frac{b}{a}; U = P.$

Части BD и CD всегда сжимаются усиліемъ U , тогда какъ части AB и AC поочередно то растягиваются, то сжимаются. Пусть допущаемое напряженіе матеріала при разчетѣ частей BD и CD будетъ D_1 , а для частей AC и AB — D_2 , тогда вѣсь фермы выразится такъ:

$$R = 2P \cdot \gamma \cdot \left[\frac{c^2}{a \cdot D_2} + \frac{a}{D_1} \right]$$

Min этого выраженія получится тогда, когда $a = b \cdot \sqrt{\frac{D_1 \cdot D_2}{D_1 + D_2}}$

Если будетъ допущено $D_1 = D_2 \dots a = b \cdot \sqrt{2}.$

№ 32. Треугольная ферма ABC (фиг. 299) въ узлахъ A и B воспринимаетъ одинаковую нагрузку P и передаетъ ее на опору C . При заданной длинѣ фермы $AB = 2b$ найти высоту ея подъ условіемъ, чтобы вѣсь фермы былъ *min*. Напряженіе въ растянутой части — Z , а въ сжатой — D .

Отв. Вѣсь фермы будетъ $R_1 = 2P \cdot \gamma \cdot \left[\frac{b^2}{a} \cdot \frac{Z + D}{Z \cdot D} + \frac{a}{D} \right].$

При $a = b \cdot \sqrt{\frac{Z + D}{Z}} \dots \dots \dots \min R_1 = \frac{2P \cdot \gamma}{D} \cdot 2a.$

№ 33. Та же ферма, что и въ предыдущемъ случаѣ, работаетъ съ 2 тягами и подкосомъ (фиг. 300). Найти ея наивыгоднѣйшіе размеры и вѣсъ.

Отв.
$$R = \frac{2P \cdot \gamma}{Z} \cdot \left[\frac{Z+D}{D} \cdot \frac{b^2}{a} + a \right].$$

$$a = b \cdot \sqrt{\frac{Z+D}{D}} \dots \dots \dots \min R = \frac{2P \cdot \gamma}{Z} \cdot 2a,$$

т. е. общее выраженіе *min R* нашли то же, что и въ предыдущей задачѣ, но *a* здѣсь другая величина. Если $Z = D \dots \dots \min R$ для фермъ 299 300 будетъ совершенно одинаковъ, и въ то же время въ обѣихъ фермахъ будетъ одинаковъ вѣсъ растянутыхъ и сжатыхъ частей.

№ 34. Въ замѣну фермы фиг. 299 поставлена другая — въ видѣ комбинаціи двухъ равнобедренныхъ треугольных фермъ *ACD* и *BCD* (фиг. 301). При заданной длинѣ фермы найти высоту ея *CD* подъ условіемъ, чтобы вѣсъ этой фермы былъ *min*.

Отв. $Q = P \cdot \frac{c}{2a} = S$. Давленіе, воспринимаемое узломъ *C*, равно $2P$: одна половина его передается подкосомъ *CD*, а другая — подкосами *BC* и *AC*. Вѣсъ фермы будетъ

$$R_2 = P \cdot \gamma \cdot \left[\frac{c^2}{a} \cdot \frac{Z+D}{Z \cdot D} + \frac{2a}{D} \right], \text{ гдѣ } c^2 = a^2 + b^2.$$

Min R₂ получится, когда $a = b \cdot \sqrt{\frac{Z+D}{3Z+D}}$.

$$\min R_2 = \frac{2P \cdot \gamma}{D} \cdot \frac{Z+D}{Z} \cdot \frac{b^2}{a}$$

№ 35. Рѣшить предыдущую задачу въ предположеніи, что даны и длина фермы $AB = 2b$ и высота ея $CD = h$; при этомъ требуется найти длину наклонныхъ подкосовъ и тягъ подъ условіемъ, чтобы вѣсъ фермы былъ *min* (фиг. 302).

Рѣшеніе. $DE = m; CE = n; m + n = h$.

Нагрузка на тяги $Q = P \cdot \frac{d}{h}$.

„ наклонныхъ подкосовъ $S = P \cdot \frac{c}{h}$.

„ вертикальной стойки $T = 2P \cdot \frac{m}{h}$.

Вѣсъ всей фермы будетъ:

$$R = 2P \cdot \gamma \cdot \left[\frac{d^2}{h \cdot Z} + \frac{c^2}{h \cdot D} + \frac{m}{D} \right]$$

$$d^2 = b^2 + m^2; c^2 = b^2 + n^2; n = h - m.$$

Разсматривая отрѣзокъ m , какъ переменную величину, найдемъ, что $\min R$ получится, когда

$$m = \frac{h}{2} \cdot \frac{Z}{Z+D}; \text{ при этомъ}$$

$$m : n = Z : (Z + 2D).$$

№ 36. На опоры A и B (фиг. 303), находящаяся на разстояніи $2a$ одна отъ другой, нагрузка передается двумя тягами AC и BC одинаковой длины. Опреѣдить длину тягъ подъ условіемъ, чтобы вѣсъ ихъ былъ mn .

Отв. Вѣсъ тягъ будетъ $R = \frac{P \cdot \gamma}{Z} \frac{a^2 + b^2}{a}$.

Его mn получится при $a = b$, т. е. когда вѣсъ Z узла A , B и C будутъ находиться на окружности, описанной на AB , какъ на диаметрѣ.

$$mn R = \frac{P \cdot \gamma}{Z} \cdot 2a.$$

№ 37. На опоры A и B (фиг. 304), находящаяся на разстояніи l одна отъ другой, нагрузка передается двумя тягами AC и BC разной длины. При заданномъ произвольномъ горизонтальномъ разстояніи a точки подвѣса груза отъ одной изъ опоръ, найти вертикальное разстояніе h точки подвѣса отъ линии опоръ подъ тѣмъ условіемъ, чтобы вѣсъ обѣихъ тягъ былъ mn .

Рѣшеніе. Давленія на опоры опредѣлятся такъ:

$$X_1 = P \cdot \frac{b}{l}; \quad X_2 = \frac{P \cdot a}{l}; \quad X_1 + X_2 = P.$$

По чертежу (фиг. 304) имѣемъ далѣе, что

$$\frac{X_1}{Q} = \frac{h}{c}; \quad \frac{X_2}{S} = \frac{h}{d}, \text{ откуда}$$

$$Q = P \cdot \frac{c}{h} \cdot \frac{b}{l}; \quad S = \frac{d}{h} \cdot \frac{a}{l} \cdot P.$$

Вѣсъ обѣихъ тягъ можно выразить теперь такъ:

$$R = \frac{\gamma}{Z} \cdot (Q \cdot c + S \cdot d) = \frac{P \cdot \gamma}{Z \cdot h \cdot l} \cdot (b \cdot c^2 + a \cdot d^2)$$

$$c^2 = a^2 + h^2; \quad d^2 = h^2 + b^2.$$

$$R = \frac{P \cdot \gamma}{Z \cdot h \cdot l} \cdot \left[(l - a) \cdot (a^2 + h^2) + a \cdot (b^2 + h^2) \right] =$$

$$= \frac{P \cdot \gamma}{Z \cdot h \cdot l} \cdot \left[(l - a) \cdot a^2 + l \cdot h^2 + a \cdot b^2 \right] = \frac{P \cdot \gamma}{Z} \cdot \left(h + \frac{a \cdot b}{h} \right) \dots 4.$$

Min R получится тогда, когда $h^2 = a \cdot b$. А это указываетъ на то, что при всякой длинѣ плеча a точка подвѣса груза должна лежать

на окружности, описанной на длину AB , какъ на диаметръ. Сдѣлавши $h^2 = a \cdot b$, получимъ

$$\min R = \frac{P \cdot \gamma}{Z} \cdot 2h \dots \dots \dots 5.$$

Если $a = b$, тогда $h = a$, и вѣсь тягъ будетъ

$$\min R_1 = \frac{P \cdot \gamma}{Z} \cdot 2a$$

Слѣд., изъ вѣсхъ случаевъ передачи нагрузки на опоры посредствомъ двухъ тягъ самымъ невыгоднымъ будетъ случай, разсмотрѣнный въ предыдущей задачѣ, когда $\max h = a$.

№ 38. На струны въ узлахъ A и B (фиг. 305) нагрузка P передается посредствомъ треугольной фермы ABC (съ двумя тягами и однимъ раскосомъ), у которой тяги имѣютъ неодинаковую длину. При заданныхъ плечахъ a и b нагрузки относительно опоръ, найти высоту фермы подъ условіемъ, чтобы вѣсь фермы былъ \min при условии $Z = D$.

Рѣш. Опредѣленіе усилій на тяги AC и BC и раскосъ AB здѣсь надо сдѣлать такъ же, какъ и въ зад. № 37. Удерживая тѣ же самыя обозначенія, что и тамъ, мы получимъ, что усиліе, сжимающее раскосъ (см. фиг. 304), будетъ:

$$Y_1 = Y_2 = Q \cdot \frac{a}{c} = S \cdot \frac{b}{d} = P \cdot \frac{a \cdot b}{h \cdot l}$$

Вѣсь раскоса AB (фиг. 305) будетъ $\dots \dots \dots \frac{P \cdot \gamma}{Z} \frac{a \cdot b}{h}$

Добавляя эту величину къ вѣсу тягъ, выражаемому ϕ -лой 4 (см. зад. № 37), получимъ вѣсь нашей фермы въ такомъ видѣ:

$$R = \frac{P \cdot \gamma}{Z} \cdot \left(h + \frac{2 \cdot a \cdot b}{h} \right) \dots \dots \dots 6$$

\min этой величины получится при $h^2 = 2 \cdot a \cdot b$. Построеніе этого рѣшенія показано на фиг. 305, гдѣ

$$DE = EF = FH = HD = \sqrt{a \cdot b}; \quad CD = DF.$$

$$\min R = \frac{P \cdot \gamma}{Z} \cdot 2h \dots \dots \dots 7.$$

Изъ сравненія ϕ -лъ 7 и 5 (см. зад. № 37) видимъ, что передача давленія на опоры A и B безъ употребленія раскоса требуетъ меньшаго вѣса матеріала, чѣмъ при существованіи раскоса. Выполняя самую передачу въ обоихъ случаяхъ самымъ выгоднымъ образомъ, при раскосѣ получимъ увеличеніе вѣса фермы въ отношеніи $\sqrt{2} : 1$.

№ 39. Условія предыдущей задачи измѣнены т. о., что въ ферму введенъ еще 2-й раскосъ CD (фиг. 306), и нагрузка передается на

шарнирный узелъ D . Найти высоту подкоса $CD = h$ подь условиемъ, чтобы вѣсь фермы былъ min .

Рѣш. Въ ф-лѣ 6 предыдущей задачи надо добавить еще вѣсь подкоса CD , тогда вѣсь фермы (фиг. 306) будеть:

$$R = \frac{P \cdot \gamma}{Z} \cdot \left(2h + \frac{2 \cdot a \cdot b}{h} \right) 8$$

Min его получимъ, когда $h^2 = a \cdot b$, т. е. рѣшеніе одинаково съ зад. № 37, при этомъ

$$min R = \frac{P \cdot \gamma}{Z} \cdot 4h 9,$$

т. е. отношеніе наивыгоднѣйшихъ вѣсовъ трехъ фермъ, изображенныхъ на фигурахъ 304, 305, 306, будеть равно $1 : \sqrt{2} : 2$. Изъ сравненія ф-лѣ 5 и 9 видно, что *вѣсь растянутыхъ и сжатыхъ частей этой фермы (фиг. 306) одинаковъ.*

№ 40. Въ зад. № 38 (фиг. 305) предположимъ, что растянутыя части рассчитываются съ напряженіемъ Z , а сжатая — съ напр. D .

$$Отв. \quad h^2 = a \cdot b \quad \frac{Z + D}{D}; \quad min R = \frac{P \cdot \gamma}{Z} \cdot 2h . . . 10.$$

№ 41. Въ зад. № 39 (фиг. 306) предположить, что Z — напряжение для тягъ, а D — напряжение для раскосовъ.

$$Отв. \quad h^2 = a \cdot b; \quad min R = \frac{P \cdot \gamma}{Z} \cdot \frac{Z + D}{D} \cdot 2h . . . 11$$

№ 42. На неподвижныя опоры A и D (фиг. 307) нагрузка передается посредствомъ трехъ тягъ AB, BC, CD . Плечи нагузовъ относительно опоръ одинаковы. Найти высоту точекъ подвѣса грузовъ подь условиемъ, чтобы вѣсь тягъ былъ min .

Отв. Вѣсь тягъ выражается здѣсь такъ:

$$R = \frac{P \cdot \gamma}{Z} \cdot \left(2h + \frac{a \cdot l}{h} \right) 12$$

Min этой величины получается, когда $2h^2 = a \cdot l$. Построеніе этого рѣшенія показано на фиг. 307, гдѣ

$$\triangle AEF = \triangle AFD; \quad OF = a + \frac{l}{2}; \quad HA = BE = h.$$

$$min R = \frac{2P \cdot \gamma}{Z} \cdot 2h 13$$

При $a = \frac{l}{2}$ мы получаемъ условія задачи № 36 (фиг. 303) и полное согласіе результатовъ.

Ф-ла $2h^2 = a \cdot l$ показываетъ, что при измѣненіи плеча a высоты h будутъ измѣняться, какъ ординаты параболы.

№ 43. На вертикальныя струны въ точкахъ A и D (фиг. 308) нагрузка передается посредствомъ симметричной трапецевидной фермы $ABCD$. Найти высоту фермы подь условіемъ, чтобы вѣсъ ея былъ *min*, въ предположеніи, что $Z = D$.

Рши. Усиліе, сжимающее часть AD будетъ $P \cdot \frac{a}{h}$; вѣсъ этой фермы получится изъ ф-лы 12 (зад. № 42) добавленіемъ вѣса части AD , и онъ будетъ:

$$R = \frac{2P \cdot \gamma}{Z} \cdot \left(h + \frac{a \cdot l}{h} \right) \dots \dots \dots 14.$$

Min его получится когда $h^2 = a \cdot l$, т. е. высота фермы здѣсь будетъ $\sqrt{2}$ разъ болѣе, чѣмъ въ предыдущемъ случаѣ. Построеніе рѣшенія представлено на фиг. 308.

$$\min R = \frac{2P \cdot \gamma}{Z} \cdot 2h \dots \dots \dots 15.$$

При $a = \frac{l}{2}$ мы получимъ здѣсь условия, одинаковыя съ зад. № 21, и полное согласіе результатовъ.

№ 44. Въ предыдущей задачѣ добавлены подкосы EB и KC (фиг. 309), и нагрузка передается на узлы E и K . Найти высоту фермы подь условіемъ, чтобы вѣсъ ея былъ *min*, въ предположеніи $Z = D$.

Рши. Къ выраженію 14 (зад. № 43) надо добавить вѣсъ двухъ подкосовъ длиною h каждый, нагруженныхъ силою P .

$$R = \frac{2P \cdot \gamma}{Z} \cdot \left(2h + \frac{a \cdot l}{h} \right) \dots \dots \dots 16.$$

Сравненіе вѣса фермъ, изображенныхъ на фиг. 307 и 309, показываетъ, что послѣдняя будетъ вдвое тяжелѣе 1-й, а *min* вѣса получается въ обоихъ случаяхъ при одной и той же высотѣ фермы, опредѣляемой изъ р-ва $2h^2 = a \cdot l$. Построеніе этого рѣшенія дано на фиг. 307.

$$\min R = \frac{2P \cdot \gamma}{Z} \cdot 4h \dots \dots \dots 17.$$

Сравненіе минимальнаго вѣса фермъ, изображенныхъ на фиг. 307; 308, 309, даетъ то же самое отношеніе $1 : \sqrt{2} : 2$, которое имѣли при сравненіи фермъ, показанныхъ на фиг. 304, 305, 306. Кроме того, обнаруживается, что въ случаѣ минимальнаго вѣса у фермъ фиг. 306 и 309 отношеніе вѣса растянутыхъ частей къ вѣсу сжатыхъ = 1.

При $a = \frac{l}{2}$ ферма фиг. 309 обращается въ ферму фиг. 306, и при этомъ получается полное согласіе результатовъ въ обоихъ случаяхъ.

№ 45. Рѣшить задачу № 43 (фиг. 308) въ предположеніи, что Z не равно D .

Отв.
$$R = \frac{P \cdot \gamma}{Z} \left(2h + \frac{a \cdot l}{h} \cdot \frac{Z + D}{D} \right) \dots \dots \dots 18.$$

При
$$h^2 = \frac{a \cdot l}{2} \cdot \frac{Z + D}{D} \dots \dots \dots \min R = \frac{2P \cdot \gamma}{Z} \cdot 2h \dots \dots \dots 19.$$

Выраженіе *min* вѣса остается то же самое, что и прежде (см. ф-лу 15), но абсолютная величина его будетъ другая.

№ 46. Рѣшить задачу № 44 (фиг. 309) въ предположеніи, что Z не равно D .

Отв.
$$R = \frac{P \cdot \gamma}{Z} \cdot \frac{Z + D}{D} \cdot \left(2h + \frac{a \cdot l}{h} \right) \dots \dots \dots 20.$$

При какомъ угодно отношеніи Z къ D , когда $a \cdot l = 2 \cdot h^2$, получается

$$\min R = \frac{2P \cdot \gamma}{Z} \cdot \frac{Z + D}{D} \cdot 2h \dots \dots \dots 21.$$

Наивыгоднѣйшая высота фермы остается та же, что и въ зад. № 44, т. к. она не зависитъ отъ величинъ Z и D .

№ 47. Сравнить между собою вѣса фермъ съ однимъ вертикальнымъ подкосомъ (фиг. 310), съ двумя (фиг. 311) и съ безконечно большимъ числомъ подкосовъ, предполагая, что каждая изъ фермъ выполнена съ *min* ея вѣса.

Рѣшеніе. Величина нагрузки надъ фермой = P , длина ея $AC = l$.

а. Случай одного подкоса (фиг. 310). Вѣсъ фермы R_1 ; для опредѣленія его въ ф-лу 9 (зад. № 39) надо внести

$$\frac{P}{2} \text{ вмѣсто } P; \quad \frac{l}{2} \text{ вмѣсто } h; \text{ тогда}$$

$$R_1 = \frac{P}{2} \cdot \frac{\gamma}{Z} \cdot 4 \cdot \frac{l}{2} = \frac{P}{Z} \cdot l \cdot \gamma;$$

т. е. вѣсъ такой фермы будетъ одинаковъ съ призматическимъ стержнемъ, имѣющимъ длину данной фермы и рассчитаннымъ на растяженіе по всей величинѣ нагрузки, расположенной на данномъ пролетѣ фермы.

б. Случай двухъ подкосовъ (фиг. 311). Вѣсъ фермы R_2 ; для опредѣленія его въ удвоенную ф-лу 9 надо внести

$$\frac{P}{3} \text{ вмѣсто } P; \quad \frac{l}{3} \cdot \sqrt{2} \text{ вмѣсто } h, \text{ т. к. } h^2 = \frac{l}{3} \cdot \frac{2l}{3}.$$

$$R_2 = 2 \cdot \frac{P}{3} \cdot \frac{\gamma}{Z} \cdot 4 \cdot \frac{l}{3} \sqrt{2} = \frac{P}{Z} \cdot \gamma \cdot \frac{8}{9} \cdot \sqrt{2} = 1,257 \cdot \frac{P}{Z} \cdot l \cdot \gamma.$$

в. *Случай бесконечно большого числа подкосовъ.* Вѣсь фермы R_3 ; для опредѣленія его по данной нагрузкѣ $P = p \cdot l$ надо внести въ ф-лу 9:

$p \cdot da$ вмѣсто P ; $\sqrt{a \cdot (l - a)}$ вмѣсто h

$$R_3 = \frac{4p \cdot \gamma}{Z} \cdot \int_0^l \sqrt{a \cdot (l - a)} \cdot da \quad . \quad . \quad . \quad 22.$$

Введемъ обозначенія

$$l = 2c; \quad c - a = x; \quad \text{тогда}$$

$$a = c - x; \quad l - a = c + x; \quad da = -dx.$$

Когда $a = c \dots x = 0$; при $a = 0 \dots x = c$.

$$R_3 = \frac{8p \cdot \gamma}{Z} \cdot \int_0^c \sqrt{a \cdot (l - a)} \cdot da = \frac{8p \cdot \gamma}{Z} \cdot \int_0^c \sqrt{c^2 - x^2} \cdot dx \dots 23.$$

Введемъ новое переменное:

$$x = c \cdot \sin \beta; \quad \sqrt{c^2 - x^2} = c \cdot \cos \beta; \quad dx = c \cdot \cos \beta \cdot d\beta.$$

$$\int \sqrt{c^2 - x^2} \cdot dx = c^2 \cdot \int \frac{1 + \cos 2\beta}{2} \cdot d\beta = c^2 \cdot \frac{\beta + \sin \beta \cdot \cos \beta}{2}$$

$$R_3 = \frac{4p \cdot \gamma}{Z} \cdot c^2 \cdot \left[\arcsin \frac{x}{c} + \frac{x \cdot \sqrt{c^2 - x^2}}{c^2} \right]_0^c$$

$$R_3 = \frac{4p \cdot \gamma}{Z} \cdot c^2 \cdot \frac{\pi}{2} = \frac{\pi}{2} \cdot \frac{p \cdot \gamma}{Z} \cdot l^2 = 1,5717 \cdot \frac{P}{Z} \cdot l \cdot \gamma \dots 24$$

$$R_1 : R_2 : R_3 = 1 : 1,257 : 1,5717.$$

№ 48. Нагрузка P поддерживается на пролетѣ l одинъ разъ одинарною фермою типа фиг. 309, а другой разъ бесконечно большимъ числомъ подобныхъ фермъ. Въ 1-мъ случаѣ подкосы дѣлятъ длину пролета на 3 равныя части, и въ обоихъ случаяхъ высота фермъ наибывгоднѣйшая. Сравнить между собою вѣса этихъ фермъ.

Рѣш. Случай двухъ подкосовъ (фиг. 309).... $a = \frac{l}{3}$; $h = l : \sqrt{6}$

При опредѣленіи вѣса фермы по ф-лѣ 17 (см. зад. № 44) вмѣсто P надо внести здѣсь $\frac{P}{3}$, тогда

$$R_1 = 2 \cdot \frac{P}{3} \cdot \frac{\gamma}{Z} \cdot 4 \cdot \frac{l}{\sqrt{6}} = \frac{8}{3\sqrt{6}} \cdot \frac{P}{Z} \cdot l \cdot \gamma \dots 25.$$

Случай бесконечно большого числа подкосовъ типа фиг. 309. При опредѣленіи вѣса фермы по ф-лѣ 17, въ этомъ случаѣ надо внести въ нее

$$p \cdot du \text{ вмѣсто } P; \sqrt{a \cdot \frac{l}{2}} \text{ вмѣсто } h.$$

Пусть $l = 2c$, тогда мы получимъ вѣсъ одной изъ фермъ въ такомъ видѣ:

$$\frac{2\gamma}{Z} \cdot p \cdot da \cdot 4 \sqrt{a \cdot c}, \text{ а вѣсъ всѣхъ фермъ будетъ:}$$

$$R_2 = \frac{8p \cdot \gamma}{Z} \cdot \sqrt{c} \cdot \int_0^c a \cdot da = \frac{16p \cdot \gamma}{3Z} \cdot c^2 = \frac{4}{3} \cdot \frac{P}{Z} \cdot l \cdot \gamma \dots 26.$$

$$\text{Отношеніе } R_1 : R_2 = \frac{8}{3\sqrt{6}} : \frac{4}{3} = 1 : 1,2247.$$

№ 49. Ферма AmB (фиг. 312) съ весьма большимъ числомъ вертикальныхъ стоекъ имѣетъ верхній поясъ прямолинейный, а нижній очерченъ у нея по параболѣ AmB . Верхній поясъ фермы воспринимаетъ на себя нагрузку $P = p \cdot l$, равномерно-распределенную по всей длинѣ l пролета. Найти вѣсъ такой фермы и ея высоту h подъ условіемъ, чтобы вѣсъ фермы былъ mn , въ предположеніи, что $Z = D$.

Рѣшеніе. Ур-е параболы AmB , отнесенной къ осямъ координатъ xAy , будетъ:

$$y = 4h \cdot x \cdot \frac{l-x}{l^2} \dots \dots \dots 27$$

При $x = 0 \dots y = 0$; при $x = l \dots y = 0$; при $x = \frac{l}{2} \dots \dots$
 $y = h = mn$

Для нахождения силы T , сжимающей верхній поясъ, сдѣлаемъ произвольное сѣченіе gk на разстояніи x отъ лѣвой опоры и напишемъ условіе равновѣсія части gAk фермы. Примемъ точку k за центръ моментовъ, тогда:

$$\frac{p \cdot l}{2} \cdot x - T \cdot y = p \cdot x \cdot \frac{x}{2}; T = \frac{p \cdot l^2}{8h} \dots \dots \dots 28,$$

т. е. усиліе, сжимающее верхній поясъ, не зависитъ отъ x и будетъ оставаться постояннымъ на всемъ протяженіи пролета. Вѣсъ верхняго пояса r_1 будетъ

$$r_1 = \frac{P \cdot \gamma}{Z} \cdot \frac{l^2}{8h} \dots \dots \dots a.$$

Если касательная къ параболѣ въ точкѣ k дѣлаетъ съ горизонтальною уголь β , тогда натяженіе S нижняго пояса въ точкѣ k мы получимъ,

проектируя на направление касательной kd всѣ силы, дѣйствующія на часть фермы gAk :

$$S = T \cdot \cos \beta + \left(\frac{p \cdot l}{2} - p \cdot x \right) \cdot \sin \beta \dots \dots \dots \text{б.}$$

Введемъ обозначеніе $\frac{l}{2} = c$. Элементъ длины дуги параболы при точкѣ x можно представить въ видѣ $dx : \cos \beta$, тогда вѣсъ растянутаго параболическаго пояса фермы будетъ:

$$r_2 = \sum_0^l \frac{\gamma}{Z} \cdot S \cdot \frac{dx}{\cos \beta} = \frac{\gamma}{Z} \cdot \int_0^l [T + p \cdot (c - x) \cdot \operatorname{tg} \beta] \cdot dx \dots \dots \text{в}$$

$$\operatorname{tg} \beta = \frac{dy}{dx} = 4h \cdot \frac{l - 2x}{l^2} = 8h \cdot \frac{c - x}{l^2}$$

$$r_2 = \frac{\gamma}{Z} \cdot \int_0^l \left[T + \frac{8p \cdot h}{l^2} \cdot (c - x)^2 \right] \cdot dx = \frac{\gamma}{Z} \cdot \left[T \cdot x - \frac{8}{3} \cdot \frac{p \cdot h}{l^2} \cdot (c - x)^3 \right]_0^l$$

$$r_2 = \frac{\gamma}{Z} \left(\frac{p \cdot l^3}{8h} + \frac{2}{3} \cdot p \cdot l \cdot h \right) = \frac{P \cdot \gamma}{Z} \left(\frac{l^2}{8h} + \frac{2h}{3} \right) \dots \dots \dots \text{г.}$$

Усиліе, сжимающее каждую изъ безконечно большого числа стоекъ, будетъ $p \cdot dx$, ея длина y ; а вѣсъ всѣхъ стоекъ будетъ

$$r_3 = \frac{p \cdot \gamma}{Z} \cdot \int_0^l y \cdot dx = \frac{4h}{l^2} \cdot \frac{p \cdot \gamma}{Z} \int_0^l (l \cdot x - x^2) \cdot dx = \frac{4h}{l^2} \cdot \frac{p \cdot \gamma}{Z} \cdot \left[\frac{l \cdot x^2}{2} - \frac{x^3}{3} \right]_0^l$$

$$r_3 = \frac{p \cdot \gamma}{Z} \cdot \frac{4}{6} \cdot h \cdot l = \frac{2}{3} \cdot \frac{P \cdot \gamma}{Z} \cdot h \dots \dots \dots \text{д.}$$

Складывая выраженія а, г, д, получимъ вѣсъ всей фермы.

$$R = r_1 + r_2 + r_3 = \frac{P \cdot \gamma}{Z} \cdot \left[\frac{l^2}{4h} + \frac{4}{3}h \right] \dots \dots \dots \text{29.}$$

Мин этого выраженія получится, когда

$$\frac{l^2}{h^2} = \frac{16}{3}, \text{ или } h = \frac{l \cdot \sqrt{3}}{4} \dots \dots \dots \text{е.}$$

Геометрическое построеніе этого рѣшенія показано на фиг. 313, гдѣ сторона квадрата $ABCD$ равна l , тогда

$$BD = BE = l \cdot \sqrt{2}; \quad AE = l \cdot \sqrt{3},$$

и четверть этой длины, т. е. AF , будетъ искомая величина h .

$$\min R = \frac{P \cdot \gamma}{Z} \cdot \frac{2l}{\sqrt{3}} = \frac{P \cdot \gamma}{Z} \cdot \frac{8h}{3} \dots \dots \dots \text{30.}$$

№ 50. Треугольная ферма ABC (фиг. 314) воспринимает нагрузку P то въ узлѣ A , то въ узлѣ D . При заданномъ положеніи узловъ A и D найти высоту фермы подь условіемъ, чтобы вѣсъ ея былъ *min*.

Отв. Вѣсъ фермы будетъ $R = \frac{P \cdot \gamma}{Z} \cdot \left[3h + \frac{c^2 + 2l^2}{h} \right]$ 31.

Его *min* получится, когда $h = \sqrt{\frac{c^2 + 2l^2}{3}}$.

$\min R = \frac{P \cdot \gamma}{Z} \cdot 6h$ 32.

При $c = \frac{l}{2}$ $h = l \cdot \frac{\sqrt{3}}{2}$ 33.

№ 51. Ферма, состоящая изъ трехъ тягъ AE , AC , BC (фиг 315) и двухъ раскосовъ AB , CE , воспринимаетъ на себя нагрузку P . Опоры находятся въ узлахъ A и B . Раскосы AB и CE въ сѣченіи D ничѣмъ не связаны между собою. Даны главные размѣры фермы a и h , найти два другіе ея размѣра x и y подь условіемъ, чтобы вѣсъ фермы былъ *min*, предполагая $Z = D$.

Рѣшеніе. $Q = \frac{P}{x} \cdot \overline{AE}$; $S = P \cdot \frac{a}{x}$.

Вѣсъ тяги AE $r_1 = \frac{P \cdot \gamma}{Z} \cdot \frac{a^2 + x^2}{x}$ а.

Вѣсъ подкоса CE $r_2 = \frac{P \cdot \gamma}{Z} \cdot a \cdot \frac{a + y}{x}$ б.

Сопротивленія опоръ A и B въ горизонтальномъ направленіи = X и могутъ быть опредѣлены изъ условія равновѣсія:

$X \cdot (h + x) = P \cdot a$, откуда $X = P \cdot \frac{a}{h + x}$ в.

Усиліе T тяги BC и сопротивленіе Y_1 стойки BD опредѣлятся такъ:

$T : X = \overline{BC} : y$; $T = P \cdot \frac{a}{h + x} \cdot \frac{\overline{BC}}{y}$ г.

$Y_1 : X = h : y$; $Y_1 = P \cdot \frac{a}{h + x} \cdot \frac{h}{y}$ д.

По X и S найдется величина V , проекція натяженія U на горизонталь:

$V = S - X = P \cdot \frac{a}{x} - P \cdot \frac{a}{h + x} = P \cdot \frac{a}{x} \cdot \frac{h}{h + x}$ е.

Усилие U тяги AC и давление Y_2 на стойку AB будутъ:

$$U : V = \overline{AC} : y; \quad U = P \cdot \frac{a}{x} \cdot \frac{h}{h+x} \cdot \frac{\overline{AC}}{y} \dots \dots \dots \text{ж.}$$

$$Y_2 : V = x : y; \quad Y_2 = P \cdot \frac{a}{y} \cdot \frac{h}{h+x} \dots \dots \dots \text{з.}$$

Сравнивая между собою ф-лы д и з, видимъ, что $Y_1 = Y_2$; слѣд., стойка AB будетъ сжиматься усилиемъ $P + Y_2$, а на опору B будетъ передаваться только вертикальное давление P .

Вѣсъ тяги BC по усилию T опредѣлится такъ:

$$r_3 = \frac{P \cdot \gamma}{Z} \cdot \frac{a}{h+x} \cdot \frac{h^2 + y^2}{y} \dots \dots \dots \text{н.}$$

Вѣсъ тяги AC по усилию U напишется слѣд. обр.:

$$r_4 = \frac{P \cdot \gamma}{Z} \cdot \frac{a}{h+x} \cdot \frac{h}{x} \cdot \frac{x^2 + y^2}{y} \dots \dots \dots \text{і.}$$

Наконецъ вѣсъ стойки AB , сжимаемой усилиемъ $P + Y_2$, будетъ:

$$r_5 = \frac{P \cdot \gamma}{Z} \cdot \left[1 + \frac{a}{y} \cdot \frac{h}{h+x} \right] \cdot (x+h) \dots \dots \dots \text{к.}$$

Складывая вѣса всѣхъ пяти частей, получимъ полный вѣсъ фермы:

$$R = \frac{P \cdot \gamma}{Z} \cdot \left[h + 2x + 2 \cdot \frac{a^2}{x} + 2 \cdot \frac{a \cdot y}{x} + 2 \cdot \frac{a \cdot h}{y} \right] \dots \dots \dots \text{34.}$$

Взявши частныя производныя отъ R сначала по x , а затѣмъ по y и приравнявши обѣ ихъ порознь нулю, получимъ условія наименьшаго вѣса крана:

$$\frac{dR}{dx} = \frac{P \cdot \gamma}{Z} \cdot \left[2 - 2 \cdot \frac{a^2}{x^2} - 2 \cdot \frac{a \cdot y}{x^2} \right] = 0, \text{ откуда}$$

$$x^2 = a^2 + a \cdot y; \quad x = \sqrt{a \cdot (a + y)} \dots \dots \dots \text{35}$$

$$\frac{dR}{dy} = \frac{P \cdot \gamma}{Z} \cdot \left[2 \cdot \frac{a}{x} - 2 \cdot \frac{a \cdot h}{y^2} \right] = 0, \text{ откуда}$$

$$y^2 = x \cdot h; \quad y = \sqrt{h \cdot x} \dots \dots \dots \text{36.}$$

Ф-ла 36 показываетъ, что узлы A, C, B въ кранѣ, построенномъ съ наименьшимъ вѣсомъ, при данныхъ a и h , должны лежать на дугѣ окружности, описанной на длинѣ стойки, какъ на диаметрѣ.

Удовлетворяя одновременно р-ва 35 и 36, мы придемъ къ ур-ію 4-й степени относительно y . Чтобы избѣжать необходимости его рѣшенія, употребимъ такой приемъ.

$$\text{Пусть } y = m \cdot x, \text{ тогда по 36.} \dots \dots \dots x = \frac{h}{m^2} \dots \dots \dots \text{37.}$$

По 35..... $\frac{h^2}{m^4} = a^2 + a \cdot m \cdot x = a^2 + a \cdot \frac{h}{m}$, откуда

$$\left(\frac{h}{a}\right)^2 = m^4 + m^3 \cdot \frac{h}{a}; \quad \frac{h}{a} = \frac{m^3 + \sqrt{m^6 + 4 \cdot m^4}}{2} \dots 38.$$

По 37..... $\frac{x}{a} = \frac{1}{m^2} \cdot \frac{h}{a}; \quad y = m \cdot \frac{x}{a} \dots 39.$

Такимъ образомъ, задаваясь m , результаты вычисленія по ф-ламъ 37, 38, 39 можно свести въ слѣд. таблицу:

m	$h:a$	$x:a$	$y:a$
0,8	0,945	1,464	1,171
0,9	1,253	1,547	1,392
1	1,618	1,618	1,618
1,1	2,047	1,691	1,860
1,2	2,568	1,783	2,140

Цифры этой таблицы показываютъ, что наивыгоднѣйшія соотношенія между размѣрами этой фермы значительно отступаютъ отъ тѣхъ, которыя встрѣчаются въ осуществленныхъ фермахъ такого типа при построеніи подъемныхъ крановъ.

№ 52. Въ фермѣ предыдущей задачи (фиг. 315) ввести дополнительную тягу AF , положеніе которой опредѣляется отрѣзкомъ $b = n \cdot a$, и найти новое значеніе величинъ x и y .

Отв. Всѣ фермы (изъ шести частей) здѣсь будутъ:

$$R = \frac{P}{Z} \gamma \cdot \left[h + 3x + \frac{2a^2 + b^2}{x} + 2 \cdot \frac{a \cdot y}{x} + 2 \frac{a \cdot h}{y} \right] \dots 40.$$

Чтобы величина R была mn , необходимо въ одно время удовлетворить два слѣд. ур-ія: $y^2 = x \cdot h \dots 41$

$$x^2 = \frac{2a^2 + b^2 + 2a \cdot y}{3} = a \cdot \frac{(2 + n^2) \cdot a + 2y}{3} \dots 42.$$

Соотношеніе 41 тождественно съ 36, слѣд., и въ этой фермѣ также всѣ 3 узла A, C, B расположатся на окружности, имѣющей длину $x + h$ своимъ діаметромъ, только длина x будетъ короче, нежели у предыдущей фермы. Вводя и здѣсь также $y = m \cdot x$, получимъ

по 41.... $x = h : m^2$; затѣмъ по 42

$$\frac{h^2}{m^4} = a^2 \cdot \frac{2 + n^2}{3} + \frac{2}{3} \cdot a \cdot \frac{h}{m}, \text{ откуда}$$

$$\left(\frac{h}{a}\right)^2 = \frac{2}{3} m^3 \cdot \frac{h}{a} + \frac{2+n^2}{3} m^4, \text{ или}$$

$$\frac{h}{a} = \frac{m^3 + \sqrt{m^6 + 3m^4(2+n^2)}}{3} \dots \dots \dots 43$$

$$\frac{x}{a} = \frac{1}{m^2} \cdot \frac{h}{a}; \quad \frac{y}{a} = m \cdot \frac{x}{a} \dots \dots \dots 44.$$

Задавая n равнымъ $\frac{1}{2}, \frac{1}{3}, \frac{1}{4}$, получимъ слѣд. таблицу:

	$h : a$		$x : a$		$y : a$	
	$m = 1$	$m = 1,1$	$m = 1$	$m = 1,1$	$m = 1$	$m = 1,1$
$n = \frac{1}{2}$	1,261	1,582	1,261	1,307	1,261	1,438
$n = \frac{1}{3}$	1,236	1,552	1,236	1,283	1,236	1,411

№ 53. Сравнить между собою вѣса двухъ фермъ типа фиг. 315 (безъ тяги AF), одной — съ наимыгоднѣйшими размѣрами, опредѣляющими min вѣса, и другой — съ размѣрами, встрѣчающимися въ практикѣ, при слѣдующихъ данныхъ:

Ферма I	$\frac{h}{a} = 1,253$	$\frac{x}{a} = 1,547$	$\frac{y}{a} = 1,392$	$\frac{y}{x} = 0,9$
„ II	1,253	0,25	0,25	1,0

Отв. По ф-лѣ 34 получимъ въ обоихъ случаяхъ

$$\left. \begin{array}{l} \text{для фермы I } R_1 = \frac{P \cdot \gamma \cdot a \cdot 9,24}{Z} \\ \text{„ „ II } R_2 = \frac{P \cdot \gamma \cdot a \cdot 21,777}{Z} \end{array} \right\} \frac{R_2}{R_1} = 2,35.$$

№ 54. Ферма $ABCD$ (фиг. 316) состоитъ изъ двухъ тягъ и трехъ подкосовъ. Опоры ея — A и D ; точка B подвѣса груза опредѣляется данными координатами h и l относительно точки A . Найти размѣры x и y фермы подъ условіемъ, чтобы вѣсъ фермы былъ min , когда Z не равно D .

Рѣшеніе. $S = P \cdot \frac{\overline{BC}}{x}$; $Q = P \cdot \frac{\overline{AB}}{x}$; $U = P \cdot \frac{l}{y}$
 $I = U \cdot \frac{\overline{CD}}{x}$; $V = U \cdot \frac{y}{x}$; $W = S \cdot \frac{h-x}{BC} = P \cdot \frac{h-x}{x}$.

Усилие, сжимающее стойку AC . . . $U - W = P \cdot \left(\frac{l}{y} + 1 - \frac{h}{x} \right)$.

Вѣсъ подкоса AB $r_1 = \frac{P \cdot \gamma}{D} \cdot \frac{l^2 + h^2}{x}$.

" " AC $r_2 = \frac{P \cdot \gamma}{D} \cdot \left(\frac{l}{y} + 1 - \frac{h}{x} \right) \cdot x$

" " AD $r_3 = \frac{P \cdot \gamma}{D} \cdot \frac{l \cdot y}{x}$.

Вѣсъ тяги BC $r_4 = \frac{P \cdot \gamma}{Z} \cdot \frac{l^2 + (h - x)^2}{x}$

" " CD $r_5 = \frac{P \cdot \gamma}{Z} \cdot \frac{l}{x} \cdot \frac{x^2 + y^2}{y}$.

Полный вѣсъ всѣхъ пяти частей фермы будетъ:

$$R = \frac{P \cdot \gamma}{D \cdot Z} \cdot \left[(Z + D) \cdot \left(\frac{h^2 + l^2}{x} + x + \frac{l}{x} \cdot \frac{x^2 + y^2}{y} \right) - (Z + 2D) \cdot h \right] \dots 45.$$

Для нахождения *min* этого выраженія беремъ частныя 1-я производныя отъ R по переменнымъ x и y и приравниваемъ ихъ нулю:

$$\frac{dR}{dy} = \frac{P \cdot \gamma}{Z} \cdot \frac{Z + D}{D} \cdot \frac{l}{x} \cdot \frac{y^3 - x^2}{y^2} = 0 \dots \dots \dots y = x \dots \dots 46$$

$$\frac{dR}{dx} = \frac{P \cdot \gamma}{Z} \cdot \frac{Z + D}{D} \cdot \left[1 - \frac{h^2 + l^2}{x^2} + \frac{l}{y} \cdot \frac{x^2 - y^2}{x^2} \right], \text{ откуда}$$

$$x^2 = l^2 + h^2; \quad x = \sqrt{l^2 + h^2} = \overline{AB} = \overline{AC} \dots \dots 47.$$

Оба соотношенія, выражаемыя ф-лами 46 и 47, какъ видно, совершенно не зависятъ отъ величины допускаемыхъ напряженій и показываютъ, что длину всѣхъ трехъ подкосовъ, независимо также и отъ заданныхъ l и h нужно дѣлать одинаковою для полученія *min* вѣса фермы.

$$\min R = \frac{P \cdot \gamma}{Z \cdot D} \cdot \left[(Z + D) \cdot 2(x + l) - (Z + 2D) \cdot h \right] \dots \dots 48.$$

Если $h = 0$, тогда ферма на фиг. 316 будетъ одинакова съ фермой на фиг. 306, если сдѣлать у послѣдней равныя плечи; при этомъ будемъ имѣть на фиг. 316 $x = l$, и выраженіе вѣса 48 будетъ совершенно тождественно съ 11 (см. зад. № 41).

№ 55. Въ предыдущей задачѣ (фиг. 316), кромѣ переменныхъ x и y , можетъ быть принята за независимое переменное также и высота точки подвѣса h . Определить величину ея подъ условіемъ, чтобы вѣсъ фермы былъ *min* при данной величинѣ l .

Реш. Частная производная отъ R по h (см. ф-лу 45) будетъ:

$$\frac{dR}{dh} = \frac{P \cdot \gamma}{Z \cdot D} \left[\frac{Z+D}{x} \cdot 2h - Z - 2D \right] = 0, \text{ откуда}$$

$$h = \frac{x}{2} \cdot \frac{Z+2D}{Z+D} \dots \dots \dots 49$$

$$\min R = \frac{P \cdot \gamma}{Z \cdot D} \frac{(Z+D)^2 \cdot 4 \cdot (x+l) - (Z+2D)^2 \cdot x}{2 \cdot (Z+D)} \dots \dots 50.$$

При $Z = D \dots h = \frac{3}{4}x; x^2 = \frac{16}{9} \cdot h^2 = l^2 + h^2; h = l \cdot \sqrt{\frac{9}{7}}$

$$\min R = \frac{P \cdot \gamma}{Z} \cdot l \cdot (4 + \sqrt{7}) \dots \dots \dots 51.$$

№ 56. Схему фермы подъемнаго крана съ неподвижной колонной даетъ фиг. 317: AB — укосина. AC и BC — тяги. D — колонна. Определить соотношеніе между главными размѣрами крана h, l, x подъ условіемъ, чтобы вѣсъ фермы былъ *min*. При этомъ дано Z — напряженіе растаженія для тягъ AC и BC , D — напряженія сжатія для подкоса AB , и B — напряженіе сгибанія для колонны D , расчетъ которой будетъ вестись съ этимъ напряженіемъ только на одно сгибаніе. Оси обѣихъ тягъ BC лежать въ одной плоскости съ осью колонны D , такъ что усиліе $U - W = P$ будетъ направлено по оси колонны центральнo.

Реш. $S = P \cdot \frac{AC}{x}; Q = P \cdot \frac{AB}{x}; U = \frac{Q \cdot h}{AB} = P \cdot \frac{h}{x}$

Вѣсъ тяги $AC \dots r_1 = \frac{P \cdot \gamma}{Z} \cdot \frac{l^2 + (h-x)^2}{x}$

„ „ $BC \dots r_2 = \frac{P \cdot \gamma}{Z} \cdot \frac{h^2}{x}$

„ подкоса $AB \dots r_3 = \frac{P \cdot \gamma}{D} \cdot \frac{l^2 + h^2}{x}$

Сгибающій моментъ для нижняго сѣченія колонны... $T \cdot x = P \cdot l$.

Если діам. колонны въ нижнемъ сѣченіи будетъ d , тогда расчетное ур-іе этого сѣченія будетъ:

$$P \cdot l = \frac{B \cdot \pi}{32} \cdot d^3; \quad d = \sqrt[3]{\frac{32}{\pi \cdot B} \cdot P \cdot l}$$

Если бы колонна была выполнена въ видѣ тѣла равнаго сопротивленія сгибанію (см. часть II, § 40 B), вѣсъ ея былъ бы $= 0,6$ отъ вѣса цилиндра съ діам. d . Допуская нѣкоторыя отступленія отъ идеальной формы колонны, внесемъ въ формулу ея вѣса $0,6 \cdot \beta$ вмѣсто $0,6$; тогда вѣсъ колонны будетъ:

$$r_4 = 0,6 \cdot \beta \cdot \frac{\pi}{4} \cdot d^3 \cdot \gamma_1 \cdot x = b \cdot x \cdot \frac{P \cdot \gamma}{Z}, \text{ гдѣ при } \gamma = \gamma_1^3$$

$$b = 1,2 \cdot \beta \cdot Z \cdot \sqrt[3]{\frac{2\pi \cdot l^3}{P \cdot B^3}} \dots \dots \dots 52.$$

Полный вѣсъ крана получится въ такомъ видѣ:

$$R = \frac{P \cdot \gamma}{Z} \cdot \left[\frac{(h^2 + l^2)(Z + D) + D \cdot h^2}{D \cdot x} + x(1 + b) - 2h \right] \dots 53.$$

При данныхъ h и l выражение $\min R$ получится тогда, когда

$$x = \sqrt{\frac{(h^2 + l^2)(Z + D) + D \cdot h^2}{D \cdot (1 + b)}} \dots \dots \dots 54.$$

$$\min R = \frac{2P \cdot \gamma}{Z} \cdot [x \cdot (1 + b) - h] \dots \dots \dots 55.$$

Какъ видно по формуламъ 52 и 54, наивыгоднѣйшая высота колонны крана зависитъ, кромѣ величины напряженій Z и B , еще отъ величины груза P и вылета крана l .

Пусть, напр., $P = 4000$ к., $h = l = 4$ м.; $0,6 \cdot \beta = 0,8$, т. е. теоретическій вѣсъ колонны увеличенъ на 33%; затѣмъ примемъ за допускаемыя величины напряженій въ к. на кв. мм.

- на растяженіе желѣзныхъ тягъ $Z = 6$
- на сжатіе желѣзной укосины $D = 4$
- на сгибаніе чугунной колонны $B = 4$

По 52... $b = 111,5$; по 54... $x = l \cdot \sqrt{\frac{2Z + 3D}{112,5 \cdot D}} = \frac{l}{4,33} = 925^{\text{мм}}/м.$

№ 57. Первая общая задача о треугольной фермѣ изъ двухъ элементовъ (подкоса и тяги). Дана треугольная ферма ABC (фиг. 318) съ произвольнымъ положеніемъ опоръ A и C на линіи AC , дѣляющей съ горизонталью уголъ β . Координаты точки подвѣса груза относительно одной изъ опоръ — l и h . На данномъ направленіи AC найти положеніе другой опорной точки (C) подъ условіемъ, чтобы вѣсъ фермы былъ m , если допускаемыя напряженія на растяженіе и сжатіе — Z и D .

Рѣшете. Длина линіи $\overline{AE} = \overline{AF} + \overline{EF} = x \cdot \sin \beta + \overline{EF}$

$$\overline{EF} : \overline{CF} = \overline{BK} : \overline{CK}; \overline{EF} : x \cdot \cos \beta = (h - x \cdot \sin \beta) : (l + x \cdot \cos \beta)$$

$$\overline{AE} = x \cdot \sin \beta + x \cdot \cos \beta \cdot \frac{h - x \cdot \sin \beta}{l + x \cdot \cos \beta} = x \cdot \frac{l \cdot \sin \beta + h \cdot \cos \beta}{l + x \cdot \cos \beta}$$

Введемъ обозначеніе... $l \cdot \sin \beta + h \cdot \cos \beta = a$.

$$Q : P = \overline{AB} : \overline{AE} = \frac{\overline{AB}}{a} \cdot \left(\frac{l}{x} + \cos \beta \right).$$

$$\overline{BE} : \overline{BC} = l : (l + x \cdot \cos \beta).$$

$$S : P = \overline{BE} : \overline{AE} = \overline{BC} \cdot l : a \cdot x$$

$$d^2 = \overline{AB}^2 = l^2 + h^2; \overline{BC}^2 = (h - x \cdot \sin \beta)^2 + (l + x \cdot \cos \beta)^2.$$

$$\text{Вѣсь подкоса } AB \dots r_1 = \frac{P \cdot \gamma}{D \cdot a} \cdot (l^2 + h^2) \cdot \left(\frac{l}{x} + \cos \beta \right).$$

$$\text{Вѣсь тяги } BC \dots r_2 = \frac{P \cdot \gamma}{Z \cdot a} \cdot \frac{l}{x} \cdot \left[(h - x \cdot \sin \beta)^2 + (l + x \cdot \cos \beta)^2 \right].$$

Если $\frac{Z+D}{Z \cdot D} = A$, то вѣсь всей фермы ABC будетъ:

$$R = \frac{P \cdot \gamma}{a} \cdot \left[A \cdot \frac{l \cdot d^2}{x} + \frac{l \cdot x}{Z} + \frac{d^2}{D} \cdot \cos \beta + 2l \cdot \frac{l \cdot \cos \beta - h \cdot \sin \beta}{Z} \right] \dots 56.$$

Принимая величины h, l, β за данныя, а x — за переменное, значеніе x , опредѣляющее $\min R$, найдемъ изъ р-ва:

$$\frac{\partial R}{\partial x} = \frac{P \cdot \gamma \cdot l}{a \cdot Z} \cdot \left[-\frac{Z+D}{D} \cdot \frac{h^2 + l^2}{x^2} + 1 \right] = 0, \text{ откуда}$$

$$x = \sqrt{\frac{Z+D}{D} \cdot (h^2 + l^2)} = \overline{AB} \cdot \sqrt{\frac{Z+D}{D}} \dots 57.$$

На основаніи этой ф-лы дѣлаемъ слѣдующія заключенія:

1. Въ треугольной фермѣ съ \min вѣса разстояніе между опорами вовсе не зависитъ отъ угла, который дѣлаетъ съ горизонталью линия, соединяющая опорныя точки фермы.

2. Разстояніе между опорными точками въ фермѣ, обладающей \min вѣса, порознь не зависитъ ни отъ вылета l фермы, ни отъ высоты ея h , а зависитъ только отъ длины укосины.

3. Если изъ точки A (фиг. 319), какъ изъ центра описать двѣ окружности радіусами, равными длинѣ укосины и разстоянію между точками опоры фермы, тогда вѣсь треугольных фермы, у которыхъ точки опоры лежатъ на этихъ окружностяхъ и сжатый подкосъ приходитъ въ центръ A , будутъ удовлетворять условію \min вѣса, но величина послѣдняго будетъ зависетьъ каждый разъ отъ h, l, β, Z, D .

При $\beta = 90^\circ \dots a = l \cdot \sin \beta + h \cdot \cos \beta = l; \cos \beta = 0; \sin \beta = 1;$ тогда формула 56 обращается въ слѣдующую:

$$R = \frac{P \cdot \gamma}{Z} \cdot \left[\frac{Z+D}{D} \cdot \frac{h^2 + l^2}{x} + x - 2h \right] \dots 58,$$

что вполне согласуется съ результатами зад. №№ 27 и 29 (фиг. 295 и 296). Если измѣнять въ этой ф-лѣ x , то $\min R$ получится, когда

$$x = \sqrt{\frac{Z+D}{D} \cdot (h^2 + l^2)},$$

что согласно съ ф-лой 57. Если же при данномъ x будетъ измѣняться h , тогда $\min R$, найдется изъ условія

$$\frac{dR}{dh} = \frac{P \cdot \gamma}{Z} \cdot \left[\frac{Z+D}{D} \cdot \frac{2h}{x} - 2 \right] = 0, \text{ или } h = \frac{x \cdot D}{Z+D},$$

что согласно съ результатами зад. № 27 (фиг. 295) и при $Z=D$ даетъ $h=0,5 \cdot x$.

При $\beta = 0 \dots a = h$, при этомъ по ф-лѣ 56

$$R = \frac{P \cdot \gamma}{h} \cdot \left[\frac{h^2 + l^2}{D} \left(1 + \frac{l}{x} \cdot \frac{Z+D}{Z} \right) + \frac{l}{Z} \cdot (x + 2l) \right] \dots 58, a,$$

что будетъ представлять собою выраженіе вѣса фермы фиг. 297 (зад. № 30). \min этого выраженія получится при значеніи x , опредѣляемомъ изъ ф-лы 57. Если же x считать за постоянное и находить $\min R$ при переменномъ h , тогда мы получимъ

$$\frac{dR}{dh} = \frac{P \cdot \gamma}{h^2} \left[\left(1 + \frac{l}{x} \cdot \frac{Z+D}{Z} \right) \cdot \frac{h^2 - l^2}{D} - l \cdot \frac{x + 2l}{Z} \right] = 0.$$

При $Z=D$ это условіе даетъ $h^2 = l \cdot (l + x)$.

№ 58. Вторая общая задача о треугольной фермѣ изъ двухъ элементовъ (подкоса и тяги). Въ предыдущей задачѣ измѣнить направленіе дѣйствующей силы и, считая за данную величину длину тяги, найти 2-ю опорную точку для подкоса (C на фиг. 320) подъ условіемъ \min вѣса.

Отв. Въ ф-лѣ 56 величины Z и D переменять свои мѣста:

$$R = \frac{P \cdot \gamma}{a} \cdot \left[A \cdot \frac{l \cdot a^2}{x} + \frac{l \cdot x}{D} + \frac{a^2}{Z} \cdot \cos \beta + 2l \cdot \frac{l \cdot \cos \beta - h \cdot \sin \beta}{D} \right] \dots 59$$

$$a = l \cdot \sin \beta + h \cdot \cos \beta; \quad \frac{Z+D}{Z \cdot D} = A; \quad h^2 + l^2 = a^2.$$

$\min R$ получится, когда $x = \overline{AB} \cdot \sqrt{\frac{Z+D}{Z}} \dots 60,$

т. е. величина x здѣсь будетъ другая, чѣмъ въ предыдущей задачѣ; она зависитъ здѣсь только отъ длины тяги и заданныхъ напряженій.

Въ частномъ случаѣ, когда $\beta = 90^\circ$, переходимъ къ фермѣ, изображенной на фиг. 321; у нея $a=l$, и вѣсъ ея будетъ:

$$R = \frac{P \cdot \gamma}{D} \cdot \left[\frac{Z+D}{Z} \cdot \frac{h^2 + l^2}{x} + x - 2h \right] \dots 61.$$

При x , удовлетворяющемъ ф-лу 60, получится

$$\min R = \frac{2P \cdot \gamma}{D} \cdot (x - h) \dots 62.$$

При $x = h$, т. е. когда подкосъ BC (фиг. 320) будетъ горизон-
тальнъ, ф-ла 61 принимаетъ видъ:

$$R = \frac{P \cdot \gamma}{Z \cdot D} \cdot \left[D \cdot x + \frac{Z + D}{x} \cdot l^2 \right]. \dots \dots \dots 63.$$

При $x = l \cdot \sqrt{\frac{D + Z}{D}} \dots \dots \dots \min R = \frac{P \cdot \gamma}{Z} \cdot 2x \dots \dots 64.$

Тотъ же результатъ имѣли въ зад. № 21 (фиг. 289).

Въ другомъ частномъ случаѣ, когда $\beta = 0$ (фиг. 322)

$$a = l \cdot \sin \beta + h \cdot \cos \beta = h.$$

$$R = \frac{P \cdot \gamma}{h} \cdot \left[\frac{Z + D}{Z \cdot D} \cdot l \cdot \frac{h^2 + l^2}{x} + \frac{l \cdot x}{D} + \frac{h^2 + l^2}{Z} + \frac{2l^2}{D} \right]. \dots \dots 65.$$

Min этой величины по прежнему будетъ опредѣляться при значе-
нii x изъ ф-лы 60.

№ 59. Первая общая задача о треугольной фермѣ изъ трехъ
элементовъ (двухъ подкосовъ и одной тяги). Дана треугольная ферма
 ABC (фиг. 323), составленная изъ трехъ элементовъ, двухъ подкосовъ
и одной тяги. Ферма передаетъ давленіе на опору A и удерживается
въ равновѣсii вертикальною тягою CH . Даны координаты точки подвѣса
груза l и h . Требуется найти длину 2-го подкоса AC подъ условіемъ,
чтобы вѣсъ всей фермы былъ *min* въ предположеніи, что Z и D не-
одинаковы.

Рѣшеніе. Данная ферма (фиг. 323) отличается отъ фермы. изо-
браженной на фиг. 318, только существованіемъ подкоса AC и тяги
 CH . Поэтому и здѣсь будемъ имѣть:

$$S = P \cdot \frac{\overline{BC} \cdot l}{a \cdot x}; \quad Q = P \cdot \frac{\overline{AB}}{a} \cdot \frac{l + x \cdot \cos \beta}{x},$$

гдѣ $a = l \cdot \sin \beta + h \cdot \cos \beta$.

Натяженіе струны CH будетъ.... $U = \frac{P \cdot l}{x \cdot \cos \beta}$

Проложеніе натяженія S на вертикаль обозначено чрезъ N ; его
величина опредѣлится изъ р-ва:

$$N : S = (x \cdot \sin \beta - h) : \overline{BC}; \quad N = \frac{P \cdot l}{x} \cdot \frac{x \cdot \sin \beta - h}{a}$$

Проектируя силы S , T , U на вертикаль, получимъ:

$$T \cdot \sin \beta = U + N = \frac{P \cdot l}{x} \cdot \left(\frac{1}{\cos \beta} + \frac{x \cdot \sin \beta - h}{a} \right)$$

$$T: \sin \beta = \frac{P \cdot l}{x} \cdot \frac{l \cdot \sin \beta + h \cdot \cos \beta + x \cdot \sin \beta \cdot \cos \beta - h \cdot \cos \beta}{a \cdot \cos \beta}, \text{ откуда}$$

$$T = \frac{P \cdot l}{x \cdot a} \cdot \left(\frac{l}{\cos \beta} + x \right) \dots \dots \dots 66.$$

Вѣсь подвеса AC будетъ

$$r_s = \frac{P \cdot l}{a \cdot D} \cdot \gamma \cdot \left(\frac{l}{\cos \beta} + x \right) \dots \dots \dots 67.$$

Вѣсь всей фермы ABC (фиг. 323) получится, если къ 2-й части ф-лы 56 будетъ прибавлена величина r_s ; тогда

$$R = \frac{P \cdot \gamma}{a} \cdot \left[A \cdot l \cdot \left(\frac{d^2}{x} + x \right) + \frac{d^2 \cdot \cos^2 \beta + l^2}{D \cdot \cos \beta} + 2l \cdot \frac{l \cdot \cos \beta - h \cdot \sin \beta}{Z} \right]. 68$$

$$\text{гдѣ } A = (Z + D) : Z \cdot D; \quad d^2 = h^2 + l^2.$$

Min R при измѣненіи x получится тогда, когда

$$x^2 = h^2 + l^2 = d^2, \text{ или } x = \overline{AB} \dots \dots \dots 69,$$

т. е. *min* вѣса треугольной фермы, состоящей изъ двухъ подкосовъ и одной тяги (фиг. 323), когда такая ферма удерживается въ равновѣсїи вертикальною струною CH , всегда будетъ имѣть мѣсто въ случаѣ одинаковой длины обоеихъ подкосовъ, независимо ни отъ угла β , ни отъ заданныхъ величинъ напряженій Z и D , ни отъ координатъ точки подвѣса груза h и l порознь.

№ 60. Найти вѣсь треугольной фермы предыдущей задачи и ея *min* въ частномъ случаѣ, когда $\beta = 0$ (фиг. 324).

$$\text{Отв. } R = \frac{P \cdot \gamma}{D} \cdot \left[\frac{Z + D}{Z} \cdot \frac{l}{h} \cdot \left(\frac{l^2 + h^2}{x} + x + 2l \right) + h \right] \dots 70.$$

Если даны l и h , то независимо отъ Z и D надо дѣлать

$$x^2 = l^2 + h^2, \text{ т. е. } \overline{AC} = \overline{AB}, \text{ тогда}$$

$$\min R = \frac{P \cdot \gamma}{D} \cdot \left[\frac{Z + D}{Z} \cdot \frac{2l}{h} (x + l) + h \right]$$

Если даны l и x , тогда *min* R получается при отношеніи

$$\frac{h}{l + x} = \sqrt{\frac{(Z + D) \cdot l}{(Z + D) \cdot l + Z \cdot x}} \dots \dots \dots 71.$$

Въ частномъ случаѣ, когда $Z = D$, послѣдняя ф-ла обращается въ слѣдующую:

$$h : (l + x) = \sqrt{2l : (2l + x)}$$

№ 61. Вторая общая задача о треугольной фермѣ изъ трехъ элементовъ (двухъ подкосовъ и одной тяги). Условія заданія тѣ же, что и въ задачѣ № 59, но только струна CI (фиг. 325), удерживающая ферму въ равновѣсїи, проведена горизонтально. Нужно найти длину 2-го подкоса подъ условїемъ, чтобы вѣсъ фермы былъ *min*.

Рѣшеніе. $S = P \cdot \frac{\overline{BC} \cdot l}{a \cdot x}$, гдѣ $a = l \cdot \sin \beta + h \cdot \cos \beta$;

$N = \frac{P \cdot l}{x} \cdot \frac{x' \cdot \sin \beta - h}{a}$ (см. зад. № 59); $N = K \cdot \sin \beta$;

$K = \frac{N}{\sin \beta} = \frac{P \cdot l}{a} \cdot \left(1 - \frac{h}{x \sin \beta}\right)$

Вѣсъ подкоса AO въ этомъ случаѣ будетъ

$r_i = \frac{P \cdot l \cdot \gamma}{a \cdot D} \cdot \left(x - \frac{h}{\sin \beta}\right) \dots \dots \dots 72.$

Присоединяя это выраженіе ко 2-й части ф-лы 56 (см. зад. 57), получимъ вѣсъ всей данной фермы:

$R = \frac{P \cdot \gamma}{a} \cdot \left[A \cdot l \cdot \left(\frac{d^2}{x} + x\right) + \frac{d^2}{D} \cdot \cos \beta + 2l \cdot \frac{l \cdot \cos \beta - h \cdot \sin \beta}{Z} - \frac{h \cdot l}{D \cdot \sin \beta} \right]$

гдѣ $A = (Z + D) : Z \cdot D$; $h^2 + l^2 = d^2$

Min этого выраженія R приводитъ къ прежнему рѣшенію, выраженному ф-лой 69, и дѣлаетъ такимъ образомъ высказанную тамъ теорему общеою и независимою отъ положенія струны, удерживающей узелъ C отъ перемѣщеній. Не трудно доказать, что ф-ла 69 будетъ справедлива и при всякомъ другомъ, произвольномъ положеніи струны, удерживающей узелъ C .

Въ частномъ случаѣ, когда $\beta = 90^\circ$ (фиг. 326) ... $a = l$

$R = \frac{P \cdot \gamma}{Z \cdot D} \cdot \left[(Z + D) \cdot \left(\frac{h^2 + l^2}{x} + x\right) - h \cdot (2D + Z) \right] \dots 73.$

№ 62. Третья общая задача о треугольной фермѣ изъ двухъ элементовъ (двухъ тягъ, или двухъ подкосовъ). Дана треугольная ферма ACB (фиг. 327), опорныя точки которой A и B не лежатъ на одной горизонтали; взаимное расположеніе ихъ опредѣляется координатами l и h . Положеніе тягъ AC и BC опредѣляется координатами точки C , въ которой подвѣшенъ грузъ; плечи нагрузки относительно опоръ A и B равны a и b , а разстояніе точки O отъ горизонтали AD равно x . Требуется найти эту длину x подъ условїемъ, чтобы вѣсъ фермы ABC , состоящей изъ двухъ тягъ, былъ *min*.

Рѣшеніе. Разложеніе силъ при точкахъ A , B , C ясно видно изъ чертежа (фиг. 327). Предполагая, что сила N перемѣщенія опоръ

A и *B* не производить, принимает поочередно точки *A* и *B* за центр моментов и составляем условия равновесія между заданою нагрузкою и сопротивленіями опоръ:

$$T = P \cdot \frac{b}{l} = P \cdot \frac{l-a}{l}; \quad U = \frac{P \cdot a}{l} \dots \dots \dots 74.$$

$$\overline{CE} = \overline{CF} + \overline{EF} = x + \frac{a \cdot h}{l} = \frac{x \cdot l + a \cdot h}{l} = \frac{y}{l}; \quad \overline{AE} = \frac{a \cdot d}{l};$$

$$\frac{Q}{T} = \frac{AC}{CE} = \frac{e \cdot l}{y}; \quad Q = \frac{P \cdot b}{l} \cdot \frac{e \cdot l}{y} = P \cdot e \cdot \frac{l-a}{y} \dots \dots 75.$$

Вѣсь тяги *AC*.... $r_1 = \frac{P \cdot \gamma}{Z} \cdot e^2 \cdot \frac{l-a}{y}$

$$\frac{S}{U} = \frac{BC}{CE} = \frac{f \cdot l}{y}; \quad S = \frac{P \cdot a}{l} \cdot \frac{f \cdot l}{y} = P \cdot f \cdot \frac{a}{y} \dots \dots 76.$$

Вѣсь тяги *BC*.... $r_2 = \frac{P \cdot \gamma}{Z} \cdot f^2 \cdot \frac{a}{y}$

$$e^2 = a^2 + x^2; \quad f^2 = b^2 + (h+x)^2 = (l-a)^2 + (h+x)^2$$

Вѣсь всей фермы *ACB* (фиг. 327) будетъ:

$$R = \frac{P \cdot \gamma (a^2 + x^2)(l-a) + a \cdot (l^2 - 2a \cdot l + a^2 + h^2 + 2h \cdot x + x^2)}{Z \cdot y}$$

$$R = \frac{P \cdot \gamma}{Z} \cdot \frac{l \cdot x^2 + 2h \cdot a \cdot x + a \cdot (d^2 - a \cdot l)}{y} \dots \dots 77,$$

гдѣ $d^2 = h^2 + l^2$; $y = x \cdot l + a \cdot h$.

Принимая *x* за независимое переменное и рассматривая *y* какъ функцію *x*, получаемъ

$$\frac{dR}{dx} = \frac{P \cdot \gamma}{Z} \cdot \frac{y \cdot 2(l \cdot x + a \cdot h) - l^2 \cdot x^2 - 2h \cdot a \cdot l \cdot x - a \cdot l \cdot (d^2 - a \cdot l)}{y^2} = 0,$$

Числитель второй части р-ва обращается въ слѣдующее выражение

$$ж_1 = l^2 \cdot x^2 + 2h \cdot a \cdot l \cdot x + 2a^2 \cdot h^2 - a \cdot l \cdot (h^2 + l^2 - a \cdot l) = 0 \dots \dots 78$$

$$x^2 + \frac{2h \cdot a}{l} \cdot x + 2 \cdot \frac{a^2 \cdot h^2}{l^2} + a^2 - a \cdot l \cdot \frac{h^2 + l^2}{l^2} = 0 \dots \dots 79$$

$$x = -\frac{h \cdot a}{l} + \sqrt{a \cdot l \cdot \frac{h^2 + l^2}{l^2} - a^2 - \frac{a^2 \cdot h^2}{l^2}} = -\frac{h \cdot a}{l} + \frac{d}{l} \cdot \sqrt{a \cdot b}. \dots 80.$$

Если $h=0$, т. е. обѣ опоры будутъ расположены на одной горизонтали, тогда $d=l$, и ф-ла 80 даетъ намъ

$$x = \sqrt{a \cdot b},$$

результатъ, который мы имѣли при разсмотрѣннн задачи № 37 (фиг. 304). Тамъ величина *x* опредѣлялась графически при помощи круга, описан-

наго на длинѣ l , какъ на діаметрѣ. Не трудно видѣть, что здѣсь подобную же роль играетъ кругъ, описанный на длинѣ $AB=d$, какъ на діаметрѣ. По ф-лѣ 80:

$$\frac{x.l + h.a}{l} = \frac{d}{l} \cdot \sqrt{a \cdot b} = \overline{CE} \dots \dots \dots 81.$$

Если назовемъ (фиг. 328) $AE=a_1$; $BE=b_1$; тогда

$$\frac{a}{a_1} = \frac{b}{b_1} = \frac{l}{d}, \text{ поэтому } a \cdot b = a_1 \cdot b_1 \cdot \left(\frac{l}{d}\right)^2,$$

слѣдовательно $\overline{CE} = \sqrt{a_1 \cdot b_1} \dots \dots \dots 82,$

т. е. для полученія наивыгоднѣйшей точки подвѣса груза, имѣющаго данныя плечи a и b относительно опоръ A и B (фиг. 328), направленіе дѣйствія нагрузки надо продолжить до пересѣченія въ точку E съ линіей, соединяющей данныя опорныя точки; затѣмъ разстояніе между ними надо принять за діаметръ и описать на немъ окружность, тогда линія $EF \perp AB$ будетъ средняя пропорціональная между отръзками a_1 и b_1 діаметра AB , т. е. длина EF будетъ искомымъ разстояніемъ точки подвѣса груза отъ точки E . На фиг. 328 так. обр. построены 3 фермы:

ACB — для произвольнаго разстоянія a ,

AC_1B — для случая, когда $a=b$, и

AC_2B — для случая, когда одна изъ тягъ горизонтальна, т. е. $x=0$. Въ этомъ послѣднемъ случаѣ по 80 будемъ имѣть:

$$h^2 \cdot a^2 = d^2 \cdot a \cdot b, \text{ или } \frac{a}{b} = \frac{d^2}{h^2} = \frac{a_2}{b_2} \dots \dots \dots 83,$$

гдѣ a_2 и b_2 — плечи нагрузки въ случаѣ $x=0$. Ф-ла 83 графически м. б. построена слѣд. образ.:

$$\frac{d^2}{h^2} = \frac{a_2^2}{a_2 \cdot b_2}; \frac{\sqrt{a_2 \cdot b_2}}{a_2} = \frac{h}{d} = \frac{BG}{AB},$$

т. е. для полученія наивыгоднѣйшей фермы въ случаѣ, когда одна изъ тягъ горизонтальна, надо провести $BG \perp AB$, отложить $BG=BD=h$, соединить точки G и A прямою, она пересѣчетъ окружность AFB въ точкѣ F_2 , которая и будетъ искомою; проводя $E_2F_2 \perp AB$ и E_2C_2 вертикально, получимъ точку подвѣса груза въ C_2 , и AC_2 будетъ горизонтальною.

Если направленіе дѣйствія силы будетъ измѣнено на обратное, т. е. ферма будетъ состоять изъ двухъ сжатыхъ подкосовъ, тогда, удерживая прежнія обозначенія, вѣсь фермы фиг. 329 получимъ изъ ф-лы 77, измѣняя въ ней Z на D :

$$R = \frac{P \cdot \gamma}{D} \cdot \frac{l \cdot x^2 + 2h \cdot a \cdot x + a \cdot (d^2 - a \cdot l)}{l \cdot x + a \cdot h} \dots \dots \dots 84.$$

Min этой величины получится при значении x , удовлетворяющем ф-лу 30. Способъ опредѣленія наивыгоднѣйшихъ размѣровъ фермы остается прежній (фиг. 328).

№ 63. Третья общая задача о треугольной фермѣ изъ трехъ элементовъ (двухъ тягъ и одного подкоса, или двухъ подкосовъ и одной тяги). Условія предыдущей задачи (№ 62) измѣнены только въ томъ, что между опорными узлами фермы введенъ подкосъ AB (фиг. 330), а сами узлы подвѣшены на вертикальныхъ тягахъ, которымъ передаются давленія T и U . При данныхъ плечахъ a и b груза относительно опоръ, найти координату x точки подвѣса нагрузки подъ условиемъ, чтобы вѣсъ всей фермы былъ *min*.

Рѣшеніе. Къ вѣсу фермы, выражаемому ф-лой 77, надо добавить вѣсъ подкоса AB , сжимаемаго усилиемъ N (фиг. 330).

$$\overline{AE} = a \cdot \frac{d}{l}; N = T \cdot \frac{AE}{CE}$$

Величины силы T и отръзка \overline{CE} были опредѣлены въ предыдущей задачѣ:

$$N = \frac{P \cdot b \cdot a \cdot d}{l \cdot l} \cdot \frac{y}{l} = P \cdot \frac{d}{l} \cdot \frac{a(l-a)}{y} \dots \dots \dots 85.$$

Вѣсъ подкоса AB длиною d будетъ

$$r_3 = \frac{P \cdot \gamma}{D} \cdot \frac{l^2 + h^2}{l} \cdot \frac{a \cdot l - a^2}{l \cdot x + a \cdot h} \dots \dots \dots 86.$$

Складывая 2-ю часть р-ва 77 съ 86, получимъ полный вѣсъ фермы ACB (фиг. 330), состоящей изъ двухъ тягъ и одного подкоса:

$$R = \frac{P \cdot \gamma}{Z \cdot D} \cdot \frac{(l^2 \cdot x^2 + 2h \cdot a \cdot l \cdot x) \cdot D + (a \cdot l \cdot d^2 - l^2 \cdot a^2)(Z + D) - h^2 \cdot a^2 \cdot Z}{(x \cdot l + h \cdot a) \cdot l} \dots \dots 87.$$

Взявши отъ этого выраженія 1-ю производную по x и приравнявъ ее нулю, послѣ небольшихъ преобразованій получимъ слѣд. уравненіе:

$$D(l^2 \cdot x^2 + 2h \cdot a \cdot l \cdot x) + (2D + Z)h^2 \cdot a^2 + (Z + D) \cdot l \cdot a(l \cdot a - d^2) = 0 \dots 88.$$

$$x^2 + 2 \cdot \frac{h \cdot a}{l} \cdot x + \frac{2h^2 \cdot a^2}{l^2} + \frac{Z + D}{D} \cdot (a^2 - l \cdot a \cdot \frac{d^2}{l^2}) + \frac{Z}{D} \cdot \frac{h^2 \cdot a^2}{l^2} = 0 \dots 89$$

$$x = -\frac{h \cdot a}{l} + \sqrt{\frac{Z + D}{D} \cdot (l \cdot a - a^2) \cdot \frac{h^2 + l^2}{l^2}}, \text{ или}$$

$$\frac{l \cdot x + h \cdot a}{l} = \overline{CE} = \frac{d}{l} \cdot \sqrt{a \cdot b \cdot \frac{Z + D}{D}} \dots \dots \dots 90.$$

При $h=0 \dots l=d$, и тогда ф-ла 90 даетъ результатъ, который мы имѣли въ зад. № 38 или 40 (фиг. 305). Положивши $Z=D$, получимъ

$$\overline{CE} = \frac{d}{l} \sqrt{2 \cdot \sqrt{a \cdot b}} \dots \dots \dots 91.$$

Эта ф-ла показываетъ, что длину EF , которую мы имѣли въ рѣшеніи предыдущей задачи, какъ искомое, здѣсь нужно принять за сторону квадрата HE (фиг. 330); откладывая діагональ его отъ точки E по вертикали внизъ, получимъ такую точку подвѣса C для груза, которая опредѣляетъ собою контуръ фермы съ *min* вѣса ея.

Если направленіе дѣйствія нагрузки на ферму будетъ обратное тому, которое было сейчасъ рассмотрѣно, т. е. будемъ имѣть ферму съ двумя подкосами и одной тягой, тогда вѣсъ такой фермы получится изъ ф-лы 87, измѣняя въ ней Z на D , и наоборотъ. Вѣсъ фермы фиг. 331 будетъ

$$R = \frac{P \cdot \gamma \cdot l \cdot Z(l \cdot x^2 + 2h \cdot a \cdot x) + a \cdot l \cdot (Z + D)(d^2 - a \cdot l) - h^2 \cdot a^2 \cdot D}{Z \cdot D \cdot x \cdot l + h \cdot a} \dots 92.$$

Min этого выраженія получится, когда на фиг. 331 будемъ имѣть:

$$\overline{CE} = \frac{d}{l} \cdot \sqrt{a \cdot b \cdot \frac{Z + D}{Z}} \dots 93.$$

№ 64. Первая общая задача на комбинацію двухъ треугольных фермъ, состоящую изъ пяти элементовъ (трехъ подкосовъ и двухъ тягъ, или двухъ подкосовъ и трехъ тягъ). Въ фермѣ, рассмотрѣнной въ предыдущей задачѣ (фиг. 330), въ точкѣ E введенъ шарниръ и добавленъ подкосъ CE . Полученная такимъ образомъ ферма (фиг. 332) воспринимаетъ нагрузку въ узлѣ E и передаетъ ее на узелъ C посредствомъ подкоса CE . При данныхъ a, b, h найти положеніе точки C подъ условіемъ, чтобы вѣсъ фермы былъ *min*.

Рѣшеніе. Къ выраженію вѣса предыдущей фермы (ф-ла 87) надо добавить вѣсъ подкоса CE , длина котораго (см. зад. № 62).

$$\overline{CE} = \frac{l \cdot x + a \cdot h}{l}.$$

$$\text{Вѣсъ подвѣса } CE \dots r_4 = \frac{P \cdot \gamma \cdot l \cdot x + a \cdot h}{D \cdot l} \dots 94.$$

Это выраженіе надо добавить ко 2-й части р-ва 87, чтобы получить ф-лу вѣса всей фермы фиг. 332. Когда будемъ брать 1-ю производную новаго выраженія R то x , величина r_4 добавитъ слагаемое $1 : D$. Дѣлая обычныя преобразованія 1-ой производной, увидимъ, что во всемъ выраженіи ея будетъ общимъ множителемъ $Z + D$, а другимъ множителемъ будетъ выраженіе 78, которое мы имѣли въ зад. № 62; по-этому и рѣшеніе здѣсь будетъ одинаково съ ф-лой 80, т. е. построеніе главныхъ размѣровъ фермы фиг. 332 (съ 5-ю элементами) ничѣмъ не будетъ отличаться отъ того построенія, которое дано на фиг. 328 для фермы съ двумя элементами.

Общее выраженіе вѣса фермы съ 5-ю элементами (фиг. 332), будетъ отличаться отъ выраженія вѣса фермы съ двумя элементами (фиг. 327) только множителемъ $(Z + D) : D$, который войдетъ во 2-ю

часть р-ва 77. Если $Z=D$, тогда этот коэффициентъ будетъ $= 2$, т. е. въ фермѣ изъ пяти элементовъ (фиг. 332), построенной подъ условіемъ \min ея вѣса, растянутыя и сжатыя части фермы будутъ имѣть одинаковъй вѣсъ, если $Z=D$.

Въ случаѣ обратнаго дѣйствія нагрузки на ферму изъ пяти элементовъ получаемъ ферму изъ трехъ тягъ и двухъ подкосовъ: нагрузка передается на шарниръ E (фиг. 333). Вѣсъ этой фермы получится, если 2-ю часть р-ва 84 (для фермы фиг. 329) умножимъ на коэф. $(Z+D):Z$. При $Z=D$ этотъ коэф. будетъ равенъ также 2, т. е. и въ этой фермѣ также вѣсъ растянутыхъ и сжатыхъ частей будетъ одинаковъ, если $Z=D$.

№ 65. Симметричная ферма (фиг. 334) изъ 8 элементовъ (3 сжатыхъ и 5 растянутыхъ) несетъ на себѣ нагрузку $2P$ и передаетъ ее на узлы A и B . Даны плечи нагрузки относительно опоръ a и общая длина фермы $AB=l=2i$. Найти высоту фермы $2b$ подъ условіемъ, чтобы вѣсъ фермы былъ \min .

Отв. $Q = S = \frac{P}{2b} \cdot \sqrt{a^2 + b^2}$. Вѣсъ фермы будетъ

$$R = \frac{P \cdot \gamma}{Z} \cdot \left[\frac{b^2 + a \cdot i}{b} \cdot \frac{Z+D}{D} + 2b \right] \dots \dots \dots 95.$$

Мин этой величины получимъ тогда, когда

$$b = \sqrt{\frac{Z+D}{Z+3D} \cdot \frac{a \cdot l}{2}} \dots \dots \dots 96.$$

При $c=0 \dots a=i$, тогда всѣ ф-лы этой зад. будутъ тождественны съ тѣми, которыя мы имѣли въ зад. № 34 (фиг. 301).

№ 66. Внѣшній видъ фермы тотъ же, что и въ зад. № 65, но опоры находятся въ E, F (фиг. 335), а нагрузка повѣшена въ A, B . При данныхъ a и l найти наивыгоднѣйшую высоту такой фермы (изъ 3 тягъ и 5 раскосовъ) подъ условіемъ, чтобы вѣсъ фермы былъ \min .

Отв. $R = \frac{P \cdot \gamma}{D} \cdot \left[\frac{b^2 + a \cdot i}{b} \cdot \frac{Z+D}{Z} + 2b \right]; i = \frac{l}{2}$

$$b = \sqrt{\frac{D+Z}{D+3Z} \cdot \frac{a \cdot l}{2}}.$$

№ 67. Ферма изъ 8 элементовъ (3 подкосовъ и 5 тягъ) съ одною осью симметріи (фиг. 336) воспринимаетъ нагрузку P, P въ узлахъ E и F и передаетъ ее на узлы A и B . Дана длина фермы $l=2i$, плечи a нагрузокъ относительно опоръ и высота фермы $h=t+n$. Нужно найти наивыгоднѣйшее положеніе линіи опоръ AB , т. е. опредѣлить, въ какомъ отношеніи эта линія должна дѣлить высоту балки, если вѣсъ фермы долженъ быть \min .

Отв. $S = \frac{P}{h} \cdot \sqrt{a^2 + m^2}; Q = \frac{P}{h} \cdot \sqrt{a^2 + n^2}$
 $V = P \cdot \frac{m}{h}; W = P \cdot \frac{n}{h}; U = T = P \cdot \frac{a}{h}.$

Въсь фермы фиг. 336 будетъ:

$$R = \frac{2P \cdot \gamma}{Z \cdot D} \cdot \frac{(m^2 + a \cdot i)(Z + D) + h \cdot (h - m) \cdot D}{h} \dots 97.$$

Min этой величины получимъ, если сдѣлаемъ

$$m = \frac{h}{2} \cdot \frac{D}{Z + D}; n = \frac{h}{2} \cdot \left(1 + \frac{Z}{Z + D}\right)$$

$$n : m = 1 + 2 \cdot \frac{Z}{D} \dots 98.$$

При $Z = D \dots n : m = 3$, т. е. $m = \frac{h}{4}$.

№ 68. Ферма изъ 8 элементовъ (5 подкосовъ и трехъ тягъ) съ одною осью симметрии (фиг. 337) воспринимаетъ нагрузку въ узлахъ *A* и *B* и передаетъ ее на узлы *E* и *F*. Даны размѣры *l*, *h*, *a*, нужно найти отрѣзки *m* и *n* высоты фермы подъ условіемъ, чтобы въсь фермы былъ *min*.

Отв. $R = \frac{2P \cdot \gamma}{Z \cdot D} \cdot \frac{(m^2 + a \cdot i)(Z + D) + h \cdot (h - m) \cdot Z}{h}$

Наивыгоднѣйшее $n : m = 1 + 2 \cdot \frac{D}{Z} \dots 99.$

№ 69. Ферма *ABCD* (фиг. 338) составлена изъ двухъ треугольныхъ, имѣющихъ опоры въ *A* и *D*, причемъ одинъ изъ этихъ треугольниковъ (*ACD*) равнобедренный, и горизонтальная тяга *BC* параллельна основанію *AD*. Даны координаты *l* и *h* точки подвѣса груза относительно опоры *A*, требуется найти длину основанія $2x$ подъ условіемъ, чтобы въсь фермы былъ *min* при заданныхъ напряженияхъ *Z* и *D*.

Рѣш. $Q = P \cdot \frac{d}{h}; S = P \cdot \frac{l}{h}; T = S \cdot \frac{f}{2x} = P \cdot \frac{l}{h} \cdot \frac{f}{2x};$
 $U = T \cdot \frac{h}{f} = \frac{P \cdot l}{2x}; V = U \cdot \frac{x}{h} = P \cdot \frac{l}{2h} = \frac{S}{2};$

Въсь всей фермы представится формулою:

$$R = P \cdot \gamma \cdot \left[\frac{d^2}{D \cdot h} + \frac{l}{2h} \cdot \frac{f^2}{x \cdot D} + \frac{l}{h} \cdot \frac{x}{D} + \frac{l}{h} \cdot \frac{l+x}{Z} + \frac{l}{2h} \cdot \frac{f^2}{x \cdot Z} \right];$$

$$R = \frac{P \cdot \gamma}{D} \left[h + \frac{Z+D}{Z} \cdot \frac{l}{2h} \cdot \left(2l + 3x + \frac{h^2}{x} \right) \right] \dots 100.$$

Min R при данномъ h получится тогда $h^2 = 3x^2$, т. е. когда h будетъ діагональю прямоугольника, построеннаго на сторонахъ x и $x\sqrt{2}$. Найденное соотношение между h и x не зависитъ ни отъ величины напряженій Z и D , ни отъ величины вылета l .

№ 70. Предположить въ предыдущей задачѣ измѣнившимся направленіе дѣйствія нагрузки и найти вѣсъ фермы (фиг. 339) и наиблагодѣйшее соотношение между ея размѣрами.

Отв.
$$R = \frac{P \cdot \gamma}{Z} \cdot \left[h + \frac{Z + D}{2D} \cdot \frac{l}{h} \cdot \left(2l + 3x + \frac{h^2}{x} \right) \right] \dots 101.$$

При $h^2 = 3x^2$ получимъ *min* этой величины, независимо отъ данныхъ величинъ l , Z , D .

№ 71. Ферма $ABCD$ (фиг. 340), состоящая изъ двухъ треугольныхъ, подвѣшена за опорные узлы A и B и воспринимаетъ нагрузку въ узлѣ D по направленію тяги CD , \perp -й къ оси AB фермы. Даны плечи a и b , нужно найти наиблагодѣйшую высоту фермы $2m = h$ подѣ условіемъ, чтобы вѣсъ фермы былъ *min*.

Рѣш.
$$X = P \cdot \frac{b}{l}; Y = P \cdot \frac{a}{l}; X + Y = P.$$

$$Q = \frac{d}{h} X = P \cdot \frac{b \cdot d}{l \cdot h}; S = \frac{e}{h} Y = P \cdot \frac{a \cdot e}{l \cdot h}$$

$$AF \parallel BC; \frac{x}{a} = \frac{m}{b}; \overline{CF} = m + x = \frac{m \cdot l}{b}.$$

$$T : Q = \overline{CF} : \overline{AC}; T = Q \cdot \frac{m \cdot l}{b \cdot d} = \frac{m}{h} \cdot P = \frac{P}{2}.$$

Вѣсъ всей фермы $\dots R = \frac{P \cdot \gamma}{Z} \cdot \left[\frac{b \cdot d^2 + a \cdot e^2}{l \cdot h} \cdot \frac{Z + D}{D} + \frac{h}{2} \right]$ или

$$R = \frac{P \cdot \gamma}{Z} \left[\frac{Z + D}{D} \cdot \frac{m^2 + a \cdot b}{2m} + m \right] \dots 102.$$

Min R получится, когда $\dots m^2 = a \cdot b \cdot \frac{Z + D}{Z + 3D} \dots 103$

$$\min R = \frac{P \cdot \gamma \cdot m}{Z} \cdot \frac{Z + 3D}{D} \dots 104.$$

При $a = b$ совершается переходъ къ зад. № 34 (фиг. 301).

№ 72. Въ предыдущей фермѣ нагрузка передается на узелъ C вмѣсто D (фиг. 341). Найти ея наиблагодѣйшіе размѣры.

Отв.
$$R = \frac{P \cdot \gamma}{D} \cdot \left[\frac{Z + D}{Z} \cdot \frac{m^2 + a \cdot b}{2m} + m \right] \dots 105.$$

$$m^2 = a \cdot b \cdot \frac{Z + D}{D + 3Z} \dots 06.$$

Ф-лы 102 и 105 показываютъ, что, если при данномъ $h = 2m$ возможно измѣнять плечи a и b , самый невыгодный случай будетъ со- отвѣтствовать $a = b$.

№ 73. Первая общая задача на комбинаціи двухъ треугольныхъ фермъ. Опоры A и B фермы (фиг. 342) — на одной горизонтали, всѣ 4 отрѣзка діагоналей a, b, m, n — различны. Нагрузка P дѣйствуетъ по направленію діагонали CD въ узлѣ D . Даны плечи балки a и b и вся высота фермы $CD = h = m + n$. Найти оба отрѣзка высоты m и n подѣ условіемъ, чтобы вѣсъ фермы былъ \min .

$$P_{\text{ши.}} X = P \cdot \frac{b}{l}; Y = P \cdot \frac{a}{l}; Q = P \cdot \frac{b \cdot c}{h \cdot l}; S = P \cdot \frac{b \cdot d}{h \cdot l};$$

$$U = P \cdot \frac{a \cdot f}{h \cdot l}; T = P \cdot \frac{a \cdot e}{h \cdot l};$$

$$AF \parallel BC; x : a = m : b; m + x = \frac{m \cdot l}{b} = \overline{CF};$$

$$AE \parallel BD; y : a = n : b; n + y = \frac{n \cdot l}{b} = \overline{DE};$$

$$V = Q \cdot \frac{m + x}{c} = P \cdot \frac{m}{h}; W = S \cdot \frac{n + y}{d} = P \cdot \frac{n}{h}.$$

$$V : W = m : n \dots \dots \dots 107,$$

т. е. нагрузка P разлагается при узлѣ D на двѣ части, и отноше- ніе между ними всегда = отношенію отрѣзковъ высоты m и n , неза- висимо отъ величины плечъ a и b . Вѣсъ всей фермы будетъ:

$$R = P \cdot \gamma \cdot \left[\frac{b \cdot c^2 + a \cdot f^2}{h \cdot l \cdot D} + \frac{b \cdot d^2 + a \cdot e^2}{h \cdot l \cdot Z} + \frac{m}{Z} \right];$$

$$c^2 = a^2 + m^2; f^2 = b^2 + m^2; d^2 = a^2 + n^2; e^2 = b^2 + n^2.$$

$$R = \frac{P \cdot \gamma}{Z} \cdot \left[\frac{(Z + D)(a \cdot b + m^2) + D \cdot h \cdot (h - 2m)}{D \cdot h} + m \right] \dots 108, \text{ или}$$

$$R = \frac{P \cdot \gamma}{Z} \cdot \left[\frac{(Z + D)(a \cdot b + n^2) + Z \cdot h \cdot (h - 2n)}{D \cdot h} + h - n \right] \dots 109.$$

Ф-ла 108 даетъ R въ функціи m , а 109 — въ функціи n . При- нимая h за данную величину, составляемъ 1-ю производную сначала отъ R по m , а потомъ отъ R по n , и находимъ

$$m = \frac{h}{2} \cdot \frac{D}{Z + D}; n = \frac{h}{2} \cdot \frac{D + 2Z}{D + Z}; \frac{n}{m} = 1 + 2 \frac{Z}{D} \dots 110.$$

Эта величина отношенія встрѣчалась уже нѣсколько разъ (см. зад. №№ 67, 35).

Если бы въ числѣ данныхъ, кромѣ a и b , была еще величина отрѣзка m и требовалось бы найти наивыгоднѣйшую высоту h фермы,

тогда по ф-лѣ 108 нужно будетъ составить выраженіе 1-й производной отъ R по h ; приравнявъ ее нулю, получимъ:

$$h^2 = (a \cdot b + m^2) \cdot \frac{Z + D}{D} \dots \dots \dots 111.$$

Наоборотъ, если бы данъ былъ отрѣзокъ n и требовалось найти наивыгоднѣйшую величину h , тогда надо было бы работать съ ф-лой 109, и получили бы:

$$h^2 = a \cdot b + n^2 \dots \dots \dots 112,$$

т. е. когда даны величины отрѣзковъ a , b , n , наивыгоднѣйшая высота фермы вовсе не зависитъ отъ величины заданныхъ напряжений Z и D .

Ф-лы 108 и 109 показываютъ, что, при всѣхъ прочихъ одинаковыхъ условіяхъ, наиболѣе тяжелую ферму получимъ, если назначимъ $a = b$.

Въ частномъ случаѣ когда $n = 0 \dots m = h$, мы дѣлаемъ переходъ къ фермѣ фиг. 343. Ея вѣсъ по 108 (или 109 безразлично):

$$R = \frac{P \cdot \gamma}{Z} \cdot \frac{Z + D}{D} \left(\frac{a \cdot b}{h} + h \right) \dots \dots \dots 113.$$

Его m будетъ при $h^2 = a \cdot b$, — извѣстный результатъ (см. зад. № 41). При $m = 0$ тяга DC нагрузки не воспринимаетъ, и мы дѣлаемъ переходъ къ фермѣ фиг. 305.

№ 74. Вторая общая задача на комбинаціи двухъ треугольных фермъ. Опоры A и B (фиг. 344) — на одной горизонтали; всѣ 4 отрѣзка диагоналей a , b , m , n — различны. Нагрузка передается на узелъ C . Выяснить наивыгоднѣйшіе размѣры фермы, дающіе \min ея вѣса.

Отв. Здѣсь подкосъ CD будетъ сжать усилиемъ W (см. зад. № 73):

$$W = P \cdot \frac{n}{h}. \text{ Вѣсъ фермы будетъ:}$$

$$R = \frac{P \cdot \gamma}{D} \cdot \left[\frac{(Z + D)(a \cdot b + m^2) + D \cdot h \cdot (h - 2m)}{Z \cdot h} + h - m \right] \dots 114$$

или $R = \frac{P \cdot \gamma}{D} \cdot \left[\frac{(Z + D)(a \cdot b + n^2) + Z \cdot h \cdot (h - 2n)}{Z \cdot h} + n \right] \dots 115.$

Если дано h , наивыгоднѣйшія величины m и n будутъ

$$m = \frac{h}{2} \cdot \frac{2D + Z}{Z + D}; \quad n = \frac{h}{2} \cdot \frac{Z}{Z + D}; \quad \frac{m}{n} = 1 + 2 \frac{D}{Z} \dots 116.$$

Если дано m , то наивыгоднѣйшее h при всѣхъ значеніяхъ Z и D будетъ опредѣляться такъ:

$$h^2 = a \cdot b + m^2 \dots \dots \dots 117.$$

Если дано n , тогда

$$h^2 = (a \cdot b + n^2) \cdot \frac{Z + D}{Z} \dots \dots \dots 118.$$

Въ частномъ случаѣ, когда $m = 0 \dots n = h$, дѣлаемъ переходъ къ фермѣ фиг. 306. Ея вѣсъ по 114 (или 115 безразлично):

$$R = \frac{P \cdot \gamma}{D} \cdot \frac{Z + D}{Z} \cdot \left(\frac{a \cdot b}{h} + h \right) \dots \dots \dots 119.$$

Его min получится при $a \cdot b = h^2$. Тожество ф-ль 113 и 119 еще разъ подтверждаетъ, что въ фермахъ фиг. 306 и 343 *вѣсъ распянутыхъ частей фермы одинаковъ съ вѣсомъ сжатыхъ частей фермы*, если размѣры ея выбраны наивыгоднѣйшими.

№ 75. Третья общая задача на комбинаціи двухъ треугольных фермъ. Устройство фермы и передача нагрузки тѣ же, что и въ задачѣ № 73 (фиг. 342), но данными считаются только плечи нагрузки a и b относительно опоръ; отрѣзки же m и n высоты фермы надо разсматривать, какъ независимыя, и найти ихъ величину подъ условіемъ, чтобы вѣсъ фермы былъ min .

Рши. Ф-лу 108, опредѣляющую вѣсъ фермы, можно представить иначе, вводя въ нее $m + n$ вмѣсто h :

$$R = \frac{P \cdot \gamma}{Z} \cdot \left[\frac{Z + D}{D} \cdot \frac{a \cdot b}{m + n} + \frac{Z \cdot m^2 + D \cdot n^2}{D \cdot (m + n)} + m \right] \dots \dots 120.$$

Составляя частную производную отъ R по m , найдемъ

$$m^2 + 2m \cdot n = a \cdot b, \text{ или } m = -n + \sqrt{a \cdot b + n^2} \dots \dots \dots a.$$

Составляя частную производную отъ R по n , получимъ:

$$n = -m + \sqrt{\frac{Z + D}{D} \cdot (a \cdot b + m^2)} \dots \dots \dots 6.$$

Сравнивая ф-лы а и б, получаемъ:

$$\frac{Z + D}{D} \cdot (a \cdot b + m^2) = a \cdot b + n^2 = a \cdot b + \left[-m + \sqrt{\frac{Z + D}{D} \cdot (a \cdot b + m^2)} \right]^2,$$

откуда $m^2 = a \cdot b \cdot \frac{D}{4Z + 3D} \dots \dots \dots 121.$

$$n^2 = a \cdot b \cdot \frac{(2Z + D)^2}{D(4Z + 3D)} \dots \dots \dots 122.$$

$$\begin{aligned} min R &= \frac{P \cdot \gamma}{Z \cdot D} \cdot \frac{(Z + D)(a \cdot b + m^2) + D(n^2 + m \cdot n)}{m + n} = \\ &= \frac{P \cdot \gamma}{Z} \cdot (m + 2n) = \frac{P \cdot \gamma}{Z} \cdot \sqrt{a \cdot b \cdot \frac{4Z + 3D}{D}} \dots \dots \dots 123. \end{aligned}$$

Если $Z = D \dots \min R = \frac{P \cdot \gamma}{Z} \cdot \sqrt{7a \cdot b} \dots \dots \dots 124.$

Ф-ла 110 получается соединеніемъ ф-лъ 121 и 122.

№ 76. Четвертая общая задача на комбинаціи двухъ треугольныхъ фермъ. Устройство фермы и передача нагрузки тѣ же, что и въ задачѣ № 74 (фиг. 344), но данными считаются только плечи a и b нагрузки относительно опоръ; отрѣзки же m и n высоты фермы надо разсматривать, какъ независимыя переменныя, и найти ихъ величину подѣ условіемъ, чтобы вѣсъ фермы былъ *min*.

Рѣш. Ф-ла 115 м. б. представлена въ такомъ видѣ:

$$R = \frac{P \cdot \gamma}{D} \left[\frac{Z + D}{Z} \cdot \frac{a \cdot b + n^2}{m + n} + m \right] \dots \dots \dots 125.$$

Изъ выраженія $\frac{dR}{dm} = 0$ имѣемъ $\dots (m + n)^2 = \frac{Z + D}{Z} \cdot (a \cdot b + n^2) \dots 126.$

" " $\frac{dR}{dn} = 0$ " $\dots (m + n)^2 = a \cdot b + m^2 \dots \dots 127.$

Рѣшая эти 2 ур-ія относительно m и n , находимъ:

$$\frac{a \cdot b + m^2}{Z + D} \cdot Z = a \cdot b + (\sqrt{a \cdot b + m^2} - m)^2, \text{ откуда}$$

$$m = (Z + 2D) \cdot \sqrt{\frac{a \cdot b}{3Z^2 + 4Z \cdot D}} \dots \dots \dots 128$$

$$n = Z \cdot \sqrt{\frac{a \cdot b}{3Z^2 + 4Z \cdot D}} \dots \dots \dots 129.$$

Отношеніе между ними будетъ то же самое, что даетъ и ф-ла 116-я. Наименьшій вѣсъ фермы по 125 будетъ:

$$\min R = \frac{P \cdot \gamma}{D} \cdot (2m + n) = \frac{P \cdot \gamma}{D} \cdot \sqrt{a \cdot b \cdot \frac{4D + 3Z}{Z}} \dots \dots 130.$$

При $Z = D \dots \min R$ будетъ выражаться тою же ф-лою 124, что и въ предыдущемъ случаѣ. Это указываетъ на то, что при равенствѣ допускаемыхъ напряженій растяженія и сжатія вѣсъ растянутыхъ и сжатыхъ частей одинаковъ также и въ фермахъ фиг. 342, 344, если размѣры ихъ сдѣлать наибывгоднѣйшими.

№ 77. Пятая общая задача на комбинаціи двухъ треугольныхъ фермъ. Устройство фермы то же самое, что и въ задачѣ № 73 (фиг. 342), но нагрузка воспринимается фермою въ точкѣ H , лежащей въ одномъ уровнѣ съ опорами A и B . Даны плечи a и b нагрузки относительно опоръ. Нужно найти отрѣзки m и n высоты фермы подѣ условіемъ *min* ея вѣса.

$$\left. \begin{array}{l} \text{Рѣш. Часть } CH \text{ будетъ растянута усиленъ } V = P \cdot \frac{m}{h} \\ \text{„ } DH \text{ „ сжата „ } W = P \cdot \frac{n}{h} \end{array} \right\} \dots 107.$$

Въ формулѣ 108 (см. зад. № 73) измѣнится только послѣднее слагаемое въ скобкѣ, и мы получимъ:

$$R = P \cdot \gamma \cdot \frac{Z + D}{Z \cdot D} \cdot \frac{a \cdot b + m^2 + n^2}{m + n} \dots \dots \dots 131.$$

$$\text{Изъ } \frac{dR}{dm} = 0 \dots \dots \dots a \cdot b = m^2 + 2m \cdot n - n^2$$

$$\text{„ } \frac{dR}{dn} = 0 \dots \dots \dots a \cdot b = n^2 + 2n \cdot m - m^2.$$

Рѣшивъ эти ур-ія, найдемъ, что

$$m = n = \sqrt{\frac{a \cdot b}{2}} \dots \dots \dots : 132.$$

т. е. въ фермѣ фиг. 345 съ передачей нагрузки въ узлъ *H*, наивыгоднѣйшая высота фермы не зависитъ отъ заданныхъ напряженій растяженія и сжатія, и всѣ растянутыхъ и сжатыхъ частей фермы будетъ также одинаковъ. Построеніе отрѣзковъ *m* и *n* фермы въ этомъ случаѣ показано на фиг. 342:

$$HE = \sqrt{a \cdot b}; EF = FH = \frac{1}{2} \cdot \sqrt{a \cdot b}; HI = CH = m.$$

Всѣ фермы фиг. 342

$$\min R = \frac{P \cdot \gamma}{Z} \cdot \frac{Z + D}{D} \cdot \sqrt{2} \cdot \sqrt{a \cdot b} \dots \dots \dots 133.$$

Сравненіе ф-ль 133 и 11 (см. зад. № 41) показываетъ, что комбинаціи треугольныхъ фермъ фиг. 345 по своему вѣсу легче комбинаціи фиг. 306 въ отношеніи $1 : \sqrt{2}$.

№ 78. Шестая общая задача на комбинаціи треугольныхъ фермъ. Опоры *A* и *B* (фиг. 346) на разной высотѣ; всѣ четыре отрѣзка діагоналей фермы различны. Нагрузка *P* дѣйствуетъ по направленію діагонали *CD* въ узлѣ *D*. Выяснить наивыгоднѣйшіе размѣры фермы, при которыхъ вѣсъ ея будетъ *min*.

Рѣш. Силы *X*, *Y*, *Q*, *S*, *T*, *U*, *V*, *W* выражаются тѣми же ф-лами, какъ и въ задачѣ № 73 (фиг. 342), поэтому и общее выраженіе вѣса фермы будетъ прежнее:

$$R = P \cdot \gamma \cdot \left[\frac{b \cdot c^2 + a \cdot f^2}{h \cdot l \cdot D} + \frac{b \cdot d^2 + a \cdot e^2}{h \cdot l \cdot Z} + \frac{m}{Z} \right],$$

но только въ немъ c, d, e, f имѣютъ другое выраженіе:

$$HK = t \cdot \frac{b}{l}; \quad HL = t \cdot \frac{a}{l}, \text{ поэтому}$$

$$c^2 = a^2 + \left(m - t \cdot \frac{a}{l}\right)^2; \quad d^2 = a^2 + \left(n + t \cdot \frac{a}{l}\right)^2;$$

$$f^2 = b^2 + \left(m + t \cdot \frac{b}{l}\right)^2; \quad e^2 = b^2 + \left(n - t \cdot \frac{b}{l}\right)^2.$$

Внося эти величины въ выраженіе вѣса фермы, послѣ небольшихъ преобразованій получаемъ:

$$R = \frac{P \cdot \gamma}{Z} \left[\frac{(Z + D)(a_1 \cdot b_1 + m^2) + D \cdot h(h - 2m)}{D \cdot h} + m \right] \dots \quad 134,$$

гдѣ
$$a_1 \cdot b_1 = a \cdot b \cdot \left(1 + \frac{t^2}{l^2}\right) \dots \dots \dots \quad 135,$$

т. е. формула вѣса фермы съ опорами на разной высотѣ отличается отъ ф-лы вѣса съ опорами на одной горизонтали только тѣмъ, что вмѣсто плечъ a и b въ ф-лу 134 входятъ отрѣзки a_1 и b_1 диагонали, соединяющей опорныя точки; другими словами, подъемъ одной изъ опоръ отражается на увеличеніи вѣса совершенно такъ-же, какъ и пропорціональное увеличеніе обоихъ плечъ a и b у фермы съ опорами на одной горизонтали. Поэтому всѣ соотношенія и заключенія, которыя были сдѣланы по отношенію къ фермамъ фиг. 342 и 344, будутъ имѣть мѣсто и для фермы фиг. 346, если $a \cdot b$ всюду будетъ замѣнено чрезъ $a_1 \cdot b_1$.

Такимъ образомъ ферма, изображенная на фиг. 346, является самой общей комбинаціей, изъ которой всѣ остальные, разсмотрѣнныя ранѣе, могутъ быть получены, какъ частные случаи. По той же причинѣ нѣтъ надобности разсматривать и ферму фиг. 344 съ опорами на разной высотѣ.

№ 79. Для передачи нагрузки $2P$ на опору A (фиг. 347) взята симметричная комбинація изъ трехъ треугольныхъ фермъ CAD, DAE, EAB съ общою высотой h , шириною вверху $2a$, внизу $2a + 2b$. Найти зависимость между размѣрами фермы подъ условіемъ, чтобы вѣсъ всей фермы былъ *min*

$$P_{\text{вш.}} Q = P \cdot \frac{b}{h}; \quad S = P \cdot \frac{d}{h}; \quad T = P \cdot \frac{e}{h}; \quad U = P \cdot \frac{a + b}{h}.$$

$$R = \frac{2P \cdot \gamma}{Z} \cdot \frac{Z + D}{D} \cdot \frac{h^2 + a^2 + ab + b^2}{h} \dots \dots \dots \quad 136.$$

Если $a + b = c$, то $m^2 = a^2 + a \cdot b + b^2 = a^2 - c \cdot a + c^2$

$$\frac{dm}{da} = 2a - c = 0, \quad a = \frac{c}{2} = b \dots \dots \dots \quad 137,$$

т. е. **наивыгоднѣйшее** примѣненіе такой комбинаціи получимъ въ случаѣ равенства размѣровъ a и b , когда

$$R = \frac{2P \cdot \gamma}{Z} \cdot \frac{Z + D}{D} \cdot \frac{h^2 + 3a^2}{h} \dots \dots \dots 138.$$

Min этой величины получимъ, сдѣлавши $h^2 = 3a^2$; тогда

$$\min R = \frac{2P \cdot \gamma}{Z} \cdot \frac{Z + D}{D} \cdot 2h \dots \dots \dots 139.$$

Наивыгоднѣйшая высота фермы и здѣсь также не зависитъ отъ величины заданныхъ напряженій Z и D . Поэтому и высота фермы и вѣсъ ея останутся одинаковыми, если она будетъ имѣть видъ фиг. 348, т. е. если мы ее сдѣлаемъ съ 3 подкосами и 4 тягами.

№ 80. На опоры A и B (фиг. 349) нагрузка передается посредствомъ несимметричной комбинаціи изъ трехъ треугольныхъ фермъ; крайнія изъ нихъ, прилегающія къ опорамъ, выполнены въ видѣ равнобедренныхъ треугольниковъ; высота h у нихъ общая, а основанія различны — одно $a = 2c$, другое же $b = 2d$. Найти вѣсъ фермы и наивыгоднѣйшее соотношеніе между ея размѣрами.

$$P_{\text{ш.}} \quad X = P \cdot \frac{b}{l}; \quad Y = P \cdot \frac{a}{l}; \quad Q = P \cdot \frac{b \cdot f}{l \cdot h}; \quad S = P \cdot \frac{a \cdot k}{l \cdot h},$$

$$T = P \cdot \frac{a \cdot b}{l \cdot h}; \quad W = \frac{P \cdot a \cdot b}{2 \cdot l \cdot h} = \frac{T}{2}.$$

Вѣсъ всей фермы будетъ:

$$R = \frac{P \cdot \gamma}{Z} \cdot \frac{Z + D}{D} \cdot \frac{h^2 + 3 \cdot c \cdot d}{h} \dots \dots \dots 140.$$

При $c = d$ или $a = b$ всегда будетъ получаться *max* R . При заданной же длинѣ фермы *min* ея вѣса, независимо отъ Z и D , будетъ тогда, когда

$$h^2 = 3c \cdot d = \frac{3a \cdot b}{4} \dots \dots \dots 141.$$

$$\min R = \frac{P \cdot \gamma}{Z} \cdot \frac{Z + D}{D} \cdot 2h \dots \dots \dots 142.$$

Сравненіе этихъ формулъ съ формулой 11 (см. зад. 41) показываетъ, что ферма фиг. 349 можетъ быть выстроена нѣсколько легче фермы фиг. 306.

Формулы 141 и 142 безъ измѣненія относятся также и къ обратной комбинаціи — фиг. 350. Если $Z = D$, то въ фермахъ фиг. 349 и 350 вѣсъ растянутыхъ и сжатыхъ частей будетъ одинаковъ.



О Г Л А В Л Е Н И Е .

Отъ автора.

Введение.

	<i>Стран</i>
1. Нагрузка и деформация	1
2. Напряжение материала	4
3. Общій ходъ работы	6
4. Расчетное ур-е	—
5. Степень надежности постройки	7

Ч А С Т Ь I - я .

Сопротивленіе тѣлъ растяженію.

А. Растяженіе тѣла съ горизонтальной осью.

6. Деформированіе растянутого призматическаго тѣла	10
7. Ур-е напряженій	11
8. Расчетное ур-е	13
Таблицы для сравненія нагрузокъ, площадей и напряженій материала (тб. 1 — 3)	13
9. Величины допускаемыхъ напряженій (тб. 4)	15
10. Задачи. №№ 1 — 5	16
№ 6 — приведенная безопасная нагрузка (тб. 5)	18
№ 7 — крѣпость цѣпей и канатовъ	19
11. Коэффициентъ упругости	—
12. Величины коэф. упругости (тб. 6)	21
13. Задачи. №№ 8 — 9	22
14. Повтореніе вытяжки	24
15. Сжатіе поперечнаго сѣченія при растяженіи	25
16. Механическая работа, необходимая для воспроизведенія деформациі. а) Случай спокойной передачи нагрузки на тѣло	27
б) Случай внезапной передачи нагрузки на тѣло	29
17. Опредѣленіе разрушающаго напряженія материала при растяженіи	31
18. Величины разрушающаго напряженія (тб. 7)	32
19. Вліяніе различныхъ факторовъ на величину крѣпости и вытяжки материала.	34

Б. Растяженіе тѣла съ вертикальной осью.

20. Ур-е напряженій	35
21. Расчетное ур-е	36
22. Задачи. №№ 10 — 11	37

№ 12 — предѣльная длина бруса	38
№ 13 — критическая " "	39
23. Определеіе величины удлиненія	41
24. Задачи. №№ 14—15	43
№ 16. Удлиненіе усѣченного конуса	44
25. Работа силъ упругости.	
а) Случай спокойнаго воздѣйствія собственнаго вѣса	45
б) Случай, когда передъ началомъ деформаціи тѣла собственный вѣсъ его совершаетъ нѣкоторую работу	47
в) Общій случай воздѣйствія нагрузки и собственнаго вѣса.	49
26. Задачи. № 17. Табл. 8.	50
27. Тѣло равнаго сопротивленія при растяженіи	52
28. Ступеньчатое тѣло съ нѣсколькими сѣченіями равной крѣпости	54
29. Задачи. № 18 — расчетъ шахтнаго каната цилиндрическаго, ступеньчатого и въ видѣ тѣла равной крѣпости	57
30. Расчетъ длинныхъ шахтныхъ штангъ.	58
31. Расчетъ шахтныхъ канатовъ. Общія данныя	61
а) Расчетъ канатовъ съ постоянной толщиной проволоки.	62
б) " " съ переменною " "	64
32. Вопросы для повторенія главы о растяженіи	65
Сводъ формулъ.	67

Сопротивленіе тѣлъ сжатію.

А. Общія данныя.

33. Деформированіе сжатого короткаго призматическаго тѣла	70
34. Ур-іе напряженій и расчетное ур-іе	70
35. Величины напряженій, допускаемыхъ при сжатіи и разрушающихъ тѣло при сжатіи. Таблица 9-я	71

В. Равномѣрное распределеіе напряженій сжатія на поверхности соприкосновенія двухъ тѣлъ.

36. Поверхность стыка плоская.	74
37. " " цилиндрическая.	75

В. Неравномѣрное распределеіе напряженій сжатія на поверхности соприкосновенія тѣлъ.

38. Общій случай неравномѣрнаго распределеіа напряженій сжатія на плоскомъ стыкѣ двухъ соприкасающихся тѣлъ.	77
39. Сжатіе стыка двухъ тѣлъ при эксцентричномъ ихъ нагруженіи.	
а) Прямоугольная форма сѣченія тѣла	80
б) Эллиптическая форма сѣченія тѣла	81
40. Напряженія сжатія на поверхности соприкосновенія двухъ соприкасающихся цилиндровъ — выпуклаго и вогнутаго — при одинаковой величинѣ ихъ радіусовъ	82
41. Напряженія сжатія на поверхности цилиндрическаго катка.	85
42. " " " " шарового "	87

Г. Напряженія сжатія на стыкѣ тѣлъ, перемежающихся одно относительно другою.

43. Общія соображенія относительно изнашиванія трущихся стыковъ	89
44. Принципъ Селлерса передачи давленія съ покоящагося стыка на трущуюся стыкъ	91

15. Изнашивание частей поступательной пары:	
а) Размѣры трущагося стыка	93
б) Вліяніе способа приведенія въ движеніе элементовъ поступательной пары на изнашивание ихъ стыковъ	94
в) Работа поступательной пары при переменнѣйшей величинѣ нагрузки	96
16. Изнашивание частей вращательной пары.	
а) Изнашивание частей закрытаго шарнирнаго соединенія	98
б) Расчетъ <i>центрально</i> нагруженнаго шарнирнаго соединенія.	100
в) Расчетъ шарнирнаго соединенія, нагруженнаго эксцентрично, или работающаго наперекось	100
г) Изнашивание частей открытаго шарнирнаго соединенія	101
д) Изнашивание частей пары съ непрерывнымъ вращеніемъ	—
17. Задачи на главу о сжатіи тѣлъ №№ 19—23	103
№ 24—напряженіе въ штокѣ паровога молота	105
№ 25—провѣрка крѣпости главныхъ трущихся стыковъ шатуннаго механизма въ паровыхъ машинахъ 6 серіи <i>Хедера</i>	106
Сводъ формулъ	110

Сопротивленіе тѣлъ сдвигу или срѣзыванію.

48. Величины напряженій на граняхъ равнобѣрно перекошеннаго параллелепипеда	112
49. Равнобѣрное перекашивание его безъ вытяжки реберъ:	
а) Перекосъ	114
б) Вытяжка наклонныхъ линій	—
в) Зависимость между тангенціальнымъ напряженіемъ и перекосомъ. Коэффициентъ упругости 2-го рода	116
50. Расчетное ур-іе при сдвигѣ и величины допускаемыхъ напряженій. Таблица 10-я	50
51. Пробиваніе металловъ	118
52. Задачи. №№ 26—29	119
№ 30—нахожденіе зависимости между коэффициентами упругости 1-го и 2-го рода изъ рассмотрѣннаго вопроса о вытяжкѣ куба	122
53. Распредѣленіе напряженій сдвига на сросткѣ двухъ тѣлъ, \perp -номъ къ общей оси вращенія ихъ.	
а) Ур-іе напряженій на сросткѣ	123
б) Расчетное ур-іе сростка	—
в) Полярный моментъ инерціи	126
г) Случай круглаго центрального сростка	127
54. Задачи. №№ 31 — 33	—
55. Одновременное дѣйствіе на параллелепипедъ силъ растяженія и сдвига.	
а) Направленіе наиболѣе растянутыхъ линій	131
б) Максимальное напряженіе для нихъ	133
в) Формула <i>Баха</i>	134
г) Расчетное ур-іе на растяженіе и равнобѣрный сдвигъ	135
Сводъ формулъ	137

Сопротивленіе тѣлъ крученію.

56. Деформированіе крутимаго цилиндра	139
57. Распредѣленіе напряженій въ плоскости сѣченія и по длинѣ цилиндра. Расчетное ур-іе.	140
58. Величины допускаемыхъ напряженій при крученіи. Таблица 11-я	141
59. Величины модулей сопротивленія.	

а) Сплошное круглое сѣченіе. Таблица 12-я	142
б) Полое	144
60. Величины закручивающихъ моментовъ. Таблица 13-я	145
61. Задачи №№ 34—39	146
62. Опредѣленіе угла закручиванія для цилиндра.	
а) Случай дѣйствія одной пары силъ на всей длинѣ цилиндра	151
б) Случай дѣйствія нѣсколькихъ паръ въ различныхъ сѣченіяхъ	152
63. Опредѣленіе діаметра вала по углу закручиванія	154
64. Задачи. №№ 40—42	155
65. Приращеніе напряженія при крученіи, вслѣдствіе неравнобѣрнаго вращенія массъ	156
66. Расчетъ вала на одновременное дѣйствіе растягивающей и крутящей на- грузки	158
67. Задачи. №№ 43—44	159
68. Крученіе призматическихъ тѣлъ	160
— Вопросы для повторенія главы о крученіи	161
— Сводъ ф-лъ и данныхъ	162

ЧАСТЬ II-я.

Сопротивленіе тѣлъ сгибанію.

А. Зависимость между нагрузкою и силами сопротивленія при сгибаніи.

1. Положенія, на которыхъ основана теорія сгибанія	164
2. Опредѣленіе вытяжки и напряженія произвольно взятаго волокна согнутой балки	166
3. Условія равновѣсія вѣншей нагрузки и внутреннихъ силъ	167
4. Расчетное ур-іе согнутой балки	170

Б. Модули сопротивленія поперечнаго сѣченія при сгибаніи балки и моменты инерціи сѣченій.

5. Прямоугольное сѣченіе	172
6. а. Прямоугольное полое сѣченіе	173
б. Двутавровое и крестообразное сѣченіе	—
7. Чечевице-образное сѣченіе	—
8. Круглое	175
9. Эллиптическое	—

В. Расчетные сгибающіе моменты и стрѣлы прогиба призматическихъ балокъ.

10. Сгибающій моментъ	177
11. Сѣкущее усиліе	178
12. Дифференціальное ур-іе упругой линіи	179
13. Выборъ знаковъ въ немъ	180
14. Интегральное ур-іе упругой линіи	—
15. Балка защемлена однимъ концомъ въ стѣнѣ и нагружена однимъ сосредото- ченнымъ грузомъ на свободномъ концѣ (фиг. 108).	
) Кривыя M и V , расчетное ур-іе	182
б) Стрѣла прогиба	183

а) Допускаемая ея величина	183
з) Передача нагрузки на двѣ параллельныхъ балки	184
д) " " " " \perp -ныхъ " " " "	—
е) Ур-іе упругой линіи	185
ж) Оно же при другомъ расположеніи осей координатъ	186
16. Балка защемлена однимъ концомъ въ стѣнѣ и нагружена по всей длинѣ равномѣрно (фиг. 106).	
а) Кривыя M и V , расчетное ур-іе	—
б) Стрѣла прогиба	187
в) Безопасная ея величина	188
г) Ур-іе упругой линіи при разномъ расположеніи осей координатъ	—
17. Балка защемлена однимъ концомъ въ стѣнѣ, нагрузка равномѣрно возра- стаетъ по мѣрѣ приближенія къ защемленному концу (фиг. 107).	
а) Кривыя M и V , расчетное ур-іе	189
б) Стрѣла прогиба и безопасная ея величина	190
в) Ур-іе упругой линіи при разномъ расположеніи осей координатъ	—
18. Балка защемлена однимъ концомъ въ стѣнѣ; нагрузка равномѣрно убыв- аетъ по мѣрѣ приближенія къ защемленному концу (фиг. 108).	191
19. Балка свободно лежитъ на двухъ опорахъ и нагружена однимъ сосре- доченнымъ грузомъ (фиг. 109).	
а) Кривыя M и V и расчетное ур-іе	193
б) Ур-іе упругой линіи	195
в) Стрѣла прогиба и допускаемая ея величина	196
г) Девіація упругой линіи при опорѣ балки	197
20. Балка свободно положена на двѣ опоры и нагружена двумя одинаковыми равномѣрно распределенными нагрузками, прилегающими къ опо- рамъ балки (фиг. 110).	
а) Кривыя M и V , расчетное ур-іе	198
б) Ур-іе упругой линіи въ средней части балки	199
в) " " " " нагруженныхъ плечахъ балки	200
г) Случай равномѣрнаго распределенія нагрузки по всей длинѣ балки (фиг. 111)	—
21. Балка свободно лежитъ на двухъ опорахъ и нагружена на части длины равномѣрно, но не симметрично (фиг. 112).	
а) Кривыя M и V , расчетное ур-іе	202
б) Наиболее опасный случай нагруженія	203
в) Нагрузка прилегаетъ къ одной изъ опоръ	204
г) Ур-іе упругой линіи	205
д) Сопротивленіе опоръ балки, положенной на 3 опоры и нагруженной равномѣрно (2 способа доказательства)	207
22. Балка защемлена однимъ концомъ въ стѣнѣ, другимъ свободно лежитъ на опорѣ и равномѣрно нагружена по всей длинѣ (фиг. 114).	
а) Кривыя M и V , опредѣленіе сопротивленій опоръ, расчетное ур-іе, ана- литическій <i>max.</i> момента	209
б) Ур-іе упругой линіи, стрѣла прогиба	211
23. Балка защемлена однимъ концомъ въ стѣнѣ, а свободный конецъ ея сти- баютъ 2 сосредоточенные груза (фиг. 115).	
а) Кривыя M и V , расчетное ур-іе	213
б и в) Ур-ія упругой линіи при разномъ расположеніи осей координатъ	214
г) Переходъ къ случаю, когда балка однимъ концомъ защемлена въ стѣ- нѣ, другой лежитъ свободно на опорѣ, и нагрузка сдѣлана однимъ сосредоточеннымъ грузомъ: сопротивленія опоръ, кривыя M , раз- счетное ур-іе	216

	д) Ур-іе упругой линіи и стрѣла прогиба для случая г.	216
24.	Балка положена свободно на двѣ опоры, нагрузка сдѣлана двумя сосредото- ченными грузами (фиг. 116—118).	
	а) Сопротивленія опоръ, кривыя <i>M</i> и <i>V</i> , расчетное ур-іе	217
	б и в) Ур-іе упругой линіи и стрѣла прогиба	219
	г) Сопротивленія опоръ балки, положенной на 3 опоры.	220
25.	Балка защемлена обоими концами въ стѣнахъ и нагружена однимъ сосре- доченнымъ грузомъ (фиг. 119).	
	а) Опредѣленіе суммы и разности опорныхъ моментовъ	221
	б) Величины опорныхъ моментовъ, графическое ихъ представленіе	222
	в) Сопротивленія опоръ	223
	г) Кривыя <i>M</i> и <i>V</i>	—
	д) Расчетное ур-іе балки	224
	е) Наиболее невыгодный случай нагруженія	225
	ж) Ур-іе упругой линіи	—
	з) Стрѣла прогиба	226
	и) Всѣ данныя для равноплечей балки	—
26.	Балка защемлена обоими концами, нагрузка распределена равномерно по всей длинѣ (фиг. 120).	
	а) Опредѣленіе опорныхъ моментовъ	228
	б) Кривыя <i>M</i> и <i>V</i> , расчетное ур-іе	—
	в) Ур-іе упругой линіи	230
	г) Стрѣла прогиба; безопасная ея величина	231
27.	Задачи №№ 45—67 (фиг. 121—145)	—

Г. Многоопорныя балки.

Опредѣленіе сопротивленій опоръ и нахожденіе расчетнаго момента.

28.	Общія соображенія относительно многопролетныхъ балокъ	245
29.	Сопротивленія опоръ многопролетной балки и ея сѣвущія усилія	248
30.	Выраженіе сѣвущаго усилія и сгибающаго момента въ произвольномъ про- летѣ балки.	
	а) Случай ненагруженного пролета	250
	б) Пролетъ нагруженъ однимъ сосредоточеннымъ грузомъ	252
31.	Ур-іе трехъ моментовъ.	
	а) Пролеты нагружены сосредоточенными грузами	256
	б) " " равномѣрно на части ихъ длины	258
	в) " " " по всей ихъ длинѣ	259
32.	Опредѣленіе сопротивленій опоръ многопролетной балки	—
33.	Задачи №№ 68—77 (фиг. 152—170)	261

Д. Силы сдвига въ продольныхъ и поперечныхъ плоскостяхъ согнутаго бруса.

34.	Общее представленіе о происхожденіи силъ сдвига при сгибаніи бруса	287
35.	Значеніе силъ сопротивленія сдвига въ поперечныхъ и продольныхъ пло- скостяхъ согнутаго бруса	289
36.	Опредѣленіе продольной силы сдвига	291
37.	Алгебраическая сумма силъ сдвига въ поперечномъ сѣченіи согнутаго бруса	294
38.	Расчетное ур-іе на сдвигъ при сгибаніи.	
	а) Общія соображенія	295
	б) Прямоугольное сѣченіе балки	296
	в) Эллиптическое и круглое сѣченіе балки	297
	г) Двутавровое сѣченіе балки	298

55. Балки изъ углового желѣза и зетовъ. Табл. 37 — 39.	357
56. Сѣтчатыя балки <i>Шухова</i>	360
57. Балки изъ таврового желѣза.	
а) Прокатныя балки. Таблицы 40 и 41	362
б) Клепанныя балки	363

Чугунныя балки.

58. Особенности, наблюдаемыя при сгибаніи чугунныхъ балокъ. Табл. 42-я.	364
59. Чугунныя балки съ поперечными сѣченіями, имѣющими двѣ оси симметріи.	
а) Сѣченіе круглое сплошное	366
б) " " полое	—
в) " эллиптическое сплошное.	367
г) " " полое	—
д) " прямоугольное сплошное.	—
е) " " полое	—
ж) " двутавровое	368
з) " крестообразное.	—
60. Задачи. № 102 — 105	—
61. Чугунныя балки съ поперечными сѣченіями, имѣющими одну ось симметріи.	
а) Разсчетъ балки существующей	370
б) Разсчетъ балки строящейся	371
62. Задачи. № 106 — 108	372

**Сопротивленіе призматическихъ тѣлъ одновременному воздѣй-
ствію нормальной и тангенціальной нагрузки.**

63. Разсчетъ на сгибаніе и крученіе	374
64. Разсчетъ на одновременное дѣйствіе растягивающей и сгибающей нагрузки.	
а) Общій случай	375
б) Эксцентрическое растяженіе бруса	—
65. Задачи. №№ 109 — 114	376
66. Разсчетъ длинныхъ сжатыхъ стоекъ или колоннъ.	
а) Формула <i>Эйлера</i>	382
б) Ф-ла <i>Причарда</i>	385
в) Ф-лы <i>Навье</i> и <i>Шварцъ-Ранкина</i>	388
г) Результаты опытовъ надъ провѣркою предыдущихъ формулъ.	389
д) Чугунныя и желѣзныя колонны	392

Сборникъ задачъ на теорію растяженія и сжатія тѣлъ, составленныхъ инж.-мех. В. Г. Шуховымъ и П. К. Худяковымъ. №№ 1 — 80. 396

Замѣченныя опечатки.

На стр. 12 вмѣсто § 12 надо поставить § 14.

На стр. 127 вторую строку ф-лы 92 надо читать такъ:

$$M = H \cdot 0,2 \cdot d^3$$

На стр. 205 строка 2 снизу послѣднее слагаемое надо читать

$$c_3 \text{ вмѣсто } c^3.$$

На стр. 262 и 263 при заглавіи статей должны быть значки

б) и в) вмѣсто а) и б)

На стр. 335 строка 16 снизу нужно читать

$$I_{AB} = I_{yA} + I_{yB}.$$

На табл. 10 при фиг. 134 надо читать $K = Q \cdot \frac{2l + d}{2l}$.

На табл. 18 фиг. 229 разстояніе между линиями

y и b равно z_0 .

На стр. 343 строка 17 сверху — слѣдуетъ читать *которыя*.

На табл. 22 фиг. 293 относится къ зад. № 25, а.

Табл. 22 на фиг. 294 — $AD = r$; $BD = s$; $CD = t$.

На табл. 27 фиг. 340 отрѣзокъ $DE = m = CE$, а линия BD , ~~какъ~~ изображающая сжатую часть фермы, должна быть толстою.

На табл. 28 фиг. 345 вмѣсто T должна стоять буква F .